Baustatik - Tragwerksplanung - Bauphysik

Wallstraße 9a 06493 Ballenstedt

Tel.: 039483/979323

Fax: 039483/979324

E-Mail: info@statik-paatz.de

www.statik-paatz.de

Statische Berechnung

LPH 4: TO Neubau

Bauvorhaben: Sanierung und Neubau Wohnheim "Thomas Müntzer

Papental 46

38855 Wernigerode

Bauherr: GSW Wernigerode mbH

Salzbergstraße 6b

38855 Wernigerode

Planer:

Projekt-Nr.: 24-919

Inhaltsverzeichnis

Baustatik - Tragwerksplanung - Bauphysik

Projekt: Sanierung und Neubau Wohnheim "Thomas Müntzer Datum: 18.12.2024 Auftrags-Nr.24-919 Seite: 2

Inhaltsverzeichnis

Position.	Beschreibung	Seite
	Titelblatt	_
ТВ	Inhalt	1 2
Vb	Vorbemerkungen	2 3 7
L0	Wind- und Schneelastzonen	7
L1 L2	Wind- und Schneelastermittlung	8 16
L2 L3	Lagesicherheit Garage im Endzustand Lagesicherheit Garage im Bauzustand	24
1	Brettsperrholzdachdecke	33
2	BSH-Deckenunterzug	40
3	Fenstersturz	46 50
4 4-1	Brettsperrholzgeschossdecke Brettsperrholzgeschossdecke	50 58
5	BSH-Deckenunterzug	66
5.1	Querdruckverstärkung Mittelauflager	74
6 7	Stütze unter BSH-Deckenunterzug	76
7 7.1	Innenwand-Holzrahmenbau Stütze unter Unterzug	81 87
8	Außenwand-Holzrahmenbau	92
8.1	Stütze unter Unterzug	99
9	Fenstersturz	103
10 11	Fenstersturz StbUntergeschoss als Gesamtmodel	107 111
11-1	Decke über der Garage (2D als Platte)	161
11.1	Durchstanznachweis Stütze auf Bodenplatte	205
12	StbAußenwand	207
13 14-1	StbAußenwand StbUnterzug	218 226
14-2	StbUnterzug	242
15	StbStütze	256
16	Frostschürze (Garage)	263
17 18	Frostschürze (EG) StbSockel	264 265
19	FT-Balkonplatte	266
19.1	Isokorbanschluss der Balkonplatte	270
20	Sparren Bealtanachailte	274
20.1 21	Deckenscheibe StbDachdecke	281 283
22	StbDecke	287
23	Wandartiger Träger	291
23.1	Rissbreitennachweis	299
23.2 24	Rahmen StbStütze	302 308
24F	Stützenfundament	314
24FA	Stützenfundament	318
25	Streifenfundament	322

Sanierung und Neubau Wohnheim "Thomas Müntzer Proiekt: 18.12.2024 Datum:

Position: Vb Auftrags-Nr.: 24-919 Seite:

Vorbemerkungen Pos. Vb

Diese Statische Berechnung umfasst 327 Seiten rechnerische Nachweise sowie einen Positionsplan und entspricht der Leistungsphase 4 der HOAI!

Gebäudekonstruktion

Bei dem vorliegenden Bauvorhaben handelt es sich um eine Erweiterung für das Wohnheim "Thomas Müntzer" in der Straße Papental 46 in Wernigerode.

Der Erweiterungsbau schließt auf der Nordseite an ein bestehendes Gebäude an. Die Grundfläche des dreigeschossigen Gebäudes beträgt 22,6 x 15,3 m. Das Bauwerk wird mit Brettsperrholzdecken auf Holzrahmenbauwänden errichtet, die sich auf den äußeren Längswänden und den inneren Flurwänden abtragen. Dort wo Wände unterbrochen sind erfolgt die Lastabtragung über BSH-Unterzüge. Das Gebäude erhält eine Garage in Stahlbetonbauweise im Untergeschoss. Zwischen der Erweiterung und dem Bestand wird ein Verbindungsgang in Holzrahmenbau errichtet, wobei die ersten 5m am Bestand in Stahlbeton ausgeführt werden, die gleichzeitig als Art Brücke das Untergeschoss überspannt zum Bestand.

Die Gründung erfolgt über tragende Stahlbetonbodenplatten mit umlaufenden Frostschürzen. Da sich das Untergeschoss in Hanglage befindet wird ein erdseitiger Sporn an Bodenplatte der Garage erforderlich. Zusätzlich dienen die Frostschürzen der Gleitsicherung des Bauwerks.

Bearbeitungsgrundlagen

Grundlage sind die Objektpläne vom Dezember 2024.

GE.7F	Neubau - Erdgeschoss
GE.8B	Neubau - Obergeschoss
GE.14A	Neubau - Schnitt C-C
GE.15A	Neubau - Schnitt E-E
GF 16	Neuhau - Schnitt D-D Ver

-D Verbinder

GE . 17 Neubau - Untergeschoss

Berechnungsgrundlagen

Eurocode 0: DIN EN 1990/NA	Grundlagen der Tragwerksplanung
Eurocode 1: DIN EN 1991/NA	Einwirkungen auf Tragwerke
Eurocode 2: DIN EN 1992/NA	Stahlbeton- und Spannbetontragwerke
Eurocode 3: DIN EN 1993/NA	Stahlbau
Eurocode 5: DIN EN 1995/NA	Holzbau
F 100C /NA	Maria de la calcala de la calc

Eurocode 5: DIN EN 1996/NA Eurocode 7: DIN EN 1997/NA Mauerwerkshau Geotechnik

Schneider Bautabellen

MB-Baustatik 2025

Microsoft Excel

Baustoffe

Holz	Nadelholz Brettschichtholz Brettsperrholzdecke	C24 bzw. KVH C24 G124c DERIX X-LAM L
Stahlbeton	Garage Außenbereich Wohnbereich	C 30/37 C 25/30 C 20/25
Betonstahlmatten Betonstabstahl	BSt 500 M BSt 500 S	Duktilitätsklasse A Duktilitätsklasse B

mb BauStatik S011, 2025.004

Projekt: Sanierung und Neubau Wohnheim "Thomas Müntzer Datum: 18.12.2024

Auftrags-Nr.: 24-919 Position: Vb Seite:

Baustahl S235

Für die Güte der einzubauenden Materialien und die Standsicherheit der Montagezustände haften die ausführenden Unternehmer.

Belastungsannahmen

Eigenlasten gem. DIN EN 1991-1-1

```
Verkehrslast Wohnbereich q_k = 2,7kN/m^2 inkl. Trennwandzuschlag: 1,2 kN/m für \leq 5 kN/m (wandlänge, einschließlich Putz) Verkehrslast Treppenbereich q_k = 3,0kN/m^2 Verkehrslast Garage q_k = 2,5kN/m^2 Verkehrslast Verbinder/Terrasse q_k = 4,0kN/m^2
```

Wind- und Schneelastermittlung siehe Pos. LO bis L1

Baugrund und Gründung

Es liegt kein Baugrundgutachten vor.

Die Zulässigkeit der mit Sigma, $_{Rd}=210 \, kN/m^2$ angenommenen Bodenpressung, die angesetzten Bodenwerte samt Exposition sind örtlich unter Beachtung der DIN EN 1997 (EC 7) vor Baubeginn zu überprüfen.

Angenommene Bettungsziffer: $k_s = 10,0 \text{ MN/m}^3$ Angenommene Exposition: XC2, WF

```
h \gamma \gamma' \varphi c_a c_p \delta_a \delta_p \delta_0 [m] [kN/m³] [°] [kN/m²] [°] [°] [°] [°] [999.0 20.0 10.0 30.0 - - 20.0 0.0 0.0 Ansatz f. Lagesicherheit Garage im Bauzustand
```

Eignung des Baugrunds: Zur Minimierung eines möglichen Schadenpotenzials, wie zum Beispiel erhöhte Setzungen, betonangreifende Böden, Höchstwasserstände \rightarrow Auftrieb, Einfluss des Bauwerks auf die Nachbarbebauung wird hiermit zu einer Erstellung eines Baugrundgutachtens geraten.

Das Baugrundgutachten gibt abhängig von den Bodenverhältnissen, den Baugrund und seiner Tragfähigkeit den Aufbau eines geeigneten Gründungspolsters vor. Für die Ausführung der Gründungsarbeiten sind die Angaben des Baugrundgutachters verbindlich! Es gelten die Empfehlungen und Hinweise des Baugrundgutachtens.

Allgemeine Hinweise

Die statische Berechnung wurde sorgfältig unter Beachtung der geltenden Vorschriften durchgeführt und umfasst den rechnerischen Nachweis aller Haupttragglieder des Bauwerks im Endzustand. Für Bauteile und Verbindungen, die offensichtlich ausreichend bemessen sind oder konstruktiv gewählt werden können, wird auf einen rechnerischen Nachweis verzichtet.

Leistungen gemäß Leistungsphase 1-4 der HOAI umfassen die definierten Grundleistungen; besondere Leistungen müssen separat nachgewiesen werden. Diese umfassen z.B. Nachweise für Anschluss- und Detailkonstruktionen, Transport- und Montagezustände, Fassadenbekleidungen, Kleinteilstatiken für Abhängungen, Geländer, Befestigungen sowie Baugrubensicherungen.

Die Umsetzung der Konstruktionszeichnungen und die Ausführung auf der Baustelle erfolgen ausschließlich durch qualifiziertes Fachpersonal. Die Verantwortung für die Standsicherheit während der Bauphasen sowie für die Arbeitssicherheit liegt bei der Bauleitung und der ausführenden Firma. Es wird vorausgesetzt, dass die Standsicherheit und der Erhaltungszustand der vorhandenen Bauteile einwandfrei sind und im Zuge der Baumaßnahme vor Ort überprüft werden.

Projekt: Sanierung und Neubau Wohnheim "Thomas Müntzer Datum: 18.12.2024

Auftrags-Nr.: 24-919 Position: Vb Seite: 5

Alle Maße, die in dieser Berechnung enthalten sind, sind Systemmaße der Statik und keine endgültigen Bauteilabmessungen. Letztere sind den Ausführungszeichnungen zu entnehmen oder müssen vor Ort unter Berücksichtigung von Auflagerlängen, Anschlüssen, Verbindungen usw. ermittelt werden.

Änderungen, die sich ungünstig auf die Systemmaße der Statik auswirken könnten, müssen mit dem Planer abgestimmt werden.

Alle weiteren Angaben und Erläuterungen sind der nachfolgenden Berechnung, den Positionsplänen sowie den aktuellen Architektenunterlagen zu entnehmen !

Ausführungshinweise

Stahlbeton |

Die Ausführung der Stahlbetonarbeiten muss den Anforderungen des EC 2 + NA in vollem Umfang entsprechen. Das 'Merkblatt Betondeckungen' des Deutschen Betonvereins e.V. ist zu beachten. Nachbehandlungen und Ausschalfristen müssen gemäß den Normen und geltenden Zusatzbestimmungen durchgeführt werden.

<u>Bautenschutz</u>

Bauwerksabdichtungen müssen gemäß DIN 18195/DIN 18533 erfolgen. Tragende Holzbauteile sind gemäß DIN 68800 zu imprägnieren. Stahlteile müssen dauerhaft gegen Korrosion geschützt werden. Stahlbetonbauteile müssen gemäß DIN EN 1992 (EC 2) mit Betondeckungen ausgeführt werden. Alle wärmeschutztechnischen Maßnahmen müssen entsprechend dem Wärmeschutznachweis ausgeführt werden.

Abstützung von Bau- und Montagezuständen

Die Abstützung sämtlicher temporären Bau- und Montagezustände ist durch die ausführende Firma zu dimensionieren, sicherzustellen und nötigenfalls im Vorfeld der Bauarheiten statisch nachzuweisen

der Bauarbeiten statisch nachzuweisen.
Bei Wänden ist besonderes Augenmerk auf die in dieser statischen Berechnung als "wandartige Träger" bezeichneten Wände zu legen. Diese sind im gesamten Zeitraum zwischen der Betonage und der Sicherstellung der vollen Tragwirkung als wandartiger Träger bauseits zu unterstützen.

<u>Geländer</u>

Falls Geländer für Treppen, Balkone, Loggien und Emporen usw. nicht genau nachgewiesen werden, sind diese als typengeprüfte Konstruktionen oder als typengeprüfte Fertigteil-konstruktionen auszuführen.

<u>Durchbrüche</u>

Schlitze, Durchbrüche, Kernbohrungen und Aussparungen dürfen in tragenden Konstruktionen nur nach Rücksprache mit dem Aufsteller der statischen Berechnung angeordnet werden.

Prüfung der statischen Berechnung und Überwachung der Ausführung

Das vorliegende Bauvorhaben wurde durch einen Nachweisberechtigten erstellt und bedarf gemäß den Vorgaben der Landesbauordnung keiner weiteren Prüfung durch einen Sachverständigen für Standsicherheit. Die Ausführung ist durch den Aufsteller dieser statischen Berechnung zu überwachen. Der Aufsteller ist zu diesem Zweck rechtzeitig vor der Errichtung / Betonage tragender Bauteile zu informieren.

Haftung

Für die Anordnung der Konstruktionen, die Güte der zur Verwendung kommenden Materialien und Baustoffe und deren fachgerechte Herstellung und Einbau haften ausschließlich die ausführenden Unternehmen.

mb BauStatik S011, 2025.004

Baustatik - Tragwerksplanung - Bauphysik

Projekt: Sanierung und Neubau Wohnheim "Thomas Müntzer Datum: 18.12.2024

Auftrags-Nr.: 24-919 Position: Vb Seite: 6

Die erforderlichen Güten sind gemäß DIN- und EC-Vorschriften nach der jeweils gültigen Fassung unter Berücksichtigung der nationalen Anwendungsdokumente zu überprüfen!

Urheberrechte

Diese bautechnischen Unterlagen gelten für die einmalige Ausführung des o.g. Bauvorhabens und sind standortbezogen. Die Übernahme dieser Unterlagen für andere Vorhaben oder Standorte bedarf der Genehmigung des Aufstellers.

mb-viewer version zuzo - Copyright zuz4 - mb AEC Software GmbH

Baustatik - Tragwerksplanung - Bauphysik

Projekt: Sanierung und Neubau Wohnheim "Thomas Müntzer 18.12.2024 Datum: Position: LO Auftrags-Nr.: 24-919 Seite: 7

Wind- und Schneelastzonen Pos. LO

Gebäude Gebäudestandort	Postleitzahl Ortsname Ortsteil	PLZ Ort OT	= = =	38855 Wernigerode Zentrum	
Gemeinde	Gemeindeschlüssel Bundesland	AGS Sachs	= sen-Anhalt	15085370	
Geodätische Daten	Geogr. Breite Geogr. Länge	$_{\lambda}^{\varphi}$	= =	51.83726 10.78406	0
Geograf. Daten	Geländehöhe ü. NN Windzone Schneelastzone char. Schneelast	H _s WZ SLZ S _k	= = = =	310.00 2 3 1.33 k	m KN/m²

Datum:

18.12.2024

Projekt: Sanierung und Neubau Wohnheim "Thomas Müntzer

Auftrags-Nr.: 24-919 Position: L1 Seite: 8

Pos. L1 Wind- und Schneelastermittlung

Gebäudedaten **System** Abmessungen Gebäudebreite 13.00 В = m 17.00 Gebäude länge L = m Gebäudehöhe (Höhe Flachdach) H =9.00 m

Geograf. Angaben Geländehöhe über NN A = 310.00 m

Windzone WZ = 2 Schneelastzone SLZ = 3

Standort Binnenland

Geometrie Flachdach

scharfkantiger Traufbereich

Wandöffnungen geschlossene Außenwände

Einwirkungen nach DIN EN 1990:2010-12

Qk.S Schnee

Schnee- und Eislasten für Orte bis NN + 1000 m

Qk.S min/max Werte

Qk.W Wind Windlasten

Qk.W min/max Werte

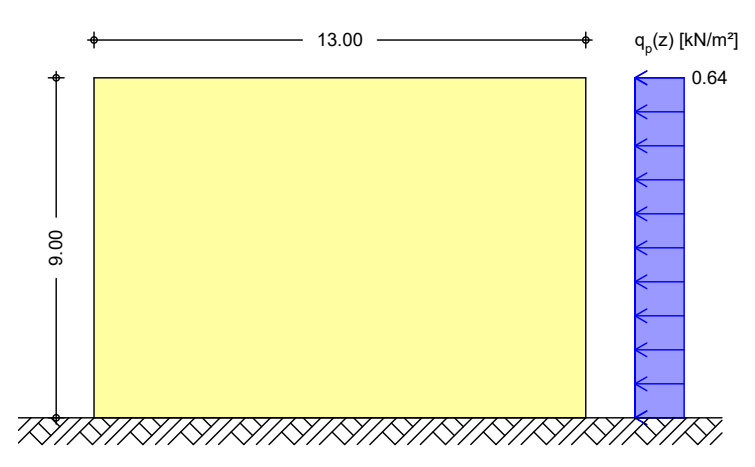
Windlasten Windlastermittlung nach DIN EN 1991-1-4:2010-12

Ermittlung im Regelfall nach NA.B.3.3 Anströmrichtung 0° auf Traufe links

Basiswindgeschwindigkeit 25.00 m/s $V_{b,0} =$ Basisgeschwindigkeitsdruck 0.39 kN/m² $q_{b,0} =$ Bezugshöhe 9.00 $z_e =$ m 0.64 Geschwindigkeitsdruck kN/m² $q_p =$ ${\rm m}^{\, {\rm z}}$ Ä ≥ Lasteinflussfläche 10.00

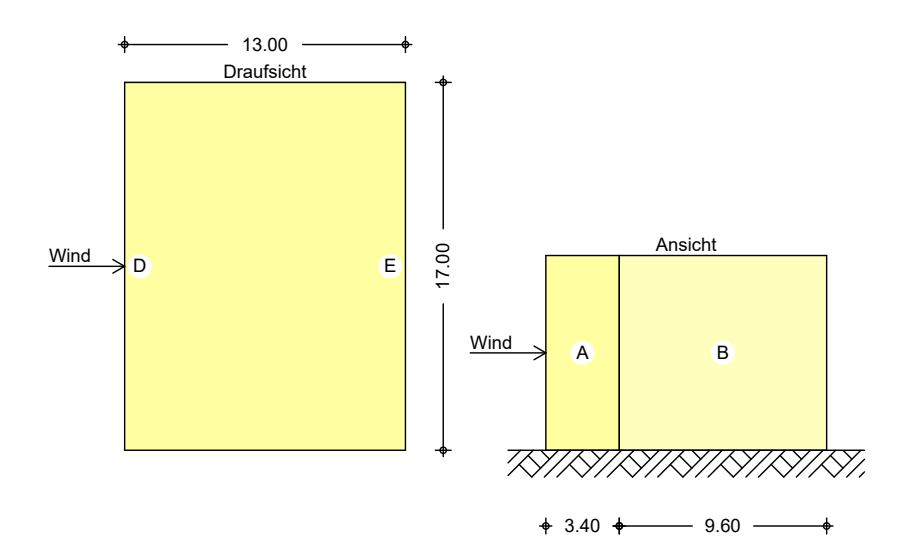
Qk.W.000 Bereichsgröße $e_D = 17.00$ m Richtung $\Theta = 0^{\circ}$ $e_W = 17.00$ m

Winddruckverteilung M 1:200

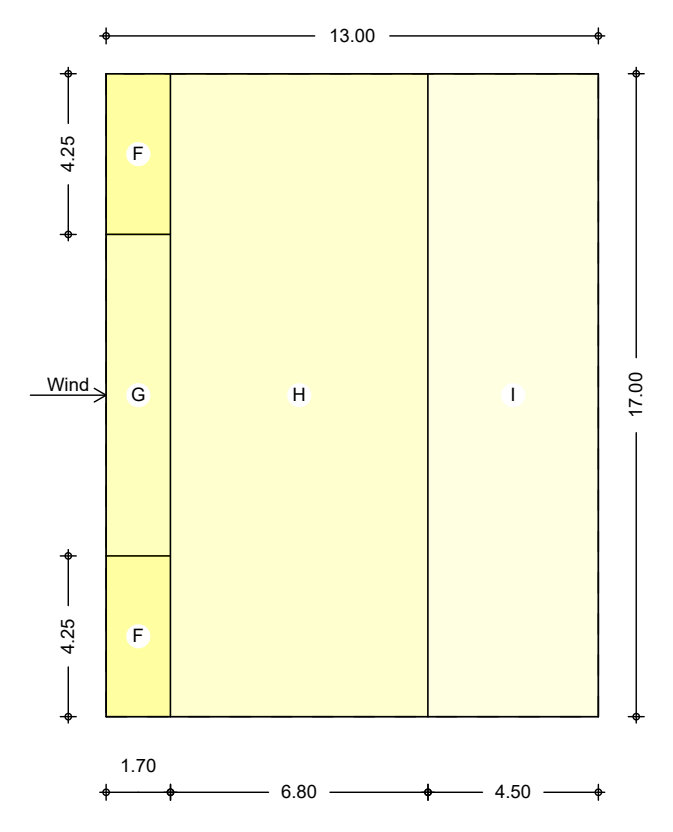


Projekt: Sanierung und Neubau Wohnheim "Thomas Müntzer 18.12.2024 Datum: Position: L1 Auftrags-Nr.: 24-919 Seite:

Bereichseinteilung M 1:350



м 1:200



Bereich	d,b	h	Cpe,1	Cpe, 10	We,10
	[m]	[m]	[-]	[-]	[kN/m²]
A	3.40	9.00	-1.40	-1.20	-0.77
В	9.60	9.00	-1.10	-0.80	-0.51
D	17.00	9.00	1.00	0.76	0.48
E	17.00	9.00	-0.50	-0.42	-0.27
Bereich	d	b	Cne 1	Cne 10	We 10

Bereich	a	р	Cpe,1	Cpe,10	We,10
	[m]	[m]	[-]	[-]	[kN/m2]
F	1.70	4.25	-2.50	-1.80	-1.15
G	1.70	8.50	-2.00	-1.20	-0.77

Datum:

Baustatik - Tragwerksplanung - Bauphysik

Projekt: Sanierung und Neubau Wohnheim "Thomas Müntzer

Auftrags-Nr.: 24-919 Position: L1 Seite: 10

Bereich	d	b	Cpe,1	Cpe,10	We,10
	[m]	[m]	[-]	[-]	[kN/m²]
Н	6.80	17.00	-1.20	-0.70	-0.45
I-	4.50	17.00	-0.60	-0.60	-0.38
I+	4.50	17.00	0.20	0.20	0.13

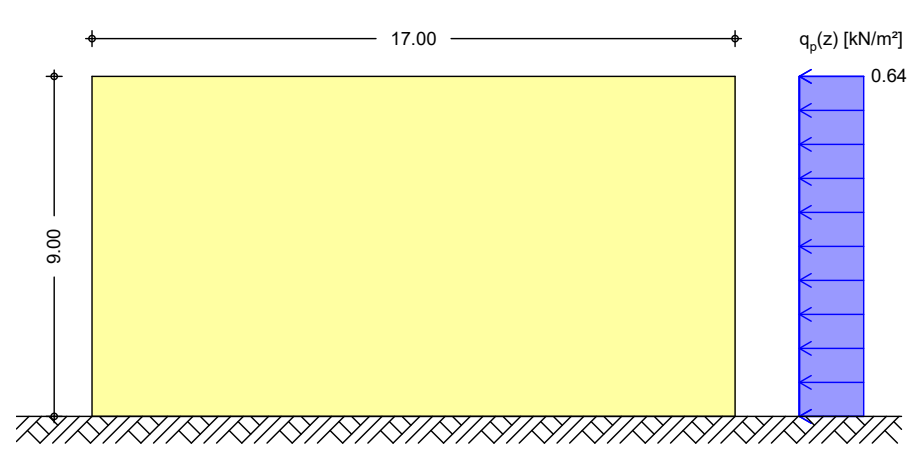
Qk.W.090 Richtung ⊖=90° Bereichsgröße

 $e_D = 13.00$ $e_W = 13.00$

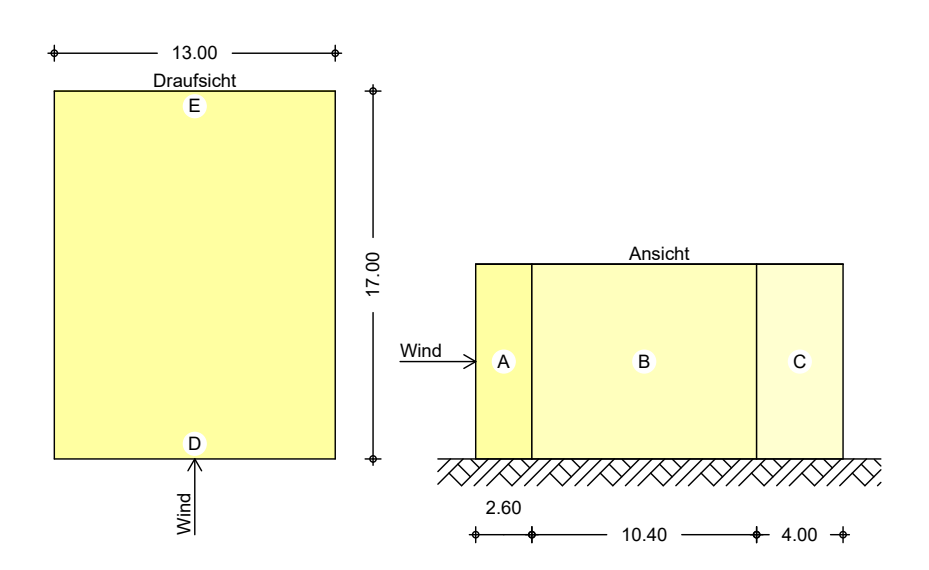
m m

18.12.2024

Winddruckverteilung M 1:200

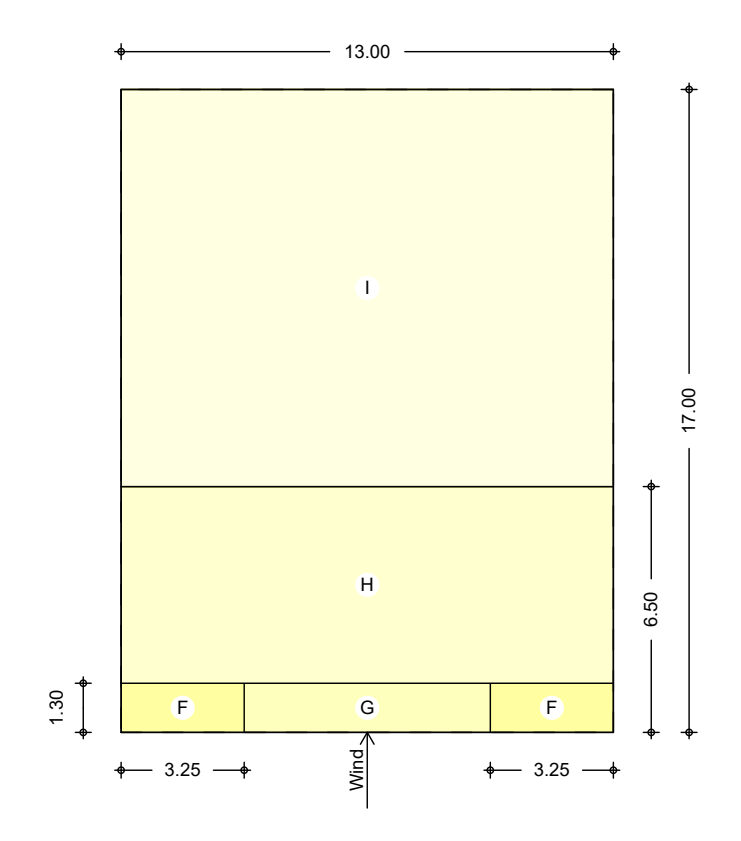


Bereichseinteilung M 1:350



Sanierung und Neubau Wohnheim "Thomas Müntzer Projekt: 18.12.2024 Datum: Position: L1 Auftrags-Nr.: 24-919 Seite: 11

M 1:200



Bereich	d,b	h	Cpe,1	Cpe,10	We,10
	[m]	[m]	[-]	[-]	[kN/m²]
A	2.60	9.00	-1.40	-1.20	-0.77
В	10.40	9.00	-1.10	-0.80	-0.51
C	4.00	9.00	-0.50	-0.50	-0.32
D	13.00	9.00	1.00	0.74	0.47
E	13.00	9.00	-0.50	-0.37	-0.24

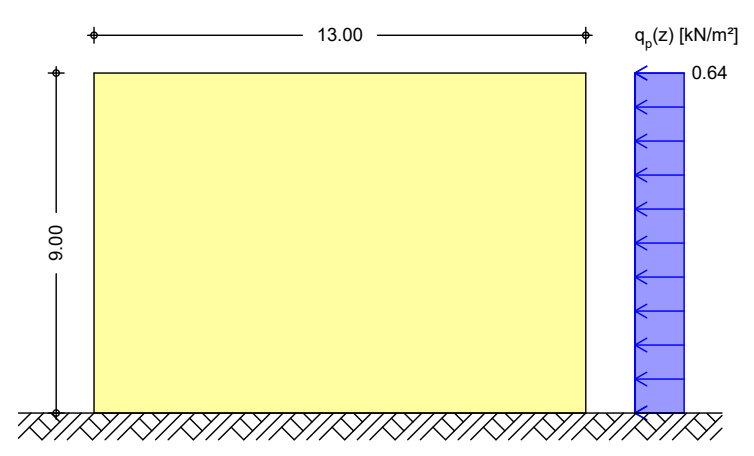
Bereich	d	b	Cpe,1	Cpe,10	We,10
	[m]	[m]	[-]	[-]	[kN/m²]
F	1.30	3.25	-2.50	-1.80	-1.15
G	1.30	6.50	-2.00	-1.20	-0.77
Н	5.20	13.00	-1.20	-0.70	-0.45
I-	10.50	13.00	-0.60	-0.60	-0.38
I+	10.50	13.00	0.20	0.20	0.13

Baustatik - Tragwerksplanung - Bauphysik

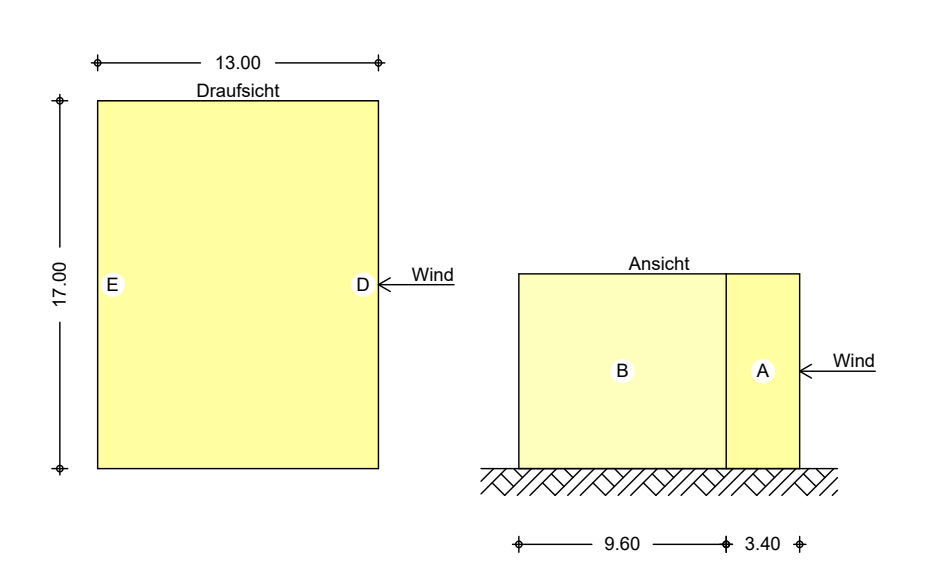
Projekt: Sanierung und Neubau Wohnheim "Thomas Müntzer 18.12.2024 Datum: Position: L1 Seite: Auftrags-Nr.: 24-919 12

Bereichsgröße Qk.W.180 $e_D =$ 17.00 m Richtung Θ=180° 17.00 $e_w =$ m

Winddruckverteilung M 1:200



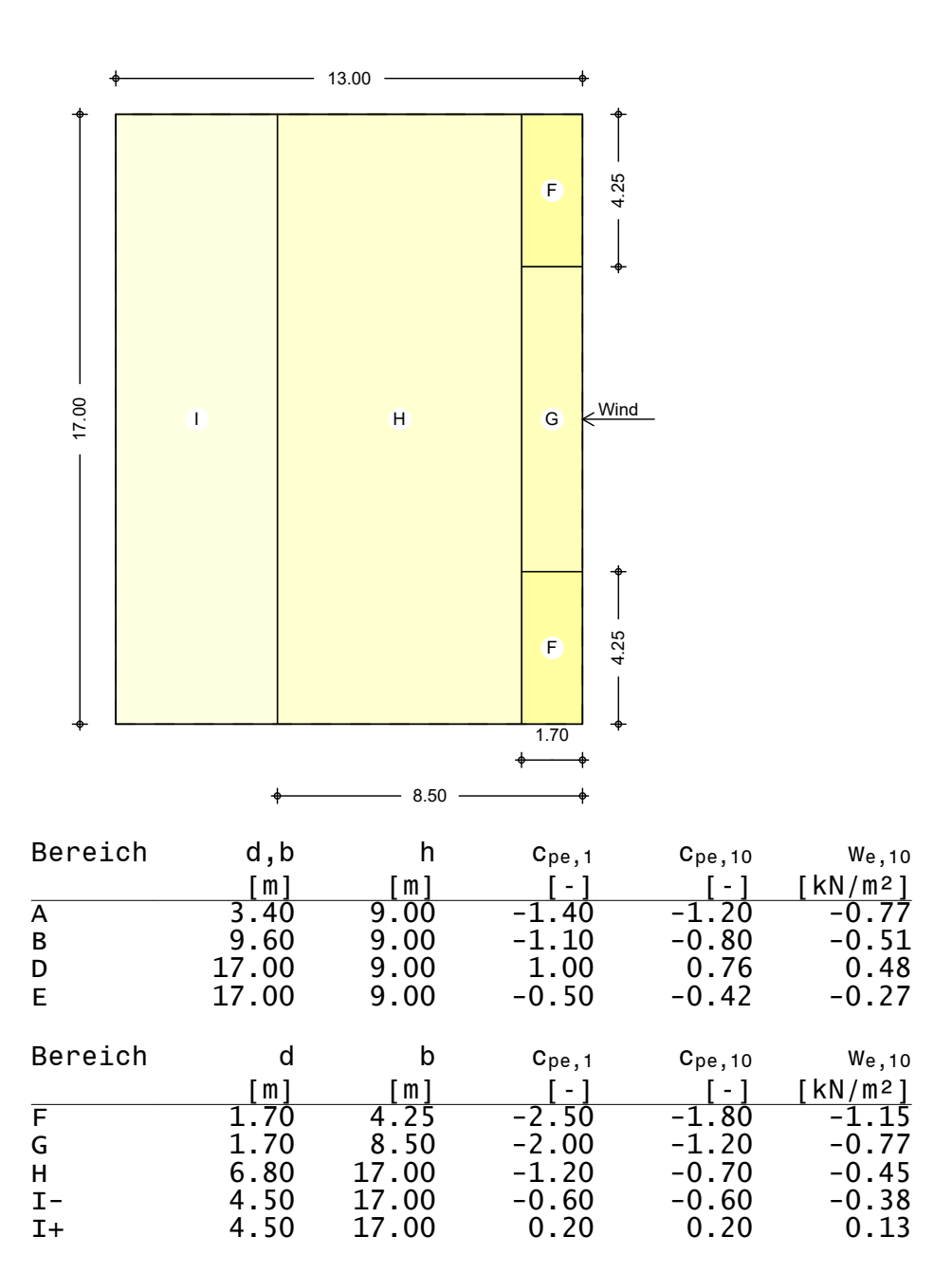
Bereichseinteilung M 1:350



Baustatik - Tragwerksplanung - Bauphysik

Projekt: Sanierung und Neubau Wohnheim "Thomas Müntzer Datum: 18.12.2024 Auftrags-Nr.: 24-919 Position: L1 Seite: 13

M 1:200

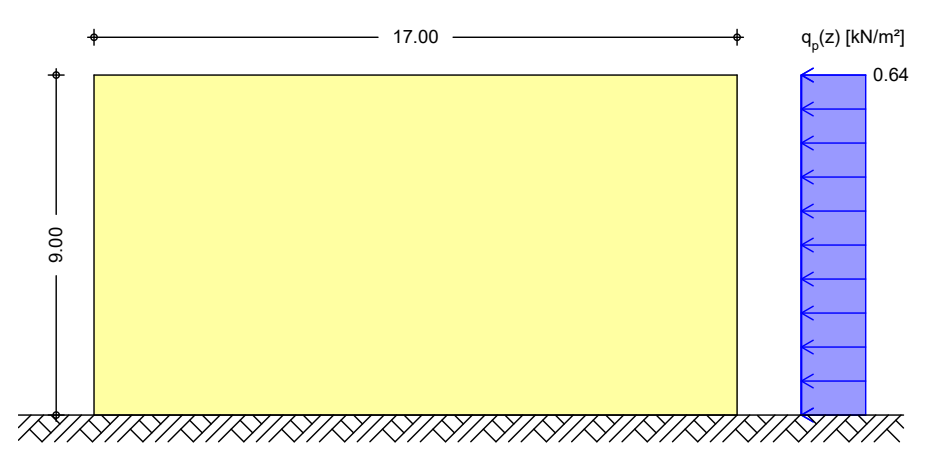


Baustatik - Tragwerksplanung - Bauphysik

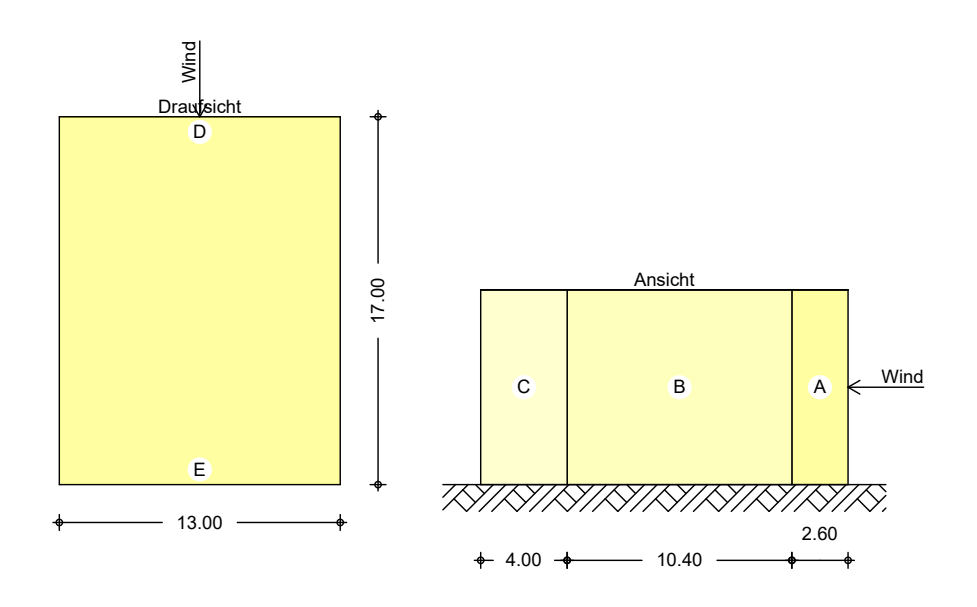
Projekt: Sanierung und Neubau Wohnheim "Thomas Müntzer Datum: 18.12.2024 Auftrags-Nr.: 24-919 Position: L1 Seite: 14

Qk.W.270 Bereichsgröße $e_D = 13.00$ m Richtung Θ =270° $e_W = 13.00$ m

Winddruckverteilung M 1:200

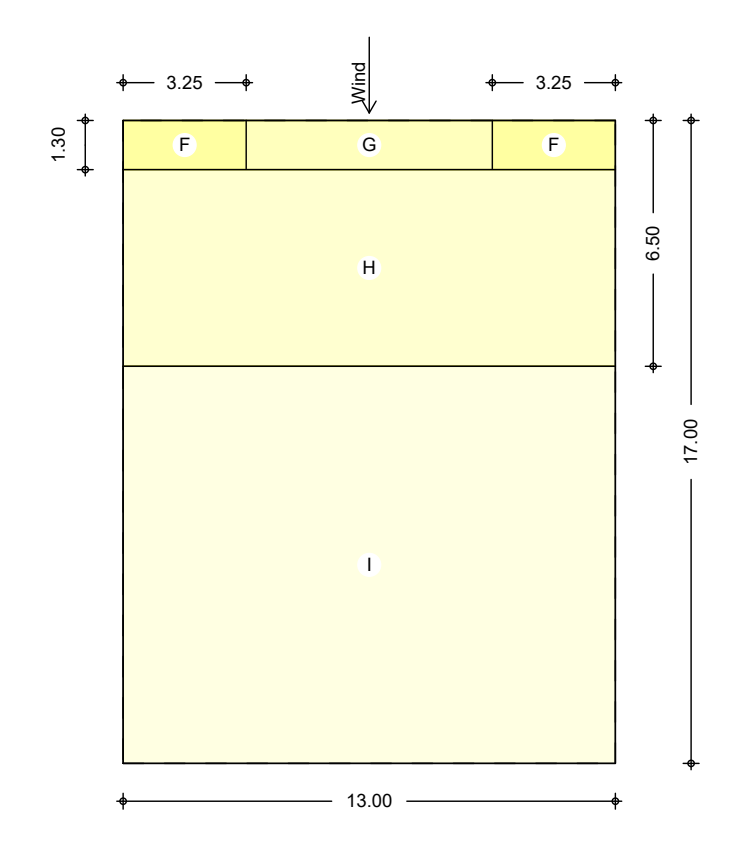


Bereichseinteilung M 1:350



Sanierung und Neubau Wohnheim "Thomas Müntzer Projekt: 18.12.2024 Datum: Position: L1 Auftrags-Nr.: 24-919 Seite: 15

M 1:200



Bereich	d,b	h	Cpe,1	C pe,10	We,10
	[m]	[m]	[-]	[-]	[kN/m²]
A	2.60	9.00	-1.40	-1.20	-0.77
В	10.40	9.00	-1.10	-0.80	-0.51
C	4.00	9.00	-0.50	-0.50	-0.32
D	13.00	9.00	1.00	0.74	0.47
E	13.00	9.00	-0.50	-0.37	-0.24
Bereich	d	b	Cpe,1	Cpe,10	We,10
Bereich	d [m]	b [m]	C _{pe,1} [-]	C _{pe,10} [-]	W _{e,10} [kN/m²]
Bereich F			- '-		
	[m]	[m]	[-]	[-]	[kN/m²]
F	[m] 1.30	[m] 3.25	[-] -2.50	[-] -1.80	[kN/m ²] -1.15
F G	[m] 1.30 1.30	[m] 3.25 6.50	[-] -2.50 -2.00	[-] -1.80 -1.20	[kN/m ²] -1.15 -0.77

Schneelasten

Schneelastermittlung nach DIN EN 1991-1-3:2010-12

char. Schneelast auf Boden	s _k =	1.33	kN/m²
Formbeiwert für Schneelast	$\mu_1 =$	0.80	_
Schneelast auf dem Dach	s =	1.06	kN/m²

Proiekt: Sanierung und Neubau Wohnheim "Thomas Müntzer

18.12.2024 Datum: Position: L2 Seite: Auftrags-Nr.: 24-919 16

Lagesicherheit Garage im Endzustand Pos. L2

Programm intern wird das Eigengewicht über die äußeren Abmessungen ermittelt. Nicht erfasst werden kann der Hohlraum, sodass das ermittelte Eigengewicht händisch als abhebende Last und das wahre Eigengewicht mit 155 kN angesetzt wird.

Eigengewicht gem. EDV

 $G_{k,EDV} = -925,25 \text{ kN/m}$

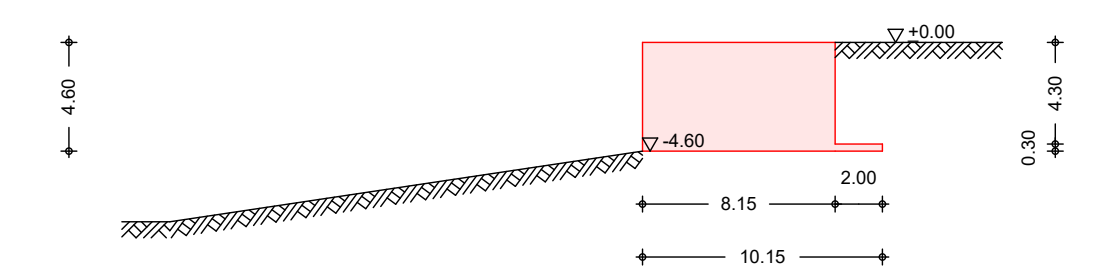
wahres Eigengewicht

 $G_k = (0.4 \cdot 0.7 + 9.65 \cdot 0.3 + 3.6 \cdot 0.3 + 8.15 \cdot 0.2 + 0.3 \cdot 0.5 \cdot 2) \cdot 25 = 154.5 \text{ kN/m}$

Bodenkennwerte: angesetzten Bodenkennwerte Baubeginn Die müssen durch einen Baugrundgutachter bestätigt werden.

System

M 1:320



Geometrie

Wandschenkel	h[m]	$d_o[m]$	$lpha_{ t luft} [{}^{\circ}]$	$lpha$ erd[$^{\circ}$]
	4.30	8.15	0.00	0.00

Geländeoberfläche lufts. geböscht / erds. eben Gelände

	Z	β1	b ₁	β2
	[m]	[°]	[m]	[°]
luft	4.60	-8.50	20.00	0.00
erd	0 00	0 00	999 00	_

Baugrund

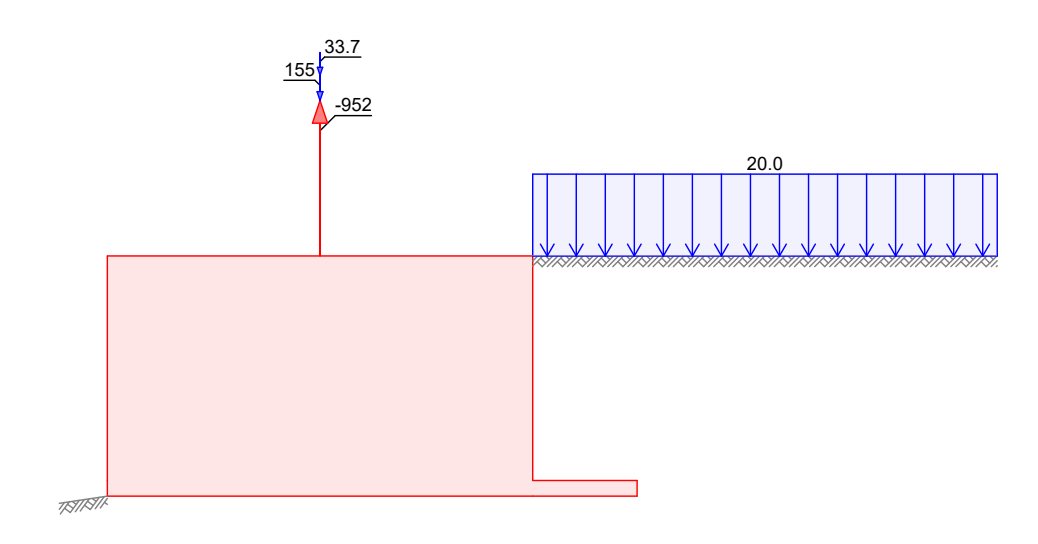
Expositionsklasse xc1

Belastungen

Eigengewicht EW Anteil G [kN/m3] [kN/m] Gk Gesamtlast Wand

Baustatik - Tragwerksplanung - Bauphysik

Projekt: Sanierung un Auftrags-Nr.: 24-919	Datum: Seite:	18.12.2024		
	Gk Gk Gk	Anteil Sporn erdseitig Wandschenkel Bodenkeil erdseitig	γ [kN/m³] 25.00 25.00 20.00	G [kN/m] 15.00 876.13 172.00
Gleichlasten erdseitig	Nr. EW 1 Gk 2 Qk.	N		q [kN/m²] 20.00 8.00
Linienlasten an Wand		a _v f _x [m] [kN/m]	f _z [kN/m]	m _y [kNm/m]
(a)	1 Gk 2 Gk 3 Gk	$egin{array}{cccc} 0.00 & 0.$	-952.25 154.50 33.66	0.00 0.00 0.00
(a)		. '4' A (Fz), Gk (max) 6.18 6.18	31 = 6.1	8 kn/m
	aus Pos	. '1' A (Fz), Gk (max) 5.86	91 = 11.0 $63 = 5.8$,
	aus Pos	. '1' B (Fz), Gk (max) 10.52	$\frac{20}{20} = \frac{10.5}{33.6}$	2 kN/m 6 kN/m
Grafik Einwirkung	Belastu Gk	ngsgrafiken (einwirkungsbezo	ogen)	



Projekt: Sanierung und Neubau Wohnheim "Thomas Müntzer

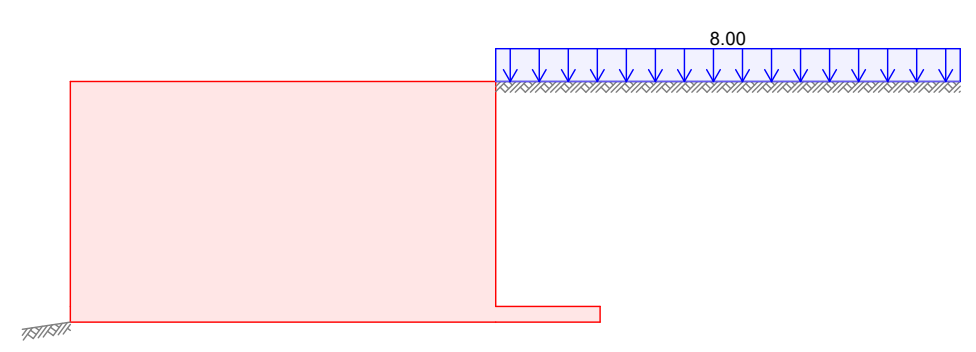
Auftrags-Nr.: 24-919 Position: L2

Datum: Seite:

18.12.2024

.te: 18

Qk.N



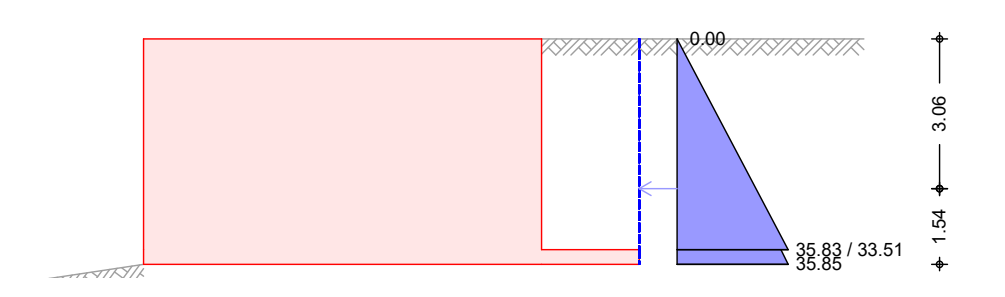
Erddruck

Berechnung nach DIN 4085:2017-08

Standsicherheit EW Gk.E.A

erhöhter aktiver Erddruck aus Bodeneigengewicht Anteil aktiver Erddruck $\mu = 0.50$

M 1:155



Erddruckspannungen

Z	K'agh	e' _{agh}
[m]	[-]	[kN/m²]
0.00	0.417	0.00
4.30	0.417	35.83
4.30	0.390	33.51
4.60	0.390	35.85

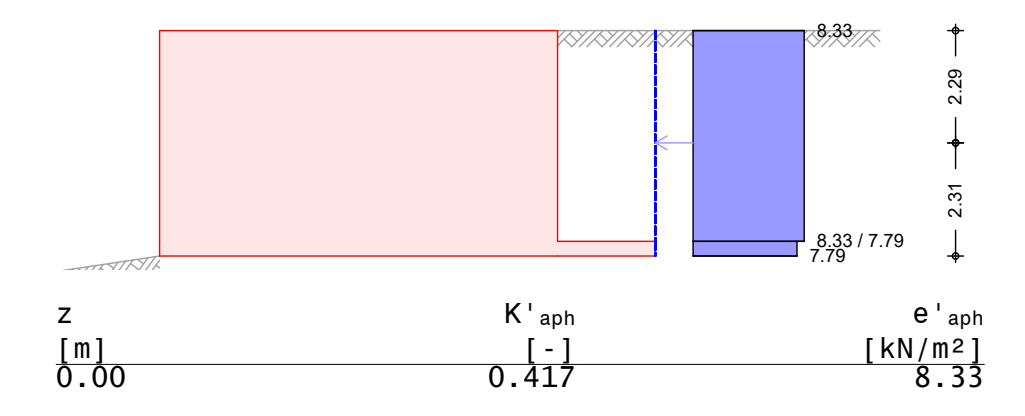
erhöhte aktive Erddruckkraft

 $E'_{ah} = 87.45 \text{ kN/m}$ $E'_{av} = 1.83 \text{ kN/m}$ $z_S = 3.06 \text{ m}$

EW Gk

erhöhter aktiver Erddruck aus Gleichlast erdseitig Lastordinate p = 20.00 kN/m^2

M 1:155



mb BauStatik S530.de, 2025.004

Baustatik - Tragwerksplanung - Bauphysik

Projekt: Sanierung und Neubau Wohnheim "Thomas Müntzer Auftrags-Nr.: 24-919

Position: L2

Datum: Seite:

18.12.2024 19

Z	Κ' _{aph}	e' _{aph}
[m] 4.30	[-]	[kN/m²]
4.30	0.417	8.33
4.60	0.390	7.79

erhöhte aktive Erddruckkraft

 $E'_{ah} = E'_{av} =$ 38.17 kN/m 0.41 kN/m $z_s =$

EW Qk.N

erhöhter aktiver Erddruck aus Gleichlast erdseitig Lastordinate $8.00 \, \text{kN/m}^2$

M 1:155



Z	K' _{aph}	e 'aph
[m]	[-]	[kN/m²]
0.00	0.417	3.33
4.30	0.417	3.33
4.60	0.390	3.12

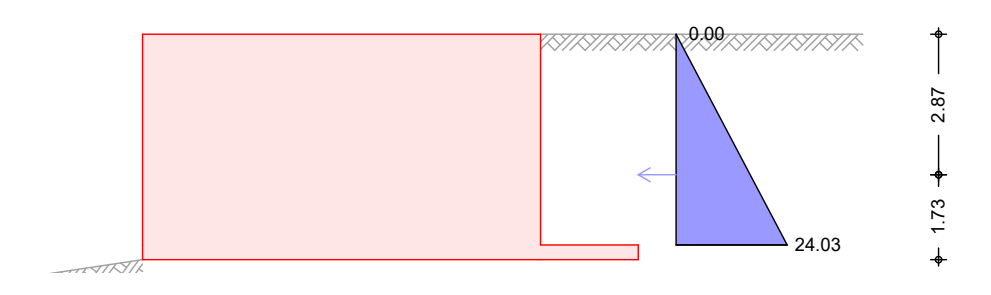
erhöhte aktive Erddruckkraft

 $E'_{ah} = E'_{av} =$ 15.27 kN/m 0.16 2.29 kN/m $z_s =$ m

Bemessung EW Gk.E.Ā

aktiver Erddruck aus Bodeneigengewicht

M 1:155



Erddruckspannungen

Z	K_{agh}	e _{agh}
[m]	[-]	[kN/m ²]
0.00	0.279	0.00
4.30	0.279	24.03

aktive Erddruckkraft

 $E_{ah} =$ 51.66 kN/m 18.80 kN/m $E_{av} =$ $z_s =$ 2.87 m

Verdichtungserddr.

Leichte Verdichtung, Nachgiebige Wand 15.00 Verdichtungserddruck $e_{vh} =$

Tiefe nach Bild 13 Tiefe nach Bild 13

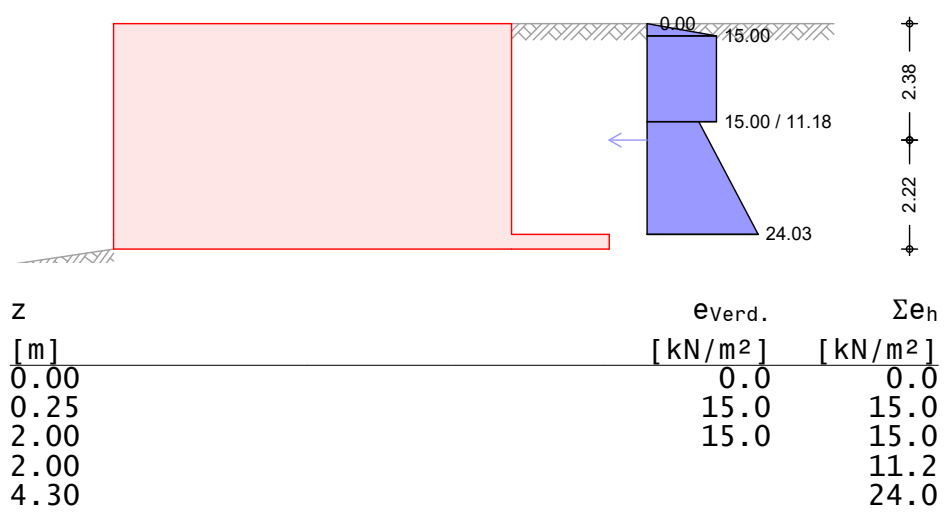
0.25 $z_p =$ m 2.00 m

kN/m²

Baustatik - Tragwerksplanung - Bauphysik

Projekt:Sanierung und Neubau Wohnheim "Thomas MüntzerDatum:18.12.2024Auftrags-Nr.:24-919Position:L2Seite:20

M 1:155

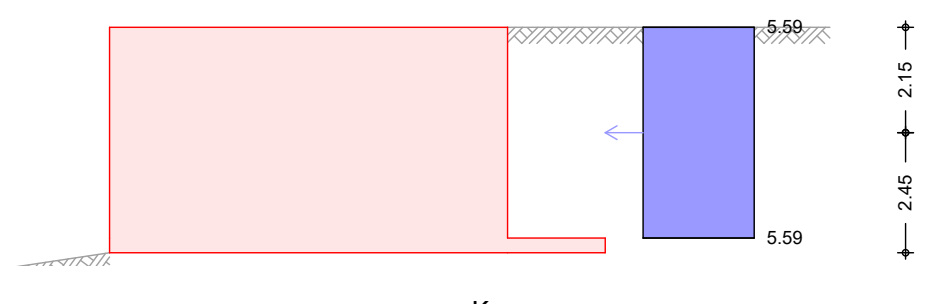


Verdichtungserddruckkraft

EW Gk

aktiver Erddruck aus Gleichlast erdseitig Lastordinate $p = 20.00 \text{ kN/m}^2$

M 1:155



Z	K _{aph}	e _{aph}
[m]	[-]	[kN/m²]
0.00	0.279	5.59
4.30	0.279	5.59

aktive Erddruckkraft

 $\begin{array}{lll} E_{ah} = & 24.03 & kN/m \\ E_{av} = & 8.75 & kN/m \\ z_{S} = & 2.15 & m \end{array}$

 8.00 kN/m^2

EW Qk.N

M 1:155



Baustatik - Tragwerksplanung - Bauphysik

Projekt: Sanierung und Neubau Wohnheim "Thomas Müntzer

Auftrags-Nr.: 24-919 Position: L2

Datum: Seite: 18.12.2024 21

Z	K _{aph}	e _{aph}
[m] 0.00	[-]	[kN/m²]
0.00	0.279	2.24
4.30	0.279	2.24

aktive Erddruckkraft

 $E_{ah} = 9.61 \text{ kN/m}$ $E_{av} = 3.50 \text{ kN/m}$ $Z_{S} = 2.15 \text{ m}$

Standsicherheit

Standsicherheitsnachweise nach DIN EN 1997-1:2014-03 ständige Situationen

Kippen

nach DIN 1054:2010-12, GZ EQU

Ek	M_{Ed}	V_{Ed}	e/b	zul e/b	η
	[kNm/m]	[kN/m]	[-]	[-]	[-]
4	619.21	442.28	0.138	1/2	0.28

Gleiten

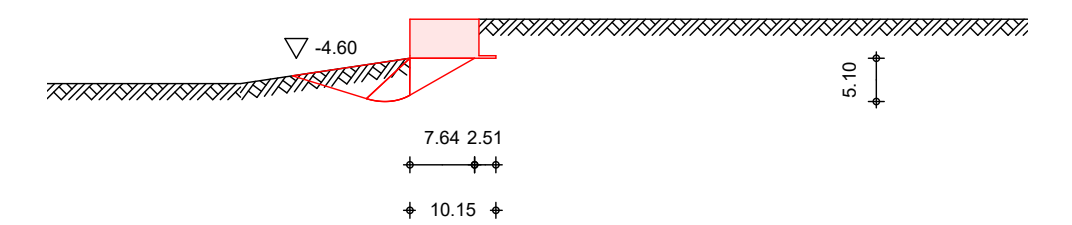
in Sohlfuge nach DIN EN 1997-1:2014-03, GZ GEO-2 Sohlreibungswinkel $\delta_k = 30.00\,$

Ek	V_k	R_k	$\gamma_{R,h}$	H_d	R_d	η
	[kN/m]	[kN/m]	[-]	[kN/m]	[kN/m]	[-]
11	402.57	232.42	1.10	192.49	211.29	0.91

Grundbruch

nach DIN EN 1997-1:2014-03, GZ GEO-2

м 1:894



Grundrissform: Streifen

		b' [m] 7.64	[m 0.0		α [°] 0.00	β [°] 8.50
z _{max} [m] 5.10		φ [°] 30.00	[kN/m² 0.0		γ ₁ N/m³] 0.00	γ ₂ [kN/m³] 20.00
[kN/		N [kN/m] 402.57	[° 19.2	δ] 9 <u>9</u>	ω [°] 00.00	m [-] 2.00
Einfluß Breite Tiefe Kohäsion	N ₀ 10.05 18.40 30.14	1.000 1.000 1.000	0.275 0.423 0.389	λ 0.628 0.735 0.834	1.000 1.000 1.000	N 1.73 5.72 9.78

Baustatik - Tragwerksplanung - Bauphysik

Sanierung und Neubau Wohnheim "Thomas Müntzer Projekt: 18.12.2024 Datum: Position: L2 Auftrags-Nr.: 24-919 Seite: 22

Ek	V_d	R_k	γR,v	R_d	η
	[kN/m]	[kN/m]	[-]	[kN/m]	[-]
9	543 35	2020 35	1 40	1443 11	0 38

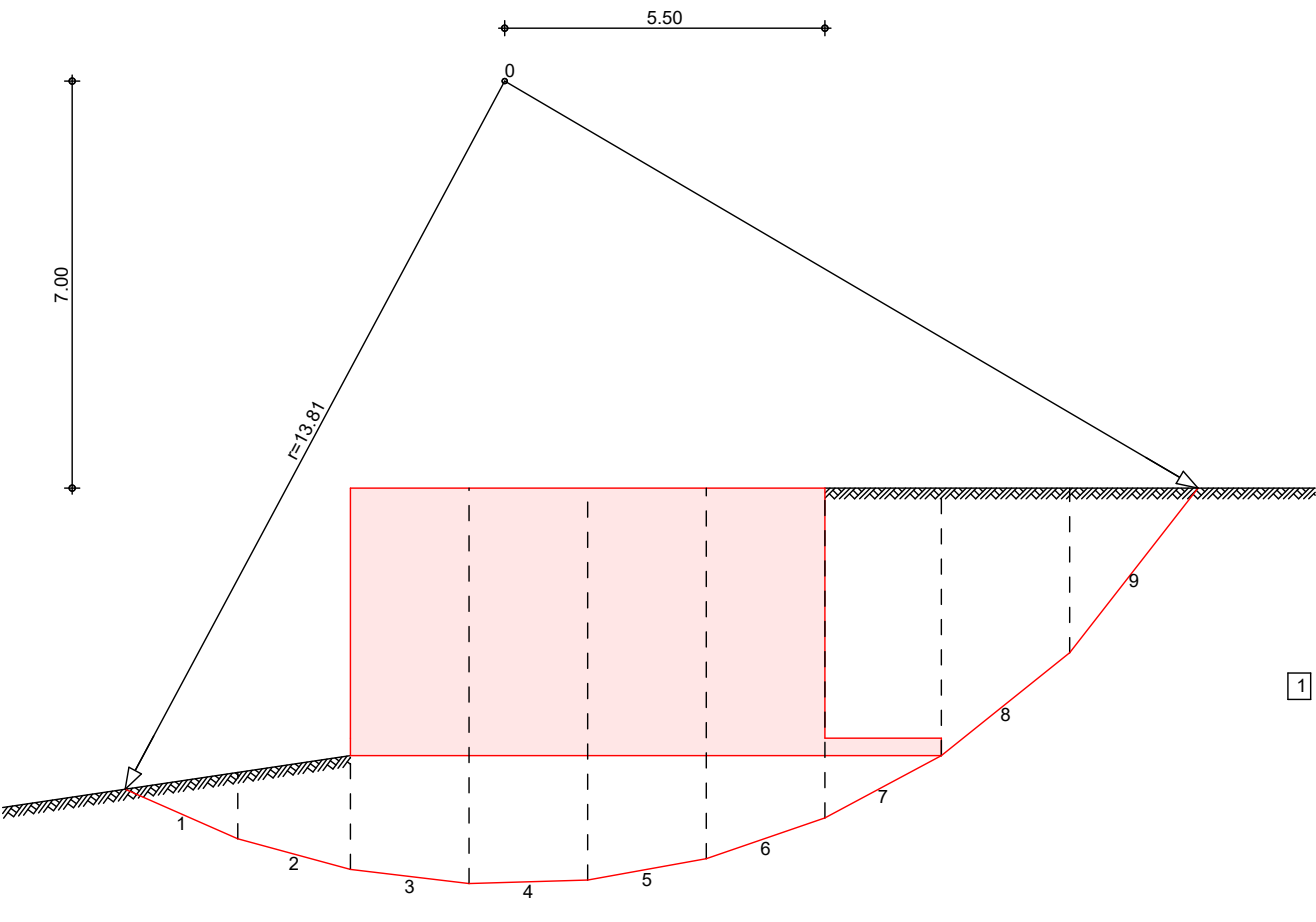
Geländebruch

nach DIN 1054 (12/10), A 11.1.1 Lamellenverfahren mit kreisförmiger Gleitlinie Anzahl untersuchter Gleitkreise maßgeb. Gleitkreismittelpunkt 661 n = -5.50 x = m 7.00 z = m

13.81 Halbmesser = m

Maßgebende Kombination (GZ GEO-3) Ek 19 TS-Beiwerte ständige Einwirkungen $\gamma_G =$ 1.00 veränderliche Einwirkungen γ_Q = 1.30 1.25 Reibungsbeiwert des Bodens γ_{φ} = Kohäsion des Bodens 1.25 $\gamma_c =$

maßgeb. Gleitkreis mit größter Ausnutzung M 1:130



					0		
Lamellenwerte	Nr.	X	Z	b	θ	φd	Cd
		[m]	[m]	[m]	[°]	[°]	[kN/m²]
	$\overline{1}$	-11.05	-5.60	1.93	-23.8	24.8	0.0
	2	-9.12	-6.29	1.93	-15.2	24.8	0.0
	3	-7.13	-6.68	2.04	-6.8	24.8	0.0
	4	-5.09	-6.77	2.04	1.7	24.8	0.0
	5	-3.06	-6.56	2.04	10.2	24.8	0.0
	6	-1.02	-6.02	2.04	19.0	24.8	0.0

Projekt: Sanierung Auftrags-Nr.: 24-919	und Neubau		im "Thomas osition:			Datum: Seite:	18.12.20
	Nr.	х	Z	b	θ	φd	Cd
		[m]	[m]	[m]	[°]	[°]	[kN/m²]
	7	1.00	-5.14	2.00	28.2	24.8	0.0
	8 9	3.10 5.31	-3.72 -1.42	2.20 2.20	38.8 52.1	24.8 24.8	0.0 0.0
_asten	Nr.		G_d	$P_{v,d}$	(G+P)*si	nθ	Т
Γangentialkräfte		[kN/		[kN/m]	[kN/		[kN/m]
	1 2 3 4 5 6 7 8 9	22. 59.		0.00 0.00	-8. -15.		12.63 30.94
	3	319.		0.00	-37.		153.27
	4	322.		-764.10	-13.		0.00
	5	314.		0.00	55.		140.61
	6	292.		0.00	95.		130.73
	/ 8	208. 163.		60.80 67.01	127. 144.		123.40 112.56
	9	62.		67.01	102.		72.43
	Σ	02.		0.101	449.		776.56
Momente aus Einwirkungen	infolg	e Eiger	n- und A	uflasten		6203.1 6203.1	L7 kNm/m L7 kNm/m
Momente aus Widerständen	infolg	e Tange	entialkr	äfte	M(Ti) <u>=</u> R _M =		97 knm/m 97 knm/m
Ausnutzung	η =	620	3.17 /	1072	6.97 =	0.	58 ≤ 1.0
1. Kernweite	nach D	IN EN 1	1997-1:2	014-03, G	Z SLS		
	Ek		M_{Ed}	V_{Ed}	e/b z	ul e/b	η
	22 ** nach 5		0.05 4	kN/m] ·02.40	[-] 0.132 tionen, 8.4.4	[-] 1/3;	[-] * 0.40
2. Kernweite				014-03, G		Adiseriiricc	rgkert
	Ek		M_{Ed}	V_{Ed}	e/b z	ul e/b	η
				kN/m]	[-] 0.132	[-]	[-]
	22			02.40	0.132	1/3	0.40
Zusammenfassung	Zusamm	enfassı	ung der	Nachweise			
Nachweise (GZT)	Nachweise im Grenzzustand der Tragfähigkeit						
	Nachweis						η
	Exposi		lassen				[-])K
	Kippen	n cahl	Fugo				OK 0.28
	Gleite Grundb		ıuge)К 0.91)К 0.38
	Geländ						K 0.58
	Bewehr		าไ)K
Nachweise (GZG)	Nachwe	eise in	n Grenzz	ust. der	Gebrauch	staugl	ichkeit
	Nachwe	is					η
							гэ
	$\overline{1.}$ Ker	nweite					[-] OK 0.40

Sanierung und Neubau Wohnheim "Thomas Müntzer

18.12.2024 Datum: Position: L3 Seite: Auftrags-Nr.: 24-919 24

Pos. L3 Lagesicherheit Garage im Bauzustand

Programm intern wird das Eigengewicht über die äußeren Abmessungen ermittelt. Nicht erfasst werden kann der Hohlraum, sodass das ermittelte Eigengewicht händisch als abhebende Last und das wahre Eigengewicht mit 155 kN angesetzt wird.

Eigengewicht gem. EDV

 $G_{k,EDV} = -809,63 \text{ kN/m}$

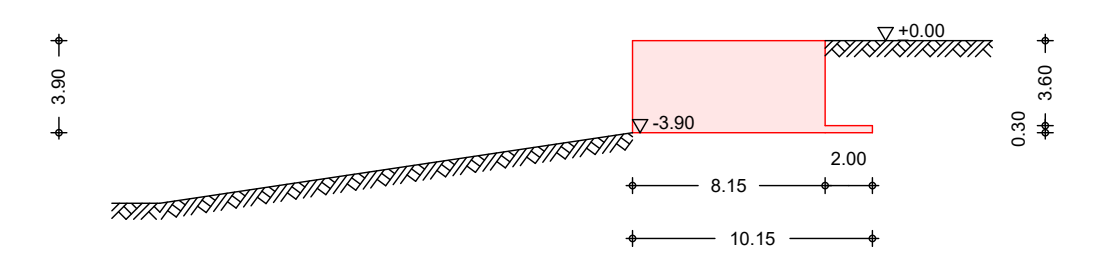
wahres Eigengewicht

 $G_k = (0.4 \cdot 0.7 + 9.65 \cdot 0.3 + 3.6 \cdot 0.3 + 8.15 \cdot 0.2 \cdot 0.3 \cdot 0.5 \cdot 2) \cdot 25 = 154.5 \text{ kN/m}$

Bodenkennwerte: Die angesetzten Bodenkennwerte müssen Baubeginn durch einen Baugrundgutachter bestätigt werden.

System

M 1:320



Geometrie

Wandschenkel	h[m]	$d_o[m]$	$lpha_{ t luft} [^{\circ}]$	$lpha_{ t erd} [^{\circ}]$
	3.60	8.15	0.00	0.00
Sporne		1[m]	ha[m]	$h_e[m]$
	erds.	2.00	0.30	0.30

Geländeoberfläche lufts. geböscht / erds. eben Gelände

	Z	β1	b ₁	β2
	[m]	[°]	[m]	[°]
Tuft	3.90	-8.50	20.00	0.00
erd	0.00	0.00	999.00	_

Baugrund

Boden h
$$\gamma$$
 γ' ϕ c_a c_p δ_a δ_p δ_0
$$\frac{[m] \quad [kN/m^3] \quad [°] \quad [kN/m^2] \quad [°] \quad [°] \quad [°] \quad [°]}{999.0 \quad 20.0 \quad 10.0 \quad 30.0 \quad - \quad - \quad 20.0 \quad 0.0 \quad 0.0 }$$

Expositionsklasse XC1

Belastungen

Eigengewicht	EW	Anteil	γ	G	
			[kN/m³]	[kN/m]	
	Gk	Gesamtlast Wand	25.00	809.63	
	c۷	Snorn ardsaitia	25 00	15 00	

mb BauStatik S530.de, 2025.004

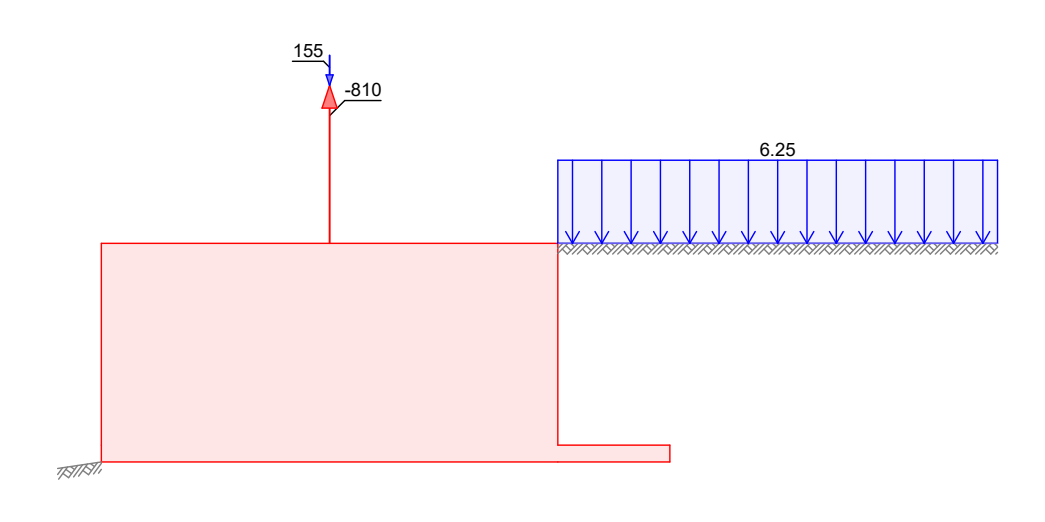
Baustatik - Tragwerksplanung - Bauphysik

Projekt:	Sanierung und Neubau V	ohnheim "Thomas Müntzer/	Datum:	18.12.2024
Auftrags-Nr.:	24-919	Position: L3	Seite:	25

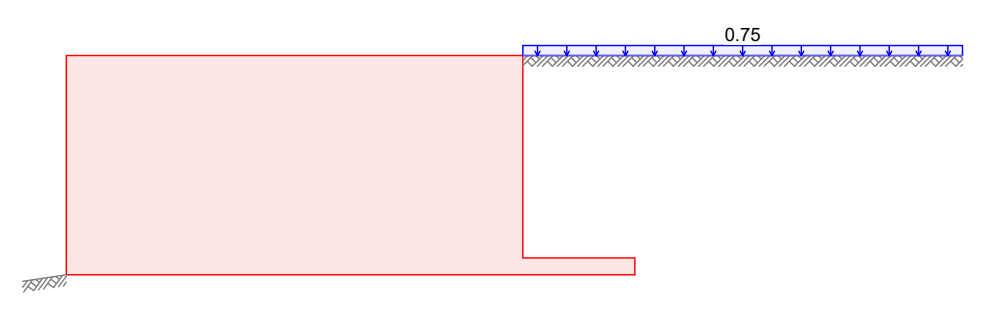
Marciago Mili 2+ 010						001101	_
	EW		Anteil			γ	G
						[kN/m³]	[kN/m]
	Gk		Wandscher			25.00	733.50
	Gk		Bodenkeil	l erdsei	itig	20.00	144.00
Gleichlasten	Nr.	EW					q
erdseitig							[kN/m²]
	1	Gk					6.25
	2	Qk.N					0.75
Linianlastan an Wand		=147			_	•	
Linienlasten an Wand	Nr.	⊨W		a_v	f _x	fz	m_y
				[m]	[kN/m]	[kN/m]	[kNm/m]
	1	Gķ		0.00	0.00	-809.63	0.00
	2	Gk		0.00	0.00	154.50	0.00

Belastungsgrafiken (einwirkungsbezogen) Grafik

Einwirkung Gk



Qk.N



Erddruck

Berechnung nach DIN 4085:2017-08

Standsicherheit

Baustatik - Tragwerksplanung - Bauphysik

Sanierung und Neubau Wohnheim "Thomas Müntzer Projekt: 18.12.2024 Datum: Position: L3 Auftrags-Nr.: 24-919 Seite: 26 EW Gk.E.A erhöhter aktiver Erddruck aus Bodeneigengewicht Anteil aktiver Erddruck M 1:145 0.00 1.31 30.00 / 28.06 30.40 Erddruckspannungen K'agh e'agh Ζ [m][kN/m2] 0.00 0.4170.00 0.417 3.60 30.00 3.60 0.390 28.06 3.90 0.390 30.40 erhöhte aktive Erddruckkraft E'ah =62.77 kN/m 1.55 2.59 kN/m $E'_{av} =$ $z_s =$ EW Gk erhöhter aktiver Erddruck aus Gleichlast erdseitig Lastordinate 6.25 kN/m^2 p = M 1:145 2.60 1.96 2.60 / 2.44 2.44 K'_{aph} Ζ e'aph [kN/m2] [m] 0.00 2.60 2.60 0.417 3.60 3.90 0.390 2.44 $E'_{ah} = E'_{av} =$ erhöhte aktive Erddruckkraft 10.11 kN/m 0.13 kN/m 1.94 $z_s =$ erhöhter aktiver Erddruck aus Gleichlast erdseitig EW Qk.N 0.75 kN/m^2 Lastordinate p =M 1:145 0.31 1.96 0.31 / 0.29 0.29

Projekt:	Sanierung un	d Neubau Wohnheim "Thomas Müntzer
Auftrags-Nr.:	24-919	Position: L3

Position: L3

Datum: Seite:

18.12.2024 27

Κ' _{aph}	e' _{aph}
[-]	[kN/m²]
0.417	0.31
0.417	0.31
0.390	0.29
	[-] 0.417 0.417

erhöhte aktive Erddruckkraft

 $E'_{ah} = E'_{av} =$ 1.21 kN/m kN/m 0.02 1.94 $z_s =$ m

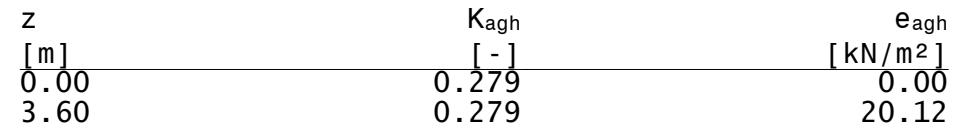
Bemessung EW Gk.E.A

aktiver Erddruck aus Bodeneigengewicht

M 1:145



Erddruckspannungen



aktive Erddruckkraft

36.21 kN/m $E_{ah} =$ 13.18 kN/m $E_{av} =$ 2.40 $z_s =$ m

Verdichtungserddr.

Leichte Verdichtung, Nachgiebige Wand Verdichtungserddruck

Tiefe nach Bild 13 Tiefe nach Bild 13

kN/m² 15.00 $e_{vh} =$ 0.25 $z_p =$ m $z_a =$ 2.00 m

M 1:145



Z	e _{Verd} .	Σeh
[m]	[kN/m²]	[kN/m²]
0.00	0.0	0.0
0.25	15.0	15.0
2.00	15.0	15.0
2.00		11.2
3.60		20.1

Verdichtungserddruckkraft

53.16 kN/m $E_{Vh} =$ 19.35 $E_{VV} =$ kN/m m

1.92 $z_s =$

Position: L3 Auftrags-Nr.: 24-919

Datum: Seite:

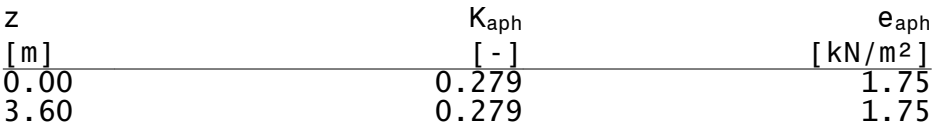
18.12.2024 28

EW Gk

aktiver Erddruck aus Gleichlast erdseitig Lastordinate 6.25 kN/m^2 p =

M 1:145





aktive Erddruckkraft

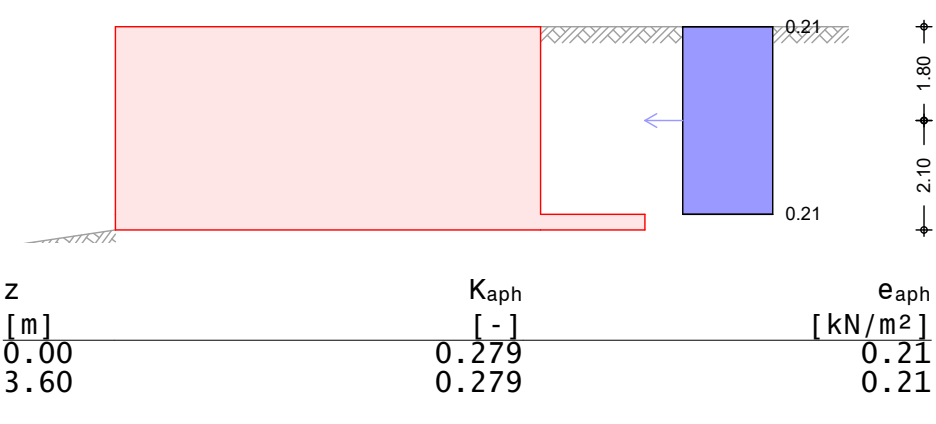
6.29 2.29 kN/m $E_{ah} =$ kn/m $E_{av} =$ 1.80 $z_s =$

EW Qk.N

aktiver Erddruck aus Gleichlast erdseitig Lastordinate

p = 0.75 kN/m^2

M 1:145



aktive Erddruckkraft

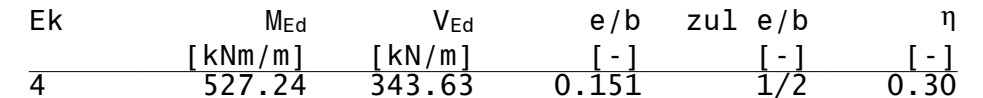
0.75 kN/m $E_{ah} =$ 0.27 kN/m $E_{av} =$ 1.80 $z_s =$ m

Standsicherheit

Standsicherheitsnachweise nach DIN EN 1997-1:2014-03 ständige Situationen

Kippen

nach DIN 1054:2010-12, GZ EQU



Gleiten

in Sohlfuge nach DIN EN 1997-1:2014-03, GZ GEO-2 Sohlreibungswinkel $\delta_k = 30.00$

Ek	V_k	R_k	γR,h	H_d	R_d	η
	[kN/m]	[kN/m]	[-]	[kN/m]	[kN/m]	[-]
11	312.69	180.53	1.10	100.20	164.12	0.61

18.12.2024

Baustatik - Tragwerksplanung - Bauphysik

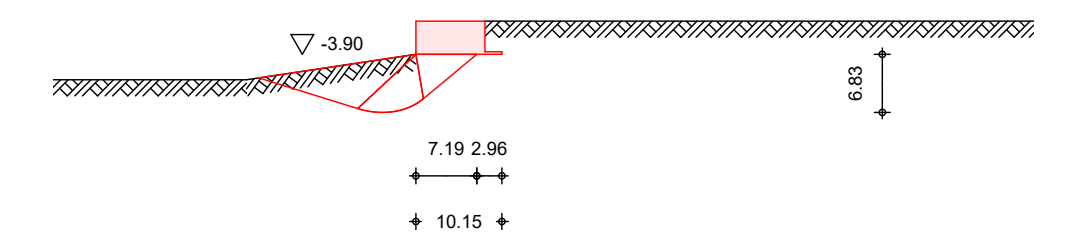
Projekt: Sanierung und Neubau Wohnheim "Thomas Müntzer

Datum: Position: L3 Seite: Auftrags-Nr.: 24-919 29

Grundbruch

nach DIN EN 1997-1:2014-03, GZ GEO-2

м 1:894



Grundrissform: Streifen

		b'		d	α	β
		[m]	[n	1]	[°]	[°]
		7.19	0.0)Ō	0.00	8.50
Zmax		φ		С	γ1	γ2
[m]		[°]	[kN/m²	2]	[kN/m³]	[kN/m³]
6.83		30.00	0.0	00	0.00	20.00
				C		
	T	N		δ	ω	m
[kN/	m] [kN/m]		<u>'</u>]	[°]	[-]
74.	09 3	312.69	13.3	33	90.00	2.00
Einfluß	No	ν	i		λ ξ	N
Breite	10.05	1.000	0.444	0.62	,	2.80
Tiefe	18.40	1.000	0.582	0.7		7.88
Kohäsion	30.14	1.000	0.558	0.83	34 1.000	14.03
Ek	\	/ _d	R_k	γR,v	R_d	η
	[kN/m] [kN/	/ m]	[-]	[kN/m]	[-]
9	422.0	1 2892.		L.40	2066.05	0.20

Geländebruch

nach DIN $1054\ (12/10)$, A 11.1.1 Lamellenverfahren mit kreisförmiger Gleitlinie Anzahl untersuchter Gleitkreise n = 14 maßgeb. Gleitkreismittelpunkt -2.00 x = m 0.50 z = m Halbmesser 7.56 m

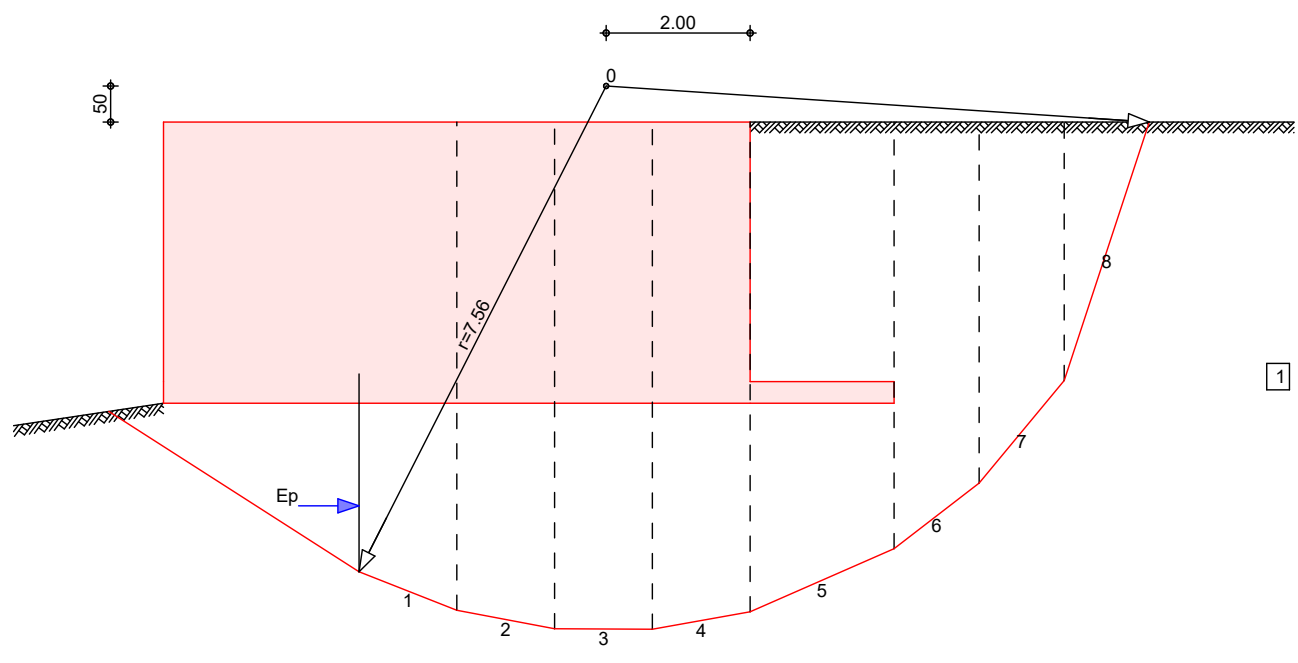
TS-Beiwerte

Maßgebende Kombination (GZ GEO-3) Ek 19 1.00 1.30 1.25 ständige Einwirkungen veränderliche Einwirkungen $\gamma_G =$ $\gamma_Q =$ Reibungsbeiwert des Bodens $\gamma_{\phi} =$ Kohäsion des Bodens 1.25 $\gamma_c =$

Projekt: Sanierung und Neubau Wohnheim "Thomas Müntzer

18.12.2024 Datum: Position: L3 Auftrags-Nr.: 24-919 Seite: 30

maßgeb. Gleitkreis mit größter Ausnutzung M 1:105



Lamellenwerte	Nr.	x	z	b	θ	φd	Cd
		[m]	[m]	[m]	[°]	[°]	[kN/m²]
	1	-4.75	-6.50	1.36	-21.5	24.8	0.0
	2	-3.40	-6.90	1.36	-10.7	24.8	0.0
	3	-2.04	-7.03	1.36	-0.3	24.8	0.0
	4	-0.68	-6.91	1.36	10.1	24.8	0.0
	5	1.00	-6.35	2.00	23.6	24.8	0.0
	6	2.59	-5.46	1.18	37.6	24.8	0.0
	7	3.77	-4.30	1.18	50.3	24.8	0.0
	8	4.95	-1.79	1.18	71.8	24.8	0.0

Lasten	Nr.	G_d	$P_{v,d}$	(G+P)*sinθ	Т
Tangentialkräfte		[kN/m]	[kN/m]	[kN/m]	[kN/m]
	1	203.20	-655.13	165.37	0.00
	2	213.93	0.00	-39.65	104.94
	3	217.50	0.00	-1.08	100.57
	4	214.31	0.00	37.59	96.72
	5	257.20	12.50	108.13	123.95
	6	129.11	8.54	83.98	68.54
	7	101.54	8.54	84.67	62.81
	8	42.37	8.54	48.35	44.91
	Σ			487.35	602.45

Momente aus Einwirkungen	infolge	Eigen- und Auflas		= 3685.28 = 3685.28	
Momente aus Widerständen	infolge infolge	Tangentialkräfte Erdwiderstand	M(Ep) =	= 4555.67 = 3132.70 = 7688.36	kNm/m
Ausnutzung	n =	3685.28 /	7688.36	= 0.48	≤ 1.0

	Baustatik - Tragwerksplanung - Bauphysik
Projekt: Sanierung un Auftrags-Nr.: 24-919	nd Neubau Wohnheim "Thomas Müntzer Datum: 18.12.2024 Position: L3 Seite: 31
1. Kernweite	nach DIN EN 1997-1:2014-03, GZ SLS
	$\begin{array}{c ccccccccccccccccccccccccccccccccccc$
2. Kernweite	nach DIN EN 1997-1:2014-03, GZ SLS
	$\begin{array}{c ccccccccccccccccccccccccccccccccccc$
Bemessung (GZT)	
Biegebemessung	Berücksichtigung der Mindestlängsbewehrung nach DIN EN 1992-1-1/NA:2011-01, NDP Zu 9.2.1.1(1)
Wand	$ \begin{array}{c ccccccccccccccccccccccccccccccccccc$
Sporn erdseitig	$ \begin{array}{c ccccccccccccccccccccccccccccccccccc$
Querkraftbemessung	Berücksichtigung der Mindestquerkraftbewehrung nach DIN EN 1992-1-1/NA, NCI zu 9.3.2(2)
Wand	$ \begin{array}{cccccccccccccccccccccccccccccccccccc$
Sporn erdseitig	$\begin{array}{c ccccccccccccccccccccccccccccccccccc$
erf. Bewehrung	Biege- und Querkraftbewehrung
Wand	$ \begin{array}{cccccccccccccccccccccccccccccccccccc$
Sporne	a_{so} a_{su} a_{sw}
	$\begin{array}{c ccccccccccccccccccccccccccccccccccc$
	M Mindestlängsbewehrung nach DIN EN 1992-1-1/NA, NDP Zu 9.2.1.1(1) M Mindestquerkraftbewehrung nach DIN EN 1992-1-1/NA, NCI zu 9.3.2(2)
Nachweise (GZG)	Begrenzung der Rissbreiten nach DIN EN 1992-1-1, 7.3

mb BauStatik S530.de, 2025.004

25

6.45

mm

 $d_s =$

Stabdurchmesser

Verhältnis Es/Ecm

vertikale Bewehrung

Rissbreitenbegrenzung für Lastbeanspruchung wirksame Betonzugfestigkeit $f_{\text{ct,eff}} = 2.60 \text{ N/mm}^2$

Baustatik - Tragwerksplanung - Bauphysik

Sanierung und Neubau Wohnheim "Thomas Müntzer Projekt: 18.12.2024 Datum: Position: L3 Seite: Auftrags-Nr.: 24-919 32

Z	Ek	N _{Ed} ,perm	M _{Ed} ,perm
[m]		[kN/m]	[kNm/m]
3.60	42	-100.09	-12.75

Rissbreitennachweis nach 7.3.4 kann entfallen, da im gesamten Querschnitt nur Druckkräfte wirken.

Zusammenfassung

Zusammenfassung der Nachweise

Nachweise (GZT)

Nachweise im Grenzzustand der Tragfähigkeit

Nachweis		η
		[-]
Expositionsklassen	OK	
Kippen	OK	0.30
Gleiten Sohlfuge	OK	0.61
Grundbruch	OK	0.20
Geländebruch	OK	0.48
Bewehrungswahl	OK	

Nachweise (GZG)

Nachweise im Grenzzust. der Gebrauchstauglichkeit

Nachweis		η
		[-]
1. Kernweite	OK	0.44
2. Kernweite	OK	0.44

Sanierung und Neubau Wohnheim "Thomas Müntzer Projekt:

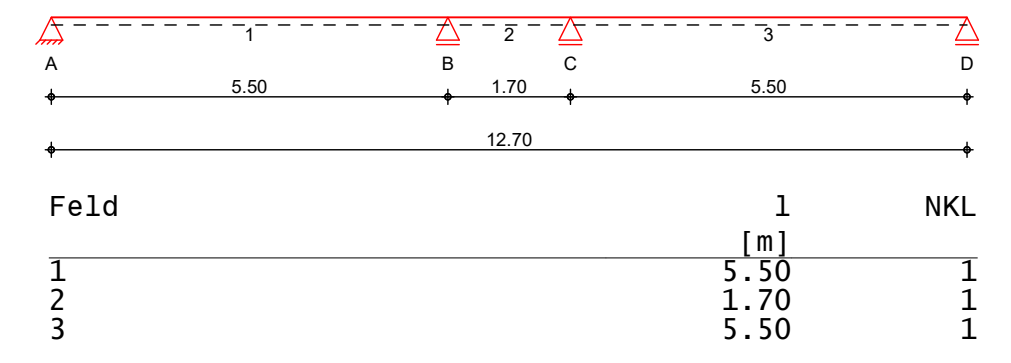
18.12.2024 Datum: Position: 1 Auftrags-Nr.: 24-919 Seite: 33

Brettsperrholzdachdecke Pos. 1

System

Brettsperrholz-Dreifeldplatte

M 1:105



Auflager

Abmessungen /

Nutzungsklassen

Aufl.	X	b	Transl.	Rotat.
	[m]	[cm]	[kN/m]	[kNm/rad]
A	0.00	10.00	starr	frei
В	5.50	10.00	starr	frei
C	7.20	10.00	starr	frei
D	12.70	10.00	starr	frei

Material/ Querschnitt

Material h [cm] DERIX X-LAM L-140-5S 14.0

Einwirkungen

Einwirkungen nach DIN EN 1990:2010-12

Gk Eigenlasten

Ständige Einwirkungen

Qk.S Schnee

Schnee- und Eislasten für Orte bis NN + 1000 m

min/max Werte Qk.S

Qk.W Wind

Windlasten

Ok.W min/max Werte

Anströmrichtung $\Theta = 0^{\circ}$ Qk.W.000 Anströmrichtung $\Theta = 90^{\circ}$ Qk.W.090

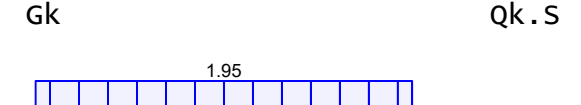
Belastungen

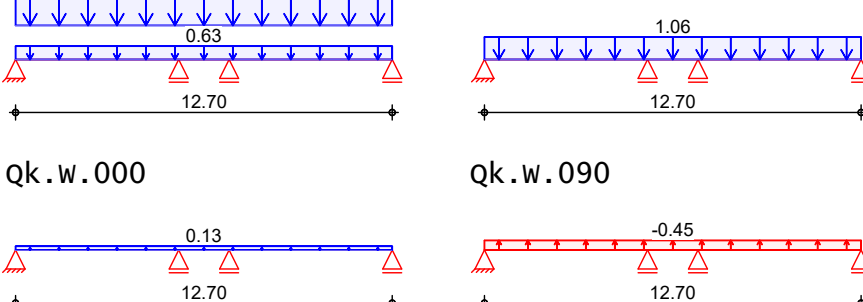
Belastungen auf das System

Grafik

Belastungsgrafiken (einwirkungsbezogen)

Einwirkungen





Baustatik - Tragwerksplanung - Bauphysik

Projekt: Sanierung und Neubau Wohnheim "Thomas Müntzer Datum: 18.12.2024 Auftrags-Nr.: 24-919 Position: 1 Seite: 34

	enlasten		Gleichflächenlasten						
in z-F	Richtung		Feld	Komm.	а	S		q _{li}	qre
					[m]	[m]	[kN/r	n2] [kN/m²]
Einw.	Gk	(a)	1	Eigengew	0.00	12.70			0.63
		(b)	_1		0.00	12.70			1.95
Einw.			1		0.00	12.70			1.06
	Qk.W.000		_1		0.00	12.70			0.13
Einw.	Qk.W.090		1		0.00	12.70			-0.45
(a)			BSP-D	ecke		0.14*4	4.5 =	0.63	kN/m²
(b)			Abdio	htungsbahn	2-lagig	0.	.14 =	0.14	kN/m²
()				ı- und Schu			.03 =	0.03	
				edämmung (2			.24 =	0.24	
			Dampf	sperre `		0.	.07 =	0.07	kN/m²
					 Leitunger 	n 0.	.24 =	0.24	kn/m²
				reserve	J		.03 =	0.03	kN/m²

Kombinationen

Kombinationsbildung nach DIN EN 1990 Darstellung der maßgebenden Kombinationen

ständig/vorüberg.
Brand
selten
quasi-ständig Lagesicherheit
Lagesicherheit
st./vor. Auflagerkr.

Ek		Σ (γ*ψ*EW)		
1	st	1.35*Gk		
18		1.00*Gk	+0.20*Qk.W.000	
23		1.00*Gk	+1.00*Qk.S	+0.60*Qk.W.000
21		1.00*Gk	·	·
26	ku/sk	0.90*Gk	+1.50*Qk.W.090	
32	ku/sk	1.35*Gk	+1.50*Qk.S	+0.90*Qk.W.000
33	ku/sk	1.00*Gk	+1.50*Qk.W.090	·
st:	ständ	lig	•	
ku/s	k: kurz/	sehr kurz		

Bem.-schnittgrößen

Bemessungsschnittgrößen

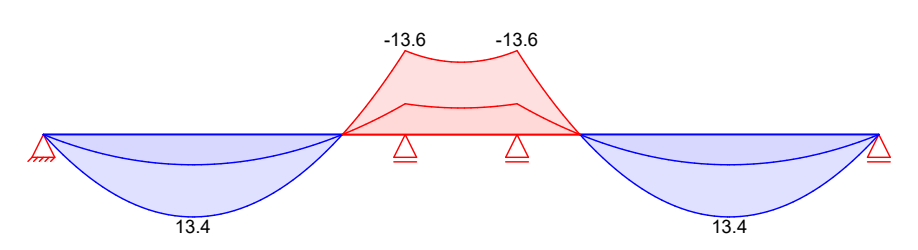
Gründach mit ≤ 120kg/qm

Grafik

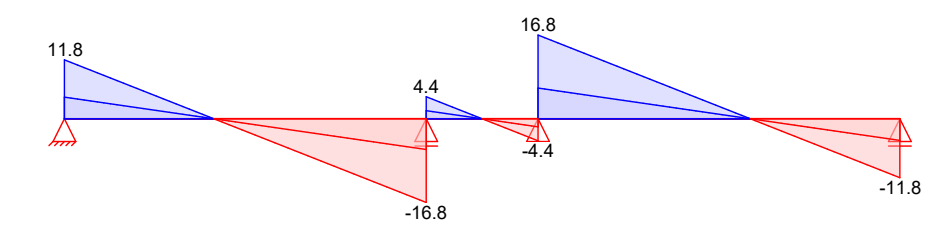
Schnittgrößen (Umhüllende)

Kombinationen

Moment $M_{y,d}[kNm/m]$



Querkraft $V_{z,d}[kN/m]$



Baustatik - Tragwerksplanung - Bauphysik

Sanierung und Neubau Wohnheim "Thomas Müntzer Projekt: 18.12.2024 Datum: Position: 1 Seite: Auftrags-Nr.: 24-919 35

Tabelle

Schnittgrößen (Umhüllende)

	Х	$M_{y,d,min}$	Ek	$M_{y,d,max}$	Ek	$V_{z,d,min}$	Ek	$V_{z,d,max}$	Ek
	[m]	[kNm/m]		[kNm/m]		[kN/m]		[kN/m]	
Feld 1	0.00	0.00	2	0.00	6	4.33	2	11.79	6
	2.27	4.92	2	13.40	6	0.00	2	0.00	6
	5.50	-13.64	6	-5.00	2	-16.75	6	-6.15	2
Feld 2	0.00	-13.64	6	-5.00	2	1.62	2	4.41	6
	0.80	-11.77	6	-4.32	2	0.10	2	0.26	6
	1.70	-13.64	6	-5.00	2	-4.41	6	-1.62	2
Feld 3	0.00	-13.64	6	-5.00	2	6.15	2	16.75	6
	3.23	4.92	2	13.40	6	0.00	6	0.00	2
	5.50	0.00	2	0.00	6	-11.79	6	-4.33	2

Bem.-verformungen

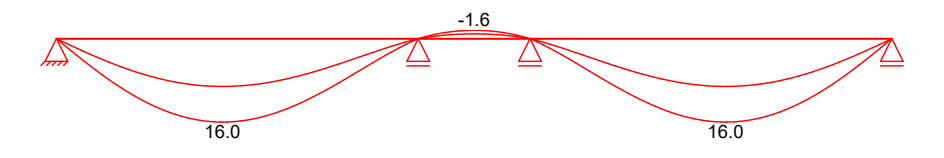
Bemessungsverformungen

Grafik

Verformungen (Umhüllende)

Kombinationen

Verformung wz,d[mm]



Tabelle

Verformungen (Umhüllende)

	X	Wz,d,min Ek	$W_{z,d,max}$ Ek
	[m]	[mm]	[mm]
Feld 1	0.00	0.00 22	0.00 23
	2.53	9.18 22	16.02 23
	5.50	0.00 22	0.00 23
Feld 2	0.00	0.00 22	0.00 23
	0.85	-1.61 23	-0.92 22
	1.70	0.00 22	0.00 23
Feld 3	0.00	0.00 22	0.00 23
	2.97	9.18 22	16.02 23
	5.50	0.00 22	0.00 23

Mat./Querschnitt

Werte für den Gesamtquerschnitt DERIX_X-LAM L-140-5S

W. u. J. Derix. Zulassung ETA-11/0189

Festigkeit	Material	fm,k	ft,0,k	f c,0,k	fv,k	fv,s,k	f _{R,k}
		$[N/mm^2]$	$[N/mm^2]$	$[N/mm^2]$	$[N/mm^2]$	$[N/mm^2]$	$[N/mm^2]$
	NH C24	24.0	14.5	21.0	4.0	2.30	1.10

Steifigkeitsmodul	Material	Eo,mean	Gmean	G R, mean
		$[N/mm^2]$	$[N/mm^2]$	$[N/mm^2]$
	NH C24	11000	690	50

Aufbau	Lage	Werkstoff	Faser	Füllgrad	Dicke	Wichte
				[%]	[mm]	$[kN/m^3]$
	$\overline{1}$	NH C24	0°	100	40.0	4.2
	2	NH C24	90°	100	20.0	4.2

2	NIII C24	90°	100	20.0	1 2
2	NH C24	90	100	20.0	4.2
3	NH C24	0°	100	20.0	4.2
4	NH C24	90°	100	20.0	4.2
5	NH C24	0 °	100	40.0	4.2

Projekt: Sanierung und Neubau Wohnheim "Thomas Müntzer

Auftrags-Nr.: 24-919 Position: 1

Abbrandrate

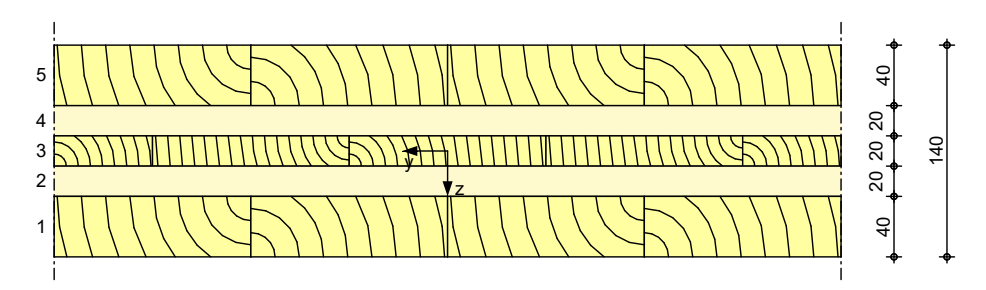
Datum: Seite: 18.12.2024 36

Gesamtdicke

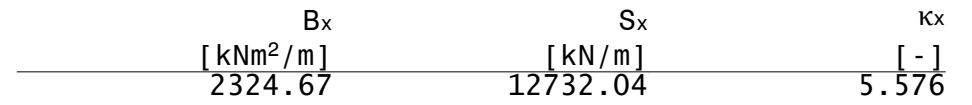
Gesamtwichte

h = 14.00 cm $Y = 4.50 \text{ kN/m}^3$

M 1:5

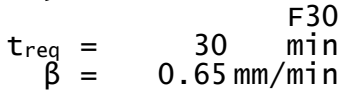


Querschnittswerte

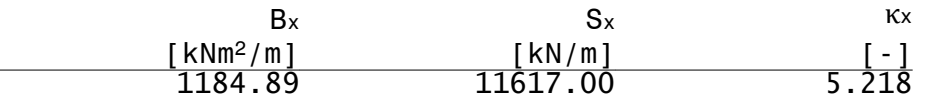


Brandfall

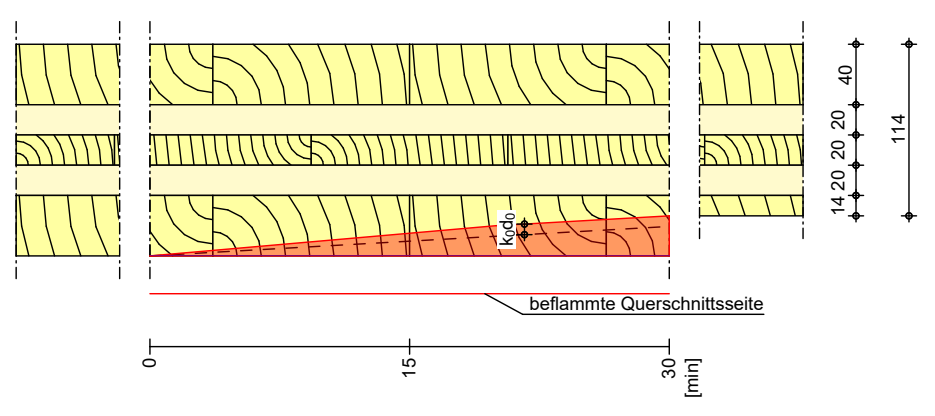
einseitige Brandbeanspruchung (unten)
Feuerwiderstandsklasse
Feuerwiderstandsdauer t_{reg} = 30



Querschnittswerte Restquerschnitt



Grafik M 1:5



Nachweise (GZT)

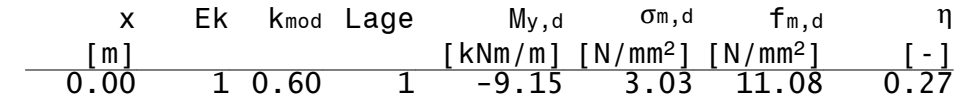
Nachweise im Grenzzustand der Tragfähigkeit nach DIN EN 1995-1-1

- Für den Schubnachweis wird die maßgebende Querkraft im Abstand h vom Auflagerrand nach DIN EN 1995-1-1/NA, NCI Zu 6.1.7 (NA.5) verwendet

Normalspannung

Biegespannungsnachweis für Beanspruchungen in Längsrichtung

Feld 2



Baustatik - Tragwerksplanung - Bauphysik

Sanierung und Neubau Wohnheim "Thomas Müntzer Projekt:

Position: 1 Auftrags-Nr.: 24-919

Datum: Seite: 18.12.2024 37

Schubs	spannung
--------	----------

Schubspannungsnachweis für Beanspruchungen in

Längsrichtung

X	Ek	\mathbf{k} mod	Lage	Vz,d	τd	fv,d	η
[m]				[kN/m]	$[N/mm^2]$	$[N/mm^2]$	[-]
0.19	1	0.60	3	10.58	0.10	1.85	0.06

Rollschubspannungsnachweis für Beanspruchungen in Längsrichtung

X	Ek	k_{mod}	Lage	$V_{z,d}$	τd	f R,d	η
[m]				[kN/m]	$[N/mm^2]$	$[N/mm^2]$	[-]
0.19	1	0.60	2	10.58	0.10	0.51	0.20

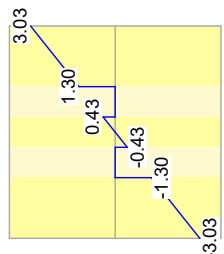
Grafik

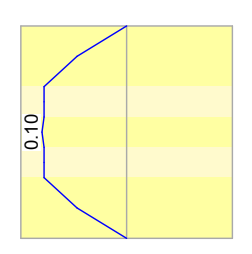
Feld 3

Feld 3

Spannungsverlauf [N/mm²] für maßgebende Kombinationen

Normalsp. σ_d (Ek 1)





Schubsp. τ_d (Ek 1)

Auflagerpressung Abs. 6.1.5

Nachweis der Auflagerpressung

Auflager	Α
Auflager	В
Auflager	C
Auflager	D

EK	K_{mod}	⊦d	A_{ef}	K _{c90}	σ_{c90d}	T* _{c90d}	η
	[-]					$[N/mm^2]$	
1	0.60	7.91	1300.0	1.75	0.06	2.02	0.03
1	0.60	14.20	1600.0	1.75	0.09	2.02	0.04
1	0.60	14.20	1600.0	1.75	0.09	2.02	0.04
1	0.60	7.91	1300.0	1.75	0.06	2.02	0.03
f*c90d:	kc90 * fc90d						

Lagesicherheit DIN EN 1990, 6.4.2

Lagesicherheitsnachweis in vertikaler Richtung nach NDP zu A1.3.1(3)

Autl.	ΕK	Fd,dst	Fd,stb	η
		[kN/m]	[kN/m]	[-]
A	26	-1.53	5.28	0.29
В	26	-2.75	9.47	0.29
C	26	-2.75	9.47	0.29
D	26	-1.53	5.28	0.29

Nachweise (GZG)

Nachweise im Grenzzustand der Gebrauchstauglichkeit nach DIN EN 1995-1-1

Verformungen

Nachweise der Verformungen

vei i vi illullueli			· · · · · · · · · · · · · · · · · · ·	•			
Abs. 7.2	X	Ek	Norm	W_{vorh}		W_{zul}	η
	[m]			[mm]		[mm]	[-]
Feld 1		m, NKL	1)				
	2.53	23	Winst	12.3	1/300=	18.3	0.67
	2.53	23	Wfin	17.5	1/200=	27.5	
	0.00	21	Wnet,fin	_	1/0=	inf	0.00
Feld 2		m, NKL	1)				
	0.00	23	Winst	_	1/300=	5.7	0.00
	1.70	23	Wfin	_	1/200=		0.00
	0.00	21	Wnet,fin	_	1/0=	inf	0.00
Feld 3		m, NKL	1)				
	2.97	23	Winst	12.3	1/300=	18.3	
	2.97	23	Wfin	17.5	1/200=	27.5	0.63
	0.00	21	Wnet,fin	_	1/0=	inf	0.00

Baustatik - Tragwerksplanung - Bauphysik

Projekt: Sanierung und Neubau Wohnheim "Thomas Müntzer Datum: 18.12.2024 Auftrags-Nr.: 24-919 Position: 1 Seite: 38

> W_{inst}: Nachweis der elastischen Durchbiegung W_{fin}: Nachweis der Enddurchbiegung

Wnet, fin: Nachweis des Durchhangs

Negative Verformungen wurden zur Bemessung nicht berücksichtigt.

Nachweise (Brand)

Nachweise der Feuerwiderstandsfähigkeit nach DIN EN 1995-1-2. 4.2.2

- Anforderung Feuerwiderstandsklasse: F30
- Nachweis der Feuerwiderstandsdauer t_{reg} = 30 min
- 1-seitige Beflammung
- Methode mit reduziertem Querschnitt
- Für den Schubnachweis wird die maßgebende Querkraft im Abstand h vom Auflagerrand nach DIN EN 1995-1-1/NA, NCI Zu 6.1.7 (NA.5) verwendet

Brandfall

Brandbeanspruchung

t_{req} [min]

einseitig (unten)

Normalspannung

Schubspannung

Biegespannungsnachweis für Beanspruchungen in

Längsrichtung

Feld 2

Feld 3

Schubspannungsnachweis für Beanspruchungen in

Längsrichtung

Х	Ek	${\sf k}$ mod	Lage	Vz,d	τd	fv,d	η
[m]				[kN/m]	$[N/mm^2]$	$[N/mm^2]$	[-]
0.19	18	1.00	1	7.92	0.10	4.60	0.02

Rollschubspannungsnachweis für Beanspruchungen in Längsrichtung

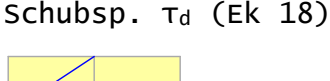
X	Ek	${\sf k}$ mod	Lage	V_{z} ,d	τd	f R,d	η
[m]				[kN/m]	$[N/mm^2]$	$[N/mm^2]$	[-]
0.19	18	1.00	2	7.92	0.10	1.27	0.08

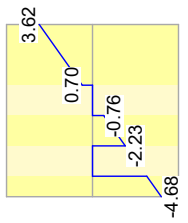
Grafik

Feld 3

Spannungsverlauf [N/mm²] für maßgebende Kombinationen

Normalsp. σ_d (Ek 18)







Auflagerkräfte

Charakteristische und Bemessungsauflagerkräfte

Char. Auflagerkr.

	Aufl.	F _{z,k}
		[kN/m]
Einw. <i>Gk</i>	A	5.86
	В	10.52
	С	10.52
	D	5.86
Einw. <i>Qk.S</i>	A	2.41

Baustatik - Tragwerksplanung - Bauphysik

Projekt: Sanierung u Auftrags-Nr.: 24-919	nd Neubau Wohnheim "Tho Positior		Datum: Seite:	18.12.2024
	Aufl.			F _{z,k} [kN/m]
	B C			4.32 4.32
Einw. <i>Qk.W.000</i>	D A			2.41 0.30
•	B C			0.53 0.53
Einw. <i>Qk.W.090</i>	D A			0.30
Ziiiii Qxiiiioso	B C			-1.83 -1.83
	D			-1.02
Bemauflagerkräfte ständig/vorüberg.	Aufl.	Fz.d.min EK	_	. EV
standing/ vor aber g.		[kN/m]	[kN	d,max EK /m]
	A B	4.33 33 7.77 33		79 32 16 32
	C D	7.77 33 4.33 33		16 32 79 32
Zusammenfassung	Zusammenfassung de	r Nachweise		
Nachweise (GZT)	Nachweise im Gren	nzzustand der Tra	gfähigkeit	<u>.</u>
	Nachweis	Feld/Auflager	x [m]	η
	Normalspannung	Feld 2	0.00 0	
	Schubspannung Rollschubspannung	Feld 3 Feld 3	0.19 0 0.19 0	
	Auflagerpressung Lagesicherheit	Auflager B	0	
Nachweise (Brand)	Brandfall im Gren	nzzustand der Tra	gfähigkeit	:
	Nachweis	Feld/Auflager	X	η
	Normalspannung	Feld 2	[m] 0.00 O	
	Schubspannung Rollschubspannung	Feld 3 Feld 3	$ \begin{array}{ccc} 0.19 & 0 \\ 0.19 & 0 \end{array} $	
Nachweise (GZG)	Nachweise im Gren	nzzust. der Gebra	uchstaugli	chkeit
	Nachweis	Feld	x	η
	Anfangsdurchbieg. Enddurchbiegung	Feld 1 Feld 1	[m] 2.53 O 2.53 O	

Proiekt: Sanierung und Neubau Wohnheim "Thomas Müntzer

18.12.2024 Datum: Position: 2 Seite: Auftrags-Nr.: 24-919 40

BSH-Deckenunterzug Pos. 2

Mindestauflagerbreite ≥ 10cm

Holz-Einfeldträger System M 1:45 В Abmessungen / Feld 1 lef.m NKL Nutzungsklassen [m][m]1 4.95 4.95 **Auflager** Aufl. b Transl. Rotat. Х [kN/m] [kNm/rad] [m] [cm] 0.00 10.00 frei starr 4.95 В 10.00 frei starr Material BSH GL24c Querschnitt b/h = 20/36 cmEinwirkungen nach DIN EN 1990:2010-12 Einwirkungen Gk Eigenlasten Ständige Einwirkungen Qk.S Schnee Schnee- und Eislasten für Orte bis NN + 1000 m Qk.s min/max Werte Ok.W Wind Windlasten Qk.W min/max Werte Qk.W.000 Anströmrichtung $\Theta = 0^{\circ}$ Qk.W.090 Anströmrichtung $\Theta = 90^{\circ}$ Belastungen auf das System Belastungen Belastungsgrafiken (einwirkungsbezogen) Grafik Einwirkungen Gk Qk.S 4.32 0.3

4.95

0.53

4.95

Qk.W.000

Qk.W.090

4.95

Baustatik - Tragwerksplanung - Bauphysik

Sanierung und Neubau Wohnheim "Thomas Müntzer Projekt: 18.12.2024 Datum: Position: 2 Seite: Auftrags-Nr.: 24-919 41

Streckenlasten	Gleichlasten				
in z-Richtung	Feld Komm.	a	S	$q_{\mathtt{li}}$	q _{re}
		[m]	[m]	[kN/m]	[kN/m]
Einw. <i>Gk</i>	1 Eigengew	0.00	4.95		0.25
	(a) 1	0.00	4.95		10.52
Einw. <i>Qk.S</i>	(a) 1	0.00	4.95		4.32
Einw. <i>Qk.W.000</i>	(a) 1	0.00	4.95		0.53
Einw. <i>Qk.W.090</i>	(a) 1	0.00	4.95		-1.84

(a)

aus Pos. '1', Lager 'B' (Seite 38)

Kombinationen

Kombinationsbildung nach DIN EN 1990 Darstellung der maßgebenden Kombinationen

	Ek	KLED	Σ (γ*ψ*EW)		
ständig/vorüberg.	1	st	1.35*Gk		
selten	18		1.00*Gk	+1.00*Qk.S	+0.60*Qk.W.000
quasi-ständig	19		1.00*Gk		
Brand	21		1.00*Gk	+0.20*Qk.W.000	
st./vor. Auflagerkr.	28	ku/sk	1.35*Gk	+1.50*Qk.S	+0.90*Qk.W.000
_	29	ku/sk	1.00*Gk	+1.50*Qk.W.090	
	st: ku/sl	ständ k: kurz/	ig sehr kurz		

Bem.-schnittgrößen

Bemessungsschnittgrößen

Grafik

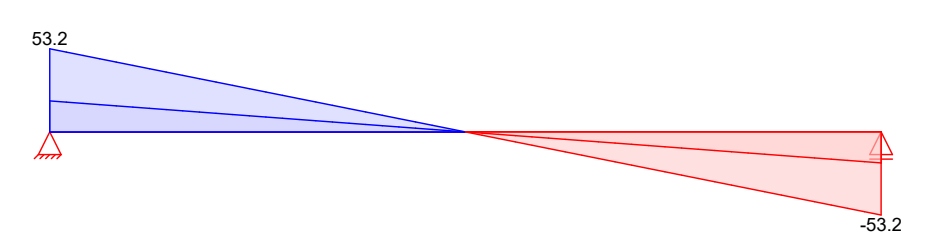
Schnittgrößen (Umhüllende)

Kombinationen

Moment My,d[kNm]



Querkraft Vz,d[kN]



Tabelle

Schnittgrößen (Umhüllende)

	X	My,d,min	ΕK	My,d,max	ΕK	Vz,d,min	ΕK	V z,d,max	ĿΚ
	[m]	[kNm]		[kNm]		[kN]		[kN]	
Feld 1	0.00	0.00	2	0.00	6	19.85	2	53.22	6
	2.48	24.56	2	65.86	6	0.00	2	0.00	6
	4.95	0.00	2	0.00	6	-53.22	6	-19.85	2

18.12.2024

Baustatik - Tragwerksplanung - Bauphysik

Projekt: Sanierung und Neubau Wohnheim "Thomas Müntzer

Datum: Position: 2 Seite: Auftrags-Nr.: 24-919 42

Bem.-verformungen

Bemessungsverformungen

Grafik

Verformungen (Umhüllende)

Kombinationen

Verformung wz,d[mm]



Tabelle

Verformungen (Umhüllende)

Feld 1

Х	$W_{Z,d,min}$	Ek	$W_{z,d,max}$	Ek
[m]	[mm]		[mm]	
0.00	0.00	17	0.00	19
2.48	8.17	17	15.75	19
4.95	0.00	17	0.00	19

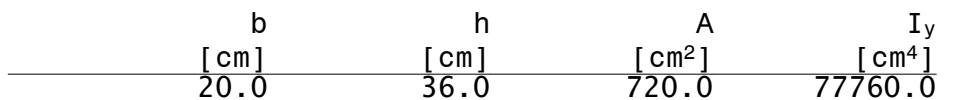
Mat./Querschnitt

nach DIN EN 1995-1-1

Material

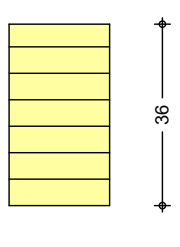
Holz	fm,k	f t0k	f c0k	f c90k	fvk	Eomean	k fi
			[N	/mm ²]			[-]
BSH GL24cf	24.0	17.0	21.5	2.5	3.5	11000	1.15
f: Lamellenlage fla	achkant						

Querschnittswerte



Schnitt M 1:15

Holzbalken



♦ 20 •

Brandfall

vierseitige Brandbeanspruchung

Restquerschnitt Abs. 4.2.3

	Feuerwiderstandsdauer				30	min
β_n	b_r	hr	р	Ar		$I_{y,r}$
[mm/min]	[cm]	[cm]	[cm]	[cm²]		[cm4]
0.70	15.8	31.8	95.2	502.4	42	340.6

18.12.2024

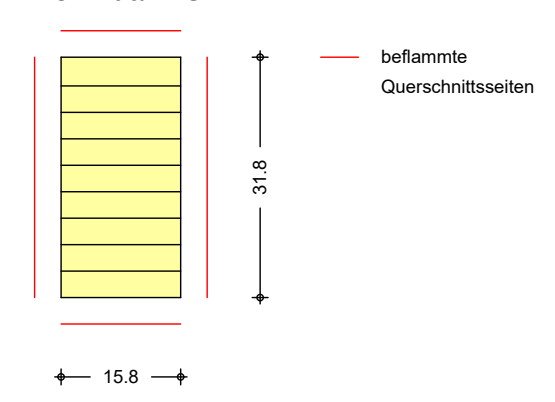
Baustatik - Tragwerksplanung - Bauphysik

Sanierung und Neubau Wohnheim "Thomas Müntzer Projekt:

Datum: Position: 2 Auftrags-Nr.: 24-919 Seite: 43

Schnitt M 1:10

Holzbalken



Nachweise (GZT)

Nachweise im Grenzzustand der Tragfähigkeit nach DIN EN 1995-1-1

Biegung

Abs. 6.1

Feld 1

Nachweis der Biegetragfähigkeit

x Ek
$$k_{mod}$$
 M_{yd} $\sigma_{m,d}$ $f_{m,d}$ η [m] [-] [kNm] [N/mm²] [N/mm²] [-]
(L = 4.95 m, k_{crit} = 1.00)
2.48 1 0.60 44.54 10.31 11.08 0.93*

Querkraft Abs. 6.1.7

Feld 1

Nachweis der Querkrafttragfähigkeit

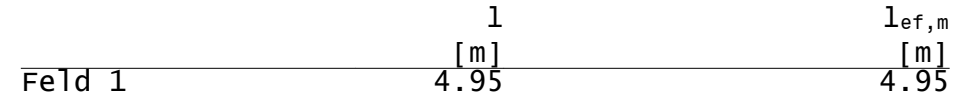
Х	ΕK	K_{mod}	Vz,d	$ au_{\sf d}$	Tv,d	11
[m]		[-]	[kN]	$[N/mm^2]$	$[N/mm^2]$	[-]
0.39	1	0.60	30.27	0.88	1.62	<u>[-]</u> 0.55*
4.56	1	0.60	-30.27	0.88	1.62	0.55

Stabilität Abs. 6.3

Nachweis der Stabilität

Der Einfluss der Stabilität ist im Nachweis der Biegetragfähigkeit enthalten. Folgende Ersatzstablängen werden berücksichtigt.

Ersatzstablängen



Auflagerpressung Abs. 6.1.5

Auflager A Auflager B

Nachweis der Auflagerpressung

Ek	k_{mod}	F_d	A_{ef}	k_{c90}	σ_{c90d}	f* _{c90d}	η
	[-]	[kN]	$[cm^2]$	[-]	$[N/mm^2]$	$[N/mm^2]$	[-]
1	0.60	35.99	260.0	1.75	1.38	2.02	0.69
1	0.60	35.99	260.0	1.75	1.38	2.02	0.69
f*c90d:	kc90 * fc90d						

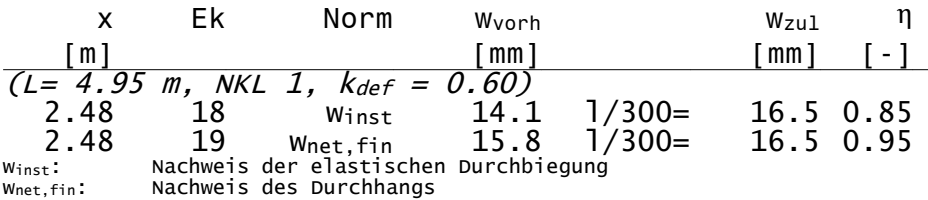
Nachweise (GZG)

Nachweise im Grenzzustand der Gebrauchstauglichkeit nach DIN EN 1995-1-1

Verformungen Abs. 7.2

Feld 1

Nachweise der Verformungen



Wnet, fin:

Sanierung und Neubau Wohnheim "Thomas Müntzer Projekt:

Datum:

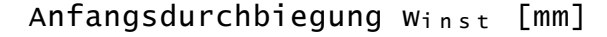
Seite: 44

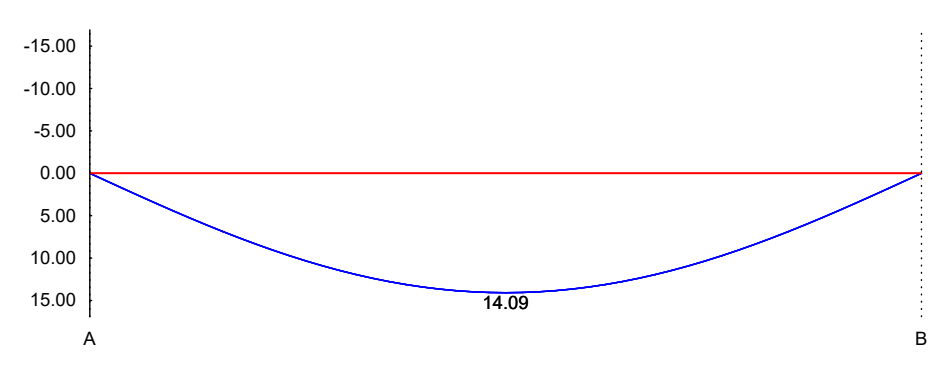
18.12.2024

Auftrags-Nr.: 24-919

Position: 2

M 1:45





M 1:45

gesamte Enddurchbiegung Wnet, fin [mm]



Nachweise (Brand)

Nachweise der Feuerwiderstandsfähigkeit nach DIN EN 1995-1-2, 4.2.3

- Anforderung Feuerwiderstandsklasse: R30
- Nachweis der Feuerwiderstandsdauer treq = 30 min
- 4-seitige Beflammung
- Methode mit reduzierten Eigenschaften

Brandfall

Brandbeanspruchung

		[min]
vierseitig	<pre>(oben/unten/links/rechts)</pre>	30

Biegung

Abs. 6.1

Feld 1

Nachweis	der	Biegetragfäh	nigkeit
		•	

x Ek
$$k_{mod,fi}$$
 $M_{yd,fi}$ $\sigma_{m,d,fi}$ $f_{m,d,fi}$ η
[m] [-] [kNm] [N/mm²] [N/mm²] [-]
= 4.95 m, $k_{crit} = 1.00$)
2.48 21 0.91 33.32 12.51 24.99 0.50*

Querkraft

Abs. 6.1.7

Feld 1

Stabilität

Abs. 6.3

Nachweis der Stabilität

Der Einfluss der Stabilität ist im Nachweis der Biegetragfähigkeit enthalten. Folgende Ersatzstablängen werden berücksichtigt.

 $\mathsf{t}_{\mathsf{req}}$

Baustatik - Tragwerksplanung - Bauphysik

Projekt: Sanierung u Auftrags-Nr.: 24-919	nd Neubau Wohnheim "Th Positio	Datum: Seite:	18.12.2024 45	
Ersatzstablängen	Feld 1	1 [m] 4.95		l _{ef,m} [m] 4.95
Auflagerkräfte	Charakteristische	und Bemessungsauf	lagerkräft	e
Char. Auflagerkr.	Aufl.			F _{z,k}
Einw. <i>Gk</i>	Ā			[kN] 26.66
Einw. <i>Qk.S</i>	<u>B</u> A			26.66 10.70
Einw. <i>Qk.W.000</i>	<u>B</u> A			10.70 1.31
Einw. <i>Qk.W.090</i>	B A B			1.31 -4.54 -4.54
Bemauflagerkräfte ständig/vorüberg.	Aufl.	F _{z,d,min} EK [kN]	-	_{d,max} EK kN]
	A B	19.85 29 19.85 29	53	3.22 28 3.22 28
Zusammenfassung	Zusammenfassung de	er Nachweise		
Nachweise (GZT)	Nachweise im Gre	nzzustand der Tra	gfähigkeit	Ξ
	Nachweis	Feld/Auflager	x [m]	η [-]
	Biegung Querkraft Auflagerpressung	Feld 1 Feld 1 Auflager A	2.48 0 0.39 0 0	к 0.55
Nachweise (Brand)	Brandfall im Gre	nzzustand der Tra	gfähigkeit	Ξ
	Nachweis	Feld/Auflager	x [m]	η [-]
	Biegung Querkraft	Feld 1 Feld 1	2.48 0 0.39 0	
Nachweise (GZG)	Nachweise im Gre	nzzust. der Gebra	uchstaugli	ichkeit
	Nachweis	Feld	X	η
	Anfangsdurchbieg. gesamte Enddurchb	Feld 1 . Feld 1	[m] 2.48 O 2.48 O	

Sanierung und Neubau Wohnheim "Thomas Müntzer Proiekt:

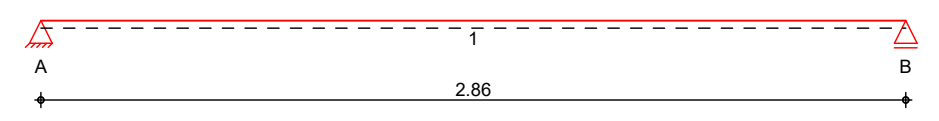
18.12.2024 Datum: Position: 3 Auftrags-Nr.: 24-919 Seite: 46

Pos. 3 **Fenstersturz**

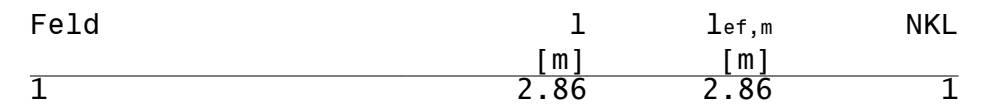
Sturz für eine lichte Fensterbreite \leq 2,76 m. Mindestauflagerbreite ≥ 10cm

Holz-Einfeldträger **System**

M 1:25



Abmessungen / Nutzungsklassen



Auflager



Material

BSH GL24c

Querschnitt

b/h = 16/20 cm

Belastungen

Belastungen auf das System

Grafik

Belastungsgrafiken (einwirkungsbezogen)

Qk.S

Einwirkungen





Qk.W.000

Qk.W.090

Gk



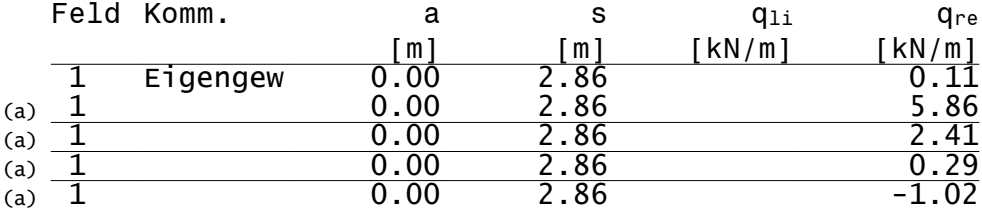
Streckenlasten

in z-Richtung

Gleichlasten Feld Komm.



Einw. Qk.S Einw. Qk.W.000 Einw. Qk.W.090



Baustatik - Tragwerksplanung - Bauphysik

Projekt: Sanierung und Neubau Wohnheim "Thomas Müntzer

Auftrags-Nr.: 24-919

Position: 3

Aus Pos. '1', Lager 'D' (Seite 38)

Kombinationen

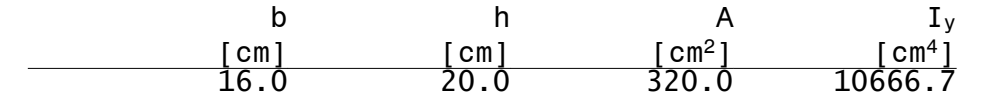
Kombinationsbildung nach DIN EN 1990
Darstellung der maßgebenden Kombinationen

KLED Σ ($\gamma*\psi*EW$) Ek 1.35*Gk 1 ständig/vorüberg. st 1.00*Gk 18 +1.00*Qk.S +0.60*Qk.W.000 selten 1.00*Gk quasi-ständig 19 21 1.00*Gk Brand +0.20*Qk.W.000 st: ständig

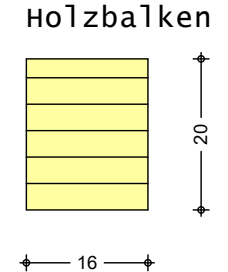
Mat./Querschnitt

nach DIN EN 1995-1-1

Querschnittswerte

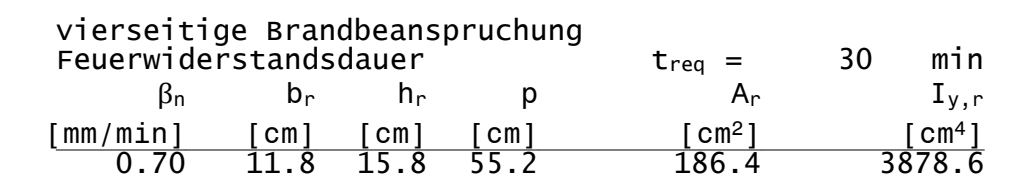


Schnitt M 1:10

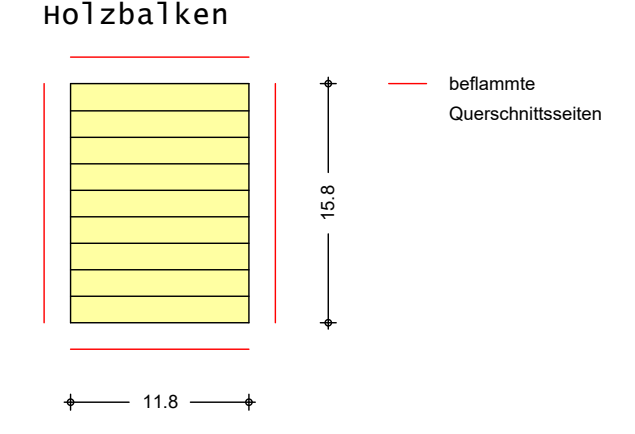


Brandfall

Restquerschnitt Abs. 4.2.3



Schnitt M 1:5



Baustatik - Tragwerksplanung - Bauphysik Sanierung und Neubau Wohnheim "Thomas Müntzer Proiekt: 18.12.2024 Datum: Position: 3 Auftrags-Nr.: 24-919 Seite: 48 Nachweise im Grenzzustand der Tragfähigkeit nach DIN Nachweise (GZT) EN 1995-1-1 Nachweis der Biegetragfähigkeit Biegung Х Ek fm.d η Abs. 6.1 k_{mod} $\sigma_{\text{m,d}}$ $[N/mm^2]$ $[N/mm^2]$ [kNm] $(L = 2.86 \text{ m}, k_{crit})$ Feld 1 7.73 11.08 0.70* Nachweis der Querkrafttragfähigkeit Querkraft

 k_{mod} $V_{z,d}$ Abs. 6.1.7 Τd [N/mm²] 0.63 $[N/mm^2]$ [m] 0.23 [kN] 9.65 1.62 0.60 Feld 1 1 -9.65 0.63 1.62 0.39

Nachweis der Stabilität Stabilität Abs. 6.3

Der Einfluss der Stabilität ist im Nachweis der Biegetragfähigkeit enthalten. Folgende Ersatzstablängen werden berücksichtigt.

Ersatzstablängen 1 $l_{ef,m}$ [m] [m] 2.86 Feld 1

Nachweis der Auflagerpressung Auflagerpressung Abs. 6.1.5 F_d k_{mod} k_{c90} Aef σ_{c90d} $[N/mm^2]$ $\begin{array}{c} [\text{cm}^2] \\ 208.0 \end{array}$ [-] 1.00 $[N/mm^2]$ [-] 0.48 [kN]11.53 0.55 0.60 1.15Auflager A $\overline{1}$ 11.53 Auflager B 1 0.60 208.0 1.00 0.48

f*c90d: k_{c90} * f_{c90d}

Nachweise im Grenzzustand der Gebrauchstauglichkeit Nachweise (GZG) nach DIN EN 1995-1-1

Verformungen Abs. 7.2 Nachweise der Verformungen Ek Norm η Χ W_{vorh} Wzul [mm] [-] [m] [mm] Feld 1 (L= 2.86 m, NKL 1, $k_{def} = 0.60$ 18 1.43 Winst 6.4 1/300 =0.67

1/300 =1.43 19 7.1 Wnet.fin Nachweise der Feuerwiderstandsfähigkeit nach DIN EN Nachweise (Brand) 1995-1-2, 4.2.3

> - Anforderung Feuerwiderstandsklasse: R30 - Nachweis der Feuerwiderstandsdauer $t_{req} = 30 \text{ min}$

4-seitige Beflammung Methode mit reduzierten Eigenschaften

Brandfall Brandbeanspruchung $\mathsf{t}_{\mathsf{req}}$ min] vierseitig (oben/unten/links/rechts) 30

Nachweis der Biegetragfähigkeit Biegung Χ Ek k_{mod,fi} Myd,fi η Abs. 6.1 $\sigma_{\text{m,d,fi}}$ [kNm] $[N/mm^2]$ $[N/mm^2]$ = 2.86 m, k_{crit} = 1.00) 1.43 21 0.85 Feld 1 6.17 12.57 23.51 0.53*

Datum:

18.12.2024

Baustatik - Tragwerksplanung - Bauphysik

Auftrags-Nr.: 24-919	Positio		Datum: Seite:	18.12.202
Querkraft	Nachweis der Querl	krafttragfähigkei	t	
Abs. 6.1.7		k _{mod,fi} V _{z,d,fi}	$\tau_{d,fi}$ $f_{v,d}$	_{fi} η
_ 7.1.4	[m]		N/mm ²] [N/mm	
Feld 1	0.23 21 2.63 21	0.85 7.22 0.85 -7.22	0.81 3.4 0.81 3.4	13 0.24* 13 0.24
Stabilität	Nachweis der Stab	ilität		
Abs. 6.3	Der Einfluss der S Biegetragfähigkeit Ersatzstablängen v	t enthalten. Folg	ende	er
Ersatzstablängen		1		$1_{ t ef,m}$
	Feld 1	[m] 2.86		[m] 2.86
Auflagerkräfte	Charakteristische	Auflagerkräfte		
Char. Auflagerkr.				
chari yarragerari	Aufl.			$F_{z,k}$
				[kN]
Einw. <i>Gk</i>	A R			8.54 8.54
Einw. <i>Qk.S</i>	<u>B</u> A			3.44
Einw. <i>Qk.W.000</i>	<u>B</u> A			3.44
ETTIW. QK.W.000	В			0.42
Einw. <i>Qk.W.090</i>	A B			-1.46 -1.46
Zusammenfassung	Zusammenfassung d	er Nachweise		-1.40
Nachweise (GZT)	Nachweise im Gre	nzzustand der Tr	agfähigkei	t
	Nachweis	Feld/Auflager	X	η
	Biegung	Feld 1	[m] 1.43 C	[-] 0K 0.70
	Querkraft	Feld 1)к 0.39
	Auflagerpressung	Auflager A	C	OK 0.48
Nachweise (Brand)	Brandfall im Gre	nzzustand der Tr	agfähigkei	t
	Nachweis	Feld/Auflager	X	η
	Biegung	Feld 1	[m] 1.43 C	[-] K 0.53
	Querkraft	Feld 1		OK 0.24
Nachweise (GZG)	Nachweise im Gre	nzzust. der Gebr	auchstaugl	ichkeit
	Nachweis	Feld	Х	η
	Anfangsdurchbieg.	Feld 1	[m] 1.43 C	[-] OK 0.67
	gesamte Enddurchb	. Feld 1		0.74 K
	-			

Sanierung und Neubau Wohnheim "Thomas Müntzer

Projekt:

Projekt: Sanierung und Neubau Wohnheim "Thomas Müntzer

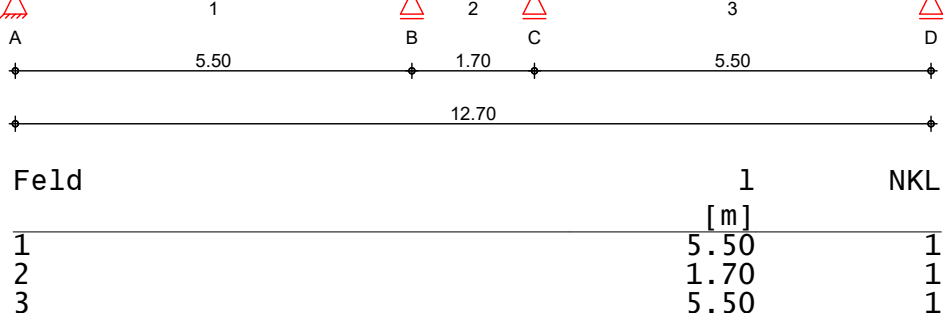
18.12.2024 Datum: Position: 4 Seite: Auftrags-Nr.: 24-919 50

Brettsperrholzgeschossdecke Pos. 4

System

Brettsperrholz-Dreifeldplatte

M 1:105



Nutzungsklassen

Abmessungen /

			[M J	
1			5.50	1
2			1.70	1
3			5.50	1
Aufl.	X	b	Transl.	Rotat.

Auflager

Aull.	Х	D	iransı.	ROLAL.
	[m]	[cm]	[kN/m]	[kNm/rad]
Α	0.00	10.00	starr	frei
В	5.50	10.00	starr	frei
C	7.20	10.00	starr	frei
D	12.70	10.00	starr	frei

Material/ Querschnitt



Deckenbreite



Einwirkungen

Einwirkungen nach DIN EN 1990:2010-12

Gk

Eigenlasten

Ständige Einwirkungen

Qk.N

Nutzlasten Kategorie A - Wohn- und Aufenthaltsräume

fw

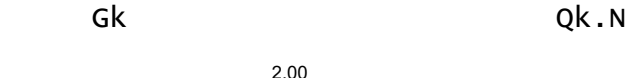
Belastungen

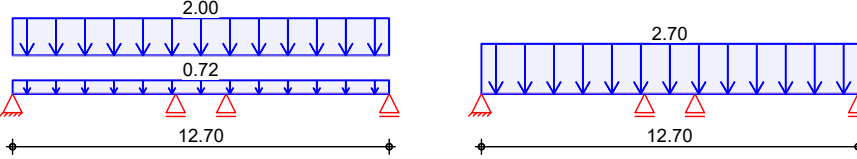
Belastungen auf das System

Grafik

Belastungsgrafiken (einwirkungsbezogen)

Einwirkungen



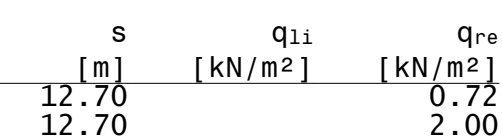


а

Flächenlasten

in z-Richtung

Gleichflächenlasten Feld Komm. [m]



Einw. Gk

Einw. Qk.N

Baustatik - Tragwerksplanung - Bauphysik

Projekt: Sanierung u Auftrags-Nr.: 24-919	nd Ne	ubau W	ohnheim "Thomas Position: 4		Datum: Seite:	18.12.2024
(a)	BSP	-Deck	e	0.16*4.5 =	0.72	kN/m²
(b)	Nut:	zlast entha	A2 für Wohn- ltsräume			
		nnwand kN/m	dzuschlag für	1.5 = LTW bis	1.50	kN/m²
				1.2 =	1.20 2.70	kN/m² kN/m²
<u>Kombinationen</u>	Kom Dar	binat [.] stell	ionsbildung r ung der maß	nach DIN EN 1990 gebenden Kombinat		KIV/ III
a t ii a d d a / , , a a ii b a a a	Ek	KLED	Σ (γ*ψ*EW)	.1 F0*0k N		
ständig/vorüberg.	2	mi	1.35*Gk	+1.50*Qk.N (1,3)		
	6	mi	1.35*Gk	+1.50*Qk.N (1,2)		
	11	mi	1.35*Gk	+1.50*Qk.N		
Brand	16		1.00*Gk	(2,3) +0.30*Qk.N		
	18		1.00*Gk	(1,3) +0.30*Qk.N (1,2)		
	21		1.00*Gk	+0.30*Qk.N		
selten	23		1.00*Gk	(2,3) +1.00*Qk.N		
	30		1.00*Gk	(1,3) +1.00*Qk.N (2,3)		
quasi-ständig Lagesicherheit	24 39	mi	1.00*Gk 0.90*Gk	+1.50*Qk.N		
	40	mi	0.90*Gk	(1) +1.50*Qk.N		
	41	mi	0.90*Gk	(2) +1.50*Qk.N		
st./vor. Auflagerkr.	45	mi	1.35*Gk	(3) +1.50*Qk.N		
	46	mi	1.35*Gk	(1,2) +1.50*Qk.N		
	47	mi	1.35*Gk	(1,3) +1.50*Qk.N		
	48	mi	1.00*Gk	(2,3) +1.50*Qk.N		
	49	mi	1.00*Gk	(1) +1.50*Qk.N		
	50	mi	1.00*Gk	(2) +1.50*Qk.N		
	mi:	mittel		(3)		

Baustatik - Tragwerksplanung - Bauphysik

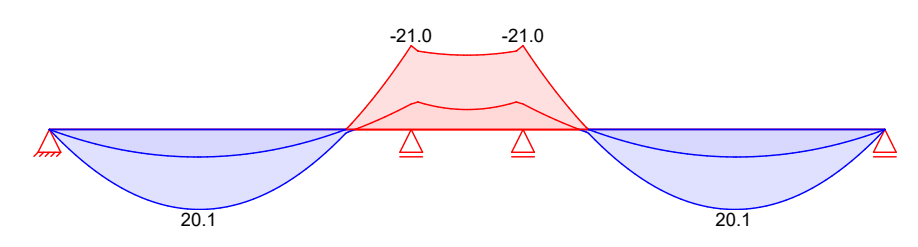
Projekt: Sanierung und Neubau Wohnheim "Thomas Müntzer 18.12.2024 Datum:

Position: 4 Seite: Auftrags-Nr.: 24-919 52

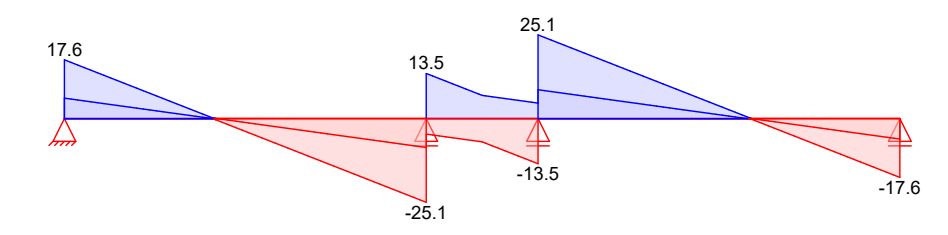
Bem.-schnittgrößen Bemessungsschnittgrößen

Grafik Schnittgrößen (Umhüllende)

Kombinationen Moment My,d[kNm/m]



Querkraft $V_{z,d}[kN/m]$



Tabelle

Schnittgrößen (Umhüllende)

	X	$M_{y,d,min}$	Ek	$M_{y,d,max}$	Ek	$V_{z,d,min}$ E	k	$V_{z,d,max}$	Ek
	[m]	[kNm/m]		[kNm/m]		[kN/m]		[kN/m]	
Feld 1	0.00	0.00	3	0.00	2	6.13	3	17.60	2
	2.27	6.90	3	20.06	2	-0.14	6	0.14	7
	5.50	-21.03	6	-6.40	7	-25.06	6	-8.64	7
Feld 2	0.00	-21.03	6	-6.40	7	-4.64	7	13.52	6
	0.85	-18.65	2	-5.01	3	-6.96	7	6.96	6
	1.70	-21.03	11	-6.40	10	-13.52 1	1	4.64	10
Feld 3	0.00	-21.03	11	-6.40	10	8.64 1	0	25.06	11
	3.23	6.90	3	20.06	2	-0.14 1	0	0.14	11
	5.50	0.00	3	0.00	2	-17.60	2	-6.13	3

Bem.-verformungen

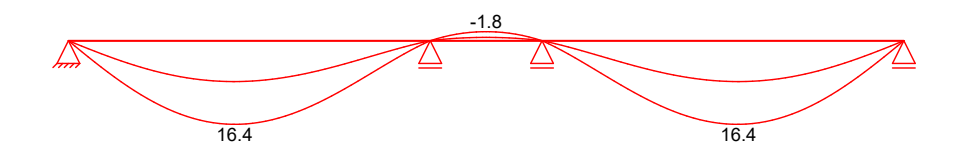
Bemessungsverformungen

Grafik

Verformungen (Umhüllende)

Kombinationen

Verformung wz,d[mm]



Tabelle

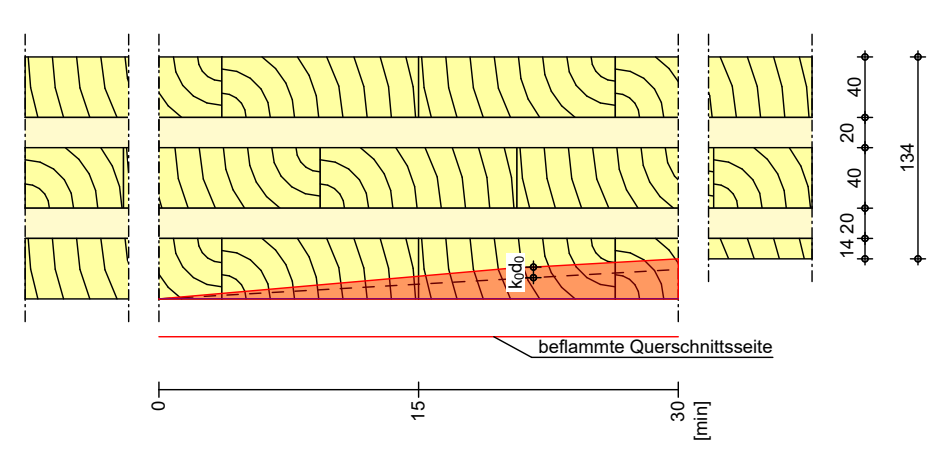
Verformungen (Umhüllende)

	X	W _{z,d,min} EK	$W_{z,d,max}$ EK
	[m]	[mm]	[mm]
Feld 1	0.00	0.00 25	0.00 23
	2.51	8.03 25	16.44 23
	5.50	0.00 32	0.00 28

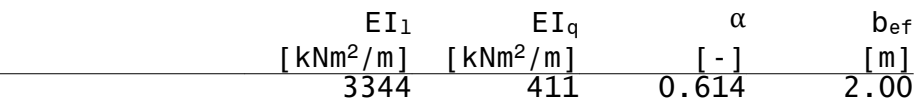
Baustatik - Tragwerksplanung - Bauphysik

Projekt: Sanierung Auftrags-Nr.: 24-919		und Neubau Wohnheim "Thomas Müntzer Position: 4				
Feld 2 Feld 3	x [m] 0.00 0.85 1.70 0.00 2.99 5.50	W _{z,d,min} E [mm] 0.00 3 -1.78 2 0.00 3 0.00 3 8.03 2 0.00 2	2 3 4 4 5	Wz,d,max Ek [mm] 0.00 28 -0.66 25 0.00 30 0.00 30 16.44 23 0.00 23		
<u>Mat./Querschnitt</u>	Werte für den G W. u. J. Derix.	esamtquerschni Zulassung ETA	tt DERIX_X-L A-11/0189	LAM L-160-5S		
Festigkeit	Material fm,k [N/mm²] NH C24 24.0	$[N/mm^2]$ $[N/mm^2]$] [N/mm ²] [N/	f _{v,s,k} f _{R,k} mm ²] [N/mm ²] 2.00 1.10		
Steifigkeitsmodul	Material NH C24	Eo,mean [N/mm²] 11000	Gmean [N/mm²] 690	GR,mean [N/mm ²] 50		
Aufbau M 1:5	Lage Werkstoff 1 NH C24 2 NH C24 3 NH C24 4 NH C24 5 NH C24 Gesamtdicke Gesamtwichte	Faser Fü	[%]	Dicke Wichte [mm] [kN/m³] 40.0 4.2 20.0 4.2 40.0 4.2 40.0 4.2 40.0 4.2 40.0 KN/m³		
Querschnittswerte	[kNm ² 3344	Bx 	S _x [kN/m] .7628.45	кх [-] 4.810		
Brandfall	einseitige Bran Feuerwiderstand Feuerwiderstand Abbrandrate	dbeanspruchung sklasse sdauer	g (unten) t _{req} = β =	F30 30 min 0.65mm/min		
Querschnittswerte Restquerschnitt	[kNm² 1909	Bx 7/m] 0.04 1	Sx [kN/m] L6552.17	кх [-] 4.621		

Grafik M 1:5



Querschnittswerte Decke



Nachweise (GZT)

Nachweise im Grenzzustand der Tragfähigkeit nach DIN EN 1995-1-1

Für den Schubnachweis wird die maßgebende Querkraft im Abstand h vom Auflagerrand nach DIN EN 1995-1-1/NA, NCI Zu 6.1.7 (NA.5) verwendet

Normalspannung

Biegespannungsnachweis für Beanspruchungen in Längsrichtung

x Ek kmod Lage
$$M_{y,d}$$
 $\sigma_{m,d}$ $f_{m,d}$ η [M] [N/mm²] [N/mm²] [-] 0.00 6 0.80 1 -21.03 5.53 14.77 0.37

Schubspannung

Schubspannungsnachweis für Beanspruchungen in Längsrichtung

Х	Ek	k_{mod}	Lage	Vz,d	τd	fv,d	η
[m]				[kN/m]	$[N/mm^2]$	$[N/mm^2]$	[-]
0 21	11	በ ያበ	3	23 //	0.20	2 46	0 08

Feld 3

Feld 2

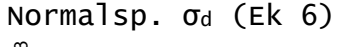
Rollschubspannungsnachweis für Beanspruchungen in Längsrichtung

X	Ek	${f k}$ mod	Lage	Vz,d	τd	f R,d	η
[m]				[kN/m]	$[N/mm^2]$	$[N/mm^2]$	[-]
0.21	11	0.80	2	23.44	0.19	0.68	0.27

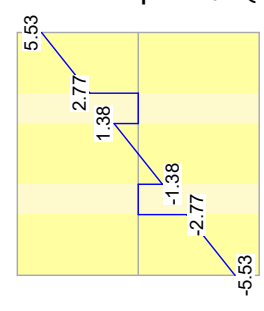
Feld 3

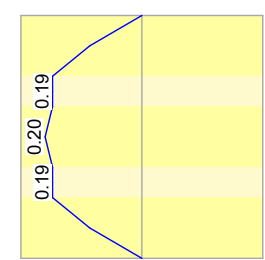
Grafik

Spannungsverlauf [N/mm²] für maßgebende Kombinationen



Schubsp. τ_d (Ek 11)





Baustatik - Tragwerksplanung - Bauphysik

Sanierung und Neubau Wohnheim "Thomas Müntzer Projekt: 18.12.2024 Datum: Position: 4 Auftrags-Nr.: 24-919 Seite: 55

Auflagerpressung Abs. 6.1.5 Auflager A Auflager B Auflager C Auflager D Lagesicherheit DIN EN 1990, 6.4.2	Nachweis der Auflagerpressung $ \begin{array}{c ccccccccccccccccccccccccccccccccccc$
	B 41 -7.09 9.98 0.71 C 39 -7.09 9.98 0.71 D 40 -0.06 5.56 0.01
Nachweise (GZG)	Nachweise im Grenzzustand der Gebrauchstauglichkeit nach DIN EN 1995-1-1
	- Decke innerhalb einer Nutzungseinheit
Verformungen Abs. 7.2	Nachweise der Verformungen x Ek Norm w _{vorh} w _{zul} η [m] [mm] [-]
Feld 1	(L= 5.50 m, NKL 1) 2.51 23 Winst 12.6 1/300= 18.3 0.69 2.51 23 Wfin 17.6 1/200= 27.5 0.64 0.00 24 Wnet, fin - 1/0= inf 0.00
Feld 2	$ \begin{array}{c ccccccccccccccccccccccccccccccccccc$
Feld 3	(L= 5.50 m, NKL 1) 2.99 23 Winst 12.6 1/300= 18.3 0.69 2.99 23 Wfin 17.6 1/200= 27.5 0.64 0.00 24 Wnet,fin - 1/0= inf 0.00 Winst: Nachweis der elastischen Durchbiegung Wfin: Nachweis der Enddurchbiegung Wnet,fin: Nachweis des Durchhangs
	Negative Verformungen wurden zur Bemessung nicht berücksichtigt.
Schwingungen	Die Berechnung der Eigenfrequenz basiert auf einer Eigenwertanalyse mit Hilfe der Finite-Elemente- Methode.

Frequenzkriterium

f_1	f_{grenz}	η
[Hz]	[Hz]	[-]
7.1	6.0	0.85

Steifigkeitskriterium

W2kN	Wgrenz	η
[mm]	[mm]	[-]
0.69	1.00	0.69

Baustatik - Tragwerksplanung - Bauphysik

Sanierung und Neubau Wohnheim "Thomas Müntzer Proiekt: Datum:

Position: 4 Auftrags-Nr.: 24-919 Seite: 56

> Die konstruktiven Mindestanforderungen sind einzuhalten:

Nassestrich oder Trockenestrich mit schwerer Schüttung

Nachweise (Brand)

Nachweise der Feuerwiderstandsfähigkeit nach DIN EN 1995-1-2, 4.2.2

- Anforderung Feuerwiderstandsklasse: F30
- Nachweis der Feuerwiderstandsdauer $t_{req} = 30 \text{ min}$
- 1-seitige Beflammung
- Methode mit reduziertem Querschnitt Für den Schubnachweis wird die maßgebende Querkraft im Abstand h vom Auflagerrand nach DIN EN 1995-1-1/NA, NCI Zu 6.1.7 (NA.5) verwendet

Brandfall

Brandbeanspruchung

 $\mathsf{t}_{\mathsf{req}}$ [min]

18.12.2024

einseitia (unten)

1.00

1.00

Normalspannung

Biegespannungsnachweis für Beanspruchungen in

Längsrichtung

[m]

[m]

0.21

0.00

 $\sigma_{\text{m.d}}$ kmod Lage My,d fm,d η $[N/mm^2]$ $[kNm/m][N/mm^2]$ -4.52 27.60 5 -9.42

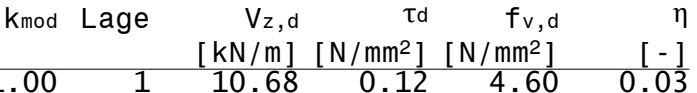
Feld 2

Schubspannung

Schubspannungsnachweis für Beanspruchungen in

Längsrichtung

Ek



Feld 3

Rollschubspannungsnachweis für Beanspruchungen in

Längsrichtung

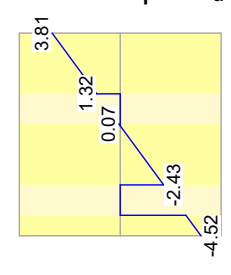
X	Ek	${\sf k}$ mod	Lage	Vz,d	aud	f R,d	η
[m]				[kN/m]	$[N/mm^2]$	$[N/mm^2]$	[-]
0.21	21	1.00	2	10.68	0.12	1.27	0.09

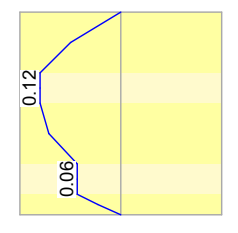
Feld 3 Grafik

Spannungsverlauf [N/mm²] für maßgebende Kombinationen

Normalsp. σ_d (Ek 18)

Schubsp. τ_d (Ek 21)





Auflagerkräfte

Charakteristische und Bemessungsauflagerkräfte

Char. Auflagerkr.

	Autl.	$F_{z,k,min}$	$F_{z,k,max}$
		[kN/m]	[kN/m]
Einw. <i>Gk</i>	A	6.18	6.18
	В	11.09	11.09
	С	11.09	11.09
	D	6.18	6.18
Einw. <i>Qk.N</i>	A	-0.04	6.17
·	В	-4.73	15.74

Baustatik - Tragwerksplanung - Bauphysik

Auftrags-Nr.: 24-919	Position	1: 4	Seite:	5
	Aufl.	F _{z,k,min} [kN/m]		F _{z,k,max} [kN/m]
	C D	-4.73 -0.04		15.74 6.17
Bemauflagerkräfte				
ständig/vorüberg.	Aufl.	F _{z,d,min} EK [kN/m]		_{d,max} EK N/m]
	A	6.13 49		7.60 46
	B C	4.00 50 4.00 48		3.58 45 3.58 47
	D	6.13 49		7.60 46
Zusammenfassung	Zusammenfassung de	r Nachweise		
Nachweise (GZT)	Nachweise im Gren	ızzustand der Tra	agfähigkei [.]	t
	Nachweis	Feld/Auflager	x [m]	η [-]
	Normalspannung Schubspannung Rollschubspannung Auflagerpressung Lagesicherheit	Feld 2 Feld 3 Feld 3 Auflager B	0.00 C 0.21 C 0.21 C	0.37 0.08 0.27 0.09 0.09
Nachweise (Brand)	Brandfall im Gren	ızzustand der Tra	agfähigkei [.]	t
	Nachweis	Feld/Auflager	x [m]	η [-]
	Normalspannung	Feld 2		K 0.16
	Schubspannung	Feld 3		K 0.03
	Rollschubspannung	Feld 3	0.21 C	к 0.09
Nachweise (GZG)	Nachweise im Gren	izzust. der Gebra	auchstaugl	ichkeit
	Nachweis	Feld	Х	η
	Anfangsdurchbieg. Enddurchbiegung	Feld 3 Feld 3		[-] ok 0.69 ok 0.64

Projekt: Sanierung und Neubau Wohnheim "Thomas Müntzer

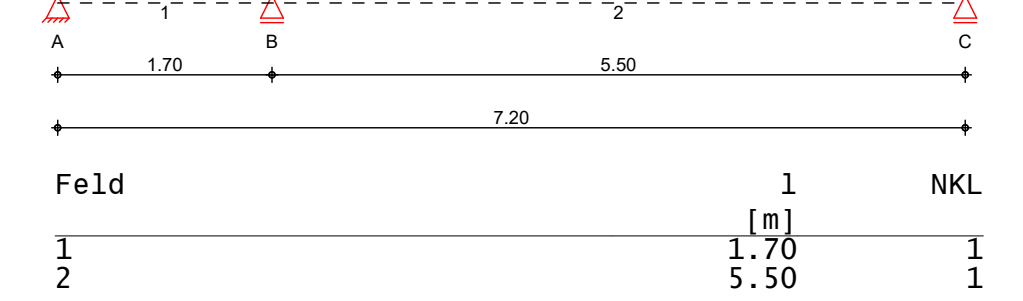
18.12.2024 Datum: Position: 4-1 Seite: Auftrags-Nr.: 24-919 58

Brettsperrholzgeschossdecke Pos. 4-1

System

Brettsperrholz-Zweifeldplatte

M 1:60



Auflager

Abmessungen /

Nutzungsklassen

Aufl.	X	b	Transl.	Rotat.
	[m]	[cm]	[kN/m]	[kNm/rad]
A	0.00	10.00	starr	frei
В	1.70	10.00	starr	frei
C	7.20	10.00	starr	frei

Material/ Querschnitt



Deckenbreite



Einwirkungen

Einwirkungen nach DIN EN 1990:2010-12

Gk

Eigenlasten

Ständige Einwirkungen

Qk.N Nutzlasten

Kategorie A - Wohn- und Aufenthaltsräume

fw

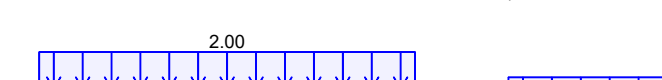
Belastungen

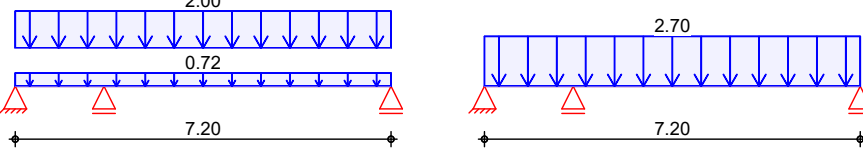
Belastungen auf das System

Grafik

Belastungsgrafiken (einwirkungsbezogen)

Einwirkungen



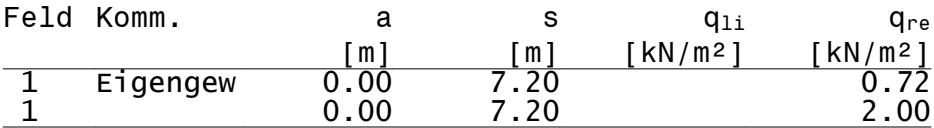


Qk.N

Flächenlasten

Gleichflächenlasten

in z-Richtung



7.20

Einw. Gk

1 0.00 (b)

(a)

Gk

Einw. Qk.N

Baustatik - Tragwerksplanung - Bauphysik

Projekt: Sanierung u Auftrags-Nr.: 24-919	nd Ne	ubau Wo	hnheim "Thomas Position: 4				Datum: Seite:	18.12.2024 59
(a)	BSP-	-Decke	2	0.	16*4.5	=	0.72	kN/m²
(b)	Aufe Trei	entha ¹	A2 für Wohn- Itsräume Izuschlag füi		1.5			kN/m² kN/m²
					1.2	=		KN/M ²
<u>Kombinationen</u>			onsbildung r ung der maß			at [.]	ionen	
	Ek		\ ,					
ständig/vorüberg.	2	mi	1.35*Gk	+1.50*Q (2)	k.N			
	3	mi	1.00*Gk	+1.50*0	k.N			
	4	mi	1.35*Gk	(1) +1.50*Q	k.N			
Brand	11		1.00*Gk	(1,2) +0.30*Q	k.N			
	12		1.00*Gk	(2) +0.30*Q	k.N			
selten	16		1.00*Gk	(1,2) +1.00*Q	k.N			
	19		1.00*Gk	(2) +1.00*Q	k.N			
quasi-ständig Lagesicherheit	14 23	mi	1.00*Gk 1.10*Gk	(1,2) +1.50*Q	k.N			
	24 25	st mi	0.90*Gk 0.90*Gk	(2) +1.50*Q	k.N			
st./vor. Auflagerkr.	27 29	st mi	1.00*Gk 1.35*Gk	(1) +1.50*Q	k.N			
	30	mi	1.35*Gk	(1,2) +1.50*C	k.N			
	31	mi	1.00*Gk	(2) +1.50*Q	k.N			
		mittel ständig		(1)				
Remschnittarößen	Beme	essund	ısschnittaröl	Sen				

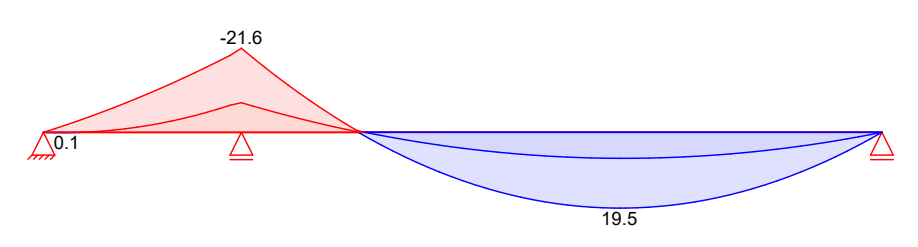
Bem.-schnittgrößen

Bemessungsschnittgrößen

Grafik

Schnittgrößen (Umhüllende)

 $Moment\ M_{y,d}[kNm/m]$ Kombinationen



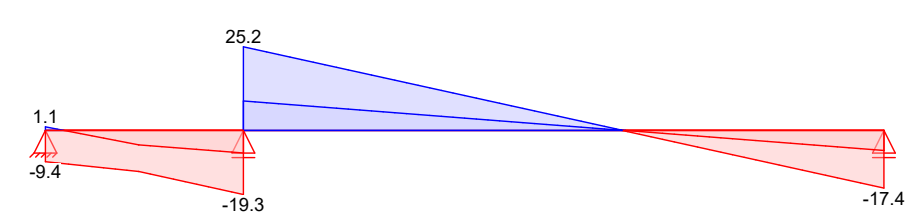
Baustatik - Tragwerksplanung - Bauphysik

Sanierung und Neubau Wohnheim "Thomas Müntzer Projekt:

Position: 4-1 Auftrags-Nr.: 24-919

Datum: Seite: 18.12.2024 60

Querkraft Vz,d[kN/m]



Tabelle

Schnittgrößen (Umhüllende)

	Х	M_{y},d,min	Ek	$M_{y,d,max}$	Ek	$V_{z,d,min}$	Ek	$V_{z,d,max}$	Ek
	[m]	[kNm/m]		[kNm/m]		[kN/m]		[kN/m]	
Feld 1	0.00	0.00	2	0.00	3	-9.42	2	1.08	3
	0.20	-1.96	2	0.08	3	-10.15	2	-0.28	3
	1.70	-21.65	4	-7.62	5	-19.30	4	-6.80	5
Feld 2	0.00	-21.65	4	-7.62	5	8.87	5	25.17	4
	3.25	6.69	3	19.51	2	0.04	6	0.11	7
	5.50	0.00	3	0.00	2	-17.36	2	-6.03	3

Bem.-verformungen

Bemessungsverformungen

Grafik

Verformungen (Umhüllende)

Kombinationen

Verformung wz,d[mm]



Tabelle

Verformungen (Umhüllende)

	X	W _{z,d,min} EK	W _{z,d,max} EK
	[m]	[mm]	[mm]
Feld 1	0.00	0.00 16	0.00 15
	1.00	-0.90 16	-0.20 15
	1.70	0.00 13	0.00 19
Feld 2	0.00	0.00 13	0.00 19
	3.00	7.68 15	15.77 16
	5.50	0.00 15	0.00 16

Mat./Querschnitt

Werte für den Gesamtquerschnitt DERIX_X-LAM L-160-5S W. u. J. Derix. Zulassung ETA-11/0189

Festigkeit

Material **f**t,0,k **f**c,0,k fv,k fv,S,k f_{R,k} $[N/mm^2]$ $[N/mm^2]$ $[N/mm^2]$ $[N/mm^2]$ 1.1021.0 NH C24 4.0

Steifigkeitsmodul

Material Eo, mean Gmean GR, mean [N/mm²] $[N/mm^2]$ $[N/mm^2]$ 11000 NH C24

Aufbau

Füllgrad Lage Werkstoff Faser Dicke Wichte [mm]1 NH C24

Baustatik - Tragwerksplanung - Bauphysik

Projekt: Sanierung Auftrags-Nr.: 24-919	Datum: 18.12.2024 Seite: 61	
	2 NH C24 90° 1 3 NH C24 0° 1 4 NH C24 90° 1	mad Dicke Wichte mm] [kN/m³] 00 20.0 4.2 00 40.0 4.2 00 20.0 4.2 00 40.0 4.2
	Gesamtdicke Gesamtwichte	h = 16.00 cm $Y = 4.50 \text{ kN/m}^3$
M 1:5	5 4 3 2 1	40 20 40 160
Querschnittswerte	Bx [kNm²/m] [kN 3344.00 17628	Sx Kx [-] [-] 5.45 4.810
Brandfall	einseitige Brandbeanspruchung (ur Feuerwiderstandsklasse Feuerwiderstandsdauer Abbrandrate	rten) treq = 30 min β = 0.65 mm/min
Querschnittswerte Restquerschnitt	Bx [kNm²/m] [kN 1909.04 16552	Sx Kx [/m] [-] 4.621
Grafik M 1:5	beflamr 0	mine Querschnittsseite
Querschnittswerte Decke	EI ₁ E] [kNm ² /m] [kNm ² /m 3344 41	[-] [m]

18.12.2024

Baustatik - Tragwerksplanung - Bauphysik

Proiekt: Sanierung und Neubau Wohnheim "Thomas Müntzer

Datum: Position: 4-1 Auftrags-Nr.: 24-919 Seite: 62

Nachweise (GZT)

Nachweise im Grenzzustand der Tragfähigkeit nach DIN EN 1995-1-1

- Für den Schubnachweis wird die maßgebende Querkraft im Abstand h vom Auflagerrand nach DIN EN 1995-1-1/NA, NCI Zu 6.1.7 (NA.5) verwendet

Normalspannung

Biegespannungsnachweis für Beanspruchungen in Längsrichtung

	Х	Ek	${\sf k}$ mod	Lage	My,d	σ m,d	fm,d	η
	[m]				[kNm/m]	$[N/mm^2]$	$[N/mm^2]$	[-]
•	1.70	4	0.80	1	-21.65	5.70	14.77	0.39

Schubspannung

Feld 1

Feld 2

Schubspannungsnachweis für Beanspruchungen in Längsrichtung

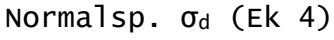
Х	Ek	k_{mod}	Lage	Vz,d	τd	∱v,d	η
[m]				[kN/m]	$[N/mm^2]$	$[N/mm^2]$	[-]
0.21	4	0.80	3	23.55	0.20	2.46	0.08

Rollschubspannungsnachweis für Beanspruchungen in Längsrichtung

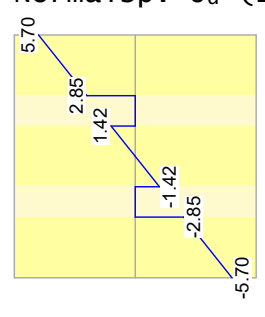
X	Ek	${\sf k}$ mod	Lage	Vz,d	τd	fπ,d	η
[m]				[kN/m]	$[N/mm^2]$	$[N/mm^2]$	[-]
0.21	4	0.80	2	23.55	0.19	0.68	0.27

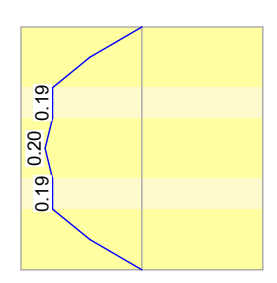
Feld 2 Grafik

Spannungsverlauf [N/mm²] für maßgebende Kombinationen



Schubsp. τ_d (Ek 4)





Auflagerpressung

Nachweis der Auflagerpressung

Abs. 6.1.5	Ek	k_{mod}	Fd	A _{ef}	k _{c90}	σ_{c90d}	f* _{c90d}	η
		[-]	[kN]	[cm ²]	[-]	$[N/mm^2]$	$[N/mm^2]$	[-]
Auflager A	3	0.80	1.08	1300.0	1.75	0.01	2.69	0.00
Auflager B	4	0.80	44.47	1600.0	1.75	0.28	2.69	0.10
Auflager C	2	0.80	17.36	1300.0	1.75	0.13	2.69	0.05
J	f* _{c90d} :	k _{c90} * f _{c90d}	l					

Lagesicherheit DIN EN 1990, 6.4.2

Lagesicherheitsnachweis in vertikaler Richtung nach NDP zu A1.3.1(3)

Aufl.	Ek	F _{d,dst}	F_d,stb	η
		[kN/m]	[kN/m]	[-]
A	23	-8.88	0.00	∞!
В	24	0.00	14.10	0.00
C	25	-0.06	5.48	0.01

ständig/vorüberg.

Zugverankerung

Aufl.	F _d , anch	ΕK
	[kN/m]	
A	-9.42	30

η

W₂₁₁1

inf 0.00

Baustatik - Tragwerksplanung - Bauphysik

Sanierung und Neubau Wohnheim "Thomas Müntzer Proiekt: 18.12.2024 Datum:

Position: 4-1 Seite: Auftrags-Nr.: 24-919 63

Nachweise (GZG)

Nachweise im Grenzzustand der Gebrauchstauglichkeit nach DIN EN 1995-1-1

- Decke innerhalb einer Nutzungseinheit

Verformungen

Nachweise der Verformungen

Abs.	7	. 2	5	

,,			** VOI II		·· Zuı	•
[m]			[mm]		[mm]	[-]
(L= 1.70)	m, NKL	1)				
1.70	19	Winst	_	1/300=	5.7	0.00
1.70	19	Wfin	_	1/200=	8.5	0.00
1.70	14	Wnet,fin	_	1/0=	inf	0.00
(L = 5.50)	m, NKL	1)				
3.00	16	Winst	12.1	1/300=	18.3	0.66
3.00	16	Wfin	16.8	1/200=	27.5	0.61

Wyorh

Feld 2

Feld 1

14 1/0 =Wnet,fin Nachweis der elastischen Durchbiegung Nachweis der Enddurchbiegung Nachweis des Durchhangs

Winst:

Wfin: Wnet,fin:

Negative Verformungen wurden zur Bemessung nicht berücksichtigt.

Schwingungen

Die Berechnung der Eigenfrequenz basiert auf einer Eigenwertanalyse mit Hilfe der Finite-Elemente-Methode.

Frequenzkriterium

0.00

f ₁	f_{grenz}	η
[Hz]	[Hz]	[-]
7.2	6.0	0.83

Steifigkeitskriterium

W2kN	Wgrenz	η
[mm]	[mm]	[-]
0.69	1.00	0.69

Die konstruktiven Mindestanforderungen sind einzuhalten:

Nassestrich oder Trockenestrich mit schwerer Schüttung

Nachweise (Brand)

Nachweise der Feuerwiderstandsfähigkeit nach DIN EN 1995-1-2, 4.2.2

- Anforderung Feuerwiderstandsklasse: F30
- Nachweis der Feuerwiderstandsdauer $t_{reg} = 30 \text{ min}$
- 1-seitige Beflammung
- Methode mit reduziertem Querschnitt
- Für den Schubnachweis wird die maßgebende Querkraft im Abstand h vom Auflagerrand nach DIN EN 1995-1-1/NA, NCI Zu 6.1.7 (NA.5) verwendet

Brandfall

Brandbeanspruchung

trea min]

einseitig (unten)

Baustatik - Tragwerksplanung - Bauphysik

Projekt: Sanierung und Neubau Wohnheim "Thomas Müntzer Datum: 18.12.2024 Auftrags-Nr.: 24-919 Position: 4-1 Seite: 64

Normalspannung	Biegespannungsnachweis Längsrichtung		für Beanspruchur		ngen in		
	Х	Ek	\mathbf{k} mod	Lage	My,d	$\sigma_{\text{m,d}}$	fm,d
	Γ 1				FlaNina / ma 1	F N L / ma ma 2 1	F N I / mm m 2 1

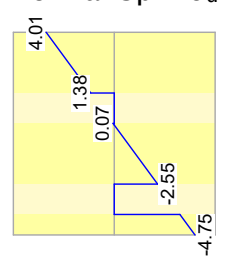
Schubspannung Schubspannungsnachweis für Beanspruchungen in Längsrichtung

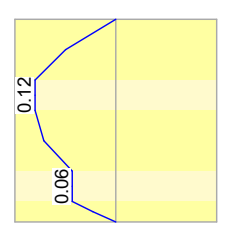
Rollschubspannungsnachweis für Beanspruchungen in Längsrichtung

X	Ek	\mathbf{k} mod	Lage	Vz,d	τd	f R,d	η
[m]				[kN/m]	$[N/mm^2]$	$[N/mm^2]$	[-] 0.09
0.21	12	1.00	2	10.77	0.12	1.27	0.09

Grafik Spannungsverlauf [N/mm²] für maßgebende Kombinationen

Normalsp. σ_d (Ek 12) Schubsp. τ_d (Ek 12)





Auflagerkräfte

Feld 2

Charakteristische und Bemessungsauflagerkräfte

Char. Auflagerkr.

	Autl.	$F_{z,k,min}$	$F_{z,k,max}$
		[kN/m]	[kN/m]
Einw. <i>Gk</i>	A	-2.17	-2.17
	В	15.66	15.66
	С	6.09	6.09
Einw. <i>Qk.N</i>	A	-4.32	2.17
•	В	2.46	15.55
	С	-0.04	6.09

Bem.-auflagerkräfte ständig/vorüberg.

Aufl.	$F_{z,d,min}$	EK	F _{z,d,max}	ΕK
	[kN/m]		[kN/m]	
A	-9.42	30	1.08	31
В	15.66	27	44.47	29
C	6.03	31	17.36	30

Zusammenfassung

Zusammenfassung der Nachweise

Nachweise (GZT)

Nachweise im Grenzzustand der Tragfähigkeit

Nachweis	Feld/Auflager	Х		η
		[m]		[-]
Normalspannung	Feld 2	0.00	OK	0.39
Schubspannung	Feld 2	0.21	OK	0.08
Rollschubspannung	Feld 2	0.21	OK	0.27
Auflagerpressung	Auflager B		OK	0.10

mb BauStatik S204.de, 2025.004

Baustatik - Tragwerksplanung - Bauphysik

Projekt:	Sanierung und Neubau Wohnheim "Thomas Müntzer			Datum:	18.12.2024
Auftrags-Nr.:	24-919	Position	1: 4-1	Seite:	65
		Nachweis	Feld/Auflager	X [m]	η [-]
		Lagesicherheit Zugv.: Für das Auflager A	ist eine Zugkraftverank	Zug	V. ∞ lich.
Nachweise	(Brand)	Brandfall im Gren	zzustand der Tra	gfähigkeit	t
		Nachweis	Feld/Auflager	x [m]	η [-]
		Normalspannung Schubspannung Rollschubspannung	Feld 2 Feld 2 Feld 2	0.00 0 0.21 0	К 0.17 К 0.03 К 0.09
Nachweise	(GZG)	Nachweise im Gren	zzust. der Gebra	uchstaugl [.]	ichkeit
		Nachweis	Feld	x [m]	η [-]
		Anfangsdurchbieg. Enddurchbiegung Schwingung	Feld 2 Feld 2 Feld 2	3.00 0 3.00 0	К 0.66 К 0.61 К 0.83

Projekt: Sanierung und Neubau Wohnheim "Thomas Müntzer

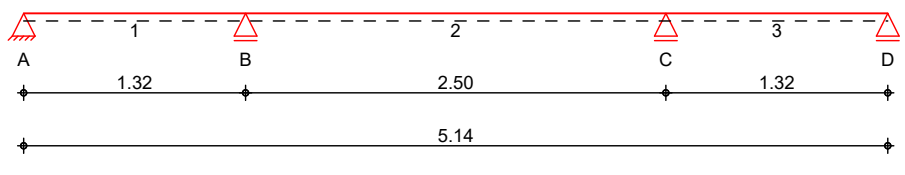
18.12.2024 Datum: Position: 5 Seite: Auftrags-Nr.: 24-919 66

BSH-Deckenunterzug Pos. 5

System

Holz-Dreifeldträger

M 1:45



Abmessungen / Nutzungsklassen

Feld	1	${f l}$ ef,m	NKL
	[m]	[m]	
1	1.32	1.32	1
2	2.50	2.50	1
3	1.32	1.32	1

Auflager

Aufl.	X	b	Transl.	Rotat.
	[m]	[cm]	[kN/m]	[kNm/rad]
Α	0.00	12.00	starr	frei
В	1.32	20.00	starr	frei
C	3.82	20.00	starr	frei
D	5.14	12.00	starr	frei

Material

BSH GL24c

Querschnitt

b/h = 20/28 cm

Einwirkungen

Einwirkungen nach DIN EN 1990:2010-12

Gk

Eigenlasten

Ständige Einwirkungen

Gk

Schnee

Qk.N Nutzlasten

Kategorie A - Wohn- und Aufenthaltsräume

Qk.S

Schnee- und Eislasten für Orte bis NN + 1000 m

min/max Werte Qk.s Wind

Qk.W

Windlasten

min/max Werte Qk.W

Qk.W.000 Anströmrichtung $\Theta = 0^{\circ}$ Anströmrichtung $\Theta = 90^{\circ}$ Qk.W.090

Belastungen

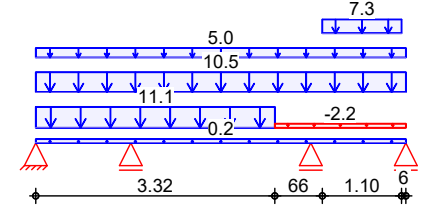
Belastungen auf das System

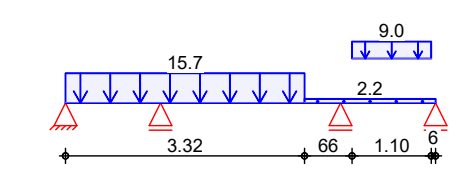
Grafik

Belastungsgrafiken (einwirkungsbezogen)

Einwirkungen

Qk.N





fw

qre

Baustatik - Tragwerksplanung - Bauphysik

Projekt: Sanierung und Neubau Wohnheim "Thomas Müntzer Datum: 18.12.2024 Auftrags-Nr.: 24-919 Position: 5 Seite: 67

Qk.S Qk.W.000

4.32 0.53

5.14

Qk.W.090

St	reckenlaste	n
in	z-Richtuna	

Gleich- und Blocklasten

III Z-Kichicung	reid Kollilli.	а	S	qli	
		[m]	[m]	[kN/m]	[kN
Einw. <i>Gk</i>	1 Eigengew	0.00	5.14		0
	(a) 1	0.00	3.32		11
	(b) 1	3.32	1.82		11 -2
	(c) 1	0.00	5.14		10
	(d) 1	0.00	5.14		5
	(e) 1	3.98	1.10		7
Einw. <i>Qk.N</i>	(a) 1	0.00	3.32		15
	(b) 1	3.32	1.82		2
	(f) 1	3.98	1.10		9
Einw. <i>Qk.S</i>	(c) 1	0.00	5.14		4
Einw. <i>Qk.W.000</i>	(c) 1	0.00	5.14		0
Einw. <i>Qk.W.090</i>	(c) 1	0.00	5.14		-1
•					

- (a) aus Pos. '4', Lager 'B' (Seite 56)
- (b) aus Pos. '4-1', Lager 'A' (Seite 64)
- (c) aus Pos. '1', Lager 'B' (Seite 38)
- (d) wandeigengewicht im OG 5 = 5.00 kN/m
- (e) Holztreppe $2*3/\cos(35) = 7.33 \text{ kN/m}$
- (f) Holztreppe 3*3 = 9.00 kN/m

Kombinationen

Kombinationsbildung nach DIN EN 1990 Darstellung der maßgebenden Kombinationen

Ek	KLED	Σ (γ*ψ*EW)		
1	sţ	1.35*Gk		
2	mп	1.35*Gk		
5	mi	1 35*ck		
,	111 1	1.33 GK		
8	тi	1.35*Gk	+1.50*Qk.N	
			(1,2)	
14	тi	1.35*Gk		
150		1 00% 61		0 50%01 6
153		1.00*GK		+0.50*Qk.S
152		1 00*ck		
132		1.00 GK		
157		1.00*Gk		+0.20*Qk.W.000
			(1,3)	•
158		1.00*Gk	+0.30*Qk.N	+0.20*Qk.W.090
	1 2 5 8 14 153 152 157	1 st 2 mi 5 mi 8 mi 14 mi 153 152 157	1 st 1.35*Gk 2 mi 1.35*Gk 5 mi 1.35*Gk 8 mi 1.35*Gk 14 mi 1.35*Gk 153 1.00*Gk 152 1.00*Gk 157 1.00*Gk	1 st 1.35*Gk

Baustatik - Tragwerksplanung - Bauphysik

Projekt: Sanierung und Neubau Wohnheim "Thomas Müntzer Datum: 18.12.2024 Auftrags-Nr.: 24-919 Position: 5 Seite: 68

	Ek KLED	Σ (γ*ψ*EW)		
	161	1.00*Gk	(2) +0.30*Qk.N (1,2)	+0.20*Qk.W.000
	165	1.00*Gk	+0.30*Qk.N	+0.20*Qk.W.000
st./vor. Auflagerkr.	177 ku	1.35*Gk	(2,3) +1.50*Qk.N	+0.75*Qk.S
	178 ku	1.35*Gk	(1,2) +1.50*Qk.N	+0.75*Qk.S
	179 ku	1.35*Gk	(1,3) +1.50*Qk.N	+0.75*Qk.S
	187 ku/sk	1.00*Gk	(2,3) +1.50*Qk.N	+0.90*Qk.W.090
	188 ku/sk	1.00*Gk	(2) +1.05*Qk.N	+1.50*Qk.W.090
	189 ku/sk	1.00*Gk	(1) +1.05*Qk.N	+1.50*Qk.w.090
	st: ständ		(3)	•
	mi: mitte ku: kurz ku/sk: kurz/	l sehr kurz		

Bem.-schnittgrößen

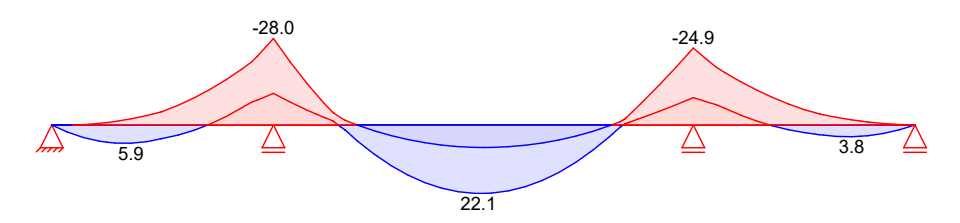
Bemessungsschnittgrößen

Grafik

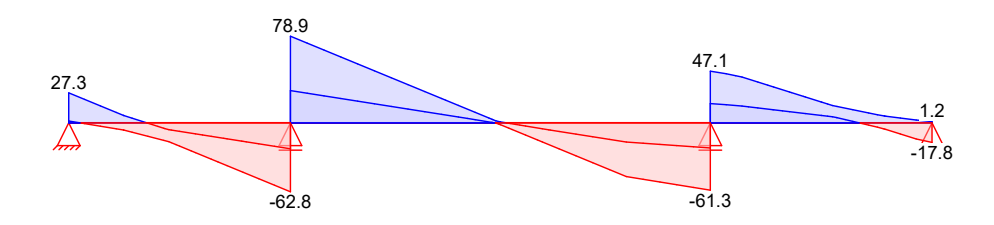
Schnittgrößen (Umhüllende)

Kombinationen

Moment My,d[kNm]



Querkraft $V_{z,d}[kN]$



Tabelle

Schnittgrößen (Umhüllende)

	Х	$M_{y,d,min}$ Ek	$M_{y,d,max}$ Ek	$V_{z,d,min}$ Ek	$V_{z,d,max}$ Ek
	[m]	[kNm]	[kNm]	[kN]	[kN]
Feld 1	0.00	0.00 4	0.00 22	1.68 4	27.33 22
	0.47	-2.00 4	5.88 22	-12.24 23	-0.33 9
	1.32	-27.96 72	-10.22 10	-62.78 72	-23.62 10
Feld 2	0.00	-27.96 72	-10.22 10	29.39 10	78.92 72
	1.22	7.24 7	22.10 23	-0.14 11	1.99 72
	2.50	-24.87113	-8.85 16	-61.31113	-22.87 16
Feld 3	0.00	-24.87113	-8.85 16	17.55 16	47.08113
	0.94	-1.67 4	3.78 22	-2.05 9	9.01 23
	1.32	0.00 4	0.00 22	-17.81 22	1.21 4

Baustatik - Tragwerksplanung - Bauphysik

Sanierung und Neubau Wohnheim "Thomas Müntzer Projekt:

18.12.2024 Datum: Position: 5 Auftrags-Nr.: 24-919 Seite: 69

Bem.-verformungen

Bemessungsverformungen

Grafik

Verformungen (Umhüllende)

Kombinationen

Verformung wz,d[mm]



Tabelle

Verformungen (Umhüllende)

	X	Wz,d,min Ek	Wz,d,max Ek
	[m]	[mm]	[mm]
Feld 1	0.00	0.00153	0.00150
	0.47	-0.16153	0.09154
	0.85	-0.25153	0.03154
	1.32	0.00149	0.00152
Feld 2	0.00	0.00149	0.00152
	1.25	0.88154	2.07152
-	2.50	0.00149	0.00152
Feld 3	0.00	0.00149	0.00152
	0.47	-0.25153	-0.02154
	0.94	-0.14153	0.04154
	1.32	0.00153	0.00150

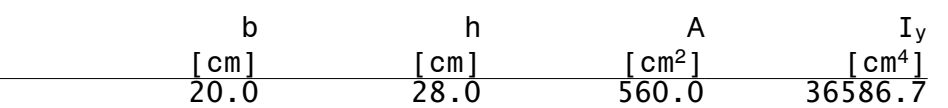
Mat./Querschnitt

nach DIN EN 1995-1-1

Material

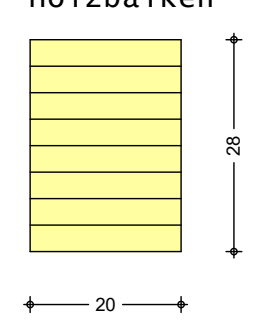
Holz	fm,k	f tok	f c0k	f c90k	fvk	Eomean	k fi
				/mm ²]			[-]
BSH GL24cf	24.0	17.0	21.5	2.5	3.5	11000	1.15
f: Lamellenlage	flachkant						

Querschnittswerte



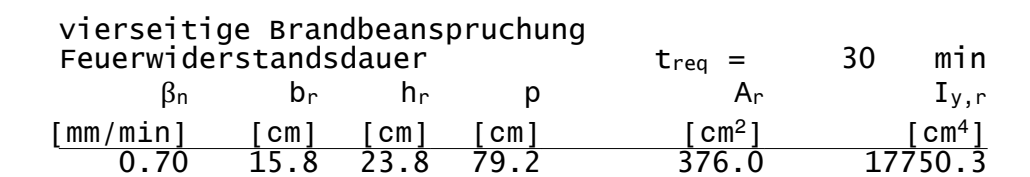
Schnitt M 1:10

Holzbalken



Brandfall

Restquerschnitt Abs. 4.2.3



18.12.2024

Baustatik - Tragwerksplanung - Bauphysik

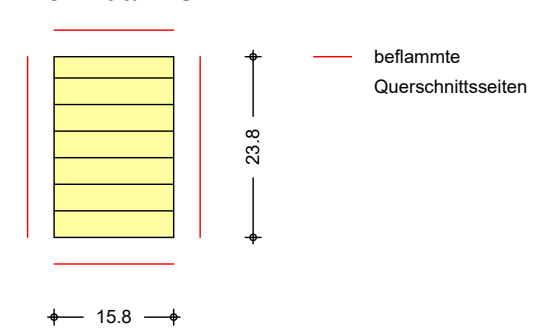
Projekt: Sanierung und Neubau Wohnheim "Thomas Müntzer

7

Datum: Position: 5 Auftrags-Nr.: 24-919 Seite: 70

Schnitt M 1:10

Holzbalken



Nachweise (GZT)

Nachweise im Grenzzustand der Tragfähigkeit nach DIN EN 1995-1-1

Biegung

Abs. 6.1

Feld 1

Feld 2

Feld 3

Nachweis der Biegetragfähigkeit

X	Ek	k_{mod}	M_{yd}	σm,d	$f_{m,d}$	η
[m]		[-]		$[N/mm^2]$	$[N/mm^2]$	[-]
L = 1.32	m, k _{cri}	$t_t = 1.00$				
1.32	8	0.80	-26.52	10.15	14.77	0.69*
L = 2.50	m, k _{cri}	t = 1.00)			
0.00	8	0.80	-26.52	10.15	14.77	0.69*
L = 1.32	m, K _{cri}	t = 1.00				
0.00	14	0.80	-23.44	8.97	14.77	0.61*

Querkraft

Abs. 6.1.7

Feld 1 Feld 2 Feld 3

Nachweis der Querkrafttragfähigkeit

Χ	Ek	k_{mod}	$V_{z,d}$	τ_{d}	$f_{v,d}$	η
[m]		[-]	[kN]	$[N/mm^2]$	$[N/mm^2]$	[-]
0.32	2	0.80	7.14	0.27	2.15	0.12
0.94	8	0.80	-36.84	1.38	2.15	0.64*
0.38	8	0.80	52.14	1.96	2.15	0.91*
2.12	14	0.80	-49.08	1.84	2.15	0.85
0.38	14	0.80	30.53	1.14	2.15	0.53*
1.00	5	0.80	7.24	0.27	_	0.13

Stabilität

Abs. 6.3

Nachweis der Stabilität

Der Einfluss der Stabilität ist im Nachweis der Biegetragfähigkeit enthalten. Folgende Ersatzstablängen werden berücksichtigt.

Ersatzstablängen

	1	$1_{ extsf{ef}, extsf{m}}$
	[m]	[m]
Feld 1	1.32	1.32
Feld 2	2.50	2.50
Feld 2 Feld 3	1.32	1.32

Auflagerpressung Abs. 6.1.5

Auflager A Auflager B Auflager C Auflager D

Nachweis der Auflagerpressung

Ek	k_{mod}	F_d	A_{ef}	k_{c90}	σ_{c90d}	f* c90d	η
		[kN]	$[cm^2]$	[-]	$[N/mm^2]$	$[N/mm^2]$	[-]
2	0.80	26.28	300.0	1.75	0.88	2.69	0.33
8	0.80	134.42	520.0	1.75	2.59	2.69	0.96
14	0.80	101.12	520.0	1.75	1.94	2.69	0.72
2	0.80	16.76	300.0	1.75	0.56	2.69	0.21
f*cond:	kcan * fca	104					

Projekt: Sanierung und Neubau Wohnheim "Thomas Müntzer 18.12.2024 Datum: Position: 5 Seite: Auftrags-Nr.: 24-919 71

Nachweise (GZG)

Nachweise im Grenzzustand der Gebrauchstauglichkeit nach DIN EN 1995-1-1

- Decke innerhalb einer Nutzungseinheit

Verformungen Abs. 7.2

Feld 1

Feld 2

Feld 3

Nachweise der Verformungen

X	Ek	Norm	$W_{ extsf{vorh}}$		w_{zul}	η
[m]			[mm]		[mm]	[-]
(L=1.32)	? m, NKL	1, k _{def} =	= 0.60)			
0.86	153	Winst	-0.2	1/300=	-4.4	0.06
0.98	152	Wnet,fin	-0.2	1/300=	-4.4	0.05
(L=2.50)) m, NKL	1, k _{def} =	= 0.60)			
1.25	153	Winst	1.9	1/300=	8.3	0.23
1.25	152	Wnet,fin	2.1	1/300=	8.3	0.25
(L=1.32)	? m, NKL	<i>1, k_{def} =</i>	= 0.60)			
0.46	153	Winst	-0.3	1/300=	-4.4	0.06
0.39	152	Wnet,fin	-0.2	1/300=	-4.4	0.05
Winst:	Nachweis d	ler elastisch	en Durchbied	gung		

Wnet,fin: Nachweis des Durchhangs

Schwingungen

Nachweis nach Schneider: Bautabellen (20. Aufl.)

Abs. 7.3.3(1)

Frequenzkriterium	
•	

Abs. 7.3.3(2)

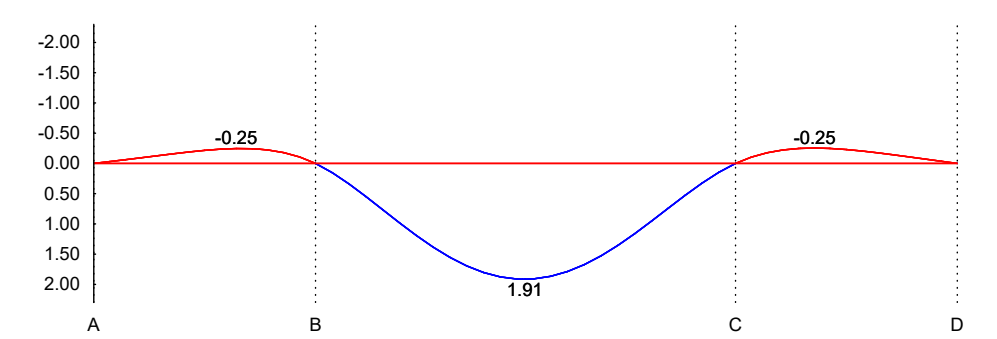
W _{1kN}	Wgrenz	η
[mm]	[mm]	[-]
0.08	1.00	0.08

Die konstruktiven Mindestanforderungen sind einzuhalten:

Nassestrich oder Trockenestrich mit schwerer Schüttung

Anfangsdurchbiegung Winst [mm]

M 1:45



Position: 5 Auftrags-Nr.: 24-919

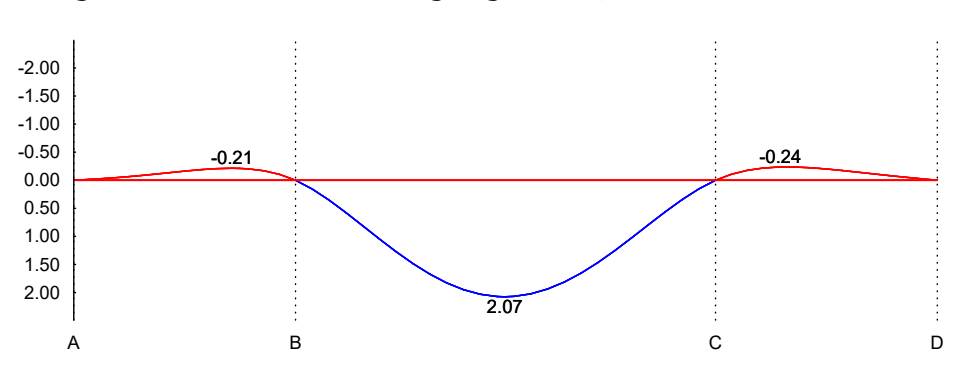
Datum:

18.12.2024

Seite: 72

M 1:45

gesamte Enddurchbiegung Wnet, fin [mm]



Nachweise (Brand)

Nachweise der Feuerwiderstandsfähigkeit nach DIN EN 1995-1-2, 4.2.3

- Anforderung Feuerwiderstandsklasse: R30
- Nachweis der Feuerwiderstandsdauer $t_{reg} = 30 \text{ min}$
- 4-seitige Beflammung
- Methode mit reduzierten Eigenschaften

Brandfall

Brandbeanspruchung

trea [min] 30

n

vierseitig (oben/unten/links/rechts)

Riegung

DIC	ัษ			
Abs		6	. 1	-

Feld 1

Feld 2

Feld 3

Nachweis	der	Biegetragfäh	igkeit
Y	Fk	kmad fi	Mudfi

^		Milou, II	wyu, i i	OIII, U, II	' III , U , I I	'
[m]		[-]	[kNm]	$[N/mm^2]$	$[N/mm^2]$	[-]
(L = 1.32)	2 m, k	$K_{crit} = 1.00$)			
		0.89		9.34	24.69	0.38*
(L = 2.50)	0 m, R	$k_{crit} = 1.00$)			
0.00	161	0.89	-13.93	9.34	24.69	0.38*
(L = 1.32)	2 m, k	$k_{crit} = 1.00$)			
0.00	165	0.89	-12.42	8.32	24.69	0.34*

Querkraft Abs. 6.1.7

Nachweis der Querkrafttragfähigkeit

X	Ek	$k_{mod,fi}$	$V_{z,d,fi}$	τd,fi	$f_{v,d,fi}$	η
[m]		[-]	[kN]	$[N/mm^2]$	$[N/mm^2]$	[-]
0.32	157	0.89	1.58	0.09	3.60	0.02
0.94	161	0.89	-19.41	1.08	3.60	0.30*
0.38	161	0.89	27.42	1.53	3.60	0.43*
2.12	165	0.89	-25.90	1.45	3.60	0.40
0.38	165	0.89	16.30	0.91	3.60	0.25*
1.00	158	0.89	2.13	0.12	3.60	0.03

Stabilität

Abs. 6.3

Nachweis der Stabilität

Der Einfluss der Stabilität ist im Nachweis der Biegetragfähigkeit enthalten. Folgende Ersatzstablängen werden berücksichtigt.

Ersatzstablängen

	1	$1_{ef,m}$
	[m]	[m]
Feld 1 Feld 2	1.32	1.32
Feld 2	2.50	2.50
Feld 3	1.32	1.32

Baustatik - Tragwerksplanung - Bauphysik

Projekt: Sanierung und Neubau Wohnheim "Thomas Müntzer Datum: 18.12.2024 Auftrags-Nr.: 24-919 Position: 5 Seite: 73

Auttrays-Nr. 24-919			Oeite.	
<u>Auflagerkräfte</u>	Charakteristische	und Bemessungsaufl	agerkräfte	
Char. Auflagerkr.	Aufl.	$F_{z,k,min}$	F ₂	z,k,max
Einw. <i>Gk</i>	A	[kN] 8.79		[kN] 8.79
	B C D	59.93 47.68 5.30		59.93 17.68 5.30
Einw. <i>Qk.N</i>	A B	-4.38 -0.70		9.60
Einw. <i>Qk.S</i>	C D A	-1.03 -3.98 1.41		24.50 6.40 1.41
	B C	9.70 9.70		9.70 9.70
Einw. <i>Qk.W.000</i>	D A B	1.41 0.17 1.19		$ \begin{array}{r} 1.41 \\ 0.17 \\ 1.19 \end{array} $
Figure Ok W 000	C D	1.19 0.17		1.19 0.17 -0.60
Einw. <i>Qk.W.090</i>	A B C	-0.60 -4.12 -4.12	- -	-4.12 -4.12
Bemauflagerkräfte	D	-0.60	-	-0.60
ständig/vorüberg.	Aufl.	F _{z,d,min} EK [kN]	F _{z,d,max} [KN]	EK
	A B C	1.68 187 53.02 189 40.42 188	27.33 141.70 108.39	178 177 179
	D	-1.21 187	17.81	178
<u>Zusammenfassung</u>	Zusammenfassung de	er Nachweise		
Nachweise (GZT)	Nachweise im Gre	nzzustand der Trac	gfähigkeit	
	Nachweis	Feld/Auflager	X [m]	η [-]
	Biegung Querkraft Auflagerpressung	Feld 2 Feld 2 Auflager B	0.00 OK 0.38 OK OK	0.69 0.91 0.96
Nachweise (Brand)	Brandfall im Gre	nzzustand der Trac	gfähigkeit	
	Nachweis	Feld/Auflager	X [m]	η [-]
	Biegung Querkraft	Feld 2 Feld 2	0.00 OK 0.38 OK	0.38
Nachweise (GZG)	Nachweise im Gre	nzzust. der Gebrau	uchstauglich!	keit
	Nachweis	Feld	X	η

-Viewer Version zozo - Copyright zoz+ - IIID AEC Sonware Gillon

OK OK OK

X [m]

Anfangsdurchbieg. Feld 2 gesamte Enddurchb. Feld 2 Schwingung Feld 2

Sanierung und Neubau Wohnheim "Thomas Müntzer Projekt:

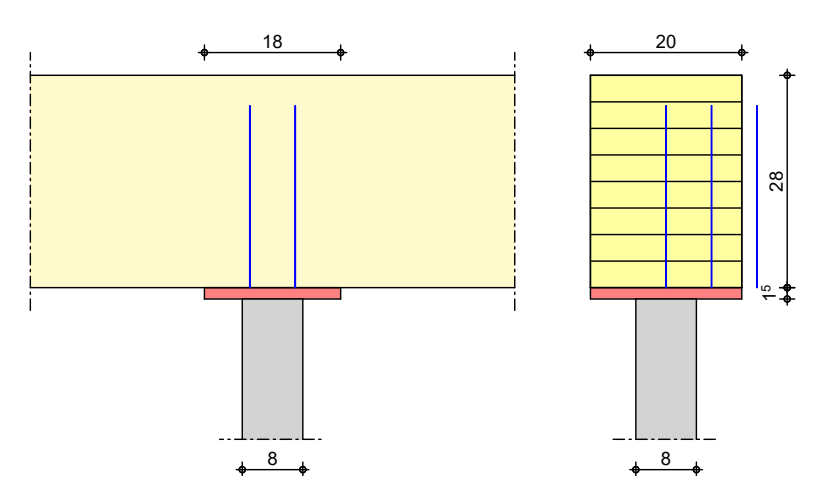
18.12.2024 Datum: Position: 5.1 Auftrags-Nr.: 24-919 Seite: 74

Querdruckverstärkung Mittelauflager Pos. 5.1

Geometrie

M 1:10

Holz-Auflagernachweis mit Querdruckverstärkung nach DIN EN 1995-1-1



Mat./Querschnitt

Bauteil	Material	Querschnitt
		[cm]
Träger	BSH GL24c	20.0/28.0
Stütze	<u>-</u>	8.0/8.0

Nutzungsklasse 1

Verstärkung

mit Vollgewindeschrauben	und einer	Lastp	latte
Art	N längs	Nquer	Abm.
			[mm]
Holzschraube Würth ASSY	2	3	8.0x240
plus (Vollgewinde,			
Senkkopf) ¹			
Lastplatte (1/b/t) 1: ETA-11/0190			180/200/15

Belastungen

Αı	uf	la	ae	:rl	.as	te	n

Einw.	Gk
Einw.	Qk.N
Einw.	Qk.S
Einw.	Qk.W

ве	lastungen	aut	das	System

	[kN]
	59.93
	35.68
	9.70
	1.19

Kombinationen

Kombinationsbildung nach DIN EN 1990 Darstellung der maßgebenden Kombinationen

ständig/vorüberg.

Ek	KLED	Σ (γ*ψ*EW)			
2	mi	1.35*Gk	+1.50*Qk.N		
5		1.35*Gk	+1.50*Qk.N	+0.75*Qk.S	
mi:	mittel				
ku:	kurz				

Mat./Querschnitt

nach DIN EN 1995-1-1

Grafik

Träger

Komm.

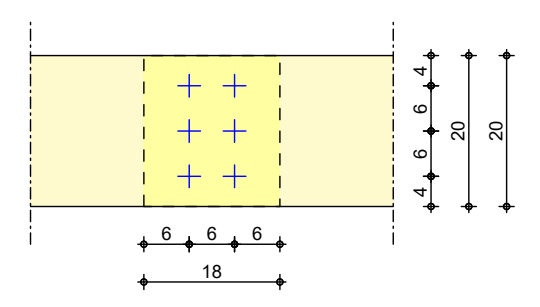
 $\,F_z\,$

Baustatik - Tragwerksplanung - Bauphysik

Sanierung und Neubau Wohnheim "Thomas Müntzer Projekt: 18.12.2024 Datum:

Position: 5.1 Auftrags-Nr.: 24-919 Seite: 75

M 1:10



Nachweise (GZT)

Nachweis im Grenzzustand der Tragfähigkeit nach DIN EN 1995-1-1 und ETA-11/0190

Querdruck

vertikale Druckkraft

ΕK	${\sf k}$ mod	Fc,90,d	Bauteil	k c,90	$F_{c,90,Rd}$	η
	[-]	[kN]		[-]	[kN]	[-]
2	0.80	134.42	Träger	1.75	[kN] 154.46	0.87 s
5	0.90	141.70	Träger	1.75	173.77	0.82 s
s: r	maßgebende Stel ⁻	le: Schraubei	nspitze			

Lastplatte

Nachweis der Tragfähigkeit der Lastplatte

EK	Baut.	M	σ	σRd	η
		[kNm]	$[N/mm^2]$	$[N/mm^2]$	[-]
2		0.62	82.30	213.64	0.39
5		0.68	90.15	213.64	0.42

- Die Druckkraft muss mittels einer starren Lagerung gleichmäßig verteilt werden.
- Die Schrauben sind bündig einzudrehen.

Zusammenfassung

Zusammenfassung der Nachweise

Nachweise (GZT)

Nachweise im Grenzzustand der Tragfähigkeit

Nachweis	Bauteil	η
		[-]
Querdruck	Träger	OK 0.87
Lastplatte	Träger	OK 0.42

Sanierung und Neubau Wohnheim "Thomas Müntzer Projekt:

18.12.2024 Datum: Position: 6 Seite: Auftrags-Nr.: 24-919 76

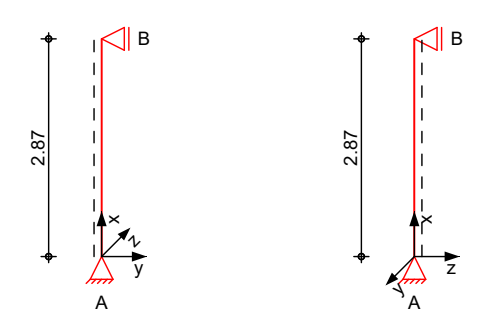
Pos. 6

Stütze unter BSH-Deckenunterzug

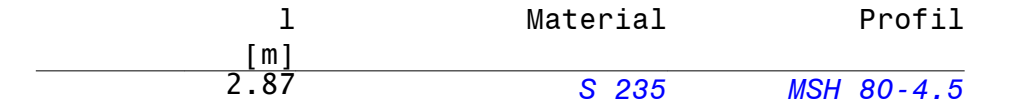
System

Stahlstütze, DIN EN 1993-1-1:2010-12

м 1:100



Abmessungen Mat./Querschnitt



Auflager

Lager	Χ	$K_{T,z}$	$K_{R,y}$	$K_{T,y}$	$K_{R,z}$	Gabell.
	[m]	[kN/m][kN	m/rad]	[kN/m][kN	lm/rad]	
В	2.87	fest	frei	fest	frei	fest
Α	0.00	fest	frei	fest	frei	fest

Knicklängen

 $L_{cr,y} = 2.87 \text{ m}$ $L_{cr,z} = 2.87 \text{ m}$

Kipplänge Lagerung

Lcr, LT = 2.87 m unten: Gabel, oben: Gabel

Belastungen

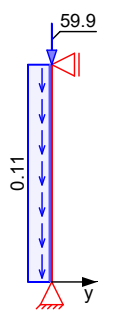
Belastungen auf das System

Grafik

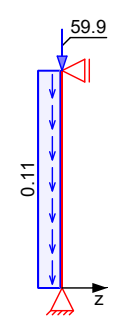
Belastungsgrafiken (einwirkungsbezogen)

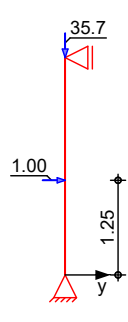
Gk

Einwirkungen



Gk

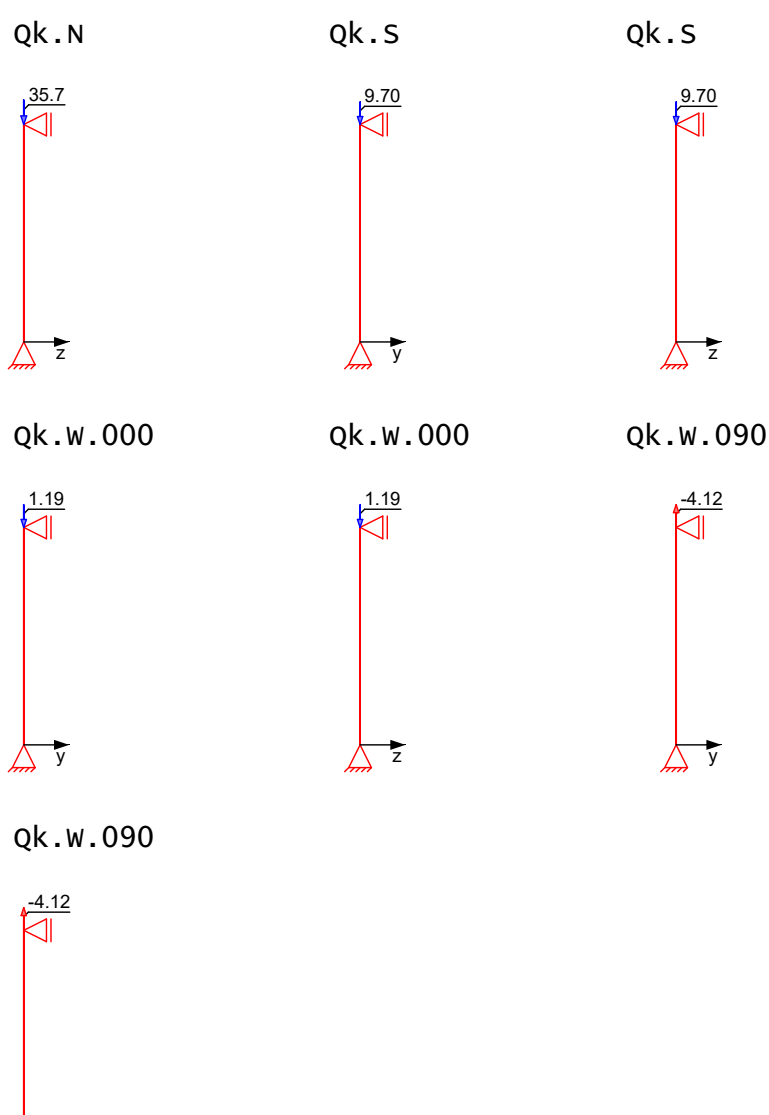




Qk.N

Baustatik - Tragwerksplanung - Bauphysik

Projekt: Sanierung und Neubau Wohnheim "Thomas Müntzer 18.12.2024 Datum: Position: 6 Auftrags-Nr.: 24-919 Seite: 77



Streckenlasten	Komm.	a	s	\mathbf{q}_{u}	qo
in x-Richtung		[m]	[m]	[kN/m]	[kN/m]
Einw. <i>Gk</i>	Eigengew	0.00	2.87		0.11

Punktlasten in x-Richtung Finw Gk

⊏ IIIW.	
Einw.	
Einw.	
Einw.	Qk.W.000
Einw.	Qk.W.090

(a)

Nomini.	u	3	Чu	90
	[m]	[m]	[kN/m]	[kN/m]
Eigengew	0.00	2.87		0.11
Einzellasten				

	Komm.	а	F_{x}	e_y	ez
		[m]	[kN]	[cm]	[cm]
(a)		2.87	59.93	0.0	0.0
(a)		2.87	35.68	0.0	0.0
(a)		2.87	9.70	0.0	0.0
(a)		2.87	1.19	0.0	0.0
(a)		2.87	-4.12	0.0	0.0

aus Pos. '5', Lager 'B' (Seite 73)

Datum:

18.12.2024

Baustatik - Tragwerksplanung - Bauphysik

Auftrags-Nr.: 24-919	Position: 6	Seite: 7
Punktlasten in y-Richtung	Einzellasten Komm. a	Fy
Einw. <i>Qk.N</i>	[m] 1.25	[kN] 1.00
<u>Kombinationen</u>	Kombinationsbildung nach DII Darstellung der maßgebende	N EN 1990 en Kombinationen
	- Die Lasten der Einwirkung ungünstiger Laststellung an	Qk.N werden in gesetzt
ständig/vorüberg.	Ek Σ (γ*ψ*EW) 2 1.35*Gk +1.50* (2)*	Qk.N
_	5 1.35*Gk +1.50* (1,2)*	
selten	15 1.00*Gk +1.00* (2)* *: entspricht dem Ort des Lastangriffs.	
Bemverformungen	Bemessungsverformungen Theo	
Tabelle	Verformungen (maßgebende)	
Komb. <i>15</i>	Ges. x [m] 2.87 1.35 0.00	Wy,d [mm] 0.00 1.82* 0.00*
Mat./Querschnitt	Material- und Querschnittsw	erte nach DIN EN 1993
Material	Material f _{yk} [N/mm²] S 235	[N/mm ²]
Querschnitt	Profil A [cm ²] [0	$\begin{array}{cccccccccccccccccccccccccccccccccccc$
Grafik	w: warm hergestellt Querschnittsgrafik	
M 1:15	y vz	

Sanierung und Neubau Wohnheim "Thomas Müntzer

Projekt:

η

 cm

 $V_{z,d}$

18.12.2024 Datum: Position: 6 Auftrags-Nr.: 24-919 Seite: 79

Nachweise (GZT)

Nachweise im Grenzzustand der Tragfähigkeit nach DIN EN 1993

Quersch.-klasse c/t-Verhältnis Nachweis E-E Abs. 6.2

Maßgebende Querschnittsklasse: Klasse 1

 $N_{x.d}$

Nachweis der Biege- und Querkrafttragfähigkeit

			$M_{z,d}$	$V_{y,d}$	τ_{d}	
					$\sigma_{\text{v,d}}$	
[m]		[kN]	[kNm]	[kN]	$[N/mm^2]$	[-]
2.87	5	-141.70	0.00	0.00	105.75	0.45
			0.00	-0.65	1.05	
					105.76	
1.25	5	-141.93	0.00	0.00	139.52	0.59*
			-1.06	0.85	1.36	
					139.53	
0.00	5	-142.11	0.00	0.00	106.05	0.45
			0.00	0.85	1.36	

 $M_{V,d}$

Stabilität

Nachweis der Stabilität

Festhaltungen Stab 0

x-Koordinaten [m] bzgl. Stabanfang

0.00 GL, 2.87 GL GL: Gabellager

Globale Beiwerte

Angriffspunkt der Last: Teilsicherheitsbeiwert:

$z_p =$	0.00	
$\gamma_{m,1} =$	1.10	

106.08

Х	Ek	$N_{x,d}$	χу	M_{z} , d	η
		N_{Rd}	χz	M_{z} ,Rd	
[m]		[kN]	[-]	[kNm]	[-]
(<i>Lcr</i> , <i>y</i> = 1.25	= <i>2.87</i> 5	$7m$, $L_{cr,z} = -141.93$ 286.27	<i>2.87m)</i> 0.67 0.67	-1.06 8.23	0.93*

Nachweise (GZG)

Nachweise im Grenzzustand der Gebrauchstauglichkeit nach DIN EN 1993

Verformungsnachwei

max. Verformungen Ek

X	Ek
[m]	
1 44	15

$$w_{zu1}$$
 η $[mm]$ $[-]$ 9.57 0.19

Auflagerkräfte

Geschoss 1

Charakteristische und Bemessungsauflagerkräfte

Char. Auflagerkr.

	Aufl.	F _{x,k}	$F_{z,k}$	F _{y,k}
		[kN]	[kN]	[kN]
Einw. <i>Gk</i>	A	60.23	0.00	0.00
	В	0.00	0.00	0.00
Einw. <i>Qk.N</i>	A	35.68	0.00	0.56
	В	0.00	0.00	0.44
Einw. <i>Qk.S</i>	A	9.70	0.00	0.00
	В	0.00	0.00	0.00
Einw. <i>Qk.W.000</i>	A	1.19	0.00	0.00
	В	0.00	0.00	0.00

Baustatik - Tragwerksplanung - Bauphysik

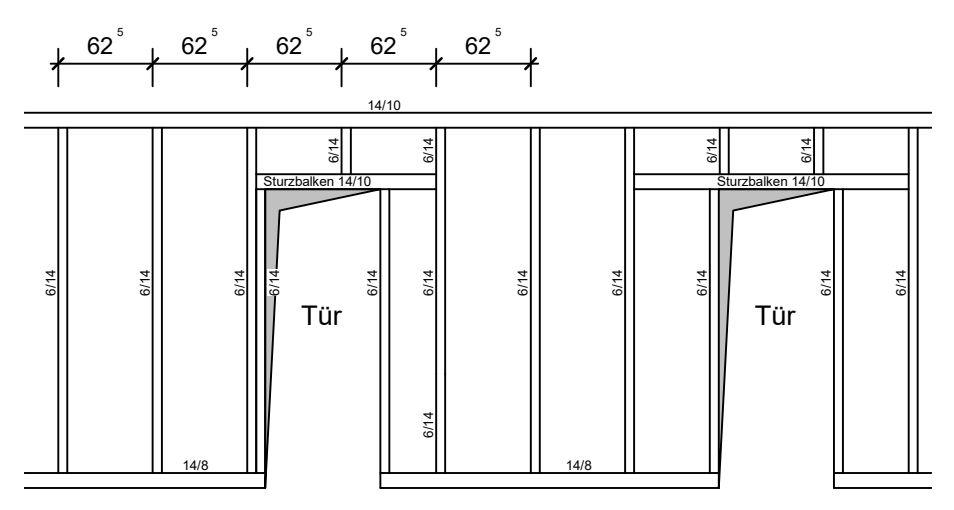
		Badotatin	rr agnor Ropianang	Baapiiyozik
-	nd Neubau Wohn	heim "Thomas Müntzer	Datum:	18.12.2024
Auftrags-Nr.: 24-919		Position: 6	Seite:	80
	Aufl.	F _{x,k}	$F_{z,k}$	$F_{y,k}$
		[kN]	[kN]	[kN]
Einw. <i>Qk.W.090</i>	A	-4.12	0.00	0.00
	В	0.00	0.00	0.00
2 " (] " () -				
Bemauflagerkräfte		_	_	_
	Aufl.	F _{x,d}	$F_{z,d}$	$F_{y,d}$
1	-	[kN]	[kN]	[kN]
Komb. 1	Ā	81.31	0.00	0.00
Kamb 2	<u>B</u> A	0.00	0.00	0.00
Komb. 2		81.31 0.00	0.00 0.00	0.85 0.65
Komb. <i>3</i>	<u>B</u> A	88.59	0.00	0.85
Rollio. 9		0.00	0.00	0.65
Komb. 4	B A	82.38	0.00	0.85
		0.00	0.00	0.65
Komb. <i>5</i>	B A	142.11	0.00	0.85
	В	0.00	0.00	0.65
Komb. <i>6</i>	A	142.11	0.00	0.00
Kamb 7	B A	0.00	0.00	0.00
Komb. 7		77.60 0.00	0.00 0.00	0.85 0.65
Komb. 8	<u>B</u> A	60.23	0.00	0.85
Rollib. 0	B	0.00	0.00	0.65
Komb. <i>9</i>	Ā	67.51	0.00	0.85
	В	0.00	0.00	0.65
Komb. <i>10</i>	A	61.30	0.00	0.85
	<u>B</u> A	0.00	0.00	0.65
Komb. <i>11</i>		56.52	0.00	0.85
Komb. <i>12</i>	<u>B</u> A	0.00 54.05	0.00	0.65
KUIID. 12	В	0.00	0.00	0.00
Komb. <i>13</i>	A	54.05	0.00	0.59
Kombi 13	В	0.00	0.00	0.46
Zusammenfassung	Zusammenfas	sung der Nachweise	e	
Nachweise (GZT)	Nachweise	im Grenzzustand d	der Tragfähigkei	t
	Nachweis		X	η
			[m]	[-]
	Nachweis E-	·E		OK 0.59
	Stabilität		1.25 C	OK 0.93
Nachweise (GZG)	Nachweise	im Grenzzust. der	Gebrauchstaugl	ichkeit
	Nachweis		X	η
			[m]	[-]
	Verformunge	en	1.44 C	ок 0.19

Baustatik - Tragwerksplanung - Bauphysik

Sanierung und Neubau Wohnheim "Thomas Müntzer Projekt: 18.12.2024 Datum:

Position: 7 Seite: Auftrags-Nr.: 24-919 81

Innenwand-Holzrahmenbau Pos. 7



Prinzipskizze - Wandansicht

Bauteile: KVH C24 Innenstiele: 6/14 cm

> Endstiele: 6/14 Seitenstiele Öffnungen: 6/14

Schwellen: ≥ 14/8 (ggf. 6cm Doppelschwelle)

Rähme: $\geq 14/10$

Scheibenbeplankung: OSB/3 t=15mm (einseitig)

Verankerung der Schwellen auf Beton:

Anker M12 (z.B. Injektionsanker Fischer FIS V), Abstand a ≤ 1,0 m mit großen Holzbauscheiben

Je Wandende 2 Anker setzen! Alternativ Zuganker anordnen!

Verankerung der Schwellen auf Deckenbalken:

je Deckenbalken 2 Vollgewindeschrauben Ø8

Die vorhandene Feuerwiderstandsdauer wird gem. DIN 4102-4 in die Klasse F30 eingeordnet.

Bemessung einer Holz-Wandscheibe, DIN EN 1995-1-1 System

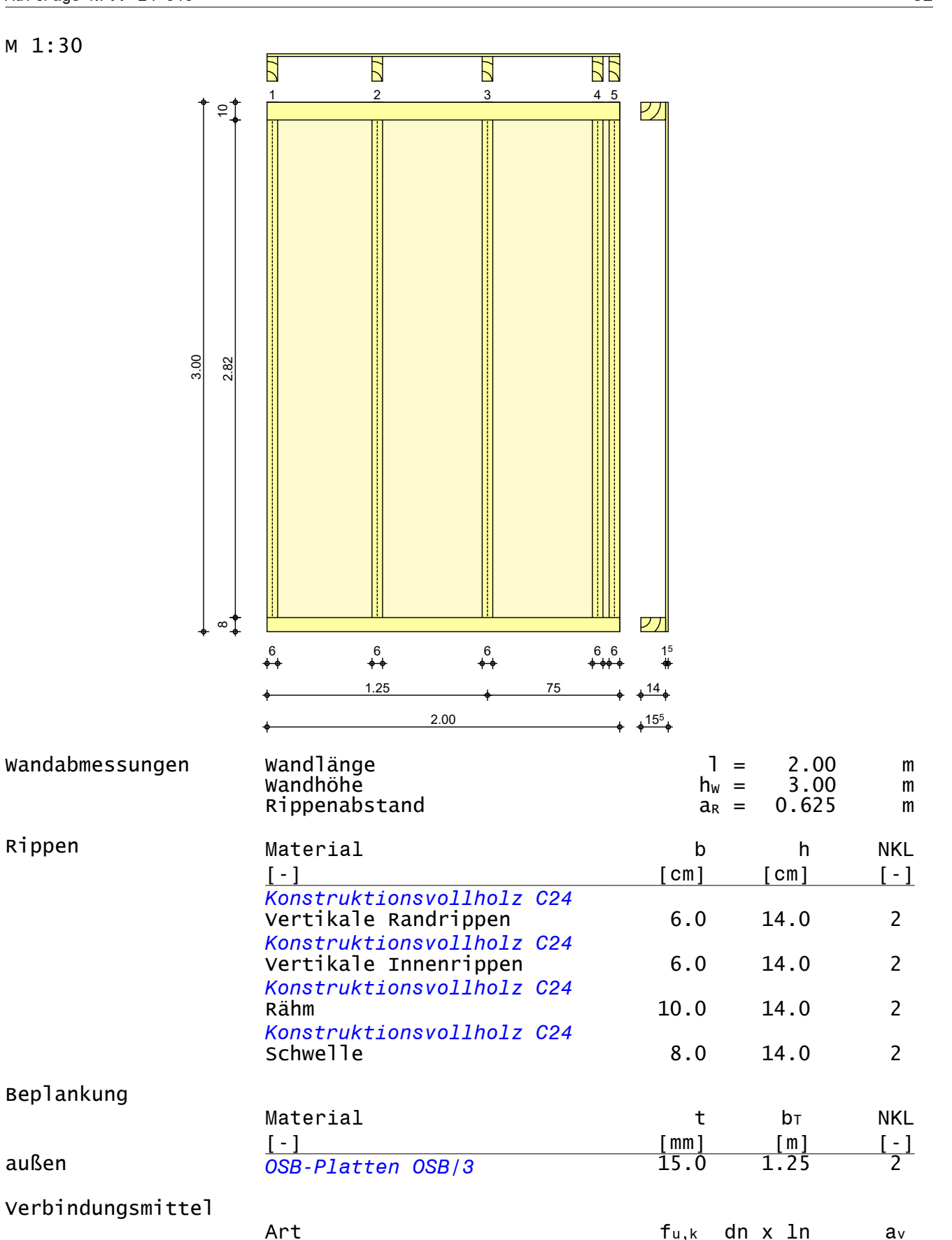
Sanierung und Neubau Wohnheim "Thomas Müntzer Projekt: 18.12.2024 Datum: Position: 7 Auftrags-Nr.: 24-919 Seite: 82



Rippen

außen

außen



cm]

mm

2.7x60

[-]

Nage1

[N/mm²]

600

Baustatik - Tragwerksplanung - Bauphysik

Projekt: Sanierung und Neubau Wohnheim "Thomas Müntzer Datum: 18.12.2024 Auftrags-Nr.: 24-919 Position: 7 Seite: 83

Belastungen

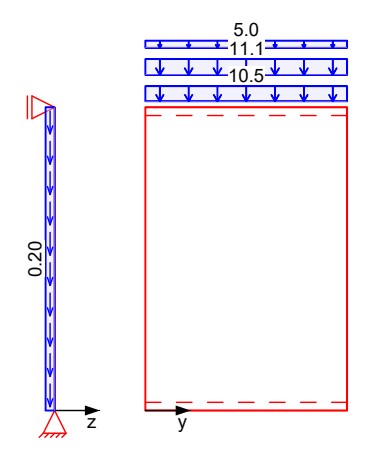
Belastungen auf das System

Grafik

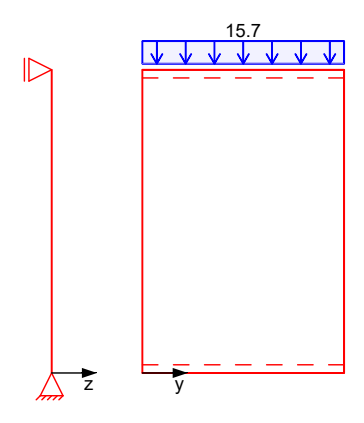
Belastungsgrafiken (einwirkungsbezogen)

Einwirkungen

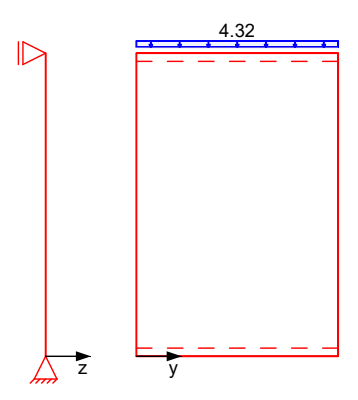
Gk



Qk.N



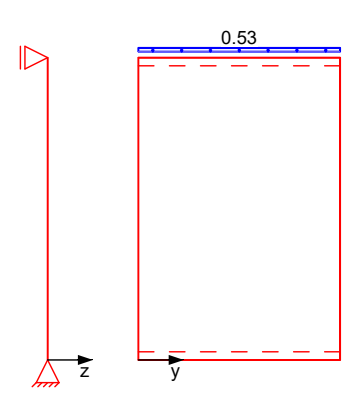
Qk.s



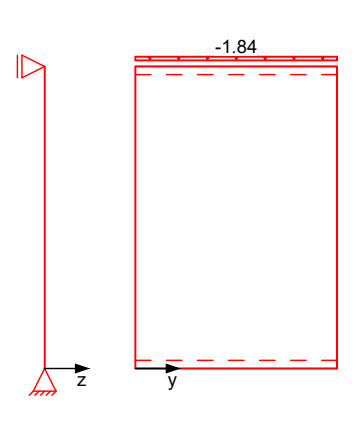
Baustatik - Tragwerksplanung - Bauphysik

Projekt: Sanierung und Neubau Wohnheim "Thomas Müntzer Datum: 18.12.2024 Auftrags-Nr.: 24-919 Position: 7 Seite: 84

Qk.W.000



Qk.W.090



Streckenlasten	
in v-Richtung	

Einw. Gk

Einw. Qk.N

Einw. Qk.S

Einw. Qk.W.000

Einw. Qk.W.090

Gleichlasten

KOIIIII .	a	8	Чu	4 0
	[m]	[m]	[kN/m]	[kN/m]
(a)	0.00	2.00		10.52
(b)	0.00	2.00		11.09
(c)	0.00	2.00		5.00
(b)	0.00	2.00		15.74
(a)	0.00	2.00		4.32
(a)	0.00	2.00		0.53
(a)	0.00	2.00		-1.83

(a) aus Pos. '1', Lager 'B' (Seite 38)

(b) aus Pos. '4', Lager 'B' (Seite 56)

(c) Wandeigengewicht im OG 5 = 5.00 kN/m

Flächenlasten

in x-Richtung
Einw. *Gk*

Kombinationen

Kombinationsbildung nach DIN EN 1990 Darstellung der maßgebenden Kombinationen

Baustatik - Tragwerksplanung - Bauphysik

Projekt:	Sanierung	und Neubau	Wohnheim	"Thomas	Müntzer	Datum:	18.12.2024
Auftrags-Nr.:	24-919		Posi	tion: 7		Seite:	85

Ek KLED Σ ($\gamma*\psi*EW$)	
1 st 1.35*Gk	
2 mi 1.35*Gk	+1.50*Qk.N
62 ku/sk 0.90*Gk	+1.50*Qk.W.090
st: ständig	
	1 st 1.35*Gk 2 mi 1.35*Gk 62 ku/sk 0.90*Gk

ΕK

Bem.-schnittgrößen

	2	0.00		
Rippen-	EK	Fz,d	$V_{ extsf{y}}$,d	Mx,d
nr.	[-]	[kN]	[kN]	[kNm]
1	1	11.48	0.00	0.00
2		22.96	0.00	0.00
5		2.30	0.00	0.00
1	2	18.86	0.00	0.00
2		37.71	0.00	0.00
5		3.77	0.00	0.00

Fv,d

[kN]

Mat./Querschnitt

Rippen	Material	$f_{my,k}$	$f_{c,0,k}$	f _{c,90,k}	$f_{t,0,k}$	$E_{0,mean}$
	[-]	$[N/mm^2][N$	l/mm2]	[N/mm2]	[N/mm²]	[N/mm ²]
vertikal Rand	KVH C24	24.0	21.0	2.5	14.5	11000
vertikal Innen	KVH C24	24.0	21.0	2.5	14.5	11000
Rähm	KVH C24	24.0	21.0	2.5		11000
Schwelle	KVH C24	24.0	21.0	2.5	14.5	11000
Beplankung	Material			fv,k	f c,0,k	Gmean
	[-]		[N]	/mm2] [N/mm2]	[N/mm2]
außen	OSB/3		-	6.8	15.4	1080
Verbindungsmittel	Тур				$F_{v,Rk}$	av
	[-]				[kN]	[cm]
außen	Nagel 2.7x60				0.73	8.0
off chaifighair		ومراطم للأرام ومرور	: _	F T -	1227	C Laum 2
eff. Steifigkeit	im GZ Gebrauchst		ΙL	EIef =	1237	-
	im GZ Tragfähigk	eit		$EI_{ef} =$	715	2 kNm²

Nachweise (GZT)

nach DIN EN 1995-1-1

Imperfektionen der Wand werden nicht berücksichtigt. Die erforderlichen Randbedingungen nach 9.2.4.2 (NA.18) wurden überprüft.

Die Beplankung ist einmal horizontal gestoßen. Der Stoß ist schubsteif auszuführen. Der Nachweis der Verformung wird geführt.

Scheibenbeanspr. Abs. 9.2.3

R1.	ΕK	Kmod	⊦v,d	Ms,z,d	S v,0,d	Tv,0,d	η
nr.	[-]	[-]	[kN]	[kNm]	[N/mm]	[N/mm]	[-]
1	1	0.30	0.00	0.00	0.00	2.96	0.00
2^1	1	0.30	0.00	0.00	0.00	2.96	0.00
5	1	0.30	0.00	0.00	0.00	2.96	0.00
	nr.	R1. EK nr. [-] 1 1 2 ¹ 1 5 1	nr. [-] [-] 1 1 0.30 2 ¹ 1 0.30	nr. [-] [-] [kN] 1 1 0.30 0.00 2¹ 1 0.30 0.00	nr. [-] [-] [kN] [kNm] 1 1 0.30 0.00 0.00 2¹ 1 0.30 0.00 0.00	nr. [-] [-] [kN] [kNm] [N/mm] 1 1 0.30 0.00 0.00 0.00 2¹ 1 0.30 0.00 0.00 0.00	nr. [-] [-] [kN] [kNm] [N/mm] [N/mm] 1 1 0.30 0.00 0.00 0.00 2.96 2 ¹ 1 0.30 0.00 0.00 0.00 2.96

Baustatik - Tragwerksplanung - Bauphysik

=	ınd Neubau Wohnheim "Thomas Mün	tzer	Datum: 18.12.2024
Auftrags-Nr.: 24-919	Position: 7		Seite: 86
Auflagerdruck Abs. 6.1.5	Ri. EK kmod FRi,d nr. [-] [-] [kN] 1 2 0.80 18.86 2¹ 2 0.80 37.71 5 2 0.80 3.77 3: gem. NCI Zu 9.2.4.2 (NA.21) mit	Aef kc,90 [cm²] [-] 126.0 1.50 168.0 1.50 126.0 1.00 Erhöhung um 20%	[[N/mm ²] [-] 0 1.85 0.54 0 1.85 0.81
Schwellenpressung Abs. 6.1.5	Ri. EK kmod FRi,d nr. [-] [-] [kN] 1 2 0.80 18.86 2¹ 2 0.80 37.71 5 2 0.80 3.77 2: Schwellenpressung bei voller Aut 3: gem. NCI Zu 9.2.4.2 (NA.21) mit	Aef ² kc,90 [cm ²] [-] 126.0 1.25 168.0 1.25 126.0 1.00 Flagerung der Schwell Erhöhung um 20%	[[N/mm ²] [-] 5 1.85 0.65 5 1.85 0.97 0 1.85 0.16
Normalspannung Abs. 6.3.2	Ri. EK kmod Fo,d nr. [-] [-] [kN] 1 2 0.80 18.86 2¹ 2 0.80 37.71 5 2 0.80 3.77 ¹ maximal beanspruchte In	σο,d kc [N/mm²] [-] 2.24 0.51 4.49 0.51 0.45 0.51 nnenrippe	12.92 0.34 L 12.92 0.69
Verformungen NCI Zu 9.2.4.2	EK F _{v,d} [-] [kN] 1 0.00		$u_{\text{ges}} u_{\text{zul}} \eta \\ [\text{mm}] [\text{mm}] [\text{-}] \\ 0.00 30.0 0.00$
Lagesicherheit DIN EN 1990, 6.4.2 NDP zu A1.3.1(3)	Ri. EK Fstb,d nr. [-] [kN] 1 62 21.74 5 62 21.74 *: Es sind keine destabilisierender Keine Zugkräfte vorhande	- n Kräfte vorhanden.	
Nachweise (GZG)	nach DIN EN 1995-1-1		
Verformungen	EK F _{v,k} [-] [kN] 1 0.00	[$u_{ges} u_{zul} \eta \\ [mm] [mm] [-] \\ 0.00 20.0 0.00$
Zusammenfassung	Zusammenfassung der Nach	weise	
Nachweise (GZT)	Nachweise im Grenzzusta	and der Tragfäl	higkeit
	Nachweis Scheibenbeanspruchung Auflagerdruck Schwellenpressung Normalspannung Verformungen		η [-] ОК 0.00 ОК 0.81 ОК 0.97 ОК 0.69 ОК 0.00
Nachweise (GZG)	Nachweise im Grenzzust.	der Gebrauch:	_
	Nachweis		η [-]
	Verformungen		ок 0.00

Projekt: Sanierung und Neubau Wohnheim "Thomas Müntzer

18.12.2024 Datum: Position: 7.1 Seite: Auftrags-Nr.: 24-919 87

Pos. 7.1

Stütze unter Unterzug

System

Pendelstütze aus Holz nach DIN EN 1995-1-1

System

M 1:100



Abmessungen Mat./Querschnitt



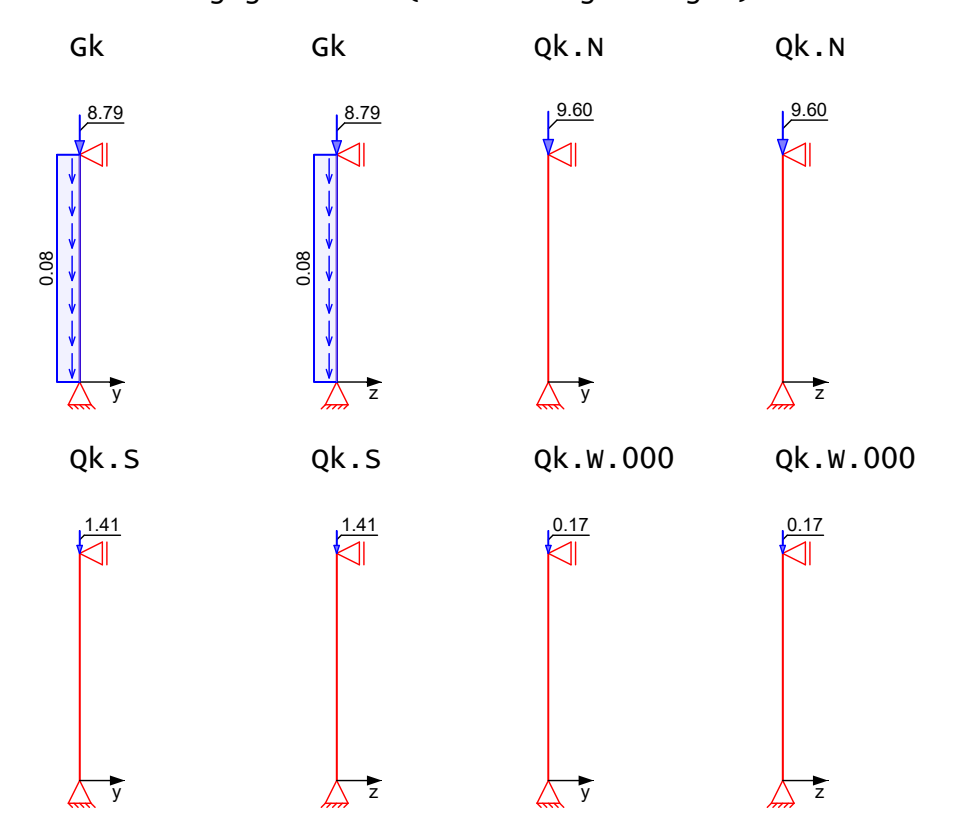
Nutzungsklasse 1 beheizte Innenräume

Belastungen

Grafik

Einwirkungen

Belastungen auf das System Belastungsgrafiken (einwirkungsbezogen)



18.12.2024

88

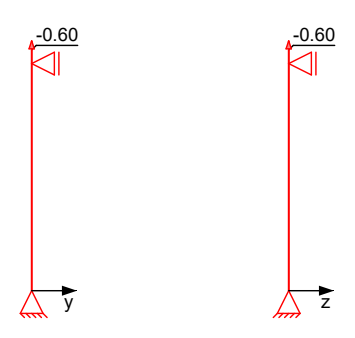
Baustatik - Tragwerksplanung - Bauphysik

Sanierung und Neubau Wohnheim "Thomas Müntzer Projekt:

Datum: Position: 7.1 Auftrags-Nr.: 24-919 Seite:

Qk.W.090

Qk.W.090



Streckenlasten

in x-Richtung

Einw. Gk

Komm. а s q_u qo [kN/m][kN/m] [m][m]3.00 Eigengew 0.080.00

Punktlasten

in x-Richtung

Eınw.	GK
Einw.	
Einw.	
Einw.	Qk.W.000
Finw.	OK. W. 090

Einzellasten

KOIIIII .	a	Γx	ey	ez
	[m]	[kN]	[cm]	[cm]
(a)	3.00	8.79	0.0	0.0
(a)	3.00	9.60	0.0	0.0
(a)	3.00	1.41	0.0	0.0
(a)	3.00	0.17	0.0	0.0
(a)	3.00	-0.60	0.0	0.0

(a)

aus Pos. '5', Lager 'A' (Seite 73)

Kombinationen

Kombinationsbildung nach DIN EN 1990 Darstellung der maßgebenden Kombinationen

ständig/vorüberg. Brand

	Σ (γ~ψ~⊑w)	
2 mi	1.35*Gk	+1.50*Qk.N
100	1.00*Gk	+0.30*Qk.N
mi: mittel		

Mat./Querschnitt

Material- und Querschnittswerte nach DIN EN 1995-1-1

Material

Material	† _{mk}	† _{t0k}	† _{c0k}	† _{c90k}	T_{vk}	Emean
			[N/	mm²]		
KVH C24	24.0	14.5	21.0	2.5	4.0	11000

Querschnitt

Art	b _y	b_z	Α	Ιy	Iz
	[cm]	[cm]	[cm²]	[cm ⁴]	[cm ⁴]
RE	14.0	14.0	196	3201	3201
RF:	Rechteckquerschnitt				

Grafik

Querschnittsgrafik [cm]

M 1:20



+0.20*Qk.W.000

Baustatik - Tragwerksplanung - Bauphysik

Projekt: Sanierung u Auftrags-Nr.: 24-919	ınd Neubau Wohnl	neim "Thomas Mür Position: 7.1	ntzer	Datum: Seite:	18.12.202	
Knick-/Kippbeiwerte	Achse	i	λ	$\lambda_{ t rel}$	kc	
		[cm]	[-]	[-]	[-]	
	У	4.04	74.23	1.26	0.51	
	Z	4.04 9.09	74.23 32.99	1.26 0.37	0.51 1.00	
	m	9.09	32.99	0.37	1.00	
Brandfall	Brandbeansp	ruchung			t _{req} [min]	
	vierseitig	(oben/unten/	′links/re	chts)	30	
Restquerschnitt	βn	b _r h _r	р	Ar Iy,r	I _{z,r}	
Abs. 4.2.3	[mm/min]	[cm] [cm]	[cm]	$[\text{cm}^2]$ $[\text{cm}^4]$	[cm ⁴]	
	0.80	9.2 9.2	36.8	85 597	597	
Grafik	Querschnitt	sgrafik				
Grafik M 1:20	hef	ammte				
	Def Qu	erschnittsseiten				
	92 +					
Knick-/Kippbeiwerte	Achse	ir	$\lambda_{ t fi}$	λrel,fi	k _{c,fi}	
, pp	7101100	[cm]	/\I	//rei,ii [-]	[_ 1	
	у	2.66	112.96	1.66	$\frac{1-1}{0.32}$	
	Z	2.66	112.96	1.66	0.32	
	m	5.98	50.20	0.43	1.00	
Nachweise (GZT)	Nachweise i EN 1995-1-1	n Grenzzustan	nd der Tr	agfähigkeit n	ach DIN	
	- Die Berüc 1995-1-1/	ksichtigung (NA NCI NA.5.9	des Kried 9 für NKL	hens ist nach .1 nicht erfo	DIN EN rderlich	
Biegung	Nachweis de	r Biegetragfa	ähigkeit			
Abs. 6.1	X	$Ek k_{mod}$	N_d	$\sigma_{0,d}$ f_0	,d η	
			M_{yd}	$\sigma_{my,d}$ f_{my}	, d	
			M_{zd}	$\sigma_{\text{mz,d}}$ f_{mz}	, d	
	[m]	[-]	[kN,kNm]	[N/mm ²] [N/mm ²	[-]	
	(L = 3.00 m)					
	0.00	2 0.80	-26.61 0.00 0.00	1.36 12.9 0.00 14.7 0.00 14.7		
Stabilität	Nachweis de	r Stabilität				
Abs. 6.3	Der Einfluss der Stabilität ist im Nachweis der Biegetragfähigkeit enthalten. Folgende Ersatzstablängen werden berücksichtigt.					
Ersatzstablängen			1 :	l _{ef,cy} l _{ef,cz}	$\mathtt{l}_{ extsf{ef},\mathtt{m}}$	
 			[m]	[m] [m]	er,m [m]	
			3.00	3.00 3.00	3.00	

Baustatik - Tragwerksplanung - Bauphysik

Projekt: Sanierung und Neubau Wohnheim "Thomas Müntzer Datum: 18.12.2024 Auftrags-Nr.: 24-919 Position: 7.1 Seite: 90

Nachweise (Brand)

Nachweise der Feuerwiderstandsfähigkeit nach DIN EN 1995-1-2, 4.2.3

- Anforderung Feuerwiderstandsklasse: R30
- Nachweis der Feuerwiderstandsdauer $t_{req} = 30 \text{ min}$
- 4-seitige Beflammung
- Methode mit reduzierten Eigenschaften

Brandfall

Brandbeanspruchung

t_{req} [min]

vierseitig (oben/unten/links/rechts)

Biegung Abs. 6.1

Nachweis der Biegetragfähigkeit

X	Ek	$k_{mod,fi}$	$N_{d,fi}$	$\sigma_{ exttt{0,d,fi}}$	$f_{0,d,fi}$	η
			$M_{yd,fi}$	$\sigma_{\text{my,d,fi}}$	$f_{my,d,fi}$	
			M _{zd,fi}	$\sigma_{\text{mz,d,fi}}$	$f_{\sf mz,d,fi}$	
[m]		[-][kN,kNm]	$[N/mm^2]$	$[N/mm^2]$	[-]
(L = 3.00) m)					
0.00	100	0.65	-11.95	1.41	17.12	
		0.78	0.00	0.00	23.48	
		0.78	0.00	0.00	23.48	0.26

Stabilität Abs. 6.3

Nachweis der Stabilität

Der Einfluss der Stabilität ist im Nachweis der Biegetragfähigkeit enthalten. Folgende Ersatzstablängen werden berücksichtigt.

Ersatzstablängen

1	$\mathtt{l}_{ t ef,cy}$	$\mathtt{l}_{ef,cz}$	$1_{\sf ef,m}$
[m]	[m]	[m]	[m]
3.00	3.00	3.00	3.00

Auflagerkräfte

Char. Auflagerkr.

		Aufl.	$F_{x,k}$	$F_{z,k}$	$M_{y,k}$	$F_{y,k}$	$M_{z,k}$
			[kN]	[kN]	[kNm]	[kN]	[kNm]
Einw.	Gk	A	9.04	0.00	0.00	0.00	0.00
		В		0.00		0.00	
Einw.	Qk.N	A	9.60	0.00	0.00	0.00	0.00
		В		0.00		0.00	
Einw.	Qk.S	A	1.41	0.00	0.00	0.00	0.00
		В		0.00		0.00	
Einw.	Qk.W.000	A	0.17	0.00	0.00	0.00	0.00
		В		0.00		0.00	
Einw.	Qk.W.090	A	-0.60	0.00	0.00	0.00	0.00
		В		0.00		0.00	

Bem.-auflagerkräfte ständig/vorüberg.

Aufl.	$F_{x,d,min}$	ΕK	$F_{z,d,min}$	EKI	My,d,min	ΕK	$F_{y,d,min}$	EKI	Mz,d,min	ΕK
	$F_{x,d,max}$		$F_{z,d,max}$	ı	My,d,max		$F_{y,d,max}$	I	Mz,d,max	
	[kN]		[kN]		[kNm]		[kN]		[kNm]	
Α	8.14	67	0.00	39	0.00	39	0.00	39	0.00	39
	27.66	44	0.00	39	0.00	39	0.00	39	0.00	39
В			0.00	39			0.00	39		
			0.00	39			0.00	39		

Baustatik - Tragwerksplanung - Bauphysik

Sanierung und Neubau Wohnheim "Thomas Müntzer Projekt: 18.12.2024 Datum: Position: 7.1 Auftrags-Nr.: 24-919 Seite: 91

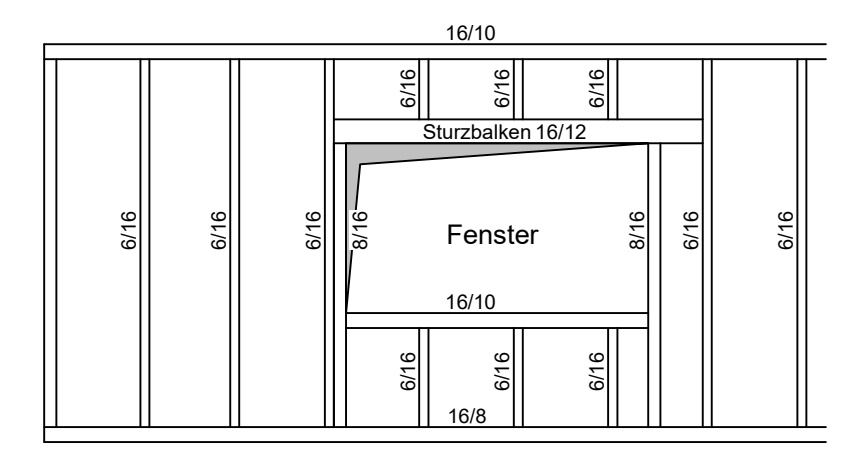
Zusammenfassung der Nachweise				
Nachweise (GZT)	Nachweise im Grenzzustand der	Tragfähigkeit		
	Nachweis	x [m]	η [-]	
	Biegung	0.00 OK	0.21	
Nachweise (Brand)	Brandfall im Grenzzustand der	Tragfähigkeit		
	Nachweis	X	η	
	Biegung	[m] 0.00 OK	[-] 0.26	

Baustatik - Tragwerksplanung - Bauphysik

Sanierung und Neubau Wohnheim "Thomas Müntzer Projekt: 18.12.2024 Datum:

Position: 8 Seite: Auftrags-Nr.: 24-919 92

Außenwand-Holzrahmenbau Pos. 8



Prinzipskizze - Wandansicht

Bauteile: Innenstiele: 6/16 cm KVH C24

> 6/16 Endstiele: Seitenstiele Öffnungen: 6/16

Schwellen: ≥ 16/8 (ggf. 6cm Doppelschwelle)

Rähme: $\geq 16/10$

Scheibenbeplankung: OSB 3 t=18 mm (einseitig)

Verankerung der Schwellen auf Beton:

Anker M12 (z.B. Injektionsanker Fischer FIS V), Abstand a ≤ 1,0 m mit großen Holzbauscheiben

Je Wandende 2 Anker setzen! Alternativ Zuganker anordnen!

Verankerung der Schwellen auf Deckenbalken:

je Deckenbalken 2 Vollgewindeschrauben Ø8

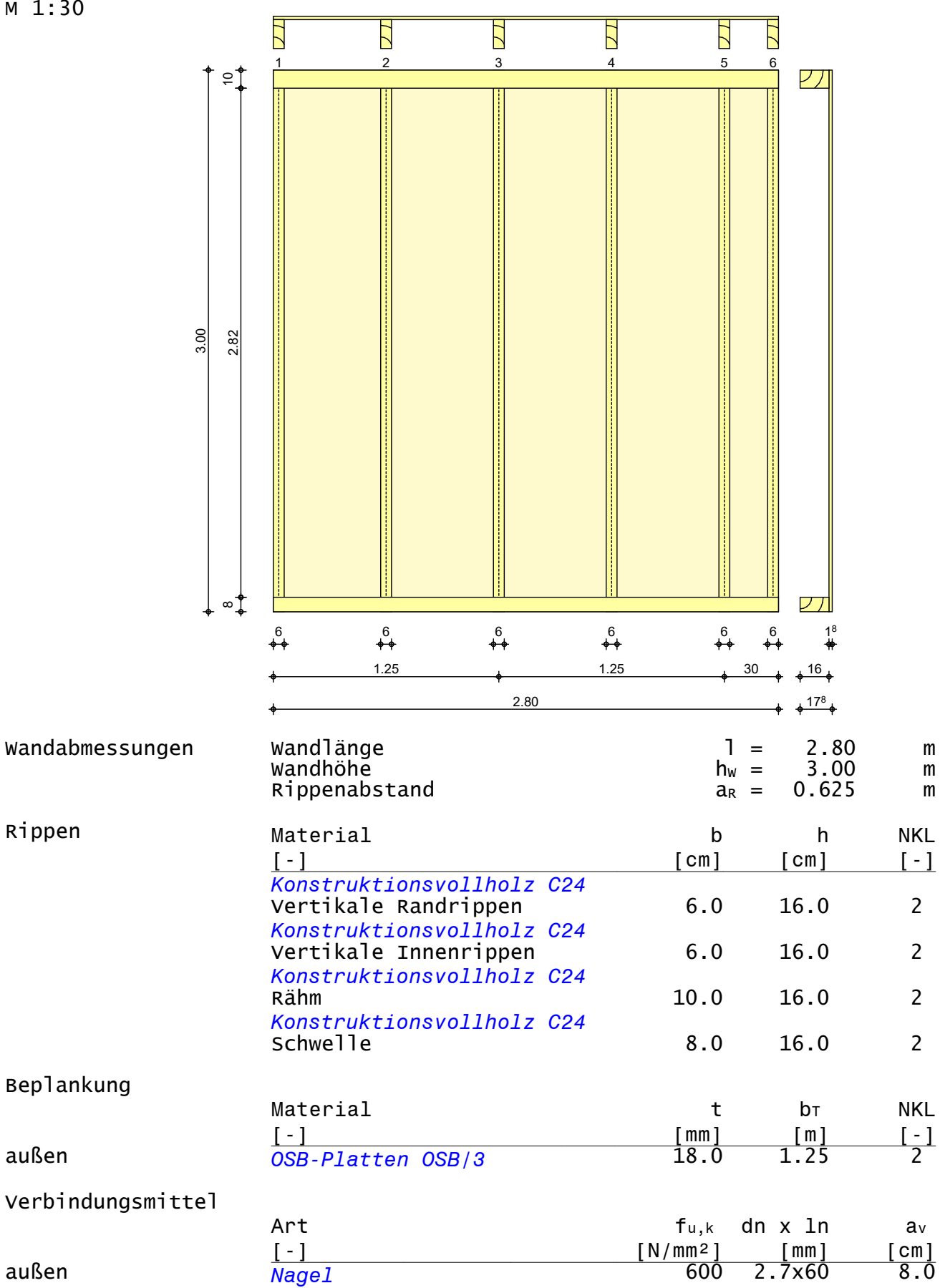
Die vorhandene Feuerwiderstandsdauer wird gem. DIN 4102-4 in die Klasse F30 eingeordnet.

Bemessung einer Holz-Wandscheibe, DIN EN 1995-1-1 **System**

Baustatik - Tragwerksplanung - Bauphysik

Sanierung und Neubau Wohnheim "Thomas Müntzer Projekt: 18.12.2024 Datum: Position: 8 Auftrags-Nr.: 24-919 Seite: 93

Μ	1	:	3	0



Projekt: Sanierung und Neubau Wohnheim "Thomas Müntzer

18.12.2024 Datum: Position: 8 Seite: Auftrags-Nr.: 24-919 94

Belastungen

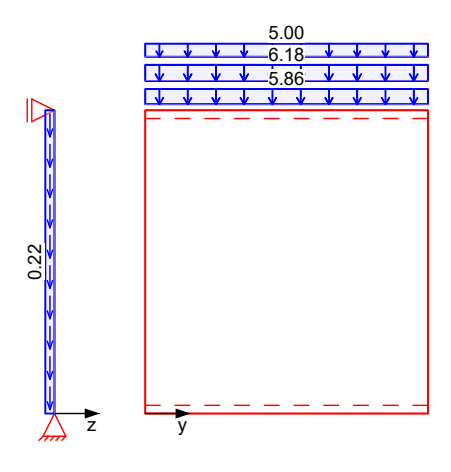
Belastungen auf das System

Grafik

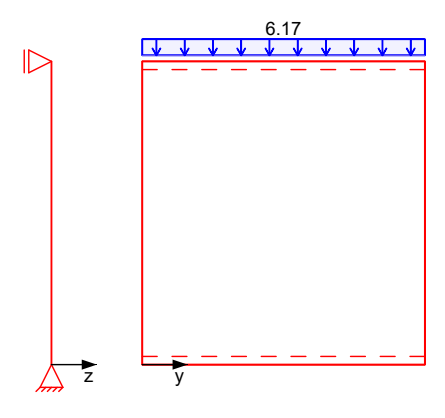
Belastungsgrafiken (einwirkungsbezogen)

Einwirkungen

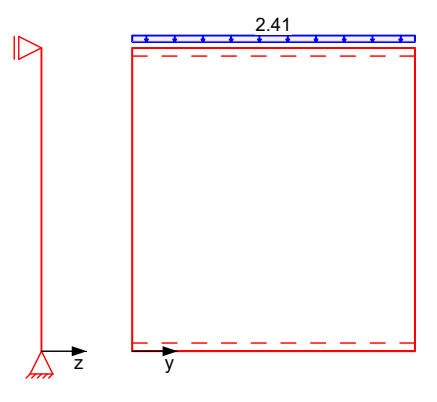
Gk



Qk.N



Qk.S

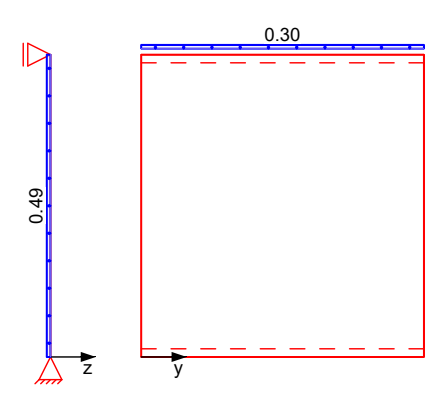


95

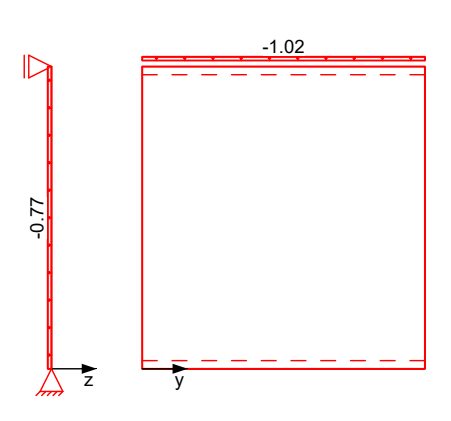
Baustatik - Tragwerksplanung - Bauphysik

Projekt: Sanierung und Neubau Wohnheim "Thomas Müntzer 18.12.2024 Datum: Position: 8 Seite: Auftrags-Nr.: 24-919

Qk.W.000



Qk.W.090



Streckenlasten	
in v Bichtung	

ın x-Rıchtung

Einw.	Gk
Einw. Einw. Einw. Einw.	

Gleichlasten

Komm.	а	S	qu	qo
	[m]	[m]	[kN/m]	[kN/m]
(a)	0.00	2.80		5.86
(b)	0.00	2.80		6.18
(c)	0.00	2.80		5.00
(b)	0.00	2.80		6.17
(a)	0.00	2.80		2.41
(a)	0.00	2.80		0.29
(a)	0.00	2.80		-1.02

aus Pos. '1', Lager 'A' (Seite 38) (a)

aus Pos. '4', Lager 'A' (Seite 56) (b)

(c) Wandeigengewicht im OG 5.00 5 = kN/m

Flächenlasten in x-Richtung

Einw. Gk

Gleichflächenlasten

Komm.	а	S	q_u	qo	
	[m]	[m]	[kN/m²]	[kN/m²]	
Eigengew	0.00	3.00		0.22	

Baustatik - Tragwerksplanung - Bauphysik

Projekt: Sanierung un Auftrags-Nr.: 24-919	nd Neubau Wo	ohnheim "Thoma Position:		Datum: Seite:	18.12.2024 96
Flächenlasten in z-Richtung Einw. Qk.W.000 Einw. Qk.W.090	Gleichfl Komm.	ächenlaster a [m] 0.00 0.00	s [m] 3.00 3.00	qu [kN/m²]	q _o [kN/m²] 0.49 -0.77
<u>Kombinationen</u>	Kombinati Darstell	onsbildung ung der maß	nach DIN EN Sgebenden Ko	1990 ombinationen	
ständig/vorüberg.	1 st 2 mi 9 ku/sk 17 ku/sk	Σ (γ*ψ*EW) 1.35*Gk 1.35*Gk 1.35*Gk 1.35*Gk +1.50*Qk.W.0	+1.50*Qk +1.05*Qk +1.05*Qk	.N +1.50*C	Qk.w.000 Qk.S
Lagesicherheit	62 ku/sk st: ständ mi: mitte ku/sk: kurz/	0.90*Gk	+1.50*Qk	.w.090	
Bemschnittgrößen		EK [-] 1 2 9 17	Fv,d [kN] 0.00 0.00 0.00 0.00		
	Rippen- nr. 1 2 6 1 2 6 1 2 6 1 2 6	EK [-] 1 2 9	Fz,d [kN] 7.47 14.94 3.59 10.36 20.73 4.97 9.63 19.27 4.62 10.20 20.40 4.90	Vy,d [kN] 0.00 0.00 0.00 0.00 0.00 0.34 0.69 0.17	0.00 0.00 0.00 0.26 0.52 0.12 0.26 0.52
Mat./Querschnitt Rippen vertikal Rand vertikal Innen Rähm Schwelle	Material [-] KVH C24 KVH C24 KVH C24 KVH C24	[N/n 2 2 2	fmy,k fc,0,k 102] [N/mm ²] [24.0 21.0 24.0 21.0 24.0 21.0 24.0 21.0	$\begin{array}{cccc} f_{c,90,k} & f_{t,0,5} \\ \hline N/mm^2] & [N/mm^2] \\ 2.5 & 14. \\ 2.5 & 14. \\ 2.5 & 14. \\ 2.5 & 14. \\ \end{array}$] [N/mm ²] 5 11000 5 11000 5 11000

Beplankung

Verbindungsmittel

außen

außen

Gmean

a۷

[cm] 8.0

[N/mm²] 1080

fc,0,k

 $F_{v,Rk} \\$

Material

[-] Nagel 2.7x60

[-] OSB/3

Тур

fv,k

[N/mm²] 6.8

			Daustat	ın ıra	gwei Kapia	nang be	aupilysik
Projekt: Sanierung	und Neubau Wo	hnheim "Tl	nomas Münt	zer		Datum: 1	8.12.2024
Auftrags-Nr.: 24-919		Positi	on: 8		9	Seite:	97
eff. Steifigkeit	im GZ Geb			eit	EIef =	18293	kNm ²
	im GZ Tra	gtahigke	eit		$EI_{ef} =$	10237	kNm²
Nachweise (GZT)	nach DIN	EN 1995-	1-1				
	Imperfekt Die erfor (NA.18) w	derliche	en Randbe	edingung			tigt.
	Die Bepla Stoß ist Verformun	schubste	eif auszu	l horizo uführen.	ontal ges Der Nac	stoßen. D Chweis de	oer er
Scheibenbeanspr.	Ri. EK	kmod	Fv,d	Ms,z,d	S v,0,d	fv,0,d	η
Abs. 9.2.3	nr. [-]	[-]	[kN]	[kNm]	[N/mm]	[N/mm]	[-]
	$\frac{1}{1}$	0.30	0.00	0.00	0.00	3.13	0.00
	$\frac{2^1}{6}$	0.30	0.00	0.00	0.00	3.13	
	6 1	0.30	0.00	0.00	0.00	3.13	0.00
Auflagerdruck	Ri. EK	kmod	FRi,d	Aef	k c,90	f c,90,d ³	η
Abs. 6.1.5	nr. [-]	[-]	[kN]	[cm2]	[-]	[N/mm2]	[-]
	1 2	0.80	10.36	144.0	1.50	1.85	
	21 2	0.80	20.73	192.0	1.50	1.85	
	6 2 3: gem. NCI Z	0.80 u 9.2.4.2 (4.97 NA.21) mit	144.0 Erhöhung u	1.50	1.85	0.12
	_			_	27.		
Schwellenpressung	Ri. EK	\mathbf{k} mod	FRi,d	Aef ²	k c,90	f c,90,d ³	η
Abs. 6.1.5	nr. [-]	[-]	[kN]	[cm2]	[-]	[N/mm ²]	[-]
	$\frac{1}{2}$ 2	0.80	10.36	144.0	1.25	1.85	
	2 ¹ 2 6 2	0.80 0.80	20.73 4.97	192.0 144.0	1.25 1.25	1.85 1.85	
	2: Schwellenp 3: gem. NCI Z	ressung bei u 9.2.4.2 (4.9/ voller Auf NA.21) mit	144.U Tagerung d Erhöhung u		1.00	0.13
	J	- \	,	9 -			
Normal- u.							

Normal- u. Biegesp. Abs. 6.3.2

Ri.	EK	k mod	No,d	σ 0,d	k c	fo,d	η
nr.			My,d	σ my,d		f my,d	
[-]	[-]	[-][k	(N, kNm] [N/mm2]	[-]	[N/mm2]	[-]
1	9	1.00	9.63	1.00	0.61	16.15	0.16
			0.26	1.01		18.46	
2^1	17	1.00	20.40	2.12	0.61	16.15	0.32
			0.52	2.02		18.46	
6	17	1.00	4.90	0.51	0.61	16.15	0.08
			0.12	0.48		18.46	

¹ maximal beanspruchte Innenrippe

ΕK η Verformungen $F_{v,d}$ Uges u_{zu1} [mm] [mm] [-] 0.00 30.0 0.00 NCI Zu 9.2.4.2 [kN] 0.00

Lagesicherheit DIN EN 1990, 6.4.2 NDP zu A1.3.1(3)

Ri.	EK	Fstb,d	Fdst,d	Fz,d
nr.	[-]	[kN]	[kN]	[kN]
1	62	20.16	_*	20.16
6	62	20.16	_*	20.16

*: Es sind keine destabilisierenden Kräfte vorhanden.

Keine Zugkräfte vorhanden.

Baustatik - Tragwerksplanung - Bauphysik

Projekt: Sanier	rung und Neubau Wohnheim "Thomas Müntzer	Datum: 18	3.12.2024
Auftrags-Nr.: 24-919	Position: 8	Seite:	98
Nachweise (GZG	nach DIN EN 1995-1-1		
Verformungen	EK F _{v,k} [-] [kN] 1 0.00	$ \begin{array}{ccc} u_{\text{ges}} & u_{\text{zul}} \\ [\text{mm}] & [\text{mm}] \\ 0.00 & 20.0 \end{array} $	η [-] 0.00
Zusammenfassun	zusammenfassung der Nachweise		
Nachweise (GZT) Nachweise im Grenzzustand der T	ragfähigkeit	
	Nachweis		η
	Scheibenbeanspruchung Auflagerdruck Schwellenpressung Normal- und Biegespannung Verformungen	OK OK OK OK OK	0.00 0.39 0.47 0.32 0.00
Nachweise (GZG	Nachweise im Grenzzust. der Geb	rauchstauglich	keit
	Nachweis		η

Verformungen

Projekt: Sanierung und Neubau Wohnheim "Thomas Müntzer

18.12.2024 Datum: Position: 8.1 Seite: Auftrags-Nr.: 24-919 99

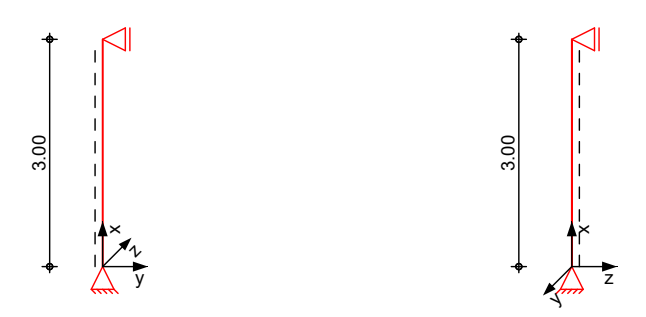
Pos. 8.1

Stütze unter Unterzug

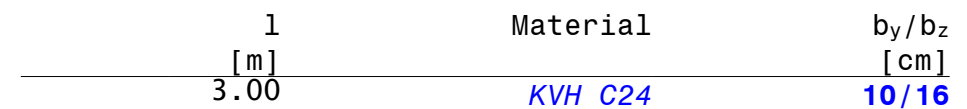
System

Pendelstütze aus Holz nach DIN EN 1995-1-1 System

M 1:100



Abmessungen Mat./Querschnitt



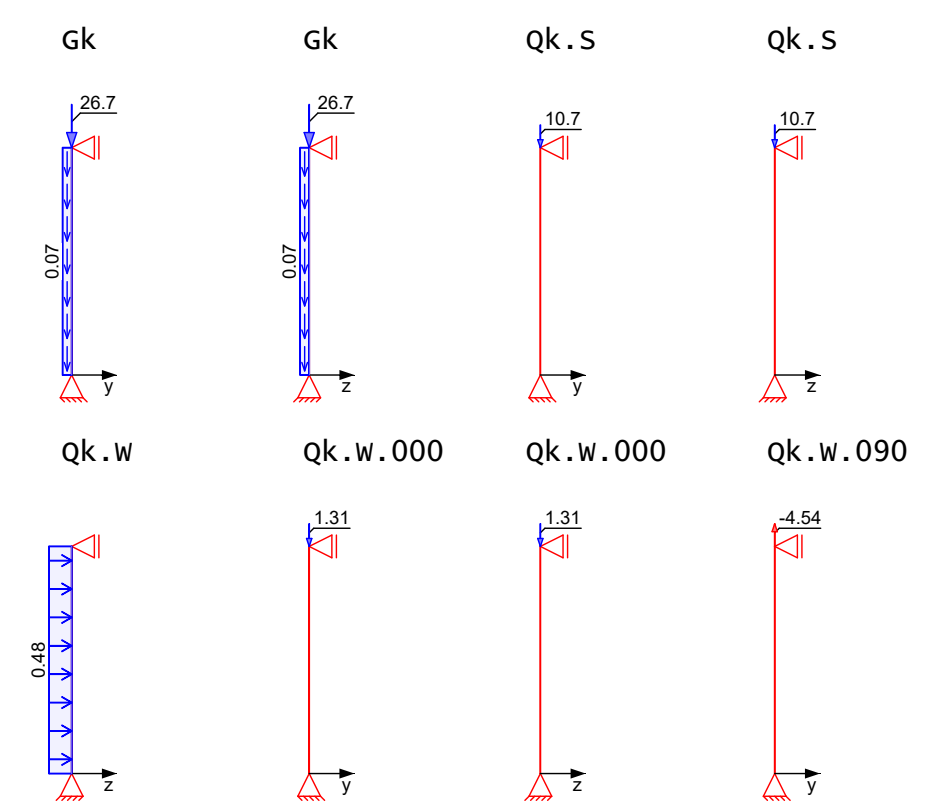
Nutzungsklasse 1 beheizte Innenräume

Belastungen

Grafik

Einwirkungen

Belastungen auf das System Belastungsgrafiken (einwirkungsbezogen)



Baustatik - Tragwerksplanung - Bauphysik

Projekt: Sanierung und Neubau Wohnheim "Thomas Müntzer

18.12.2024 Datum: Position: 8.1 Auftrags-Nr.: 24-919 Seite: 100

Qk.W.090



Stre	ecke	nlas	ten
------	------	------	-----

in x-Richtung

Einw. Gk

Gleichlasten

Komm.	a	S	q_{u}	qo
	[m]	[m]	[kN/m]	[kN/m]
Eigengew	0.00	3.00		0.07

Punktlasten

in x-Richtung

Einw. *Gk* Einw. Qk.S Einw. Qk.W.000 Einw. Qk.W.090 Einzellasten Komm.

	[m]	[kN]	[cm]	[cm]
(a)	3.00	26.66	0.0	0.0
(a)	3.00	10.70	0.0	0.0
(a)	3.00	1.31	0.0	0.0
(a)	3.00	-4.54	0.0	0.0

а

(a)

aus Pos. '2', Lager 'A' (Seite 45)

Streckenlasten

in z-Richtung

Einw. Qk.W (a) Gleichlasten

Komm. а s qu qo [m][m] kN/m] [kN/m] 0.00 3.00 0.48

(a)

Windsog

Ek

0.77*0.625 =

 F_x

 e_y

0.48 kN/m

 e_z

Kombinationen

Kombinationsbildung nach DIN EN 1990

Darstellung der maßgebenden Kombinationen

ständig/vorüberg.

1.35*Gk st ku/sk 1.35*Gk 3 6 ku/sk 1.35*Gk st: ständig ku/sk: kurz/sehr kurz

KLED Σ ($\gamma*\psi*EW$)

+1.50*Qk.W +1.50*Qk.S

+0.90*Qk.W

Mat./Querschnitt

Material- und Querschnittswerte nach DIN EN 1995-1-1

Material

 $f_{\text{t0}k}$ \textbf{f}_{vk} Material fc0k fc90k Emean $[N/mm^2]$ KVH C24 24.0 14.5 21.0 2.5 4.0 11000

Querschnitt

Art Α b_{y} b_z Ιy Ιz [cm²] [cm4] [cm] [cm] [cm4] 10.0 3413 1333 RE 16.0 160

RE: Rechteckquerschnitt

18.12.2024 Datum: Auftrags-Nr.: 24-919 Position: 8.1 Seite: 101

Grafik

Querschnittsgrafik [cm]

M 1:20



Knick-/Kippbeiwerte

Achse	i	λ	$\lambda_{ t rel}$	kc
	[cm]	[-]	[-]	[-]
У	4.62	64.95	1.10	0.61
Z	2.89	103.92	1.76	0.28
m	4.89	61.40	0.50	1.00

Nachweise (GZT)

Nachweise im Grenzzustand der Tragfähigkeit nach DIN EN 1995-1-1

- Die Berücksichtigung des Kriechens ist nach DIN EN 1995-1-1/NA NCI NA.5.9 für NKL 1 nicht erforderlich.

Biegung Abs. 6.1

Nachweis der Biegetragfähigkeit								
X	Ek	k_{mod}	N_{d}	$\sigma_{\text{0,d}}$	$f_{0,d}$	η		
			M_{yd}	$\sigma_{\text{my},d}$	$f_{my,d}$			
			M_{zd}	$\sigma_{\text{mz,d}}$	$f_{\text{mz,d}}$			
$\frac{[m]}{(L = 3.00)}$		[-][kN,kNm]	$[N/mm^2]$	$[N/mm^2]$	[-]		
(L = 3.00)		1 00	26.42					
1.48	3	1.00	-36.13	2.26	16.15			
			0.81	1.90	18.46			
			0.00	0.00	18.46	0.56		
1.47	6	1.00	-52.18	3.26	16.15			
			0.49	1.14	18.46			
			0.00	0.00	18.46	0.75		
0.00	6	1.00	-52.31	3.27	16.15			
			0.00	0.00	18.46			
			0.00	0.00	18.46	0.71		
0.00	3	1.00	-36.26	2.27	16.15			
	_		0.00	0.00	18.46			
			0.00	0.00	18.46	0.49		
0.00	1	0.60	-36.26	2.27	9.69	01.15		
0.00	-	0.00	0.00	0.00	11.08			
			0.00	0.00	11.08	0.82		
			0.00	0.00	11.00	0.02		

Querkraft Abs. 6.1.7

Nachweis der Querkrafttragfähigkeit

	•					
Χ	Ek	k_{mod}	$V_{z,d}$	$\tau_{z,d}$	f _{zv,d}	η
			$V_{y,d}$	$ au_{y,d}$	$f_{yv,d}$	
[m]		[-]	[kN]	$[N/mm^2]$	$[N/mm^2]$	[-]
3.00	3	1.00	-1.08	0.20	3.08	
			0.00	0.00	3.08	0.07
0.00	6	1.00	0.65	0.12	3.08	
			0.00	0.00	3.08	0.04

Stabilität Abs. 6.3

Nachweis der Stabilität

Der Einfluss der Stabilität ist im Nachweis der Biegetragfähigkeit enthalten. Folgende Ersätzstäblängen werden berücksichtigt.

Baustatik - Tragwerksplanung - Bauphysik

					Ū	' '
Projekt: Sanierung u Auftrags-Nr.: 24-919	nd Neuba	au Wohnheim "T Positi	homas Müntzer on: 8.1		Datum: Seite:	18.12.2024 102
Ersatzstablängen			[m] 3.00	l _{ef,cy} [m] 3.00	l _{ef,cz} [m] 3.00	l _{ef,m} [m] 3.00
<u>Auflagerkräfte</u>						
Char. Auflagerkr.	Aufl.	F _{x,k} [kN]	F _{z,k} [kN]	My,k [kNm]	F _{y,k} [kN]	M _{z,k} [kNm]
Einw. <i>Gk</i>	A	26.86	0.00 0.00	0.00	0.00	0.00
Einw. <i>Qk.S</i>	<u>В</u> А В	10.70	0.00 0.00 0.00	0.00	0.00	0.00
Einw. <i>Qk.W</i>	B A	0.00	0.72	0.00	0.00	0.00
Einw. <i>Qk.W.000</i>	B A B	1.31	0.72 0.00 0.00	0.00	0.00 0.00 0.00	0.00
Einw. <i>Qk.W.090</i>	B A B	-4.54	0.00 0.00	0.00	0.00	0.00
Bemauflagerkräfte ständig/vorüberg.	Aufl. A B		0.00 23 0	F _{y,d} Nm] [l .00 23 0 .00 23 0	, _{max} M _z kN] [.00 23	,d,min EK ,d,max kNm] 0.00 23 0.00 23
Zusammenfassung	Zusamı	menfassung d	der Nachweis	se		
Nachweise (GZT)	Nachw	eise im Gre	enzzustand	der Tragf	ähigkeit	
	Nachw	eis			X [m]	η Γ - 1
	Biegu Querk				0.00 OF	

Proiekt: Sanierung und Neubau Wohnheim "Thomas Müntzer

18.12.2024 Datum: Position: 9 Auftrags-Nr.: 24-919 Seite: 103

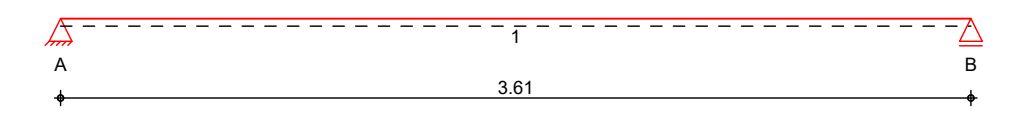
Pos. 9 **Fenstersturz**

Sturz für eine lichte Fensterbreite ≤ 3,51 m und keiner tragenden Wand im OG. Mindestauflagerbreite ≥ 10cm

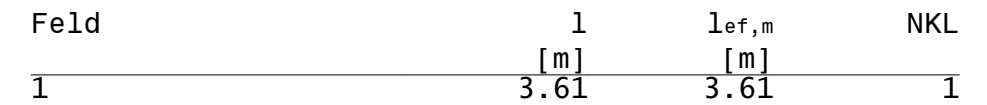
System

Holz-Einfeldträger

M 1:30



Abmessungen / Nutzungsklassen



Auflager

Aufl.	X	b	Transl.	Rotat.
	[m]	[cm]	[kN/m]	[kNm/rad]
A	0.00	10.00	starr	frei
В	3.61	10.00	starr	frei

Material

BSH GL24c

Gk

1

Querschnitt

b/h = 16/28 cm

Belastungen

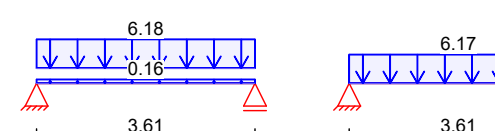
Belastungen auf das System

Grafik

Belastungsgrafiken (einwirkungsbezogen)

Qk.N

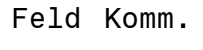
Einwirkungen

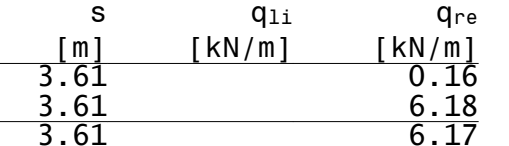


Streckenlasten in z-Richtung

Gleichlasten







Einw. Ok.N

aus Pos. '4', Lager 'D' (Seite 56)

Kombinationen

Kombinationsbildung nach DIN EN 1990

Darstellung der maßgebenden Kombinationen

а

[m]

0.00

0.00

0.00

ständig/vorüberg. selten quasi-ständig

Ek	KLED	Σ (γ*ψ*EW)
3	mi	1.35*Gk
6		1.00*Gk
8		1.00*Gk

1.00*Gk

Eigengew

+1.50*Qk.N +1.00*Qk.N +0.30*Qk.N +0.30*Qk.N

Brand

(a)

mi: mittel

nach DIN EN 1995-1-1 Mat./Querschnitt

10

Baustatik - Tragwerksplanung - Bauphysik

Sanierung und Neubau Wohnheim "Thomas Müntzer Proiekt: 18.12.2024 Datum: Position: 9 Auftrags-Nr.: 24-919 Seite: 104 fm.k fc0k fc90k fvk **Material** Holz ftok E₀mean **k**fi $[N/mm^2]$ 24.0 17.0 BSH GL24cf f: Lamellenlage flachkant Querschnittswerte b h Α Ιy [cm2] [cm4] [cm] [cm] 28.0 29269.3 Schnitt Holzbalken M 1:10 28 ♦ 16 • **Brandfall** vierseitige Brandbeanspruchung Feuerwiderstandsdauer 30 min trea = Restquerschnitt br hr A_r Iy,r β_n p Abs. 4.2.3 [mm/min] [cm] [cm] [cm²] [cm4] [cm] 23.8 280.8 13256.6 Schnitt Holzbalken M 1:10 beflammte Querschnittsseiten 23.8

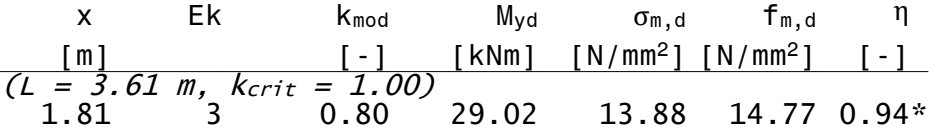
Nachweise (GZT)

Nachweise im Grenzzustand der Tragfähigkeit nach DIN EN 1995-1-1

Biegung Abs. 6.1

Nachweis der Biegetragfähigkeit x Ek k_{mod} Myd

Feld 1



Querkraft Abs. 6.1.7

Nachweis der Querkrafttragfähigkeit
X Ek kmod Vz.d

Feld 1

X	Ek	k_{mod}	$V_{z,d}$	$ au_d$	$f_{v,d}$	η
[m]		[-]	[kN]	$[N/mm^2]$	$[N/mm^2]$	[-]
0.31	3	0.80	26.57	1.25	2.15	[-] 0.58*
3.30	3	0.80	-26.57	1.25	2.15	0.58

→ 11.8 →

Baustatik - Tragwerksplanung - Bauphysik

Projekt: Sanierung u Auftrags-Nr.: 24-919	nd Neubau Wohnheim "Thomas Müntzer Position: 9	Datum: Seite:	18.12.2024	
Stabilität Abs. 6.3 Der Einfluss der Stabilität ist im Nachweis der Biegetragfähigkeit enthalten. Folgende Ersatzstablängen werden berücksichtigt.				
Ersatzstablängen	1 [m] Feld 1 3.61		l _{ef,m} [m] 3.61	
Auflagerpressung Abs. 6.1.5	Nachweis der Auflagerpressung Ek k _{mod} F _d A _{ef} k _{c90} σ _{c90} [-] [kN] [cm²] [-] [N/mm²		•	
Auflager A Auflager B	$ \begin{array}{c ccccccccccccccccccccccccccccccccccc$	1.54		
Nachweise (GZG)	Nachweise im Grenzzustand der Gebrauchs nach DIN EN 1995-1-1	stauglich	nkeit	
Verformungen Abs. 7.2 Feld 1	Nachweise der Verformungen x Ek Norm Wvorh [m] [mm] (L= 3.61 m, NKL 1, k _{def} = 0.60) 1.81 6 Winst 8.6 1/300=	W _{zul} [mm] = 12.0	η [-] 0.71	
Nachweise (Brand)	1.81 8 W _{net,fin} 9.0 1/300= Nachweise der Feuerwiderstandsfähigkeit 1995-1-2, 4.2.3	nach Di	0.75 IN EN	
	 Anforderung Feuerwiderstandsklasse: F Nachweis der Feuerwiderstandsdauer t_r 4-seitige Beflammung Methode mit reduzierten Eigenschafter 	$r_{eq} = 30$	min	
Brandfall	Brandbeanspruchung vierseitig (oben/unten/links/rechts)		t _{req} [min] 30	
Biegung Abs. 6.1	Nachweis der Biegetragfähigkeit x Ek k _{mod,fi} M _{yd,fi} σ _{m,d,f}			
Feld 1	$ \begin{array}{c ccccccccccccccccccccccccccccccccccc$		0.50*	
Querkraft Abs. 6.1.7 Feld 1	Nachweis der Querkrafttragfähigkeit x Ek $k_{mod,fi}$ $V_{z,d,fi}$ $\tau_{d,f}$ 0.31 10 0.87 12.22 0.93	[N/mm ²]	[-]	
Stabilität Abs. 6.3	3.30 10 0.87 -12.22 0.93 Nachweis der Stabilität Der Einfluss der Stabilität ist im Nach Biegetragfähigkeit enthalten. Folgende Ersatzstablängen werden berücksichtigt.	L 3.51 nweis de	0.26	
	-			

Baustatik - Tragwerksplanung - Bauphysik

		Baustatik - iragwer	rkspianung -	
Projekt: Sanierung u Auftrags-Nr.: 24-919	und Neubau Wohnheim "Tho Positior		Datum: Seite:	18.12.2024
Ersatzstablängen		1		$\mathbb{1}_{ extsf{ef}, extsf{m}}$
	Feld 1	[M]		[m] 3.61
		3.01		3.01
<u>Auflagerkräfte</u>	Charakteristische	Auflagerkräfte		
Char. Auflagerkr.				
J	Aufl.			$F_{z,k}$
Einw. <i>Gk</i>	A			[kN] 11.44
ETTIW. GX	В			11.44
Einw. <i>Qk.N</i>	A			11.14
	В			11.14
Zusammenfassung	Zusammenfassung de	r Nachweise		
Nachweise (GZT)	Nachweise im Grenzzustand der Tragfähigkeit			
	Nachweis	Feld/Auflager	X [m]	η [-]
	Biegung	Feld 1	1.81 0	
	Querkraft Auflagerpressung	Feld 1 Auflager A	0.31 0	
Nachweise (Brand)	Brandfall im Gren	J	agfähigkeit	
	Nachweis	Feld/Auflager	X [m]	η [-]
	Biegung	Feld 1	1.81 0	
	Querkraft	Feld 1	0.31 0	K 0.26
Nachweise (GZG)	Nachweise im Grenzzust. der Gebrauchstauglichkeit			
	Nachweis	Feld	X	η
	1 m f = m m = d m = la la - l =	E-14 1	[m]	[-]
	Anfangsdurchbieg. gesamte Enddurchb.	Feld 1 Feld 1	1.81 OI 1.81 OI	
	-			

Proiekt: Sanierung und Neubau Wohnheim "Thomas Müntzer

18.12.2024 Datum: Position: 10 Seite: Auftrags-Nr.: 24-919 107

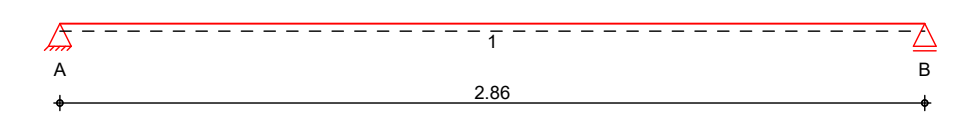
Pos. 10 **Fenstersturz**

Sturz für eine lichte Fensterbreite ≤ 2,76 m und keiner tragenden Wand im OG. Mindestauflagerbreite ≥ 10cm

System

Holz-Einfeldträger

M 1:25



Abmessungen / Nutzungsklassen



Auflager

Aufl.	Х	b	Transl.	Rotat.	
	[m]	[cm]	[kN/m]	[kNm/rad]	
A	0.00	10.00	starr	frei	
В	2.86	10.00	starr	frei	

Material

BSH GL24c

Gk

Querschnitt

b/h = 16/24 cm

Belastungen

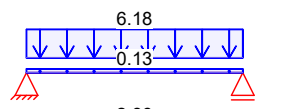
Belastungen auf das System

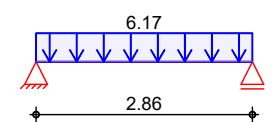
Grafik

Belastungsgrafiken (einwirkungsbezogen)

Qk.N

Einwirkungen





а

[m]

0.00

0.00

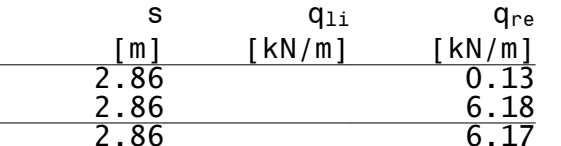
0.00

Streckenlasten in z-Richtung

Gleichlasten

Einw. Gk





Einw. Qk.N

(a)

aus Pos. '4', Lager 'D' (Seite 56)

Kombinationen

Kombinationsbildung nach DIN EN 1990 Darstellung der maßgebenden Kombinationen

ständig/vorüberg. selten quasi-ständig Brand

Ek	KLED	Σ ($\gamma*\psi*EW$)	
3	mi	1.35*Gk	+1.50*Qk.N
6		1.00*Gk	+1.00*Qk.N
8		1.00*Gk	+0.30*Qk.N
10		1.00*Gk	+0.30*Qk.N
mi:	mittel		•

Mat./Querschnitt

nach DIN EN 1995-1-1

18.12.2024

108

Kfi

Ιy

[cm4]

min

 $I_{y,r}$

η

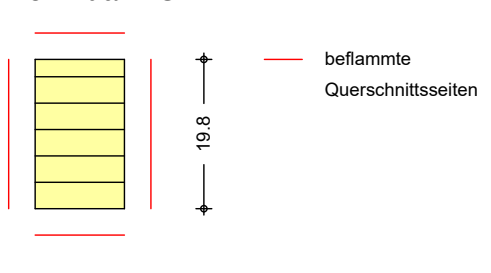
 $[cm^4]$

18432.0

Baustatik - Tragwerksplanung - Bauphysik

Sanierung und Neubau Wohnheim "Thomas Müntzer Projekt: Datum: Position: 10 Auftrags-Nr.: 24-919 Seite: fm.k fcOk fc90k fvk **Material** Holz ftok E₀mean $[N/mm^2]$ 24.0 17.0 BSH GL24cf f: Lamellenlage flachkant Querschnittswerte b h Α [cm] 24.0 [cm2] [cm] 384.0 Schnitt Holzbalken M 1:10 24 **—** 16 **— Brandfall** vierseitige Brandbeanspruchung Feuerwiderstandsdauer 30 trea = A_r Restquerschnitt β_n Abs. 4.2.3 [cm] $[cm^2]$ [mm/min] [cm] <u> 233.6</u> Holzbalken

Schnitt M 1:10



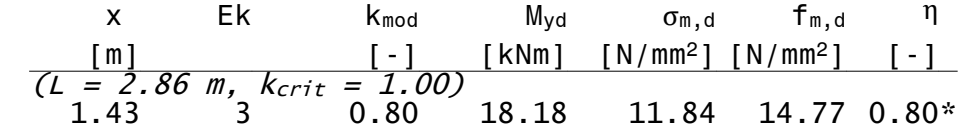
← 11.8 **→**

Nachweise (GZT)

Nachweise im Grenzzustand der Tragfähigkeit nach DIN

Biegung Abs. 6.1 Nachweis der Biegetragfähigkeit Х Ek M_{Vd}

Feld 1



Querkraft Abs. 6.1.7 Nachweis der Querkrafttragfähigkeit

Feld 1

Х	EK	K_{mod}	Vz,d	$ au_{\sf d}$	Tv,d	וי
[m]		[-]	[kN]	$[N/mm^2]$	$[N/mm^2]$	[-]
0.27	3	0.80	20.57	1.13	2.15	0.52*
2.59	3	0.80	-20.57	1.13	2.15	0.52

Baustatik - Tragwerksplanung - Bauphysik

Sanierung und Neubau Wohnheim "Thomas Müntzer Proiekt: 18.12.2024 Datum: Position: 10 Seite: Auftrags-Nr.: 24-919 109 Nachweis der Stabilität Stabilität Abs. 6.3 Der Einfluss der Stabilität ist im Nachweis der Biegetragfähigkeit enthalten. Folgende Ersatzstablängen werden berücksichtigt. Ersatzstablängen 1 $l_{\sf ef,m}$ [m] [m]Feld 1 2.86 2.86 Nachweis der Auflagerpressung Auflagerpressung Abs. 6.1.5 Ek f*c90d Kmod Fd A_{ef} k_{c90} σ_{c90d} η [cm2] $[N/mm^2]$ $[N/mm^2]$ [kN] 1.00 1.22 Auflager A 0.80 25.43 208.0 1.54 Auflager B 3 0.80 25.43 208.0 1.00 1.22 1.54 0.79 f*c90d: kc90 * fc90d Nachweise im Grenzzustand der Gebrauchstauglichkeit Nachweise (GZG) nach DIN EN 1995-1-1 Nachweise der Verformungen **Verformungen** Abs. 7.2 Ek Norm η Χ Wvorh Wzul [m] [mm] [mm] [-] Feld 1 (L=2.86 m, NKL)0.60) 1, $K_{def} =$ 1.43 6 5.4 1/300 =9.5 0.56 Winst 1/300 =1.43 8 5.6 9.5 0.59 Wnet, fin Nachweise der Feuerwiderstandsfähigkeit nach DIN EN Nachweise (Brand) 1995-1-2, 4.2.3 Anforderung Feuerwiderstandsklasse: R30 Nachweis der Feuerwiderstandsdauer $t_{req} = 30 \text{ min}$ 4-seitige Beflammung Methode mit reduzierten Eigenschaften Brandfall Brandbeanspruchung trea [min] vierseitig (oben/unten/links/rechts) <u>3Ō</u> Nachweis der Biegetragfähigkeit **Biegung** Х Ek Kmod.fi Myd,fi η Abs. 6.1 $\sigma_{\text{m,d,fi}}$ fm.d.fi [m] $[N/mm^2]$ $[N/mm^2]$ [kNm] [-] Feld 1 = 2.86 m, 1.00) k_{crit} 10 0.86 8.35 10.83 23.87 0.45* Nachweis der Querkrafttragfähigkeit Querkraft Х Ek $V_{z,d,fi}$ η Kmod.fi f_{v,d,fi} Abs. 6.1.7 Td,fi [-] 0.86 $[N/mm^2]$ $[N/mm^2]$ [kN] [m] 0.24* 0.85 9.45 3.48 Feld 1 0.27 10 0.86 2.59 10 -9.45 0.85 3.48 0.24 Nachweis der Stabilität Stabilität Abs. 6.3 Der Einfluss der Stabilität ist im Nachweis der Biegetragfähigkeit enthalten. Folgende Ersatzstablängen werden berücksichtigt.

Baustatik - Tragwerksplanung - Bauphysik

	ſ	Baustatik - iragwe	rikspianung -	Баирпустк	
Projekt: Sanierung u Auftrags-Nr.: 24-919	nd Neubau Wohnheim "Tho Position		Datum: Seite:	18.12.2024	
Ersatzstablängen		1		$\mathtt{l}_{ t ef,m}$	
	Feld 1	[m] 2.86		[m] 2.86	
Auflagerkräfte	Charakteristische	Auflagerkräfte			
Char. Auflagerkr.				_	
	Aufl.			F _{z,k} [kN]	
Einw. <i>Gk</i>	A B			9.03 9.03	
Einw. Qk.N	A B			8.83 8.83	
Zusammenfassung	Zusammenfassung der Nachweise				
Nachweise (GZT)	Nachweise im Gren	zzustand der Tr	agfähigkei	t	
	Nachweis	Feld/Auflager	X [m]	η [-]	
	Biegung Querkraft Auflagerpressung	Feld 1 Feld 1 Auflager A	0.27	OK 0.80 OK 0.52 OK 0.79	
Nachweise (Brand)	Brandfall im Gren	zzustand der Tr	agfähigkei	t	
	Nachweis	Feld/Auflager	X [m]	η [-]	
	Biegung Querkraft	Feld 1 Feld 1	1.43 O	OK 0.45 OK 0.24	
Nachweise (GZG)	Nachweise im Gren	zzust. der Gebr	auchstaugl [.]	ichkeit	
	Nachweis	Feld	X [m]	η [-]	
	Anfangsdurchbieg. gesamte Enddurchb.	Feld 1 Feld 1	1.43 O	OK 0.56 OK 0.59	

Projekt: Sanierung und Neubau Wohnheim "Thomas Müntzer Datum: 18.12.2024

Auftrags-Nr.: 24-919 Position: 11 Seite: 111

Pos. 11 Stb.-Untergeschoss als Gesamtmodel

Bodenplatte Garage mit h = 30cm

C30/37 langsam erhärtend (r<0,30)

Exposition: XC2, WF → Betondeckung = 3,5cm, oben: XC4, XD1, XM1, WA → Betondeckung = 6,0cm Der Beton ist während der Nachbehandlung vor dem Austrocknen und Auskühlen zu schützen. Die Gründung muss auf ausreichend tragfähigen und frostfreien Baugrund erfolgen!

Grundbewehrung: Ø 12/15 oben und unten

Zulagebewehrung: siehe As-Plots auf den Folgeseiten

Randeinfassung: Stecker \emptyset 8/20 + 1 \emptyset 12 Längseisen oben und unten

Außenwände Garage mit t = 30cm

C30/37 langsam erhärtend (r<0,30)

Exposition: XC2, WF → Betondeckung = 3,5cm, innen: XC4, XD1, XM1, WA → Betondeckung = 6,0cm Der Beton ist während der Nachbehandlung vor dem Austrocknen und Auskühlen zu schützen. Die Gründung muss auf ausreichend tragfähigen und frostfreien Baugrund erfolgen!

Grundbewehrung: Ø 12/12,5 horizontal und Ø 10/12,5 vertikal

Zulagebewehrung: siehe As-Plots auf den Folgeseiten

Beachte die Einzelpositionen 12 und 13.

Mindestwanddicke F90 t \geq 140mm, a \geq 10mm \rightarrow erfüllt

Decke über Garage mit h = 20cm

C30/37 langsam erhärtend (r<0,30)

Exposition: XC3, WF → Betondeckung = 3,5cm

Der Beton ist während der Nachbehandlung vor dem Austrocknen und Auskühlen zu schützen.

Die Gründung muss auf ausreichend tragfähigen und frostfreien Baugrund erfolgen!

Grundbewehrung: Q524A oben und unten

Zulagebewehrung: siehe As-Plots auf den Folgeseiten

Mindestplattendicke F90 $h_s \ge 100$ mm, $a \ge 20$ mm \rightarrow erfüllt

Bodenplatte Wohnbereich mit h = 25cm

C20/25 langsam erhärtend (r<0,30)

Exposition: XC2, WF → Betondeckung = 3,5 cm, oben: XC1, W0 → Betondeckung = 2,5 cm Der Beton ist während der Nachbehandlung vor dem Austrocknen und Auskühlen zu schützen.

Die Gründung muss auf ausreichend tragfähigen und frostfreien Baugrund erfolgen!

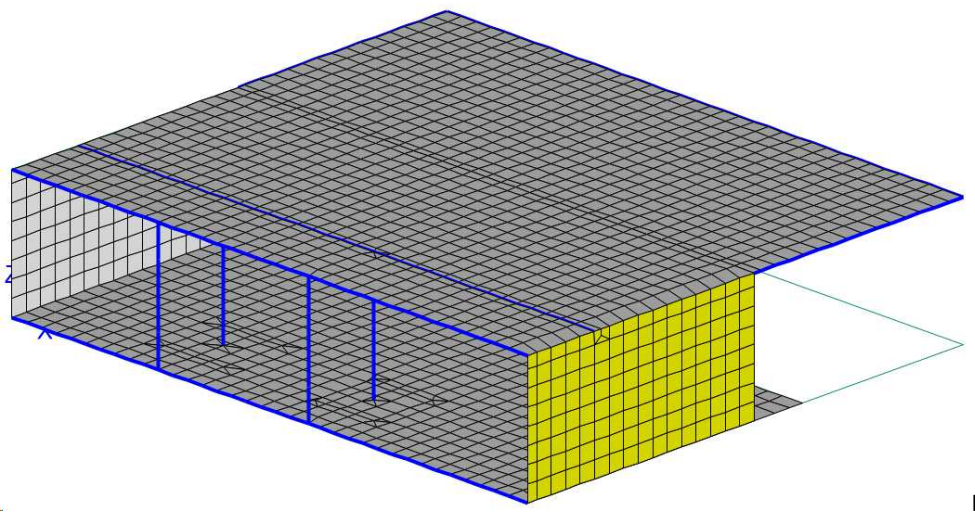
Grundbewehrung: Q424A oben und unten

Zulagebewehrung: siehe As-Plots auf den Folgeseiten

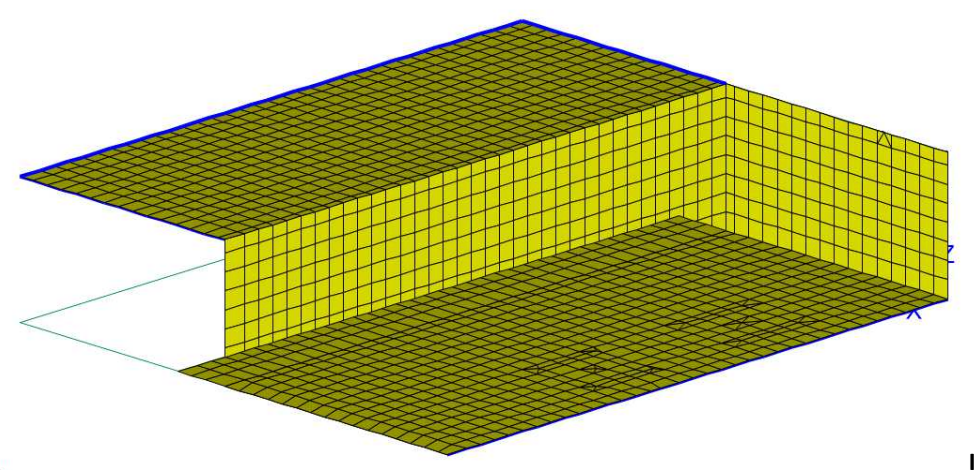
ib-Viewer Version 2025 - Copyright 2024 - mb AEC Software GmbH

Projekt: Sanierung und Neubau Wohnheim "Thomas Müntzer 18.12.2024 Datum: Position: 11 Seite: Auftrags-Nr.: 24-919 112

Übersicht zur Elementausrichtung (grau = Oberseite, gelb = Unterseite)



Isometrie (Ansicht von oben)



Isometrie (Ansicht von unten)

System

Positionsplan

Positionsplan(3D)

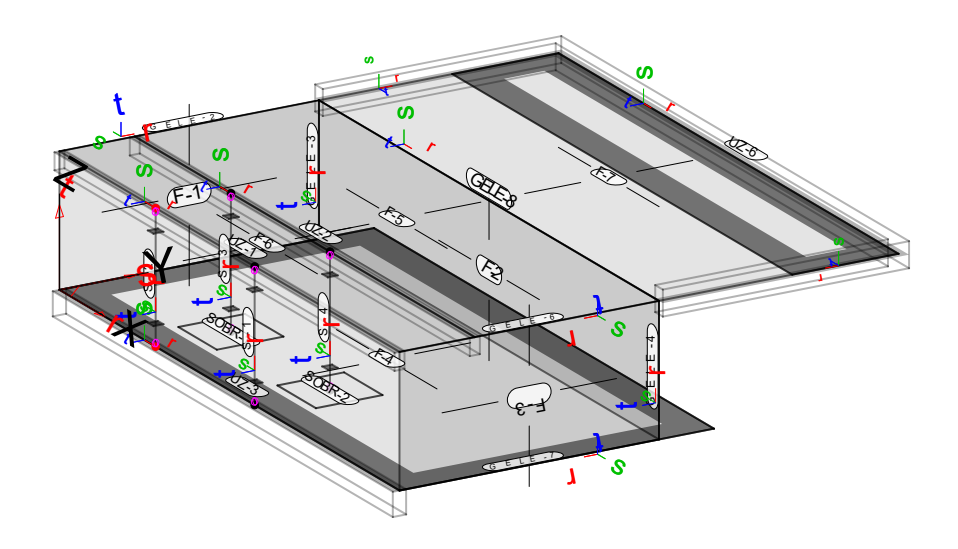
Bauteile

Bauteil-Positionen

Projekt: Sanierung und Neubau Wohnheim "Thomas Müntzer 18.12.2024 Datum: Position: 11 Seite: Auftrags-Nr.: 24-919 113

Positionsgrafik

Übersicht der Bauteil-Positionen



Flächen

Flächen-Positionen

Stahlbeton

Position	Winkel	Art	Exz.	Material	Dicke
	[°]		[cm] Längs	Quer	[cm]
F-1F-4	0.0	iso	0.0	30/37 Q	30.0
				B 500SA	
F-5, F-6	0.0	iso	0.0	30/37 Q	20.0
				B 500SA	
F-7	0.0	iso	0.0	20/25 Q	25.0
			R 500MA	B 500SA	

Winkel: iso: Q: Exz.: Bewehrungsrichtung r isotropes Material Gesteinskörnung Quarzit Exzentrizität e

Expositionsklasse

gemäß DIN	EN 1992-1-1,	Tab.	4.1	
Position	Seite		Κl	Kommentar
F-1F-3	oben		XC2	nass, selten trocken
			WF	Häufig oder längere
				Zeit feuchter Beton
	unten	е	XC4	wechselnd nass und
				trocken
			XD1	mäßige Feuchte
			XM1	Mäßige
				Verschleißbeanspruch
				ung
			WA	Häufig oder längere
				Zeit feuchter Beton
				mit Alkalizufuhr
				von außen
F-4	oben	е	XC4	wechselnd nass und
			_	trocken
				mäßige Feuchte
			XM1	Mäßige
				Verschleißbeanspruch
				ung
			WA	Häufig oder längere
				Zeit feuchter Beton
				mit Alkalizufuhr

Baustatik - Tragwerksplanung - Bauphysik

Sanierung und Neubau Wohnheim "Thomas Müntzer Projekt: 18.12.2024 Datum: Position: 11 Auftrags-Nr.: 24-919 Seite: 114

Position	Seite	K1	Kommentar
			von außen
	unten	XC2	nass, selten trocken
		WF	Häufig oder längere
			Zeit feuchter Beton
F-5	oben	XC1	trocken oder
			ständig nass
		WO	Weitgehend
			trockener Beton
	unten	XC3	mäßige Feuchte
		WF	Häufig oder längere
			Zeit feuchter Beton
F-6	umlaufend	XC3	mäßige Feuchte
		WF	Häufig oder längere
			Zeit feuchter Beton
F-7	oben	XC1	trocken oder
			ständig nass
		WO	Weitgehend
			trockener Beton
	unten		nass, selten trocken
		WF	Häufig oder längere
			Zeit feuchter Beton
e: Es sind zusätzlic	he Antorderungen an	die Ge	steinskörnung nach DIN EN 206-

1 zu berücksichtigen

Dickenbereiche	Position			Exz. Dicke
	SOBR-1, SOBR-2			[cm] [cm] -10.0 50.0
Flächengelenke	Position	K _{T,r}	$K_{T,s}$	K _{T,t}
-		K _{R,r}	$K_{R,s}$	$K_{R,t}$
	GELE-2GELE-4, (GELE-6GELE-8	,	
		fest	fest	fest
		frei	fest	fest
Unterzüge	Unterzug-Positio	nen		
Stahlbeton	Position	Länge B	etonstahl	Beton
		[m] Längs	Bügel	
	UZ-1, UZ-2	17.68 B 500SA	B 500SA	C 30/37 Q
	UZ-3	17.68 B 500SA	B 500SA	C 20/25 Q
	uz-6	32.06 B 500SA	B 500SA	C 20/25 Q
	Q: Gesteinskörnung Quar:			/

Abminderung	Position	F_D	F _{s,s}	Fs,t	Fτ	$F_{B,s}$	$F_{B,t}$
_	UZ-1UZ-3, UZ-6	0.00 0	0.00	0.00	1.00	0.00	0.00
	F _D : Abminderungsfaktor für	die Dehnst	eifigke	eit			

Abminderungsfaktor für die Dennsteirigkeit in s-Richtung Abminderungsfaktor für die Schubsteifigkeit in t-Richtung Abminderungsfaktor für die Torsionssteifigkeit in t-Richtung Abminderungsfaktor für die Biegesteifigkeit um s-Achse Abminderungsfaktor für die Biegesteifigkeit um t-Achse F_{S,s}: Fs,s. Fs,t: F_T: F_{B,s}: F_{B,t}:

Querschnitt	Position	Exz.	b_{P1}	h_f	b_w	h
		[cm]	[cm]	[cm]	[cm]	[cm]
	UZ-1, UZ-2	UZ	60.0	20.0	30.0	70.0
	UZ-3	UZ	60.0	30.0	40.0	100.0
	UZ-6	ZB	_	_	40.0	75.0

UZ: Unterzug ZB: zentrisch angeschlossener Balken

Baustatik - Tragwerksplanung - Bauphysik

	Daustatik	- IT agwer Kapianung - Baupnyaik
Projekt: Sanierung u Auftrags-Nr.: 24-919	nd Neubau Wohnheim "Thomas Müntzer Position: 11	Datum: 18.12.2024 Seite: 115
Unterzugsgelenke	Position Ort $K_{T,r}$ $K_{R,r}$	$egin{array}{lll} K_{T,s} & K_{T,t} \ K_{R,s} & K_{R,t} \end{array}$
	UZ-1, UZ-2, UZ-6 A frei frei E frei frei	fest fest frei frei fest fest frei frei
Expositionsklasse	gemäß DIN EN 1992-1-1, Tab. Position Seite UZ-1, UZ-2 umlaufend UZ-3, UZ-6 umlaufend	4.1 Kl Kommentar XC3 mäßige Feuchte WF Häufig oder längere Zeit feuchter Beton XC2 nass, selten trocken WF Häufig oder längere Zeit feuchter Beton
Stäbe	Stab-Positionen	
Stahlbeton	S-1S-4 ST 3.85	Material b _(t) h _(s) Längs Quer [cm] [cm] C 30/37 Q 30.0 30.0 500SA B 500SA
Expositionsklasse	gemäß DIN EN 1992-1-1, Tab. Position Seite S-1S-4 umlaufend	4.1 Kl Kommentar XC1 trocken oder ständig nass
Stabendgelenke	Position Ort $K_{T,r}$ $K_{R,r}$ $[kN/m]$ $[kNm/rad]$	$egin{array}{lll} K_{T,s} & K_{T,t} & K_{R,s} & K_{R,t} & & & & & & & & & & & & & & & & & & &$
	S-1S-4 A fest fest E fest fest Stabanfang E: Stabende	fest fest +/- frei +/- frei fest fest

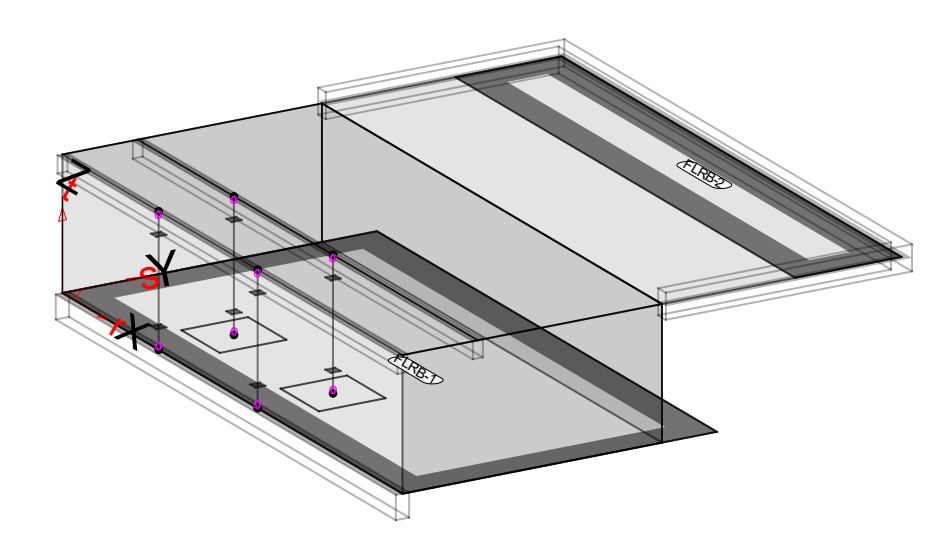
Projekt: Sanierung und Neubau Wohnheim "Thomas Müntzer 18.12.2024 Datum: Position: 11 Seite: Auftrags-Nr.: 24-919 116

Auflager

Auflager-Positionen

Positionsgrafik

Übersicht der Auflager-Positionen



	-	
LIOON	renlag	\sim
FIACI	121121	I 🗀 I 🖰

Flächenlager-Positionen

Flächenbettung (Bettungsziffer)

Position	K _{T,r}	K _{T,s}	K _{T,t}	
	[kN/m ³]	[kN/m ³]	[kN/m ³]	
FLRB-1, FLRB-2				
+/-	1000 +/-	1000 +/-	10000	

Material

Materialkennwerte

Stahlbeton DIN EN 1992-1-1

Position	Material	Wichte	Ecm	fck
			G	$f_{\sf ctm}$
		[kN/m³]	[N/mm2]	[N/mm2]
F-7, UZ-3, UZ-6				
	C 20/25 Q	25.00	30000	20.00
			12500	2.20
F-1F-6, S-1S		-2		
	c 30/37 q	25.00	33000	30.00
			13750	2.90
Q: Gesteinskörnung Quar	zit			
			_	_
Position	Material	Wichte	Es	f _{yk}
			G	$f_{\sf tk,cal}$
		[kN/m³]	[N/mm2]	[N/mm2]
F-1F-7	В 500МА	78.50	200000	500.00
			77000	525.00

Betonstahl DIN EN 1992-1-1

				G	∣tk,cal
			[kN/m³]	[N/mm2]	
F-1F-7	В	500MA	78.50	200000	500.00
				77000	525.00
F-1F-7, S-1S-4,	UΖ	-1UZ	-3, UZ-6		
	В	500SA	78.50	200000	500.00
				77000	525.00

Belastungen

Baustatik - Tragwerksplanung - Bauphysik

Projekt: Sanierung und Neubau Wohnheim "Thomas Müntzer 18.12.2024 Datum: Position: 11 Seite: Auftrags-Nr.: 24-919 117

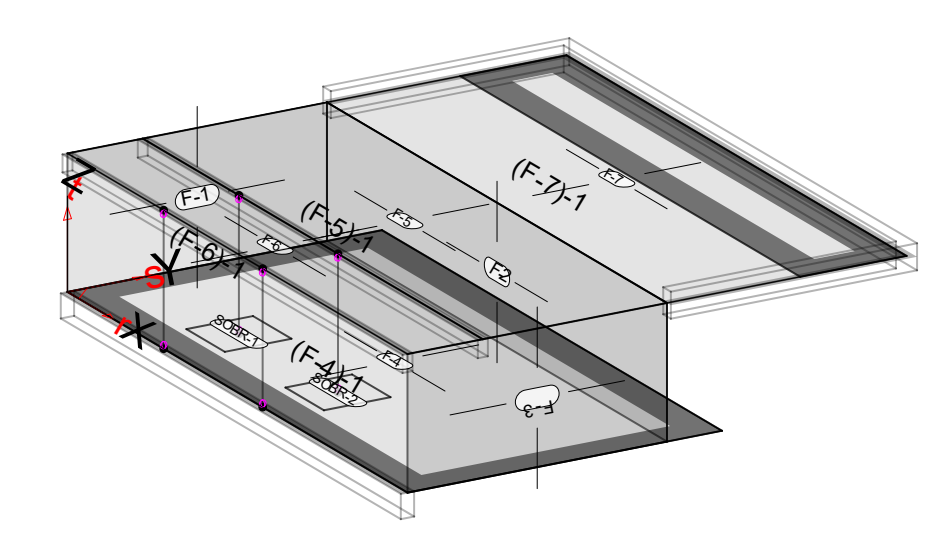
Lasten des FE-Modells Lastplan

Bauteillasten

Flächenförmige Bauteil-Positionen Flächenpositionen

Übersicht der flächenförmigen Bauteil-Positionen Positionsgrafik

Bauteilbezogene Lasten

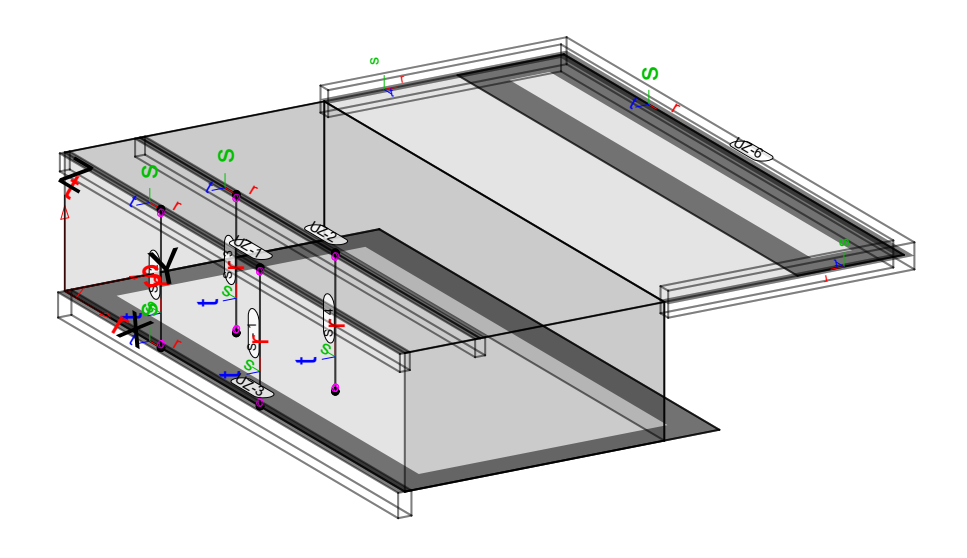


Eigengewicht	Position	EW	Lastfall	Art	g
	F-1F-3	Gk	LF-1	PGr	[kN/m ²] 7.50
	F-4	Gk	LF-1	PGr	von 7.50 bis 12.50
	F-5, F-6	Gk	LF-1	PGr	5.00
	F-7 PGr: Gravitations	Gk last; posi	LF-1 itive Lasten wirken	PGr senkre	6.25 cht nach unten
Dickenbereiche	Bereiche mit	abweic	hender Regeld	icke	
	Position	Dicker	nbereiche		g
					[kN/m ²]
	F-4	SOBR-1	L, SOBR-2		12.50
Sonstige ständige	Position	EW	Lastfall	Art	q
Last					[kN/m ²]
	F-5	Gk	LF-1	PGr	2.00
	F-6	Gk	LF-1	PGr	2.50
	F-7	Gk	LF-1	PGr	2.00
	PGr: Gravitations	last; posi	itive Lasten wirken	senkre	cht nach unten
Nutzlast	Position	EW	Lastfall je	Art	р
			Lastfeld		·
					[kN/m ²]
	a) F-4	Qk.N	(F-4)-1	PGr	2.50
(b) F-5	Qk.N	(F-5)-1	PGr	2.70
	_{c)} F- <u>6</u>	Qk.N	(F-6)-1	PGr	4.00
(_{b)} F-7	Qk.N	(F-7)-1	PGŗ	2.70
	PGr: Gravitations	last; posi	itive Lasten wirken	senkre	cht nach unten
(a)	Nutzlast F2 f				
	Parkhäuser. P	arkflä	chen einschl.		

der Fahrgassen mit

Baustatik - Tragwerksplanung - Bauphysik

Projekt: Sanierung u Auftrags-Nr.: 24-919	nd Neubau Wohnheim "Thomas Müntzer Position: 11	Datum: Seite:	18.12.2024 118
	Deckenstützweiten > 3 m	= 2.50) kn/m²
(b)	Nutzlast A2 für Wohn- u. Aufenthaltsräume	_ 1 5/) kn/m2
	Trennwandzuschlag für LTW bis 5.0kN/m) kN/m²
	1.2	= 1.20 = 2.70) kN/m²) kN/m²
(c)	Nutzlast Z für Dachterassen. Laubengänge. Loggien usw Balkone und Ausstiegspodeste 4.0	= 4.00) kn/m²
Streckenpositionen	Linienförmige Bauteil-Positionen		
Positionsgrafik	Übersicht der linienförmigen Bauteil-	Positione	n



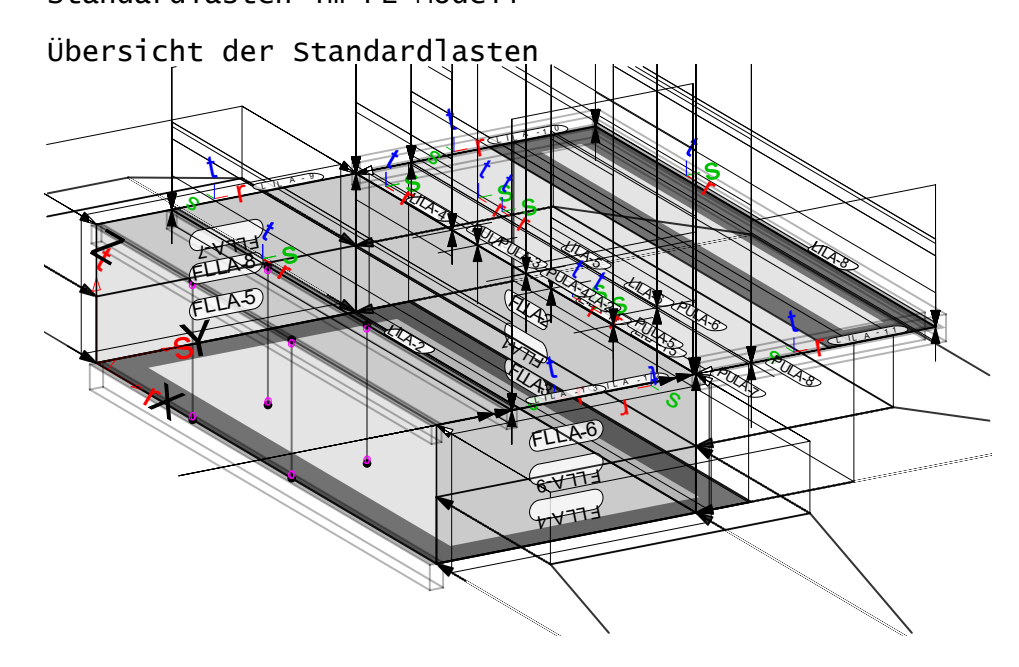
Eigengewicht	Position	EW	Lastfall	Art	g
					[kN/m]
	S-1S-4	Gk	LF-1	PGr	2.25
	UZ-1, UZ-2	Gk	LF-1	PGr	3.75
	UZ-3	Gk	LF-1	PGr	7.00
	uz-6	Gk	LF-1	PGr	7.50
	PGr: Gravitation	clast n	nsitiva Lastan wir	kan sankracht nach	untan

Projekt: Sanierung und Neubau Wohnheim "Thomas Müntzer Datum: 18.12.2024 Auftrags-Nr.: 24-919 Position: 11 Seite: 119

Standardlasten

Standardlasten im FE-Modell

Positionsgrafik



Р	ш	n	k1	- 1	La	S	+	6	n
			n				ı	—	

Position	EW	Lastfall	Art	P,M
				[kN],[kNm]
(a) PULA-1	Gk	BS-Gk	PGr	8.79
(a)	Qk.N	BS-Qk.N	PGr	9.60
(a)	Qk.s	BS-Qk.S	PGr	1.41
(a)	Qk.W	(Qk.W)-000	PGr	0.17
(a)	Qk.W	(Qk.W)-090	PGr	-0.60
(b) PULA-2	Gk	BS-Gk	PGr	5.30
(b)	Qk.N	BS-Qk.N	PGr	6.40
(b)	Qk.s	BS-Qk.S	PGr	1.41
(b)	Qk.W	(Qk.W)-000	PGr	0.17
(b)	Qk.W	(Qk.W) - 090	PGr	-0.60
(c) PULA-3	Gk	BS-Gk	PGr	59.93
(c)	Qk.N	BS-Qk.N	PGr	35.68
(c)	Qk.s	BS-Qk.S	PGr	9.70
(c)	Qk.W	(Qk.W)-000	PGr	1.19
(c)	Qk.W	(Qk.w)-090	PGr	-4.12
(d) PULA-4	Gk	BS-Gk	PGr	47.68
(d)	Qk.N	BS-Qk.N	PGr	24.50
(d)	Qk.s	BS-Qk.S	PGr	9.70
(d)	Qk.W	(Qk.W) - 000	PGr	1.19
(d)	Qk.W	(Qk.W)-090	PGr	-4.12
(e) PULA-5	Gk	BS-Gk	PGr	23.40
(e)	Qk.s	BS-Qk.S	PGr	9.39
(e)	Qk.W	(Qk.W)-000	PGr	1.15
(e)	Qk.W	(Qk.W)-090	PGr	-3.99
(f)PULA-6	Gk	BS-Gk	PGr	26.66
(f)	Qk.s	BS-Qk.S	PGr	10.70
(f)	Qk.W	(Qk.W)-000	PGr	1.31
(f)	Qk.W	(Qk.W)-090	PGr	-4.54
(g) PULA-7	Gk	BS-Gk	PGr	23.46
(g)	Qk.s	BS-Qk.S	PGr	9.41
(g)	Qk.W	(Qk.W)-000	PGr	1.15
(g)	Qk.W	(Qk.W)-090	PGr	-4.00
(h) PULA-8	Gk	BS-Gk	PGr	26.66
(h)	Qk.s	BS-Qk.S	PGr	10.70
(h)	Qk.W	(Qk.W)-000	PGr	1.31

Baustatik - Tragwerksplanung - Bauphysik

Projekt: Sanierung und Neubau Wohnheim "Thomas Müntzer Datum: 18.12.2024 Auftrags-Nr.: 24-919 Position: 11 Seite: 120

	Position	EW	Lastfall	Art	r Izn	P,M
	(h) PGr: Gravitation	Qk.W slast; pos	(Qk.W)-090 itive Lasten wirke	PGr en senkred	[KN tht nach unt	-4.54
(a)	aus Pos. '5'	, Lager	'A'			
(b)	aus Pos. '5'	, Lager	'D'			
(c)	aus Pos. '5'	, Lager	'B'			
(d)	aus Pos. '5'	, Lager	'C'			
(e)	aus Pos. '2'	, Lager	'A', Faktor	= 0.88	3	
(f)	aus Pos. '2'	, Lager	'A'			
(g)	aus Pos. '2'	, Lager	'B', Faktor	= 0.88	3	
(h)	aus Pos. '2'	, Lager	'B'			
Linienlasten	Position	EW	Lastfall	Art	p _A ,m _A [kN/m],	p _E ,m _E [kNm/m]
	(a) LILA-1	Gk Gk	BS-Gk LF-1	pGr	5.86 5.00	5.86 5.00
	(a)	Qk.S	BS-Qk.S	pGr pGr	2.41	2.41
	(a)	Qk.W	(Qk.W)-000	pGr	0.30	0.30
	(a) (b) LILA-2	Qk.W Gk	(Qk.W)-090 BS-Gk	pGr pGr	-1.02 6.18	$\frac{-1.02}{6.18}$
	(6) = == (7)	Gk	LF-1	pGr	5.00	5.00
	(b) (c) LILA-3	Qk.N Gk	BS-Qk.N BS-Gk	pGr pGr	6.17 10.52	$\frac{6.17}{10.52}$
	(C)LILA J	Gk	LF-1	pGr	5.00	5.00
	(c)	Qk.S	BS-Qk.S	pGr	4.32 0.53	4.32 0.53
	(c) (c)	Qk.W Qk.W	(Qk.W)-000 (Qk.W)-090	pGr pGr	-1.84	-1.84
	(d) LILA-4	Gk	BS-Gk	pGr	11.09	11.09
	(d)	Gk Qk.N	LF-1 BS-Qk.N	pGr pGr	5.00 15.74	5.00 15.74
	(e) LILA-5	Gk	BS-Gk	pGr	10.52	10.52
		Gk Qk.S	LF-1 BS-Qk.S	pGr pGr	5.00 4.32	5.00 4.32
	(e) (e)	Qk.W	(Qk.W)-000	pGr	0.53	0.53
	(e)	Qk.W	(Qk.W)-090	pGr	-1.84	-1.84
	(f)LILA-6	Gk Gk	BS-Gk LF-1	pGr pGr	11.09 5.00	11.09 5.00
	(f)	Qk.N	BS-Qk.N	pGr	15.74	15.74
	_(g) LILA-7	Gk Gk	BS-Gk LF-1	pGr pGr	5.86 5.00	5.86 5.00
	(g)	Qk.S	BS-Qk.S	pGr	2.41	2.41
	(g) (g)	Qk.W Qk.W	(Qk.W)-000 (Qk.W)-090	pGr pGr	0.30 -1.02	0.30 -1.02
	(b) LILA-8	Gk	BS-Gk	pGr	6.18	6.18
	415	Gk N	LF-1	pGr	5.00	5.00
	(h) LILA-9	Qk.N Gk	BS-Qk.N LF-1	pGr pGr	6.17 10.00	$\frac{6.17}{10.00}$
	LILA-10	Gk	LF-1	pGr	10.00	10.00
	LILA-11 LILA-12	Gk Gk	LF-1 LF-1	pGr pGr	10.00 10.00	$\begin{array}{r} 10.00 \\ \hline 10.00 \end{array}$
	(i) LILA-13	Gk	BS-Gk	mr	-25.34	-25.34
	(j) (k)	Gk Qk.N	BS-Gk BS-Qk.N	pGr mr	20.47 -11.14	20.47 -11.14
		21.11	DO QRIM			·-

Baustatik - Tragwerksplanung - Bauphysik

Sanierung und Neubau Wohnheim "Thomas Müntzer Projekt: 18.12.2024 Datum: Position: 11 Auftrags-Nr.: 24-919 Seite: 121

Position	EW	Lastfall	Art	p_A, m_A	p_{E} , m_{E}
				[kN/m],	[kNm/m]
(j)	Qk.N	BS-Qk.N	pGr	9.44	9.44
(c) LILA-14	Gk	BS-Gk	pGr	10.52	10.52
	Gk	LF-1	pGr	5.00	5.00
(c)	Qk.S	BS-Qk.S	pGr	4.32	4.32
(c)	Qk.W	(Qk.W)-000	pGr	0.53	0.53
(c)	Qk.W	(Qk.W) - 090	pGr	-1.84	-1.84
(d) LILA-15	Gk	BS-Gk	pGr	11.09	11.09
	Gk	LF-1	pGr	5.00	5.00
(d)	Qk.N	BS-Qk.N	pGr	15.74	15.74
mr: um lokale	r-Achse		•		

pGr: Gravitationslast; positive Lasten wirken senkrecht nach unten

(a)	aus Pos.	'1', Lag	er 'A'
-----	----------	----------	--------

-25.335 = -25.34

5

-11.139 = -11.14

Gleichflächenlaste	Position	EW	Lastfall	Art	р
n					[kN/m ²]
	FLLA-1	Gk	BS-Gk	ру	-12.00
		Qk.N	BS-Qk.N	рy	-4.00
		Qk.s	BS-Qk.S	ру	-1.00
	FLLA-2	Gk.E	LF-4	py	-15.00
	FLLA-6	Gk.E	LF-4	рх	-15.00
	FLLA-7	Gk.E	LF-4	рх	15.00
	FLLA-8	Qk.N	BS-Qk.N	рх	2.00
	FLLA-9	Qk.N	BS-Qk.N	рх	-2.00
	px: in globaler	x-Richtung	·	•	

Trapezflächenlaste n	Position	EW	Lastfall	Art	p [kN/m²]
• •	FLLA-3	Gk.E	LF-4	ру	Trapez
	FLLA-4, FLLA-	- Gk.E	LF-4	рх	Trapez

px: in globaler x-Richtung py: in globaler y-Richtung

Baustatik - Tragwerksplanung - Bauphysik

Projekt: Sanierung und Neubau Wohnheim "Thomas Müntzer Datum: 18.12.2024 Auftrags-Nr.: 24-919 Position: 11 Seite: 122

Tranezlasten	

Lastordinater	nebene durch	drei	Stützstellen	definiert
Position	Punkt	r	S	р
		[m]	[m]	[kN/m ²]
FLLA-3	P-1	0.00	0.00	-15.00
	P-2 -	-17.68	0.00	-15.00
	P-3 -	-17.68	-1.85	-30.00
FLLA-4	P-1	0.00	0.00	-15.00
	P-2	-7.79	0.00	-15.00
	P-3	-7.79	-1.85	-30.00
FLLA-5	P-1	0.00	0.00	15.00
	P-2	-7.79	0.00	15.00
	P-3	-7.79	-1.85	30.00

Einwirkungen

DIN EN 1990

Einwirkungen nach DIN EN 1990

Kürzel	Beschreibung
	Typisierung
Gk	Eigenlasten
	Ständige Einwirkungen
Qk.N	Nutzlasten
	Kategorie A - Wohn- und Aufenthaltsräume
Qk.S	Schnee
	Schnee- und Eislasten für Orte bis NN +
	1000 m
Qk.W	Wind
•	Windlasten
Gk.E	Erddruck
	Ständiger Erddruck
	5

Lastfälle

Lastfälle und deren Zuordnung zu den Einwirkungen

Gk	LF-1, BS-Gk
Qk.N Qk.S Qk.W Gk.E	BS-Qk.N, (F-4)-1, (F-5)-1, (F-6)-1, (F-7)-1
Qk.S	BS-Qk.S
Qk.W	LG-(Qk.W) ((Qk.W)-000, (Qk.W)-090)
Gk.E	LF-4

Bemessung GZTrigGZ@emPara

Biegebemessung der Flächen (Stahlbeton) nach DIN EN 1992-1-1

Mat./Querschnitt

Position	Winkel	Art	Exz.	Material	Dicke
	[°]		[cm]Längs	Quer	[cm]
F-1F-4	0.0	iso	0.0	30/37 Q	30.0
				B 500SA	
F-5, F-6	0.0	iso	0.0	30/37 Q	20.0
				B 500SA	
F-7	0.0	iso	0.0	20/25 Q	25.0
			B 500MA	B 500SA	

Winkel: Bewehrungsrichtung r iso: isotropes Material Q: Gesteinskörnung Quarzit Exz.: Exzentrizität e

ID-Viewer Version 2025 - Copyright 2024 - Mb AEC Sollware GMDH

Baustatik - Tragwerksplanung - Bauphysik

Projekt: Sanierung und Neubau Wohnheim "Thomas Müntzer 18.12.2024 Datum:

Position: 11 Seite: Auftrags-Nr.: 24-919 123

Expositionsklasse	gemäß DIN EN	1992-1-1,	таb. 4.1
p	Position	Seite	Kl

gemäß DIN	EN 1992-1-1, Ta	b. 4.1	
Position	Seite	Kl	Kommentar
F-1F-3	oben	XC2 WF	nass, selten trocken Häufig oder längere
		WF	Zeit feuchter Beton
	unten	e XC4	
	uncen	e XC4	trocken
		2ח2	mäßige Feuchte
		XM1	Mäßige
		ACIT	Verschleißbeanspruch
			ung
		WA	Häufig oder längere
			Zeit feuchter Beton
			mit Alkalizufuhr
	- I	\ <u>``</u>	von außen
F-4	oben	e XC4	wechselnd nass und trocken
		XD1	mäßige Feuchte
		XM1	Mäßige
		7 ti	Verschleißbeanspruch
			ung
		WA	Häufig oder längere
			Zeit feuchter Beton
			mit Alkalizufuhr
		V.C.2	von außen
	unten	XC2	
		WF	Häufig oder längere Zeit feuchter Beton
F-5	oben	xc1	trocken oder
1 3	ODEII	ACI	ständig nass
		WO	Weitgehend
			trockener Beton
	unten	XC3	
		WF	Häufig oder längere
			Zeit feuchter Beton
F-6	umlaufend	XC3	
		WF	Häufig oder längere
	- h - n	V.C1	Zeit feuchter Beton
F-7	oben	XC1	
		WO	ständig nass
		WO	Weitgehend trockener Beton
	unten	XC2	
	uncen	WF	Häufig oder längere
		•••	Zeit feuchter Beton

e: Es sind zusätzliche Anforderungen an die Gesteinskörnung nach DIN EN 206-1 zu berücksichtigen

Bewehrung

Vorgaben zur Bewehrungsdefinition

Bewehrungsrichtung

Orthogonale Bewehrung				
Position	$lpha_{ t ro}$	$lpha_{so}$	$lpha_{ t ru}$	$lpha_{ extsf{su}}$
	[°]	[°]	[°]	[°]
F-1F-7	0.00	90.00	0.00	90.00

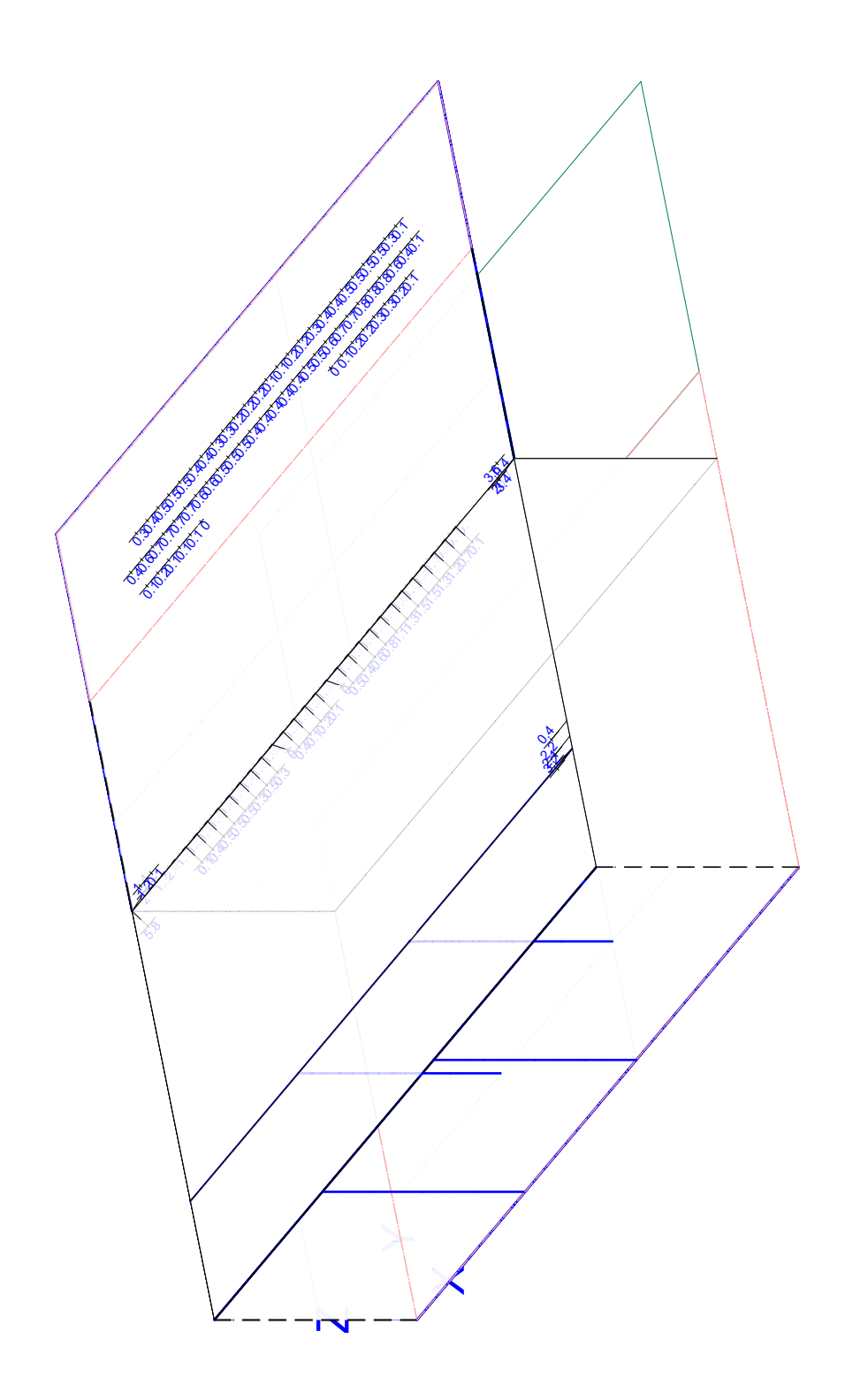
Baustatik - Tragwerksplanung - Bauphysik

Projekt: Sanierung u Auftrags-Nr.: 24-919	nd Neubau Woh		Thomas M	lüntzer			atum: ite:	124
Betondeckung	Position		C _{min}	ΔC _{def}	C _{nom}	C _V	d'r [mm]	d's [mm]
	F-1F-3	0	20 40	15 15	35 55	-	45 60	45 60
	F-4	<u>и</u> о	40	15	55		60	60
	F-5	u	20 10	15 10	35 20		45 30	45 30
	F-3	o u	20	15	35	_	45	45
	F-6	0	20	15	35	_	45	45
	F-7	0 u	20 10 20	15 10 15	35 20 35		45 30 45	45 30 45
Grundbewehrung	Position		Matte,	Stäbe	d' _r	a _{sg,r}	d's	$a_{sg,s}$
	F-1		Ø[mm],	s[cm]	[mm] [d	cm ² /m]		cm ² /m]
	F-T	u o			60 45	9.05 9.05	60 45	6.28 6.28
	F-2	u			60	9.05	60	6.28
	F-3	u u			45 60	9.05	45 60	6.28
		0			45	9.05	45	6.28
	F-4	u o			45 60	7.54 7.54	45 60	7.54 7.54
	F-5	u			45	5.24	45	5.24
	F-6	o u			30 45	5.24	30 45	5.24 5.24
		0			45	5.24	45	5.24
	F-7	u o			45 30	4.24 4.24	45 30	4.24 4.24
Bemessungsparamete r	für den Gr 1992-1-1	enzzus	stand d	er Tra	gfähigk	eit na	ch DIN	EN
Biegung	Position		Bemess	ungsver	rfahren	Mind	estbew	ehrung
3 3	F-1F-7 Mindestbewehru	ng nach	Abs. 9.2.1		rlimann 9.2.2			jā
Nachweisparameter	für den Gr DIN EN 199			er Gebi	rauchst	auglic	hkeit	nach
Rissbreiten	Parameter Position	gemäß		.3 ct,eff	ds	_	d _{s,s}	Wk
	1 031 (1011			ct,ett /mm²]	us,		us,s [mm]	wk [mm]
	F-1F-4			2.90 o	1	2	12	0.30
	F-5			2.90 o	1	2 0 2	12 10 12	0.30 0.40 0.30
	F-6			2.90 o	1	2	12	0.30
	F-7			2.20 o	1	2 0 2	12 10 12	0.30 0.40 0.30

Projekt: Sanierung und Neubau Wohnheim "Thomas Müntzer Datum: 18.12.2024 Auftrags-Nr.: 24-919 Position: 11 Seite: 125

Flächenbemessung

Erforderliche Bewehrung as,erf (Differenzbew.)



r/s: Vorh. Bewehrung as,vorh = 4.2...9.1 / 4.2...7.5 (Grund+Zulagen)

r/s: Bew.-Abstand d' = 30...60 / 30...60 mm

Beton C 20/25...C 30/37

Bauteildicke h = 20.00...50.00 cm

aus allen Nachweisen Oberseite in [cm²/m]

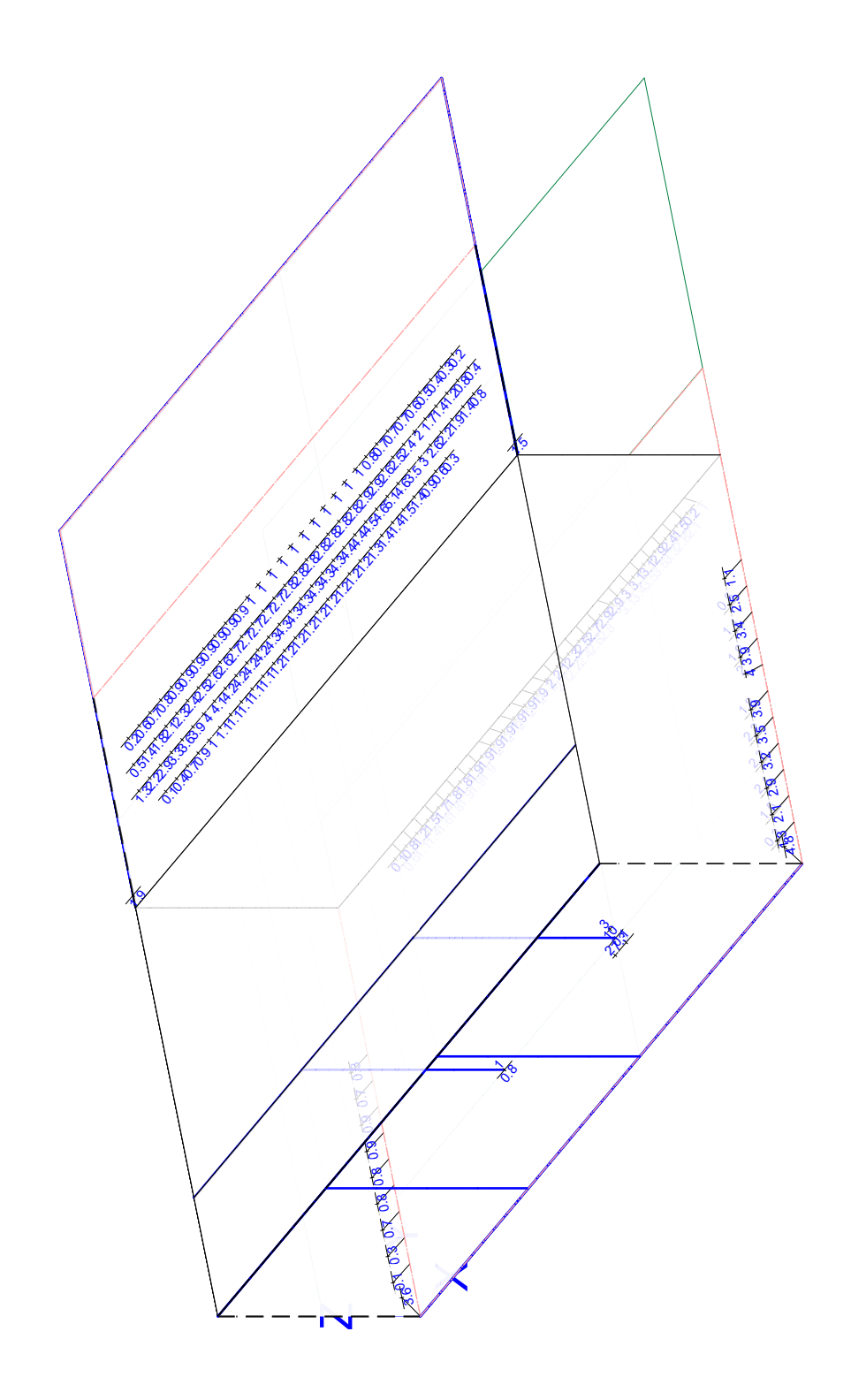
r/s: Min = 0 / 0, Max = 3.6 / 23.1

MicroFe, 2025.004 MicroFe, 2025.004

Projekt: Sanierung und Neubau Wohnheim "Thomas Müntzer Datum: 18.12.2024 Auftrags-Nr.: 24-919 Position: 11 Seite: 126

Flächenbemessung

Erforderliche Bewehrung as,erf (Differenzbew.)



r/s: Vorh. Bewehrung as,vorh = 4.2...9.1 / 4.2...7.5 (Grund+Zulagen)

r/s: Bew.-Abstand d' = 45...60 / 45...60 mm

Beton C 20/25...C 30/37

Bauteildicke h = 20.00...50.00 cm

aus allen Nachweisen Unterseite in [cm²/m]

r/s: Min = 0 / 0, Max = 10 / 7.3

MicroFe, 2025.004 MicroFe, 2025.004

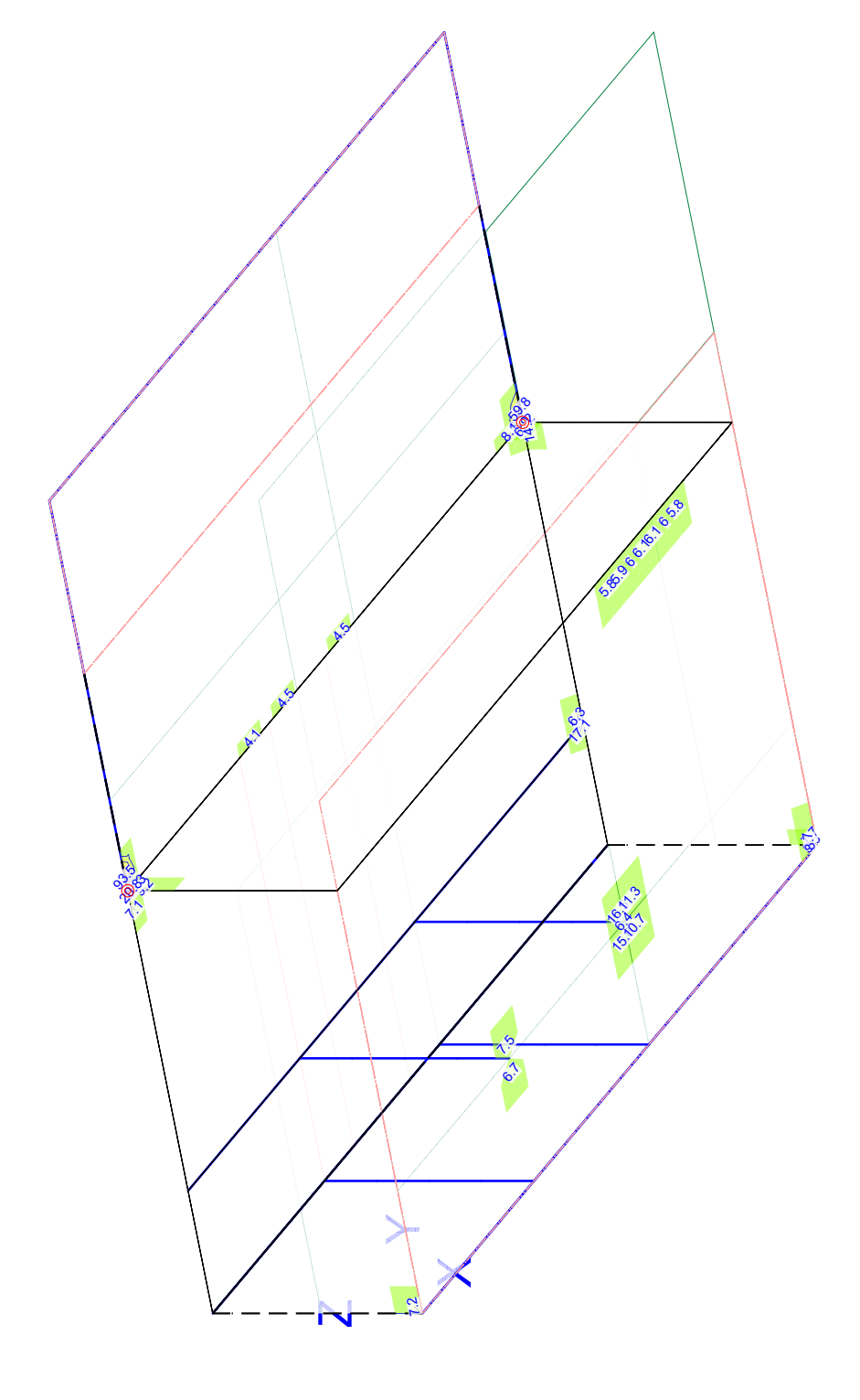
Baustatik - Tragwerksplanung - Bauphysik

Projekt: Sanierung und Neubau Wohnheim "Thomas Müntzer Datum: 18.12.2024 Auftrags-Nr.: 24-919 Position: 11 Seite: 127

Querkraftbemessung

Querkraftbewehrung asw/sw aus allen Nachweisen in [cm²/m²]





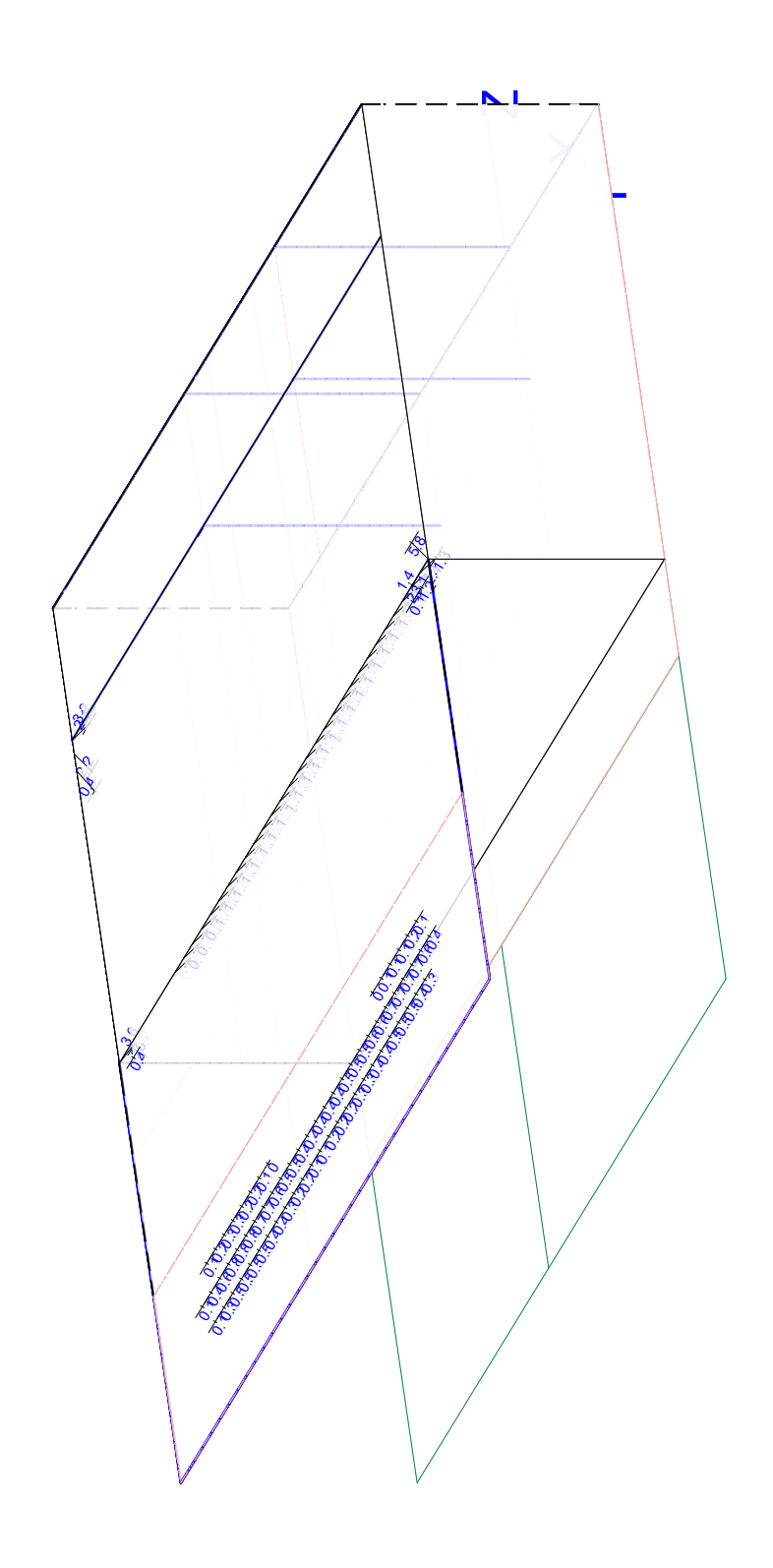
O --> Nachweis wurde nicht erbracht

Max = 93.5, Min = 0, Step = 20

Projekt: Sanierung und Neubau Wohnheim "Thomas Müntzer Datum: 18.12.2024 Auftrags-Nr.: 24-919 Position: 11 Seite: 128

Flächenbemessung

Erforderliche Bewehrung as,erf (Differenzbew.)



r/s: Vorh. Bewehrung as,vorh = 4.2...9.1 / 4.2...7.5 (Grund+Zulagen)

r/s: Bew.-Abstand d' = 30...60 / 30...60 mm

Beton C 20/25...C 30/37

Bauteildicke h = 20.00...50.00 cm

aus allen Nachweisen Oberseite in [cm²/m]

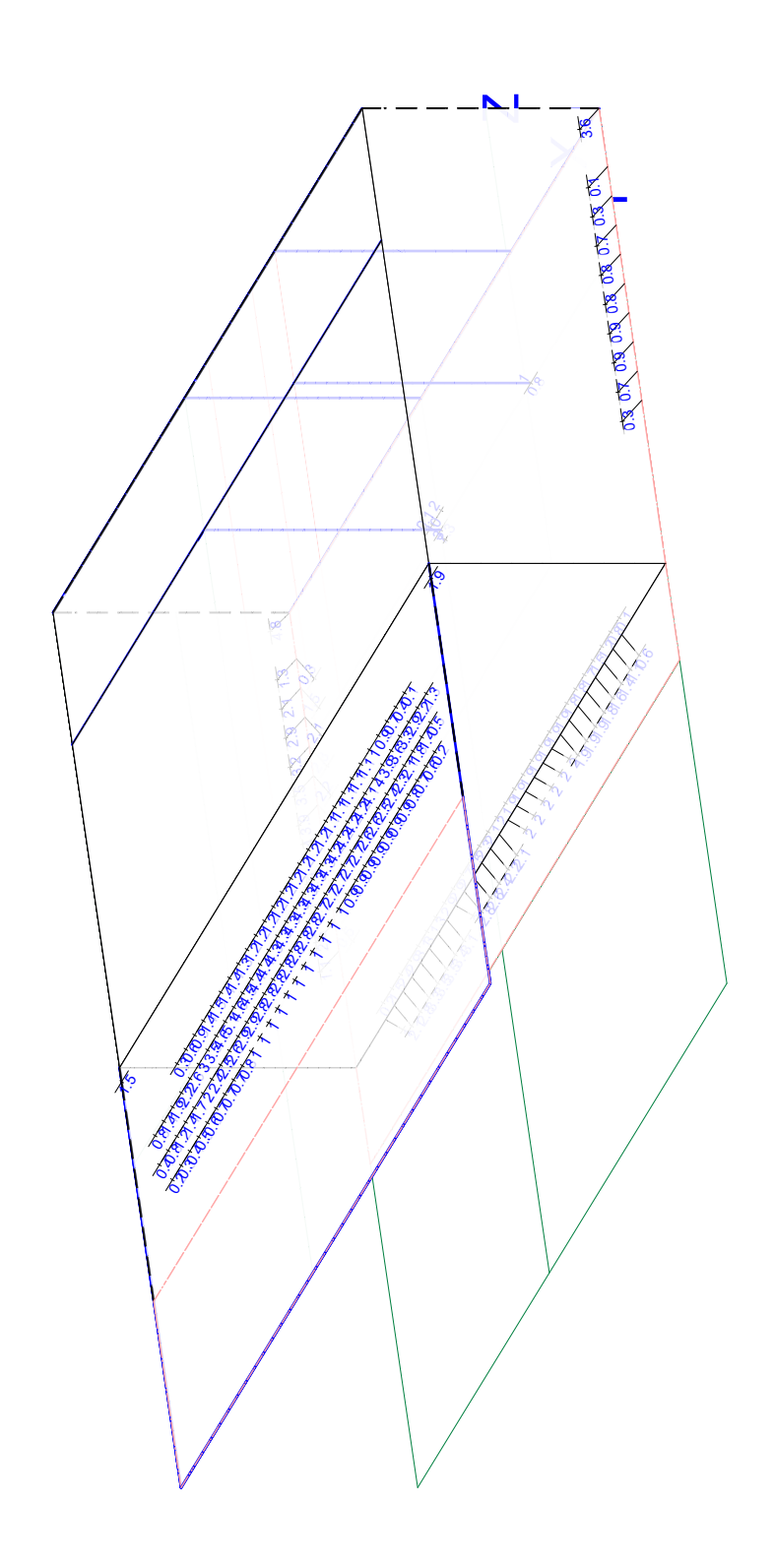
r/s: Min = 0 / 0, Max = 3.6 / 23.1

MicroFe, 2025.004 MicroFe, 2025.004

Projekt: Sanierung und Neubau Wohnheim "Thomas Müntzer Datum: 18.12.2024 Auftrags-Nr.: 24-919 Position: 11 Seite: 129

Flächenbemessung

Erforderliche Bewehrung as,erf (Differenzbew.)



r/s: Vorh. Bewehrung as,vorh = 4.2...9.1 / 4.2...7.5 (Grund+Zulagen)

r/s: Bew.-Abstand d' = 45...60 / 45...60 mm

Beton C 20/25...C 30/37

Bauteildicke h = 20.00...50.00 cm

aus allen Nachweisen Unterseite in [cm²/m]

r/s: Min = 0 / 0, Max = 10 / 7.3

MicroFe, 2025.004 MicroFe, 2025.004

Baustatik - Tragwerksplanung - Bauphysik

Projekt: Sanierung und Neubau Wohnheim "Thomas Müntzer 18.12.2024 Datum: 130

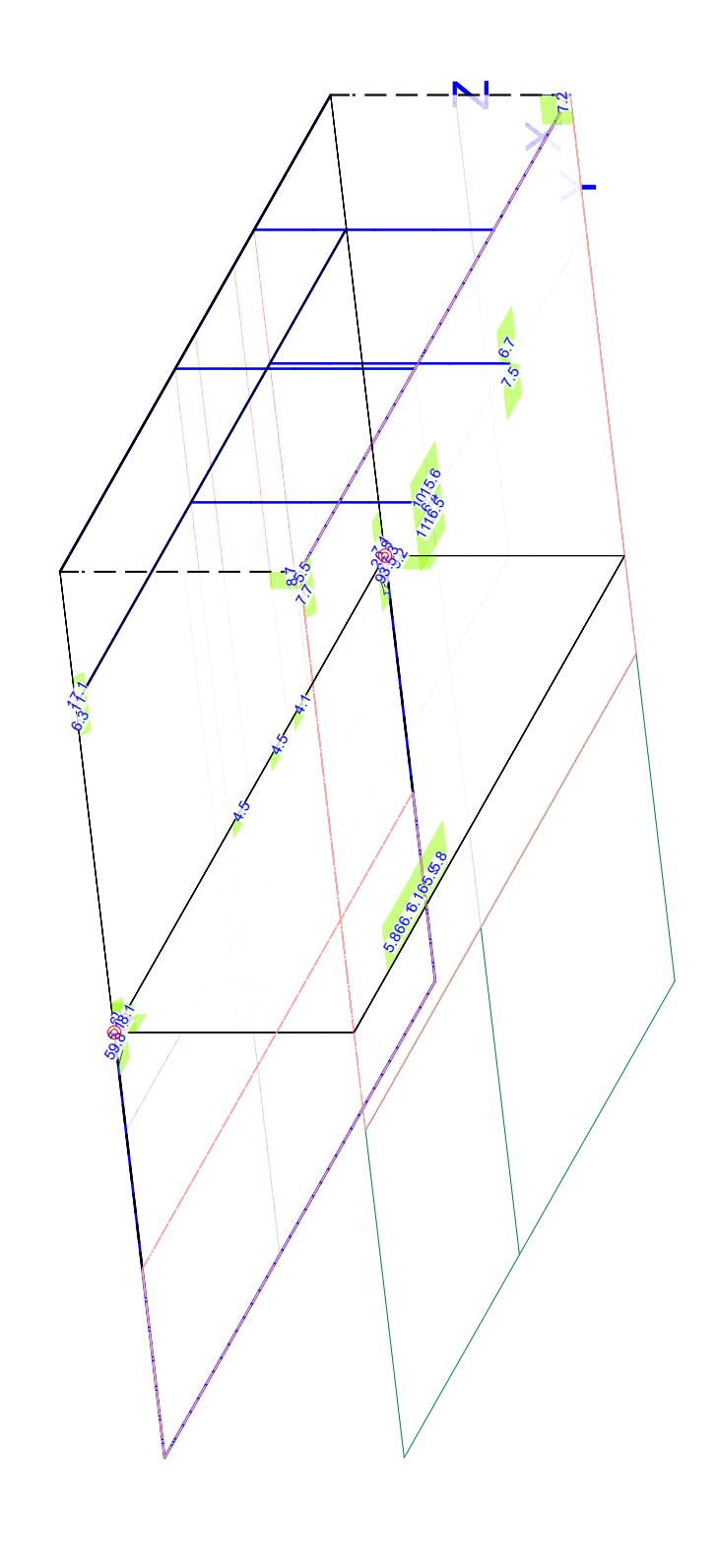
Position: 11 Auftrags-Nr.: 24-919

Seite:

Querkraftbemessung

Querkraftbewehrung asw/sw aus allen Nachweisen in [cm²/m²]





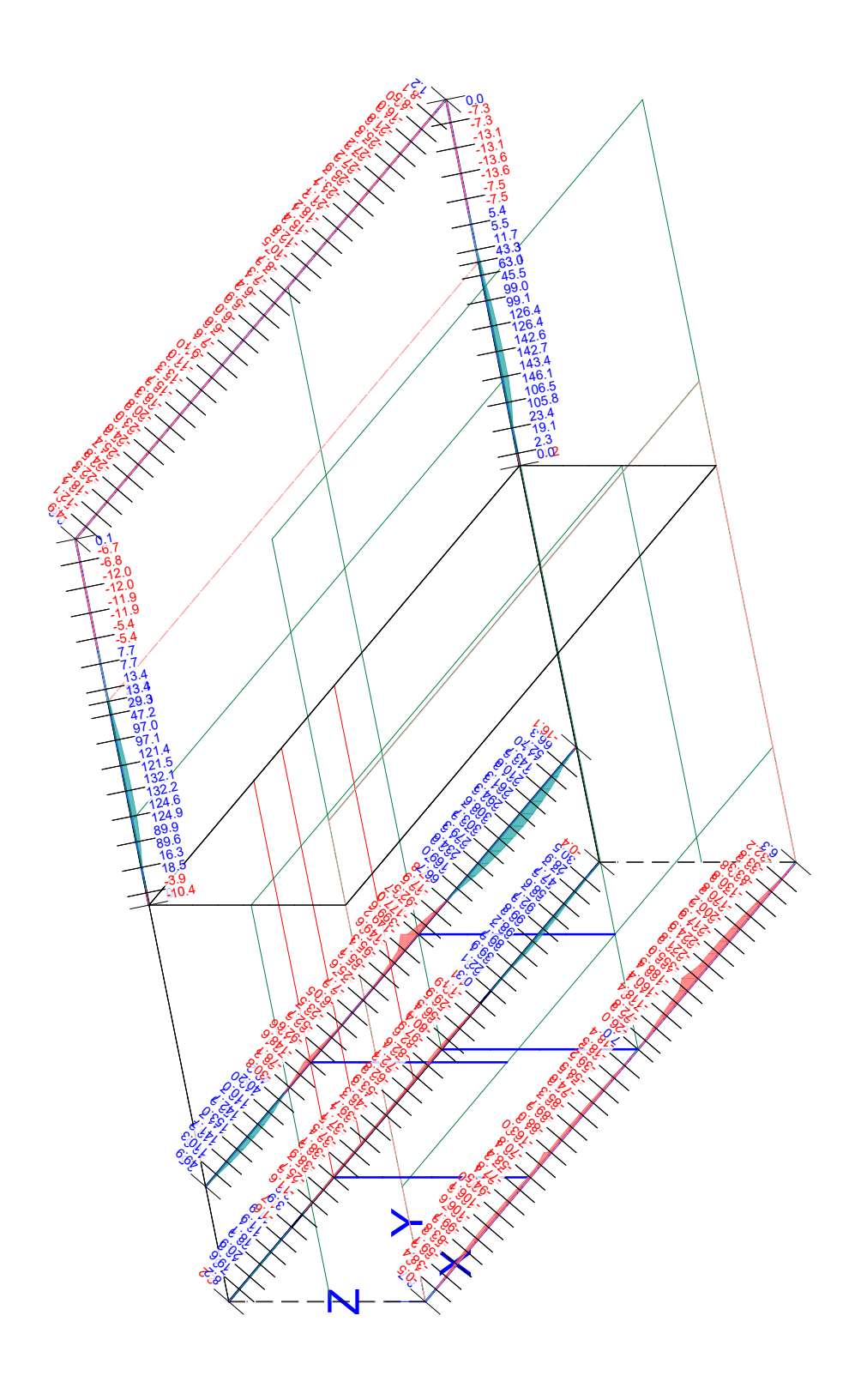
O --> Nachweis wurde nicht erbracht

Max = 93.5, Min = 0, Step = 20

Projekt: Sanierung und Neubau Wohnheim "Thomas Müntzer Datum: 18.12.2024 Auftrags-Nr.: 24-919 Position: 11 Seite: 131

Über-/Unterzugbemessung

Bemessungsmoment MEd

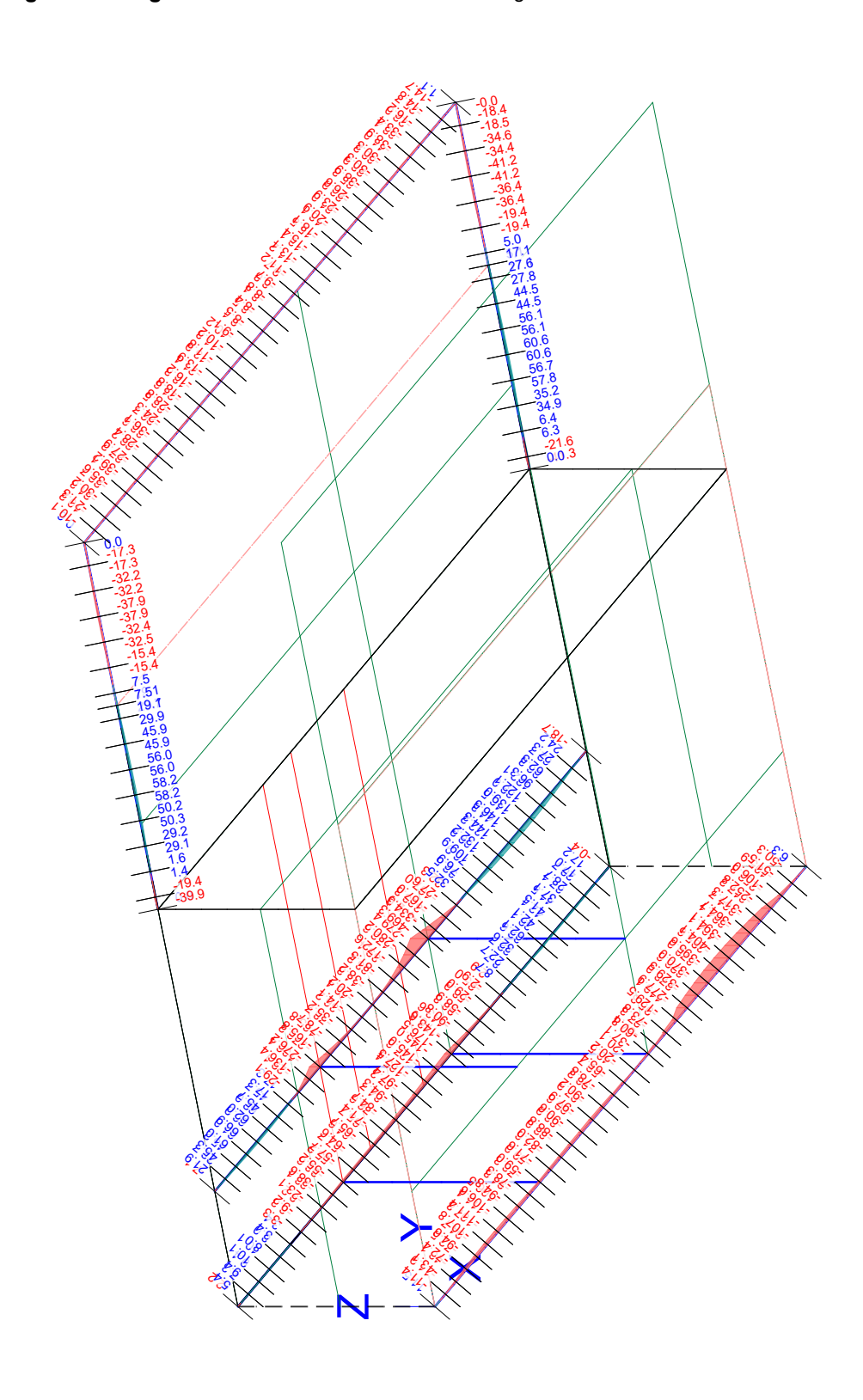


aus Tragfähigkeitsnachweis Unterseite in [kNm] Max = 399.6, Min = 308.6 Beton C 20/25...C 30/37

Projekt: Sanierung und Neubau Wohnheim "Thomas Müntzer Datum: 18.12.2024 Auftrags-Nr.: 24-919 Position: 11 Seite: 132

Über-/Unterzugbemessung

Bemessungsmoment MEd

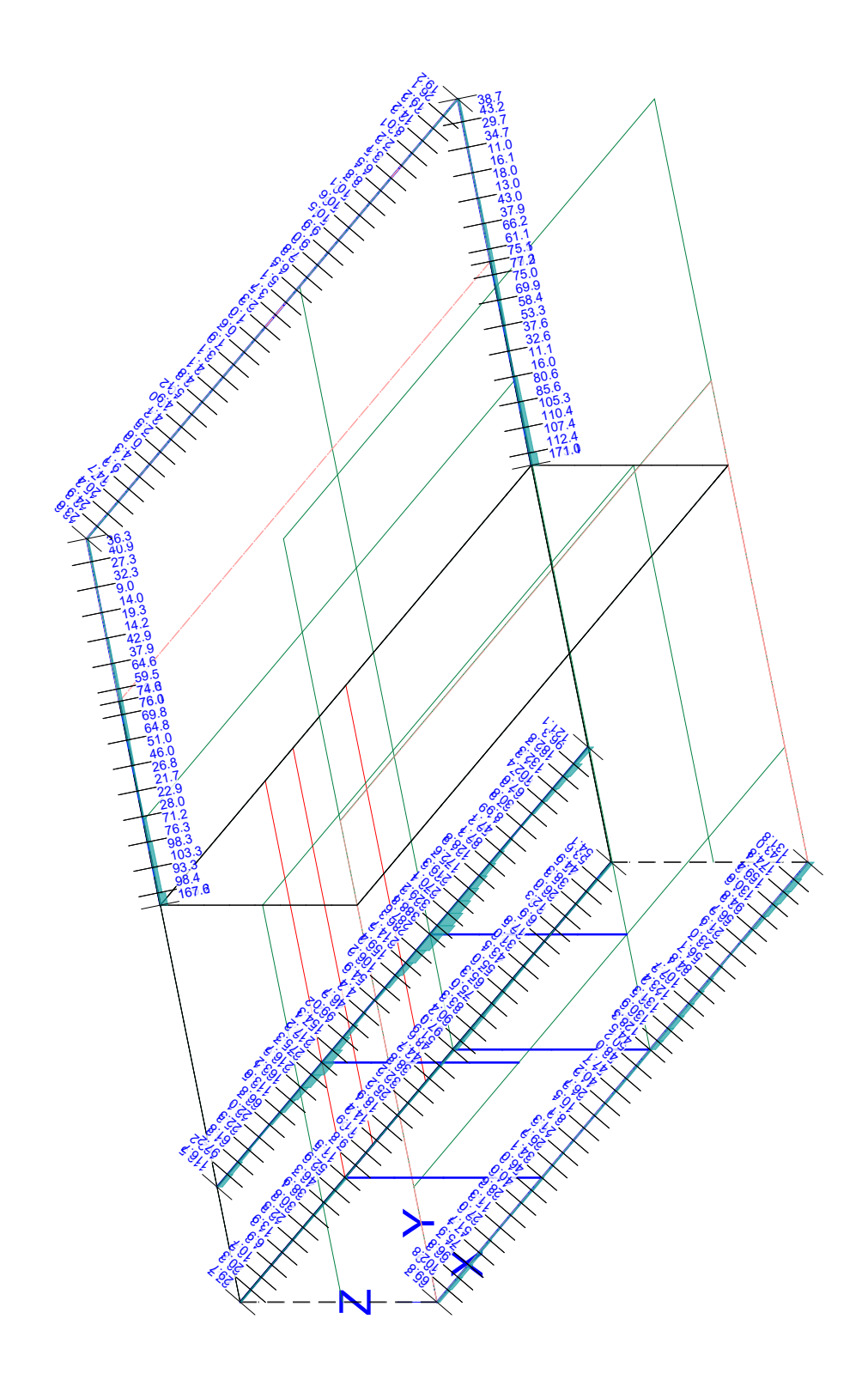


aus Tragfähigkeitsnachweis Oberseite in [kNm] Max = 472.9, Min = 146.5 Beton C 20/25...C 30/37

Projekt: Sanierung und Neubau Wohnheim "Thomas Müntzer Datum: 18.12.2024 Auftrags-Nr.: 24-919 Position: 11 Seite: 133

Über-/Unterzugbemessung

Bemessungsquerkraft VEd



aus Tragfähigkeitsnachweis in [kN] Max = 388.8, Min = 0.1

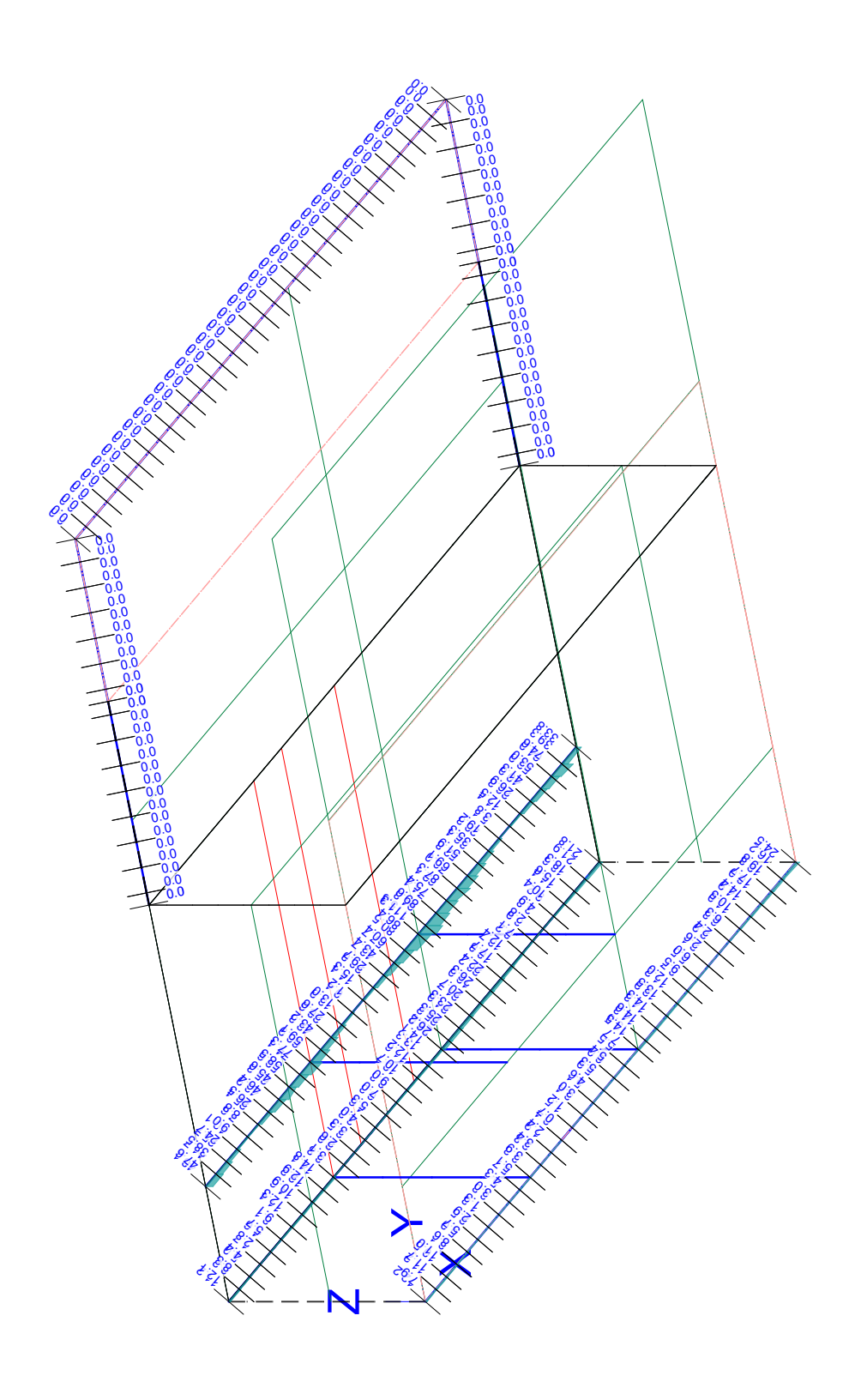
Beton C 20/25...C 30/37

MicroFe, 2025.004 MicroFe, 2025.004

Projekt: Sanierung und Neubau Wohnheim "Thomas Müntzer Datum: 18.12.2024 Auftrags-Nr.: 24-919 Position: 11 Seite: 134

Über-/Unterzugbemessung

Bemessungslängsschubkraft vEd (Gurt)



aus Tragfähigkeitsnachweis in [kN/m]

Max = 115.8, Min = 0

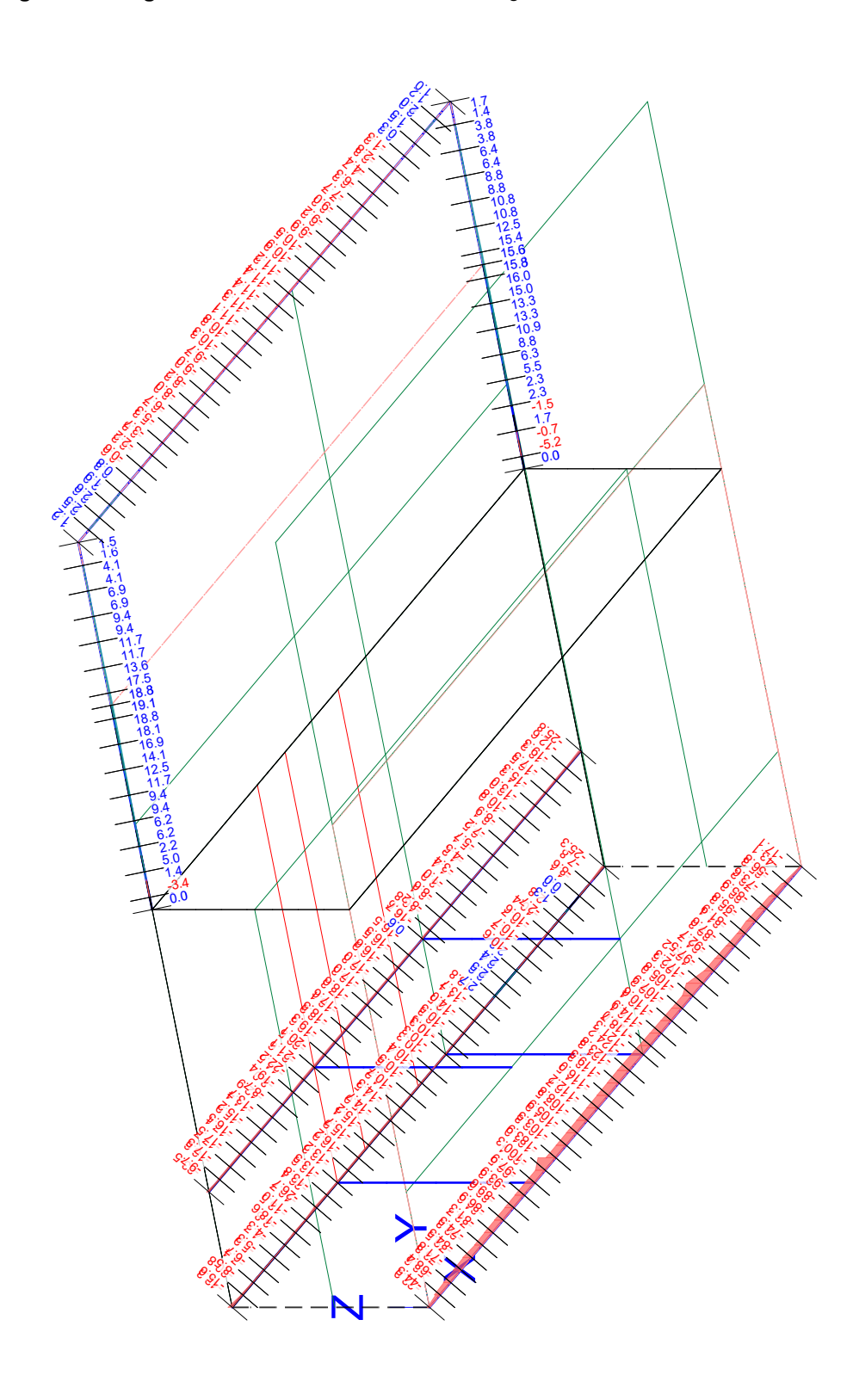
Beton C 20/25...C 30/37

MicroFe, 2025.004

Projekt: Sanierung und Neubau Wohnheim "Thomas Müntzer 18.12.2024 Datum: Position: 11 Auftrags-Nr.: 24-919 Seite: 135

Über-/Unterzugbemessung

Bemessungsnormalkraft NEd



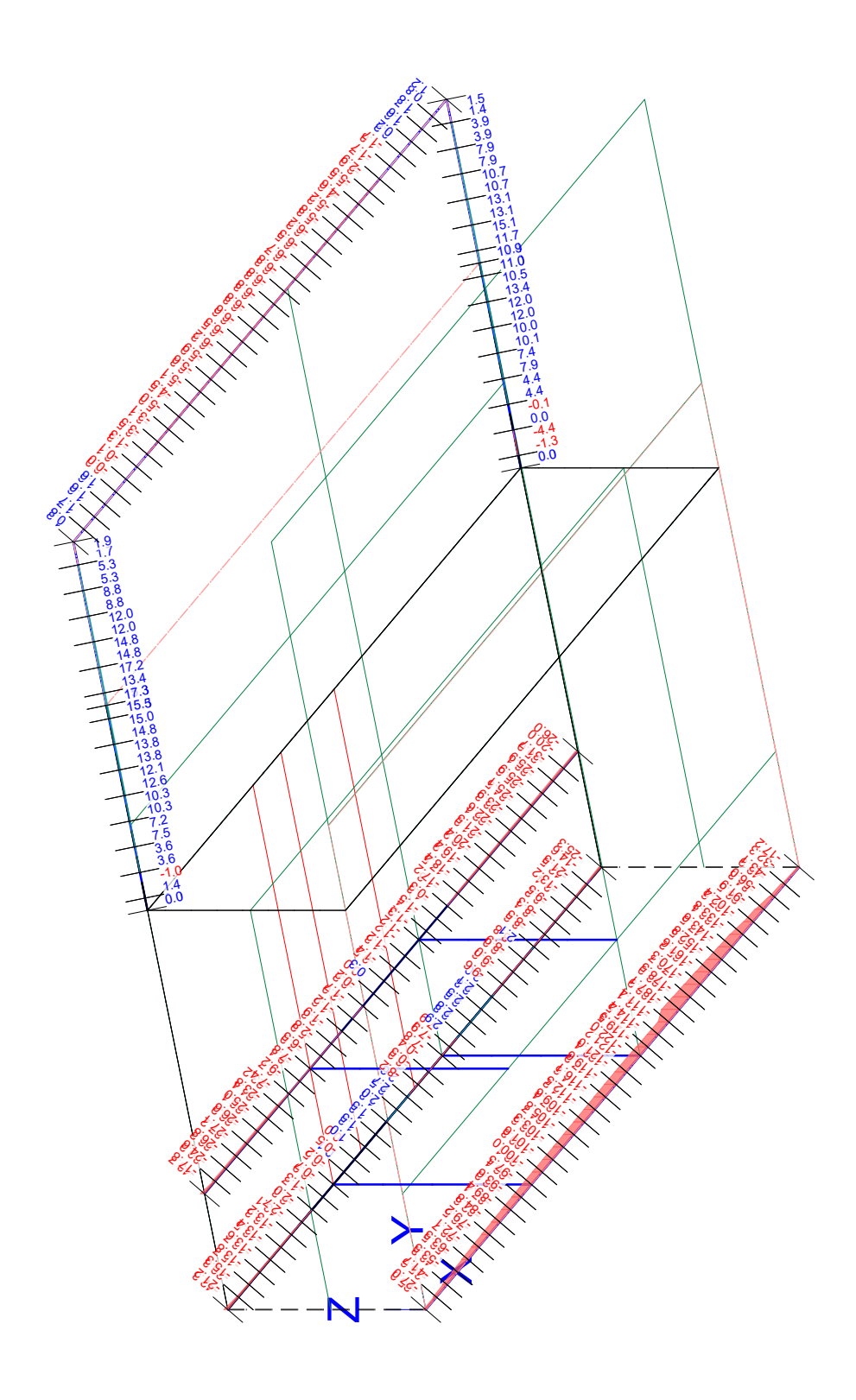
aus Tragfähigkeitsnachweis Unterseite in [kN] Max = 183.9, Min = 19.1

Beton C 20/25...C 30/37

Projekt: Sanierung und Neubau Wohnheim "Thomas Müntzer Datum: 18.12.2024 Auftrags-Nr.: 24-919 Position: 11 Seite: 136

Über-/Unterzugbemessung

Bemessungsnormalkraft NEd

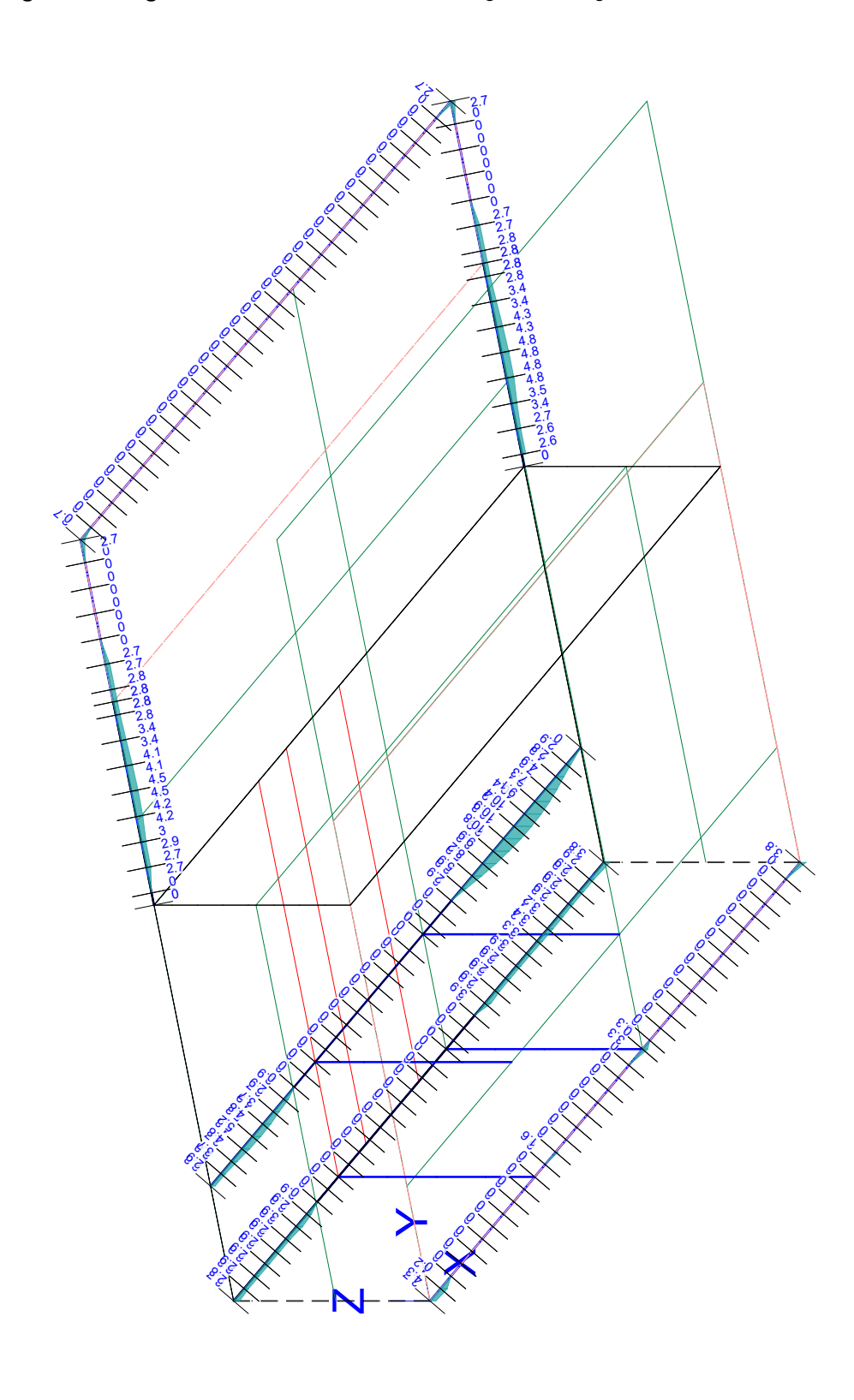


aus Tragfähigkeitsnachweis Oberseite in [kN] Max = 187.1, Min = 17.3 Beton C 20/25...C 30/37

Projekt: Sanierung und Neubau Wohnheim "Thomas Müntzer Datum: 18.12.2024 Auftrags-Nr.: 24-919 Position: 11 Seite: 137

Über-/Unterzugbemessung

Erf. Längsbewehrung As,erf



Unterseite in [cm²]

Max = 10.9, Min = 0

Bew.-Abstand d' = 60 mm

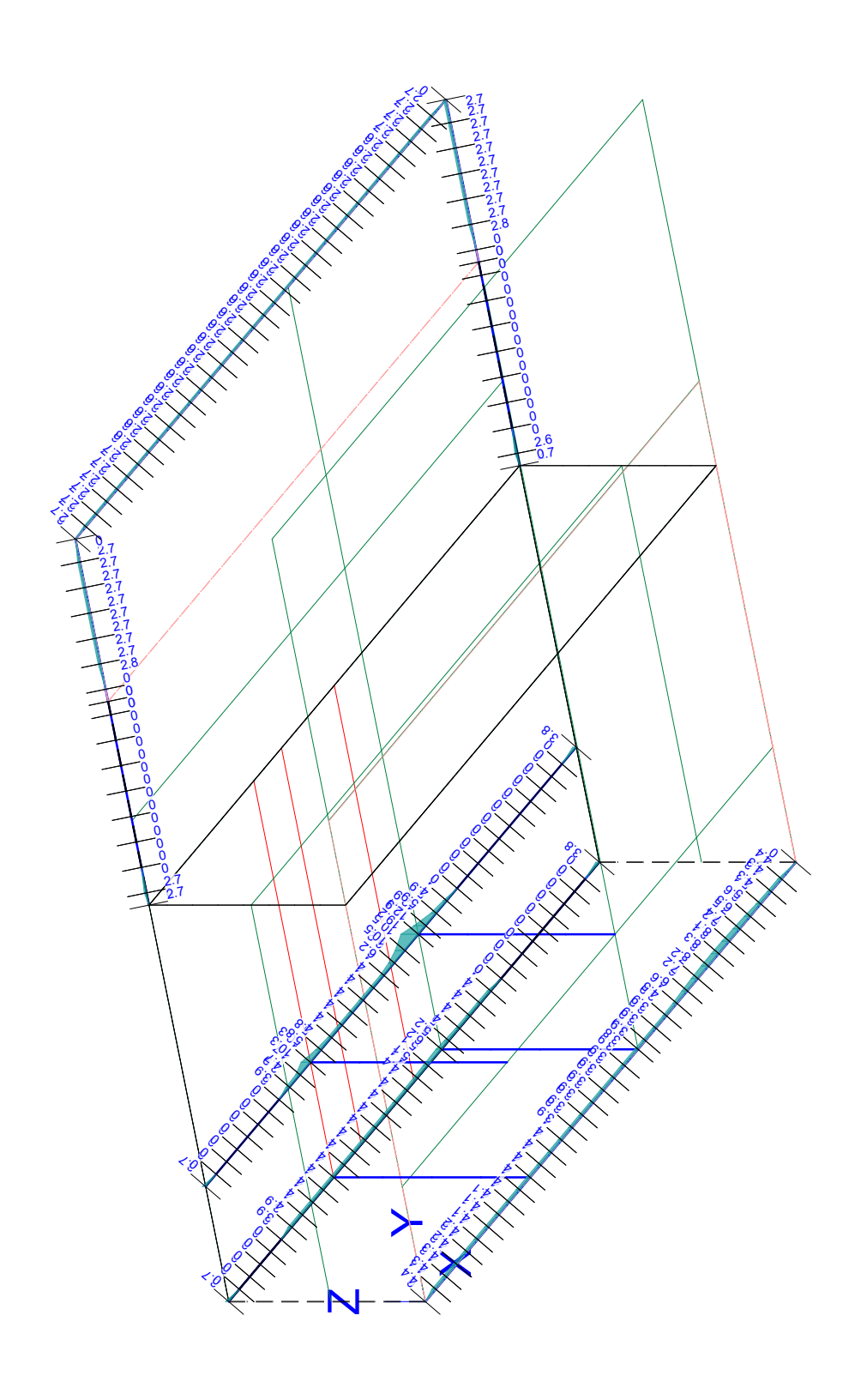
Beton C 20/25...C 30/37

aus allen Nachweisen

Projekt: Sanierung und Neubau Wohnheim "Thomas Müntzer Datum: 18.12.2024 Auftrags-Nr.: 24-919 Position: 11 Seite: 138

Über-/Unterzugbemessung

Erf. Längsbewehrung As,erf



Oberseite in [cm²]

Max = -19.4, Min = 0

Bew.-Abstand d' = 60 mm

Beton C 20/25...C 30/37

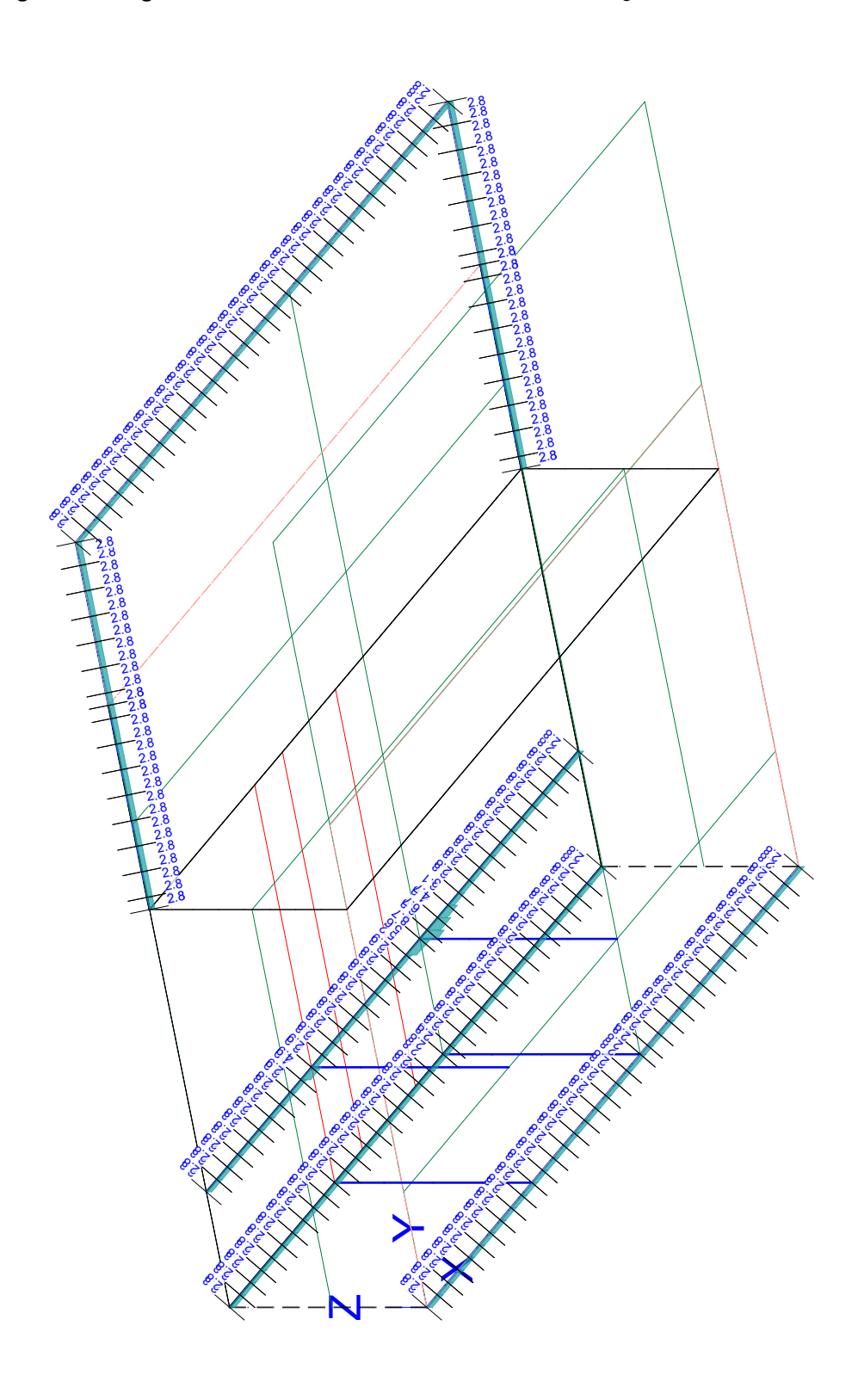
aus allen Nachweisen

MicroFe, 2025.004

Projekt: Sanierung und Neubau Wohnheim "Thomas Müntzer Datum: 18.12.2024 Auftrags-Nr.: 24-919 Position: 11 Seite: 139

Über-/Unterzugbemessung

Erf. Querkraftbewehrung asw,erf



aus allen Nachweisen in [cm²/m]

Max = 9, Min = 2.8 Beton C 20/25...C 30/37

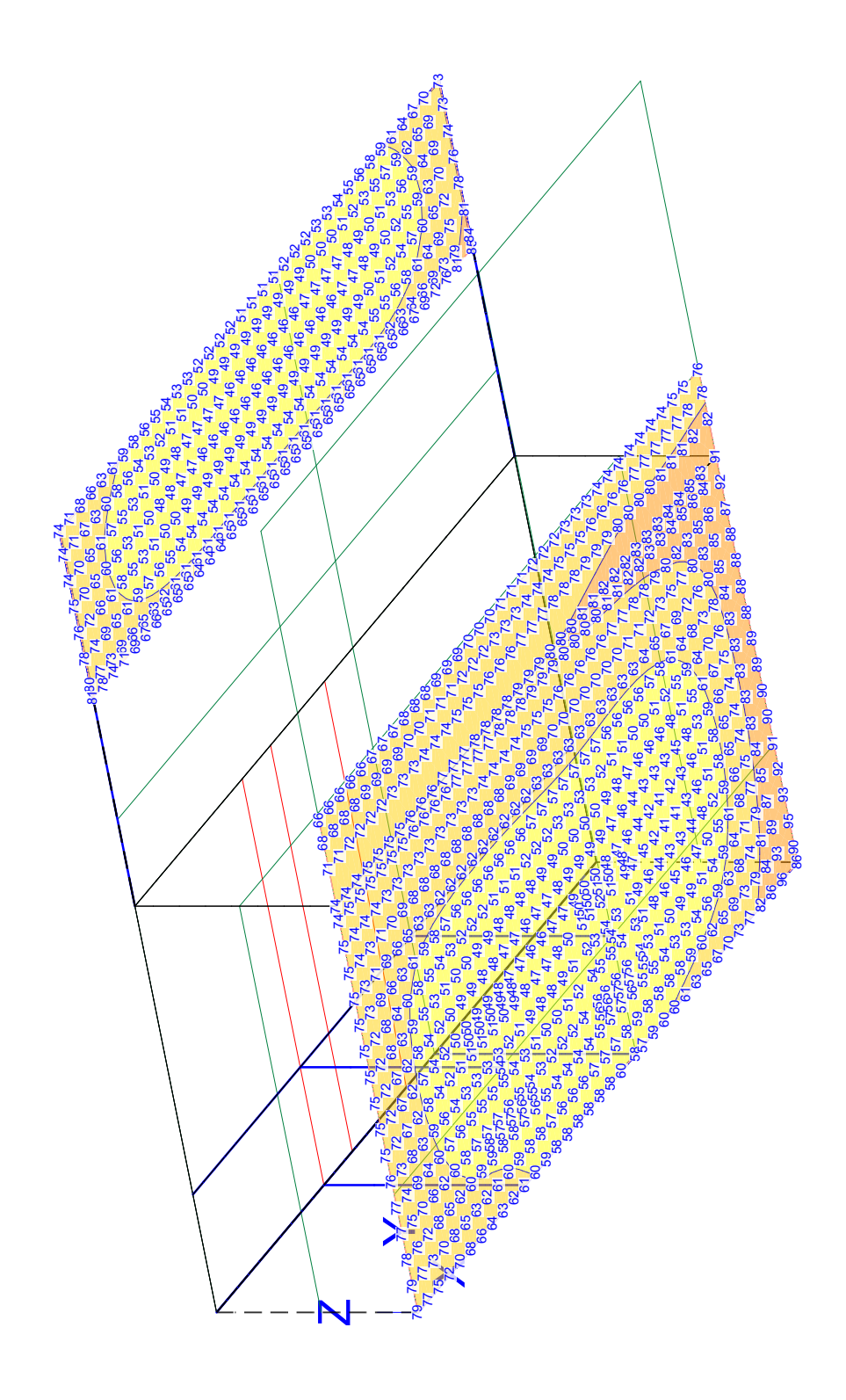
MicroFe, 2025.004 MicroFe, 2025.004

Projekt: Sanierung und Neubau Wohnheim "Thomas Müntzer Datum: 18.12.2024 Auftrags-Nr.: 24-919 Position: 11 Seite: 140

Flächenpressungen

nur global ausgerichtete Auflager





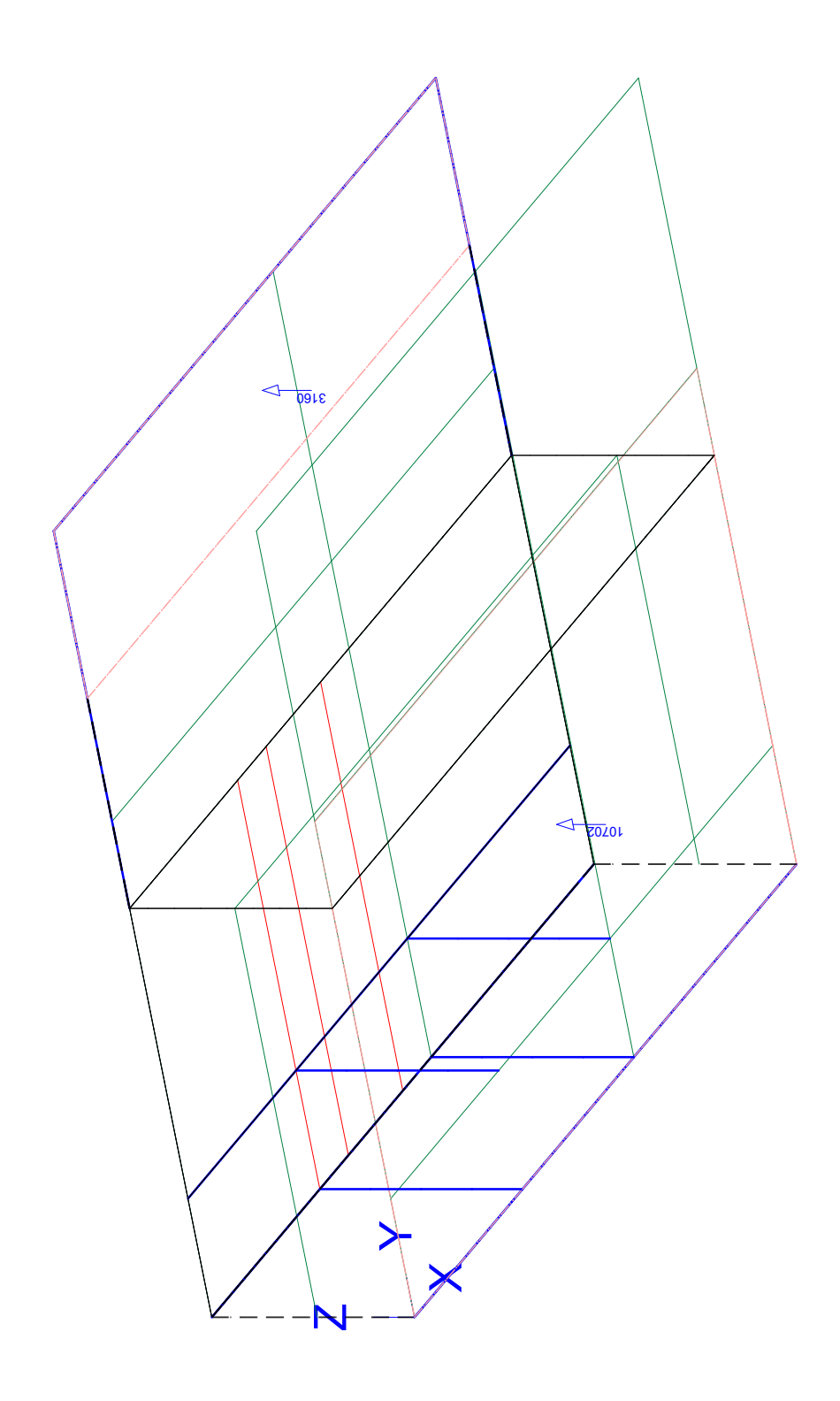
Lagerkraft in z-Richtung in [kN/m²] aus Überlagerung über LFN und LKN Maximum Max = 96 (Kn. 670), Min = 41 (Kn. 900), Step = 20

MicroFe, 2025.004 MicroFe, 2025.004

Projekt: Sanierung und Neubau Wohnheim "Thomas Müntzer Datum: 18.12.2024 Auftrags-Nr.: 24-919 Position: 11 Seite: 141

Flächenpressungen

nur global ausgerichtete Auflager



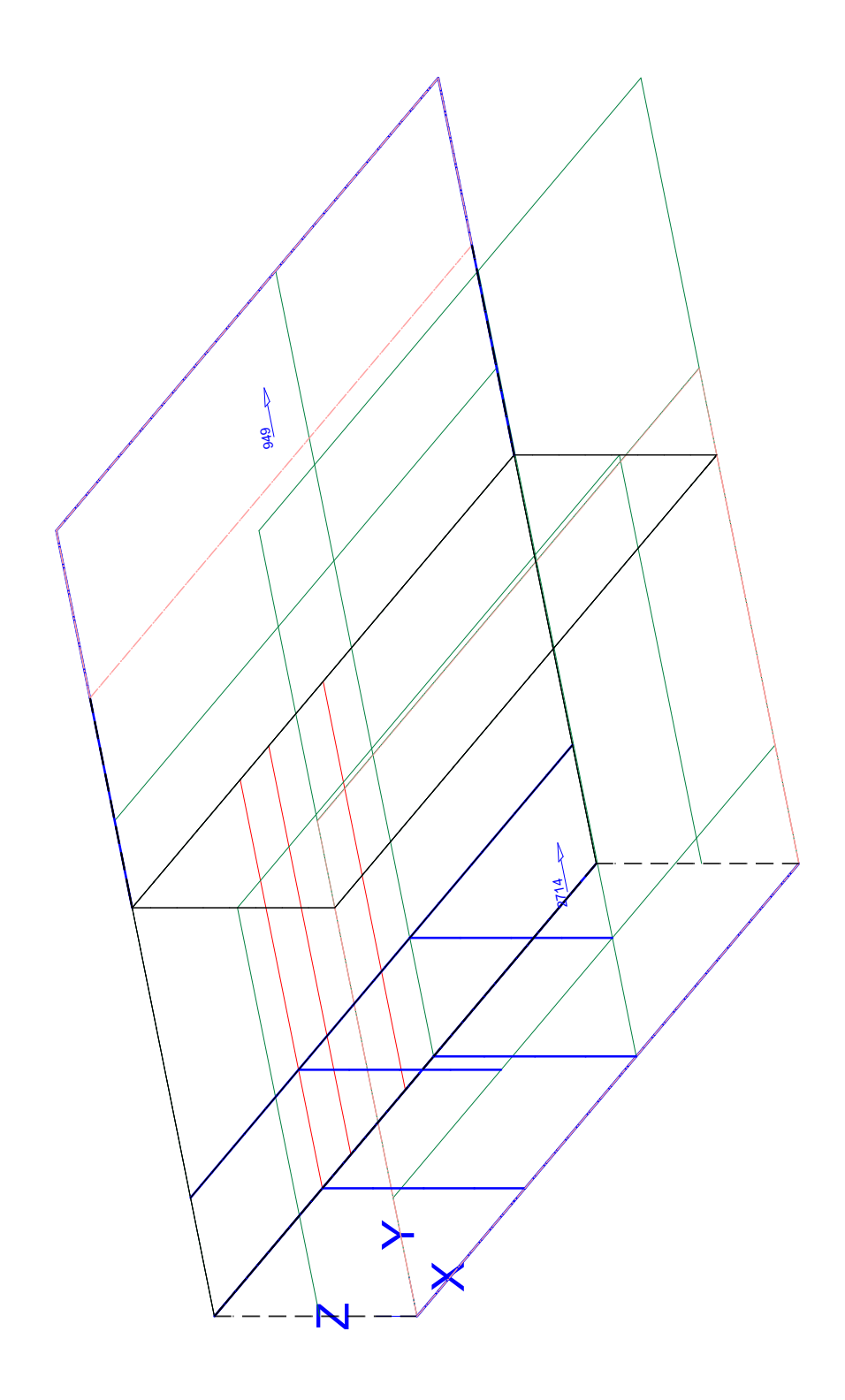
aus Überlagerung über LFN und LKN Maximum Max = 10702, Min = 3160 Resultierende bei x/y= 8.85 [m]/13.34 [m]

Lagerkraft in z-Richtung in [kN]

Projekt: Sanierung und Neubau Wohnheim "Thomas Müntzer Datum: 18.12.2024 Auftrags-Nr.: 24-919 Position: 11 Seite: 142

Flächenpressungen

nur global ausgerichtete Auflager



aus Überlagerung über LFN und LKN Maximum Max = 2714, Min = 949 Resultierende bei x/y= 8.84 [m]/13.38 [m]

Lagerkraft in y-Richtung in [kN]

Baustatik - Tragwerksplanung - Bauphysik

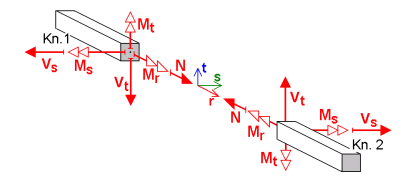
Projekt: Sanierung und Neubau Wohnheim "Thomas Müntzer 18.12.2024 Datum: Position: 11 Seite: Auftrags-Nr.: 24-919 143

Stützenschnittgrößen Stäbe (Stahlbeton) und Stützen (Stahlbeton)

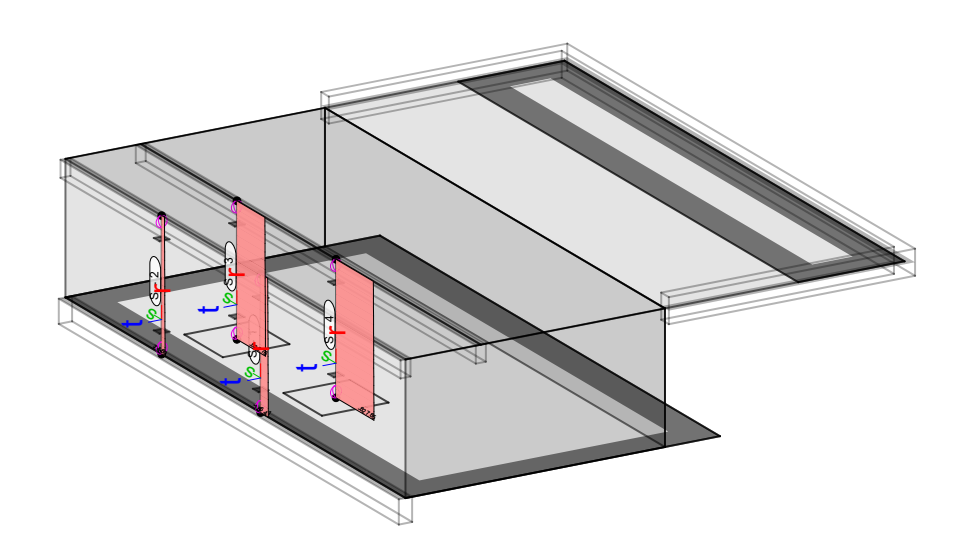
em

Schnittgrößen

Schnittgrößen der Stützen und 3D-Stäbe



Normalkraft Nr [kN]



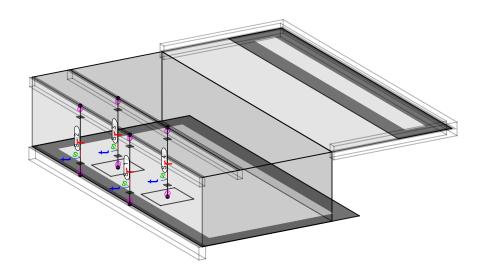
2116	Lastkombinatio	n
aus	Lastrollibiliatio	11 FV-T

			—			
Position	min Nr	Vs	Vt	Mr	Ms	Mt
	max Nr	Vs	Vt	Mr	Ms	Mt
	[kN]	[kN]	[kN]	[kNm]	[kNm]	[kNm]
S-1	-166.41	0.00	0.00	-0.04	0.00	0.00
	-153.42	0.00	0.00	-0.04	0.00	0.00
S-2	-74.89	0.00	0.00	-0.11	0.00	0.00
	-61.89	0.00	0.00	-0.11	0.00	0.00
S-3	-622.76	0.00	0.00	-0.10	0.00	0.00
	-609.76	0.00	0.00	-0.10	0.00	0.00
S-4	-827.85	0.00	0.00	-0.05	0.00	0.00
	-814 86	0 00	0 00	-0.05	0 00	0 00

Baustatik - Tragwerksplanung - Bauphysik

Sanierung und Neubau Wohnheim "Thomas Müntzer Projekt: 18.12.2024 Datum: Position: 11 Auftrags-Nr.: 24-919 Seite: 144

Querkraft Vs [kN]



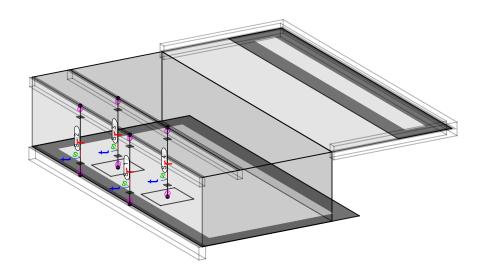
aus Lastkombination LK-1

aus Lascrollibiliacion Er-1						
Position	Nr	min Vs	Vt	Mr	Ms	Mt
	Nr	max Vs	Vt	Mr	Ms	Mt
	[kN]	[kN]	[kN]	[kNm]	[kNm]	[kNm]
S-1	-166.41	0.00	0.00	-0.04	0.00	0.00
	-166.41	0.00	0.00	-0.04	0.00	0.00
S-2	-74.89	0.00	0.00	-0.11	0.00	0.00
	-74.89	0.00	0.00	-0.11	0.00	0.00
S-3	-622.76	0.00	0.00	-0.10	0.00	0.00
	-622.76	0.00	0.00	-0.10	0.00	0.00
S-4	-827.85	0.00	0.00	-0.05	0.00	0.00
	-827.85	0.00	0.00	-0.05	0.00	0.00

Baustatik - Tragwerksplanung - Bauphysik

Sanierung und Neubau Wohnheim "Thomas Müntzer Projekt: 18.12.2024 Datum: Position: 11 Auftrags-Nr.: 24-919 Seite: 145

Querkraft Vt [kN]



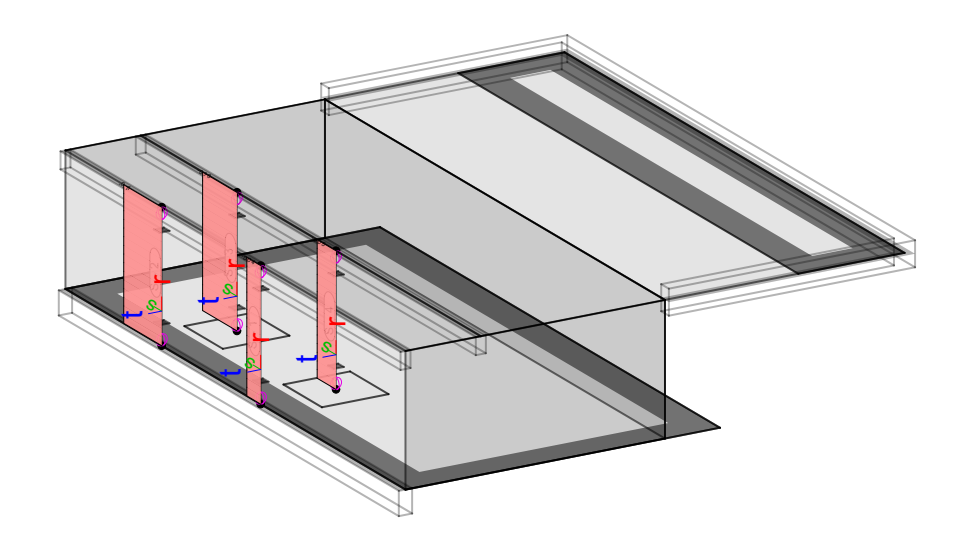
aus Lastkombination LK-1

	aus Lastrollibi	nacion	LK-T			
Position	Nr	Vs	min Vt	Mr	Ms	Mt
	Nr	Vs	max Vt	Mr	Ms	Mt
	[kN]	[kN]	[kN]	[kNm]	[kNm]	[kNm]
S-1	-166.41	0.00	0.00	-0.04	0.00	0.00
	-166.41	0.00	0.00	-0.04	0.00	0.00
S-2	-74.89	0.00	0.00	-0.11	0.00	0.00
	-74.89	0.00	0.00	-0.11	0.00	0.00
S-3	-622.76	0.00	0.00	-0.10	0.00	0.00
	-622.76	0.00	0.00	-0.10	0.00	0.00
S-4	-827.85	0.00	0.00	-0.05	0.00	0.00
	-827.85	0.00	0.00	-0.05	0.00	0.00

Baustatik - Tragwerksplanung - Bauphysik

Sanierung und Neubau Wohnheim "Thomas Müntzer Projekt: 18.12.2024 Datum: Position: 11 Auftrags-Nr.: 24-919 Seite: 146

Moment Mr [kNm]



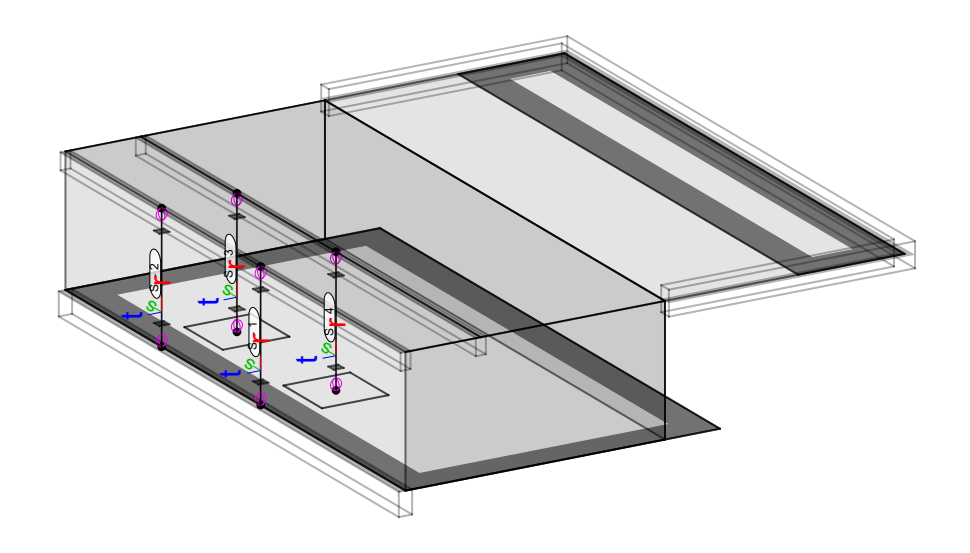
aus Lastkombination LK-1

	aus Lastrollis	inacion L	-IV T			
Position	Nr	Vs	Vt	min Mr	Ms	Mt
	Nr	Vs	Vt	max Mr	Ms	Mt
	[kN]	[kN]	[kN]	[kNm]	[kNm]	[kNm]
S-1	-166.41	0.00	0.00	-0.04	0.00	0.00
	-166.41	0.00	0.00	-0.04	0.00	0.00
S-2	-74.89	0.00	0.00	-0.11	0.00	0.00
	-74.89	0.00	0.00	-0.11	0.00	0.00
S-3	-622.76	0.00	0.00	-0.10	0.00	0.00
	-622.76	0.00	0.00	-0.10	0.00	0.00
S-4	-827.85	0.00	0.00	-0.05	0.00	0.00
	-827.85	0.00	0.00	-0.05	0.00	0.00

Baustatik - Tragwerksplanung - Bauphysik

Sanierung und Neubau Wohnheim "Thomas Müntzer Projekt: 18.12.2024 Datum: Position: 11 Auftrags-Nr.: 24-919 Seite: 147

Moment Ms [kNm]



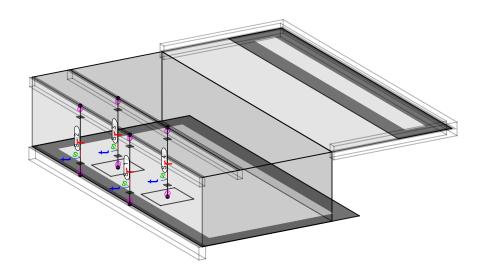
aus Lastkombination LK-1

	aus Lasti	Kullib i i i a c i u i i	LK-T			
Position		Nr Vs	Vt	Mr	min Ms	Mt
		Nr Vs	Vt	Mr	max Ms	Mt
		(N] [kN]	[kN]	[kNm]	[kNm]	[kNm]
S-1	-166.	41 0.00	0.00	-0.04	0.00	0.00
	-166.	41 0.00	0.00	-0.04	0.00	0.00
S-2	-74.	89 0.00	0.00	-0.11	0.00	0.00
	-74.	89 0.00	0.00	-0.11	0.00	0.00
S-3	-622.	76 0.00	0.00	-0.10	0.00	0.00
	-622.	76 0.00	0.00	-0.10	0.00	0.00
S-4	-827.	85 0.00	0.00	-0.05	0.00	0.00
	-827.	85 0.00	0.00	-0.05	0.00	0.00

Baustatik - Tragwerksplanung - Bauphysik

Sanierung und Neubau Wohnheim "Thomas Müntzer Projekt: 18.12.2024 Datum: Position: 11 Auftrags-Nr.: 24-919 Seite: 148

Moment Mt [kNm]



aus Lastkombination LK-1

	aus Lastrollis i	nacion L	. IX _ T			
Position	Nr	Vs	Vt	Mr	Ms	min Mt
	Nr	Vs	Vt	Mr	Ms	max Mt
	[kN]	[kN]	[kN]	[kNm]	[kNm]	[kNm]
S-1	-166.41	0.00	0.00	-0.04	0.00	0.00
	-166.41	0.00	0.00	-0.04	0.00	0.00
S-2	-74.89	0.00	0.00	-0.11	0.00	0.00
	-74.89	0.00	0.00	-0.11	0.00	0.00
S-3	-622.76	0.00	0.00	-0.10	0.00	0.00
	-622.76	0.00	0.00	-0.10	0.00	0.00
S-4	-827.85	0.00	0.00	-0.05	0.00	0.00
	-827.85	0.00	0.00	-0.05	0.00	0.00

Projekt: Sanierung und Neubau Wohnheim "Thomas Müntzer 18.12.2024 Datum: Position: 11 Auftrags-Nr.: 24-919 Seite: 149

Übergabe

Lastübergabe(3D)

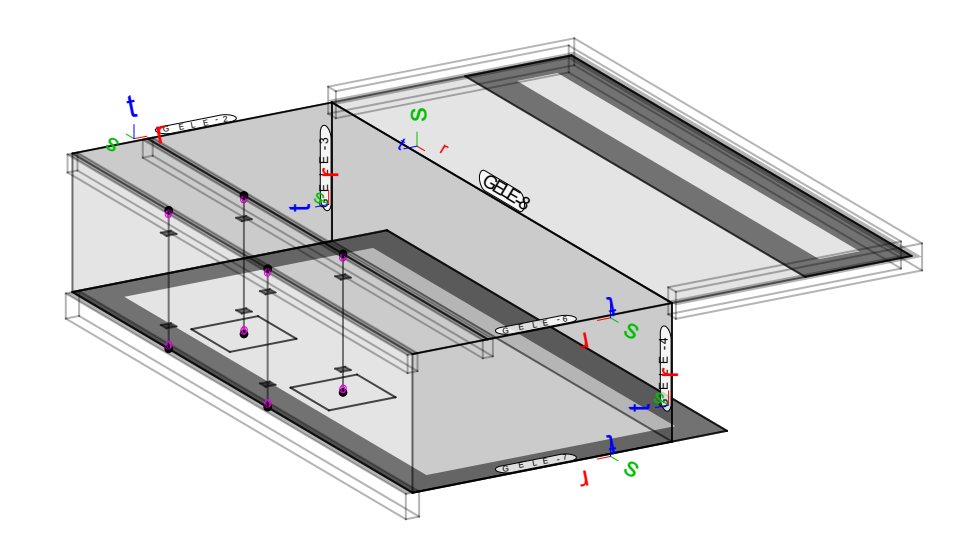
Protokoll der Lastübergabe

Lastabtrag / **Einzelwerte**

Lastübergabe als Lastabtrag oder Einzelwerte für MicroFe und BauStatik

Positionsgrafik

Übersicht der Lastabtrag-Positionen



Gelenke

Die Gelenkkräfte entlang einer Flächengelenkposition werden in eine Trapezlast überführt und als Zahlenwerte für die Übernahme in der BauStatik zur

Verfügung gestellt.

Dazu werden für jeden Lastfall die Gelenkkräfte entlang eines Flächengelenkes derart in eine

Trapezlast umgerechnet, dass deren Resultierende mit ihrer Exzentrizität der des originalen Kräfteverlaufs entlang des Flächengelenkes entspricht. Die Trapezbelastung wird über die Lastordinaten am Anfang A und Ende E beschrieben (M=(A+E)/2). Charakteristische Trapez-Gelenkkräfte je Einwirkung

je Einwirkung

. Freiheitsgrad

FG ständige Einwirkung

Reihenfolge Ausgabe min Anfang

max Anfang min Mitte max Mitte min Ende

max Ende

GELE-2

 $L\ddot{a}nge = 7.79 m$

Gelenkkraft mr

Gk Qk.N

	$m_{r,A}$	$m_{\mathtt{r},\mathtt{M}}$	$m_{r,E}$
	[kNm/m]	[kNm/m]	[kNm/m]
g	0.00	0.00	0.00
min	0.00	0.00	0.00
max	0.00	0.00	0.00
min	0.00	0.00	0.00
max	0.00	0.00	0.00
min	0.00	0.00	0.00
max	0.00	0.00	0.00

MicroFe, 2025.004

Projekt: Sanierung und Neubau Wohnheim "Thomas Müntzer Datum: 18.12.2024 Auftrags-Nr.: 24-919 Position: 11 Seite: 150

7.ta 1 c a go 141 1 1 2 4 5 1 5		001101
0.1		
Gelenkkraft mr		m _{r,A} m _{r,M} m _{r,E} [kNm/m][kNm/m][kNm/m]
ol, c	m - n	
Qk.S	min	0.00 0.00 0.00
	max	0.00 0.00 0.00
	min	0.00 0.00 0.00
	max	0.00 0.00 0.00
	min	0.00 0.00 0.00
	max	0.00 0.00 0.00
Qk.W	min	0.00 0.00 0.00
	max	0.00 0.00 0.00
	min	0.00 0.00 0.00
	max	0.00 0.00 0.00
	min	0.00 0.00 0.00
	max	0.00 0.00 0.00
Gk.E	g	0.00 0.00 0.00
Gelenkkraft vt		V _{t,A} V _{t,M} V _{t,E}
determinate ve		
cl.		[kN/m] [kN/m] [kN/m]
Gk	g <mark>min</mark>	0.00 0.00 0.00
Qk.N		0.00 0.00 0.00
	max	0.00 0.00 0.00
	min	0.00 0.00 0.00
	max	0.00 0.00 0.00
	min	0.00 0.00 0.00
	max	0.00 0.00 0.00
Qk.S	min	0.00 0.00 0.00
•	max	0.00 0.00 0.00
	min	0.00 0.00 0.00
	max	0.00 0.00 0.00
	min	0.00 0.00 0.00
	max	0.00 0.00 0.00
Qk.W	min	0.00 0.00 0.00
QK.W	max	0.00 0.00 0.00
	min	0.00 0.00 0.00
		0.00 0.00 0.00
	max min	0.00 0.00 0.00
ck F	max	0.00 0.00 0.00
Gk.E	g	0.00 0.00 0.00
Gelenkkraft ns		$n_{s,A}$ $n_{s,M}$ $n_{s,E}$
		[kN/m] [kN/m] [kN/m]
Gk	g	0.00 0.00 0.00
Qk.N	min	0.00 0.00 0.00
QKIII	max	0.00 0.00 0.00
	min	0.00 0.00 0.00
		0.00 0.00 0.00
	max	
	min	
ol. c	max	0.00 0.00 0.00
Qk.S	min	0.00 0.00 0.00
	max	0.00 0.00 0.00
	min	0.00 0.00 0.00
	max	0.00 0.00 0.00
	min	0.00 0.00 0.00
	max	0.00 0.00 0.00
Qk.W	min	0.00 0.00 0.00
	max	0.00 0.00 0.00
	min	0.00 0.00 0.00
	max	0.00 0.00 0.00
	min	0.00 0.00 0.00
	max	0.00 0.00 0.00
Gk.E		
UK.E	g	0.00 0.00 0.00

Projekt:	Sanierung und	l Neubau Wohnheim	"Thomas Müntzer	Datum:	18.12.2024
Auftrags-Nr.:	24-919	Posi	ition: 11	Seite:	151

Gelenkkraft nsr		n _{sr,A}	n _{sr,M}	n _{sr,E}
		[kN/m]	[kN/m]	[kN/m]
Gk	g _	0.00	0.00	0.00
Qk.N	min	0.00	0.00	0.00
	max	0.00	0.00	0.00
	min	0.00	0.00	0.00
	max	0.00	0.00	0.00
	min	0.00	0.00	0.00
	max	0.00	0.00	0.00
Qk.S	min	0.00	0.00	0.00
	max	0.00	0.00	0.00
	min	0.00	0.00	0.00
	max	0.00	0.00	0.00
	min	0.00	0.00	0.00
_	max	0.00	0.00	0.00
Qk.W	min	0.00	0.00	0.00
	max	0.00	0.00	0.00
	min	0.00	0.00	0.00
	max	0.00	0.00	0.00
	min	0.00	0.00	0.00
	max	0.00	0.00	0.00
Gk.E	g	0.00	0.00	0.00
GELE-3	Länge = 3.85 m			
Gelenkkraft mr		m _{r,A}	m _{r,M}	m _{r,E}
		[kNm/m]		[kNm/m]
Gk	g .	0.00	0.00	0.00
Qk.N	min	0.00	0.00	0.00
QUIII	max	0.00	0.00	0.00
	min	0.00	0.00	0.00
	max	0.00	0.00	0.00
	min	0.00	0.00	0.00
	max	0.00	0.00	0.00
Qk.S	min	0.00	0.00	0.00
Q	max	0.00	0.00	0.00
	min	0.00	0.00	0.00
	max	0.00	0.00	0.00
	min	0.00	0.00	0.00
	max	0.00	0.00	0.00
Qk.W	min	0.00	0.00	0.00
2	max	0.00	0.00	0.00
	min	0.00	0.00	0.00
	max	0.00	0.00	0.00
	min	0.00	0.00	0.00
	max	0.00	0.00	0.00
Gk.E	g	0.00	0.00	0.00
	_			
Gelenkkraft vt		Vt,A	Vt,M	Vt,E
		[kN/m]	[kN/m]	[kN/m]
Gk	g _	0.00	0.00	0.00
Qk.N	min	0.00	0.00	0.00
	max	0.00	0.00	0.00
	min	0.00	0.00	0.00
	max	0.00	0.00	0.00
	min	0.00	0.00	0.00
-1 -	max	0.00	0.00	0.00
Qk.S	min	0.00	0.00	0.00
	max	0.00	0.00	0.00
	min	0.00	0.00	0.00
	max	0.00	0.00	0.00

Projekt: Sanierung und Neubau Wohnheim "Thomas Müntzer Datum: 18.12.2024 Auftrags-Nr.: 24-919 Position: 11 Seite: 152

Marchago Will 24 010				102
Gelenkkraft vt		Vt,A	Vt,M	Vt,E
		[kN/m]	[kN/m]	[kN/m]
	min	0.00	0.00	0.00
	max	0.00	0.00	0.00
Qk.W	min	0.00	0.00	0.00
	max	0.00	0.00	0.00
	min	0.00	0.00	0.00
	max	0.00	0.00	0.00
	min	0.00	0.00	0.00
Gk.E	max	0.00	0.00	0.00 0.00
GK.E	g	0.00	0.00	0.00
Gelenkkraft ns		n _{s,A}	$n_{s,M}$	$n_{s,E}$
		[kN/m]	[kN/m]	[kN/m]
Gk	g .	0.00	0.00	0.00
Qk.N	min	0.00	0.00	0.00
	max	0.00	0.00	0.00
	min	0.00	0.00	0.00
	max min	0.00	$0.00 \\ 0.00$	0.00 0.00
	max	0.00	0.00	0.00
Qk.S	min	0.00	0.00	0.00
QK.13	max	0.00	0.00	0.00
	min	0.00	0.00	0.00
	max	0.00	0.00	0.00
	min	0.00	0.00	0.00
	max	0.00	0.00	0.00
Qk.W	min	0.00	0.00	0.00
	max	0.00	0.00	0.00
	min	0.00	0.00	0.00
	max	0.00	0.00	0.00
	min	0.00	0.00	0.00
-1 -	max	0.00	0.00	0.00
Gk.E	g	0.00	0.00	0.00
Gelenkkraft nsr		n _{sr,A}	$n_{\text{sr},M}$	n _{sr,E}
		[kN/m]	[kN/m]	[kN/m]
Gk	g .	0.00	0.00	0.00
Qk.N	min	0.00	0.00	0.00
	max	0.00	0.00	0.00
	min	0.00	0.00	0.00
	max	0.00	0.00	0.00
	min	0.00	0.00	0.00
ok s	max	0.00	0.00	0.00
Qk.S	min	0.00	0.00	0.00 0.00
	max min	0.00	0.00	0.00
	max	0.00	0.00	0.00
	min	0.00	0.00	0.00
	max	0.00	0.00	0.00
Qk.W	min	0.00	0.00	0.00
•	max	0.00	0.00	0.00
	min	0.00	0.00	0.00
	max	0.00	0.00	0.00
	min	0.00	0.00	0.00
	max	0.00	0.00	0.00
Gk.E	g	0.00	0.00	0.00
GELE-4	Länge = 3.85 m			

Baustatik - Tragwerksplanung - Bauphysik

Projekt: Sanierung und Neubau Wohnheim "Thomas Müntzer Datum: 18.12.2024 Auftrags-Nr.: 24-919 Position: 11 Seite: 153

Gelenkkraft mr		M _{r,A} M _{r,M} M _{r,E}
		[kNm/m] [kNm/m] [kNm/m]
Gķ	g <mark>.</mark>	0.85 -0.19 -1.23
Qk.N	min	-0.08 0.13 0.33
	max	0.13 - 0.05 - 0.22
	min	0.13 - 0.05 - 0.22
	max	-0.08
	min	0.13 - 0.05 - 0.22
	max	-0.08 0.13 0.33
Qk.S	min	0.00 0.00 0.00
	max	0.03 - 0.01 - 0.05
	min	0.03 - 0.01 - 0.05
	max	0.00 0.00 0.00
	min	0.03 - 0.01 - 0.05
	max	0.00 0.00 0.00
Qk.W	min	-0.01 0.00 0.01
	max	0.00 0.00 0.00
	min	-0.01 0.00 0.01
	max	0.00 0.00 0.00
	min	0.00 0.00 0.00
	max	-0.01 0.00 0.01
Gk.E	g	-0.02 -0.14 -0.25
Gelenkkraft vt		$V_{t,A}$ $V_{t,M}$ $V_{t,E}$ $[kN/m]$ $[kN/m]$
Gk	g .	-0.92 -15.46 -29.99
Qk.N	min	-3.44 -1.71 0.01
Q	max	1.14 -1.65 -4.43
	min	-0.85 -4.90 -8.95
	max	-1.44 1.54 4.53
	min	-0.85 -4.90 - 8.95
	max	-1.44 1.54 4.53
Qk.s	min	-0.24 -1.01 -1.78
QK.5	max	0.00 0.00 0.00
	min	-0.24 -1.01 -1.78
	max	0.00 0.00 0.00
	min	-0.24 -1.01 -1.78
	max	0.00 0.00 0.00
Qk.W	min	- <mark>0.02</mark> -0.02 -0.02
QK.W	max	0.06 0.07 0.07
	min	-0.02 -0.02 -0.02
	max	0.06 0.07 0.07
	min	-0.02 -0.02 -0.02
		0.06 0.07 0.07
Gk.E	max	-6.59 -15.45 -24.31
GR.E	g	-0.39 -13.43 -24.31
Gelenkkraft ns		N _{s,A} N _{s,M} N _{s,E}
Gk	<u></u>	[kN/m] [kN/m] [kN/m] 31.19 -5.11 -41.41
	g	
Qk.N	min	
	max	3.67 -3.97 -11.62
	min	2.43 -5.54 -13.51
	max	0.91 1.86 2.81
	min	3.39 -5.54 -14.47
ok s	max	-0.05 1.86 3.77
Qk.S	min	0.00 0.00 0.00
	max	0.93 - 0.31 - 1.56
	min	0.93 -0.31 -1.56
	max	0.00 0.00 0.00
	min	0.93 - 0.31 - 1.56
	max	0.00 0.00 0.00

Projekt:	Sanierung	und Neubau Wohnheim "Thomas Müntzer	Datum:	18.12.2024
Auftrags-Nr.:	24-919	Position: 11	Seite:	154

Gelenkkraft ns		n _{s,A} n _{s,M} n _{s,E}
-1		[kN/m] [kN/m] [kN/m]
Qk.W	min	-0.47 0.05 0.57
	max	0.13 - 0.02 - 0.17
	min	0.13 -0.02 -0.17
	max	-0.47 0.05 0.57
	min	0.13 - 0.02 - 0.17
cl. F	max	-0.47 0.05 0.57
Gk.E	g	-21.85 -20.05 -18.24
Gelenkkraft nsr		n _{sr,A} n _{sr,M} n _{sr,E} [kN/m] [kN/m] [kN/m]
Gk	g	-29.63 -31.20 -32.76
Qk.N	min	-2.35 -1.27 -0.19
Q.C.T.	max	2.56 -3.81 -10.17
	min	0.83 - 6.22 - 13.27
	max	-0.62 1.15 2.91
	min	0.83 -6.22 -13.27
	max	-0.62 1.15 2.91
Qk.S	min	0.00 0.00 0.00
	max	1.32 -0.80 -2.93
	min	1.32 - 0.80 - 2.93
	max	0.00 0.00 0.00
	min	1.32 - 0.80 - 2.93
	max	0.00 0.00 0.00
Qk.W	min	-0.25 0.76 1.77
•	max	0.07 - 0.22 - 0.51
	min	0.07 - 0.22 - 0.51
	max	-0.25 0.76 1.77
	min	0.07 - 0.22 - 0.51
	max	-0.25 0.76 1.77
Gk.E	g	17.16 16.51 15.86
GELE-6	Länge = 7.79 m	
Gelenkkraft mr		${ m m}_{ m r,A} { m m}_{ m r,M} { m m}_{ m r,E}$
		[kNm/m] [kNm/m] [kNm/m]
Gk	g .	4.51 1.17 -2.18
Qk.N	min	-1.12 -0.29 0.54
	max	0.76 0.20 -0.37
	min	-1.12 -0.29 0.54
	max	0.76 0.20 -0.37
	min	0.76 0.20 -0.37
	max	-1.12 -0.29 0.54
Qk.S	min	0.00 0.00 0.00
	max	0.28 0.07 -0.14
	min	0.00 0.00 0.00
	max	0.28 0.07 -0.14
	min	0.28 0.07 -0.14
	max	0.00 0.00 0.00
Qk.W	min	-0.08 -0.02 0.04
	max	0.02 0.01 -0.01
	min	-0.08 -0.02 0.04
	max	0.02 0.01 -0.01
	min	0.02 0.01 -0.01
ol. =	max	-0.08 -0.02 0.04
Gk.E	g	1.41 0.36 -0.68
Gelenkkraft vt		Vt,A Vt,M Vt,E
		[kN/m] [kN/m] [kN/m]
Gk	g	48.43 12.51 -23.41

Baustatik - Tragwerksplanung - Bauphysik

Projekt:	Sanierung und	l Neubau Wohnheim "Thomas Müntzer	Datum:	18.12.2024
Auftrags-Nr.:	24-919	Position: 11	Seite:	155

Gelenkkraft vt		W	W	
Gelenkkrait vt		V _{t,A} [kN/m]	Vt,M [kN/m]	Vt,E [kN/m]
Qk.N	min	-6.23	-1.61	3.01
	max min	6.17 -6.23	1.59 -1.61	-2.98 3.01
	max	6.17	1.59	-2.98
	min	6.17	1.59	-2.98
	max	-6.23	-1.61	3.01
Qk.S	min	0.00	0.00	0.00
	max	4.21 0.00	1.09 0.00	-2.04
	min max	4.21	1.09	0.00 -2.04
	min	4.21	1.09	-2.04
	max	0.00	0.00	0.00
Qk.W	min	-1.49	-0.39	0.72
	max	0.43	0.11	-0.21
	min	-1.49 0.43	-0.39 0.11	0.72 -0.21
	max min	0.43	0.11	-0.21
	max	-1.49	-0.39	0.72
Gk.E	g	9.73	2.51	-4.70
Gelenkkraft ns		n _{s,A}	n _{s,M}	n _{s,E}
		[kN/m]	[kN/m]	[kN/m]
Gk	g .	-3.52	-0.91	1.70
Qk.N	min	-1.15	-0.30	0.56
	max	$0.80 \\ -1.15$	0.21 -0.30	-0.39 0.56
	min max	0.80	0.21	-0.39
	min	0.80	0.21	-0.39
	max	-1.15	-0.30	0.56
Qk.S	min	-1.05	-0.27	0.51
	max	0.00	0.00	0.00
	min	-1.05	-0.27	0.51
	max min	0.00	0.00	$0.00 \\ 0.00$
	max	-1.05	-0.27	0.51
Qk.W	min	-0.15	-0.04	0.07
•	max	0.52	0.14	-0.25
	min	-0.15	-0.04	0.07
	max	0.52	0.14	-0.25
	min	0.52 -0.15	0.14 -0.04	-0.25 0.07
Gk.E	max g	4.39	1.13	-2.12
	9			
Gelenkkraft nsr		$n_{sr,A}$	$n_{sr,M}$	$n_{sr,E}$
-1		[kN/m]	[kN/m]	[kN/m]
Gk	g	-16.83	-4.35	8.14
Qk.N	min	-3.65 3.39	-0.94 0.88	1.76 -1.64
	max min	-3.65	-0.94	1.76
	max	3.39	0.88	-1.64
	min	3.39	0.88	-1.64
	max	-3.65	-0.94	1.76
Qk.S	min	-1.02	-0.26	0.49
	max min	$0.00 \\ -1.02$	0.00 -0.26	0.00 0.49
	max	0.00	0.00	0.49
	min	0.00	0.00	0.00
	max	-1.02	-0.26	0.49
Qk.W	min	-0.03	-0.01	0.02

Datum:

18.12.2024

Baustatik - Tragwerksplanung - Bauphysik

Auftrags-Nr.: 24-919	Position: 11		Datum: Seite:	156
Gelenkkraft nsr		n _{sr,A} [kN/m]	n _{sr,M} [kN/m]	n _{sr,E} [kN/m]
	max	0.11	0.03	-0.05
	min	-0.03	-0.01	0.02
	max	0.11	0.03	-0.05
	min	0.11	0.03	-0.05
	max	-0.03	-0.01	0.02
Gk.E	g	-11.80	-3.05	5.70
GELE-7	Länge = 7.79 m			
Gelenkkraft mr		m _{r,A}	m _{r,M}	m _{r,E}
al.			[kNm/m]	
Gk	g	0.00	0.00	0.00
Qk.N	min	0.00	0.00	0.00 0.00
	max min	0.00	0.00	0.00
	max	0.00	0.00	0.00
	min	0.00	0.00	0.00
	max	0.00	0.00	0.00
Qk.S	min	0.00	0.00	0.00
Q.C.S	max	0.00	0.00	0.00
	min	0.00	0.00	0.00
	max	0.00	0.00	0.00
	min	0.00	0.00	0.00
	max	0.00	0.00	0.00
Qk.W	min	0.00	0.00	0.00
·	max	0.00	0.00	0.00
	min	0.00	0.00	0.00
	max	0.00	0.00	0.00
	min	0.00	0.00	0.00
Gk.E	max g	0.00	0.00	0.00 0.00
	9			
Gelenkkraft vt		Vt,A	Vt,M	Vt,E
		[kN/m]	[kN/m]	[kN/m]
Gk	g <mark>.</mark>	0.00	0.00	0.00
Qk.N	min	0.00	0.00	0.00
	max	0.00	0.00	0.00
	min	0.00	0.00	0.00
	max min	0.00	0.00	0.00 0.00
	max	0.00	0.00	0.00
Qk.S	min	0.00	0.00	0.00
QK.3	max	0.00	0.00	0.00
	min	0.00	0.00	0.00
	max	0.00	0.00	0.00
	min	0.00	0.00	0.00
	max	0.00	0.00	0.00
Qk.W	min	0.00	0.00	0.00
•	max	0.00	0.00	0.00
	min	0.00	0.00	0.00
	max	0.00	0.00	0.00
	min	0.00	0.00	0.00
_	max	0.00	0.00	0.00
Gk.E	g	0.00	0.00	0.00
Gelenkkraft ns		n _{s,A}	$n_{s,M}$	$n_{\text{s,E}}$
		[kN/m]	[kN/m]	[kN/m]
Gk	g .	0.00	0.00	0.00
Qk.N	min	0.00	0.00	0.00

Projekt: Sanierung und Neubau Wohnheim "Thomas Müntzer

Baustatik - Tragwerksplanung - Bauphysik

Projekt: Sanierun	g und Neubau Wohnheim "Thomas Müntzer	Datum:	18.12.2024
Auftrags-Nr.: 24-919	Position: 11	Seite:	157

Gelenkkraft ns		n _{s,A} [kN/m]	n _{s,M} [kN/m]	n _{s,E} [kN/m]
	max	0.00	0.00	0.00
	min	0.00	0.00	0.00
	max	0.00	0.00	0.00
	min	0.00	0.00	0.00
	max	0.00	0.00	0.00
Qk.S	min	0.00	0.00	0.00
	max	0.00	0.00	0.00
	min	0.00	0.00	0.00
	max	0.00	0.00	0.00
	min	0.00	0.00	0.00
ole su	max	0.00	0.00	0.00
Qk.W	min	0.00	0.00	0.00
	max	0.00	0.00	0.00 0.00
	min	0.00	0.00	0.00
	max min	0.00	0.00	0.00
	max	0.00	0.00	0.00
Gk.E	g	0.00	0.00	0.00
	9	0.00	0.00	0.00
Gelenkkraft nsr		n _{sr,A}	$n_{\text{sr},M}$	n _{sr,E}
-1		[kN/m]	[kN/m]	[kN/m]
Gk	g	0.00	0.00	0.00
Qk.N	min	0.00	0.00	0.00
	max	0.00	0.00	0.00
	min	0.00	0.00	0.00
	max	0.00 0.00	$0.00 \\ 0.00$	$0.00 \\ 0.00$
	min max	0.00	0.00	0.00
Qk.S	min	0.00	0.00	0.00
QK.3	max	0.00	0.00	0.00
	min	0.00	0.00	0.00
	max	0.00	0.00	0.00
	min	0.00	0.00	0.00
	max	0.00	0.00	0.00
Qk.W	min	0.00	0.00	0.00
	max	0.00	0.00	0.00
	min	0.00	0.00	0.00
	max	0.00	0.00	0.00
	min	0.00	0.00	0.00
-1 -	max	0.00	0.00	0.00
Gk.E	g	0.00	0.00	0.00
GELE-8	Länge = 17.68 m			
Gelenkkraft mr		M _{r,A}	m _{r,M}	Mr,E
			[kNm/m]	
Gk	g _	-0.56	0.29	1.15
Qk.N	min	-0.10	0.05	0.20
•	max	0.15	-0.08	-0.30
	min	0.15	-0.08	-0.30
	max	-0.10	0.05	0.20
	min	0.15	-0.08	-0.30
	max	-0.10	0.05	0.20
Qk.S	min	-0.03	0.02	0.07
	max	0.00	0.00	0.00
	min	0.00	0.00	0.00
	max	-0.03	0.02	0.07
	min	0.00	0.00	0.00
	max	-0.03	0.02	0.07

Baustatik - Tragwerksplanung - Bauphysik

Projekt:	Sanierung un	d Neubau Wohnheim "Thomas Müntzer	Datum:	18.12.2024
Auftrags-Nr.:	24-919	Position: 11	Seite:	158

Gelenkkraft mr		m _{r,A} m _{r,M} m _{r,E}
Qk.W	min max min max min max	[kNm/m] [kNm/m] [kNm/m] 0.00 0.00 0.01 0.01 -0.01 -0.02 0.01 -0.01 -0.02 0.00 0.00 0.01 0.01 -0.01 -0.02 0.00 0.00 0.01
Gk.E	g	-0.18 0.09 0.36
Gelenkkraft vt		$V_{t,A}$ $V_{t,M}$ $V_{t,E}$ $[kN/m]$ $[kN/m]$
Gk Qk.N Qk.S	g min max min max min max min min max min	-2.43 1.27 4.96 -0.53 0.27 1.08 0.49 -0.26 -1.00 0.49 -0.26 -1.00 -0.53 0.27 1.08 0.49 -0.26 -1.00 -0.53 0.27 1.08 -0.53 0.27 1.08 -0.53 0.27 1.08
Qk.W	max min max min max min	0.00 0.00 0.00 0.00 0.00 0.00 -0.15 0.08 0.30 0.00 0.00 0.00 -0.15 0.08 0.30 -0.01 0.00 0.01
Gk.E	max min max min max g	$\begin{array}{cccccc} 0.02 & -0.01 & -0.03 \\ 0.02 & -0.01 & -0.03 \\ -0.01 & 0.00 & 0.01 \\ 0.02 & -0.01 & -0.03 \\ -0.01 & 0.00 & 0.01 \\ -1.71 & 0.89 & 3.48 \end{array}$
Gelenkkraft ns	_	Ns,A Ns,M Ns,E
Gk Qk.N	g min max min max min max min	[kN/m] [kN/m] [kN/m] -7.00 3.64 14.27 -0.89 0.46 1.82 0.90 -0.47 -1.84 0.90 -0.47 -1.84 -0.89 0.46 1.82 0.90 -0.47 -1.84 -0.89 0.46 1.82
Qk.S	max min max min max min max	-0.61 0.32 1.24 0.00 0.00 0.00 0.00 0.00 0.00 -0.61 0.32 1.24 0.00 0.00 0.00 -0.61 0.32 1.24
Qk.W	min max min max min max	-0.06
Gk.E	g	-1.41 0.73 2.87
Gelenkkraft nsr		$n_{sr,A}$ $n_{sr,M}$ $n_{sr,E}$ [kN/m] [kN/m]
Gk Qk.N	g min max	0.51 -0.26 -1.04 -0.12 0.06 0.24 0.17 -0.09 -0.34

Baustatik - Tragwerksplanung - Bauphysik

Projekt: Sanierung und Neubau Wohnheim "Thomas Müntzer 18.12.2024 Datum: Position: 11 Auftrags-Nr.: 24-919 Seite: 159

Gelenkkraft nsr		n _{sr,A}	$n_{sr,\mathtt{M}}$	$n_{sr,E}$
		[kN/m]	[kN/m]	[kN/m]
	min	0.17	-0.09	-0.34
	max	-0.12	0.06	0.24
	min	0.17	-0.09	-0.34
	max	-0.12	0.06	0.24
Qk.s	min	0.00	0.00	0.00
	max	0.15	-0.08	-0.31
	min	0.15	-0.08	-0.31
	max	0.00	0.00	0.00
	min	0.15	-0.08	-0.31
	max	0.00	0.00	0.00
Qk.W	min	-0.08	0.04	0.16
	max	0.02	-0.01	-0.05
	min	0.02	-0.01	-0.05
	max	-0.08	0.04	0.16
	min	0.02	-0.01	-0.05
	max	-0.08	0.04	0.16
Gk.E	g	-0.63	0.33	1.29

Baustatik - Tragwerksplanung - Bauphysik

Projekt: Sanierung und Neubau Wohnheim "Thomas Müntzer 18.12.2024 Datum: Position: 11 Auftrags-Nr.: 24-919 Seite: 160

Hinweise

<u>Modellhinweise</u>	Hinweise des aktuellen FE-Modells				
**** HINWEIS ****	In MicroFe wurden Modellhinweise erzeugt.				
Generierung	Flächengelenk 'GELE-7' wurde nicht generiert. Flächengelenk 'GELE-3' wurde nicht generiert. Flächengelenk 'GELE-2' wurde nicht generiert. Flächengelenk 'GELE-8' wurde nicht generiert. Flächengelenk 'GELE-6' wurde nicht generiert.				
Nachweise	1 F-7: Der Nachweis wurde nicht erbracht.				

18.12.2024

Sanierung und Neubau Wohnheim "Thomas Müntzer Proiekt:

Datum: Position: 11-1 Auftrags-Nr.: 24-919 Seite: 161

Pos. 11-1 Decke über der Garage (2D als Platte)

Decke über Garage mit h = 20cm

C30/37 langsam erhärtend (r<0,30)

Exposition: XC3, WF → Betondeckung = 3,5cm

Der Beton ist während der Nachbehandlung vor dem Austrocknen und Auskühlen zu schützen.

Die Gründung muss auf ausreichend tragfähigen und frostfreien Baugrund erfolgen!

Grundbewehrung: Q524A oben und unten

Zulagebewehrung: siehe As-Plots auf den Folgeseiten

Bodenplatte Wohnbereich mit h = 25cm

C20/25 langsam erhärtend (r<0,30)

Exposition: XC2, WF → Betondeckung = 3,5 cm, oben: XC1, W0 → Betondeckung = 2,5cm Der Beton ist während der Nachbehandlung vor dem Austrocknen und Auskühlen zu schützen.

Die Gründung muss auf ausreichend tragfähigen und frostfreien Baugrund erfolgen!

Q424A oben und unten Grundbewehrung:

Zulagebewehrung: siehe As-Plots auf den Folgeseiten

Mindestplattendicke F90 h_s \geq 100mm, a \geq 20mm \rightarrow erfüllt

Allgemeines zu den Geschossdecken

Über den zur Spannrichtung der Decken parallel verlaufenden Wänden und Balken ist eine obere Bewehrung anzuordnen, um Rissbildungen bei Kriechverformungen zu vermeiden. Diese Bewehrung soll nach dem DAfStb.-Heft 631, Abs. 2.2.4, zu 60 % der maximalen Feldbewehrung der Platte gewählt werden.

Weiterhin ist die in DIN EN 1992-1-1, Abs. 9.3.1.4, geforderte Rand- und Abrissbewehrung einzubauen. Es sind die Konstruktionsregeln gemäß EN 1992-1-1, Abschnitt 9, nebst nationalem Anhang zu beachten.

Die Decken werden nach statischen Erfordernissen mit Schub- und Durchstanzbewehrung versehen.

Verformungen

Gemäß Abschnitt 7.4.1 der DIN EN 1992-1-1, Ausgabe 2011, wird der Durchhang von Balken und Platten unter der quasi-ständigen Einwirkungskombination auf 1/250 der Stützweite begrenzt, um das Erscheinungsbild und die Gebrauchstauglichkeit des Tragwerkes nicht zu beeinträchtigen. Ist dieser Grenzwert überschritten, ist die Schalung zu überhöhen und um den Durchhang auszugleichen. Die Überhöhung sollte gemäß DIN EN 1992-1-1 den Wert des Durchhanges nicht überschreiten. Die maximal zulässige Durchbiegung Einbau angrenzender verformungsempfindlicher Bauteile wird auf 1/500 der Stützweite begrenzt.

Für Deckenplatten des üblichen Hochbaus ist bei Normalbeton im Allgemeinen eine Begrenzung der Biegeschlankheit auf den Wert **Li/d** \leq **35** erforderlich.

MicroFe, 2025.004

Sanierung und Neubau Wohnheim "Thomas Müntzer Projekt: Auftrags-Nr.: 24-919

Datum: Position: 11-1 Seite:

162

18.12.2024

Allgemeines bei der Verwendung von Fertigteilen

Planung und statische Nachweise von Fertigteilen

Es obliegt dem mit der Planung der Fertigteile beauftragten Unternehmen, den prüffähigen Nachweis der Richtigkeit der Konstruktionen zu erbringen.

Fertig-Elementdecken mit Ortbetonergänzung

Werden vom ausführenden Unternehmer vorgefertigte Elementdecken mit Ortbetonergänzung verwendet, ist die Verträglichkeit dieser Ausführung mit der vom Aufsteller erstellten Ausführungsplanung in Ortbeton zu überprüfen.

Gitterträgerhöhen

Die Höhe der Gitterträger ist so zu wählen, dass die Gitterträger nicht nur für die Schub-bemessung ausreichend sind, sondern dass sie damit auch das zusätzliche örtliche Anordnen von Abstandhaltern für die obere Bewehrung - auch für die eventuell vorhandene mehrlagige Bewehrung der Deckenplatten überflüssig macht. Im anderen Fall sind entsprechend zu ermittelnde Abstandhalter zur Auflagerung der oberen Bewehrung einzubauen.

System

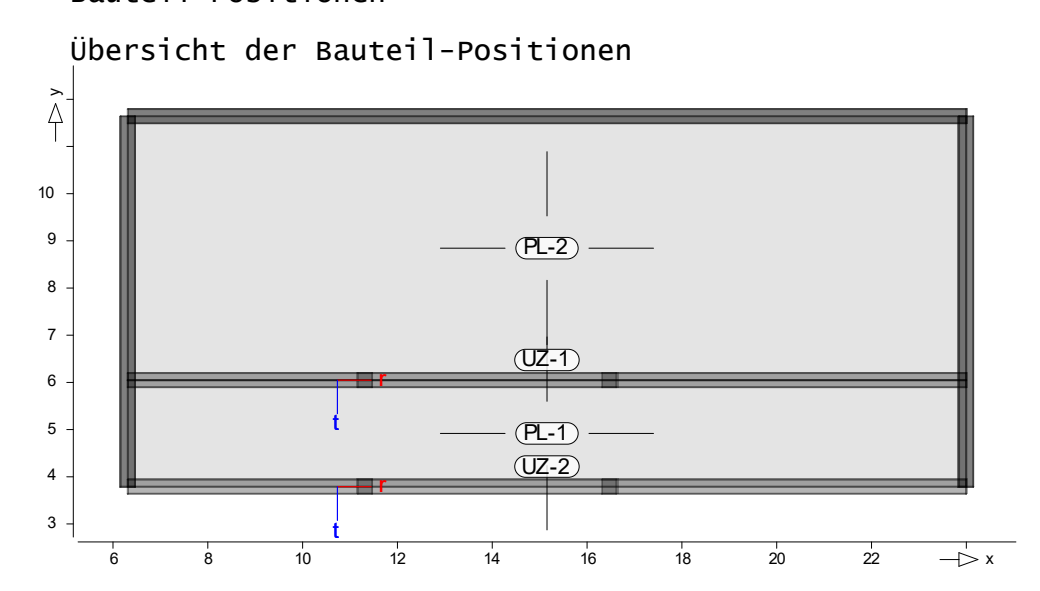
Positionsplan

Positionsplan

Bauteile

Bauteil-Positionen

Positionsgrafik



Platten

Platten-Positionen

Stahlbeton

Winkel Art Position Material Dicke Längs Quer [cm] 0.0 iso PL-1, PL-2 C 30/37 Q 20.0 B 500MA B 500SA

Bewehrungsrichtung r isotropes Material Winkel: iso: Gesteinskörnung Quarzit

MicroFe, 2025.004

Datum:

18.12.2024

Baustatik - Tragwerksplanung - Bauphysik

Auftrags-Nr.: 24-919	Position: 11-1	Seite:	163
Expositionsklasse	PL-1, PL-2 umlaufend XC3 m WF H	Commentar Läßige Feuchte Läufig oder läng Leit feuchter Be	jere eton
Koordinaten		Läche x [m²] [m] 39.93 6.31 24.00 24.00 6.31	y [m] 6.05 6.05 3.79 3.79
	PL-2	98.92 6.31 24.00 24.00 1	6.05 6.05 1.64 1.64
Unterzüge	Unterzug-Positionen		
Stahlbeton	Position Länge Beto [m] Längs UZ-1, UZ-2 17.68 B 500SA E	Bügel	Beton 37 Q
Abminderung	Position UZ-1, UZ-2 FD: Abminderungsfaktor für die Dehnsteifigker FS,s: Abminderungsfaktor für die Schubsteifigker FS,t: Abminderungsfaktor für die Schubsteifigker FT: Abminderungsfaktor für die Torsionssteif FB,s: Abminderungsfaktor für die Biegesteifigker FB,t: Abminderungsfaktor für die Biegesteifigker	eit in s-Richtung eit in t-Richtung igkeit eit um s-Achse	F _{B,t} 0.00
Querschnitt	Position Exz. bpl [cm] [cm] [cm] UZ-1 UZ 195.0 UZ-2 UZ 400.0 UZ: Unterzug UZ 400.0	[cm] [cm] 20.0 30.0	h [cm] 70.0 70.0
Expositionsklasse	UZ-1, UZ-2 umlaufend XC1 t	Commentar rocken oder tändig nass	
Koordinaten	UZ-1 1	Länge x [m] [m] 17.68 6.31 24.00 17.68 6.31 24.00	y [m] 6.05 6.05 3.79 3.79

Sanierung und Neubau Wohnheim "Thomas Müntzer

Projekt:

Projekt: Sanierung und Neubau Wohnheim "Thomas Müntzer Auftrags-Nr.: 24-919 Position: 11-1

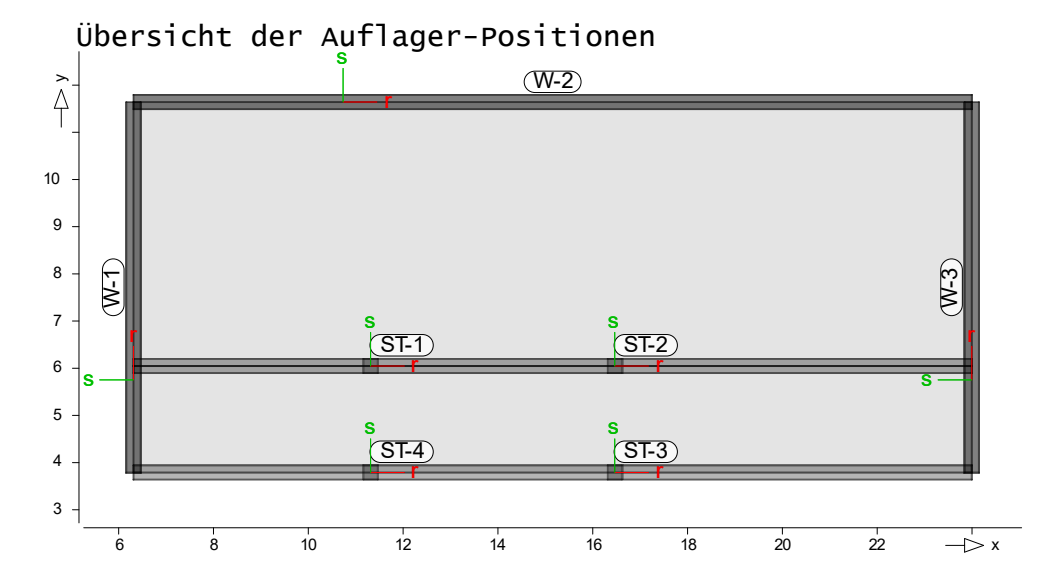
Datum: Seite:

18.12.2024 164

Auflager

Auflager-Positionen

Positionsgrafik



Stützenlager

Stützenlager-Positionen

Stahlbeton

Position	Länge	Material	$b_{(r)}$	h _(s)
	[m]		[cm]	[cm]
ST-1ST-4	3.65	C 25/30 Q	30.0	30.0
		B 500SA		

Q: Gesteinskörnung Quarzit

Expositionsklasse

Federsteifigkeiten	Position	$K_{R,r}$	$K_{R,s}$		$K_{T,t}$
_		[kNm/rad]	[kNm/rad]		[kN/m]
	ST-1ST-4	frei	frei	+/-	764384
Koordinaten	Position		α	х	у
			[°]	[m]	[m]
	ST-1			11.32	6.05

	L J	[]	[J
ST-1		11.32	6.05
ST-2		16.46	6.05
ST-3		16.46	3.79
ST-4		11.32	3.79

Wandlager

Wandlager-Positionen

Stahlbeton

Position	Höhe	Länge	Material	Dicke
	[m]	[m]		[cm]
W-1	3.65	7.85	C 30/37 Q	30.0
			B 500SA	
W-2	3.65	17.68	C 30/37 Q	30.0
			B 500SA	
W-3	3.65	7.85	C 30/37 Q	30.0
			B 500SA	

Q: Gesteinskörnung Quarzit

Baustatik - Tragwerksplanung - Bauphysik

Projekt: Sanierung u Auftrags-Nr.: 24-919	nd Neubau Wohnheim "Tho Position		Datum: Seite:	18.12.2024 165
Expositionsklasse	gemäß DIN EN 1992- Position Sei W-3, W-2, W-1 uml	te Kl	Kommentar trocken oder ständig nass	
Federsteifigkeiten	Position [kNnw-1w-3	K _{R,r} n/rad/m] [kNm frei	K _{R,s} /rad/m] frei +/-	K _{T,t} [kN/m/m] 2712329
Koordinaten	Position		Länge [m] [m 7.85 6.3	x y] [m]
	W-1		7.85 6.3 6.3	
	W-2		17.68 6.3 24.0	1 11.64
	W-3		7.85 24.0 24.0	0 3.79
Material	Materialkennwerte			
Stahlbeton DIN EN 1992-1-1	Position		chte E _{cm} G	f _{ck} f _{ctm}
	ST-1ST-4	C 25/30 Q 2	/m ³] [N/mm ²] 5.00 31000 12900	[N/mm ²] 25.00 2.60
	PL-1, PL-2, UZ-1,		5.00 33000 13750	30.00 2.90
	Q: Gesteinskörnung Quarzi	t	23733	2.50
Betonstahl DIN EN 1992-1-1	Position		chte E _s G	f_{yk} $f_{tk,cal}$
	PL-1, PL-2		/m ³] [N/mm ²] 8.50 200000	[N/mm ²] 500.00
	PL-1, PL-2, ST-1		77000 -2, w-1w-3 8.50 200000 77000	525.00 500.00 525.00
Auswertung	Geometrische Auswe	rtung der Posi	tionen	
Flächen	Flächenförmige Bau	teil-Positione	n	
Stahlbeton	Position	Dicke [cm]	Fläche [m2]	Volumen [m³]
	PL-1 PL-2	20.0 20.0	[m ²] 39.93 98.92	7.99 19.78
Unterzüge	Unterzug-Positione	n		
Stahlbeton	Position	$b_{(t)}$ $h_{(s)}$ [cm]	Mantelfl. [m²]	Volumen [m3]
	UZ-1, UZ-2	[cm] [cm] 30.00 50.00	28.29	[m ³] 2.65

Baustatik - Tragwerksplanung - Bauphysik

Projekt: Sanierung und Neubau Wohnheim "Thomas Müntzer Auftrags-Nr.: 24-919

Position: 11-1

Datum: Seite:

18.12.2024 166

Stützenlager	Stützen de	r Stützenlager-Pos	itionen
--------------	------------	--------------------	---------

Stahlbeton	Position	b _(r)	h _(s)	Mantelfl.	Volumen
		[cm]	[cm]	[m ²]	[m ³]
	ST-1ST-4	30.0	30.0	4.38	0.33

Wände der Wandlager-Positionen Wandlager

anibeton	Position	ріске	нопе	Fiache	vo⊥umen
		[cm]	[cm]	$[m^2]$	[m ³]
	W-1	30.0	365.0	28.66	8.60
	W-2	30.0	365.0	64.54	19.36
	W-3	30.0	365.0	28.66	8.60

Belastung

Lastplan

Lasten des FE-Modells

Bauteillasten

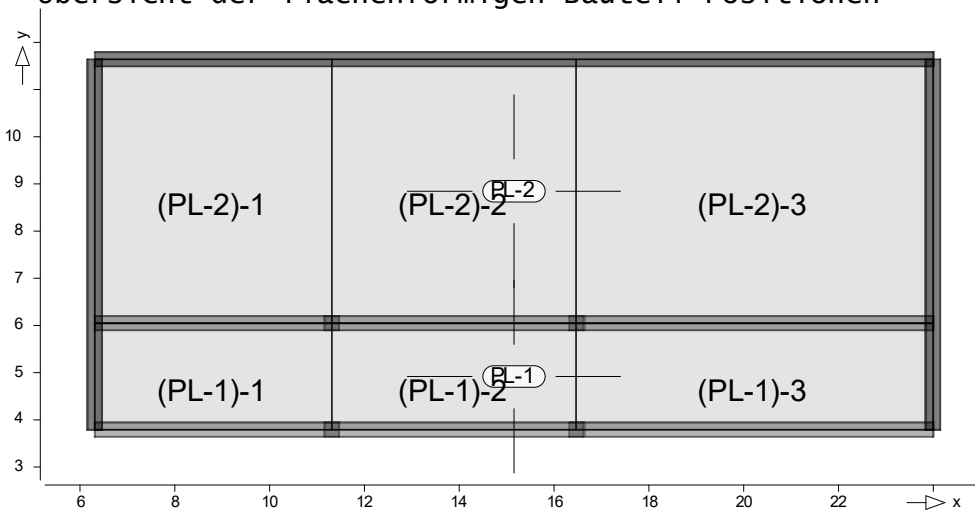
Bauteilbezogene Lasten

Flächenpositionen

Flächenförmige Bauteil-Positionen

Positionsgrafik

Übersicht der flächenförmigen Bauteil-Positionen



Position EW Lastfall Art Eigengewicht PL-1, PL-2 Gk $\overline{\mathsf{LF-1}}$ PGr Gravitationslast; positive Lasten wirken senkrecht nach unten Sonstige ständige Position EW Lastfall Art [kN/m²] Last 2.50 PL-1 Gk LF-1 PGr 2.00 Gk LF-1 PGr PGr: Gravitationslast; positive Lasten wirken senkrecht nach unten Nutzlast Position EW Lastfall je Art р Lastfeld $[kN/m^2]$

(a) $\overline{PL-1}$ Qk.N (PL-1)-PGr 4.00 1..(PL-1)-3(b) PL-2Ok.N (PL-2)-PGr 2.70 1..(PL-2)-3

MicroFe, 2025.004

Projekt: Sanierung und Neubau Wohnheim "Thomas Müntzer 18.12.2024 Datum: Position: 11-1 Seite: Auftrags-Nr.: 24-919 167

PGr: Gravitationslast; positive Lasten wirken senkrecht nach unten

(a) Nutzlast Z für Dachterassen. Laubengänge. Loggien usw.. Balkone und Ausstiegspodeste

4.0 = 4.00 kN/m^2

Nutzlast A2 für Wohn- u. (b) **Aufenthaltsräume**

1.5 = 1.50 kN/m^2

Trennwandzuschlag für LTW bis 5.0kN/m

1.20 kN/m² 2.70 kN/m^2

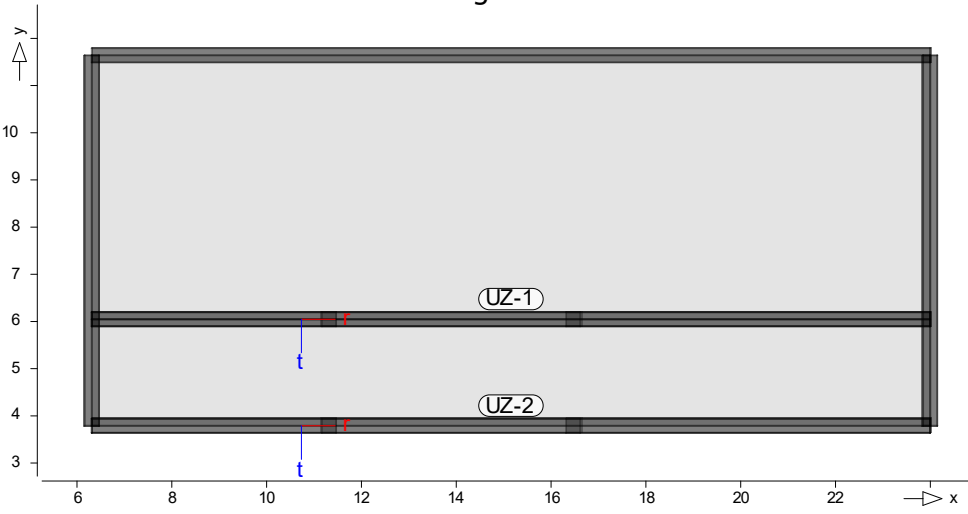
MicroFe, 2025.004

Streckenpositionen

Linienförmige Bauteil-Positionen

Positionsgrafik

Übersicht der linienförmigen Bauteil-Positionen



Eigengewicht

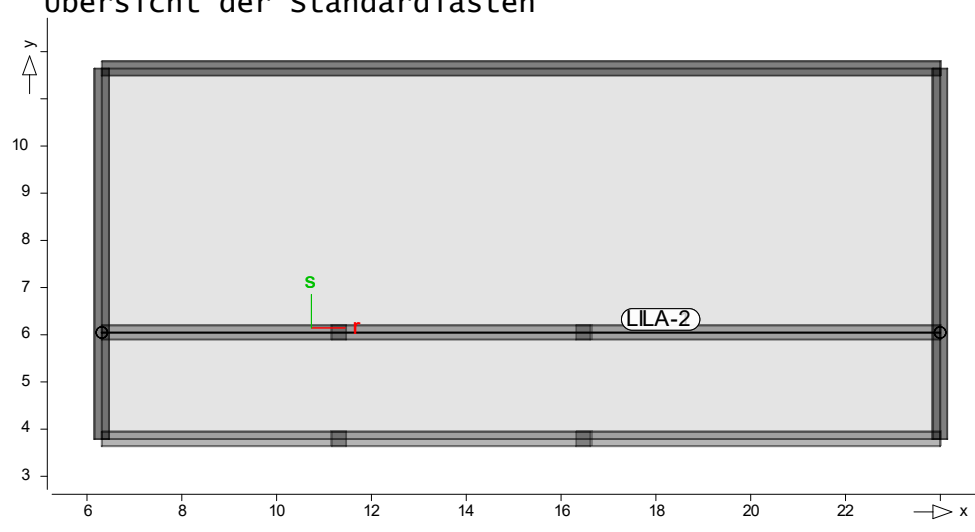
Lastfall Position EW Art kN/m] LF-1 PGr UZ-1, UZ-2 Gk Gravitationslast; positive Lasten wirken senkrecht nach unten

Standardlasten

Standardlasten im FE-Modell

Positionsgrafik

Übersicht der Standardlasten



Baustatik - Tragwerksplanung - Bauphysik

Projekt: Sanierung und Neubau Wohnheim "Thomas Müntzer Datum: 18.12.2024 Auftrags-Nr.: 24-919 Position: 11-1 Seite: 168

Linienlasten	Position	EW	Lastfall	Art	p _A ,m _A [kN/m],[k	p _E ,m _E
	(a) LILA-1	Gk	BS-Gk	pGr	5.86	5.86
		Gk	LF-1	pGr	5.00	5.00
	(a)	Qk.S	BS-Qk.S	pGr	2.41	2.41
	(a)	Qk.W	(Qk.W)-000	pGr	0.30	0.30
	(a)	Qk.W	(Qk.w)-090	pGr	-1.02	-1.02
	(b) LILA-2	Gk	BS-Gk	pGr	6.18	6.18
		Gk	LF-1	pGr	5.00	5.00
	(b)	Qk.N	BS-Qk.N	pGr	6.17	6.17
	pGr: Gravitations	last; posi	tive Lasten wirken	senkrech	nt nach unten	

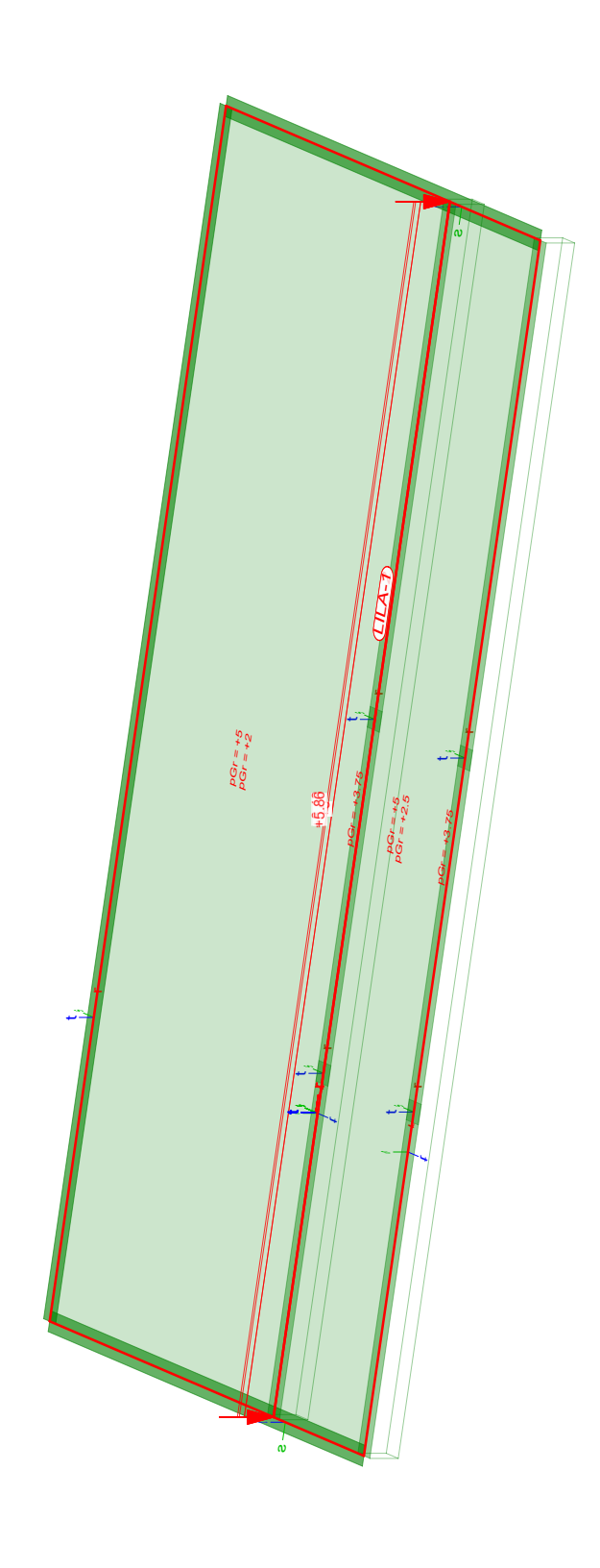
- (a) aus Pos. '1', Lager 'A'
- (b) aus Pos. '4', Lager 'A'

Baustatik - Tragwerksplanung - Bauphysik

Projekt: Sanierung und Neubau Wohnheim "Thomas Müntzer Datum: 18.12.2024 Auftrags-Nr.: 24-919 Position: 11-1 Seite: 169

Last-Positionen

Lastpositionen



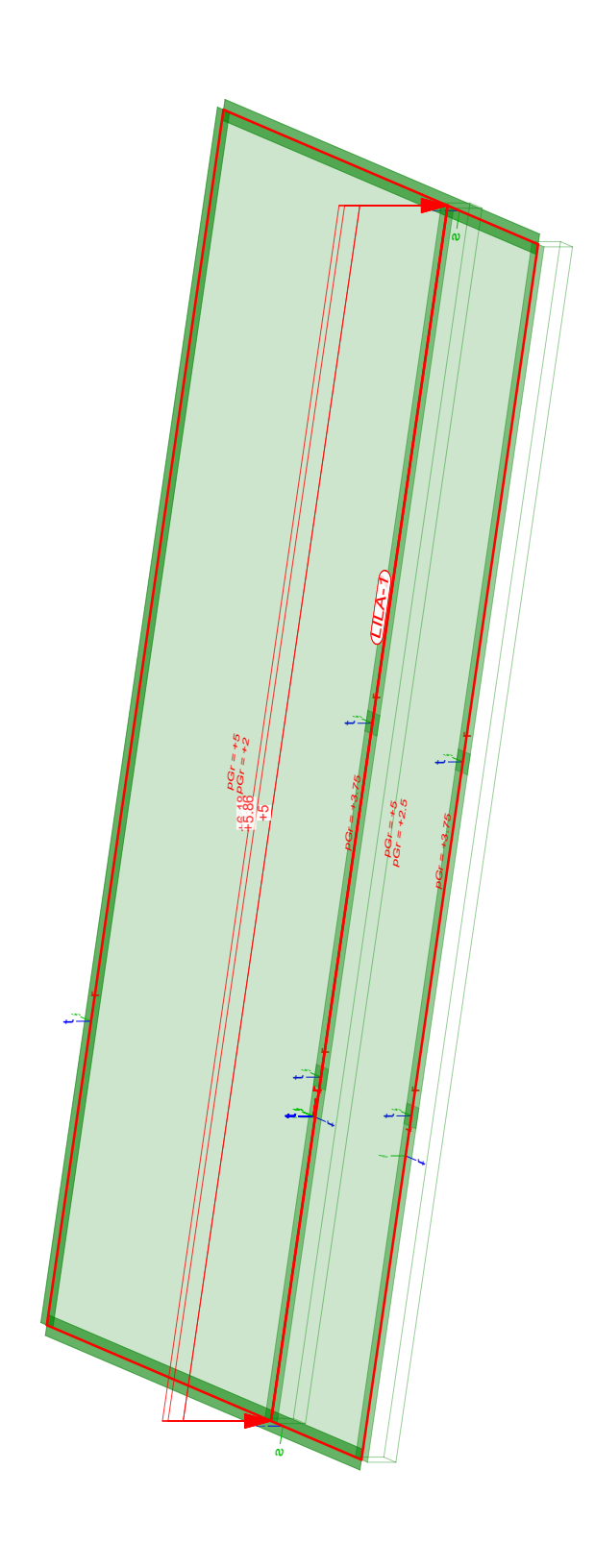
aus Einwirkung Gk (Eigenlasten)

Baustatik - Tragwerksplanung - Bauphysik

Projekt: Sanierung und Neubau Wohnheim "Thomas Müntzer Datum: 18.12.2024 Auftrags-Nr.: 24-919 Position: 11-1 Seite: 170

Last-Positionen

Lastpositionen



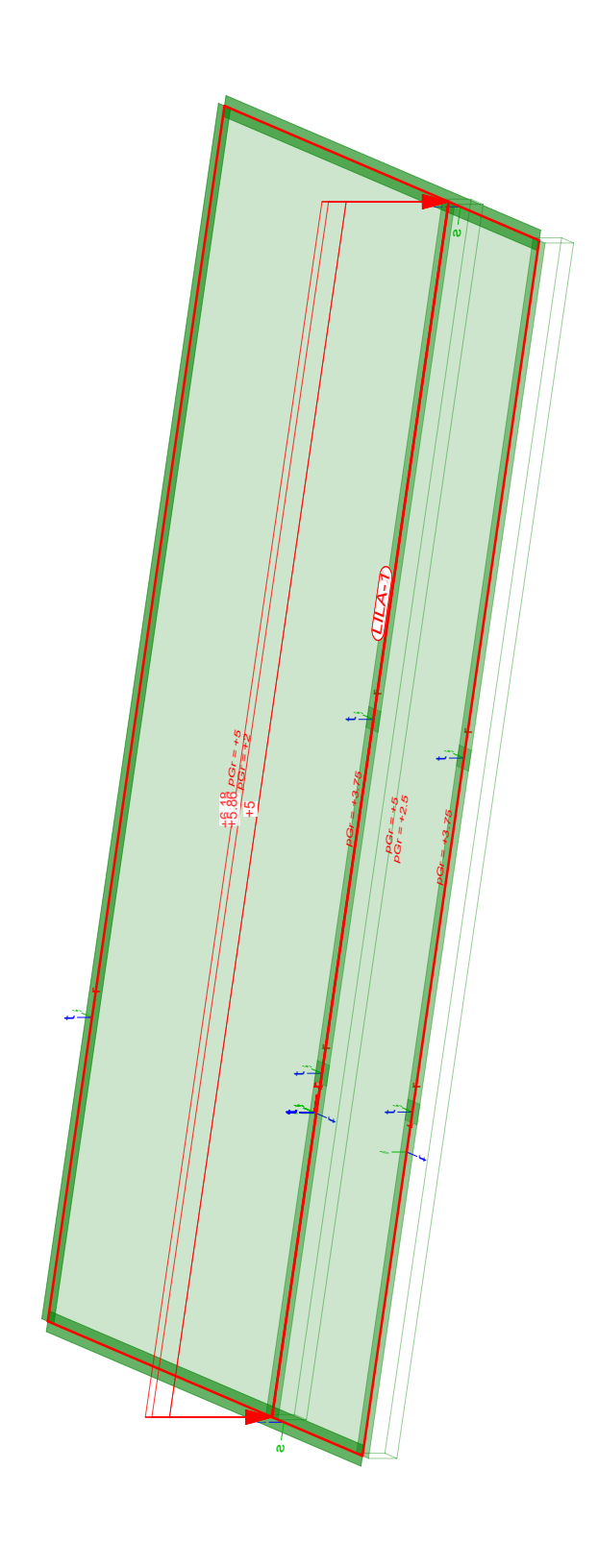
aus Einwirkung Gk (Eigenlasten)

Baustatik - Tragwerksplanung - Bauphysik

Projekt: Sanierung und Neubau Wohnheim "Thomas Müntzer Datum: 18.12.2024 Auftrags-Nr.: 24-919 Position: 11-1 Seite: 171

Last-Positionen

Lastpositionen

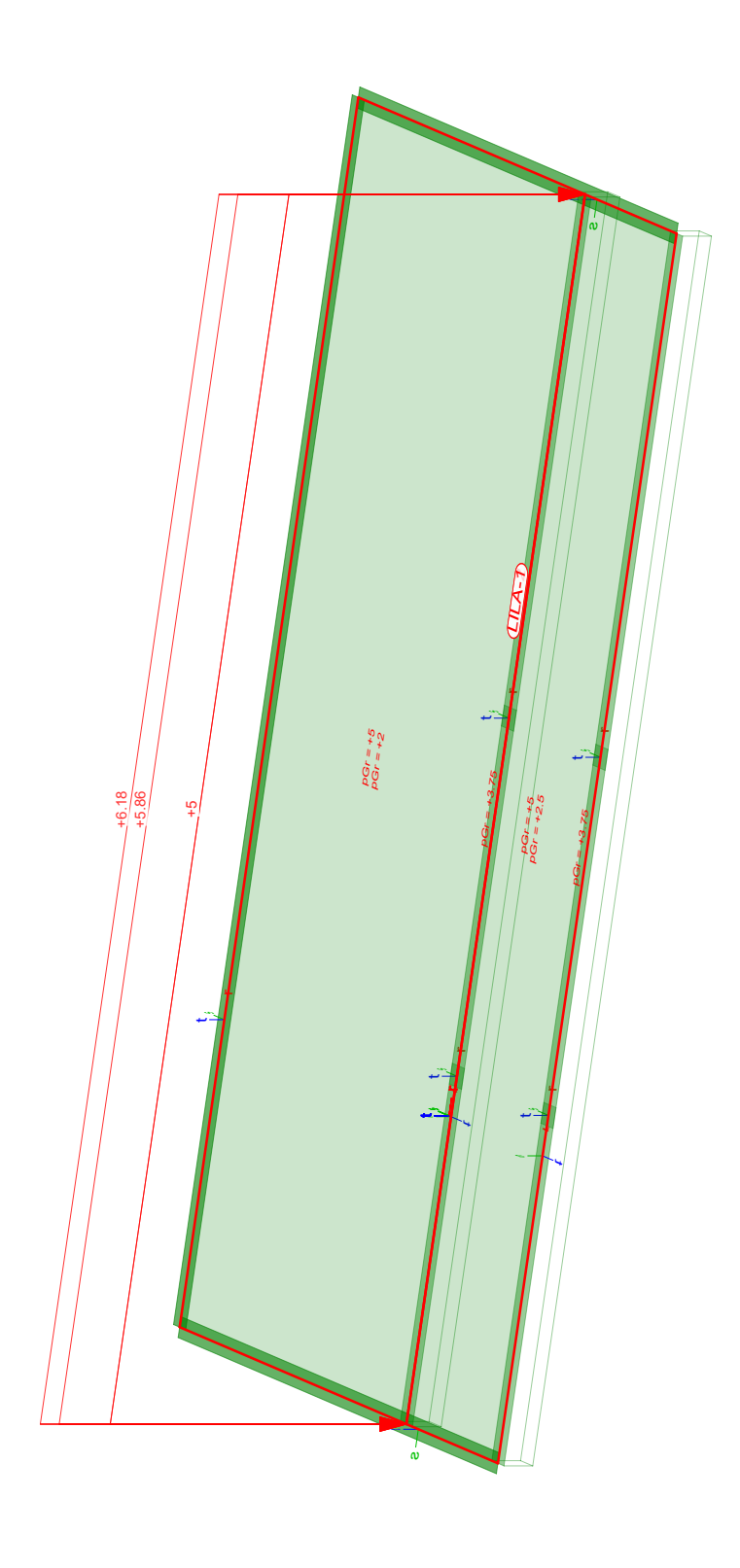


aus Einwirkung Gk (Eigenlasten)

Projekt: Sanierung und Neubau Wohnheim "Thomas Müntzer Datum: 18.12.2024 Auftrags-Nr.: 24-919 Position: 11-1 Seite: 172

Last-Positionen

Lastpositionen



aus Einwirkung Gk (Eigenlasten)

Baustatik - Tragwerksplanung - Bauphysik

Projekt: Sanierung und Neubau Wohnheim "Thomas Müntzer 18.12.2024 Datum:

Auftrags-Nr.: 24-919 Position: 11-1 Seite: 173

Einwirkungen

Einwirkungen nach DIN EN 1990 **DIN EN 1990**

Kürzel	Beschreibung
	Typisierung
Gk	Eigenlasten
	Ständige Einwirkungen
Qk.N	Nutzlasten
	Kategorie A - Wohn- und Aufenthaltsräume
Qk.S	Schnee
	Schnee- und Eislasten für Orte bis NN +
	1000 m
Qk.W	Wind
	Windlasten

Lastfälle und deren Zuordnung zu den Einwirkungen Lastfälle

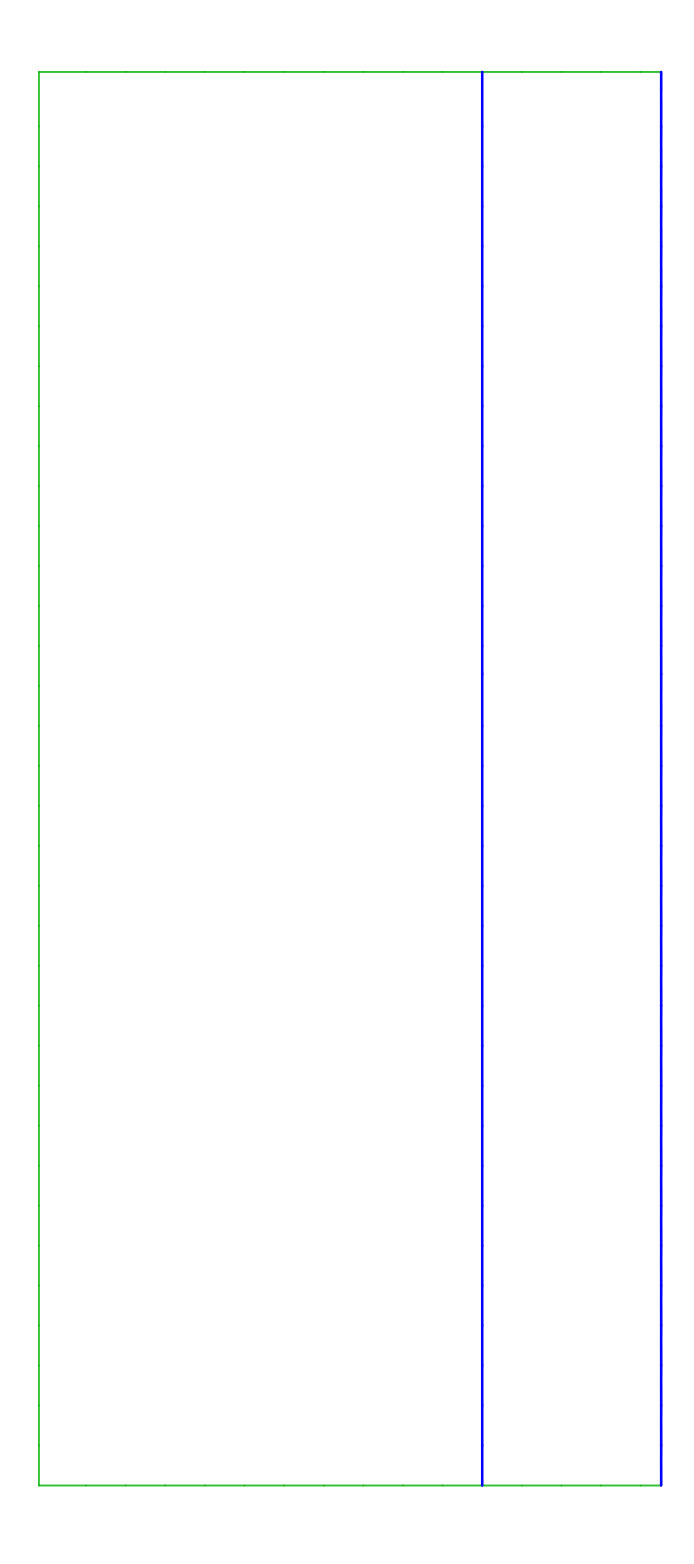
Gk	LF-1, BS-Gk
Qk.N	BS-Qk.N, (PL-1)-1, (PL-1)-2, (PL-1)-3, (PL-2)-1,
-	(PL-2)-2, $(PL-2)-3$
Qk.S Qk.W	BS-Qk.S
Qk.W	LG-(Qk.W) ((Qk.W)-000, (Qk.W)-090)

Projekt: Sanierung und Neubau Wohnheim "Thomas Müntzer Datum: 18.12.2024

Auftrags-Nr.: 24-919 Position: 11-1 Seite: 174

Flächenbemessung

Erforderliche Bewehrung as,erf (Differenzbew.)



Vorhandene Bew. as,vorh = 5.2 (Grund+Zulagen)

Bew.-Abstand d' = 45 mm

Beton C 30/37

Bauteildicke h = 20.00 cm

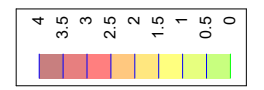
aus allen Nachweisen r-Richtung unten in [cm²/m] Max = 0 (Kn. 185), Min = 0 (Kn. 185)

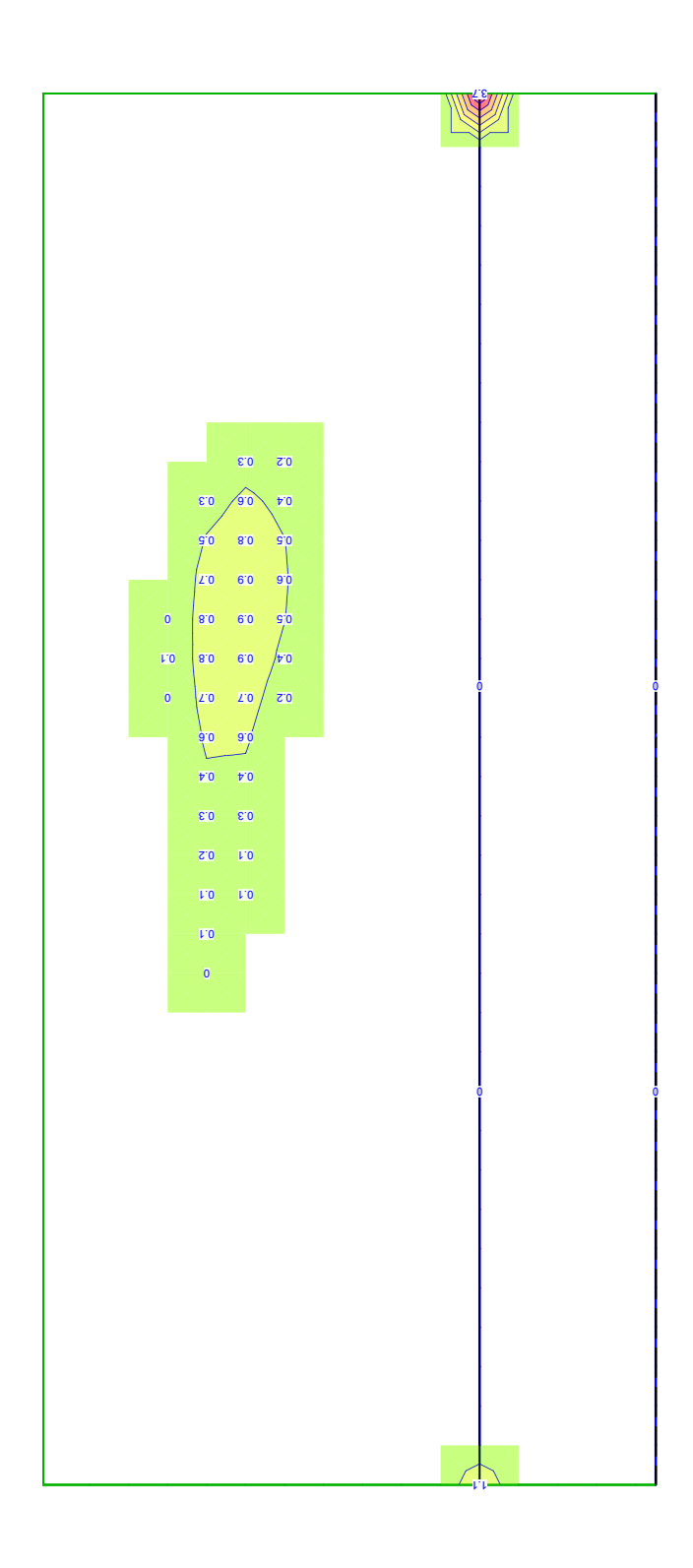
Baustatik - Tragwerksplanung - Bauphysik

Projekt: Sanierung und Neubau Wohnheim "Thomas Müntzer Datum: 18.12.2024 Auftrags-Nr.: 24-919 Position: 11-1 Seite: 175

Flächenbemessung

Erforderliche Bewehrung as,erf (Differenzbew.)





Vorhandene Bew. as,vorh = 5.2 (Grund+Zulagen)

Bew.-Abstand d' = 45 mm

Beton C 30/37

Bauteildicke h = 20.00 cm

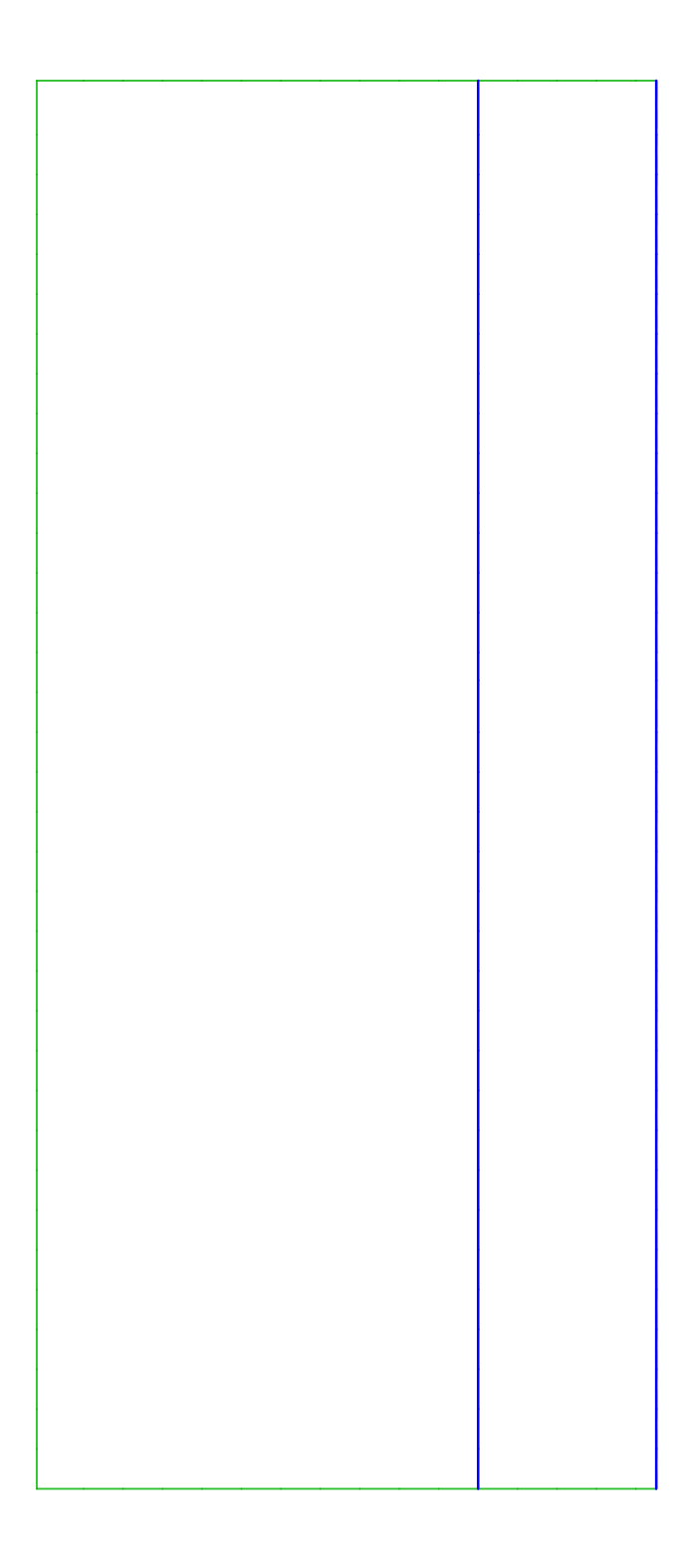
aus allen Nachweisen s-Richtung unten in [cm²/m] Max = 3.7 (Kn. 2), Min = 0 (Kn. 185), Step = 0.5

Baustatik - Tragwerksplanung - Bauphysik

Projekt: Sanierung und Neubau Wohnheim "Thomas Müntzer Datum: 18.12.2024 Auftrags-Nr.: 24-919 Position: 11-1 Seite: 176

Flächenbemessung

Erforderliche Bewehrung as,erf (Differenzbew.)



Vorhandene Bew. as,vorh = 5.2 (Grund+Zulagen)

Bew.-Abstand d' = 30...45 mm

Beton C 30/37

Bauteildicke h = 20.00 cm

aus allen Nachweisen r-Richtung oben in [cm²/m]

Max = 0 (Kn. 185), Min = 0 (Kn. 185), Step = 0.5

Baustatik - Tragwerksplanung - Bauphysik

Projekt: Sanierung und Neubau Wohnheim "Thomas Müntzer 18.12.2024 Datum:

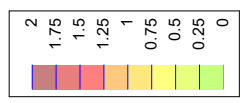
Position: 11-1 Auftrags-Nr.: 24-919

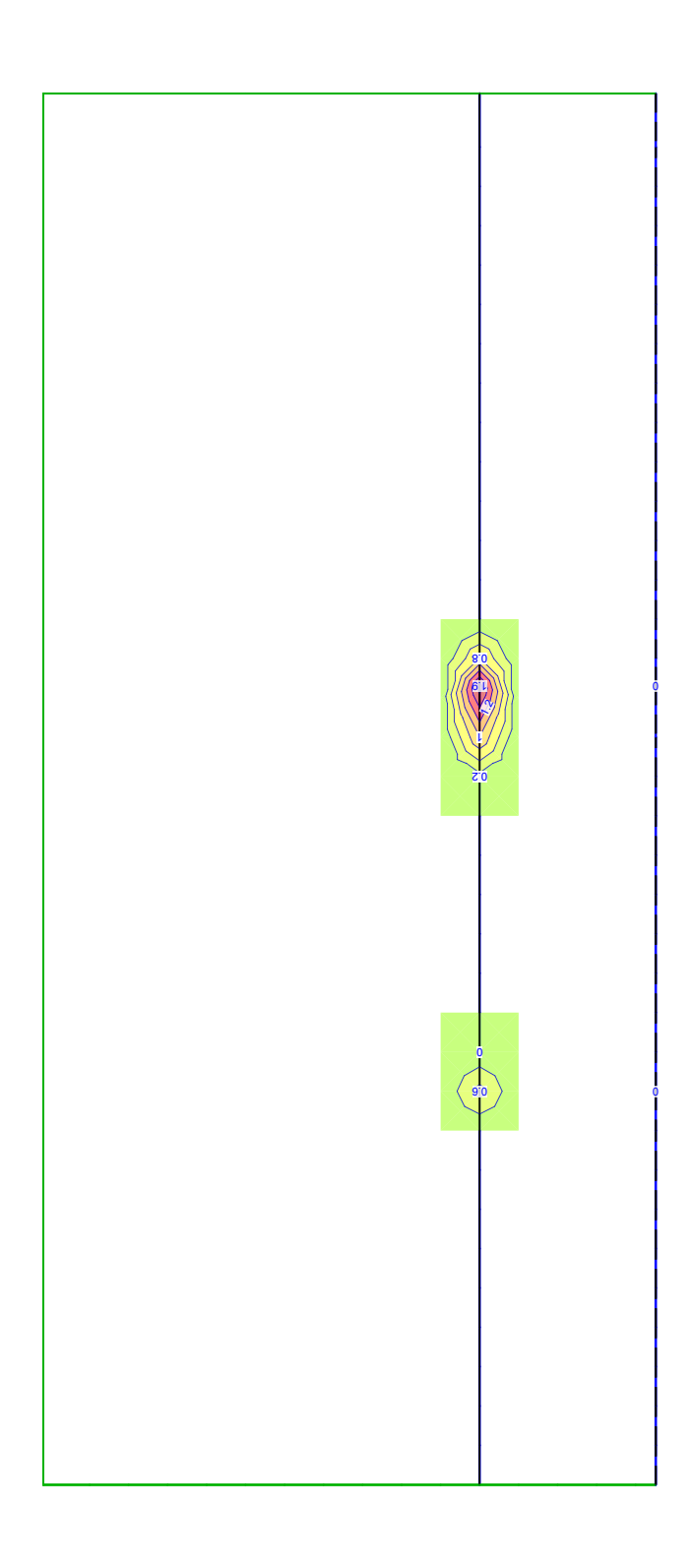
Seite:

177

Flächenbemessung

Erforderliche Bewehrung as,erf (Differenzbew.)





Vorhandene Bew. as,vorh = 5.2 (Grund+Zulagen)

Bew.-Abstand d' = 30...45 mm

Beton C 30/37

Bauteildicke h = 20.00 cm

aus allen Nachweisen s-Richtung oben in [cm²/m]

Max = 1.9 (Kn. 5), Min = 0 (Kn. 185), Step = 0.25

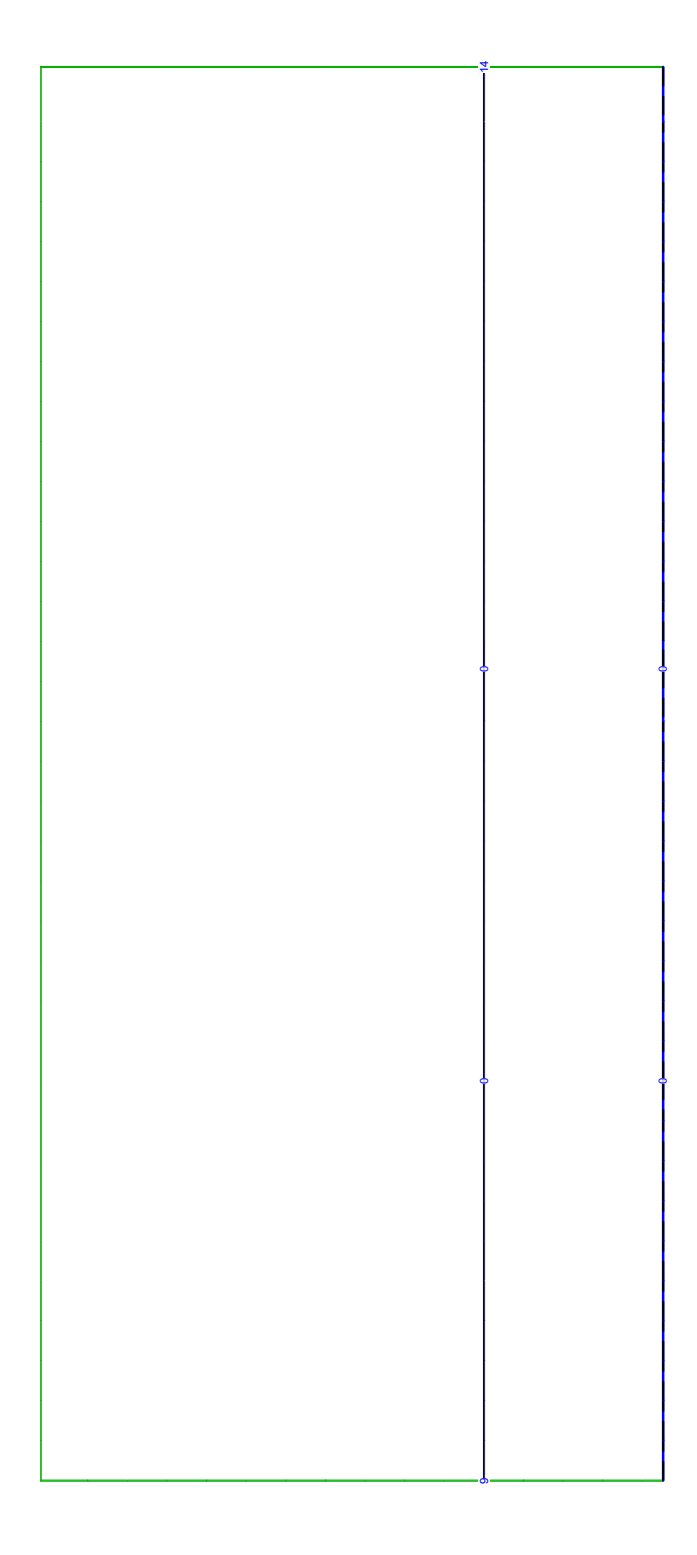
MicroFe, 2025.004 MicroFe, 2025.004 Ingenieurbüro Paatz 06493 Ballenstedt

Baustatik - Tragwerksplanung - Bauphysik

Projekt: Sanierung und Neubau Wohnheim "Thomas Müntzer Datum: 18.12.2024 Auftrags-Nr.: 24-919 Position: 11-1 Seite: 178

Querkraftbemessung

Querkraftbewehrung asw/sw aus allen Nachweisen in [cm²/m²]



Max = 14, Min = 0

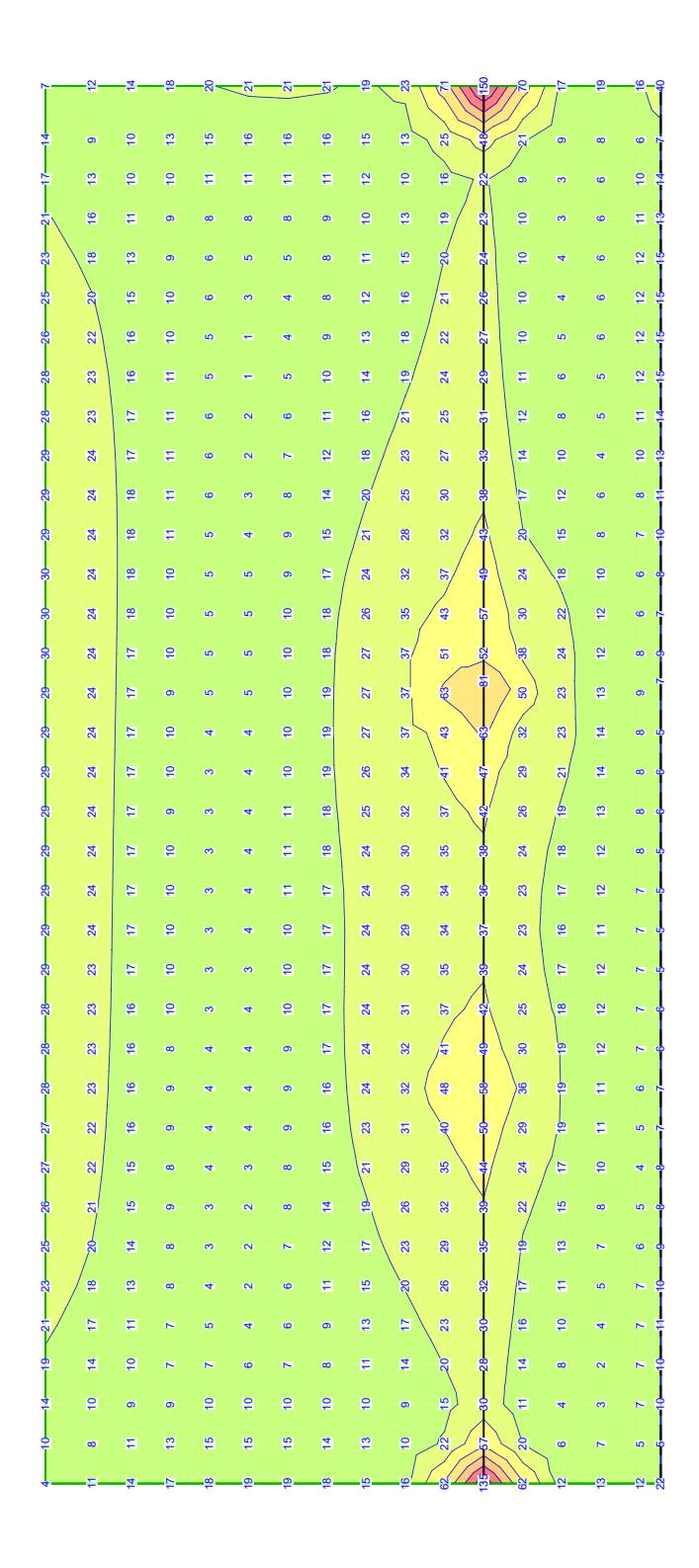
Baustatik - Tragwerksplanung - Bauphysik

Projekt: Sanierung und Neubau Wohnheim "Thomas Müntzer Datum: 18.12.2024 Auftrags-Nr.: 24-919 Position: 11-1 Seite: 179

Querkraftbemessung

Bemessungsquerkraft vEd,res aus Tragfähigkeitsnachweis in [kN/m]



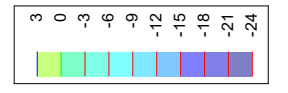


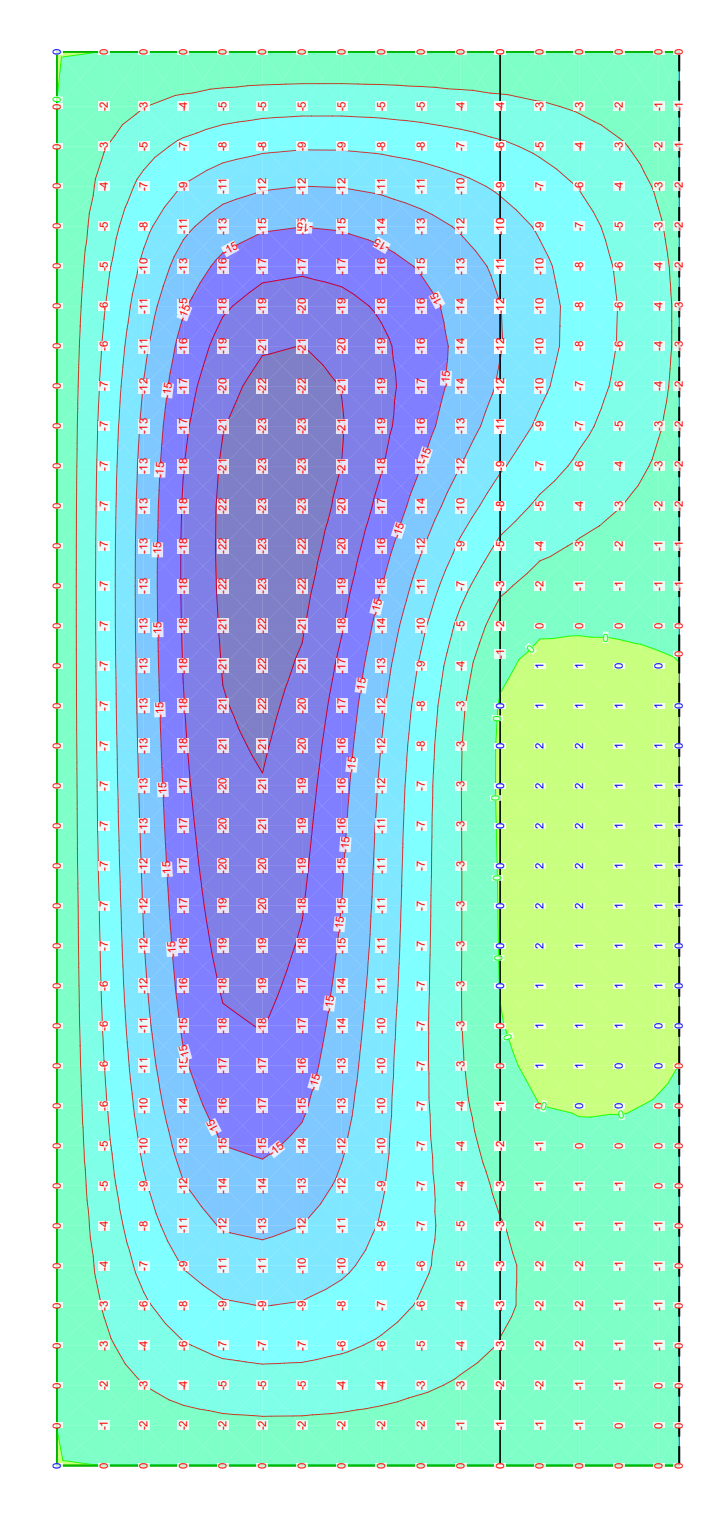
Max = 150, Min = 1, Step = 20

Projekt: Sanierung und Neubau Wohnheim "Thomas Müntzer Datum: 18.12.2024 Auftrags-Nr.: 24-919 Position: 11-1 Seite: 180

Verformungsnachweis Zustand II

Endverformung f,oo im Zustand II in [mm]





aus Überlagerung über LKN Minimum

Max = 2 (Kn. 133), Min = -23 (Kn. 423), Step = 3

Projekt: Sanierung und Neubau Wohnheim "Thomas Müntzer 18.12.2024 Datum: Position: 11-1 Seite: Auftrags-Nr.: 24-919 181

Über-/Unterzugbemessung

Erf. Längsbewehrung As,erf



Unterseite in [cm²] Max = 15.5, Min = 0Bew.-Abstand d' = 50 mm

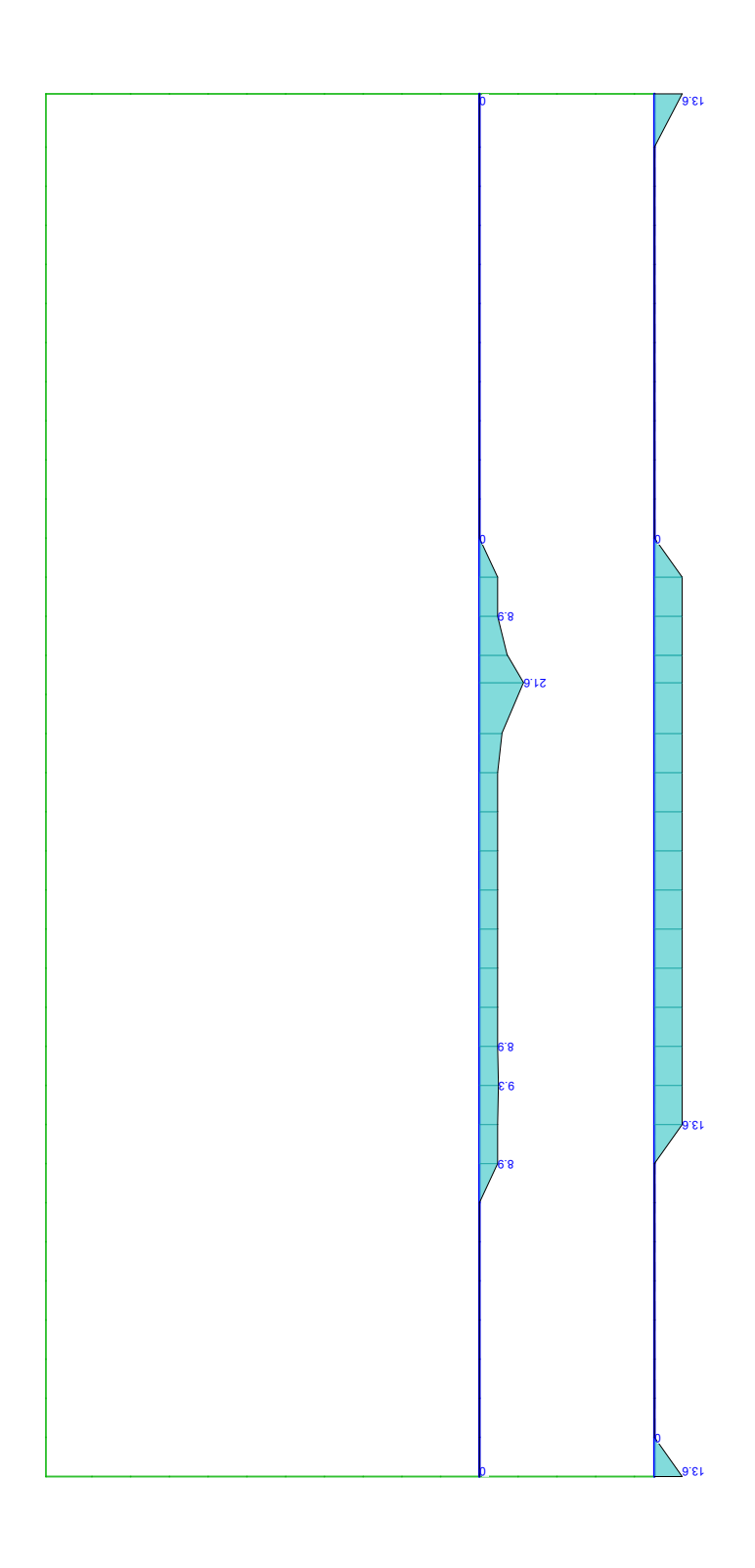
Beton C 30/37 aus allen Nachweisen

MicroFe, 2025.004

Projekt: Sanierung und Neubau Wohnheim "Thomas Müntzer Datum: 18.12.2024 Auftrags-Nr.: 24-919 Position: 11-1 Seite: 182

Über-/Unterzugbemessung

Erf. Längsbewehrung As,erf



Oberseite in [cm²]
Max = 21.6, Min = 0
Bew.-Abstand d' = 50 mm
Beton C 30/37

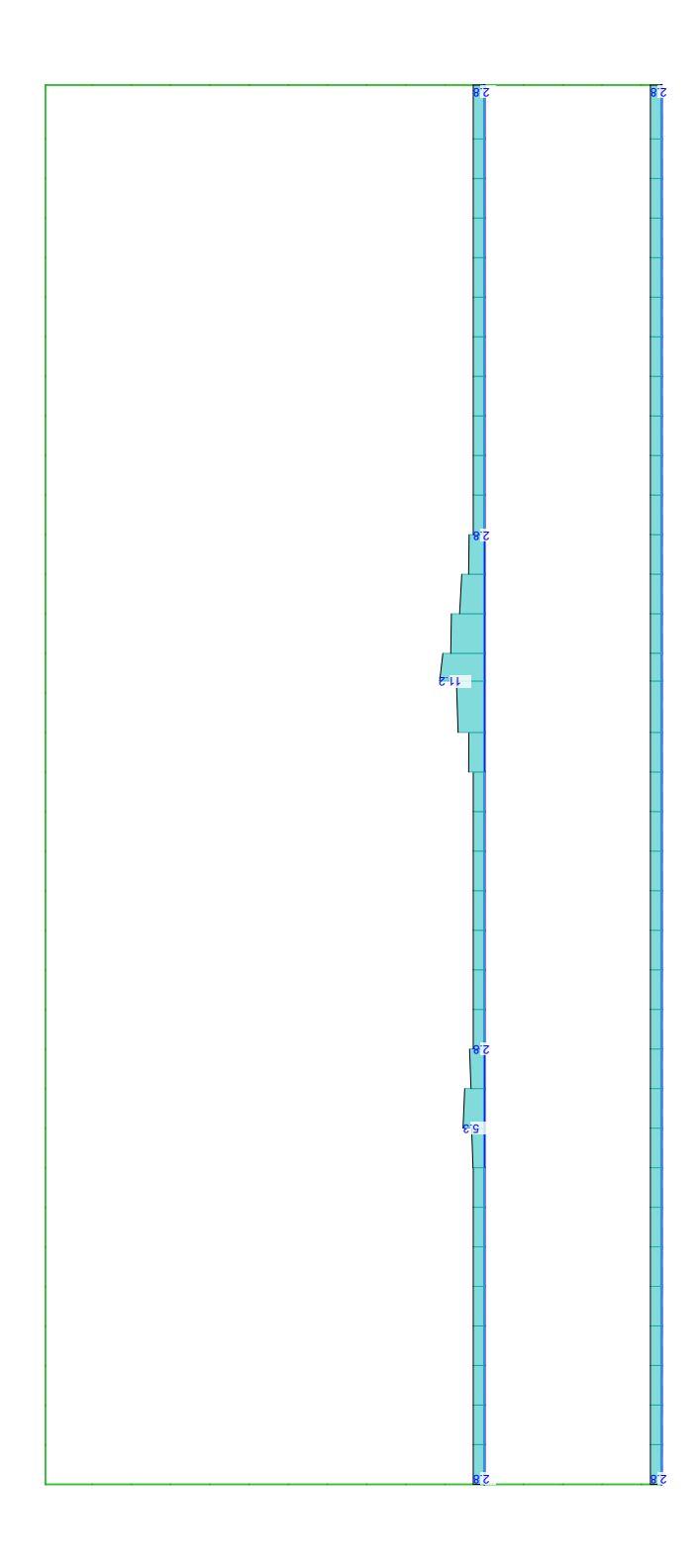
aus allen Nachweisen

MicroFe, 2025.004

Projekt: Sanierung und Neubau Wohnheim "Thomas Müntzer Datum: 18.12.2024 Auftrags-Nr.: 24-919 Position: 11-1 Seite: 183

Über-/Unterzugbemessung

Erf. Querkraftbewehrung asw,erf

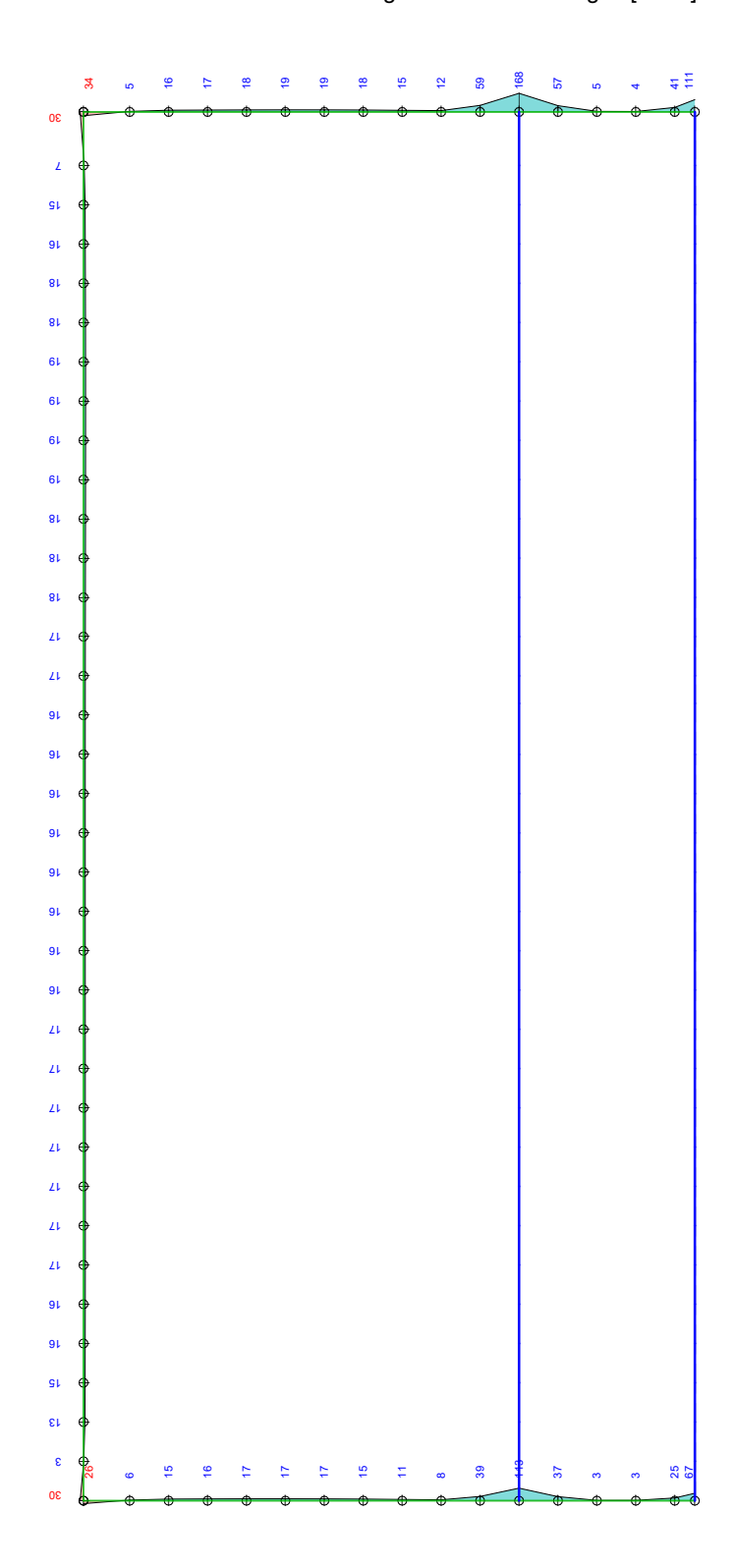


aus allen Nachweisen in [cm²/m] Max = 11.2, Min = 2.8 Beton C 30/37

Projekt: Sanierung und Neubau Wohnheim "Thomas Müntzer Datum: 18.12.2024 Auftrags-Nr.: 24-919 Position: 11-1 Seite: 184

Linienlagerergebnisse

Lagerkraft in t-Richtung in [kN/m]



aus Einwirkung Gk (Eigenlasten)

Maximum

Max = 168, Min = -34

Auswertung je Element

well version access - copylight access - mb Acc

Datum:

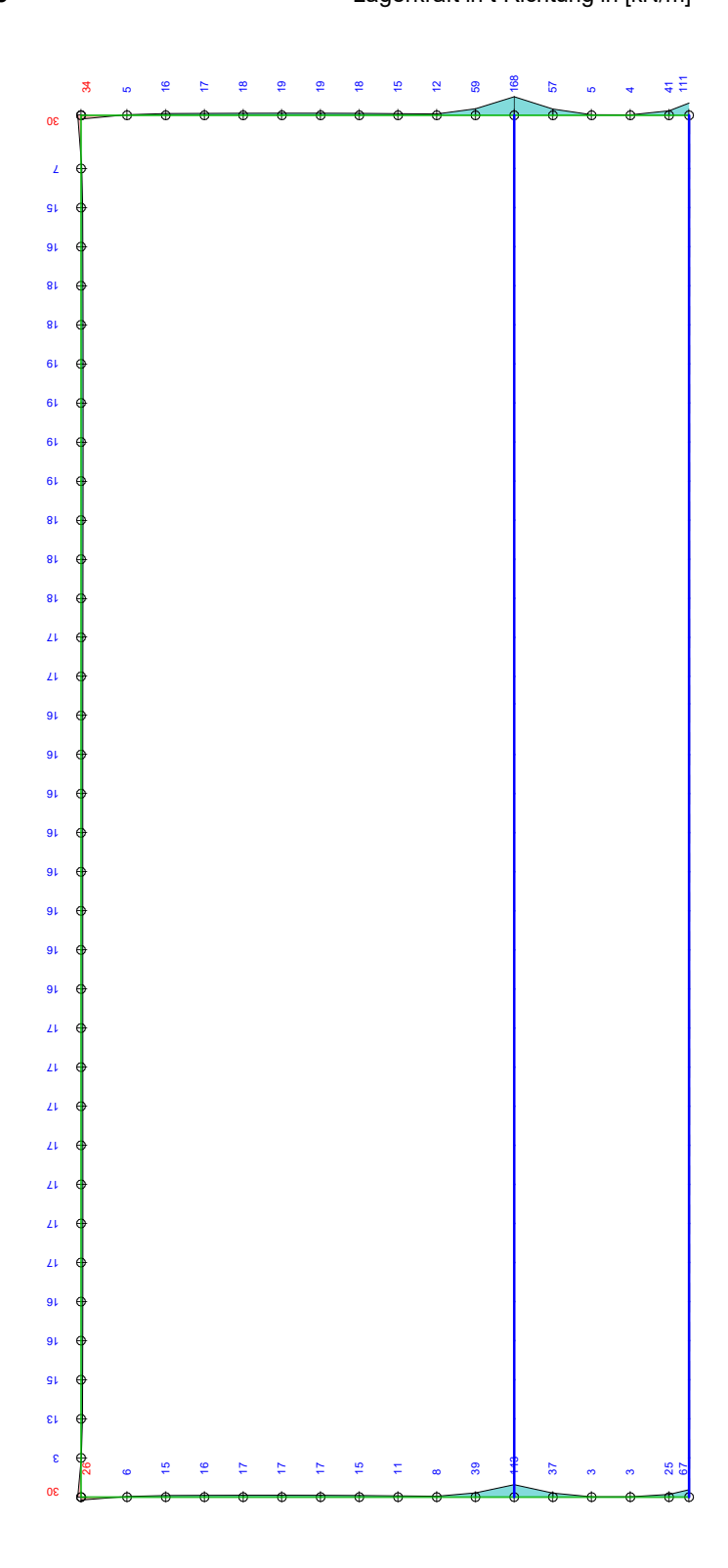
Projekt: Sanierung und Neubau Wohnheim "Thomas Müntzer Auftrags-Nr.: 24-919 Position: 11-1

Seite: 185

18.12.2024

Linienlagerergebnisse

Lagerkraft in t-Richtung in [kN/m]



aus Einwirkung Gk (Eigenlasten)

Maximum

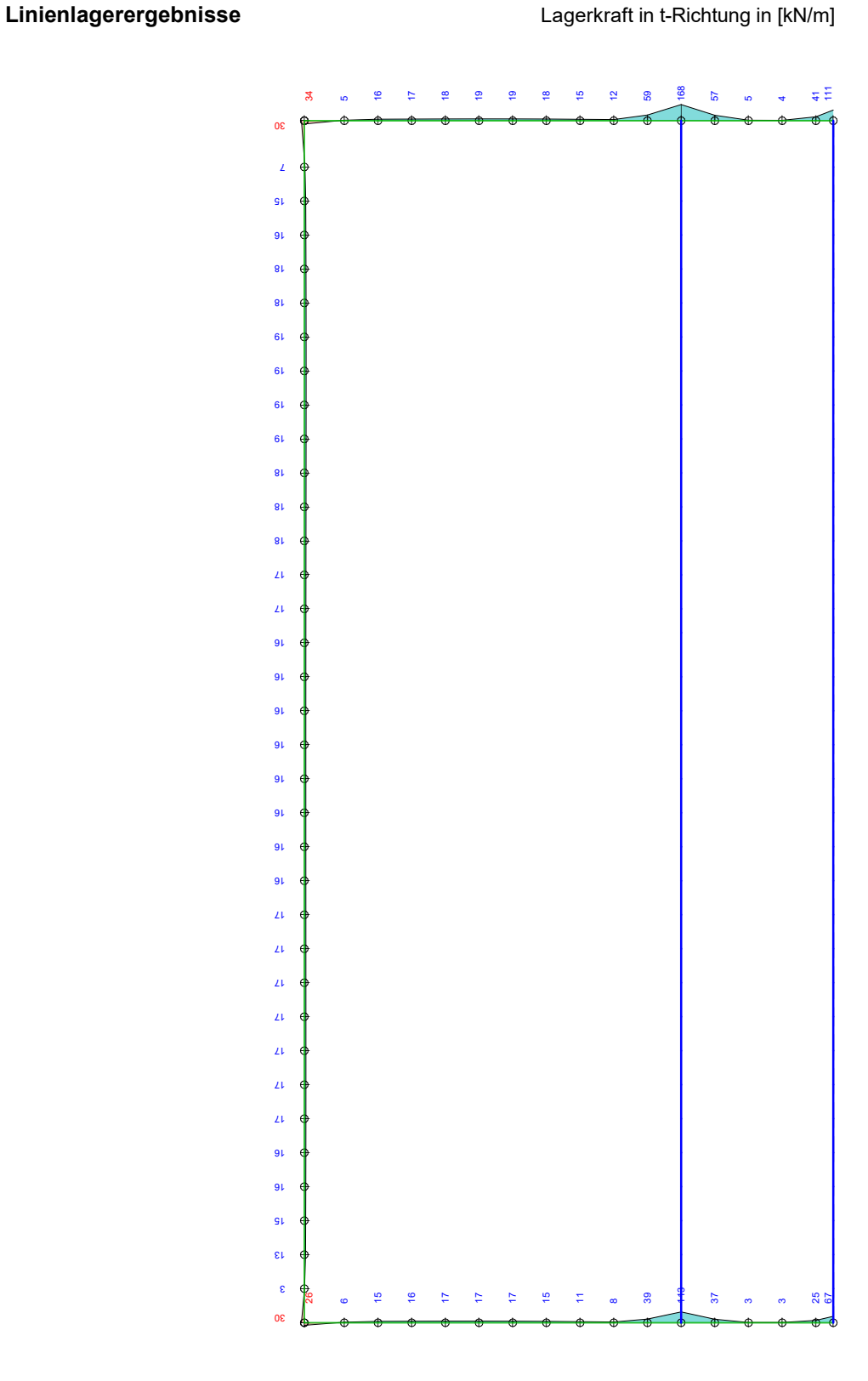
Max = 168, Min = -34

Auswertung je Element

MicroFe, 2025.004 MicroFe, 2025.004

Projekt: Sanierung und Neubau Wohnheim "Thomas Müntzer 18.12.2024 Datum: Position: 11-1 Seite: Auftrags-Nr.: 24-919 186

Lagerkraft in t-Richtung in [kN/m]



aus Einwirkung Gk (Eigenlasten)

Maximum

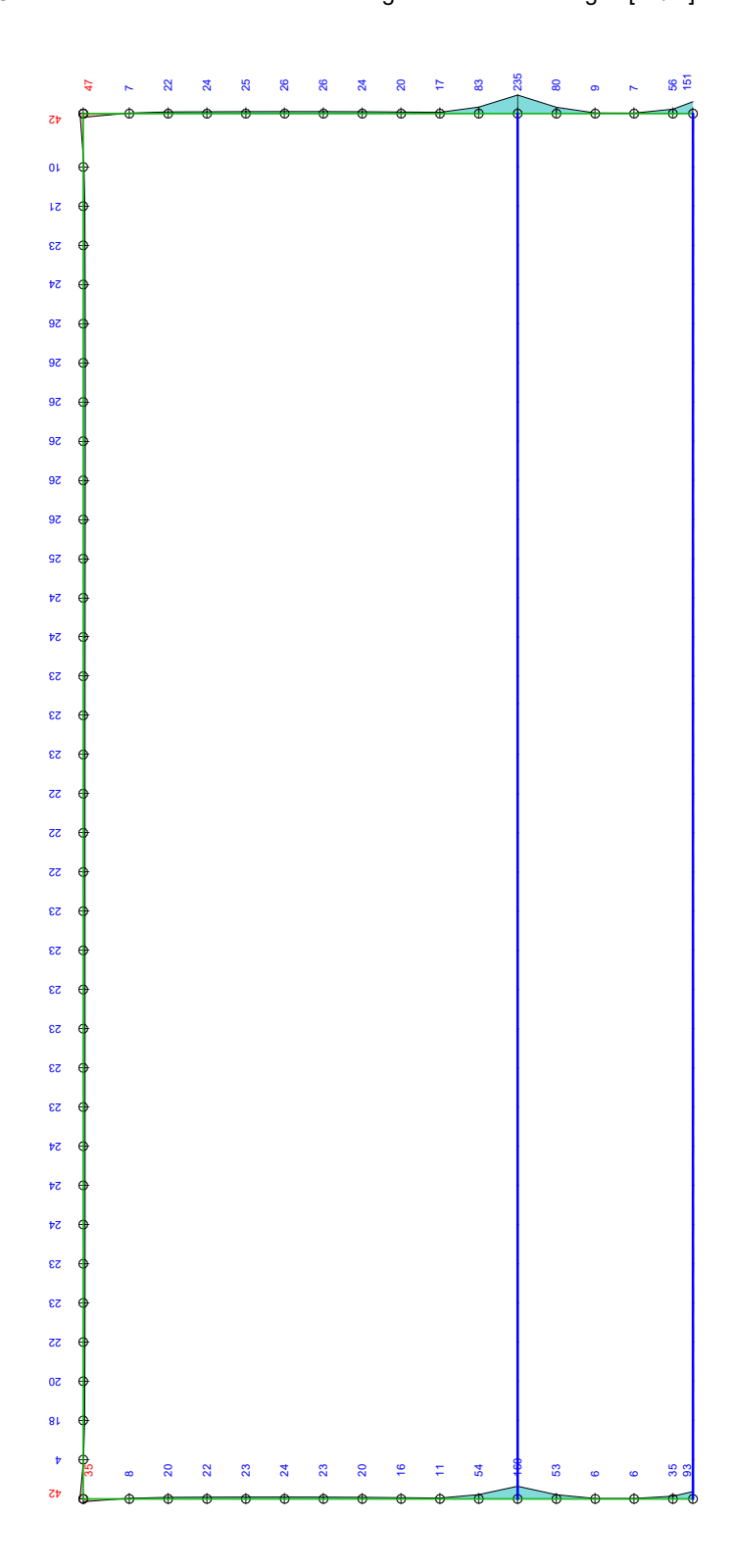
Max = 168, Min = -34

Auswertung je Element

Projekt: Sanierung und Neubau Wohnheim "Thomas Müntzer Datum: 18.12.2024 Auftrags-Nr.: 24-919 Position: 11-1 Seite: 187

Linienlagerergebnisse

Lagerkraft in t-Richtung in [kN/m]



aus Überlagerung über LFN und LKN Maximum Max = 235, Min = -47 Auswertung je Element

MicroFe, 2025.004

Baustatik - Tragwerksplanung - Bauphysik

Projekt: Sanierung und Neubau Wohnheim "Thomas Müntzer Datum: 18.12.2024 Auftrags-Nr.: 24-919 Position: 11-1 Seite: 188

Punktlagerergebnisse

Lagerkraft in t-Richtung in [kN]



aus Überlagerung über LFN und LKN Maximum Max = 642, Min = 46

MicroFe, 2025.004 MicroFe, 2025.004

18.12.2024

Projekt: Sanierung und Neubau Wohnheim "Thomas Müntzer Datum:

Auftrags-Nr.: 24-919 Position: 11-1 Seite: 189

Übergabe

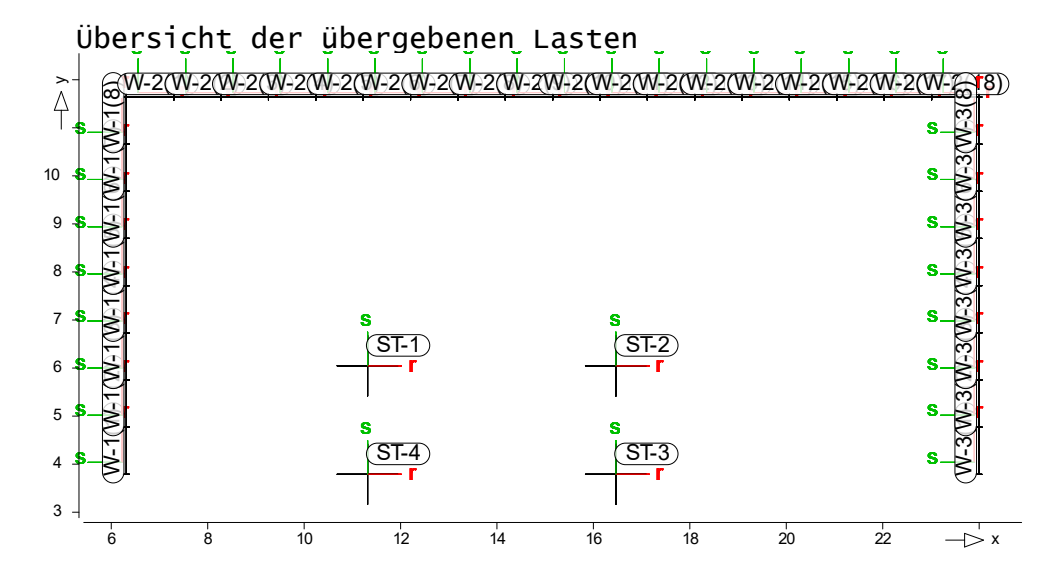
Lastübergabe

Protokoll der Lastübergabe

MicroFe

Lastübergabe für MicroFe

Positionsgrafik



Die vertikalen Auflagerreaktionen werden lastfallweise zur Lastübernahme bereitgestellt. Einspannmomente bleiben unberücksichtigt.

Kleine Lasten (< 0.01 kN bzw. kN/m) werden nicht lastfallweise ausgegeben, sondern als Lastsumme zusammengefasst.

Lasten bis zu einer Summe von 0.01 kN pro Position werden vernachlässigt; die Auswertung erfolgt getrennt nach positiver und negativer wirkungsrichtung.

Lastgruppen

Lastgruppe Typ Beschreibung

Lastfälle

LG-(Qk.W) 0 Windlastgruppe
(Qk.W)-000, (Qk.W)-090
0: höchstens ein Lastfall wirksam

Punktlasten

Position	EW	Lastfall	Art	Р
				[kN]
ST-1	Gk	BS-Gk	PGr	58.69
(g1)	Gk	LF-1	PGr	8.21
	Gk	LF-1	PGr	259.28
	Qk.N	BS-Qk.N	PGr	30.08
	Qk.N	(PL-1)-1	PGr	14.76
	Qk.N	(PL-1)-2	PGr	14.08
	Qk.N	(PL-1)-3	PGr	-4.40
	Qk.N	(PL-2)-1	PGr	30.32
	Qk.N	(PL-2)-2	PGr	31.27
	Qk.N	(PL-2)-3	PGr	-5.09
	Qk.s	BS-Qk.S	PGr	11.74
	Qk.W	(Qk.W)-000	PGr	1.44
	Qk.W	(Qk.W) - 090	PGr	-4.98

Baustatik - Tragwerksplanung - Bauphysik

Sanierung und Neubau Wohnheim "Thomas Müntzer Projekt: 18.12.2024 Datum: Position: 11-1 Auftrags-Nr.: 24-919 Seite: 190

	Position	EW	Lastfall	Art	Р
	ST-2	Gk	BS-Gk	PGr	[kN] 83.67
(-1°		Gk	LF-1	PGr	8.21
(g1))	Gk	LF-1		376.95
		Qk.N	BS-Qk.N	PGr	42.88
		QK.N Qk.N	(PL-1)-1	PGr	-1.31
					$\frac{-1.31}{13.20}$
		Qk.N	(PL-1)-2	PGr	
		Qk.N	(PL-1)-3	PGr	24.58
		Qk.N	(PL-2)-1	PGr	-0.11
		Qk.N	(PL-2)-2	PGr	30.85
		Qk.N	(PL-2)-3	PGr	50.82
		Qk.s	BS-Qk.S	PGr	16.73
		Qk.W	(Qk.w)-000	PGr	2.05
		Qk.W	(Qk.W)-090	PGr	-7.10
	ST-3	Gk	BS-Gk	PGr	4.97
(g1))	Gk	LF-1	PGr	8.21
		Gķ	LF-1	PGr	47.81
		Qk.N	BS-Qk.N	PGr	2.55
		Qk.N	(PL-1)-1	PGr	-1.18
		Qk.N	(PL-1)-2	PGr	11.22
		Qk.N	(PL-1)-3	PGr	22.22
		Qk.N	(PL-2)-1	PGr	-0.94
		Qk.N	(PL-2)-2	PGr	-7.57
		Qk.N	(PL-2)-3	PGr	-9.05
		Qk.S	BS-Qk.S	PGr	0.99
		Qk.W	(Qk.W) - 000	PGr	0.12
		Qk.W	(Qk.w)-090	PGr	-0.42
	ST-4	Gk	BS-Gk	PGr	0.20
(g1))	Gk	LF-1	PGr	8.21
		Gk	LF-1	PGr	20.56
		Qk.N	BS-Qk.N	PGr	0.10
		Qk.N	(PL-1)-1	PGr	12.78
		Qk.N	(PL-1)-2	PGr	12.02
		Qk.N	(PL-1)-3	PGr	-4.37
		Qk.N	(PL-2)-1	PGr	-6.00
		Qk.N	(PL-2)-2	PGr	-7.00
		Qk.N	(PL-2)-3	PGr	-1.06
		Qk.s	BS-Qk.S	PGr	0.04
		Qk.W	(Qk.W)-090	PGr	-0.02
	PGr: Gravitationsl		tive Lasten wirken	senkrecht nach unter	

(g1)aus Eigengewicht der Stütze

Koordinaten	Position		Х	У
			[m]	[m]
	ST-1		11.32	6.05
	ST-2		16.46	6.05
	ST-3		16.46	3.79
	ST-4		11.32	3.79
vernachlässigte	Position	in Dokumentation	in Lastüb	ergabe

positiv negativ Lasten [kN] [kN] 0.00000 0.00000 ST-4

Folgende Punktlastanteile werden wegen ihres geringen Einflusses bei der Lastübergabe vernachlässigt:

Datum:

18.12.2024

Baustatik - Tragwerksplanung - Bauphysik

Auftrags-Nr.: 24-919	ng und Neubau wo		ion: 11				eite:	191
	Lastfall							Pt
	(Qk.W)-00	00					-0	[kN] 0.00488
Linienlasten	Blocklast Gravitati			nen Ab	schnit	te in		
w-1	Lastfall	Lasten	(8 Ab	schnitt	te je C).98m)		[kN/m]
Gk	LF-1 (g)		43.61	81.46	38.45	42.19	44.35	42.93
	BS-Gk	0.35	5.68	18.15	1.55	0.31	0.16	0.09
Qk.N	BS-Qk.N	0.18	2.91	9.30	0.80	0.16	0.08	0.04
	(PL-1)-1	9.60	4.82	6.77	-0.13	-0.22	-0.11	-0.06
	(PL-1)-2		-0.18	-0.83	-0.07	-0.04	-0.03	-0.02
	(PL-1)-3	0.03 0.58	0.08	0.33	0.03	0.00	0.00	0.00
	(PL-2)-1		0.99	9.00	3.85	5.55	6.19	5.64
	(PL-2)-2		-0.54	-0.98	-0.12	0.23	0.40	0.38
	(PL-2)-3	-0.41 0.18	0.07	0.27	0.02	0.00	0.00	0.00
Qk.s	BS-Qk.S	-0.01 0.07	1.14	3.63	0.31	0.06	0.03	0.02
Qk.W	(Qk.W)-0(-0.05 00						
		0.01 -0.01	0.14	0.45	0.04	0.01	0.00	0.00
	(Qk.W)-09	90	-0 48	-1 5 <i>4</i>	-0 13	-0 03	-0 01	-0.01
	(g): Lastfa	0.02						0.01
w-2	Lastfall							[zN / m]
Gk	LF-1 (g)	24.22	41.67	43.50	44.18	44.19	43.97	[kN/m] 43.74
		43.56	43.47	43.56 42.50	43.90	44.51	45.22	45.78
	BS-Gk	-0.22 0.02	0.14 0.01	0.16 0.03	0.15 0.11	0.12 0.23		
ole N	DC OL N	0.55	0.50	0.38	-0.61			
Qk.N	BS-Qk.N	-0.11 0.01	0.07 0.00	0.08 0.02	0.08 0.05	0.06 0.12		
	(PL-1)-1	0.28 0.02	0.26 -0.03			-0.06		-0.04
		-0.03 0.00	-0.02 0.00	-0.01	0.00	0.00	0.00	0.00
	(PL-1)-2		-0.02	-0.03 -0.06	-0.04			-0.07 -0.03
	(PL-1)-3	-0.02 0.00		-0.01 0.01	0.03		-0.02	
	(12 1) 3	-0.06 0.05		-0.09		-0.05		
	(PL-2)-1	-0.56	5.47	6.11	5.99	4.80		
	(-: a) a	0.19	-0.01	-0.01	-0.08 0.00	-0.06		-0.03
	(PL-2)-2	-0.59 6.24	0.03 6.08	0.13 5.15	0.56 2.82	1.82 0.91		
	(PL-2)-3			-0.05 -0.03		-0.10	-0.14	-0.15
	-							

Sanierung und Neubau Wohnheim "Thomas Müntzer

Projekt:

Baustatik - Tragwerksplanung - Bauphysik

Projekt: Sanieru Auftrags-Nr.: 24-919	ng und Neubau Wohr		Thomas Nion: 11				atum: eite:	18.12.2024
		asten -0.07 6.99	(18 A) 0.28 6.63	bschnit 1.29 5.71	tte je 3.71 -1.30	0.98m) 5.74	6.59	[kN/m] 6.95
Qk.S	BS-Qk.S -	-0.04 0.00 0.11	0.03 0.00 0.10	0.03 0.01 0.08	0.03 0.02 -0.12	0.02 0.05	0.02	0.01 0.10
Qk.W		-0.01 0.00 0.01	0.00 0.00 0.01	0.00 0.00 0.01	0.00 0.00 -0.01	0.00 0.01	0.00 0.01	
	(Qk.W)-090 - (g): Lastfall	0.02 0.00 -0.05 beinhal	-0.01 0.00 -0.04 tet Eigen	-0.01 0.00 -0.03 gewicht (-0.01 0.05		-0.03	
₩-3 Gk		asten		schnitt		0.98m) 44.34	45.64	[kN/m] 43.76
GK		58.05 22.99 1.86		24.79	2.59	0.83	0.48	0.28
Qk.N	BS-Qk.N	-0.70 0.95	4.07	12.70	1.33	0.43	0.24	0.14
	(PL-1)-1	0.36	0.01	0.04	0.00	0.00	0.00	0.00
	(PL-1)-2 -	0.00	-0.10	-0.44	-0.04	-0.02	-0.02	-0.01
		0.03 L4.55 -0.15	5.59	9.91	0.18	-0.11	-0.05	-0.02
	(PL-2)-1	0.04	-0.02	-0.04	-0.01	-0.01	0.00	0.00
		-0.37 -0.10	-0.15	-0.38	-0.05	0.02	0.06	0.07
	(PL-2)-3 -	-3.56 -1.22	2.94	14.67	4.86	6.31	6.86	6.17
Qk.S	BS-Qk.S	0.37 -0.14	1.59	4.96	0.52	0.17	0.10	0.06
Qk.W	(Qk.w)-000	0.05	0.19	0.61	0.06	0.02	0.01	0.01
	(Qk.W)-090	-0.16	-0.67	-2.10	-0.22	-0.07	-0.04	-0.02
	(g): Lastfall	0.06 beinhal	tet Eigen	gewicht (27.38 kn/	m) der Wa	ınd	
Koordinaten	Position				L	änge [m]	x [m]	y [m]
	W-1					7.85	6.31	3.79 11.64
	W-2				1	7.68	$\frac{6.31}{24.00}$	11.64

	VV — Z					.00	0.51	TT.04
							24.00	11.64
	W-3				-	7.85	24.00	3.79
							24.00	11.64
io Aboobnitt	Dooition	n Koons	linatan	ia Ah	hni+	+0000	•	[m]
je Abschnitt	<u>Position</u>	11001.0	ıınaten					[m]
	W-1						0.98m)	
		0.98	1.96	2.94	3.93	4.91	5.89	6.87
		7.85						
	W-2			(18 Ab	schnit	te ie	0.98m)	
		0.98	1.96	2.95	3.93	4.91	5.89	6.88
		7.86	8.84	9.82	10.81	11.79	12.77	13.75

Baustatik - Tragwerksplanung - Bauphysik

Projekt: Sanierung und Neubau Wohnheim "Thomas Müntzer Datum: 18.12.2024 Auftrags-Nr.: 24-919 Position: 11-1 Seite: 193

Position					tsende		[m]
-	14.74	15.72	16.70				
W-3			(8 Ab	schnit [.]	te je 0	.98m)	
	0.98	1.96	2.94	3.93	4.91	5.89	6.87
	7.85						

	7.0	35			
vernachlässigte	Position	in	Dokumentation		übergabe
Lasten				positiv	
			[kN]	[kN]	[kN]
	W-1(1)		0.00840	0.00000	0.00000
	W-1(5)		0.01132	0.00000	0.00000
	W-1(6)		0.00673	0.00000	0.00000
	W-1(7)		-0.00221	0.00000	0.00000
	W-1(8)		-0.00421	0.00000	0.00000
	W-2(1)		-0.00093	0.00000	0.00000
	W-2(2)		0.00854	0.00000	0.00000
	W-2(3)		0.01061	0.00000	0.00000
	W-2(4)		0.00827	0.00000	0.00000
	W-2(5)		-0.00998	0.00000	0.00000
	W-2(6)		-0.00456	0.00000	0.00000
	W-2(7)		0.00579	0.00000	0.00000
	W-2(8)		0.01087	0.00000	0.00000
	W-2(9)		0.01192	0.00000	0.00000
	W-2(10)		-0.00422	0.00000	0.00000
	W-2(11)		-0.00879 0.00640	0.00000	0.00000
	W-2(12) W-2(13)		0.00199	0.00000	0.00000
	W-2(13) W-2(14)		0.00159	0.00000	0.00000
	W-2(14) W-2(15)		0.00236	0.00000	0.00000
	W-2(16)		0.00210	0.00000	0.00000
	W-2(17)		-0.00550	0.00000	0.00000
	W-2(18)		0.00014	0.00000	0.00000
	W-3(2)		0.00750	0.00000	0.00000
	W-3(4)		0.00261	0.00000	0.00000
	W-3(5)		-0.00629	0.00000	0.00000
	W-3(6)		-0.00377	0.00000	0.00000
	W-3(7)		0.00476	0.00000	0.00000
	W-3(8)		0.00142	0.00000	0.00000
	5(5)		0.00112		

Lastsummen

Einwirkungsweise Lastsummen der Punktlasten und Linienlast-Resultierenden, getrennt nach positiven und negativen Anteilen

Lasten aus Lastgruppen werden nicht berücksichtigt.

	Position	EW	Art Σpositiv Σnegativ
			[kN] [kN]
Punktlasten	ST-1	Gk	PGr 326.19
		Qk.N	PGr 120.50 -9.49
		Qk.S	PGr 11.74 0.00
	ST-2	Gk	PGr 468.83
		Qk.N	PGr 162.33 -1.42
		Qk.S	PGr 16.73 0.00
	ST-3	Gk	PGr 61.00
		Qk.N	PGr 36.00 -18.74
		Qk.S	PGr 0.99 0.00
	ST-4	Gk	PGr 28.97
		Qk.N	PGr 24.90 -18.43
		Qk.S	PGr 0.04 0.00
Linienlasten	W-1	Gk	PGr 383.87
		Qk.N	PGr 67.24 -7.83

Projekt: Sanierung und Neubau Wohnheim "Thomas Müntzer Datum: 18.12.2024 Auftrags-Nr.: 24-919 Position: 11-1 Seite: 194

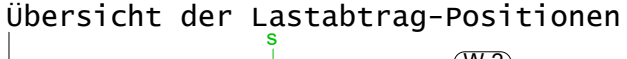
Position	EW	Art	ΣpositivΣ	Cnegativ
			[kN]	[kN]
	Qk.S	PGr	5.16	-0.05
W-2	Gk	PGr	740.82	
	Qk.N	PGr	103.75	-5.67
	Qk.S	PGr	0.67	-0.16
W-3	Gk	PGr	451.44	
	Qk.N	PGr	90.52	-7.71
	Qk.S	PGr	7.61	-0.14

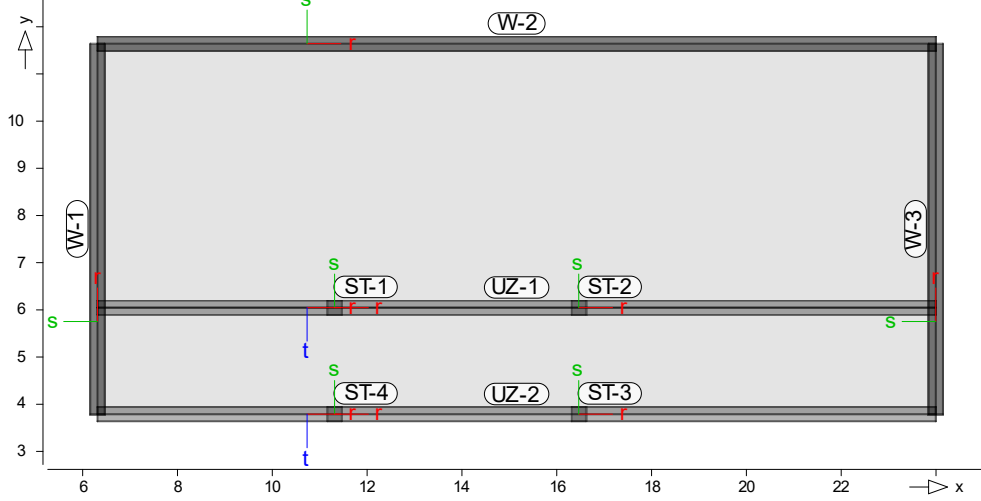
PGr: Gravitationslast; positive Lasten wirken senkrecht nach unten

Lastabtrag / Einzelwerte

Positionsgrafik

Lastübergabe als Lastabtrag oder Einzelwerte für MicroFe und BauStatik





Stützenlager

Die Auflagerreaktionen einer Stützenlagerposition werden als Zahlenwerte für die Übernahme in der BauStatik zur Verfügung gestellt.

aus Überlagerung

charakteristische Auflagerkraft aus MIN/MAX-Überlagerung der Lastfälle

g Volllast aller ständigen Lasten

p maximale Verkehrslast min minimale Auflagerkraft max maximale Auflagerkraft

x/y = 11.32/6.05 [m]

	IVI I ·	MS	Гί
	[kNm]	[kNm]	[kN]
g	_	_	317.98
p	_	_	133.68
min	_	_	303.50
max	_	_	451.65
x/y = 16.46/6.05 [m]			

ST-2

	Mr	Ms	Ft
	[kNm]	[kNm]	[kN]
g	<u> </u>	_	460.62
p	_	_	181.12
min	-	_	452.10
max	_	-	641.74

Projekt: Sanierung Auftrags-Nr.: 24-919	und Neubau Wohnheim "Thomas Müntzer Position: 11-1		Datum: Seite:	18.12.2024
ST-3	x/y = 16.46/3.79 [m]			
	,,, ,	Mr	Ms	Ft
	<u> </u>	[kNm]	[kNm]	[kN]
	g p	_	_	52.79 37.11
	min	-	-	33.62
ST-4	$ \text{max} \\ \text{x/y} = 11.32/3.79 [m] $	_	_	89.90
3. .	x, y 11.32, 3.73 []	Mr	Ms	Ft
		[kNm]	[kNm]	[kN]
	g	_	_	20.76 24.95
	p min	_	_	2.32
	max	_	_	45.71
je Einwirkung	charakteristische Auflagerkraft g = ständige Einwirkung	je Ein	wirkung	
ST-1	x/y = 11.32/6.05 [m]			
		Mr	Ms	Ft
Gk	-	[kNm]	[kNm]	[kN] 317.97
Qk.N	g min	_	_	-9.49
	max	-	-	120.50
Qk.S	min max	_	_	0.00 11.74
Qk.W	min	_	_	-4.98
CT 2	$\frac{\text{max}}{\text{x/y}} = 16.46/6.05 \text{ [m]}$			1.44
ST-2	x/y = 10.40/0.03 [m]	Mr	Ms	Ft
		[kNm]	[kNm]	[kN]
Gķ	g <u>.</u>			460.62
Qk.N	min max	_	_	-1.42 162.33
Qk.S	min	-		0.00
	max	-	_	16.73
Qk.W	min max	_	_	-7.10 2.05
ST-3	x/y = 16.46/3.79 [m]			2.05
		Mr	Ms	Ft
Gk	<u>a</u>	[kNm]	[kNm]	[kN] 52.79
Qk.N	g min	_	_	-18.74
	max	-	-	36.00
Qk.S	min max	-	_ _	0.00 0.99
Qk.W	min	_	_	-0.42
	max	_	_	0.12
ST-4	x/y = 11.32/3.79 [m]	Mr	Ms	Ft
		[kNm]	[kNm]	[kN]
Gķ	g .	- []	- []	20.76
Qk.N	min	-	-	-18.43 24.90
Qk.S	max min	_	_	0.00
	max	-	-	0.04
Qk.W	min max	-	-	-0.02 0.00
	mw/			3.00

Baustatik - Tragwerksplanung - Bauphysik

Projekt: Sanierung und Neubau Wohnheim "Thomas Müntzer Datum: 18.12.2024 Auftrags-Nr.: 24-919 Position: 11-1 Seite: 196

je Lastfall	charakteristische Auflagerkraft je Last	:fa11	
ST-1	x/y = 11.32/6.05 [m]		
	Mr	Ms	Ft
	[kNm]	[kNm]	[kN]
LF-1	<u> </u>		259.28
BS-Gk	-	-	58.69
BS-Qk.N BS-Qk.S	-	_	30.08 11.74
(PL-1)-1		_	14.76
(PL-1)-2	_	_	14.08
(PL-1)-3	-	-	-4.40
(PL-2)-1	-	-	30.32
(PL-2)-2 (PL-2)-3		_	31.27 -5.09
(Qk.w)-000		_	1.44
(Qk.w)-090	_	_	-4.98
ST-2	x/y = 16.46/6.05 [m]		
	Mr	Ms	Ft
	[kNm]	[kNm]	[kN]
LF-1	-	-	376.95
BS-Gk BS-Qk.N	-	_	83.67 42.88
BS-QK.N BS-Qk.S		_	16.73
(PL-1)-1	_	_	-1.31
(PL-1)-2	-	_	13.20
(PL-1)-3	-	-	24.58
(PL-2)-1	-	_	-0.11 30.85
(PL-2)-2 (PL-2)-3		-	50.82
(Qk.w)-000	_	_	
(OK.W)-000			2.05
(Qk.w)-090	<u>-</u>		2.05 -7.10
	x/y = 16.46/3.79 [m]	_	-7.10
(Qk.w)-090	Mr		-7.10 Ft
(Qk.w)-090 ST-3	- · ·	- Ms [kNm]	-7.10 Ft [kN]
(Qk.w)-090 ST-3	Mr	_ Ms [kNm] -	-7.10 Ft [kN] 47.81
(Qk.w)-090 ST-3 LF-1 BS-Gk	Mr	- Ms [kNm]	-7.10 Ft [kN] 47.81 4.97
(Qk.w)-090 ST-3 LF-1 BS-Gk BS-Qk.N	Mr	_ Ms [kNm] -	-7.10 Ft [kN] 47.81 4.97 2.55
(Qk.W)-090 ST-3 LF-1 BS-Gk BS-Qk.N BS-Qk.S (PL-1)-1	Mr	 	-7.10 Ft [kN] 47.81 4.97 2.55 0.99 -1.18
(Qk.W)-090 ST-3 LF-1 BS-Gk BS-Qk.N BS-Qk.S (PL-1)-1 (PL-1)-2	Mr	 	-7.10 Ft [kN] 47.81 4.97 2.55 0.99 -1.18 11.22
(Qk.w)-090 ST-3 LF-1 BS-Gk BS-Qk.N BS-Qk.S (PL-1)-1 (PL-1)-2 (PL-1)-3	Mr	 	-7.10 Ft [kN] 47.81 4.97 2.55 0.99 -1.18 11.22 22.22
(Qk.w)-090 ST-3 LF-1 BS-Gk BS-Qk.N BS-Qk.S (PL-1)-1 (PL-1)-2 (PL-1)-3 (PL-2)-1	Mr	 	-7.10 Ft [kN] 47.81 4.97 2.55 0.99 -1.18 11.22 22.22 -0.94
(Qk.w)-090 ST-3 LF-1 BS-Gk BS-Qk.N BS-Qk.S (PL-1)-1 (PL-1)-2 (PL-1)-3 (PL-2)-1 (PL-2)-2	Mr	 Ms [kNm] - - -	-7.10 Ft [kN] 47.81 4.97 2.55 0.99 -1.18 11.22 22.22 -0.94 -7.57
(Qk.W)-090 ST-3 LF-1 BS-Gk BS-Qk.N BS-Qk.S (PL-1)-1 (PL-1)-2 (PL-1)-3 (PL-2)-1 (PL-2)-2 (PL-2)-3 (Qk.W)-000	Mr	 Ms [kNm] - - -	-7.10 Ft [kN] 47.81 4.97 2.55 0.99 -1.18 11.22 22.22 -0.94 -7.57 -9.05 0.12
(Qk.W)-090 ST-3 LF-1 BS-Gk BS-Qk.N BS-Qk.S (PL-1)-1 (PL-1)-2 (PL-1)-3 (PL-2)-1 (PL-2)-2 (PL-2)-3 (Qk.W)-090 (Qk.W)-090	Mr [kNm] - - - - - - - - -	 Ms [kNm] - - -	-7.10 Ft [kN] 47.81 4.97 2.55 0.99 -1.18 11.22 22.22 -0.94 -7.57 -9.05
(Qk.W)-090 ST-3 LF-1 BS-Gk BS-Qk.N BS-Qk.S (PL-1)-1 (PL-1)-2 (PL-1)-3 (PL-2)-1 (PL-2)-2 (PL-2)-3 (Qk.W)-000	Mr [kNm]	Ms [kNm]	-7.10 Ft [kN] 47.81 4.97 2.55 0.99 -1.18 11.22 22.22 -0.94 -7.57 -9.05 0.12 -0.42
(Qk.W)-090 ST-3 LF-1 BS-Gk BS-Qk.N BS-Qk.S (PL-1)-1 (PL-1)-2 (PL-1)-3 (PL-2)-1 (PL-2)-2 (PL-2)-3 (Qk.W)-090 (Qk.W)-090	Mr [kNm]	Ms [kNm]	-7.10 Ft [kN] 47.81 4.97 2.55 0.99 -1.18 11.22 22.22 -0.94 -7.57 -9.05 0.12 -0.42
(Qk.W)-090 ST-3 LF-1 BS-Gk BS-Qk.N BS-Qk.S (PL-1)-1 (PL-1)-2 (PL-1)-3 (PL-2)-1 (PL-2)-2 (PL-2)-3 (Qk.W)-090 ST-4	Mr [kNm]	Ms [kNm]	-7.10 Ft [kN] 47.81 4.97 2.55 0.99 -1.18 11.22 22.22 -0.94 -7.57 -9.05 0.12 -0.42 Ft [kN]
(Qk.W)-090 ST-3 LF-1 BS-Gk BS-Qk.N BS-Qk.S (PL-1)-1 (PL-1)-2 (PL-1)-3 (PL-2)-1 (PL-2)-2 (PL-2)-3 (Qk.W)-090 ST-4 LF-1	Mr [kNm]	Ms [kNm]	-7.10 Ft [kN] 47.81 4.97 2.55 0.99 -1.18 11.22 22.22 -0.94 -7.57 -9.05 0.12 -0.42 Ft [kN] 20.56
(Qk.W)-090 ST-3 LF-1 BS-Gk BS-Qk.N BS-Qk.S (PL-1)-1 (PL-1)-2 (PL-1)-3 (PL-2)-1 (PL-2)-2 (PL-2)-3 (Qk.W)-090 ST-4 LF-1 BS-Gk	Mr [kNm]	Ms [kNm]	-7.10 Ft [kN] 47.81 4.97 2.55 0.99 -1.18 11.22 22.22 -0.94 -7.57 -9.05 0.12 -0.42 Ft [kN] 20.56 0.20
(Qk.W)-090 ST-3 LF-1 BS-Gk BS-Qk.N BS-Qk.S (PL-1)-1 (PL-1)-2 (PL-1)-3 (PL-2)-1 (PL-2)-2 (PL-2)-3 (Qk.W)-090 ST-4 LF-1 BS-Gk BS-Qk.N BS-Qk.S	Mr [kNm]	Ms [kNm]	-7.10 Ft [kN] 47.81 4.97 2.55 0.99 -1.18 11.22 22.22 -0.94 -7.57 -9.05 0.12 -0.42 Ft [kN] 20.56 0.20 0.10 0.04
(Qk.W)-090 ST-3 LF-1 BS-Gk BS-Qk.N BS-Qk.S (PL-1)-1 (PL-1)-2 (PL-1)-3 (PL-2)-1 (PL-2)-2 (PL-2)-3 (Qk.W)-090 ST-4 LF-1 BS-Gk BS-Qk.N BS-Qk.S (PL-1)-1	Mr [kNm]	Ms [kNm]	-7.10 Ft [kN] 47.81 4.97 2.55 0.99 -1.18 11.22 22.22 -0.94 -7.57 -9.05 0.12 -0.42 Ft [kN] 20.56 0.20 0.10 0.04 12.78
(Qk.W)-090 ST-3 LF-1 BS-Gk BS-Qk.N BS-Qk.S (PL-1)-1 (PL-1)-2 (PL-1)-3 (PL-2)-1 (PL-2)-2 (PL-2)-3 (Qk.W)-090 ST-4 LF-1 BS-Gk BS-Qk.N BS-Qk.S (PL-1)-1 (PL-1)-2	Mr [kNm]	Ms [kNm]	-7.10 Ft [kN] 47.81 4.97 2.55 0.99 -1.18 11.22 22.22 -0.94 -7.57 -9.05 0.12 -0.42 Ft [kN] 20.56 0.20 0.10 0.04 12.78 12.02
(Qk.W)-090 ST-3 LF-1 BS-Gk BS-Qk.N BS-Qk.S (PL-1)-1 (PL-1)-2 (PL-1)-3 (PL-2)-1 (PL-2)-2 (PL-2)-3 (Qk.W)-090 ST-4 LF-1 BS-Gk BS-Qk.N BS-Qk.S (PL-1)-1 (PL-1)-2 (PL-1)-3	Mr [kNm]	Ms [kNm]	-7.10 Ft [kN] 47.81 4.97 2.55 0.99 -1.18 11.22 22.22 -0.94 -7.57 -9.05 0.12 -0.42 Ft [kN] 20.56 0.20 0.10 0.04 12.78 12.02 -4.37
(Qk.W)-090 ST-3 LF-1 BS-Gk BS-Qk.N BS-Qk.S (PL-1)-1 (PL-1)-2 (PL-1)-3 (PL-2)-1 (PL-2)-2 (PL-2)-3 (Qk.W)-090 ST-4 LF-1 BS-Gk BS-Qk.N BS-Qk.S (PL-1)-1 (PL-1)-2 (PL-1)-3 (PL-1)-3 (PL-2)-1	Mr [kNm]	Ms [kNm]	-7.10 Ft [kN] 47.81 4.97 2.55 0.99 -1.18 11.22 22.22 -0.94 -7.57 -9.05 0.12 -0.42 Ft [kN] 20.56 0.20 0.10 0.04 12.78 12.02 -4.37 -6.00
(Qk.W)-090 ST-3 LF-1 BS-Gk BS-Qk.N BS-Qk.S (PL-1)-1 (PL-1)-2 (PL-1)-3 (PL-2)-1 (PL-2)-2 (PL-2)-3 (Qk.W)-090 ST-4 LF-1 BS-Gk BS-Qk.N BS-Qk.S (PL-1)-1 (PL-1)-2 (PL-1)-3	Mr [kNm]	Ms [kNm]	-7.10 Ft [kN] 47.81 4.97 2.55 0.99 -1.18 11.22 22.22 -0.94 -7.57 -9.05 0.12 -0.42 Ft [kN] 20.56 0.20 0.10 0.04 12.78 12.02 -4.37

Baustatik - Tragwerksplanung - Bauphysik

Sanierung und Neubau Wohnheim "Thomas Müntzer Proiekt: 18.12.2024 Datum: Position: 11-1 Auftrags-Nr.: 24-919 Seite: 197

	Mr	Ms	Ft
	[kNm]	[kNm]	[kN]
(Qk.W)-090	-	_	-0.02

Wandlager

Die Auflagerreaktionen entlang einer Wandlagerposition werden in eine Trapezlast überführt und als Zahlenwerte für die Übernahme in der BauStatik zur Verfügung gestellt. Dazu werden für jeden Lastfall die Auflagerkräfte entlang eines Wandlagers derart in eine Trapezlast umgerechnet, dass deren Resultierende mit ihrer Exzentrizität der des originalen Kräfteverlaufs entlang des Wandlagers entspricht. Die Trapezbelastung wird über die Lastordinaten am Anfang A und Ende E beschrieben (M=(A+E)/2). Falls die Wandlagerposition aus mehreren Kanten besteht, wird A und E für die gesamte Wandlagerposition berechnet und zusätzlich A(i) und E(i) für jede Kante i der Wandlagerposition. (Die Auswertung für A und E über eine geknickte Wandlagerposition sollte nur für nahezu geradlinige Wandlager übernommen werden.)

Lastwert maximaler Lagerabschnitt Abs Abstand der Resultierenden zur Mitte des e Polygonabschnitts

Resultierende Gesamtauflagerkraft Res

aus Überlagerung

charakteristische Trapez-Wandlagerkraft aus MIN/MAX-Überlagerung der Lastfälle

Volllast aller ständigen Lasten g р maximale Verkehrslast-Resultierende min minimale Auflagerkraft-Resultierende maximale Auflagerkraft-Resultierende max

W-1 $L\ddot{a}nge = 7.85 m$

Kraft Ft

	⊢t,Abs	Ft,A	⊢t,M	⊦t,E	е	⊦t,Res
	[kN/m]	[kN/m]	[kN/m]	[kN/m]	[m]	[kN]
g	72.23	38.92	21.51	4.11	-1.06	168.92
p	29.75	16.38	8.76	1.14	-1.14	68.77
min	-2.90	36.85	20.78	4.70	-1.01	163.12
max	101.98	55.29	30.27	5.25	-1.08	237.69

W-2 $L\ddot{a}nge = 17.68 m$

Kraft Ft

	⊢t,Abs	Ft,A	⊦t,M	⊦t,E	е	⊦t,Res
	[kN/m]	[kN/m]	[kN/m]	[kN/m]	[m]	[kN]
g	19.01	13.92	14.52	15.13	0.12	256.76
p	7.28	5.44	5.65	5.86	0.11	99.90
min	-5.21	13.81	14.44	15.06	0.13	255.29
max	26.29	19.36	20.17	20.98	0.12	356.65

W-3 $L\ddot{a}nge = 7.85 m$

Kraft Ft

	$F_{t,Abs}$	Ft,A	Ft,M	$F_{t,E}$	е	$F_{t,Res}$
	[kN/m]	[kN/m]	[kN/m]	[kN/m]	[m]	[kN]
g	108.38	60.50	30.12	-0.27	-1.32	236.49
p	42.88	24.00	11.89	-0.23	-1.33	93.32
min	-5.10	58.77	29.44	0.12	-1.30	231.20

MicroFe, 2025.004

Baustatik - Tragwerksplanung - Bauphysik

Projekt: Sanierung (Auftrags-Nr.: 24-919	und Neubau W		homas Mün on: 11-1	tzer		Datum: Seite:	18.12.2024 198
Kraft Ft	max	F _{t,Abs} [kN/m] 151.26	F _{t,A} [kN/m] 84.50	F _{t,M} [kN/m] 42.00	F _{t,E} [kN/m] -0.50	e [m] -1.32	F _{t,Res} [kN] 329.81
je Einwirkung	charakte g Reihenfo		stä abe min max min max min		gerkraft inwirkur		wirkung
W-1	Länge =	7.85 m					
Kraft Ft		F _{t,Abs}	F _{t,A}	F _{t,M}	F _{t,E}	e [m]	F _{t,Res}
Gk Qk.N	g min max min max min	[kN/m] 72.23 -1.82 25.68	[kN/m] 38.92 -1.44 14.71 -1.44 14.71 12.46 0.82	[kN/m] 21.51 -0.46 8.03 -0.46 8.03 4.45 3.11	[kN/m] 4.11 0.51 1.34 0.51 1.34 -3.55	[m] -1.06 -2.76 -1.09 -2.76 -1.09 -2.35 0.96	[kN] 168.92 -3.63 63.03 -3.63 63.03 34.45
Qk.S	max min max min max min max	0.00 3.63	0.82 0.00 1.48 0.00 1.48 1.48	0.00 0.65 0.00 0.65 0.65 0.00	5.40 0.00 -0.18 0.00 -0.18 -0.18 0.00	0.96 0.00 -1.67 0.00 -1.67 -1.67 0.00	24.45 0.00 5.11 0.00 5.11 5.11 0.00
Qk.W	min max min max min max	-1.54 0.45	-0.63 0.18 -0.63 0.18 0.18 -0.63	-0.28 0.08 -0.28 0.08 0.08 -0.28	0.08 -0.02 0.08 -0.02 -0.02 0.08	-1.67 -1.67 -1.67 -1.67 -1.67	-2.17 0.63 -2.17 0.63 0.63 -2.17
W-2	Länge = 1	17.68 m					
Kraft Ft		F _{t,Abs} [kN/m]	F _{t,A} [kN/m]	F _{t,M} [kN/m]	F _{t,E} [kN/m]	e [m]	F _{t,Res} [kN]
Gk Qk.N	g min max min max min	19.01 -0.16 7.16	13.92 -1.28 6.61 -0.10 5.44 3.92	14.52 2.26 3.28 -0.07 5.62 1.32	15.13 5.80 -0.04 -0.04 5.80 -1.28	0.12 4.61 -2.99 -1.27 0.10 -5.82	256.76 40.01 58.07 -1.25 99.33 23.31
Qk.S	max min max min max min	0.00 0.11	1.42 0.00 0.01 0.00 0.01 0.00 0.01	4.23 0.00 0.03 0.00 0.03 0.00 0.03	7.04 0.00 0.05 0.00 0.05 0.00 0.05	1.96 0.00 2.34 0.00 2.34 0.00 2.34	74.78 0.00 0.50 0.00 0.50 0.00 0.50
Qk.W	max min max min max min max	-0.05 0.01	0.01 0.00 0.00 0.00 0.00 0.00	-0.01 0.00 -0.01 0.00 -0.01 0.00	-0.02 0.01 -0.02 0.01 -0.02 0.01	2.34 2.34 2.34 2.34 2.34 2.34	-0.21 0.06 -0.21 0.06 -0.21 0.06

Projekt: Sanierung und Neubau Wohnheim "Thomas Müntzer 18.12.2024 Datum: Position: 11-1 Auftrags-Nr.: 24-919 Seite: 199

Auftrags-Nr.: 24-919		Positi	on: 11-1			Seite:	199
W-3	Länge = 7	.85 m					
Kraft Ft		F _{t,Abs}	F _{t,A}	F _{t,M}	F _{t,E}	е	$F_{t,Res}$
Cl.		[kN/m]	[kN/m]	[kN/m]	[kN/m]	[m]	[kN]
Gk Qk.N	g min	108.38 -0.95	60.50 -0.79	30.12 -0.27	-0.27 0.25	-1.32 -2.53	236.49 -2.12
Q.C.T.	max	37.31	21.52	10.82	0.11	-1.30	84.93
	min		-0.79	-0.27	0.25	-2.53	-2.12
	max min		21.52 17.34	10.82 6.18	$0.11 \\ -4.98$	-1.30 -2.36	84.93 48.54
	max		3.39	4.37	5.34	0.29	34.27
Qk.S	min	0.00	0.00	0.00	0.00	0.00	0.00
	max min	4.96	2.20 0.00	0.95	-0.30 0.00	-1.72 0.00	7.47 0.00
	max		2.20	0.95	-0.30	-1.72	7.47
	min		2.20	0.95	-0.30	-1.72	7.47
Qk.W	max min	-2.10	0.00 -0.94	0.00 -0.40	$0.00 \\ 0.13$	0.00 -1.72	0.00 -3.17
QK.W	max	0.61	0.27	0.12	-0.04	-1.72	0.92
	min		-0.94	-0.40	0.13	-1.72	-3.17
	max min		0.27 0.27	$ \begin{array}{c} 0.12 \\ 0.12 \end{array} $	-0.04	-1.72 -1.72	0.92 0.92
	max		-0.94	-0.40	0.13	-1.72	-3.17
je Lastfall	charakter	istische	ranez	-Wandla	gerkraft	·ie Las	tfall
						. J = ===	
W-1	Länge = 7	.65 111					
Kraft Ft		F _{t,Abs}	F _{t,A}	F _{t,M}	F _{t,E}	e [m]	F _{t,Res}
LF-1		[kN/m] 54.08	[kN/m] 31.50	[kN/m] 18.26	[kN/m] 5.01	[m] -0.95	[kN] 143.35
BS-Gk		18.15	7.41	3.26	-0.90	-1.67	25.57
BS-Qk.N BS-Qk.S		9.30 3.63	3.80 1.48	1.67 0.65	-0.46 -0.18	-1.67 -1.67	$\begin{array}{c} 13.11 \\ 5.11 \end{array}$
(PL-1)-1		9.60	8.07	2.59	-2.89	-2.77	20.32
(PL-1)-2		-1.09	-0.83	-0.28	0.27	-2.57	-2.20
(PL-1)-3 (PL-2)-1		0.58 9.00	0.40 2.26	0.13 3.58	-0.15 4.89	-2.80 0.48	1.00 28.08
(PL-2)-1 (PL-2)-2		-0.98	-0.60	-0.18	0.24	-3.04	-1.42
(PL-2)-3		0.28	0.19	0.07	-0.06	-2.41	0.52
(Qk.W)-000		0.45	0.18	0.08	-0.02	-1.67	0.63
(Qk.w)-090		-1.54	-0.63	-0.28	0.08	-1.67	-2.17
W-2	Länge = 1	./.68 m					
Kraft Ft		Ft,Abs	F _{t,A}	Ft,M	F _{t,E}	е	F _{t,Res}
LF-1		[kN/m] 18.46	[kN/m] 13.89	[kN/m] 14.38	[kN/m] 14.87	[m] 0.10	[kN] 254.24
BS-Gk		-0.61	0.03	0.14	0.26	2.34	2.52
BS-Qk.N		-0.31	0.02	0.07	0.13	2.34	1.29
BS-Qk.S (PL-1)-1		-0.12 -0.06	0.01 -0.04	0.03 -0.02	0.05 0.01	2.34 -4.01	0.50 -0.30
(PL-1)-1 (PL-1)-2		-0.07	-0.04	-0.02	-0.03	-0.80	-0.60
(PL-1)-3		-0.12	-0.02	-0.02	-0.02	0.32	-0.34
(PL-2)-1		6.11	3.98	1.37	-1.24	-5.60 -1.25	24.25 32.53
(PL-2)-2 (PL-2)-3		6.24 6.99	2.62 -1.18	1.84 2.33	1.06 5.84	4.43	32.33 41.26
(Qk.w)-000		-0.02	0.00	0.00	0.01	2.34	0.06
(Qk.W)-090		0.05	0.00	-0.01	-0.02	2.34	-0.21

Baustatik - Tragwerksplanung - Bauphysik

Projekt: Sanierung und Neubau Wohnheim "Thomas Müntzer Datum: 18.12.2024 Auftrags-Nr.: 24-919 Position: 11-1 Seite: 200

١.,		2
w	_	ъ.

 $L\ddot{a}nge = 7.85 m$

Kraft Ft	F _{t,Abs}	$F_{t,A}$	Ft,M	$F_{t,E}$	е	$F_{t,Res}$
	[kN/m]	[kN/m]	[kN/m]	[kN/m]	[m]	[kN]
LF-1	83.60	49.48	25.36	1.24	-1.24	199.14
BS-Gk	24.79	11.02	4.76	-1.51	-1.72	37.35
BS-Qk.N	12.70	5.65	2.44	-0.77	-1.72	19.14
BS-Qk.S	4.96	2.20	0.95	-0.30	-1.72	7.47
(PL-1)-1	0.07	0.05	0.01	-0.02	-2.87	0.11
(PL-1)-2	-0.62	-0.47	-0.15	0.16	-2.68	-1.20
(PL-1)-3	14.55	11.65	3.74	-4.18	-2.77	29.33
(PL-2)-1	-0.04	0.00	-0.01	-0.01	0.74	-0.05
(PL-2)-2	-0.38	-0.33	-0.11	0.10	-2.51	-0.88
(PL-2)-3	14.67	4.18	4.63	5.08	0.13	36.35
(Qk.w)-000	0.61	0.27	0.12	-0.04	-1.72	0.92
(Qk.w)-090	-2.10	-0.94	-0.40	0.13	-1.72	-3.17

Detailnachweise

Übergabe als Detailnachweise für BauStatik

Übersicht

Übersicht der Detailnachweise und zugehörige BauStatik-Module

Modul	Position
s340.de	UZ-1, UZ-2

Lastmodell Balken

Alternativnachweis für Durchlaufträger

Randbedingungen

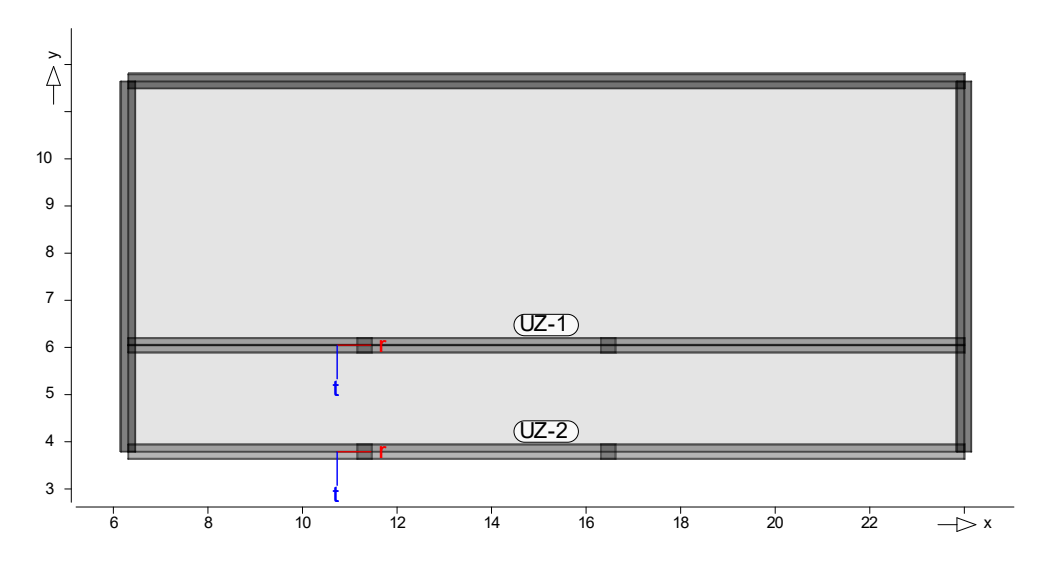
Ersatzsystem für das Lastmodell Balken

- Die Berechnung erfolgt an einem modifizierten Ersatzsystem
- Alle Unterzüge und Stäbe werden als Linienlager modelliert
- Linienlager erhalten die Steifigkeit $k_{T,t} = 1.0e+10$ $k_{N/m/m}$
- Punktlager erhalten die Steifigkeit $k_{T,t} = 1.0e+10$ $k_{N/m}$
- Unterzüge und Stäbe erhalten die Steifigkeit $k_{T,t}=1.0e+06~kN/m/m$

Projekt: Sanierung und Neubau Wohnheim "Thomas Müntzer Datum: 18.12.2024 Auftrags-Nr.: 24-919 Position: 11-1 Seite: 201

S340.de

Stahlbeton-Durchlaufträger



UZ - 1	Unterzug			
Mat./Querschnitt	Position		Material	b _{eff} /b _w /h
	UZ-1		C 30/37	[cm] 195/30/70
Feldlängen	Feld			Länge [m]
	1 2 3			5.00 5.15 7.53
Auflagerbreiten	Auflager		Material	Breite [cm]
	A B C D		Beton Beton Beton Beton	30.0 30.0 30.0 30.0
ständige Lasten	EW Gk	Belastung Eigengewicht		Aktiv ja
Blocklasten	Nr.		a	s q
Gk	1 2 3 4 5 6 7 8 9 10 11 12 13 14 15		[m] 0.00 0.98 1.96 2.95 3.93 4.91 5.89 6.88 7.86 8.84 9.82 10.81 11.79 12.77 13.75	[m] [kN/m] 0.98 28.82 0.98 53.41 0.98 59.56 0.98 61.39 0.98 62.29 0.98 62.72 0.98 62.89 0.98 62.95 0.98 62.97 0.98 62.97 0.98 62.97 0.98 62.88 0.98 62.72 0.98 62.39 0.98 62.39 0.98 62.39

Baustatik - Tragwerksplanung - Bauphysik

Projekt:	Sanierung	und Neubau	Wohnheim	"Thomas	Müntzer	Datum:	18.12.2024
Auftrags-Nr.:	24-919		Pos	ition: 1	1 - 1	Seite:	202

	Nr.	а	S	q
	10	[m]	[m]	[kN/m]
	16 17	14.74 15.72	0.98 0.98	59.56 53.31
	18	16.70	0.98	28.84
Qk.N	1 2 3 4 5 6 7 8 9	0.00	0.98	10.47
	2 3	0.98 1.96	0.98 0.98	19.68 22.07
	4	2.95	0.98	22./6
	5	3.93	0.98	23.09
	7	4.91 5.89	0.98 0.98	23.25 23.31
	8	6.88	0.98	23.33
	9	7.86	0.98	23.34 23.34
	10 11	8.84 9.82	0.98 0.98	23.34
	12	10.81	0.98	23.31
	13 14	11.79 12.77	0.98 0.98	23.25 23.09
	15	13.75	0.98	23.09
	16	14.74	0.98	22.07
	17 18	15.72 16.70	0.98 0.98	19.65
Qk.S		0.00	0.98	$\frac{10.47}{1.48}$
	1 2 3 4 5 6 7 8 9	0.98	0.98	2.41
	3 4	1.96 2.95	0.98 0.98	2.44 2.41
	5	3.93	0.98	2.40
	6	4.91	0.98	2.40
	/ 8	5.89 6.88	0.98 0.98	2.40 2.40
	9	7.86	0.98	2.40
	10	8.84	0.98	2.40
	11 12	9.82 10.81	0.98 0.98	2.40 2.40
	13	11.79	0.98	2.40
	14	12.77	0.98	2.40
	15 16	13.75 14.74	0.98 0.98	2.41 2.44
	17	15.72	0.98	2.40
Qk.w.000	18	16.70 0.00	0.98	$\begin{array}{r} 1.48 \\ \hline 0.18 \end{array}$
QK.W.000	1 2 3 4 5 6 7 8 9	0.00	0.98	0.18
	3	1.96	0.98	0.30
	4 5	2.95 3.93	0.98 0.98	0.30 0.29
	6	4.91	0.98	0.29
	7	5.89	0.98	0.29
	8 9	6.88 7.86	0.98 0.98	0.29 0.29
	10	8.84	0.98	0.29
	11	9.82	0.98	0.29
	12 13	10.81 11.79	0.98 0.98	0.29 0.29
	14	12.77	0.98	0.29
	15 16	13.75 14.74	0.98 0.98	0.30 0.30
	17	14.74 15.72	0.98	0.30
al 000	18	16.70	0.98	0.18
Qk.w.090	1	0.00 0.98	0.98 0.98	-0.63 -1.02
	2 3	1.96	0.98	-1.04

Baustatik - Tragwerksplanung - Bauphysik

Projekt: Sanierung u Auftrags-Nr.: 24-919	und Neubau Wohnheim "Thomas Müntzer Position: 11-1	•	Datum: Seite:	18.12.2024
	Nr. 4 5 6 7 8 9 10 11 12 13 14 15 16 17 18 a: Abstand des Startpunktes zum linken s: Länge der Last	a [m] 2.95 3.93 4.91 5.89 6.88 7.86 8.84 9.82 10.81 11.79 12.77 13.75 14.74 15.72 16.70 Trägerrand	s [m] 0.98 0.98 0.98 0.98 0.98 0.98 0.98 0.98	q [kN/m] -1.02 -1.02 -1.02 -1.02 -1.02 -1.02 -1.02 -1.02 -1.02 -1.02 -1.02 -1.02 -1.02 -1.02
<u>Expositionsklasse</u>	gemäß DIN EN 1992-1-1, Tab. Position Seite UZ-1 umlaufend	Kl Kommen XC1 trocke		
UZ-2	Unterzug			
Mat./Querschnitt	Position	Material	b	_{eff} /b _w /h
	UZ-2	C 30/37	400	[cm] 0/30/70
Feldlängen	Feld			Länge
	1 2 3			[m] 5.00 5.15 7.53
Auflagerbreiten	Auflager	Material		Breite [cm]
	A B C D	Beton Beton Beton Beton		30.0 30.0 30.0 30.0
ständige Lasten	EW Belastung Gk Eigengewicht			Aktiv ja
Blocklasten	Nr.	a	s	q
Gk	1 2 3 4 5 6 7 8 9 10	[m] 0.00 0.98 1.96 2.95 3.93 4.91 5.89 6.88 7.86 8.84	[m] 0.98 0.98 0.98 0.98 0.98 0.98 0.98	[kN/m] 3.09 3.91 2.19 0.86 0.14 -0.24 -0.44 -0.53 -0.58

Datum:

18.12.2024

Baustatik - Tragwerksplanung - Bauphysik

Auftrags-Nr.: 24-919	Position: 11-1		Seite:	204
	Nr. 11 12 13 14 15	a [m] 9.82 10.81 11.79 12.77 13.75	s [m] 0.98 0.98 0.98 0.98	q [kN/m] -0.54 -0.44 -0.24 0.14 0.86
Qk.N	16 17 18	14.74 15.72 16.70 0.00	0.98 0.98 0.98	2.19 3.92 3.01 2.41
	1 2 3 4 5 6 7 8 9	0.98 1.96 2.95 3.93 4.91 5.89	0.98 0.98 0.98 0.98 0.98	4.12 4.24 4.19 4.19 4.20 4.20
	10 11 12 13	6.88 7.86 8.84 9.82 10.81 11.79	0.98 0.98 0.98 0.98 0.98	4.21 4.21 4.20 4.22 4.20 4.20
	14 15 16 17 18	12.77 13.75 14.74 15.72 16.70	0.98 0.98 0.98 0.98 0.98	4.19 4.19 4.24 4.13 2.34
Qk.S	1 2 3 4 5 6	0.00 0.98 1.96 14.74 15.72 16.70	0.98 0.98 0.98 0.98 0.98	0.02 0.03 0.02 0.02 0.03 0.02
Qk.w.090	1 2 a: Abstand des Startpunktes zum linken Träger s: Länge der Last	0.98 15.72	0.98 0.98	-0.01 -0.01
<u>Expositionsklasse</u>	gemäß DIN EN 1992-1-1, Tab. 4.1 Position Seite Kl UZ-2 umlaufend XC1	Kommen trocke ständi		

Sanierung und Neubau Wohnheim "Thomas Müntzer

Projekt:

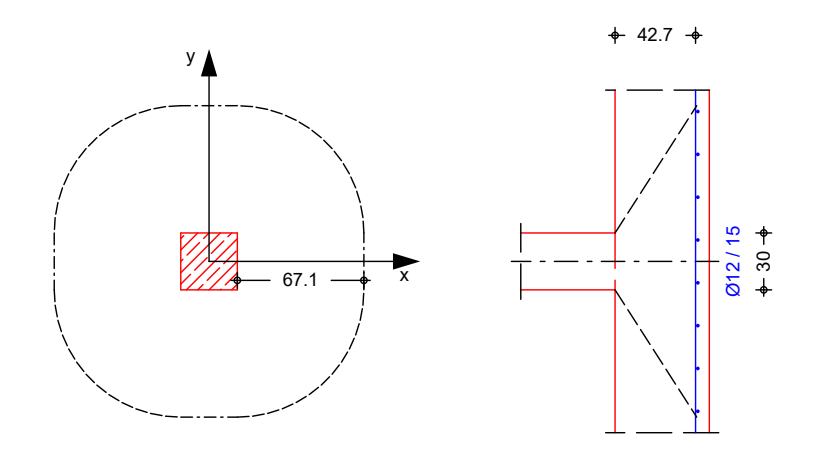
18.12.2024

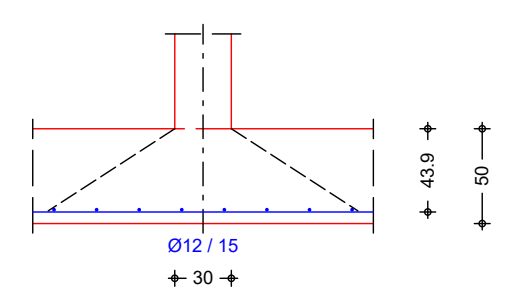
Sanierung und Neubau Wohnheim "Thomas Müntzer Projekt:

Datum: Position: 11.1 Auftrags-Nr.: 24-919 Seite: 205

Durchstanznachweis Stütze auf Pos. 11.1 **Bodenplatte**

Innenstütze, Bodenplatte ohne Öffnungen





Bodenplatte	Dicke vorh. Biegebew. Achsabstände mittlere statische	a _{sx} / a _{sy} = d' _x /d' _y = Nutzhöhe	7.54 / 6.10 /	7.54	Cm Cm ² /m Cm Cm
Rechteckstütze	Breite Höhe Abstand kritischer	Rundschnitt -	C _V =	30.00 30.00	CM CM

 $a_{crit} = 1.55 d =$ (iterativ ermittelt) 67.12 cm kritische Fläche 23105 CM^2 $A_{crit} =$

<u>Belastungen</u>	Einwirkung	$F_z[kN]$	M _x [kNm]	$M_{y}[kNm]$
	Ed	968.09	0.00	0.00

Zusammenstellungen Ed: Fz

aus Pos. '15' A (Fx), Bemessungswert, Grundkombination 2 (max)

968.088 = 968.09 kΝ

Baustatik - Tragwerksplanung - Bauphysik

Projekt: Sanierung und Neubau Wohnheim "Thomas Müntzer Datum: 18.12.2024 Auftrags-Nr.: 24-919 Position: 11.1 Seite: 206

Kombinationen

Kombinationsbildung nach DIN EN 1990 Darstellung der maßgebenden Kombinationen

Darstellung der maßgebenden Kombinati

ständig/vorüberg.

 $\frac{\mathsf{Ek} \qquad \qquad \Sigma \quad (\gamma^* \psi^* \mathsf{EW})}{1 \qquad \qquad 1.00 \mathsf{Ed}}$

Mat./Querschnitt Stahlbeton Materialwerte nach DIN EN 1992-1-1:2011-01

Bemessung (GZT)

nach DIN EN 1992-1-1, 6.4 und DIBt Europäische Techn. Bewertung ETA-12/0454 (12/21)

Bemessungswert Querkraft $V_{Ed} =$ 968.09 kΝ kN/m² Sohldruck 50.00 $\sigma_{ad} =$ reduzierte Querkraft 852.56 $V_{Ed,red} =$ kΝ Lasterhöhungsfaktor für ausmittige Lasten nach 6.4.3(6), Bild 6.21N β = 1.10 char. Vorwert 0.15 $C_{Rk,c} =$ Beiwert Einfluss Plattendicke k = 1.68 mittl. Längsbewehrungsgrad 0.17 % $\rho_1 =$

Nachweis

Rund-Abst. u V_{Ed} V_{Rd,c} V_{Rd,max} [N/mm2] [N/mm2] schnitt cml [m] $[N/mm^2]$ 0.400 < Ucrit 5.42 0.538 0.808 $0.400 \leq$

keine Durchstanzbewehrung erforderlich!

Mindestbewehrung NCI Zu 6.4.5

zur Sicherstellung der Querkrafttragfähigkeit

Rich-	η	$m_{Ed,red}$	min a _s	anzusetzende
tung	[-]	[kNm/m]	[cm2/m]	Breite
X	0.125	120.45	6.15	$b_{y}=0.3 1_{y}$
У	0.125	120.45	6.33	$b_{x}=0.3 1_{x}$
X	0.000	0.00	0.00	-
У	0.000	0.00	0.00	_
	x y	tung [-] x 0.125 y 0.125 x 0.000	tung [-] [kNm/m] x 0.125 120.45 y 0.125 120.45 x 0.000 0.00	tung [-] [kNm/m] [cm²/m] x 0.125 120.45 6.15 y 0.125 120.45 6.33 x 0.000 0.00 0.00

*: der Lasteinleitungsfläche gegenüberliegende Seite der Platte

Sanierung und Neubau Wohnheim "Thomas Müntzer

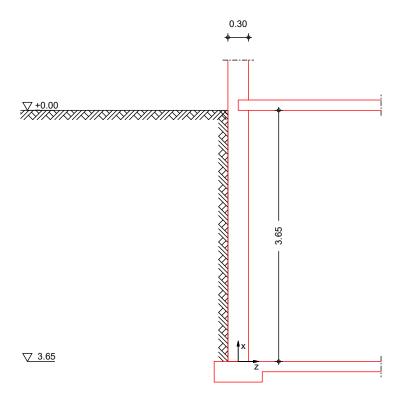
18.12.2024 Datum: Position: 12 Auftrags-Nr.: 24-919 Seite: 207

Pos. 12 Stb.-Außenwand

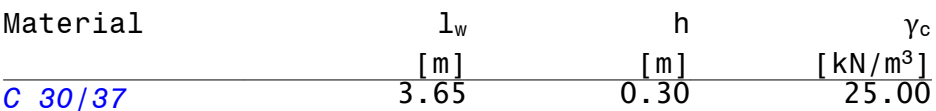
Mindestwanddicke F90 t \geq 140mm, a \geq 10mm \rightarrow erfüllt

System
M 1:55

zweiseitig gehaltene Wand



Abmessungen Mat./Querschnitt



Expositionsklassen

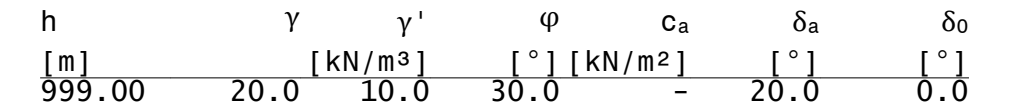
WA, WF, XC2, XC4, XD1 und XM1

Gelände

ebenes Gelände Abstand OK Gelände-Wandkopf

0.00

Boden



Erddruck

Verdichtungserddr.

Leichte Verdichtung					
verdid	chtung	gserdo	lruck		
Tiefe	nach	Bild	13		
Tiefe	nach	Bild	13		

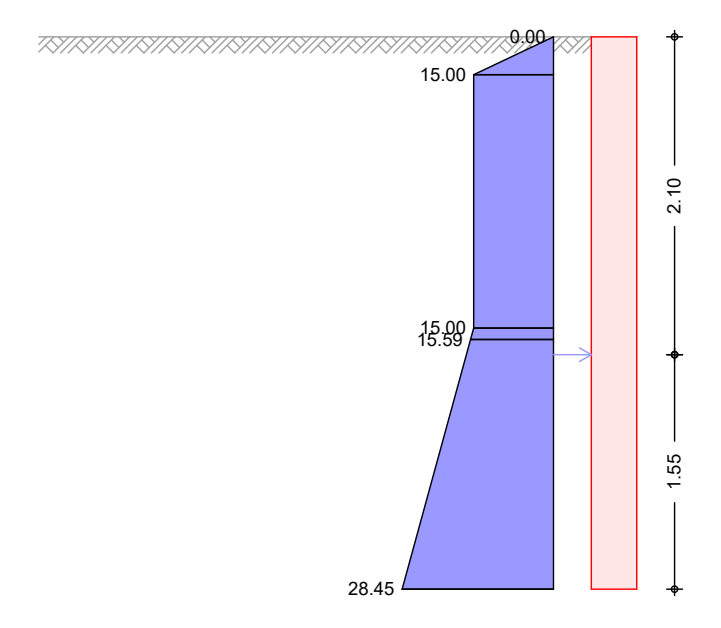
$$e_{vh} = 15.00 \text{ kN/m}^2$$

 $z_p = 0.25 \text{ m}$
 $z_a = 2.00 \text{ m}$

Baustatik - Tragwerksplanung - Bauphysik

Projekt: Sanierung und Neubau Wohnheim "Thomas Müntzer 18.12.2024 Datum: Position: 12 Auftrags-Nr.: 24-919 Seite: 208

M 1:50



Z	e _{Verd} .	Σeh
[m]	[kN/m²]	[kN/m²]
0.00	0.0	0.0
0.25	15.0	15.0
1.92		15.0
2.00	15.0	15.6
3.65	7.5	28.4

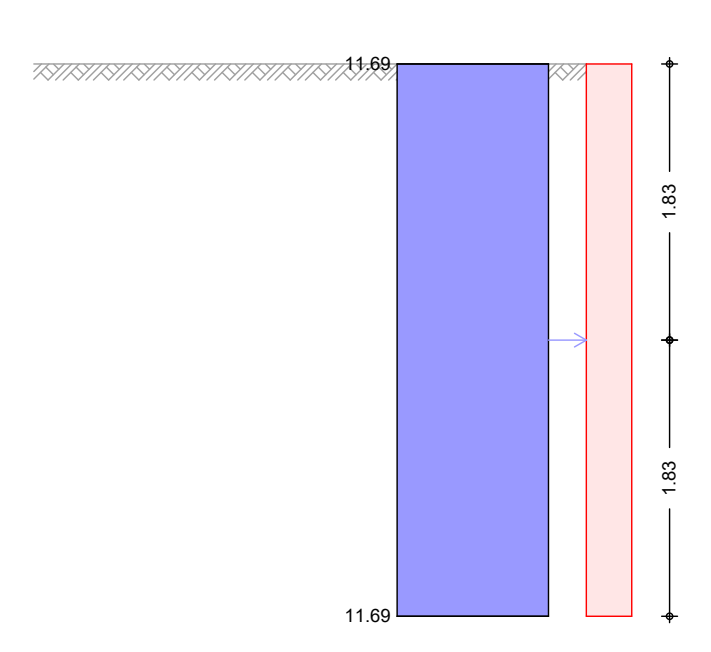
Verdichtungserddruckkraft

kN/m $E_{vh} =$ 11.37 $E_{VV} =$ kN/m $z_s =$

EW Gk

erhöhter aktiver Erddruck aus Gleichlast erdseitig Lastordinate 30.00 kN/m^2 p =

M 1:50



Baustatik - Tragwerksplanung - Bauphysik

Projekt: Sanierung und Neubau Wohnheim "Thomas Müntzer Datum: 18.12.2024 Auftrags-Nr.: 24-919 Position: 12 Seite: 209

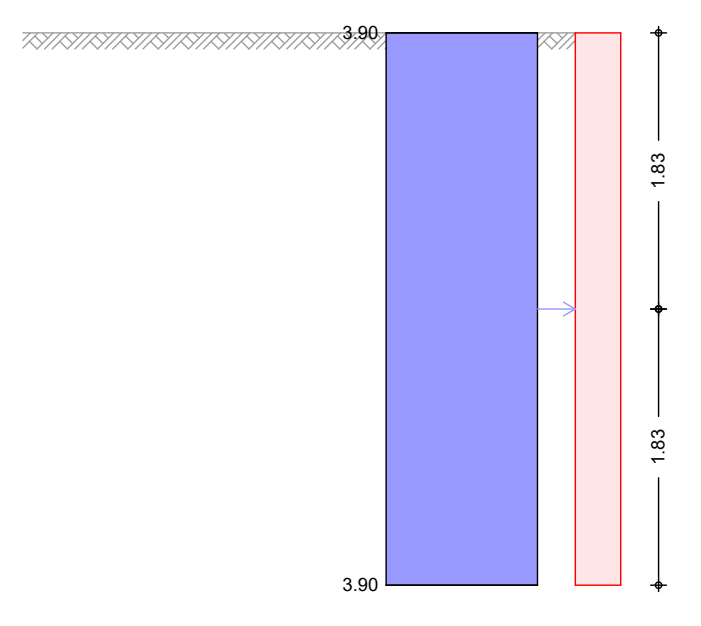
Z	Κ' _{aph}	e' _{aph}
[m] 0.00	[-]	[kN/m²]
0.00	0.390	11.69
3.65	0.390	11.69

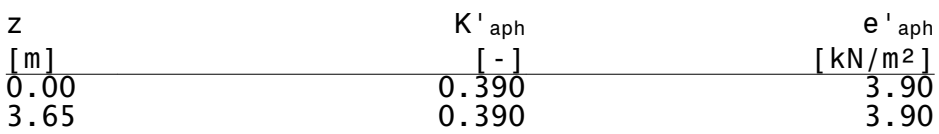
erhöhte aktive Erddruckkraft

 $E'_{ah} = 42.67 \text{ kN/m}$ $E'_{av} = 7.52 \text{ kN/m}$ $z_S = 1.83 \text{ m}$

EW Qk.N erhöhter aktiver Erddruck aus Gleichlast erdseitig Lastordinate p = 10.00 kN/m^2

M 1:50





erhöhte aktive Erddruckkraft

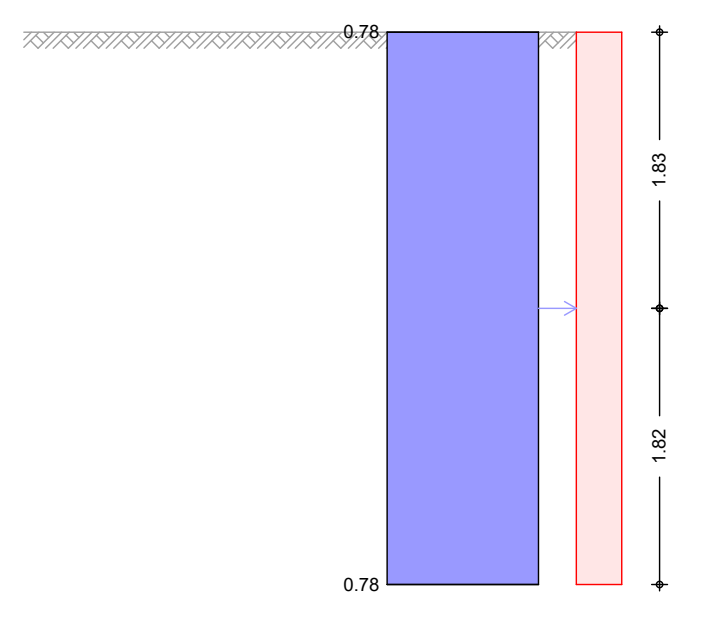
 $E'_{ah} = 14.22 \text{ kN/m}$ $E'_{av} = 2.51 \text{ kN/m}$ $z_{s} = 1.83 \text{ m}$

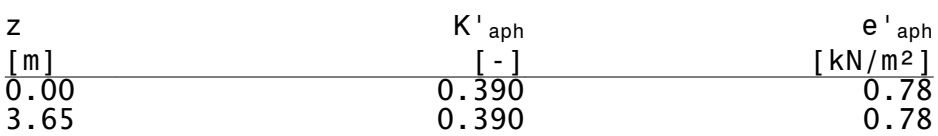
Baustatik - Tragwerksplanung - Bauphysik

Projekt: Sanierung und Neubau Wohnheim "Thomas Müntzer Datum: 18.12.2024 Auftrags-Nr.: 24-919 Position: 12 Seite: 210

EW Qk.S erhöhter aktiver Erddruck aus Gleichlast erdseitig Lastordinate $p = 2.00 \text{ kN/m}^2$

M 1:50





erhöhte aktive Erddruckkraft

 $E'_{ah} = 2.84 \text{ kN/m}$ $E'_{av} = 0.50 \text{ kN/m}$ $z_S = 1.83 \text{ m}$

Bela<u>stungen</u>

Belastungen auf das System

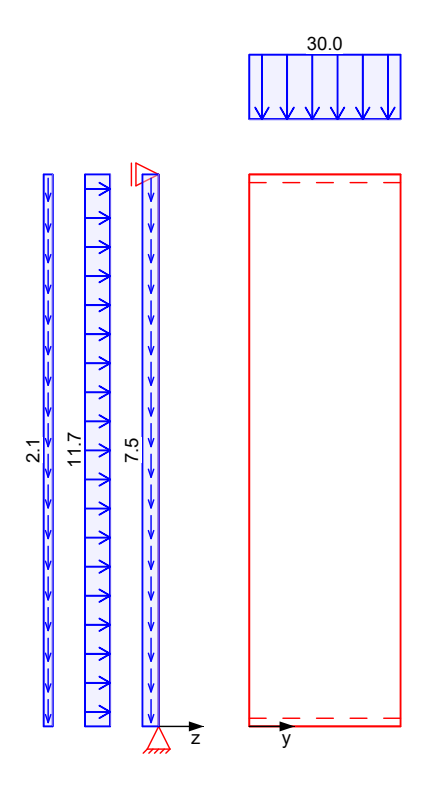
Grafik

Belastungsgrafiken (einwirkungsbezogen)

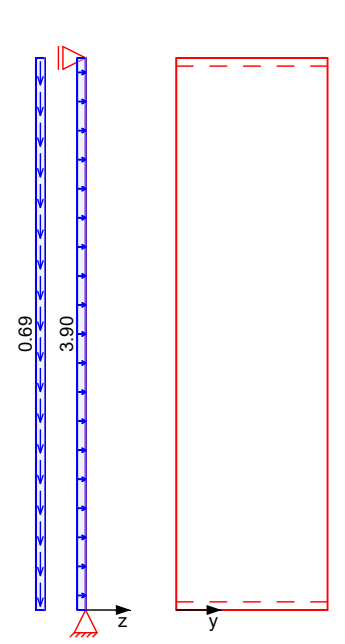
Projekt: Sanierung und Neubau Wohnheim "Thomas Müntzer Datum: 18.12.2024 Auftrags-Nr.: 24-919 Position: 12 Seite: 211

Einwirkungen

Gk



Qk.N



Datum:

18.12.2024

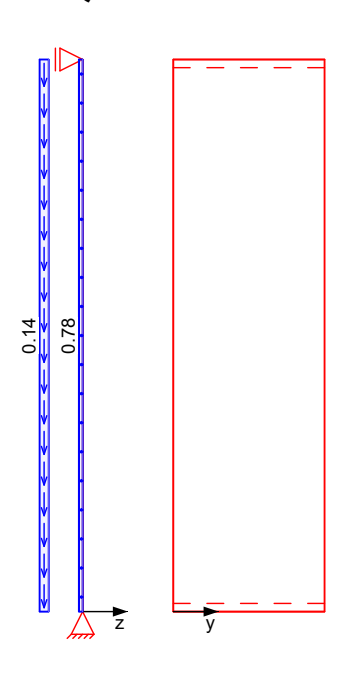
212

Baustatik - Tragwerksplanung - Bauphysik

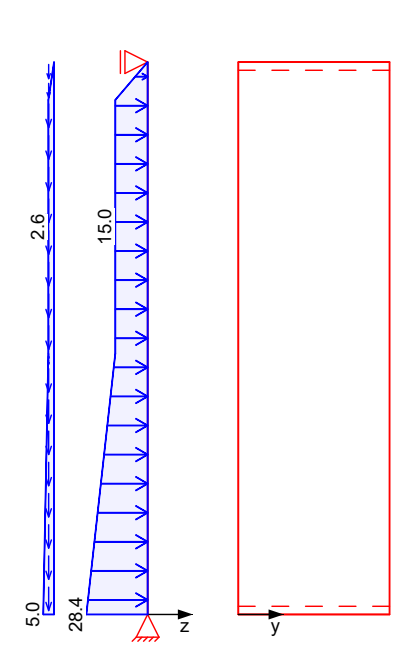
Projekt: Sanierung und Neubau Wohnheim "Thomas Müntzer

Auftrags-Nr.: 24-919 Position: 12 Seite:





Gk.E



Streckenlasten in V-Richtung

in x-Richtung

Einw. *Gk*

Flächenlasten in x-Richtung

Einw. Gk

Gleichlasten

Gleichflächenlasten

Komm.	a	S	\mathbf{q}_{u}	q_{o}
	[m]	[m]	[kN/m²]	[kN/m²]
(a) Eigengew Erddruck	0.00	3.65		7.50
Erddruck	0.00	3.65		2.06

Baustatik - Tragwerksplanung - Bauphysik

Projekt: Sanierung Auftrags-Nr.: 24-919	und Neubau Wohnh	neim "Thoma Position:		Datur Seite	
Einw. <i>Qk.N</i> Einw. <i>Qk.S</i> Einw. <i>Gk.E</i>	Erddruck Erddruck Erddruck Erddruck Erddruck Erddruck Erddruck	a [m] 0.00 0.00 0.00 1.65 1.73 3.40	s [m] 3.65 3.65 1.65 0.08 1.67 0.25	qu [kN/m ²] 5.02 2.75 2.64	q _o [kN/m ²] 0.69 0.14 2.75 2.64 2.64 0.00
(a)	aus Eigenge	wicht	25.	00*0.30 = 7	7.50 kN/m ²
Flächenlasten in z-Richtung Einw. Gk Einw. Qk.N Einw. Qk.S Einw. Gk.E	Gleichfläch Komm. Erddruck Erddruck Erddruck Erddruck Erddruck Erddruck Erddruck	menlaste a [m] 0.00 0.00 0.00 0.00 1.65 1.73 3.40	s [m] 3.65 3.65 3.65 1.65 0.08 1.67 0.25	qu [kN/m ²] 28.45 15.59 15.00	q _o [kN/m ²] 11.69 3.90 0.78 15.59 15.00 15.00 0.00
<u>Char.</u> Schnittgrößen Tabelle	charakteris Schnittgröß	en (je E [.]	inwirkung)		V
Einw. <i>Gk</i>	x [m] 3.65 1.83	[kN -30 -47	. 00* . 45	My,k [kNm/m] 0.00 19.47*	V _{z,k} [kN/m] -21.34* 0.00
Einw. <i>Qk.N</i>	0.00 3.65 1.83	0 -1	.90* .00 .25	0.00 0.00 6.49*	21.34* -7.11* 0.00
Einw. <i>Qk.S</i>	0.00 3.65 1.83 0.00	0 -0	.51* .00 .25 .50*	0.00 0.00 1.30* 0.00	7.11* -1.42* 0.00
Einw. <i>Gk.E</i>	3.65 1.70 0.00	0 -4	.00 .83 .37*	0.00 0.00 28.35* 0.00	1.42* -27.37* 0.00 37.11*
<u>Kombinationen</u>	Kombination Darstellung	sbildung g der ma	nach DIN Bgebenden	EN 1990 Kombinationer	1
ständig/vorüberg. quasi-ständig	$\begin{array}{cccc} Ek & \Sigma & (\gamma^*) \\ \hline 4 & 1.35^* \\ & +1.35^* \\ 22 & 1.00^* \\ \end{array}$	Gk Gk.E	+1.50*Qk +0.30*Qk		•
<u>Mat./Querschnitt</u>	Material- u 1:2011-01	nd Querso	chnittswer	te nach DIN EN	1992-1-
Material	Material C 30/37		f _c [N/mm ²] 30.0	[N/mm ²]	E [N/mm ²] 33000
	D 500CA			500 0	200000

200000

500.0

B 500SA

Baustatik - Tragwerksplanung - Bauphysik

Projekt: Sanierung und Neubau Wohnheim "Thomas Müntzer Datum: 18.12.2024

Auftrags-Nr.: 24-919 Position: 12 Seite: 214

Expositionsklassen	Expositionsklas			
Abs. 4.2, 4.4	Seite außen e	XD1 mäßige XM1 Mäßige Versch WA Häufig feuch Alkal	elnd nass und trocken e Feuchte e nleißbeanspruchung g oder längere Zeit ter Beton mit izufuhr von außen	
	innen	WF Häufig feuch e: Es sir Anford Geste	selten trocken g oder längere Zeit ter Beton nd zusätzliche derungen an die inskörnung zu ksichtigen	
Bewehrungsanordnung	Achsabstände, E Bezug	Setondeckunge _{Cmin} Δc _{dev}	en Cnom d¢morizontΩl'verti	ikal
	außen innen	[mm] [mm] 40 15 20 15	[mm] [mm] [mm] [m 55 55 61 35 35 41	nm] 72 52
Bemessung (GZT)	für den Grenzzus 1992-1-1:2011-01		gfähigkeit nach DIN EN	
Stabilität Ek 4	Nachweis der Kni Knicklastfaktor Schlankheit Knicklängenbeiwe ungew. Ausmitte	ert	$\begin{array}{cccccccccccccccccccccccccccccccccccc$	- - - cm
Schnittgr./Verform. lin. Th. II.O.	x n _{Ed} [m] [kN/m] 3.65 40.50 3.40 44.46 1.78 73.06 1.73 73.95 1.65 75.28 0.00 107.10	0.00 - 18.48 - 75.29 75.26 75.01	VEd W kN/m] [cm] [ra 77.55 0.00 0.001 69.47 0.03 0.001 -0.44 0.14 -0.000 1.69 0.14 -0.000 4.93 0.14 -0.000 90.75 0.00 -0.001	123 119 104 109 116
Schnittgr./Verform. nichtlin. Th. II.O.	$\begin{array}{c cc} x & n_{\text{Ed}} \\ \hline [m] & [kN/m] \\ \hline 3.65 & 40.50 \\ 3.40 & 44.46 \\ 1.78 & 73.06 \\ 1.73 & 73.95 \\ 1.65 & 75.28 \\ 0.00 & 107.10 \\ \end{array}$	0.00 - 18.67 - 76.43 76.41 76.16	V _{Ed} W kN/m] [cm] [ra 78.27 0.00 0.014 70.24 0.36 0.014 -0.58 1.70 -0.000 1.60 1.69 -0.001 4.90 1.68 -0.002 91.97 0.00 -0.014	455 429 060 L23 217
erf. Bewehrung	infolge Knicksic vertikal je Seit horizontal je Se	:e	weis nach 5.8 erf a _{s,v} = 5.73 cm² erf a _{s,h} = 1.15 cm²	²/m ²/m
	infolge Rissbrei horizontal je Se		g nach 7.3 erf a _{s,h} = 7.90 cm²	²/m
konstr. Mindestbew.	nach 9.6.2(1) bz vertikal je Seit horizontal je Se	:e	min $a_{s,v} = 2.25 \text{ cm}^2$ min $a_{s,h} = 0.45 \text{ cm}^2$	

Baustatik - Tragwerksplanung - Bauphysik

Projekt:	Sanierung	und Neubau	Wohnheim	"Thomas	Müntzer	Datum:	18.12.2024
Auftrags-Nr.:	24-919		Posi	ition: 1	2	Seite:	215

Bewehrungswahl

Bewehrung je Seite	Art	gewählt	a _{s,v}	a _{s,h}
			[cm ² /m]	$[cm^2/m]$
	Stäbe vertikal	ø10/12.5 cm	6.28	-
	Stäbe horizontal	ø12/12.5 cm	_	9.05

Nachweise (Brand)

Brandschutznachweis nach DIN EN 1992-1-2, Abs. 5.4.2

- Anforderung Feuerwiderstandsklasse: R90
- Nachweis der Feuerwiderstandsdauer $t_{req} = 90 \text{ min}$
- Vorder- und Hinterseite brandbeansprucht
- Schlankheit $l_w/h = 12 \le 40$

Ausnu	ıtzungsgrad	
Abs.	5.3.2 (3)	

LK	Χ.	IIEd,†1	TIRa	μ†1
	[m]	[kN/m]	[kN/m]	[-]
24	0.00	77.02	5572.92	0.01
	$h_{ exttt{min}}$	h _{vorh}	d' _{min}	d' _{vorh}
	[mm]	[mm]	[mm]	[mm]
	140	300	10	52

Mindestmaße Tabelle 5.4

> Die Mindestdicke und -achsabstände sind eingehalten. Die Wand ist für eine Feuerwiderstandsdauer von 90min nachgewiesen.

Nachweise (GZG)

Rissbreitenbegrenz.

nach DIN EN 1992-1-1, 7.3 Grenzwert für die Rissbreite

 $w_{max} =$ 0.30 mm

vertikale Bewehrung Ek 22

ロレ

Rissbreitenbegrenzung für Lastbeanspruchung max. Moment (x = 1.78 m) $m_{Ed,perm} = 49$ $m_{Ed.perm} = 49.71 \text{ kNm/m}$ $n_{Ed,perm} = -52.93 \text{ kN/m}$

zug. Normalkraft wirksame Betonzugfestigkeit Zeitpunkt Lastbeanspruch. Ersatzdurchmesser

 $f_{ct,eff} = 2.60 \text{ N/mm}^2$ 10 $d_{s,eq} =$

G1.(7.8)

$A_{c,eff}$	$ ho_{ extsf{p,eff}}$	$\sigma_{ extsf{s}}$	$lpha_{e}$	ϵ_{sm} - ϵ_{cm}	S _{r,max}
[cm²]	[-]	$[N/mm^2]$	[-]	[-]	[mm]
748.41	0.00840	289.33	6.06	0.00087	309.11

vorh. Rissbreite Rissbreitennachweis für Lastbeanspruchung ist erfüllt

horizont. Bewehrung

Mindestbewehrung

reiner Zug aus innerem Zwang infolge Abfließen der Hydratationswärme und Verformungsbehinderung für die Begrenzung der Rissbreite nach 7.3.2

wirksame Betonzugfestigkeit

Zeitpunkt Zwangsbeanspr.

 $f_{ct,eff} =$ 1.30 N/mm^2

G1.(7.1)

k c	k	$f_{ct,eff}$	f _{ct,0}	ht	Act	$\sigma_{ extsf{s}}$	ds*
[-]	[-]	$[N/mm^2]$	$[N/mm^2]$	[cm]	[cm ²]	$[N/mm^2]$	[mm]
1.00	0.80	1.30	3.00	15.0	3000.0	197.48	26.77

Mindestbewehrung

 $a_{s,min} = 15.80 \text{ cm}^2/\text{m}$

Baustatik - Tragwerksplanung - Bauphysik

Sanierung und Neubau Wohnheim "Thomas Müntzer Projekt: 18.12.2024 Datum: Position: 12 Auftrags-Nr.: 24-919 Seite: 216

Charakteristische und Bemessungsauflagerkräfte **Auflagerkräfte**

Char.	Auf1	agerkr.
Ciiai I	, , , , ,	agenin

	Aufl.	$F_{x,k}$	$F_{z,k}$	$M_{y,k}$
	/turii	[kN/m]	[kN/m]	[kNm/m]
Einw. <i>Gk</i>	A	64.90	21.34	0.00
	В		21.34	0.00
Einw. <i>Qk.N</i>	A	2.51	7.11	0.00
	В		7.11	0.00
Einw. <i>Qk.S</i>	A	0.50	1.42	0.00
	В		1.42	0.00
Einw. <i>Gk.E</i>	A	11.37	37.11	0.00
	В		27.37	0.00

Bema	auflagerkräfte			
	5	Aufl.	F _{x,d}	F _{z,d}
			[kN/m]	[kN/m]
Komb.	1	Α	102.96	78.90
		В		65.75
Komb.	2	A	106.72	89.56
1	2	В	102 71	76.42
Komb.	3	A	103.71	81.03
Komb.	1	<u>B</u> A	107.10	67.89 90.63
KOIIID.	4	В	107.10	77.49
Komb.	5	A	106.35	88.50
KOIIID.	3	В	100.33	75.35
Komb.	6	Ā	80.25	71.43
		В	33123	58.29
Komb.	7	Ā	84.01	82.10
		В		68.95
Komb.	8	A	81.00	73.56
_		В		60.42
Komb.	9	A	84.39	83.16
	10	В	03.63	70.02
Komb.	10	A	83.63	81.03
14 0 m b	11	B	98.98	67.89
Komb.	11	A	98.98	65.91 56.17
Komb.	12	<u>B</u> A	102.74	76.58
KOIIID.	12	В	102.74	66.84
Komb.	13	Ā	99.74	68.04
itomb i	13	В	3317 1	58.31
Komb.	14	Ā	103.12	77.64
		В		67.91
Komb.	<i>15</i>	A	102.37	75.51
		В		65.77
Komb.	16	A	76.27	58.44
	4-7	В	22.22	48.71
Komb.	1/	A	80.03	69.11
Komb	10	<u>B</u>	77.02	59.37
Komb.	10	A	77.02	60.57 50.84
Komb.	10	<u>B</u> A	80.41	70.18
KUIID.	10	В	30.41	70.18 60.44
Komb.	20	A	79.65	68.04
		В	. 31.03	58.31

Auftrags-Nr.: 24-919 Position: 12			
Aut (1 ags - Ni 24 - 919	Seite:		

Zusammenfassun	g Zusammenfassung der Nachweise		
Nachweise (GZT) Nachweise im Grenzzustand der Tragfähigk	eit	
	Nachweis		η
	Stabilität Bewehrungswahl	OK OK	<u>[-]</u>
Nachweise (Bra	nd) Brandfall im Grenzzustand der Tragfähigk	eit	
	Nachweis		η [-]
	Brand	ОК	
Nachweise (GZG) Nachweise im Grenzzust. der Gebrauchstau	glich	keit
	Nachweis		η
	Rissbreite	OK	[- <u>]</u> 0.89

Projekt: Sanierung und Neubau Wohnheim "Thomas Müntzer Datum:

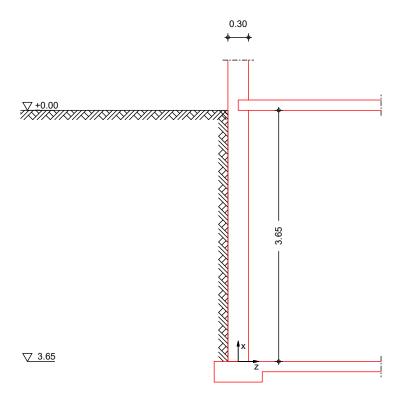
18.12.2024 Position: 13 Seite: Auftrags-Nr.: 24-919 218

Pos. 13 Stb.-Außenwand

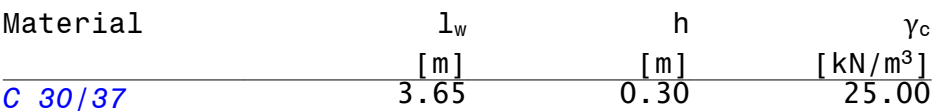
Mindestwanddicke F90 t \geq 140mm, a \geq 10mm \rightarrow erfüllt

System M 1:55

zweiseitig gehaltene Wand



Abmessungen Mat./Querschnitt



Expositionsklassen

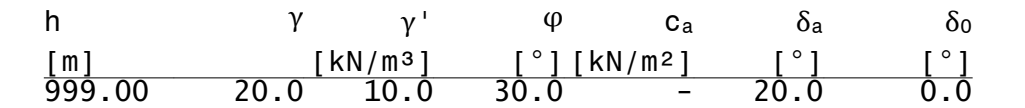
WA, WF, XC2, XC4, XD1 und XM1

Gelände

ebenes Gelände Abstand OK Gelände-Wandkopf

0.00

Boden



Erddruck

Verdichtungserddr.

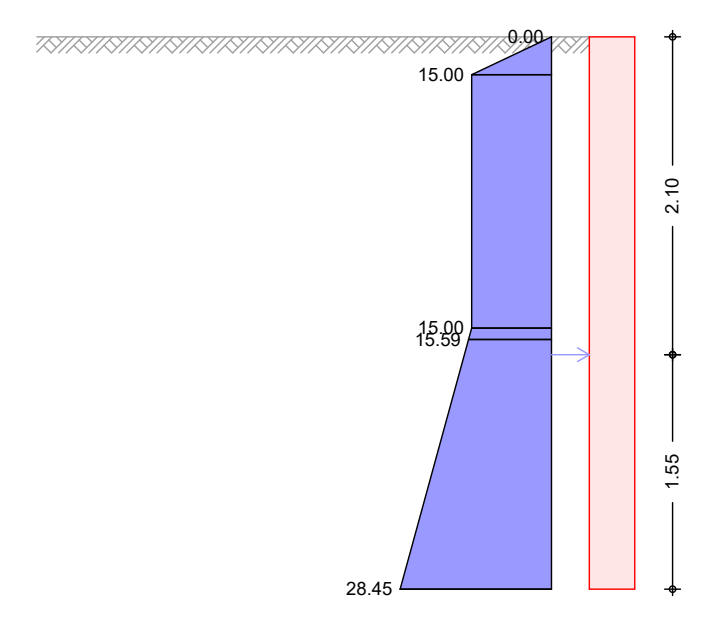
Leichte Verdichtung Verdichtungserddruck Tiefe nach Bild 13 Tiefe nach Bild 13

 15.00 kN/m^2 $e_{vh} =$ 0.25 $z_p =$ m $z_a =$ 2.00 m

Baustatik - Tragwerksplanung - Bauphysik

Projekt: Sanierung und Neubau Wohnheim "Thomas Müntzer 18.12.2024 Datum: Position: 13 Auftrags-Nr.: 24-919 Seite: 219

M 1:50



Z	e _{Verd} .	Σeh
[m]	[kN/m²]	[kN/m²]
0.00	0.0	0.0
0.25	15.0	15.0
1.92		15.0
2.00	15.0	15.6
3.65	7.5	28.4

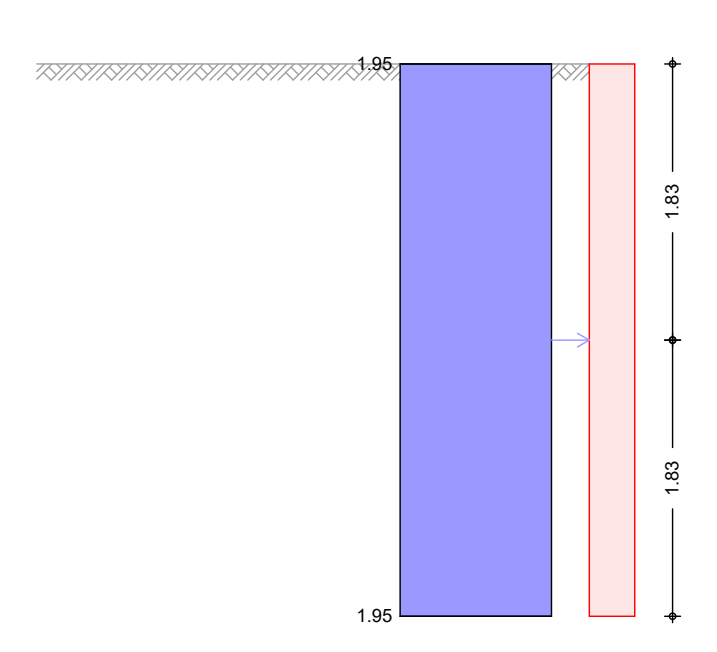
Verdichtungserddruckkraft

64.48 kN/m $E_{Vh} =$ 11.37 kN/m $E_{VV} =$ $z_s =$

EW Qk.N

erhöhter aktiver Erddruck aus Gleichlast erdseitig Lastordinate 5.00 kN/m^2

M 1:50



Baustatik - Tragwerksplanung - Bauphysik

Projekt: Sanierung und Neubau Wohnheim "Thomas Müntzer Auftrags-Nr.: 24-919

Gk

Position: 13

Datum:

Seite: 220

18.12.2024

Z	K' _{aph}	e' _{aph}
[m] 0.00	[-]	[kN/m ²]
0.00	0.390	1.95
3.65	0.390	1.95

erhöhte aktive Erddruckkraft

7.11 1.25 1.83 E'ah = E'av = kN/m kN/m

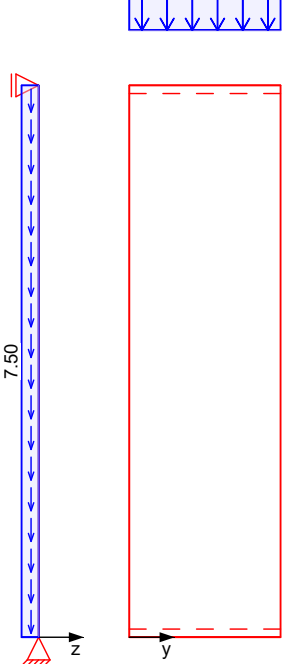
Belastungen

Belastungen auf das System

Grafik

Belastungsgrafiken (einwirkungsbezogen)

Einwirkungen



Datum:

18.12.2024

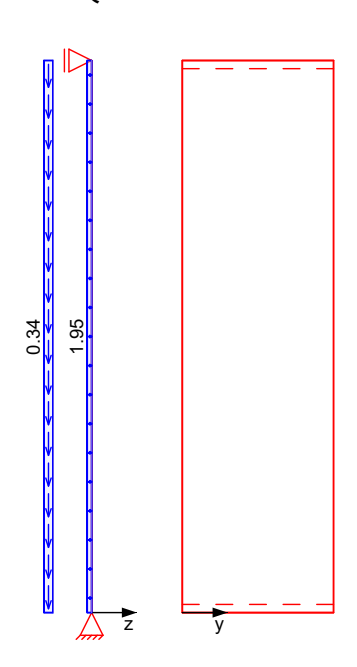
221

Baustatik - Tragwerksplanung - Bauphysik

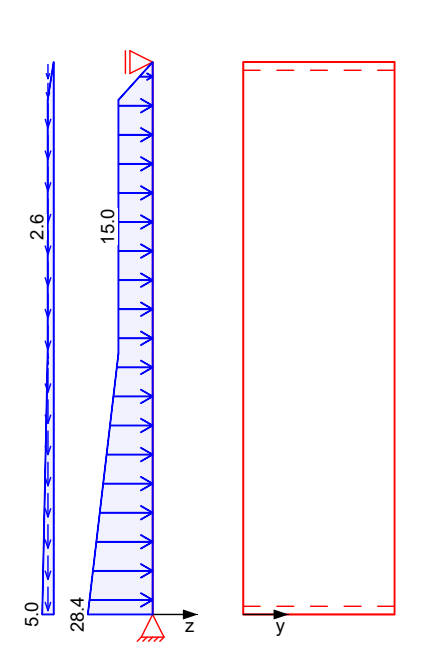
Projekt: Sanierung und Neubau Wohnheim "Thomas Müntzer

Position: 13 Seite: Auftrags-Nr.: 24-919

Qk.N



Gk.E



Streckenlasten

in x-Richtung

Einw. *Gk*

Gleichlasten

Komm. а s е q_u qo [kN/m][kN/m] [m] [m] [cm] 30.00 0.0

Flächenlasten

in x-Richtung

Einw. *Gk* Einw. Qk.N Gleichflächenlasten

KOIIIII .	a	S	Чu	q_0
	[m]	[m]	[kN/m²]	[kN/m²]
(a) Eigengew	0.00	3.65		7.50
Erddruck	0.00	3.65		0.34

Projekt: Sanierung Auftrags-Nr.: 24-919	und Neubau Wohnheim "Thomas Müntzer Position: 13			Datu Seit	
Einw. <i>Gk.E</i>	Komm. Erddruck Erddruck Erddruck Erddruck	a [m] 0.00 1.65 1.73 3.40	s [m] 1.65 0.08 1.67 0.25	q _u [kN/m²] 5.02 2.75 2.64	q _o [kN/m ²] 2.75 2.64 2.64 0.00
(a)	aus Eigenge	wicht	25.	00*0.30 =	7.50 kN/m²
Flächenlasten in z-Richtung Einw. Qk.N	Gleichfläck Komm.	a [m] 0.00	s [m] 3.65	qu [kN/m²] 28.45	qo [kN/m²] 1.95 15.59
Einw. <i>Gk.E</i>	Erddruck Erddruck Erddruck Erddruck	0.00 1.65 1.73 3.40	1.65 0.08 1.67 0.25	15.59 15.00	15.39 15.00 15.00 0.00
<u>Char.</u> Schnittgrößen Tabelle	charakteris Schnittgröß		J		
Einw. <i>Gk</i> Einw. <i>Qk.N</i>	x [m] 3.65 0.00 3.65 1.83 0.00	[kN -30 -57 0 -0	N _{x,k} /m] .00* .37* .00 .63 .25*	$\begin{array}{c} \text{M}_{\text{y,k}} \\ \text{[kNm/m]} \\ 0.00 \\ 0.00 \\ 0.00 \\ 3.24 \\ 0.00 \\ \end{array}$	$\begin{array}{c} V_{z,k} \\ [kN/m] \\ 0.00 \\ 0.00 \\ -3.56* \\ 0.00 \\ 3.56* \end{array}$
Einw. <i>Gk.E</i>	3.65 1.70 0.00	0 -4	.00 .83 .37*	0.00 28.35* 0.00	-27.37* 0.00 37.11*
<u>Kombinationen</u>	Kombination Darstellun	sbildung g der ma	nach DIN ßgebenden	EN 1990 Kombinatione	en
ständig/vorüberg. quasi-ständig	$\begin{array}{ccc} {\sf Ek} & \Sigma & (\gamma^*) \\ \hline 4 & 1.00^* \\ 10 & 1.00^* \end{array}$	Gk	+1.50*Ql +0.30*Ql		
<u>Mat./Querschnitt</u>	Material- u 1:2011-01	nd Querso	chnittswer	te nach DIN E	N 1992-1-
Material	Material C 30/37		f _o [N/mm ² 30.] [N/mm ²]	E [N/mm ²] 33000 200000
Expositionsklassen Abs. 4.2, 4.4	B 500SA Expositions Seite außen	e ?	Kl Kommer KC4 wechse KD1 mäßige KM1 Mäßige Verscle NA Häufie feuch Alkal KC2 nass,	ntar eInd nass und e Feuchte	trocken hung Zeit ßen n

Projekt: Sanierung u Auftrags-Nr.: 24-919	nd Neubau Wohnheim "Thomas Müntzer Position: 13	Datum: 18.12.2024 Seite: 223
	Seite Kl Kommentar feuchter Bet e: Es sind zusä Anforderunge Gesteinskörn berücksichti	tzliche n an die ung zu
Bewehrungsanordnung	Achsabstände, Betondeckungen Bezug c_{min} Δc_{dev} c_{nom} $[mm]$ $[mm]$ $[mm]$ außen 40 15 55 innen 20 15 35	dcmorizontal vertikal [mm] [mm] [mm] 55 61 72 35 41 52
Bemessung (GZT)	für den Grenzzustand der Tragfähigk 1992-1-1:2011-01	eit nach DIN EN
Stabilität Ek 4	Nachweis der Knicksicherheit Knicklastfaktor Schlankheit Knicklängenbeiwert ungew. Ausmitte aus Vorkrümmung	$\begin{array}{cccccccccccccccccccccccccccccccccccc$
Schnittgr./Verform. lin. Th. II.O.	$ \begin{array}{c ccccccccccccccccccccccccccccccccccc$	w φ [cm] [rad] 0.00 0.00070 0.02 0.00068 0.08 -0.00004 0.08 -0.00006 0.08 -0.00009 0.00 -0.00073
Schnittgr./Verform. nichtlin. Th. II.O.	$ \begin{array}{c ccccccccccccccccccccccccccccccccccc$	w φ [cm] [rad] 0.00 0.01440 0.36 0.01420 1.70 -0.00115 1.69 -0.00146 1.69 -0.00210 0.00 -0.01439
erf. Bewehrung	infolge Knicksicherheitsnachweis na vertikal je Seite erf a horizontal je Seite erf a	ch 5.8 $s,v = 2.88 \text{ cm}^2/\text{m}$ $s,h = 0.58 \text{ cm}^2/\text{m}$
	infolge Rissbreitenbegrenzung nach horizontal je Seite erf a	
konstr. Mindestbew.	nach 9.6.2(1) bzw. 9.6.3(1) vertikal je Seite min as horizontal je Seite min as	$s_{s,h} = 2.25 \text{ cm}^2/\text{m}$ $0.45 \text{ cm}^2/\text{m}$
Bewehrungswahl		
Bewehrung je Seite	Art gewählt Stäbe vertikal ø10/12.5 cm Stäbe horizontal ø12/12.5 cm	$\begin{array}{ccc} a_{s,v} & a_{s,h} \\ \underline{[\text{cm}^2/\text{m}]} & \underline{[\text{cm}^2/\text{m}]} \\ 6.28 & - \\ - & 9.05 \\ \end{array}$

Sanierung und Neubau Wohnheim "Thomas Müntzer Proiekt: 18.12.2024 Datum:

Position: 13 Auftrags-Nr.: 24-919 Seite: 224

Nachweise (Brand)

Brandschutznachweis nach DIN EN 1992-1-2, Abs. 5.4.2

- Anforderung Feuerwiderstandsklasse: R90
- Nachweis der Feuerwiderstandsdauer $t_{req} = 90 \text{ min}$
- Vorder- und Hinterseite brandbeansprucht
- Schlankheit $l_w/h = 12 \le 40$

Ausnutzungsgrad Abs. 5.3.2 (3)

Mindestmaße Tabelle 5.4

Ek	X	$n_{Ed,fi}$	n_{Rd}	$\mu_{ t fi}$
	[m]	[kN/m]	[kN/m]	[-]
12	0.00	69.12	5572.92	0.01
	h _{min}	h _{vorh}	d' _{min}	d'vorh
	[mm]	[mm]	[mm]	[mm]
	110	300	<u> </u>	52

Die Mindestdicke und -achsabstände sind eingehalten. Die Wand ist für eine Feuerwiderstandsdauer von 90min nachgewiesen.

Nachweise (GZG)

Rissbreitenbegrenz.

nach DIN EN 1992-1-1, 7.3 Grenzwert für die Rissbreite

0.30 $w_{max} =$ mm

vertikale Bewehrung Ek 10

Rissbreitenbegrenzung für Lastbeanspruchung

max. Moment $(\bar{x} = 1.70 \text{ m})$ zug. Normalkraft

29.32 kNm/m $m_{Ed,perm} =$ $n_{Ed,perm} = -49.65$ kN/m

wirksame Betonzugfestigkeit

Zeitpunkt Lastbeanspruch. 2.60 N/mm^2 $f_{ct,eff} =$

Rissbreitennachweis nach 7.3.4 kann entfallen, da max. Beanspruchung nicht zur Erstrissbildung führt

horizont. Bewehrung

Mindestbewehrung

reiner Zug aus innerem Zwang infolge Abfließen der Hydratationswärme und Verformungsbehinderung für die Begrenzung der Rissbreite nach 7.3.2

wirksame Betonzugfestigkeit

Zeitpunkt Zwangsbeanspr.

 $f_{ct.eff} =$ $1.30 \, \text{N/mm}^2$

G1.(7.1)

kc	k	$f_{ct,eff}$	$f_{ct,0}$	ht	A_{ct}	$\sigma_{ extsf{s}}$	ds*
[-]	[-]	$[N/mm^2]$	$[N/mm^2]$	[cm]	$[cm^2]$	[N/mm ²] 197.48	[mm]
1.00	0.80	1.30	3.00	15.0	3000.0	197.48	26.77

Mindestbewehrung

 $15.80 \text{ cm}^2/\text{m}$ $a_{s,min} =$

Auflagerkräfte

Charakteristische und Bemessungsauflagerkräfte

Char. Auflagerkr.

	Aufl.	$F_{x,k}$	F _{z,k}	$M_{y,k}$
		[kN/m]	[kN/m]	[kNm/m]
Einw. <i>Gk</i>	A	57.38	0.00	0.00
	В		0.00	0.00
Einw. <i>Qk.N</i>	A	1.25	3.56	0.00
	В		3.56	0.00
Einw. <i>Gk.E</i>	A	11.37	37.11	0.00
	В		27.37	0.00

Bem.-auflagerkräfte

Aufl. $F_{x.d}$ $F_{z,d}$ [kN/m][kN/m] Komb. 1 $\overline{\mathsf{A}}$ 92.80 50.09 В 36.95

Projekt: Sanierung (Auftrags-Nr.: 24-919	und Neubau Wohnheim "Thomas Müntzer Position: 13	Datum: 18.12.2024 Seite: 225
Aurtrags-Nr.: 24-919	1001110111 10	Gerte. 225
	Aufl. F _{x,d}	F _{z,d}
	[kN/m]	[kN/m]
Komb. 2	A 94.69	55.43
Komb. <i>3</i>	B A 72.72	42.28 50.09
Kollib. 3	B 72.72	36.95
Komb. 4	A 74.60	55.43
Komb. <i>5</i>	B A 88.83	42.28 37.11
Kollib. 3	B 88.83	27.37
Komb. <i>6</i>	A 90.71	42.44
Komb. 7	B A 68.74	32.70 37.11
Kollib. 7	B 00.74	27.37
Komb. 8	A 70.62	42.44
	В	32.70
Zusammenfassung	Zusammenfassung der Nachweise	
Nachweise (GZT)	Nachweise im Grenzzustand der	Γragfähigkeit
	Nachweis	η
	114511110110	[-]
	Stabilität	OK OK
	Bewehrungswahl	OK
Nachweise (Brand)	Brandfall im Grenzzustand der	Γragfähigkeit
	Nachweis	η
		[-]
	Brand	OK OK
Nachweise (GZG)	Nachweise im Grenzzust. der Gel	orauchstauglichkeit
	Nachweis	η
	Machimeta	'- [-]
	Rissbreite	OK L J

Projekt: Sanierung und Neubau Wohnheim "Thomas Müntzer 18.12.2024 Datum:

Position: 14-1 Seite: Auftrags-Nr.: 24-919 226

Stb.-Unterzug Pos. 14-1

XC3, XA1, WF → Betondeckung = 3,5cm → C30/37

Mindestmaße R90 b_{min} ≥ 150mm, a ≥ 35mm → erfüllt

Die Betonage ist zusammen mit der Decke erforderlich, oder die Arbeitsfuge zwischen Deckenplatte und Unterzug muss rau gem. EC2 ausgeführt werden.

System M 1:160	Mehrf Syste	eldträ m	ger					
		- 1	<u>A</u>		<u></u>		3	 D
	A +	5.00 ²	В 💮	5.15	C +		7.53 ¹	—— ∳
			·	1:	7.68 ³			
	Ψ							Ψ
M 1.100	Ansic	ht						
м 1:160	1				l .			<u> </u>
	30 + +	4.702	30 + +	4.85	30 + +		7.23 ¹	30 + +
Abmessungen	Feld	1	х		Material	os		b _{eff} /b _w /h
Mat./Querschnitt	I CIG	[m]	[m]		water far	QO		[CM]
	1	5.00	0.00		C 25/30	1	149.0/	30.0/70.0
	1		5.00			1 2 2		30.0/70.0
	2	5.15	-0.00			2	•	30.0/70.0
	2 2		2.58 5.15			3 4		30.0/70.0
	3	7.53	0.00			4		30.0/70.0
	3	7.33	7.53			5		30.0/70.0
- '' 17			7.55			,	192.0/	30.0/70.0
Expositionsklasse	XC1							
Auflager	Lager		Х		b		Art	K _{T,z}
			[m]		cm]			[kN/m]
	A		0.00 5.00		0.0 0.0		Beton Beton	fest fest
	B C		10.15		0.0		Beton	fest
	D		17.68		0.0		Beton	fest
Längsfugen	Feld	Fı	uge		Zf		α	$\sigma_{\sf Nd}$
					[cm]		[°]	[N/mm²]
	1		rau		20.0		90	0.00
	1 2 3		rau rau		20.0 20.0		90 90	0.00
	,		ıuu		20.0		50	0.00

Sanierung und Neubau Wohnheim "Thomas Müntzer Projekt:

18.12.2024 Datum: Auftrags-Nr.: 24-919 Position: 14-1 Seite: 227

Belastungen

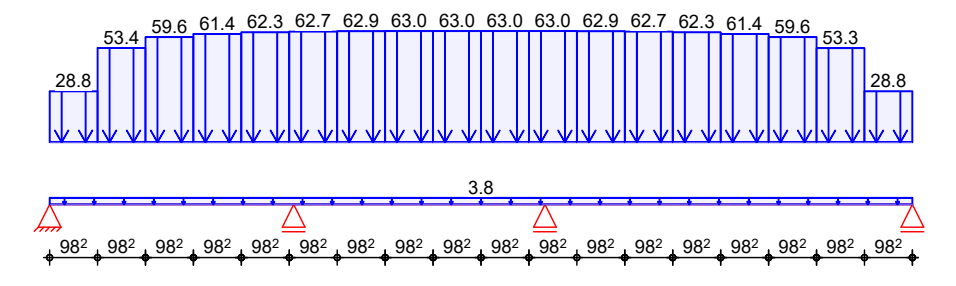
Grafik

Einwirkung

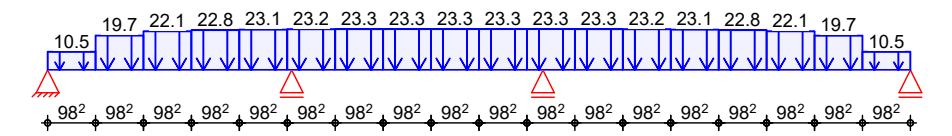
Belastungen auf das System

Belastungsgrafiken (einwirkungsbezogen)

Gk

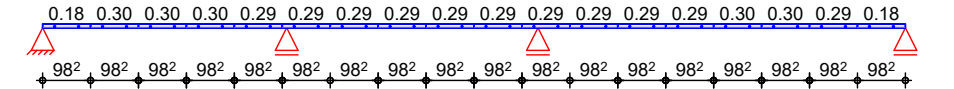


Qk.N



Qk.S

Qk.W.000



ok.w.090

-0.63 -1.02 -1.04 -1.02 -1.02 -1.02 -1.02 -1.02 -1.02 -1.02 -1.02 -1.02 -1.02 -1.02 -1.02 -1.02 -1.02 -1.02 -0.63

Streckenlasten in z-Richtung

Einw. Gk

Trapezl	asten
---------	-------

	Feld	Komm.	a	S	q _{li}	q re
			[m]	[m]	[kN/m]	[kN/m]
	1	Eigengew	0.00	17.68		3.75
(a)	1	UZ-1: Gk	0.00	0.98	28.82	28.82
(a)	1	UZ-1: Gk	0.98	0.98	53.41	53.41
(a)	1	UZ-1: Gk	1.96	0.98	59.56	59.56
(a)	1	UZ-1: Gk	2.95	0.98	61.39	61.39
(a)	1	UZ-1: Gk	3.93	0.98	62.29	62.29
(a)	1	UZ-1: Gk	4.91	0.98	62.72	62.72
(a)	1	UZ-1: Gk	5.89	0.98	62.89	62.89
(a)	1	UZ-1: Gk	6.88	0.98	62.95	62.95
(a)	1	UZ-1: Gk	7.86	0.98	62.96	62.96
(a)	1	UZ-1: Gk	8.84	0.98	62.97	62.97
(a)	1	UZ-1: Gk	9.82	0.98	62.97	62.97
(a)	1	UZ-1: Gk	10.81	0.98	62.88	62.88
(a)	1	UZ-1: Gk	11.79	0.98	62.72	62.72
(a)	1	UZ-1: Gk	12.77	0.98	62.29	62.29
(a)	1	UZ-1: Gk	13.75	0.98	61.39	61.39

mb BauStatik S340.de, 2025.004

Projekt:	Sanierung	und Neubau	Wohnheim	"Thomas	Müntzer	Datum:	18.12.2024
Auftrags-Nr.	24-919		Pos	ition: 1	4 - 1	Seite:	228

		Feld	Komm.	a [m]	S [m]	91i [kN/m]	q _{re} [kN/m]
		(a) 1	UZ-1:	[m] Gk 14.74	[m] 0.98	[kN/m] 59.56	59.56
		$\binom{a}{a}$ $\frac{1}{1}$	UZ-1:	Gk 15.72	0.98	53.31	53.31
		(a) 1	UZ-1:	Gk 16.70	0.98	28.84	28.84
Einw.	Qk.N	(a) 1	UZ-1:	Qk.N 0.00	0.98	10.47	10.47
		(a) $\frac{1}{1}$	UZ-1:		0.98	19.68	19.68
		(a) 1	UZ-1: UZ-1:		0.98 0.98	22.07 22.76	22.07 22.76
		(a) 1 (a) 1	UZ-1:		0.98	23.09	23.09
		$\binom{a}{a}$ $\frac{1}{1}$	UZ-1:		0.98	23.25	23.25
		(a) 1	UZ-1:		0.98	23.31	23.31
		(a) 1	UZ-1:	Qk.N 6.88	0.98	23.33	23.33
		(a) $\frac{1}{1}$	UZ-1:	Qk.N 7.86	0.98	23.34	23.34
		(a) $\frac{1}{1}$	UZ-1:	Qk.N 8.84	0.98 0.98	23.34 23.34	23.34 23.34
		(a) 1 (a) 1	UZ-1: UZ-1:		0.98	23.34	23.34
		(a) 1 (a) 1	UZ-1:	Qk.N 11.79	0.98	23.25	23.25
		$\binom{a}{a}$ $\frac{1}{1}$	UZ-1:		0.98	23.09	23.09
		(a) 1	UZ-1:	Qk.N 13.75	0.98	22.76	22.76
		(a) 1	UZ-1:		0.98	22.07	22.07
		(a) $\frac{1}{1}$	UZ-1:		0.98	19.65	19.65
Einw	ok s	(a) $\frac{1}{1}$	UZ-1:		0.98	10.47 1.48	10.47 1.48
Einw.	QK.S	(a) 1 (a) 1	UZ-1: UZ-1:	Qk.S 0.00 Qk.S 0.98	0.98 0.98	2.41	2.41
		(a) 1 (a) 1	UZ-1:	Qk.S 1.96	0.98	2.44	2.44
		$\binom{a}{a}$ $\frac{1}{1}$	UZ-1:		0.98	2.41	2.41
		(a) 1	UZ-1:	Qk.S 3.93	0.98	2.40	2.40
		(a) 1	UZ-1:		0.98	2.40	2.40
		(a) $\frac{1}{1}$	UZ-1:		0.98	2.40	2.40
		(a) 1 (a) 1	UZ-1: UZ-1:	Qk.S 6.88 Qk.S 7.86	0.98 0.98	2.40 2.40	2.40 2.40
		(a) 1 (a) 1	UZ-1:	Qk.S 8.84	0.98	2.40	2.40
		(a) 1	UZ-1:	Qk.S 9.82	0.98	2.40	2.40
		(a) 1	UZ-1:	Qk.S 10.81	0.98	2.40	2.40
		(a) $\frac{1}{4}$	UZ-1:	Qk.S 11.79	0.98	2.40	2.40
		(a) $\frac{1}{1}$	UZ-1:	Qk.S 12.77	0.98	2.40	2.40
		(a) $\frac{1}{1}$	UZ-1: UZ-1:	Qk.S 13.75 Qk.S 14.74	0.98 0.98	2.41 2.44	2.41 2.44
		(a) 1 (a) 1	UZ-1:		0.98	2.44	2.44
		$\binom{a}{a} \boxed{1}$		Qk.S 16.70	0.98	1.48	1.48
Einw.	Qk.W.000	$\binom{a}{a}$ ${1}$	UZ-1:		0.98	0.18	0.18
		(a) 1		Qk.W.00 0 .98	0.98	0.30	0.30
		(a) $\frac{1}{1}$		Qk.w.0010.96	0.98	0.30	0.30
		(a) $\frac{1}{1}$		Qk.W.000.95	0.98	0.30	0.30
		(a) 1 (a) 1		Qk.w.00 0 .93 Qk.w.00 0 .91	0.98 0.98	0.29 0.29	0.29 0.29
		(a) 1 (a) 1		Qk.w.000.89	0.98	0.29	0.29
		$\binom{a}{a}$ $\frac{1}{1}$		Qk.w.000.88	0.98	0.29	0.29
		(a) 1	UZ-1:	Qk.w.000.86	0.98	0.29	0.29
		(a) $\frac{1}{1}$		Qk.W.00 8 .84	0.98	0.29	0.29
		(a) $\frac{1}{1}$		Qk.W.009.82	0.98	0.29	0.29
		$\begin{pmatrix} a \end{pmatrix} \begin{array}{c} 1 \\ 1 \\ \end{array}$		Qk.W.0 100 .81	0.98 0.98	0.29 0.29	0.29 0.29
		(a) 1 (a) 1		Qk.W.O DD .79 Qk.W.O DD .77	0.98	0.29	0.29
		$\binom{a}{a}$ $\frac{1}{1}$		Qk.w.01013.75	0.98	0.30	0.30
		(a) 1		Qk.w.0 100 .74	0.98	0.30	0.30
		(a) $\frac{1}{1}$		Qk.w.0106.72	0.98	0.29	0.29
Fig	0k w 000	(a) $\frac{1}{1}$		Qk.W.0106.70	0.98	0.18	$\frac{0.18}{0.63}$
EINW.	Qk.W.090	(a) 1 (a) 1		Qk.w.09 0 .00 Qk.w.09 0 .98	0.98 0.98	-0.63 -1.02	-0.63 -1.02
		(a) 1 (a) 1		Qk.w.09 0 .96	0.98	-1.02 -1.04	-1.02
		(α) -	J	Z	0.50		01

 $\mathsf{q}_{\mathtt{li}}$

qre

Baustatik - Tragwerksplanung - Bauphysik

Projekt:	Sanierung un	nd Neubau Wohnheim	"Thomas N	Müntzer	Datum:	18.12.2024
Auftrags-Nr.	: 24-919	Posi	ition: 14	-1	Seite:	229

Feld Komm.

	ьета	KOMM.	a s		qre -
	1	uz 1. ok w 00 0	[m] [m]	[kN/m] [kN/	
(6	- 1	UZ-1: Qk.W.09 0 UZ-1: Qk.W.09 0			
(a (a		UZ-1: Qk.W.09 9			
(6		UZ-1: Qk.W.090			
(8		UZ-1: Qk.W.096			
(a	ı) 1	UZ-1: Qk.W.090			
(a	- 4	UZ-1: Qk.W.098			
(6	- 4	UZ-1: Qk.W.09 9 UZ-1: Qk.W.0 90			
(a (a		UZ-1: Qk.W.090		-1.02 $-1.$	
(8		UZ-1: Qk.W.090	.77 0.98	-1.02 -1.	
(6	ι) 1	UZ-1: Qk.W.098			
(6		UZ-1: Qk.W.0 90 UZ-1: Qk.W.0 90	.74 0.98 .72 0.98		
(a (a	· 4	UZ-1: Qk.W.090			
(a)	aus F	Pos. '11-1 - UZ	-1'		
Vombinationen	gemäß	S DIN EN 1992-1	-1 und DTN FN	1990	
<u>Kombinationen</u>	Ek	$\Sigma (\gamma^* \psi^* EW)$	I did DIN EN	1 1990	
ständig/vorüberg.	1	1.00*Gk			
scandig, volumeng.	2	1.35*Gk	+1.50*Qk.N	+0.75*Qk.S	
	_		(1,3)		
	3	1.00*Gk	+1.50*Qk.N	+0.90*Qk.W.090	l
	4	1.00*Gk	(2) +1.50*Qk.N	+0.90*Qk.W.090	1
	7	1.00 dk	(1,3)	10.50 QK.W.050	
	5	1.35*Gk	+1.50*Qk.N	+0.75*Qk.S	
	_	1 00% cl.	(2)	.0.00*01. \ \ 000	
	6	1.00*Gk	+1.50*Qk.N (3)	+0.90*Qk.W.090	1
	7	1.35*Gk	+1.50*Qk.N	+0.75*Qk.S	
			(1,2)	•	
	8	1.00*Gk	+1.50*Qk.N	+0.90*Qk.W.090)
	9	1.35*Gk	(2,3) +1.50*Qk.N	+0.75*Qk.S	
	9	1.55 GK	(1)	+0.75 QK.3	
	10	1.00*Gk	+1.50*Qk.N	+0.90*Qk.W.090	1
	4.4	4 254-1	(1,2)	0.75451.5	
	11	1.35*Gk	+1.50*Qk.N	+0.75*Qk.S	
	12	1.00*Gk	(3) +1.50*Qk.N	+0.90*Qk.W.090)
			(1)	roise Qiiiiiose	
	13	1.35*Gk	+1.50*Qk.N	+0.75*Qk.S	
	14	1.00*Gk	(2,3) +1.05*Qk.N	1 50*0k w 000	
	14	1.00"GK	(1)	+1.50*Qk.W.090	!
	15	1.00*Gk	+1.05*Qk.N	+1.50*Qk.W.090)
			(2)		
	- 1.	2 (+ + EM)			
st /ven Au£lenenkn	Ek	Σ (γ*ψ*EW)	.1 F0*0k N	.0.00*01. 14.000	
st./vor. Auflagerkr	. 16	1.00*Gk	+1.50*Qk.N (1,2)	+0.90*Qk.W.090	I.
	17	1.35*Gk	+1.50*Qk.N	+0.75*Qk.S	
			(1,3)		
	18	1.00*Gk	+1.50*Qk.N	+0.90*Qk.W.090	l
	19	1.35*Gk	(1,2,3) +1.50*Qk.N	+0.75*Qk.S	
	-5	1155 GK	(1,2)	10175 QK15	
			- , ,		

Baustatik - Tragwerksplanung - Bauphysik

Projekt: Sanierung und Neubau Wohnheim "Thomas Müntzer Datum: 18.12.2024 Auftrags-Nr.: 24-919 Position: 14-1 Seite: 230

Ek	Σ (γ*ψ*EW)		
20	1.00*Gk	+1.05*Qk.N	+1.50*Qk.W.090
21	1.35*Gk	+1.50*Qk.N (1,2,3)	+0.75*Qk.S
22	1.00*Gk	+1.05*Qk.N (1,2)	+1.50*Qk.W.090

Bem.-schnittgrößen

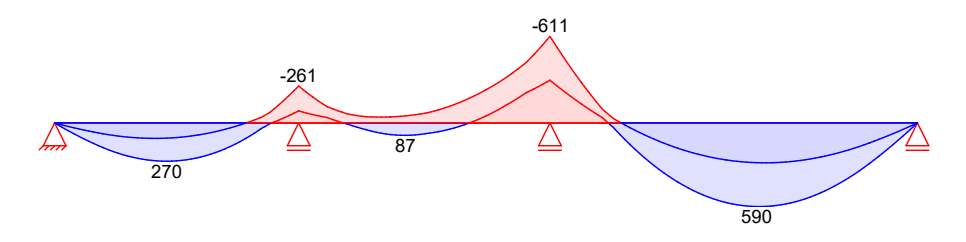
Bemessungsschnittgrößen

Grafik

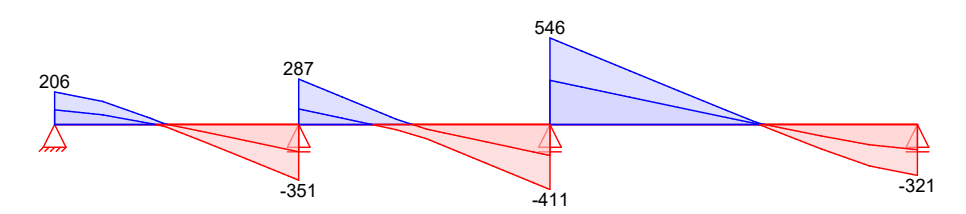
Schnittgrößen (Umhüllende)

Kombinationen

Moment $M_{y,d}[kNm]$



Querkraft $V_{z,d}[kN]$



Tabelle

Schnittgrößen (Umhüllende)

	x [m]	My,d,min [kNm]	Ek	M _{y,d,max} [kNm]	Ek	$V_{z,d,min}$	Ek	V _{z,d,max} [kN]	Ek
	0.00	0.00	3	0.00	2	92.70	3	205.64	2
	0.15	13.55	3	30.16	2	87.90	3	196.52	2
).79	62.97	3	142.83	2	67.55	3	157.87	2 2
	98	75.62	3	172.67	2	61.26	3	145.93	2
	L.96	108.67	3	263.68	2	6.02	3	39.36	2
	L.96	108.67	3	263.69	2	6.02	3	39.36	2
	2.30	107.21	3	270.12	2	-17.02	5	1.52	4
	2.95	84.49	3	244.26	2	-94.96	7	-39.21	6
	2.95	84.48	3	244.25	2	-94.96	7	-39.21	6
	3.93	-0.78	3	106.96	2	-216.65	7	-102.29	6
	3.93	-0.79	3	106.94	2	-216.65	7	-102.30	6
	1.22	-37.39	3	44.28	2	-252.65	7	-120.96	6
	1.85	-209.40	7	-59.82	6	-332.50	7	-162.37	6
	4.91	-229.51	7	-69.65	6	-340.01	7	-166.26	6 6
	4.91	-229.54	7	-69.66	6	-340.01	7	-166.26	6
	5.00	-260.69	7	-84.91	6	-351.40	7	-172.17	6
	0.00	-260.69	7	-84.91	6	98.47	6	286.72	7
	0.15	-219.11	7	-70.88	6	88.64	6	267.76	7
	0.80	-86.50	9	-11.80	8	45.87	6	185.28	7
	0.89	-75.96	9	-2.37	8	39.99	6	173.94	7
	L.87	-42.74	4	81.68	5	-24.58	6	49.44	7
1	L.87	-42.74	4	81.69	5	-24.58	6	49.44	7
Ž.	2.19	-50.20	4	87.37	5	-50.32	11	14.22	10

Auftrags-Nr.: 24-919 Position: 14-1	Seite:	231

Auttrags-Nr.: 24-919	1 001110		361	Le. 23
Feld 3	2.86	[kNm] 2 62.16 3 2 62.15 3 2 -49.63 3 2 -49.65 3 1 -144.58 10 3 -240.44 14 3 -240.46 14 3 -272.80 14 3 -301.54 12 3 -301.54 12 3 -301.54 12 3 -301.54 12 3 -131.60 12 3 -96.96 12 151.19 2 151.23 2 416.89 2 416.89 2 416.91 2 551.02 2 584.75 2 490.63 2 490.63 2 490.63 2 490.63 2 490.63 2 490.63 2 490.63 2 47.48 2 0.10 2	Vz,d,min Ek [kN] -119.64 13 -119.64 13 -244.26 13 -244.26 13 -308.73 13 -368.89 13 -368.89 13 -391.50 13 -410.54 13 279.05 14 226.75 14 172.46 14 172.46 14 172.46 14 172.46 14 172.46 14 172.46 14 172.46 14 172.46 14 172.46 14 173.46 14 173.46 14 175.83 4 -36.68 2 -154.95 2 -154.95 2 -261.34 2 -273.31 2 -311.98 2 -321.08 2 -321.08 2	Vz,d,max Ek [kN] -44.71 12 -44.71 12 -109.34 12 -109.34 12 -142.78 12 -173.98 12 -173.98 12 -173.98 12 -185.71 12 -195.58 12 546.47 13 527.43 13 444.67 13 339.01 13 339.01 13 339.01 13 214.84 13 91.48 13 91.48 13 91.48 13 91.48 13 -72.51 3 -72.51 3 -72.51 3 -72.51 3 -72.51 3 -72.51 3 -72.51 3 -154.21 15 -158.95 15
<u>Mat./Querschnitt</u>	Material- und Que 1:2011-01	rschnittswerte	nach DIN E	N 1992-1-
Material	Material C 25/30 B 500SB	f _{yk} [N/mm ²] 500	f _{ck} [N/mm ²] 25	E [N/mm²] 31000 200000
Querschnitt	QS Art beff [cm] 1 PB 149.0 2 PB 90.9 3 PB 136.1 4 PB 102.0 5 PB 192.0 PB: Plattenbalken o: Platte oben	b _w h [cm] [cm] 30.0 70.0 30.0 70.0 30.0 70.0 30.0 70.0 30.0 70.0	20.0 _o 20.0 _o 20.0 _o 20.0 _o 20.0 _o	I _y [cm ⁴] 1634215 1379972 1587903 1439616 1761919

Projekt: Sanierung und Neubau Wohnheim "Thomas Müntzer Datum: 18.12.2024 Auftrags-Nr.: 24-919 Position: 14-1 Seite: 232

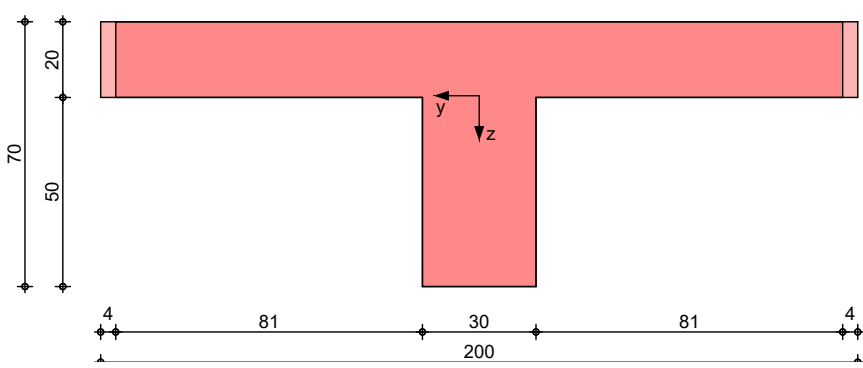
Querschnittsgrafiken [cm] Grafik Querschnitt 1 M 1:20 20 30 59⁵ 200 Querschnitt 2 M 1:20 2 200 Querschnitt 3 M 1:20 30 Querschnitt 4 M 1:20 2 50 200

Sanierung und Neubau Wohnheim "Thomas Müntzer Projekt: 18.12.2024 Datum: Position: 14-1 Auftrags-Nr.: 24-919 Seite: 233

M 1:20

Feld 3

Querschnitt 5



Expositionsklassen Abs. 4.2, 4.4 Feld 1 Feld 2

Expositionsklassen

Seite K1 Kommentar umlaufend XC1 trocken oder ständig nass XC1 trocken oder ständig nass umlaufend umlaufend XC1 trocken oder ständig nass

Bewehrungsanordnung

Achsabstände, Betondeckungen

	Bezug	Cmin	$\Delta c_{ ext{dev}}$	c_{nom}	Cv	d'
		[mm]	[mm]	[mm]	[mm]	[mm]
Feld 1	oben	15 ¹	10	25	25	48
	unten	15 ¹	10	25	25	64
	links	10	10	20	20	_
	rechts	10	10	20	20	_
Feld 2	oben	15 ¹	10	25	25	48
	unten	15 ¹	10	25	25	64
	links	10	10	20	20	-
	rechts	10	10	20	20	_
Feld 3	oben	15 ¹	10	25	25	48
	unten	15 ¹	10	25	25	64
	links	10	10	20	20	-
	rechts	10	10	20	20	_
	1: aus Verbundanforderung	nach DIN EN	1992-1-1,	4.4.1.2 ((2) und (3)	

Bemessung (GZT)

für den Grenzzustand der Tragfähigkeit nach DIN EN 1992-1-1:2011-01

Mindestmomente 5.3.2.2(3)

Kombinat.	Autl.	mın Mı	max Mı	mın Mr	max Mr
		[kNm]	[kNm]	[kNm]	[kNm]
Grundkomb.	В	-208.08	0.00	-155.05	0.00
	C	-162.84	0.00	-515.32	0.00

Biegung Abs. 6.1

Bemessung für Biegebeanspruchung Ek $M_{vd,o}$ x/d_o

-209.40

		$M_{yd,u}$	x/d_u	z_{u}	As,u	$A_{s,u,erf}$
[m]		[kNm]		[cm]	[cm²]	[cm²]
(L = 5.0	00 m)					
0.00	1	_	_	_	_	2.32 _e
	1	_	4.3E-4	63.6	_	6.76_{q}
0.15a	3	13.55	_	_	_	2.32e
	2	30.16	0.017	63.2	1.05	6.76 _q
2.29*	3	107.29	_	_	_	_
	2	270.12	0.057	62.3	9.50	9.50
3.46	3	47.70	_	_	_	1.95 _B
	2	187.42	0.046	62.5	6.56	6.56

0.153

Feld 1

4.85a

61.1

 Z_0

 $A_{s,o}$

7.59

As,o,erf

7.59

Datum:

18.12.2024

Baustatik - Tragwerksplanung - Bauphysik

Auftrags-Nr.: 24-919	una Neubau		sition: 14			Seite:	234
	x	Ek	M _{yd,o}	x/d _o	Zo	A _{s,o}	As,o,erf
			M _{yd} , u	x/d_u	z_{u}	As,u	As,u,erf
	[m]		[kNm]		[cm]	[cm ²]	[cm ²]
	5.00	6 7	-59.82 -214.25	0.156	61.0	7.79	2.38 _f 7.79
	3.00	6	-84.91	-	-	-	-
eld 2	(L = 5.	_	214 25	0 156	61.0	7 70	7 70
	0.00	7 6	-214.25 -84.91	0.156	61.0	7.79 -	7.79 -
	0.15_a	7	-219.11	0.160	60.9	7.99	7.99
	1.55	6 4	-70.88 -42.18	0.048	64.1	1.44	0.76 _f 6.27 _M
	1.55	5	61.95	0.048	62.0	2.15	3.03 _M
	2.17*	4	-49.65	0.052	64.0	1.70	6.27 _M
	2.89	5 2	87.39 -95.24	0.036 0.079	62.1	3.04 3.30	3.04 6.27 _M
		3	59.84	0.035	61.3	2.08	3.03 _M
	5.00a	13	-551.22	0.450	53.0	23.73	23.73
	5.15	14 13	-272.80 -541.03	0.450	53.0	0.60 23.33	0.76 _f 23.33
	3.13	12	-301.54	-	-	0.21	0.21
eld 3	(L = 7.		E 41 02	0.450	53.0	23.33	23.33
	0.00	13 12	-541.03 -301.54	0.430	33.0	0.21	0.21
	0.15_a	13	-530.84	0.445	53.2	22.85	22.85
	2.26	12 3	-260.08 131.99				5.24 _f 5.83 _B
	2.20	2	333.46	0.056	62.3	11.72	11.72
	4.29*	3	280.87	_	_	_	
	7.38a	2 15	590.18 23.49	0.080	61.7	20.97	20.97 5.18 _e
		2	47.48	0.019	63.2	1.65	7.53 _q
	7.53	1 1	-	- 3.8E-4	- 63.6	-	5.18 _e 7.53 _q
	a: Auflage	rrand	_	3.0E-4	03.0	_	7.33q
	f: verläng q: aus VEC M: Mindest	agereinsp Jerte Feld I im Endau bewehrung	oment pannung nach Ibew. nach Ab Iflager nach J nach Abs. 9 DIN EN 1992	s. 9.2.1.4 Abs. 9.2.1 0.2.1.1	.4(2)	.2(1)	
)uerkraft	Bemessu	ng für	Querkraf	ftbeansp	ruchung		
Nuerkraft Abs. 6.2	Х	Ek	V_{Ed}	θ	$V_{Rd,max}$	$V_{Rd,c}$	$a_{sw,erf}$
	[m]		[kN]	[°]	[kN]	[kN]	$[cm^2/m]$
eld 1	(L = 5.00)	<i>00 m)</i> 2	157.87 _R	18.4	545.86	_	_
	0.00	2	157.87_{R}	18.4	545.86	_	5.45 _F
	0.79_{\lor}	2	157.87	18.4	545.86	69.77	4.87 _F
	2.29 4.22 _v	3 7	16.48 _R 252.65	18.4 23.1	545.86 674.43	69.77 101.90	2.50 _M 9.10 _F
	4.22 _v 4.85 _a	7	252.65 _R	23.1	674.43	101.90	9.10 _F
		7	252.65 _R	23.1	674.43	_	
7.1.0	_5.00_						
eld 2	L = 5.		185 20-	10 /	561 56		
eld 2	$ \begin{array}{c} (L = 5. \\ 0.00 \end{array} $	7	185.28 _R 185.28 _R	18.4 18.4	561.56 561.56	- -	- 6.86⊧
Feld 2	$ \begin{array}{r} (L = 5. \\ 0.00 \\ 0.15_{a} \\ 0.80_{v} \end{array} $	7 7 7	185.28 _R 185.28	18.4 18.4	561.56 561.56	- - 101.90	- 6.86 _F 5.96 _F
Feld 2	$ \begin{array}{r} (L = 5. \\ 0.00 \\ 0.15_{a} \\ 0.80_{v} \\ 2.17 \end{array} $	7 7 7 11	185.28 _R 185.28 48.79	18.4 18.4 18.4	561.56 561.56 561.56	101.90	5.96 _F 2.50 _M
Feld 2	$ \begin{array}{r} (L = 5. \\ 0.00 \\ 0.15_{a} \\ 0.80_{v} \end{array} $	7 7 7	185.28 _R 185.28	18.4 18.4	561.56 561.56		5.96 _F

Sanierung und Neubau Wohnheim "Thomas Müntzer

Projekt:

Datum: Seite: 18.12.2024 235

Feld 3

х	Ek	V_{Ed}	θ	$V_{\text{Rd,max}}$	V_{Rd} ,c	a_{sw},erf
[m]		[kN]	[°]	[kN]	[kN]	$[cm^2/m]$
(L = 7.	53 m)					
0.00	13	444.67_R	31.0	826.88	_	_
0.15_a	13	444.67_R	31.0	826.88	_	18.95 _F
0.80_{V}	13	444.67	31.0	826.88	101.90	$18.05_{\rm F}$
4.29	5	9.43_R	18.4	545.86	100.62	2.50 _M
6.75 _v	2	273.31	25.0	697.50	69.77	$10.40_{\rm F}$
7.38a	2	273.31_{R}	25.0	697.50	_	$10.98_{\rm F}$
7.53	2	273.31_{R}	25.0	697.50	_	_
a. Auflage	rrand					

a: Auflagerrand
v: Abstand d vom Auflagerrand
R: Querkraft reduziert
M: Mindestbewehrung nach Abs. 9.2.2
F: Verbundbewehrung aus Fugenbemessung

Fugenbemessung

X	V_{Ed}	${\sf V}_{\sf Edi}$	V Rdi,max	V Rdi,ct	$a_{sw,erf}$
[m]	[kN]	[kN/m]	[kN/m]	[kN/m]	$[cm^2/m]$

Längsfuge 1

Streckgrenze der Verbundbewehrung: f_{yk} = 500 N/mm² rau (c=0.40, $\mu=0.70$, $\nu=0.50$)

Feld 1 -	Kontaktf	läche im	Steg, b =	24.0 cm	
	170.03		850.00		5.45
0.79_{\lor}	157.87	275.88	850.00	97.92	4.87
1.68	69.91	122.16	850.00	97.92	0.66
2.78	-75.25	131.49	850.00	97.92	0.92
4.22 _v -	-252.65	430.23	850.00	97.92	9.10
4.35 -	-269.71	459.28	850.00	97.92	9.89

Längsfuge 2

Streckgrenze der Verbundbewehrung: fyk = 500 N/mm² rau (c=0.40, $\mu=0.70$, $\nu=0.50$)

Feld 2 -	Kontaktf	läche im	Steg, b =	24.0 cm	
0.65	204.55	348.33	850.00	97.92	6.86
0.80_{\lor}	185.28	315.50	850.00	97.92	5.96
1.71	70.19	122.66	850.00	97.92	0.68
2.37	-66.36	103.85	850.00	97.92	0.16
4.35 _v -	-308.73	531.46	850.00	97.92	11.87
4.50 -	-328.08	574.15	850.00	97.92	13.04

Längsfuge 3

Streckgrenze der Verbundbewehrung: $f_{yk} = 500 \ N/mm^2$ rau (c=0.40, μ =0.70, ν =0.50)

Feld 3 -	Kontaktf	läche im	Steg, b =	24.0 cm	
	463.99		850.00		18.95
0.80	444.67	757.21	850.00	97.92	18.05
3.77	71.20	115.40	850.00	97.92	0.48
4.89	-73.34	118.85	850.00	97.92	0.57
6.75√ -	-273.31	477.60	850.00	97.92	10.40
6.95 -	-285.47	498.86	850.00	97.92	10.98

Anschluss der Gurte

Gurtanschlusskräfte (maßgebende Abschnittsdaten)

Feld	EK	XΑ	ΧE	ΔM	ΔFc	Antell	ΔFd
		[m]	[m]	[kNm]		e Gurt	[kN]
1	2	0.00	1.15	195.4	312.5	0.40□	124.8
	2	3.35	4.39	202.7	324.4	0.40 ^D	129.5
3	2	11.37	12.93	447.8	721.9	0.42 ^D	304.6
	2	16.08	17.68	426.6	687.2	0.42	289.9
2	5	7.77	8.35	64.9	105.5	0.39 ^D	41.1

Baustatik - Tragwerksplanung - Bauphysik

Projekt: Sanierung und Neubau Wohnheim "Thomas Müntzer Datum: 18.12.2024 Auftrags-Nr.: 24-919 Position: 14-1 Seite: 236

Feld	Ek	XΑ	ΧE	ΔM	ΔFc	Anteil	ΔF_d
		[m]	[m]	[kNm]	[kN] j	e Gurt	[kN]
1	7	4.56	5.00	142.5	239.3	0.07 ^z	35.7
2	7	5.00	5.63	155.3	260.3	0.07 ^z	36.4
	11	9.29	10.15	244.2	517.7	0.07^{z}	72.4
	13	8.99	10.15	391.3	785.5	0.07^{z}	109.8
3	13	10.15	10.81	333.4	686.3	0.09 ^z	118.0

D: Druckgurt: Anteil einer Gurtbreite an beff Z: Zuggurt: Anteil aus ausgelagerter Bewehrung

Querbewehrung

		_				
FeTo	d Ek	XΑ	XΕ	V Ed	V Rd,max	a sf,erf
		[m]	[m]	$[N/mm^2]$	$[N/mm^2]$	$[cm^2/m]$
1	2	0.00	1.15	0.543	5.225	2.08
		3.35	4.39	0.618	5.225	2.37
3		11.37	12.93	0.977	5.225	3.74
		16.08	17.68	0.907	5.225	3.48
2	5	7.77	8.35	0.356	5.225	1.36
1	7	4.56	5.00	0.406	5.225	1.87
2		5.00	5.63	0.289	5.225	1.33
	11	9.29	10.15	0.418	5.225	1.92
	13	8.99	10.15	0.473	5.225	2.17
3		10.15	10.81	0.893	5.225	4.11

Die Querbewehrung ist jeweils zur Hälfte oben und unten in die Platte einzulegen. Die Bewehrung aus Querbiegung darf gemäß 6.2.4(5) angerechnet werden.

Bewehrungswahl

untere Längsbewehrung

Feld	gew.	As	а	1	1 bd,1	${f l}$ bd,r	Lage
		[cm ²]	[m]	[m]	[m]	[m]	
1	GB 2ø25	9.82	-0.31	18.37	0.46h	0.53h	$\overline{1}$
3	2ø25	9.82	1.09	6.49	0.37	0.38	1
	2ø25	9.82	1.09	6.49	0.37	0.38	2

(Längen inkl. Verankerungslängen, ohne Stöße) h: gesonderte Verankerungsform erforderlich

obere Längsbewehrung

Aufl.		gew.	As	a	1	1 bd,1	1bd,r	Lage
			[cm ²]	[m] -0.32	[m]	[m]	[m]	
Α	GB	2ø25	9.82	-0.32	18.32	0.32h	0.32h	1
В		4a25	19.63	-2.19	9.96	0.32	0.32	1

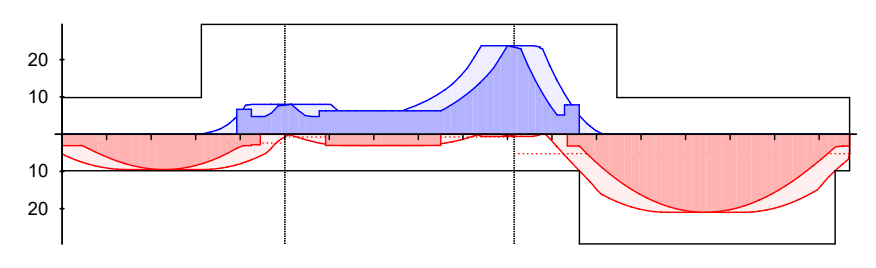
(Längen inkl. Verankerungslängen, ohne Stöße) h: gesonderte Verankerungsform erforderlich

Projekt: Sanierung und Neubau Wohnheim "Thomas Müntzer 18.12.2024 Datum: Position: 14-1 Auftrags-Nr.: 24-919 Seite: 237

Längsbewehrung M 1:170

As

[cm²]



erf. Längsbewehrung / Zugkraftdeckungslinie verl. Feldbewehrung gemäß DIN EN 1992-1-1, 9.2.1.4(1)

- vorhandene Längsbewehrung

Querkraftbewehrung (Bügel)

Feld	Хa	Хe	ds	s	Schn.	a sw
	[m]	[m]	[mm]	[cm]	[-]	$[cm^2/m]$
1	0.15	4.85	ø10	15.0	2	10.47
2	0.15	4.14	ø10	15.0	2	10.47
	4.14	5.00	ø10	7.5	2	20.94
3	0.15	2.14	ø10	7.5	2	20.94
	2.14	6.77	ø10	15.0	2	10.47
	6.77	7.38	ø10	7.5	2	20.94

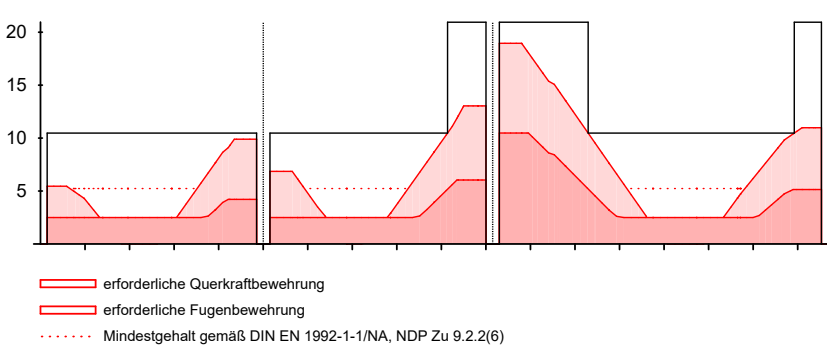
Gurtbewehrung

Querbewehrung je Plattenseite

•	<i>J J</i>				
Feld	XΑ	XE	Ø	S	a sf
	[m]	[m]	[mm]	[cm]	$[cm^2/m]$
1	0.00	2.30	10	30.0	2.62
	2.30	4.39	10	30.0	2.62
	4.39	5.00	10	30.0	2.62
2	5.00	6.69	10	30.0	2.62
	6.69	10.15	10	30.0	2.62
	10.15	7.83	10	30.0	2.62
	7.83	10.15	10	30.0	2.62
3	10.15	11.47	10	30.0	2.62
	11.47	14.49	10	30.0	2.62
	14.49	17.68	10	30.0	2.62

Querkraftbewehrung M 1:170 Asw

 $[cm^2/m]$



vorhandene Querkraftbewehrung

Sanierung und Neubau Wohnheim "Thomas Müntzer Projekt: 18.12.2024 Datum: Position: 14-1 Auftrags-Nr.: 24-919 Seite: 238

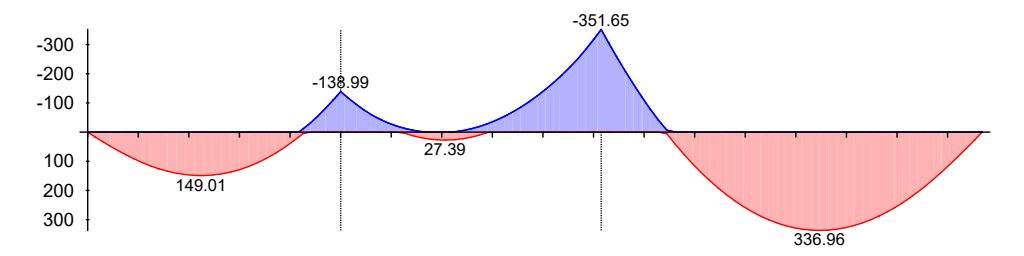
Brandschutznachweis nach DIN EN 1992-1-2 Nachweise (Brand)

	Ek	Σ ($\gamma*\psi*EW$)		
Brand	1	1.00*Gk		
	2	1.00*Gk	+0.30*Qk.N (1,3)	+0.20*Qk.W.000
	3	1.00*Gk	+0.30*Qk.N (3)	+0.20*Qk.W.090
	4	1.00*Gk	+0.30*Qk.N (2)	+0.20*Qk.W.090
	5	1.00*Gk	+0.30*Qk.N (2)	+0.20*Qk.W.000
	6	1.00*Gk	+0 - 30*0k - N	+0.20*0k.W.090

Brandkombinationen Moment M_{Ed}, fire M 1:150

[kNm]

mm



(1)

- Anforderung Feuerwiderstandsklasse: R90
- Nachweis der Feuerwiderstandsdauer $t_{reg} = 90 \text{ min}$
- 3-seitige Beflammung

Querschnitt Mindestabmessungen nach Tab. 5.6

Querschnittsbreite

300 150 mm ≥

Achsabstände mittlerer Achsabstand Balken

Mendadd and Control of Mendadd Cana Danken									
	X	Ek	η_{fi}	σ_{fi}	$ heta_{ t cr}$	а	Δa	$\mathbf{a}_{\mathtt{erf}}$	$a_{\mathtt{m}}$
	[m]		[-]	[N/mm²]	[°]	[mm]	[mm]	[mm]	[mm]
Feld 1	0.15	2	0.6	26.17	938	25	-20	5	43
	2.29	2	0.6	231.99	554	25	- 5	20	43
	3.46	4	0.5	149.81	620	25	-12	13	43
Feld 2	1.55	5	0.3	26.67	933	25	-20	5	43
	2.17	2	0.3	41.16	788	25	-20	5	43
Feld 3	2.26	2	0.6	95.31	664	25	-16	9	44
	4.29	2	0.6	176.65	599	25	-10	15	44
	7.38	2	0.6	42 03	780	25	-20	5	43

Achsabstand Einzelstäbe für Bereiche mit einlagiger Bewehrung

	Х	⊏K	ηfi	Ofi	Ucr	a R30	Δа	aerf	aR
	[m]		[-]	[N/mm2]	[°]	[mm]	[mm]	[mm]	[mm]
Feld 1	0.15	2	0.57	26.2	938	12	0	12	Ō
	2.29	2	0.55	232.0	554	12	- 5	7	43
	3.46	4	0.52	149.8	620	12	0	12	0
Feld 2	1.55	5	0.28	26.7	933	12	0	12	0
	2.17	2	0.31	41.2	788	12	0	12	0
Feld 3	7.38	2	0.58	42.0	780	12	0	12	0

Projekt: Sanierung und Neubau Wohnheim "Thomas Müntzer

Datum: Seite: 18.12.2024 239

Position: 14-1 Auftrags-Nr.: 24-919

Achsabstand Einzelstäbe für Bereiche mit mehrlagiger Bewehrung

X	$a_m/2$	a
[m]	[mm]	[mm]
2.26	22	<u> </u>
4.29	22	43

Achsabstand Eckstäbe

	X	a sd,erf	a	
	[m]	[mm]	[mm]	
Feld 1	0.15	5	43	
	2.29	20	43	
	3.46	13	43	
Feld 2	1.55	5	43	
	2.17	5	43	
Feld 3	2.26	_	_	
	4.29	-	_	
	7.38	5	43	

Der Brandschutz der Platte ist gesondert nachzuweisen.

Nachweise (GZG)

im Grenzzustand der Gebrauchstauglichkeit nach DIN EN 1992-1-1:2011-01

quasi-ständig

Feld 3

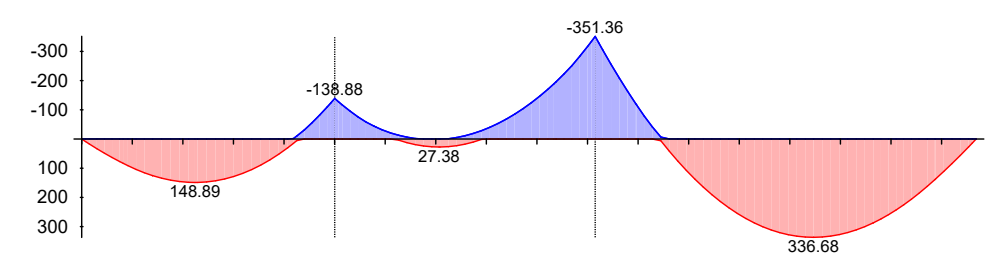
Ek
$$\Sigma (\gamma^*\psi^*EW)$$

1 1.00*Gk +0.30*Qk.N (1,3)

quasi-ständ. Komb. M 1:150

Moment MEd, perm

[kNm]



Verformungen

Begrenzungen der Verformungen im gerissenen Zustand (Zustand II)

Abs. 7.4

Der Nachweis wird für die quasi-ständigen Bemessungssituationen unter Langzeitbelastung durchgeführt.

Endkriechzahl	φ =	2.50
Endschwindmaß	ε =	-0.50
zul. Endverformung	f∞ =	1/250
zul. Differenzverformung	fΔ =	1/500

Feld 1

Χ	Ek	M_{Ed}	f _I ,∞		f _{II,} ∞	f∞, _{zul}
			$f_{I,0}$	$f_{II,0}$	$\Delta f_{ exttt{II}}$	Δf_{zul}
[m]		[kNm]	[mm]	[mm]	[mm]	[mm]
(L = 5. 2.29	00 m) 1	148.79	2.15 0.54	2.75	5.83 3.08	20.01 10.00

Projekt: Sanieru Auftrags-Nr.: 24-919	ung und Neubau Wohnheim "Thomas Müntzer Position: 14-1	Datum: Seite:	18.12.2024 240
	x Ek M _{Ed} f _I ,∞	f _{II} ,∞	f∞, _{zul}
	f _{I,0} f _{II,0}	Δf_{II}	Δf_{zul}
Feld 2	$\frac{[m] [kNm] [mm] [mm]}{(L = 5.15 m)}$	[mm]	[mm]
Teru Z	3.39 1 -68.31 -1.15 -0.24 -0.95	-2.21 -1.25	20.60 10.30
Feld 3	$ \begin{array}{cccccccccccccccccccccccccccccccccccc$	15.77 8.06	30.12 15.06
	$f_{\mathrm{I},0}/f_{\mathrm{II},0}=$ Verformungen ungerissen/Zeitpunkt t = 0 Verformungen ungerissen/Zeitpunkt t = ∞ Differenzverformungen f_{II}	gerisser	ızum
м 1:150	Grenzlinien der Verformungen f [mm]		
	5 2.1		

5 2.1 5.8 8.7 15.8 ----- Verformung Zustand I Verformung Zustand II

<u>Auflagerkräfte</u>	Auflagerkräfte	Träger
-----------------------	----------------	--------

Aut Layer Kraite	na ragerin aree ma	90.	
Char. Auflagerkr.	charakteristische	Auflagerkräfte (je Einwirkung)
	Aufl.	Fz,k,min	Fz,k,max
		[kN]	[kN]
Einw. <i>Gk</i>	A	103.78	103.78
	В	314.78	314.78
	B C	496.60	496.60
	D	166.78	166.78
Einw. <i>Qk.N</i>	A	-6.28	41.54
	В	-26.46	136.31
	C	-8.51	182.00
	D	-3.41	60.61
Einw. <i>Qk.S</i>	D A	4.32	4.32
·	В	11.62	11.62
	B C	18.13	18.13
	D	6.68	6.68
Einw. <i>Qk.W.000</i>	D A	0.53	0.53
	B C	1.42	1.42
	C	2.22	2.22
	D	0.82	0.82
Einw. <i>Qk.W.090</i>	A	-1.83	-1.83
	B C	-4.93	-4.93
	C	-7.70	-7.70
	D	-2.83	-2.83
Bemauflagerkräfte	Bemessungsauflage	rkräfte (Min/Max)	
	Aufl.	Fz,d,min	Fz,d,max
		[kN]	[kN]
Grundkombinationen	A	92.70	205.64
2. 2	В	270.64	638.12
	Č	476.12	957.00
	~	., 0.12	337.100

			· ·		
Projekt:	Sanierung	und Neubau Wohnheim "Thomas Müntz	er	Datum:	18.12.202
Auftrags-Nr.:	24-919	Position: 14-1		Seite:	24
		Aufl.	Fz,d,min		Fz,d,max
			[kN]		[kN]
		D	158.95		321.08
<u>Zusammenfa</u>	assun <u>g</u>	Zusammenfassung der Nachwe	eise		
Nachweise	(GZT)	Nachweise im Grenzzustan	d der Trag	fähigkeit	
		Nachweis		0rt	η
					[-]
		Expositionsklassen		Ol	
		Biegung Querkraft		Oł Oł	
		Fugenbemessung		Ol Ol	
		Gurtbewehrung		OH	
		Bewehrungswaħl		Ol	(
Nachweise	(Brand)	Brandfall im Grenzzustan	d der Trag	fähigkeit	
		Nachweis			η
					[-]
		Brand		Oł	(
Nachweise	(GZG)	Nachweise im Grenzzust.	der Gebrau	chstaugli	chkeit
		Nachweis	0rt	X	η
		V	1-1-2	[m]	[-]
		Verformungsnachweis	Feld 3	3.99 OF	0.54

Baustatik - Tragwerksplanung - Bauphysik

Sanierung und Neubau Wohnheim "Thomas Müntzer 18.12.2024 Datum: Position: 14-2 Seite: Auftrags-Nr.: 24-919 242

Pos. 14-2 Stb.-Unterzug

XC3, XA1, WF → Betondeckung = 3,5cm → C30/37

Mindestmaße R90 b_{min} ≥ 150mm, a ≥ 35mm → erfüllt

System M 1:160	Mehrfe Syster		ger					
		_ 1	<u>A</u> B	2	<u>C</u>		3	– – <u>–</u> D
	A +	5.002	<u></u>	5.15	· ·		7.53 ¹	—— ♦
			·	17.6	83			
	•							
	Ansich	nt						
м 1:160	<u> </u>							<u>.</u>
			Ü					
	30	4.70 ²	30	4.85	30		7.23 ¹	30
	*************************************		99		99			*************************************
Abmessungen	Feld	1	Х	М	aterial	QS		b _{eff} /b _w /h
Mat./Querschnitt		[m]	[m]					[cm]
	1	5.00	0.00		C 25/30	1		30.0/70.0
	1	- 4-	5.00			2		30.0/70.0
	2	5.15	-0.00			2	•	30.0/70.0
	2		2.58			3	•	30.0/70.0
	2	7 [2	5.15			4		30.0/70.0
	3 3	7.53	0.00			4		30.0/70.0
	3		7.53			5	192.0/3	30.0/70.0
Expositionsklasse	XC1							
Auflager	Lager		Х		b		Art	K _{T,z}
			[m]		m]			[kN/m]
	A		0.00	30			Beton	fest
	B C		5.00 10.15	30 30			Beton Beton	fest fest
	D		17.68	30			Beton	fest
6								
Längsfugen	Feld	Fı	uge		Zf		α	σ_{Nd}
					[cm]		[°]	[N/mm ²]
	1	gla	att		20.0 20.0		90 90	0.00
	1 2 3	gla	att att		20.0		90	0.00

Sanierung und Neubau Wohnheim "Thomas Müntzer Projekt:

18.12.2024 Datum: Position: 14-2 Auftrags-Nr.: 24-919 Seite: 243

Belastungen

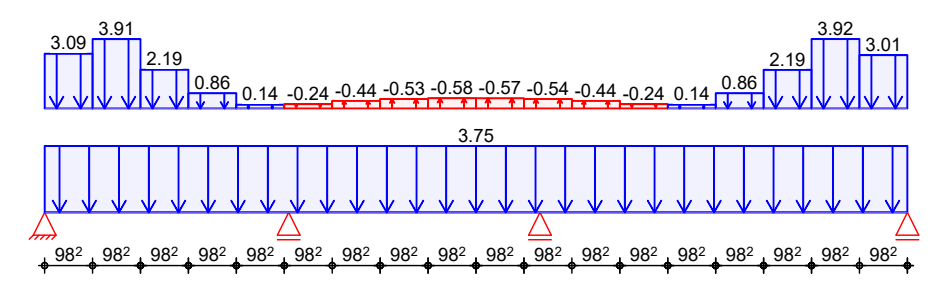
Belastungen auf das System

Grafik

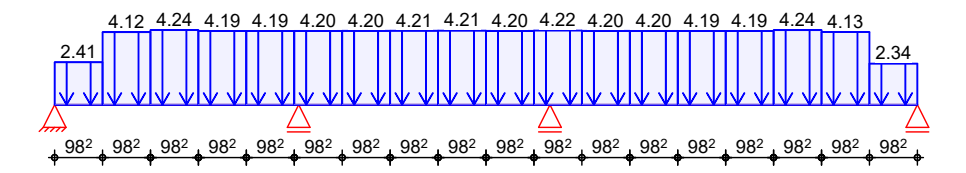
Belastungsgrafiken (einwirkungsbezogen)

Einwirkung

Gk



Qk.N



Qk.S



Qk.W.090



Streckenlasten

in z-Richtung

Einw. Gk

i rape:	ziasten
Feld H	Komm.

	Feld	Komm.	а	S	q _{li}	q _{re}
			[m]	[m]	[kN/m]	[kN/m]
	1	Eigengew	0.00	17.68		3.75
(a)	1	UZ-2: Gk	0.00	0.98	3.09	3.09
(a)	1	UZ-2: Gk	0.98	0.98	3.91	3.91
(a)	1	UZ-2: Gk	1.96	0.98	2.19	2.19
(a)	1	UZ-2: Gk	2.95	0.98	0.86	0.86
(a)	1	UZ-2: Gk	3.93	0.98	0.14	0.14
(a)	1	UZ-2: Gk	4.91	0.98	-0.24	-0.24
(a)	1	UZ-2: Gk	5.89	0.98	-0.44	-0.44
(a)	1	UZ-2: Gk	6.88	0.98	-0.53	-0.53
(a)	1	UZ-2: Gk	7.86	0.98	-0.58	-0.58
(a)	1	UZ-2: Gk	8.84	0.98	-0.57	-0.57
(a)	1	UZ-2: Gk	9.82	0.98	-0.54	-0.54
(a)	1	UZ-2: Gk	10.81	0.98	-0.44	-0.44
(a)	1	UZ-2: Gk	11.79	0.98	-0.24	-0.24
(a)	1	UZ-2: Gk	12.77	0.98	0.14	0.14
(a)	1	UZ-2: Gk	13.75	0.98	0.86	0.86
(a)	1	UZ-2: Gk	14.74	0.98	2.19	2.19
(a)	1	UZ-2: Gk	15.72	0.98	3.92	3.92
(a)	1	UZ-2: Gk	16.70	0.98	3.01	3.01
(a)	1	UZ-2: Qk.N	0.00	0.98	2.41	2.41
(a)	1	UZ-2: Qk.N	0.98	0.98	4.12	4.12

Einw. Qk.N

mb BauStatik S340.de, 2025.004

Baustatik - Tragwerksplanung - Bauphysik

Projekt: Sanierung und Neubau Wohnheim "Thomas Müntzer 18.12.2024 Datum: Position: 14-2 Auftrags-Nr.: 24-919 Seite: 244

	Feld	Komm.		a	S	q _{li}	q re
				[m]	[m]	[kN/m]	[kN/m]
	(a) 1		Qk.N	1.96	0.98	4.24	4.24
	(a) 1	UZ-2:		2.95	0.98	4.19	4.19
	(a) 1		Qk.N	3.93	0.98	4.19	4.19
	(a) 1		Qk.N	4.91	0.98	4.20	4.20
	(a) 1		Qk.N	5.89	0.98	4.20	4.20
	(a) 1		Qk.N	6.88	0.98	4.21	4.21
	(a) 1		Qk.N	7.86	0.98	4.21	4.21
	(a) $\frac{1}{1}$		Qk.N	8.84	0.98	4.20	4.20
	(a) $\frac{1}{1}$		Qk.N	9.82	0.98	4.22	4.22
	(a) $\frac{1}{1}$		Qk.N	10.81	0.98	4.20	4.20
	(a) $\frac{1}{1}$		Qk.N	11.79	0.98	4.20	4.20
	(a) $\frac{1}{1}$		Qk.N	12.77	0.98	4.19	4.19
	(a) $\frac{1}{1}$		Qk.N	13.75	0.98	4.19	4.19
	(a) $\frac{1}{1}$		Qk.N	14.74	0.98	4.24	4.24
	(a) $\frac{1}{1}$		Qk.N	15.72	0.98	4.13	4.13
rimu ok c	(a) <u>1</u>		Qk.N	16.70	0.98	2.34	2.34
Einw. <i>Qk.S</i>	(a) 1		Qk.S	0.00	0.98	0.02 0.03	0.02
	(a) 1		Qk.S	0.98 1.96	0.98 0.98	0.03	0.03
	(a) 1 (a) 1		Qk.S		0.98	0.02	0.02 0.02
			Qk.S Qk.S	14.74 15.72	0.98	0.02	0.02
	` 1		Qk.S	16.70	0.98	0.03	0.03
Einw. <i>Qk.W.090</i>	· · · _		Qk.W.(0.98	-0.01	-0.01
LIIIW. QK.W.030	(a) 1 (a) 1		Qk.w.(0.98	-0.01	-0.01
	(a) -	02 2.	QK.W.	J 1 1 1 L	0.50	0.01	0.01
(a)	aus F	os. '1	.1-1 -	UZ-2'			
<u>Kombinationen</u>	gemäß Fk		N 1992	-1-1 u	nd DIN EN	1990	

ständig/vorüberg.

Ek	Σ (γ*ψ*EW)		
1 2	1.00*Gk		
2	1.35*Gk	+1.50*Qk.N (1,3)	+0.75*Qk.S
3	1.00*Gk	+1.50*Qk.N (2)	+0.90*Qk.W.090
4	1.00*Gk	+1.50*Qk.N	+0.90*Qk.W.090
5	1.35*Gk	(1,3) +1.50*Qk.N	+0.75*Qk.S
6	1.00*Gk	(2) +1.50*Qk.N	+0.90*Qk.W.090
7	1.35*Gk	(3) +1.50*Qk.N	+0.75*Qk.S
8	1.35*Gk	(1,2) +1.50*Qk.N	+0.90*Qk.W.090
9	1.00*Gk	(1,2) +1.50*Qk.N	+0.75*Qk.S
10	1.00*Gk	(3) +1.50*Qk.N	+0.90*Qk.W.090
11	1.35*Gk	(2,3) +1.50*Qk.N	+0.75*Qk.S
12	1.00*Gk	(1) +1.50*Qk.N	+0.90*Qk.W.090
13	1.35*Gk	(1,2) +1.50*Qk.N	+0.75*Qk.S
14	1.00*Gk	(3) +1.50*Qk.N	+0.90*Qk.W.090

+0.75*Qk.S

15

1.35*Gk

+1.50*Qk.N

(1)

(2,3)

Projekt:	Sanierung ur	d Neubau Wohnheim "Thomas Müntzer	Datum:	18.12.2024
Auftrags-Nr.:	24-919	Position: 14-2	Seite:	245

	Ek	Σ (γ*ψ*EW)		
st./vor. Auflagerkr.	16	1.00*Gk	+1.50*Qk.N (1,2)	+0.90*Qk.W.090
	17	1.35*Gk	+1.50*Qk.N	+0.75*Qk.S
	18	1.00*Gk	(1,3) +1.50*Qk.N	+0.90*Qk.W.090
	19	1.35*Gk	(1,2,3) +1.50*Qk.N	+0.75*Qk.S
	20	1.00*Gk	(1,2) +1.50*Qk.N	+0.90*Qk.W.090
			(1)	•
	21	1.35*Gk	+1.50*Qk.N (1,2,3)	+0.75*Qk.S

Bem.-schnittgrößen

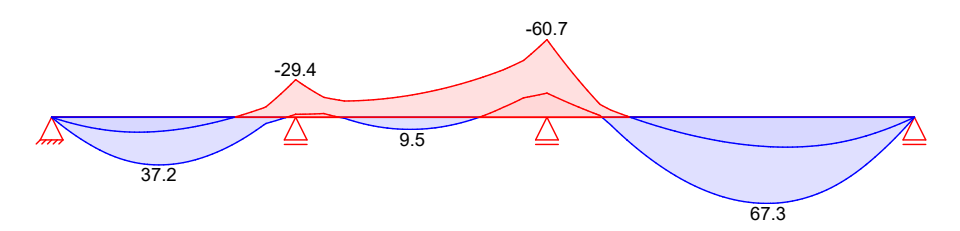
Bemessungsschnittgrößen

Grafik

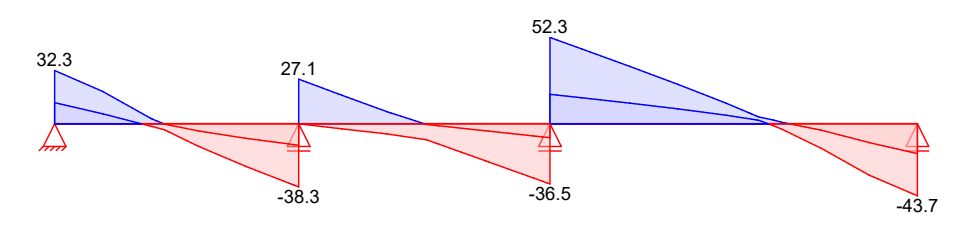
Schnittgrößen (Umhüllende)

Kombinationen

Moment $M_{y,d}[kNm]$



Querkraft $V_{z,d}[kN]$



Tabelle

Schnittgrößen (Umhüllende)

	Χ	$M_{y,d,min}$ Ek	$M_{y,d,max}$ Ek	$V_{z,d,min}$ Ek	$V_{z,d,max}$ Ek
	[m]	[kNm]	[kNm]	[kN]	[kN]
Feld 1	0.00	0.00 3	0.00 2	12.80 3	32.30 2
	0.15	1.84 3	4.70 2	11.77 3	30.37 2
	0.81	8.14 3	21.99 2	7.24 3	21.85 2
	0.98	9.27 3	25.52 2	6.07 3	19.66 2
	1.96	11.54 3	36.84 2	-1.44 3	3.40 2
	2.20	11.05 3	37.24 2	-3.23 5	0.45 4
	2.95	7.26 3	33.24 2	-13.67 7	-4.34 6
	3.93	-2.11 3	16.65 2	-25.96 7	-8.87 6
	4.19	-5.32 3	10.26 2	-28.97 7	-9.88 6
	4.85	-23.73 7	-0.42 6	-36.60 7	-12.45 6
	4.91	-25.94 7	-1.17 6	-37.29 7	-12.69 6
	4.91	-25.95 7	-1.17 6	-37.29 7	-12.69 6
	5.00	-29.35 7	-2.33 6	-38.28 7	-13.00 6
Feld 2	0.00	-29.35 7	-2.33 6	0.01 9	27.07 8
	0.15	-25.42 7	-2.37 6	-0.52 9	25.42 8
	0.81	-13.86 11	-0.63 10	-2.84 9	18.11 8
	0.89	-13.34 11	0.03 10	-3.12 9	17.23 8

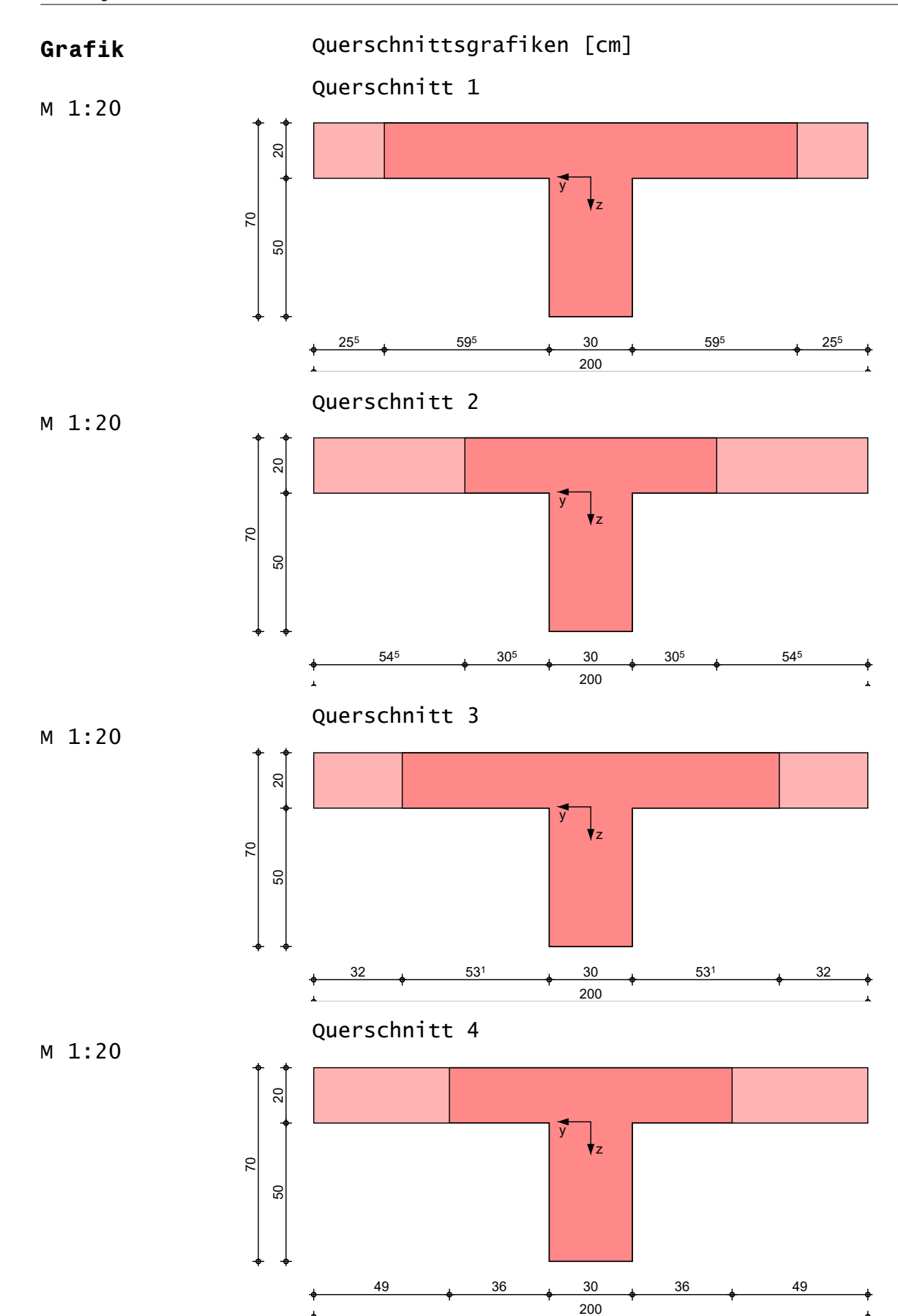
Projekt: Auftrags-Nr.:	ŭ	ana weasaa	"Thomas Münt Ltion: 14-2	zer Datum: Seite:	18.12.2024 246
Aur crags-Nr.	24-919		 	ocite.	

Feld 3	x [m] 1.87 2.39 2.86 3.84 4.82 4.82 5.00 5.15 0.00 0.15 0.65 0.81 1.64 2.62 2.62 3.60 4.53 4.58 4.58 5.57 5.57 6.55 6.72 7.38 7.53 7.53	My,d,min Ek [kNm] -14.68 2 -17.46 2 -20.95 2 -31.39 2 -38.45 13 -49.25 15 -49.26 15 -55.31 15 -60.67 15 -60.67 15 -52.93 15 -21.68 15 -0.96 3 10.79 3 10.80 3 18.98 3 22.97 3 23.07 3 22.07 3 22.07 3 22.07 3 22.07 3 22.07 3 22.07 3 22.07 3 22.07 3 22.07 3 24.52 3 14.52 3 10.01 3 0.00 3	My,d,max [kNm] 8.43 9.49 8.27 -1.07 -9.13 -16.26 -17.64 -18.87 -18.87 -16.23 -7.87 -5.42 17.63 45.31 45.32 62.11 67.33 67.31 59.53 59.52 36.81 31.30 6.41 0.01 0.00	3 3 12 14 14 14 14 14 14 2 2 2 2 2 2 2 2 2	V _{z,d,min} Ek [kN] -6.45 13 -8.69 13 -12.19 15 -22.60 15 -27.88 15 -33.01 15 -34.91 15 -36.51 15 17.86 14 17.38 14 15.76 14 15.24 14 12.51 14 9.06 14 9.06 14 9.06 14 9.06 14 -1.21 7 -1.21 4 -1.21 7	Vz,d,max Ek [kN] 6.71 12 1.80 12 -1.17 14 -4.29 14 -5.87 14 -7.41 14 -7.41 14 -7.98 14 -7.41 15 50.74 15 45.37 15 43.67 15 34.78 15 23.94 15 23.94 15 23.94 15 23.94 15 23.94 15 23.94 15 23.94 15 23.94 15 23.94 15 23.94 15 23.94 35 23.94
<u>Mat./Querschnitt</u>	Material 1:2011-0	- und Quers 1	chnittswe	erte	nach DIN EN	N 1992-1-
Material	Material C 25/30 B 500SB		f <u>.</u> [N/mm ² 50		f _{ck} [N/mm ²] 25	E [N/mm ²] 31000 200000
Querschnitt	QS Art PB PB PB PB: Platter Platter		bw [cm] 30.0 30.0 30.0 30.0 30.0	h [cm] 70.0 70.0 70.0 70.0	h _f [cm] 20.0 o 20.0 o 20.0 o 20.0 o 20.0 o	Iy [cm ⁴] 1634215 1379972 1587903 1439616 1761919

Projekt: Sanierung und Neubau Wohnheim "Thomas Müntzer

Auftrags-Nr.: 24-919 Position: 14-2

Datum: 18.12.2024 Seite: 247



Sanierung und Neubau Wohnheim "Thomas Müntzer Projekt: 18.12.2024 Datum: Position: 14-2 Seite: Auftrags-Nr.: 24-919 248

M 1:20

2 50

Expositionsklassen Abs. 4.2, 4.4 Feld 1 Feld 2 Feld 3

Expositionsklassen

Querschnitt 5

Seite		Kommentar
umlaufend	XC1	trocken oder ständig nass
umlaufend		trocken oder ständig nass
umlaufend	XC1	trocken oder ständig nass

30 200

Bewehrungsanordnung Achsabstände, Betondeckungen

_	Bezug	Cmin	Δc_{dev}	c_{nom}	c_{v}	d'
		[mm]	[mm]	[mm]	[mm]	[mm]
Feld 1	oben	10	10	20	20	38
	unten	10	10	20	20	38
	links	10	10	20	20	_
	rechts	10	10	20	20	_
Feld 2	oben	10	10	20	20	38
	unten	10	10	20	20	38
	links	10	10	20	20	_
	rechts	10	10	20	20	_
Feld 3	oben	10	10	20	20	38
	unten	10	10	20	20	38
	links	10	10	20	20	_
	rechts	10	10	20	20	_

Bemessung (GZT)

für den Grenzzustand der Tragfähigkeit nach DIN EN 1992-1-1:2011-01

Mindestmomente 5.3.2.2(3)

Kombinat.	Aufl.	min Mı	max Mı	min Mr	max Mr
		[kNm]	[kNm]	[kNm]	[kNm]
Grundkomb.	В	-25.15	0.00	-13.12	0.00
	C	-13.66	0.00	-53.46	0.00

Biegung Abs. 6.1

Bemessung für Biegebeanspruchung

X	Ek	$M_{yd,o}$	x/d_o	z_{o}	A_s,o	$A_{s,o,erf}$
		$M_{yd,u}$	x/d_u	z_{u}	A_s,u	$A_{s,u,erf}$
[m]		[kNm]		[cm]	[cm²]	[cm²]
(L = 5.	00 m)					
0.00	1	_	_	_	_	$0.31_{\rm e}$
	1	_	4.2E-4	66.2	_	2.95 _M
0.15 _a	3	1.84	_	_	_	$0.31_{\rm e}$
	2	4.70	0.006	66.1	0.16	2.95 _M
2.20*	3	11.04	_	_	-	_
	2	37.24	0.019	65.8	1.24	2.95м
3.46	3	2.93	_	_	_	0.21 _B
	2	26.08	0.015	65.9	0.87	2.95 _M
3.74	3	_	0.001	66.2	_	6.57 _M
	2	20.71	0.014	65.9	0.69	2.95 _M

Feld 1

Datum:

18.12.2024

Baustatik - Tragwerksplanung - Bauphysik

Projekt: Sanie	rung una Neubau woni				Datum:	18.12.2024
Auftrags-Nr.: 24-919	1	Position: 14	-2		Seite:	249
	x Ek	M _{yd,o}	x/d _o	Zo	As,o	As,o,erf
	χ 2.	M _{yd,u}	x/d_u	Zu		
	[m]	[kNm]	X/ Gu		A _{s,u} [cm²]	A _{s,u,erf} [cm ²]
	[m] 4.85a 7		0.035	[cm] 65.4	0.84	4.66 _M
	4.03a 7		0.033	05.4	0.04	0.74 _f
	5.00 7	-25.15	0.035	65.4	0.84	4.66 _M
	5.00 7		-	-	-	-
Feld 2	(L = 5.15)	m)				
	0.00 7	7 -24.57	0.035	65.4	0.82	4.66м
	$\frac{6}{0.15_{a}}$	5 -2.33 7 -25.42	0.035	65.4	0.85	4.66 _M
	0.13a 7		0.033	-	0.05	0.73 _f
	0.77 11		0.026	65.6	0.47	6.18 _M
	10		_	_	_	0.73 _f
	0.89 11	-13.36	0.025	65.6	0.45	6.18 _M
	10)				2.91 _M
	1.55	-13.54	0.025	65.6	0.45	6.18 _M
	$\frac{3}{2.35*}$	6.40	0.011	64.1	0.21	2.91 _M
	2.35* 2		0.029	65.5	0.57	6.18 _M
	2 00	9.50	0.013	64.3	0.32	2.91 _M
	2.89	-21.25	0.032	65.5	0.71	6.18 _M
	$\frac{3}{5.00a}$	8.09	0.014	64.0	0.27	2.91 _M
	5.00 _a 15		0.055	64.9	1.87	5.06 _M
	5.15 15	-17.64 -54.12	0.054	64.9	1.83	0.73 _f 5.06 _M
	14		0.034	-	-	J.00M
eld 3	(L = 7.53)	m)				
era 5	0.00 15		0.054	64.9	1.83	5.06 _M
	14		0.054	04.5	1.05	J.00M
	$0.15_{\rm a}$ 15	-53.46	0.054	64.9	1.80	5.06м
	14	-16.23	-	-	-	0.77 _f
	1.13	-9.26	0.021	65.7	0.31	0.77 _f 7.75 _M
	4	0.07	0.008	62.5	_	3.07 _M
	2.26	6.88	_	_	_	0.46в
	2	36.39	0.016	65.8	1.21	3.07 _M
	4.52*	22.93	_	_	_	_
	2		0.022	65.7	2.25	3.07м
	7.38 _a 3		_	-	-	0.56 _e
			0.007	66.1	0.21	3.07 _M
	7.53		- 2 7- :	-	-	0.56e
	1 Auflagarran		3.7E-4	66.2	-	3.07м
	a: Auflagerrand *: maximales Fe					
	e: Endauflagere	einspannung nach	9.2.1.2(1)	(1) 0 3 1 1	2(1)	
	t: verlangerte M: Mindestbeweh	Feldbew. nach Ab Irung nach Abs. 9)s. 9.2.1.4).2.1.1	(1), 9.3.1.2	Z(1)	
	B: Brandschutz	gem. DIN EN 1992	2-1-2, 5.6.	3(3)		
Querkraft	Bemessung ⁻	für Querkra	ftbeansp	ruchung		
Querkraft Abs. 6.2	x Ek	V_{Ed}	θ	$V_{Rd,max}$	$V_{Rd,c}$	$a_{sw,erf}$
	[m]	[kN]	[°]	[kN]	[kN]	[cm ² /m]
eld 1	$\frac{1}{(L = 5.00)}$		L J	[[[]	[IXIN]	[0 /]
C14 I	0.00		18.4	569.73	_	_
	0.15 _a 2			569.73	_	2.50 _M
	$0.13a$ 2 $0.81_{\rm V}$ 2			569.73	61.11	2.50 _M
	2.20			569.73	61.11	2.50 _M
	4.19 _v 7	28.97		569.73	66.58	2.50 _M
	4.85a 7	28.97_{R}		569.73	-	2.50 _M
	$\frac{4.03a}{5.00}$	$^{28.97}_{R}$		569.73	_	∠.JUM -
Feld 2	$\frac{3.00}{(1 = 5.15)}$		±0. r	555175		

Sanierung und Neubau Wohnheim "Thomas Müntzer

Feld 2

Projekt:

18.11_R 18.4

569.73

(L = 5.15 m)0.00 8

Projekt: Sanierung und Neubau Wohnheim "Thomas Müntzer 18.12.2024 Datum: Position: 14-2 Auftrags-Nr.: 24-919 Seite: 250

	Х	Ek	V_{Ed}	θ	$V_{Rd,max}$	V Rd,c	a _{sw,erf}
	[m]		[kN]	[°]	[kN]	[kN]	$[cm^2/m]$
	0.15 _a	8	18.11_{R}	18.4	569.73	_	2.50 _M
	$0.81_{ m v}$	8	18.11	18.4	569.73	66.58	2.50м
	2.35	13	8.51	18.4	569.73	66.58	2.50м
	4.34_{\vee}	1 5	27.88	18.4	569.73	66.58	2.50 _M
	5.00a	1 5	27.88_R	18.4	569.73	_	2.50 _M
	5.15	15	27.88_R	18.4	569.73	_	_
Feld 3	(L = 7	53 m)					
	0.00	15	43.67_R	18.4	569.73	_	_
	0.15_a	1 5	43.67_R	18.4	569.73	_	2.50 _M
	0.81_{\lor}	1 5	43.67	18.4	569.73	66.58	2.50 _M
	4.52	5	2.68	18.4	569.73	61.11	2.50 _M
	6.72 _v	2	33.41	18.4	569.73	61.11	2.50 _M
	7.38a	2	33.41_R	18.4	569.73	_	2.50 _M
	7.53	2	33.41_R	18.4	569.73	_	_
	a: Auflagen v: Abstand R: Querkrat M: Mindestk	d vom Auf t reduzie	lagerrand rt	.2.2			

Fugenbemessung

Х	V_{Ed}	VEdi	V Rdi,max	V Rdi,ct	a _{sw,erf}
[m]	[kN]	[kN/m]	[kN/m]	[kN/m]	$[cm^2/m]$

Längsfuge 1

Streckgrenze der Verbundbewehrung: fyk = 500 N/mm² glatt (c=0.20, μ =0.60, ν =0.20)

Feld 1 -	Kontakt	fläche im	Steg, b =	24.0 cm	
0.61	24.42	37.05	340.00	48.96	_
0.81_{v}	21.85	33.16	340.00	48.96	_
4.19_{\vee}	-28.97	43.99	340.00	48.96	_
4.35	-30.83	46.88	340.00	48.96	_

Längsfuge 2

Streckgrenze der Verbundbewehrung: $f_{yk} = 500 \text{ N/mm}^2$ glatt (c=0.20, μ =0.60, ν =0.20)

Feld 2 -	Kontaktf	läche im	Steg, b =	24.0 cm	
0.65	19.90	30.34	340.00	48.96	_
$0.81_{\rm v}$	18.11	27.60	340.00	48.96	_
4.34 _v	-27.88	42.80	340.00	48.96	_
4.50	-29.60	45.46	340.00	48.96	_

Längsfuge 3

Streckgrenze der Verbundbewehrung: $f_{yk} = 500 \text{ N/mm}^2$ glatt (c=0.20, μ =0.60, ν =0.20)

Feld 3 -	Kontaktf	Täche im	Steg, b =	24.0 cm	
0.65	45.41	69.53	340.00	48.96	0.66
0.81_{V}	43.67	66.72	340.00	48.96	0.57
1.80	32.97	50.03	340.00	48.96	0.03
6.69	-33.01	50.12	340.00	48.96	0.04
6.72 _v	-33.41	50.73	340.00	48.96	0.06
6.92	-35.94	54.53	340.00	48.96	0.18

Anschluss der Gurte Gurtanschlusskräfte (maßgebende Abschnittsdaten)

Feld	Ek	X Α	ΧE	ΔΜ	ΔFc	Anteil	ΔFd
		[m]	[m]	[kNm]	[kN] je	e Gurt	[kN] 16.8
1	2	0.00	1.10	27.7	42.1	0.40 ^D	16.8
	2	3.38	4.55	27.5	41.7	0.40 ^d	16.7
3	2	11.30	12.99	50.1	76.2	0.42 ^D	32.1
	2	16.18	17.68	50.7	77.1	0.42 ^D	32.5

251

Baustatik - Tragwerksplanung - Bauphysik

Projekt: Sanierung und Neubau Wohnheim "Thomas Müntzer 18.12.2024 Datum: Position: 14-2 Seite: Auftrags-Nr.: 24-919

Feld	Ek	XΑ	ΧE	ΔM	ΔF_c	Anteil	ΔF_d
		[m]	[m]	[kNm]	[kN]j	e Gurt	[kN]
2	3	5.94	6.67	7.3	11.3	0.39□	4.4
	3	8.08	8.76	7.0	10.9	0.39□	4.3
1	7	4.56	5.00	15.8	24.2	0.07 ^z	3.6
2	8	5.00	5.81	18.2	27.9	0.07 ^z	3.9
	15	8.75	10.15	40.8	63.0	0.07^{z}	8.8
3	15	10.15	10.82	32.8	50.7	0.09 ^z	8.7

D: Druckgurt: Anteil einer Gurtbreite an beff Z: Zuggurt: Anteil aus ausgelagerter Bewehrung

Querbewehrung

Feld	Ek	XΑ	XE	$oldsymbol{V}Ed$	V Rd,max	a sf,erf
		[m]	[m]	$[N/mm^2]$	$[N/mm^2]$	$[cm^2/m]$
1	2	0.00	1.10	0.076	5.225	0.29
		3.38	4.55	0.071	5.225	0.27
3		11.30	12.99	0.095	5.225	0.36
		16.18	17.68	0.109	5.225	0.42
2	3	5.94	6.67	0.030	5.225	0.12
		8.08	8.76	0.031	5.225	0.12
1	7	4.56	5.00	0.041	5.225	0.19
2	8	5.00	5.81	0.024	5.225	0.11
	15	8.75	10.15	0.031	5.225	0.14
3		10.15	10.82	0.065	5.225	0.30

Die Querbewehrung ist jeweils zur Hälfte oben und unten in die Platte einzulegen. Die Bewehrung aus Querbiegung darf gemäß 6.2.4(5) angerechnet werden.

Bewehrungswahl

untere Längsbewehrung

Feld	gew.	As	а	1	1 bd,1	1bd,r	Lage
		[cm ²]	[m]	[m]	[m]	[m]	
1	GB 2ø16	4.02	-0.01	17.70	0.16	0.16	

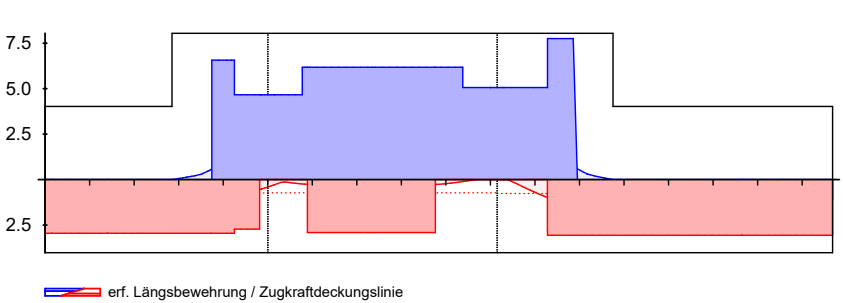
(Längen inkl. Verankerungslängen, ohne Stöße)

obere Längsbewehrung /

Aufl.	gew.	As	а	1	$1_{bd,1}$	1bd,r	Lage
		[cm ²]	[m]	[m]	[m]	[m]	
Α	GB 2ø16	4.02	-0.20	[m] 18.09	0.20h	0.20h	1
В	2a16	4.02	-2.35	10.31	0.20	0.20	1

(Längen inkl. Verankerungslängen, ohne Stöße) h: gesonderte Verankerungsform erforderlich

Längsbewehrung м 1:170



verl. Feldbewehrung gemäß DIN EN 1992-1-1, 9.2.1.4(1)

vorhandene Längsbewehrung

[cm²]

Αs

Baustatik - Tragwerksplanung - Bauphysik

Projekt: Sanierung u Auftrags-Nr.: 24-919	nd Neuba		m "Thomas sition: 1			Datum: Seite:	18.12.2024 252
Querkraftbewehrung	Feld	Xa	Χe	ds	S	Schn.	a sw
(Bügel)		[m]	[m]	[mm]	[cm]	[-]	$[cm^2/m]$
	1	0.15	4.85	ø10	15.0	2	10.47
	2	0.15	5.00	ø10	15.0	2	10.47
	3	0.15	7.38	ø10	15.0	2	10.47
Gurtbewehrung		ewehrung	je Plat	tenseite			
	Feld		X Α	ΧE	Ø	S	a sf
		[r	n]	[m]	[mm]	[cm]	[cm ² /m]
	1	0.0		2.20	10	15.0	5.24
		2.2		4.55	10	15.0	5.24
		4.5		5.00	10	15.0	5.24
	2	5.0		5.94	10	15.0	5.24
		5.9		7.39	10	15.0	5.24
		7.3	39	7.34	10	15.0	5.24
		7.3	34 10	0.15	10	15.0	5.24
	3	10.3	15 13	1.30	10	15.0	5.24
		11.3	30 1	4.69	10	15.0	5.24
		14.6	59 1	7.68	10	15.0	5.24
Querkraftbewehrung M 1:170	Asw						[cm²/m]
10.0	p			***			
7.9	5						
5.0	o					·	
0.0							
2.5	5						
							_
			1 1 1	1			
		rderliche Querkraftbev rderliche Fugenbeweh					
		destgehalt gemäß DIN		IDP Zu 9.2.2(6)			
	—— vorh	andene Querkraftbew	ehrung				
Nachweise (Brand)	Brand	schutzna	chweis r	nach DIN I	EN 1992-	-1-2	
nachweise (Brana)	Ek	Σ (ν* 4/*	EW)				
Brand	1	Σ (γ*ψ* 1.00*Gk					
DI allu	2	1.00*Gk 1.00*Gk		+0.30*Qk	. N		
	۷	1.00 GK		(1,3)	. IN		
	3	1.00*Gk		+0.30*Qk	. N	+0.20*Qk	.W.090
	4	1.00*Gk		(3) +0.30*Qk	. N	+0.20*Qk	.w.090
				(2,3)			
	5	1.00*Gk		+0.30*Qk (2)	. N	+0.20*Qk	.W.090

Datum:

Position: 14-2 Auftrags-Nr.: 24-919

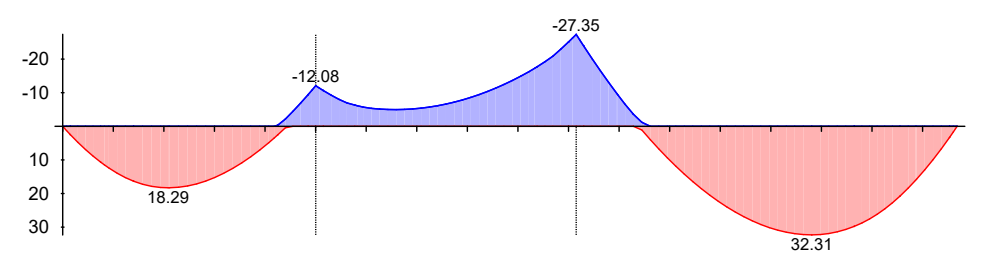
Seite: 253

Brandkombinationen M 1:150

Moment M_{Ed}, fire

[kNm]

18.12.2024



- Anforderung Feuerwiderstandsklasse: R90 Nachweis der Feuerwiderstandsdauer t_{req} = 90 min
- 3-seitige Beflammung

Querschnitt

Mindestabmessungen nach Tab. 5.6 Querschnittsbreite

300 b =

150 mm ≥

2 - - -

Λа

mm

Achsabstände

mittlerer Achsabstand Balken

	^	LN	יןדו	011	Ucr	а	Δа	aert	am
	[m]		[-]	[N/mm²]	[°]	[mm]	[mm]	[mm]	[mm]
Feld 1	0.15	2	0.5	8.86	1111	25	-20	5	38
	2.20	2	0.5	65.56	688	25	-19	6	38
	3.46	2	0.4	41.88	781	25	-20	5	38
	3.74	2	0.4	31.54	885	25	-20	5	38
Feld 3	2.26	2	0.4	56.99	694	25	-19	6	38
	4.52	2	0.5	116.16	647	25	-15	10	38
	7.38	2	0.5	11.86	1081	25	-20	5	38

ne:

Achsabstand Einzelstäbe

	Х	ΕK	ηfi	σfi	θcr	a R30	Δа	a_{erf}	a_R
	[m]		[-]	[N/mm²]	[°]	[mm]	[mm]	[mm]	[mm]
Feld 1	0.15	2	0.53	8.9	1111	12	Ō	12	0
	2.20	2	0.49	65.6	688	12	0	12	0
	3.46	2	0.45	41.9	781	12	0	12	0
	3.74	2	0.42	31.5	885	12	0	12	0
Feld 3	2.26	2	0.44	57.0	694	12	0	12	0
	4.52	2	0.48	116.2	647	12	0	12	0
	7 38	2	0 52	11 9	1081	12	0	12	0

Achsabstand Eckstäbe

	X	a _{sd,erf}	a	
	[m]	[mm]	[mm]	
Feld 1	0.15	5	38	
	2.20	6	38	
	3.46	5	38	
	3.74	5	38	
Feld 3	2.26	6	38	
	4.52	10	38	
	7.38	5	38	

Der Brandschutz der Platte ist gesondert nachzuweisen.

Nachweise (GZG)

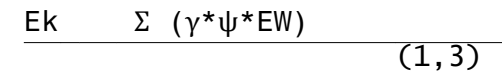
im Grenzzustand der Gebrauchstauglichkeit nach DIN EN 1992-1-1:2011-01

 $\Sigma (\gamma^*\psi^*EW)$ Ek quasi-ständig 1.00*Gk +0.30*Qk.N

mb BauStatik S340.de, 2025.004

Baustatik - Tragwerksplanung - Bauphysik

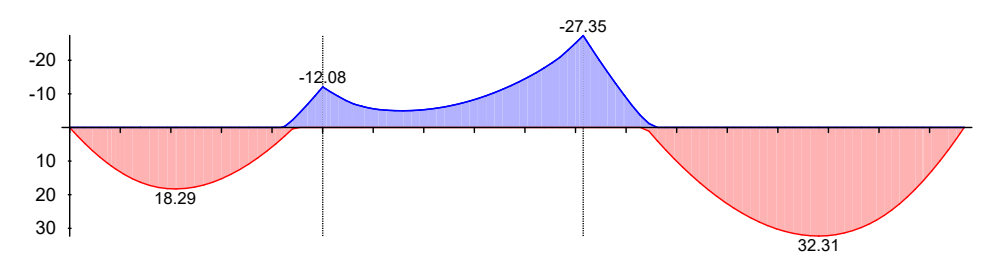
Projekt: Sanierung und Neubau Wohnheim "Thomas Müntzer 18.12.2024 Datum: Position: 14-2 Auftrags-Nr.: 24-919 Seite: 254



quasi-ständ. Komb. M 1:150

Moment M_{Ed}, perm

[kNm]



Verformungen

Begrenzungen der Verformungen im gerissenen Zustand (Zustand II)

Abs. 7.4

Der Nachweis wird für die quasi-ständigen Bemessungssituationen unter Langzeitbelastung durchgeführt.

$$\phi = 2.50 \\
\varepsilon = -0.50$$

1.00

15.06

zul. Endverformung zul. Differenzverformung

$$f_{\infty} = 1/250$$

 $f_{\Delta} = 1/500$

Χ	Ek	M_{Ed}	f _I ,∞		f _{II} ,∞	f∞,zul
			$f_{I,0}$	$f_{II,0}$	$\Delta f_{ exttt{II}}$	Δf_{zul}
[m]		[kNm]	[mm]	[mm]	[mm]	[mm]
	.00 m)					
2.29	1	18.13	0.39		0.39	20.01
			0.07	0.07	0.33	10.00
CL = 5	15 m					
3.07	1	-8.61	-0.23		-0.23	20.60
			-0.04	-0.04	-0.19	10.30
L = 7	(.53 m)					
4.15	1	31.51	1.23		1.23	30.12

Feld 2 Feld 3

Feld 1

 $f_{I,0}/f_{II,0} =$ Verformungen ungerissen/gerissen zum zeitpunkt t = 0

0.23

 $f_{\text{I},\infty}/f_{\text{II},\infty} =$

Verformungen ungerissen/gerissen zum Zeitpunkt t = ∞

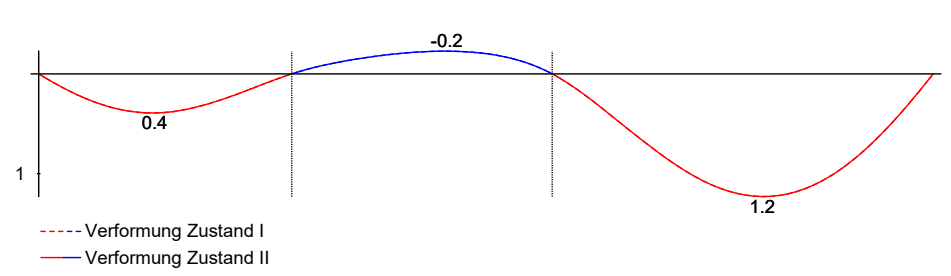
0.23

 $\Delta f_{II} =$

Differenzverformungen f_{II,∞} - f_{II,0}

Grenzlinien der Verformungen f [mm]

M 1:150



Baustatik - Tragwerksplanung - Bauphysik

Projekt:	Sanierung	und Neubau W	/ohnheim	"Thomas	Müntzer	Datum:	18.12.2024
Auftrags-Nr.:	24-919		Posi	tion: 1	4-2	Seite:	255

<u>Auflagerkräfte</u>	Auflagerkräfte Träge	r	
Char. Auflagerkr.	charakteristische A	uflagerkräfte (je E	inwirkung)
	Aufl.	Fz,k,min	Fz,k,max
		[kN]	[kN]
Einw. <i>Gk</i>	A	14.50	14.50
	В	20.42	20.42
	C	28.79 19.02	28.79 19.02
Einw. Qk.N	D A	-1.13	8.46
2	В	-4.93	25.19
	C	-1.64	33.31
	D	-0.61	11.97
Einw. <i>Qk.S</i>	A	0.04	0.04
	В	0.02	0.02
	C	0.02 0.04	0.02 0.04
Einw. <i>Qk.W.090</i>	D A	-0.01	-0.01
Z111W: QK:W:050	В	0.00	0.00
	Č	0.00	0.00
	D	-0.01	-0.01
Bemauflagerkräfte	Bemessungsauflagerk	räfte (Min/Max)	
beili aut raget kt at ce	Aufl.	Fz,d,min	E- d may
	Auii.	[kN]	Fz,d,max
Grundkombinationen	A	12.80	[kN] 32.30
di dilakollib i ila e i oli eli	В	13.01	65.35
	C	26.33	88.85
	D	18.09	43.67
Zusammenfassung Nachweise (GZT)	Zusammenfassung der Nachweise im Grenzz	Nachweise zustand der Tragfähi	gkeit
	Nachweis	0r	t ŋ
	F.,,,,,,,,,,,,,,,,,,,,,,,,,,,,,,,,,,,,		[-]
	Expositionsklassen		OK OK
	Biegung Querkraft		OK OK
	Fugenbemessung		OK
	Gurtbewehrung		OK
	Bewehrungswaȟl		ОК
Nachweise (Brand)	Brandfall im Grenzz	ustand der Tragfähi	gkeit
	Nachweis		η
	Brand		OK [-]
Nachweise (GZG)	Nachweise im Grenzz	ust. der Gebrauchst	auglichkeit
	Nachweis		x η
		[m] [-]
	Verformungsnachweis	Feld 3 4.1	5 OK 0.07

18.12.2024

Projekt: Sanierung und Neubau Wohnheim "Thomas Müntzer Datum:

Auftrags-Nr.: 24-919 Position: 15 Seite: 256

Pos. 15

Stb.-Stütze

System

Pendelstütze aus Stahlbeton nach DIN EN 1992-1-1

System

M 1:100



Abmessungen Mat./Querschnitt



System ist unverschieblich in z- und y-Richtung

Expositionsklassen

Geschoss 1 (WA, XC4, XD1 und XM1)

Belastungen

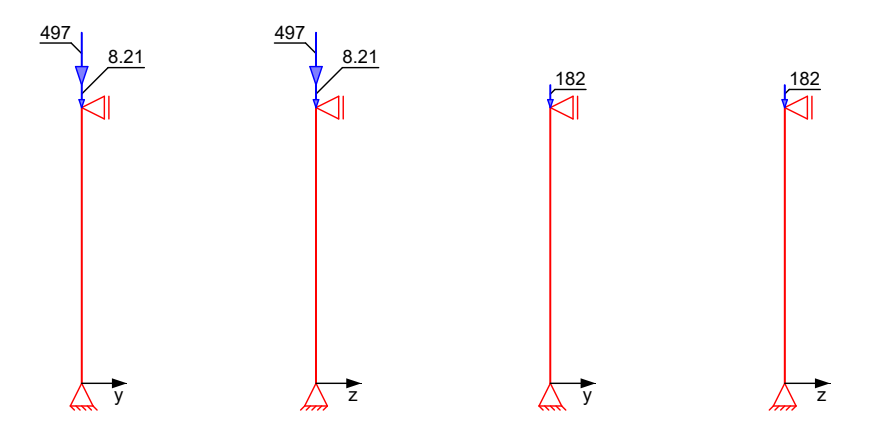
Belastungen auf das System

Grafik

Belastungsgrafiken (einwirkungsbezogen)

Einwirkungen

GK GK OK.N OK.N



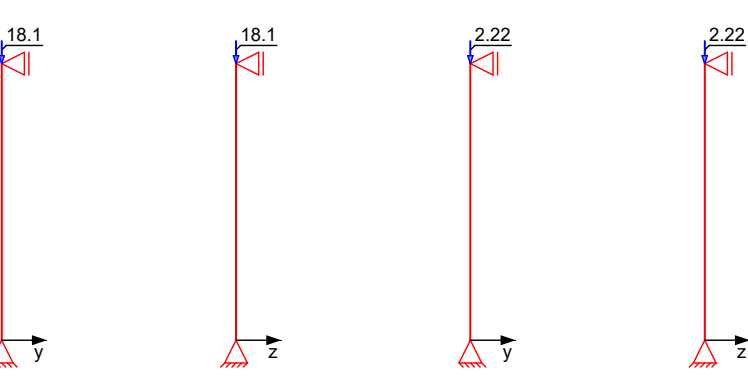
Baustatik - Tragwerksplanung - Bauphysik

Projekt: Sanierung und Neubau Wohnheim "Thomas Müntzer

Position: 15 Auftrags-Nr.: 24-919

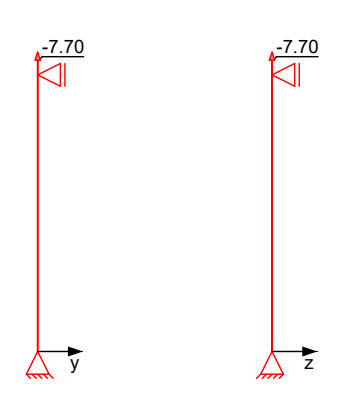
Datum: Seite: 18.12.2024 257

Qk.S Qk.S Qk.W.000 Qk.W.000 18.1



Qk.W.090

Qk.W.090



Punktlasten

in x-Richtung

Einw. Gk

Einw.	Qk.N
Einw.	Qk.S
Einw.	Qk.W.000
Einw.	Qk.W.090

Einzellasten

	KUIIIII .	a	Гχ	еу	υz
		[m]	[kN]	[cm]	[cm]
	Eigengew	3.65	8.21		
(a)	5 5	3.65	496.60	0.0	0.0
(a)		3.65	182.00	0.0	0.0
(a)		3.65	18.13	0.0	0.0
(a)		3.65	2.22	0.0	0.0
(a)		3.65	-7.70	0.0	0.0

(a)

aus Pos. '14-1', Lager 'C' (Seite 240)

Kombinationen

Kombinationsbildung nach DIN EN 1990 Darstellung der maßgebenden Kombinationen

ständig/vorüberg. Brand

EK	Σ (γ*ψ*EW)			
2	1.35*Gk	+1.50*Qk.N	+0.75*Qk.S	
4	1.00*Gk	+0.20*Qk.W.000	+0.30*Qk.N	

Sanierung und Neubau Wohnheim "Thomas Müntzer Projekt:

18.12.2024 Datum: Position: 15 Auftrags-Nr.: 24-919 Seite: 258

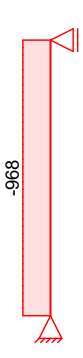
Bem.-schnittgrößen Bemessungsschnittgrößen

Grafik

Schnittgrößen (maßgebende)

Komb. 2 (GK)

Normalkraft Nd[kN]



Komb. 4 (BK)

Normalkraft Nd[kN]



Tabelle

Schnittgrößen (maßgebende)

	Χ	N_d
	[m]	[kN]
Komb. <i>2 (GK)</i>	3.65	-968.09
	0.00	-968.09*
Komb. <i>4 (BK)</i>	3.65	-559.86
	0.00	-559.86*

Mat./Querschnitt

Material- und Querschnittswerte nach DIN EN 1992-1-1:2011-01

Material	Materi	.al		$f_{\gamma k}$	f _{ck}	Е
				$[N/mm^2]$	[N/mm²]	$[N/mm^2]$
	C 30/3	7			30	33000
	B 500S	SB		500		200000
Querschnitt	Art	by	bz	Α	Iy	Iz
		[cm]	[cm]	[cm²]	[cm ⁴]	[cm4]
	RE	30.0	30.0	900	67500	67500

RE: Rechteckquerschnitt

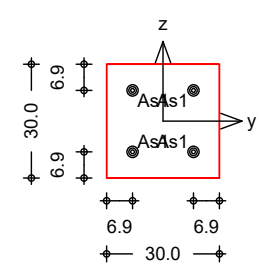
Sanierung und Neubau Wohnheim "Thomas Müntzer Projekt: 18.12.2024 Datum:

Position: 15 Seite: Auftrags-Nr.: 24-919 259

Grafik

Querschnittsgrafik

M 1:20



Expositionsklassen Abs. 4.2, 4.4

Expositionsklassen

Seite			Kommentar
umlaufend	е		wechselnd nass und trocken
		XD1	mäßige Feuchte
		XM1	Mäßige
			Verschleißbeanspruchung
		WA	Häufig oder längere Zeit
			feuchter Beton mit
			Alkalizufuhr von außen
		e:	Es sind zusätzliche
			Anforderungen an die
			Gesteinskörnung zu
			berücksichtigen

Bewehrungsanordnung Achsabstände, Betondeckungen

Bezug	$c_{ exttt{min}}$	Δc_{dev}	c_{nom}	Cv	d'
	[mm]	[mm]	[mm]	[mm]	[mm]
oben	40	15	5.5	5.5	69
unten	40	15	55	55	69
links	40	15	55	55	69
rechts	40	15	55	55	69
	Bewehrungsgrad		$\rho_{\text{min}} =$	0.00	%
Maximaler	Bewehrungsgrad		$\rho_{\text{max}} =$	9.00	%

Bemessung (GZT)

für den Grenzzustand der Tragfähigkeit nach DIN EN 1992-1-1:2011-01

Stabilität

Nachweis der Knicksicherheit

Verfahren mit Nennkrümmung getrennt für y- u. z-Richt.

Schlankheiten Abs. 5.8.3.1(1)	Achse y z	Ek 2 2	lo [m] 3.65 3.65	i [cm] 8.7 8.7	λ [-] 42.1 42.1	λ _{lim} [-] 25.0 25.0
Imperfektionen Abs. 5.2(7)	α [- 1.00] [1/:	/θ _{iz} rad] [200	1/θ _{iy} [1/rad] 200	e _{iz} [cm] 0.91	e _{iy} [cm] 0.91
	Krümmungsb	eiwert			c =	10 -

Baustatik - Tragwerksplanung - Bauphysik

Projekt: Sanierung u Auftrags-Nr.: 24-919	nd Neubau Wohnhe P	eim "Thomas Mür Position: 15	ntzer	Datum: Seite:	18.12.2024 260
Theorie II. Ordnung Abs. 5.8.8.3	Ek 2	Kr [-] 0.66	K _{1z} [-] 1.00	1/rz [1/m] 1.37E-2	e _{2y} [cm] 1.83
	Ek 2	Kr [-] 0.66	K _{1y} [-] 1.00	1/ry [1/m] 1.37E-2	e2z [cm] 1.83
Bemschnittgrößen	X	M_{OEdz}		M_{2z}	M_{Edz}
Komb. <i>2 (GK)</i>	[m] 3.65 1.78 0.00	[kNm] 8.83 8.83 8.83		[KNm] 0.00 17.68 0.00	[kNm] 8.83 26.51 8.83
Komb. <i>2 (GK)</i>	x [m] 3.65 1.78 0.00	M _{OEdy} [kNm] 8.83 8.83 8.83		M _{2y} [kNm] 0.00 17.68 0.00	M _{Edy} [kNm] 8.83 26.51 8.83
Biegung Abs. 6.1	Nachweis der Ek x [m] 2 1.78 Gesamte Stah	NEd [kN] -968.09 lfläche	Normalkr Medy [kNm] 26.51	afttragfähigko MEdz [kNm] 26.51 As = 3.3	As1 [cm²] 0.83 _M

Projekt: Sanierung und Neubau Wohnheim "Thomas Müntzer Datum: 18.12.2024 Auftrags-Nr.: 24-919 Position: 15 Seite: 261

Nachweise (Brand)

Brandschutznachweis nach DIN EN 1992-1-2, Abs. 5.3 und DIN EN 1992-1-2/NA

- Anforderung Feuerwiderstandsklasse: R90
- Nachweis der Feuerwiderstandsdauer t_{reg} = 90 min
- allseitige Brandbeanspruchung
- Voraussetzung für die Anwendung der Brandschutznachweise nach DIN EN 1992-1-2, Tabelle 5.2a und 5.2b ist, dass die Stütze sich innerhalb eines ausgesteiften Bauwerks befindet.

Knicklänge im Brandfall	$l_{0.fi} =$	1.83	m
3	≤	3.00	m
Bewehrungsgehalt	ρ =	0.50	%
		4 00	

Ausnutzungsgrad Abs. 5.3.2 (3)

⊏K	Х		INEC	d,fi	INRd	μfi
	[m]		[k	(N]	[kN]	[-]
4	0.00		-554.	.11 -1	710.96	0.32
Ek	x	FK Typ	b_{min}	b _{vorh}	d' _{min}	d' _{vorh}

Mindestmaße Tabelle 5.2a

Typ 1: Stb.-Stütze mit Rechteck- oder
Kreisquerschnitt mit mehrseitiger
Brandbelastung (Klassifizierung nach DIN EN
1992-1-2 Tabelle 5.2a)

Die Mindestquerschnittsabmessungen und -achsabstände sind eingehalten. Die Stütze ist für eine Feuerwiderstandsdauer von 90min nachgewiesen.

Bewehrungswahl

Längsbewehrung L

Lage	Anz.	d_{s}	As,vorh
		[mm]	[cm²]
je Ecke	1 Ø	12	1.13

Querbewehrung

vorh. Stahlfläche
$$A_s = 4.52 \text{ cm}^2$$
 vorh. Bewehrungsgrad $\rho = 0.50 \text{ }\%$

Auflagerkräfte

Char. Auflagerkr.

	Aufl.	Fx,k	Fz,k	Fy,k	My,k	Mz,k
		[kN]	[kN]	[kN]	[kNm]	[kNm]
Einw. <i>Gk</i>	A	504.81	0.00	0.00	0.00	0.00
	В	0.00	0.00	0.00	0.00	0.00
Einw. <i>Qk.N</i>	A	182.00	0.00	0.00	0.00	0.00
	В	0.00	0.00	0.00	0.00	0.00
Einw. <i>Qk.S</i>	A	18.13	0.00	0.00	0.00	0.00
	В	0.00	0.00	0.00	0.00	0.00
Einw. <i>Qk.W.000</i>	A	2.22	0.00	0.00	0.00	0.00
	В	0.00	0.00	0.00	0.00	0.00

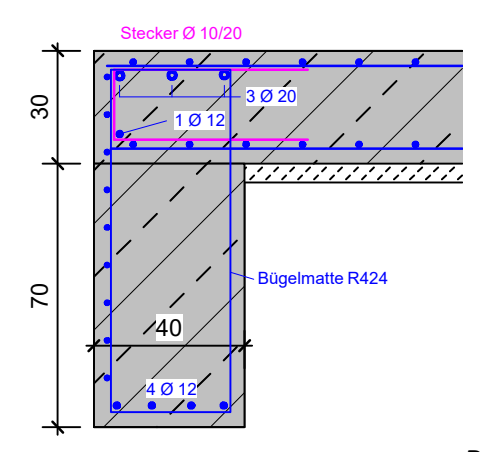
Baustatik - Tragwerksplanung - Bauphysik

Auftrags-Nr.: 24-919 Position: 15 Seite:	
Aufl. Fx,k Fz,k Fy,k My,k M	z,K
[kN] [kN] [kN] [kNm] [kN	
Einw. $Qk.W.090$ A -7.70 0.00 0.00 0.00 0.	
в 0.00 0.00 0.00 0.00 0.	00
Bemauflagerkräfte	
Aufl. Fx,d Fz,d Fy,d My,d M	z,d
[kN] [kN] [kN] [kNm] [kN	m]
Komb. 2 A 968.09 0.00 0.00 0.00 0.	
B 0.00 0.00 0.00 0.00 0. Komb. 4 559.86 0.00 0.00 0.00 0.	
в 0.00 0.00 0.00 0.00 0.	00
Zusammenfassung der Nachweise	
Nachweise (GZT) Nachweise im Grenzzustand der Tragfähigkeit	
Nachweis	η
_	_
Expositionsklassen OK	<u>- 1</u>
Stabilität OK	
Biegung OK	
Brand OK	
Bewehrungswahl OK	

Projekt: Sanierung und Neubau Wohnheim "Thomas Müntzer Datum: 18.12.2024 Auftrags-Nr.: 24-919 Position: 16 Seite: 263

Pos. 16 Frostschürze (Garage)

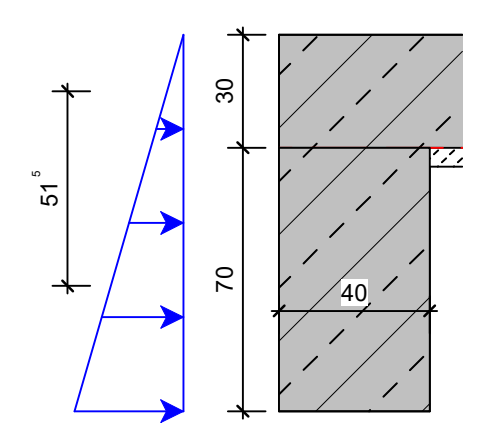
C 20/25 in XC2, WF



Bewehrungsskizze

Die Bemessung erfolgt gem. der FE-Berechnung am Gesamtmodell UG. Die Gründung muss bis auf ausreichend frostfreien und tragfähigen Baugrund erfolgen.

Biegung aus passiven Erddruck

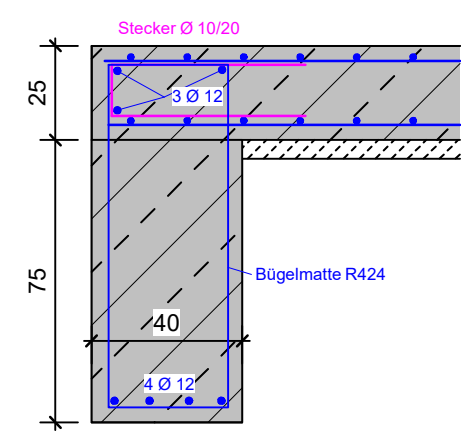


Ep = $1/2 \cdot \gamma \cdot h^2 \cdot 5,737 = 1/2 \cdot 20 \cdot 1^2 \cdot 5,737 = 57,37 \text{ kN/m}$ mEd,y = $1,4 \cdot 0,52 \cdot 57,37 = 41,5 \text{ kNm/m}$ erf. as,Fundament = $3,64 \text{ cm}^2/\text{m} \leftarrow \text{As.min}$ maßgebend erf. as,Bodenplatte = $3,59 \text{ cm}^2/\text{m}$

Projekt: Sanierung und Neubau Wohnheim "Thomas Müntzer Datum: 18.12.2024 Auftrags-Nr.: 24-919 Position: 17 Seite: 264

Pos. 17 Frostschürze (EG)

C 20/25 in XC2, WF



Bewehrungsskizze

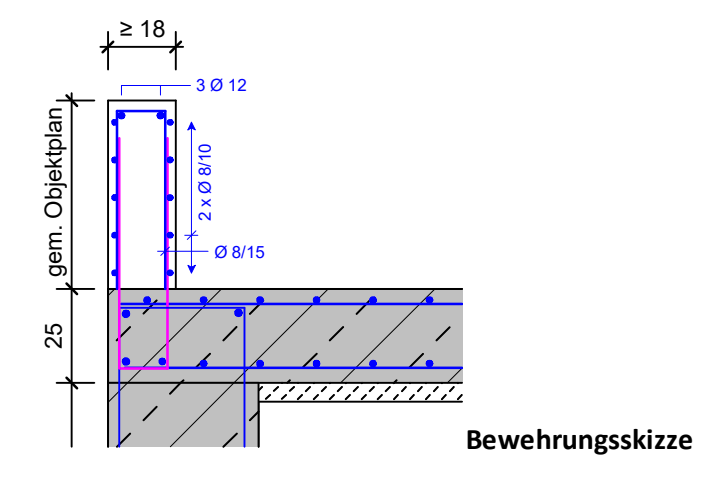
Die Bemessung erfolgt gem. der FE-Berechnung am Gesamtmodell UG. Die Gründung muss bis auf ausreichend frostfreien und tragfähigen Baugrund erfolgen.

Baustatik - Tragwerksplanung - Bauphysik

Projekt: Sanierung und Neubau Wohnheim "Thomas Müntzer Datum: 18.12.2024 Auftrags-Nr.: 24-919 Position: 18 Seite: 265

Pos. 18 Stb.-Sockel

C 20/25 in XC2, WF



Die Wahl der Bewehrung erfolgt konstruktiv.

Proiekt: Sanierung und Neubau Wohnheim "Thomas Müntzer

18.12.2024 Datum: Position: 19 Seite: Auftrags-Nr.: 24-919 266

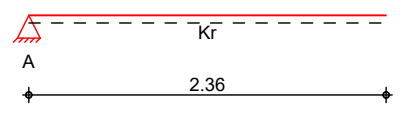
FT-Balkonplatte Pos. 19

Mindestplattendicke F90 h_s ≥ 100mm, a ≥ 20mm → erfüllt

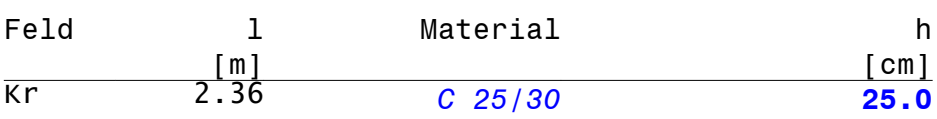
System

Rechtsseitiger Kragarm

M 1:50



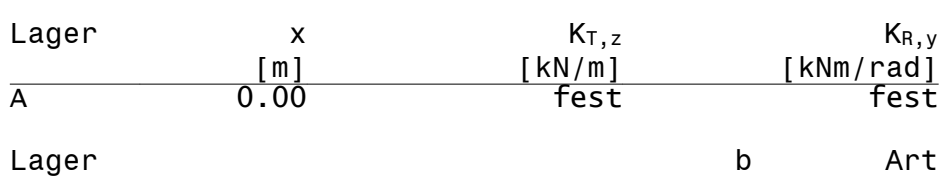
Abmessungen Mat./Querschnitt



Expositionsklassen

WF, XC4 und XF1

Auflager



[cm] $\overline{\mathsf{A}}$ Mauerw.

Qk.N

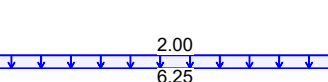
Belastungen

Belastungen auf das System

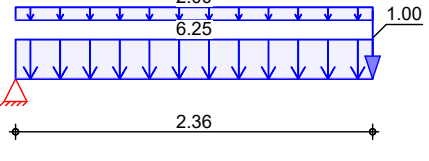
Grafik

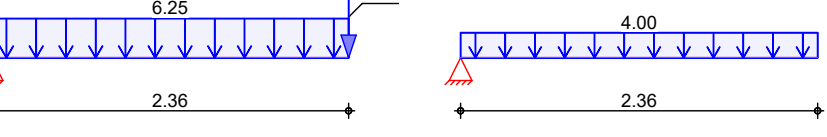
Belastungsgrafiken (einwirkungsbezogen)

Einwirkungen



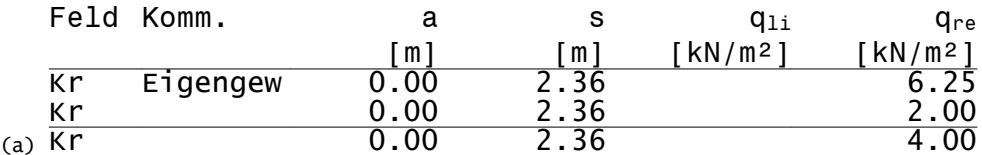






Flächenlasten in z-Richtung

Gleichflächenlasten



Einw. Gk Einw. Ok.N

(a)

Nutzlast Z für Dachterassen.

Gk

Laubengänge. Loggien usw.. Balkone

und Ausstiegspodeste

4.0 = $4.00 \, kN/m^2$

Streckenlasten

in z-Richtung Feld Komm.

Streckenlasten senkrecht zum Bauteil а [m] 2.36 $\overline{\mathsf{Kr}}$

[kN/m]

q

Einw. Gk

Baustatik - Tragwerksplanung - Bauphysik

Projekt: Sanierung und Neubau Wohnheim "Thomas Müntzer 18.12.2024 Datum: Auftrags-Nr.: 24-919 Position: 19 Seite: 267

<u>Kombinationen</u>	gemäß Ek	DIN EN 1992-1- Σ ($\gamma*\psi*EW$)	1 und DIN EN 1990
ständig/vorüberg.	1 2 3	1.00*Gk 1.35*Gk 1.35*Gk	+1.50*Qk.N

Material- und Querschnittswerte nach DIN EN 1992-1-Mat./Querschnitt 1:2011-01

Expositionsklassen Abs. 4.2, 4.4 Kragarm rechts

Expositionsklassen Seite Kommentar umlaufend wechselnd nass und trocken XC4 Mäßige Wassersättigung ohne Taumittel

WF Häufig oder längere Zeit feuchter Beton

Bewehrungsanordnung	Achsabstände,	Betondeckungen				
	Bezug	$C_{ exttt{min}}$	$\Delta c_{ ext{dev}}$	c_{nom}	c_{v}	d'
		[mm]	[mm]	[mm]	[mm]	[mm]
Kragarm rechts	oben	25	15	40	40	45
_	unten	25	15	40	40	40

für den Grenzzustand der Tragfähigkeit nach DIN EN Bemessung (GZT) 1992-1-1:2011-01

Bemessung für Biegebeanspruchung **Biegung** Abs. 6.1 $m_{vd,o}$ x/d_o Zo as,o as,o,erf x/d_u Zu m_{yd,u} as,u as,u,erf [m] [kNm/m] [cm] $[cm^2/m]$ $[cm^2/m]$ (L = 2.36 m)0.00a 2 Kragarm rechts -50.91 -25.33 0.113 5.69 19.6 5.69 0.002 20.5

Querkraft Abs. 6.2	Bemessu	•	Querkra ⁻	ftbeans	pruchung		
ADS. 6.2	Х	Ek	${f V}$ Ed	θ	$V_{Rd,max}$	VRd,c	$a_{sw,erf}$
	[m]		[kN/m]	[°]	[kN/m]	[kN/m]	$[\mathrm{cm}^2/\mathrm{m}^2]$
Kragarm rechts	L = 2.	36 m)					
_	0.00_a	2	41.79	18.4	431.91	100.69	_
	2.36	3	1.35	18.4	431.91	100.69	_

Bewehrungswahl

obere Längsbewehrung Feld 1 1bd,1 lbd,r Lage gew. as а $[cm^2/m]$ [m][m] [m][m] Kr 0.11^{h} **Q636A**

(Längen inkl. Verankerungslängen, ohne Stöße)

Datum:

Projekt: Sanierung und Neubau Wohnheim "Thomas Müntzer

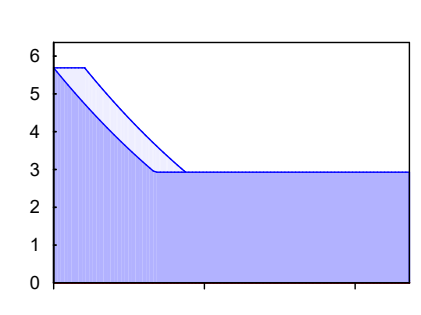
Auftrags-Nr.: 24-919 Position: 19 Seite: 268

Längsbewehrung M 1:50 as

[cm²/m]

18.12.2024





erf. Längsbewehrung / Zugkraftdeckungslinie

·····verl. Feldbewehrung gemäß DIN EN 1992-1-1, 9.3.1.2(1)

---- vorhandene Längsbewehrung

Querkraftbewehrung

Es ist keine rechnerische Querkraftbewehrung erforderlich.

Nachweise (GZG)

im Grenzzustand der Gebrauchstauglichkeit nach DIN EN
1992-1-1:2011-01

quasi-ständig

$$\begin{array}{ccc} \mathsf{E}\mathsf{k} & \Sigma & (\gamma^*\psi^*\mathsf{EW}) \\ 1 & 1.00^*\mathsf{G}\mathsf{k} & +0.30^*\mathsf{Q}\mathsf{k.N} \end{array}$$

MEd

Verformungen

Begrenzungen der Verformungen im gerissenen Zustand (Zustand II)

Abs. 7.4

Der Nachweis wird für die quasi-ständigen Bemessungssituationen unter Langzeitbelastung durchgeführt.

Х

$$\phi = 2.50 \\
\epsilon = -0.50$$

f_{II}.∞

f∞.zul

Ek

$$f_{\infty} = 1/250$$

 $f_{\Delta} = 1/500$

Kragarm	rechts

		$f_{I,0}$	$f_{II,0}$	Δf_{II}	Δf_{zul}
[m]	[kNm]	[mm]	[mm]	[mm]	[mm]
(L = 2.36 m) 2.36 1		4.43 0.88	0.88	12.25 11.37	23.60

f_I.∞

Auflagerkräfte

Auflagerkräfte Träger

Char. Auflagerkr.

charakteristische Auflagerkräfte (je Einwirkung) Aufl. Fz,k,min Fz,k,max My,k,minMy,k,max [kNm/m] [kN/m][kN/m] [kNm/m] -25.33 -11.14 20.47 20.47 -25.33 9.44 9.44

Einw. *Gk* Einw. *Qk.N*

Baustatik - Tragwerksplanung - Bauphysik

Projekt: Sanierung und Neubau Wohnheim "Thomas Müntzer Datum: 18.12.2024

Auftrags-Nr.: 24-919 Position: 19 Seite: 269

Bem.-auflagerkräfte Bemessungsauflagerkräfte (Min/Max)

Grundkombinationen A 20.47 41.79

Zusammenfassung Zusammenfassung der Nachweise

Nachweise (GZG) Nachweise im Grenzzust. der Gebrauchstauglichkeit

Nachweis Feld x [m] [-1] Verformungsnachweis Kr 2.36 OK 0.96

Version: 1.15.0

Baustatik - Tragwerksplanung - Bauphysik

Projekt: Sanierung und Neubau Wohnheim "Thomas Müntzer 18.12.2024 Datum: Position: 19.1 Seite: Auftrags-Nr.: 24-919 270

Isokorbanschluss der Balkonplatte Pos. 19.1

Bemessungssoftware: Schöck Isokorb® Typ Beton-Beton

Produkt Schöck Isokorb® Isokorb®-Datenbank Deutschland - EC2

Hauptnorm EC2 - NAD **Datenbank-Version** 20.00

Vorschrift 1 bauaufsichtliche Zulassung

Vorschrift 2 Typenprüfung -/-Bemerkung

HINWEISE

- Für den Schöck Isokorb® bestehen die allgemeinen bauaufsichtlichen Zulassungen des DIBt, sowie die europäische technische Bewertung gemäß EAD 050001-01-0301.
- Die Ergebnisse des Programms beziehen sich nur auf die Berechnung von Schöck Isokorb®. Die Gesamtsituation muss vom Anwender auf Plausibilität geprüft werden!
- Bitte entnehmen Sie die Randbedingungen für das Bauteil sowie weitere Einbauhinweise der aktuellen technischen Information Schöck Isokorb®.
- Der Formschluss zwischen den Drucklagern und dem Beton muss gewährleistet werden, daher sind Betonierfugen unterhalb der Drucklager anzuordnen. Bei Druckfugen zwischen Fertigteilen und dem Schöck Isokorb® muss ein Ortbeton- bzw. Vergussstreifen von ≥ 100 mm Breite ausgeführt werden.
- M Rd wurde infolge der Wand- bzw. Unterzugsbreite reduziert!
- Mit FEM berechnete max. Durchbiegung der Balkonplatte (inkl. Isokorb) im GZG

allgemeine Daten zum Produkt		char. Werte der Einw	γgzτ	γgzg	
Betondeckung	CV = 50 mm	Eigengewicht	$g1,k = 6,25 \text{ kN/m}^2$	γ σzτ 1,35	1,00
Dämmschichtdicke	D = 120 mm	Putz und Belag	$g2,k = 2,00 \text{ kN/m}^2$	1,35	1,00
Isokorb®-Höhe	H = 250 mm	Verkehrslast	$q,k = 4,00 \text{ kN/m}^2$	1,50	1,00
Isokorb® vorgesetzt	ja	Randlast	r,k = 1,00 kN/m	1,35	1,00
Brandschutz	ja	Randlast umlaufend	ja		
Ausführungsvariante	Standard	Randmoment	mr,k = 0,00 kNm/m	1,50	0,00
		Linienlast	$v_{k} = 0.00 \text{ kN/m}$	1,35	1,00
Coometrie der Palkennlette		Abetand Linionlast	av = 0.15 m		

Geometrie der Balkonplatte

Balkontyp	rechteckiger Balkon
Länge (X)	1x = 5,44 m
Auskragung (Y)	ky = 2,26 m
Plattendicke	h = 250 mm
Überstand links	ul = 0,00 m
Überstand rechts	ur = 0.00 m

Baustoffe

Bemessungsbetongüte	C25/30
Retonstahl	B500B

Horizontallast	
Last parallel zur x-Achse	Fdx = 0.00 kN
Last parallel zur y-Achse	Fdy = 0.00 kN

Baustatik - Tragwerksplanung - Bauphysik

Projekt: Sanierung und Neubau Wohnheim "Thomas Müntzer Datum: 18.12.2024 Auftrags-Nr.: 24-919 Position: 19.1 Seite: 271

Version: 1.15.0 Tabelle 1: Anschlussdaten Höhen-Platten- Wand-Bereich Achse Art Länge versatz dicke dicke Lager m mm mm mm Platte-Platte 5,44 0 200 300 automatisch Tabelle 2: Ergebnisse min. min. min. max. max. max. max. min. M Ed M Rd V Ed VRd MEd MRd VEd V Rd Bereich Isokorb® n

Bezeichnung Stück kNm Nr. 1 Isokorb® XT Typ K-M6-V2-REI120-CV50-X120-H250-6.0 (KXT50-CV50-V8-H250-REI120) 5,50 -52,8 -53,8 42,8 62,7 0,0 0,0 0,0 0,0 $\lambda eq = 0.117 \text{ W/(K*m)}$ Δ Lw = 13,0 dB 99% 69%

λeq,Mittel= 0,117 W/(K*m)

Gesamtlänge des Anschlusses = 5,44 m

λeq,Mittel: λeq,Mittel ist der längengewichtete Mittelwert der Wärmeleitfähigkeit λeq aller Produkte eines Anschlusses.

ΔLw,Mittel= 13,0 dB

Gesamtlänge des Anschlusses = 5,44 m

 Δ Lw,Mittel: Δ Lw,Mittel ist der längengewichtete Mittelwert der bewerteten Trittschallminderung Δ Lw aller Produkte eines Anschlusses.

λeq: Äquivalente Wärmeleitfähigkeit nach EAD 050001-00-0301 ΔLw: Bewertete Trittschallminderung nach EAD 050001-01-0301

Baustatik - Tragwerksplanung - Bauphysik

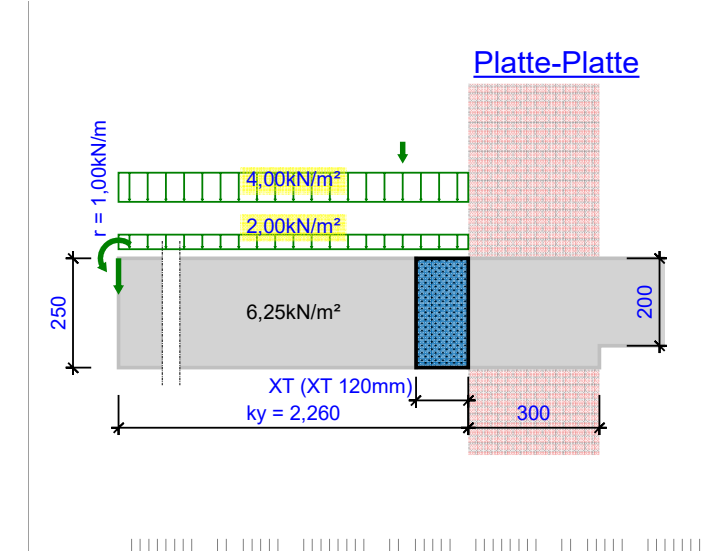
Projekt: Sanierung und Neubau Wohnheim "Thomas Müntzer

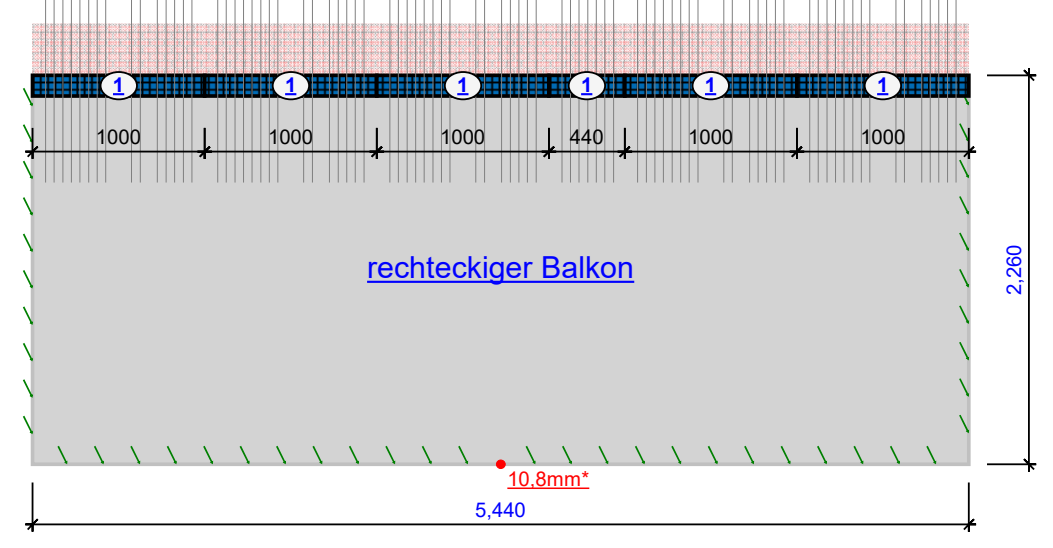
Position: 19.1 Auftrags-Nr.: 24-919

18.12.2024 Datum:

Seite: 272

Version: 1.15.0







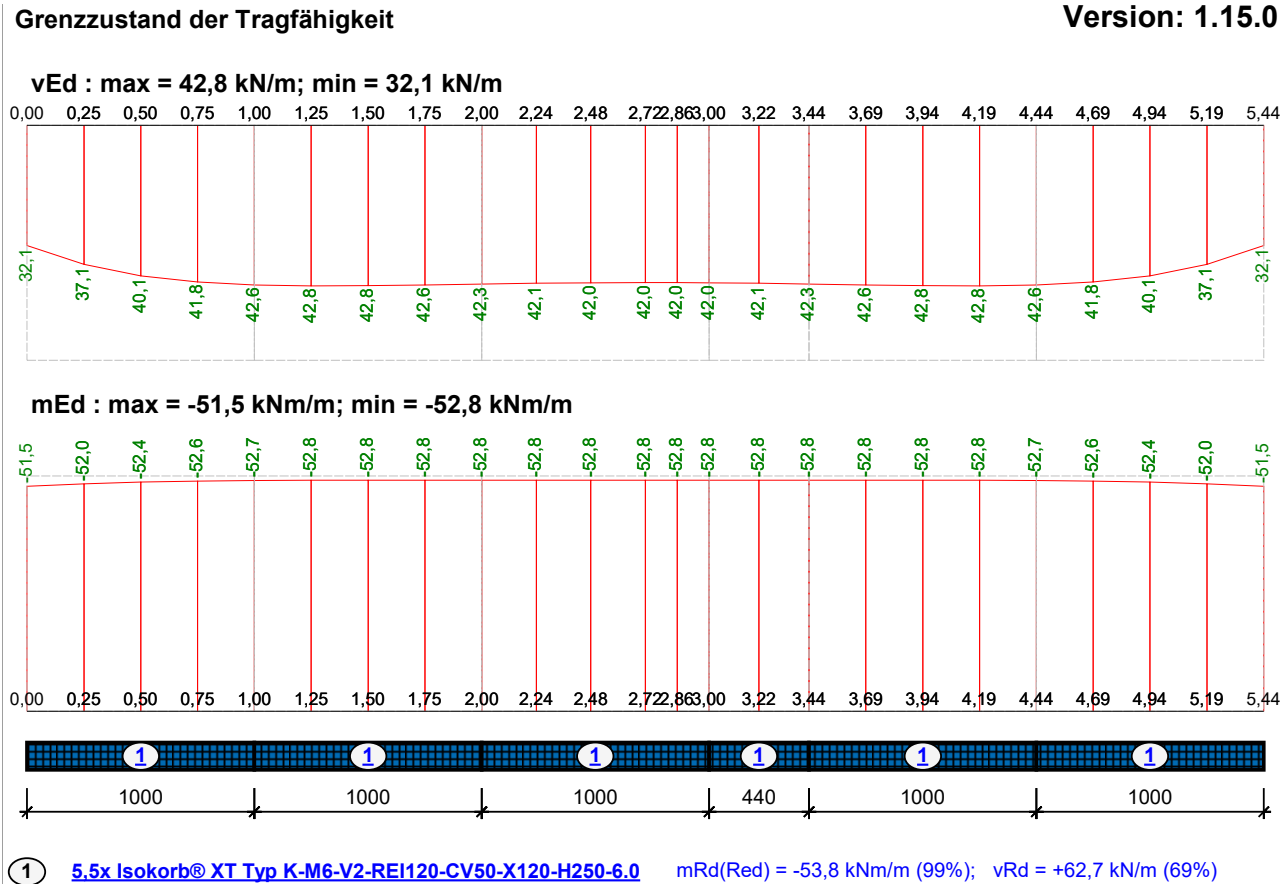
Datum:

18.12.2024

Baustatik - Tragwerksplanung - Bauphysik

Sanierung und Neubau Wohnheim "Thomas Müntzer Projekt:

Position: 19.1 Auftrags-Nr.: 24-919 Seite: 273



Projekt: Sanierung und Neubau Wohnheim "Thomas Müntzer

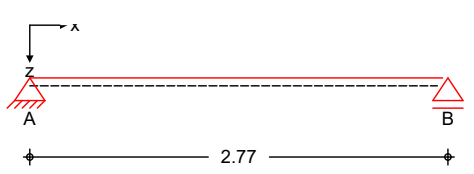
18.12.2024 Datum: Position: 20 Seite: Auftrags-Nr.: 24-919 274

Pos. 20

Sparren

System M 1:50

1-Feld Sparren



Abmessungen Mat./Querschnitt

Feld	1	Material	b/h
	[m]		[cm]
1	2.77	NH C24	10.0/16.0

Auflager

Lager	X	Z	$K_{T,z}$	$K_{T,x}$
	[m]	[m]	[kN/m]	[kN/m]
A	0.00	0.00	fest	fest
В	2.77	0.00	fest	frei

Dachneigung

Dachneigungswinkel

0.0

m

Sparrenabstand

Abstand

0.833

Belastungen

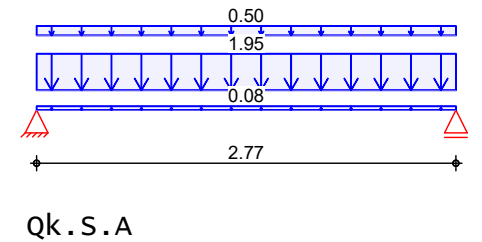
Belastungen auf das System

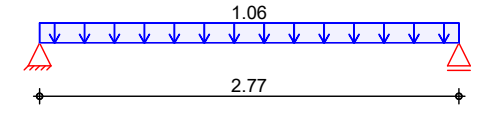
Grafik

Belastungsgrafiken (einwirkungsbezogen)

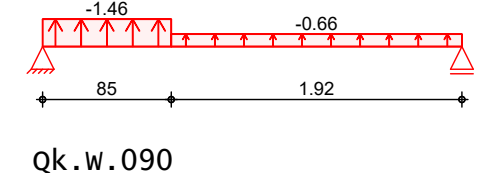
Einwirkung

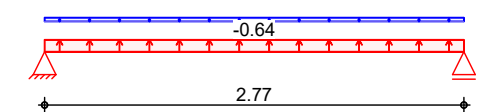
Gk





Qk.W.000

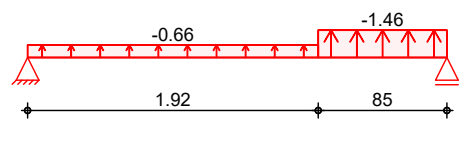




Projekt: Sanierung und Neubau Wohnheim "Thomas Müntzer

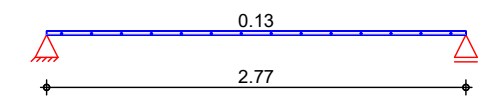
18.12.2024 Datum: Position: 20 Seite: Auftrags-Nr.: 24-919 275

Qk.W.180



ok.w.270

(a



Flächenlasten in z-Richtung

Einw. Gk

Einw. Qk.S.A Einw. *Qk.W.000*

Einw. *ok.W.090* Einw. Ok.W.180

Einw. *Ok.W.270*

(a)

	Feld	Richt.	Komm.	а	S	Qа	qе
				[m]	[m]	[kN/m²]	[kN/m²]
	1	global	Eigengew	0.00	2.77		0.08
ı)	1	vert.DF	Eindeck.	0.00	2.77		1.95
	1	vert.DF	Ausbau	0.00	2.77		0.50
	1	vert.GF	Volllast	0.00	2.77		1.06
	1	lokal	Ber. F	0.00	0.85		-1.46
	1	lokal	Ber. H	0.85	1.92		-0.66
	1	lokal	Ber. H	0.00	2.77		-0.64
	1	lokal	Ber. F	1.92	0.85		-1.46
	1	lokal	Ber. H	0.00	1.92		-0.66
	1	lokal	Ber. I	0.00	2.77		0.13

Abdichtungsbahn 2-lagig	0.14 =	0.14 kN/m ²
Trenn- und Schutzlage	0.03 =	0.03kN/m^2
Wärmedämmung (240mm)	0.24 =	0.24 kN/m^2
Dampfsperre	0.07 =	0.07kN/m^2
Abhangdecke inkl. Leitungen	0.24 =	0.24 kN/m^2
Lastreserve	0.03 =	0.03 kN/m^2
Gründach mit ≤ 120kg/qm	1.2 =	1.20 kN/m ²
	=	1.95 kN/m ²

global: lokal: vert.DF: vert.GF: Belastung bezogen auf das globale Koordinatensystem lokale Belastung orthogonal zur Dachfläche vertikale Belastung bezogen auf die Dachfläche vertikale Belastung bezogen auf die Grundfläche

Kombinationen

Kombinationsbildung nach DIN EN 1990 Darstellung der maßgebenden Kombinationen

ständig/vorüberg. quasi-ständig st./vor. Auflagerkr. Brand

Ek	KLED	Σ (γ*ψ*EW)	
1	st	1.35*Gk	
29		1.00*Gk	
58	st	1.35*Gk	
104		1.00*Gk	
st: s	tändig		

+0.20*Qk.W.270

Bem.-schnittgrößen Bemessungsschnittgrößen

Grafik

Schnittgrößen (maßgebende)

Komb. 1

Moment My,d[kNm/m]

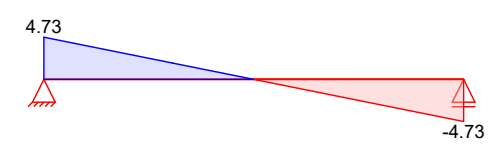


Baustatik - Tragwerksplanung - Bauphysik

Sanierung und Neubau Wohnheim "Thomas Müntzer Projekt:

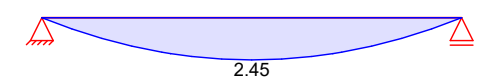
18.12.2024 Datum: Position: 20 Auftrags-Nr.: 24-919 Seite: 276

Querkraft Vz,d[kN/m]

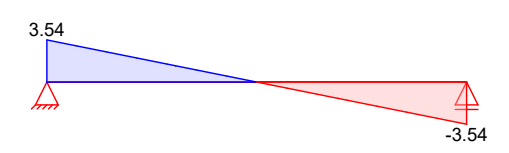


Komb. *104*

Moment My,d[kNm/m]



Querkraft Vz,d[kN/m]



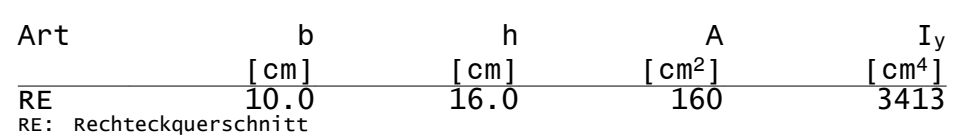
Mat./Querschnitt

Material- und Querschnittswerte nach DIN EN 1995-1-1

Material

Material	f_{mk}	f_{t0k}	f_{c0k}	f_{c90k}	f_{vk}	E_{mean}
			[N/r			
NH C24	24.0	14.5	21.0	2.5	4.0	11000

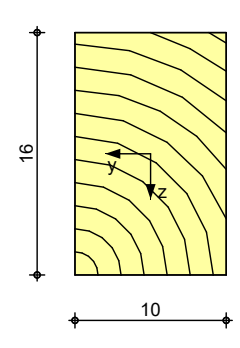
Querschnitt



Grafik

Querschnittsgrafik [cm]

M 1:5

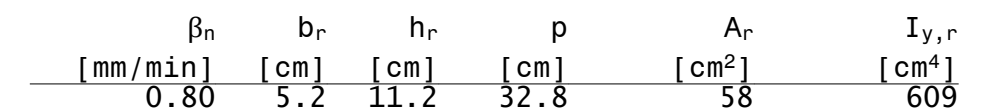


Brandfall

vierseitige Brandbeanspruchung Feuerwiderstandsdauer

30 min treq =

Restquerschnitt Abs. 4.2.3



Proiekt: Sanierung und Neubau Wohnheim "Thomas Müntzer

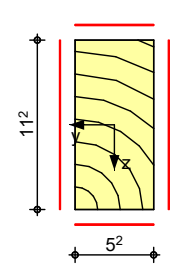
Position: 20 Auftrags-Nr.: 24-919

18.12.2024 Datum: Seite: 277

Grafik

Restguerschnittsgrafik [cm]

M 1:5



brandbeanspruchte Seiten

Nutzungsklasse 2

Nachweise (GZT)

Nachweise im Grenzzustand der Tragfähigkeit nach DIN EN 1995-1-1

Biegung

Abs. 6.1

Nachweis der Biegetragfähigkeit k_{mod}

fo,d η $\sigma_{0,d}$ M_{Vd} $f_{my,d}$ $\sigma_{\text{my,d}}$ [-][kN,kNm] $[N/mm^2]$ $[N/mm^2]$ [-]

 τ_{d}

$$L = 2.77 \text{ m}, k_{c,y} = 0.68)$$

1.39 1 0.60 0.00 0.00
2.73 6.40

Querkraft

Abs. 6.1.7

Nachweis der Querkrafttragfähigkeit k_{mod} $V_{z,d}$ [kN] $[N/mm^2]$ -3.94 0.74

f_{v.d} $[N/mm^2]$

11.08 0.58*

Stabilität

Abs. 6.3

Feld 1

Nachweis der Stabilität

Ek

Der Sparren wird in der Dachebene als gehalten betrachtet.

Der Einfluss der Stabilität ist im Nachweis der Biegetragfähigkeit enthalten. Folgende

Ersatzstablängen werden berücksichtigt.

Ersatzstablängen

	1	$\mathtt{l}_{ef,cy}$
	[m]	[m]
Feld 1	2.77	2.77

Nachweise (Brand)

Nachweise der Feuerwiderstandsfähigkeit nach DIN EN 1995-1-2, 4.2.3

- Anforderung Feuerwiderstandsklasse: R30
- Nachweis der Feuerwiderstandsdauer $t_{req} = 30 \text{ min}$
- 4-seitige Beflammung
- Methode mit reduzierten Eigenschaften

Brandfall

Brandbeanspruchung

trea [min]

vierseitig (oben/unten/links/rechts)

Sanierung und Neubau Wohnheim "Thomas Müntzer Projekt: 18.12.2024 Datum: Position: 20 Auftrags-Nr.: 24-919 Seite: 278

Biegung Abs. 6.1	Nachweis X	der Bie	getragfäh k _{mod,fi}	•	σo,d,fi	f _{0,d,fi}	η
	[m]		לו 1 בו	M _{yd,fi} N,kNm]	•	f _{my,d,fi} [N/mm ²]	[-]
Feld 1	[m] $(L = 2.7)$ 1.39	7 m, k _{c,y} 104	= 0.56) 0.83	0.00	0.00	14.42	
			0.72	2.04	18.79	21.33	0.87*

Querkraft	Nachweis	der Qı	uerkrafttr	agfähigk	keit		
Abs. 6.1.7	X	Ek	$k_{ extsf{mod,fi}}$	$V_{z,d,fi}$	τd,fi	$f_{v,d,fi}$	η
	[m]		[-]	[kN]	$[N/mm^2]$	$[N/mm^2]$	[-]
Feld 1	2.77	104	0.72	-2.95	1.52	3.59	0.42*

Stabilität Abs. 6.3 Der Sparren wird in der Dachebene als gehalten betrachtet. Der Einfluss der Stabilität ist im Nachweis der Biegetragfähigkeit enthalten. Folgende Ersatzstablängen werden berücksichtigt.

nach DIN EN 1995-1-1

Nachweis der Stabilität



Nachweise der Verformungen **Verformungen** Abs. 7.2 Ek Χ Norm η Wvorh Wzul [m] [mm] [mm] [-] (L= 2.77 m, NKL 2, k_{def} = 1.39 29 W_{net,fin} Feld 1 0.80) 1/300 =9.2 0.84*

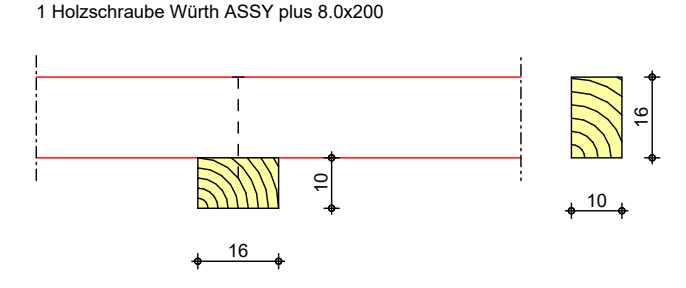
Negative Verformungen wurden zur Bemessung nicht berücksichtigt.

Nachweise im Grenzzustand der Gebrauchstauglichkeit

Anschlüsse Sparrenauflager A M 1:15

Nachweise (GZG)

Nachweis der Anschlüsse des Sparrens





Kontaktflächen Kontaktlängen und -flächen

Baustatik - Tragwerksplanung - Bauphysik

Projekt: Sanierung (Auftrags-Nr.: 24-919	und Neubau Wohnheim " Posit	Thomas Muntz	zer	Datum: Seite:	18.12.202 279
	Bauteil	α	1 A	lef	Aef
		[°]	[cm]	[cm]	[cm²]
vertikal	Sparren	90.0	16.00	22.00	220.00
	Pfette	90.0	10.00	16.00	256.00
Verankerung	1 Holzschraube V Senkkopf) 8.0x20 Eindringtiefe	vürth ASSY)0	•		O mm
Nachweise (GZT)	Nachweise im Gre	enzzustand	der Tragfä	higkeit na	ach DIN
Querdruck	vertikale Druckl	kraft			
Abs. 6.1.5	Ek kmod	F_d α	σc,α,d	(c,90 fc,α	$_{d}$ η
		(N] [°]	[N/mm ²]	[-] [N/mm ²	
Sparren Pfette	58 0.60 3	.94 90.0 90.0		L.50 1.1 L.50 1.1	.5 0.10 .5 0.09
Verankerung	Der Nachweis der da keine abheber	nden Kräft	e vorhander	ht erforde sind.	erlich,
<u>Auflagerkräfte</u>	je lfd. m (Wind ⁻	iasten mit	Cpe,10)		
Char. Auflagerkr.					
	Aufl.	_	$F_{x,k}$		F _{z,k}
Einw. <i>Gk</i>	A		N/m] D.00		[kN/m] 3.50
LIIIW. GK	В	•	7.00		3.50
Einw. <i>Qk.S.A</i>	A B	(0.00		1.47 1.47
Einw. <i>Qk.W.000</i>	A	(0.00		-1.14
Einw. <i>Qk.W.090</i>	<u>B</u> A	(0.00		$\frac{-0.72}{0.01}$
Einw. <i>Ok.W.180</i>	B A	(0.00		$\frac{0.01}{-0.72}$
ETTIW. QK.W.100	В	,	0.00		-1.14
Einw. <i>Qk.W.270</i>	A B	(0.00		0.18 0.18
Zusammenfassung	Zusammenfassung	der Nachw	eise		0.10
Nachweise (GZT)	Nachweise im G	renzzustar	nd der Trag	gfähigkeit	:
	Nachweis		Feld	x [m]	η Γ - 1
	Biegung		Feld 1	1.39 0	K 0.58
	Querkraft		Feld 1	2.77 O	K 0.40
	Sparrenauflager	ı	Auflager A	0	к 0.10
Nachweise (Brand)	Brandfall im G	renzzustar	nd der Trag	gfähigkeit	=
	Nachweis		Feld	x [m]	η [-]
	Biegung		Feld 1 Feld 1	1.39 o	
	Querkraft			2.77 o	K 0.42

Baustatik - Tragwerksplanung - Bauphysik

Projekt: Sanierung und Neubau Wohnheim "Thomas Müntzer 18.12.2024 Datum:

Position: 20 Auftrags-Nr.: 24-919 Seite: 280

Nachweise (GZG) Nachweise im Grenzzust. der Gebrauchstauglichkeit

> Feld Nachweis

> ges. Enddurchbiegung

Position: 20.1 Auftrags-Nr.: 24-919

Datum: Seite: 281

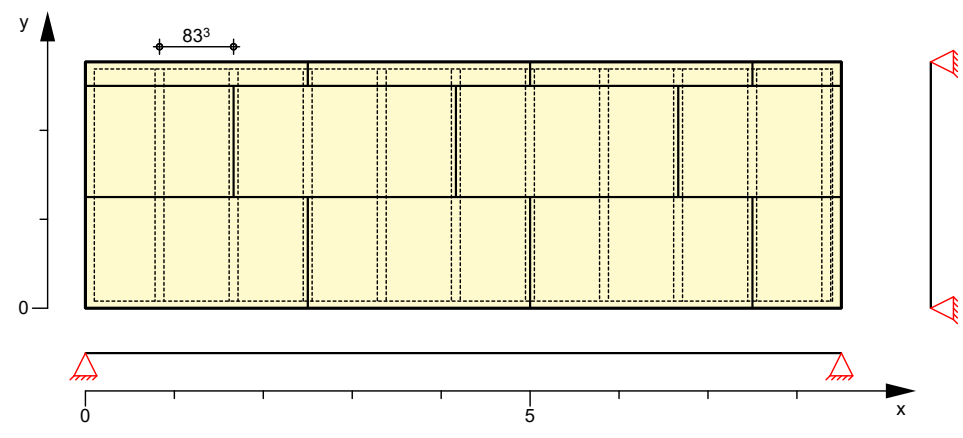
18.12.2024

Pos. 20.1

Deckenscheibe

System No.

Bemessung Holz-Deckenscheibe, DIN EN 1995-1-1



Deckenabmessungen

Deckenbreite Deckenlänge Rippenabstand effektive Höhe in x-Richtung effektive Höhe in y-Richtung

2.77 $a_R =$ 0.833 $h_{ef,x} =$ 1.39 $h_{ef,y} =$

В =

L =

8.50

m

m

m

m

m

Rippen

Material b h NKL [-] [-] [cm] [cm] Nadelholz C24 1 Rand-/Innenrippen 10.00 16.00 Nadelholz C24 Gurte 8.00 16.00 1

Beplankung

NKL Material t 1т bт [mm] [-] [m] [m][-] OSB-Platten OSB/3 18.0 1.25 2.50 1 einseitig

Die Plattenränder quer zu den Innenrippen sind frei. Die Platten sind auf allen Rippen mit Verbindungsmitteln im Abstand av anzuschließen.

Verbindungsmittel

Art fu.k dn x ln a۷ [-] $[N/mm^2]$ [mm][cm] Nage1 600 3.4x70 10.0 einseitig

Belastungen

Einwirkung Qk.W

Komment. Lastart Ri. а q1 q2 [kN/m] [kN/m] [m][kN] Gleich

Zusammenstellungen

Qk.W: q1

Wind auf Holzrahmenwände

(0.47+0.24)*4/2 =1.42 kN/m

Qk.W: q2

Wind auf Holzrahmenwände

(0.47+0.24)*4/2 =1.42 kN/m

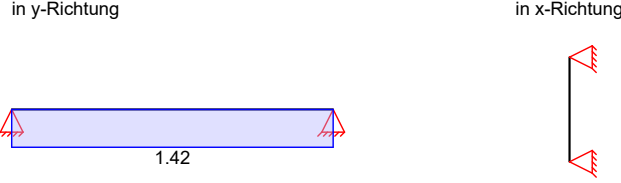
Baustatik - Tragwerksplanung - Bauphysik

Projekt: Sanierung und Neubau Wohnheim "Thomas Müntzer

Auftrags-Nr.: 24-919 Position: 20.1

Datum: Seite: 18.12.2024 282

in y-Richtung in x-Richtung



Kombinationen

Kombinationsbildung nach DIN EN 1990 Darstellung der maßgebenden Kombinationen

Mat./Querschnitt

Rippen	Material	ρk	fmy,k	f c,0,k	Eomean
	[-]	[kg/m³]	[N/mm2]	[N/mm2]	[N/mm2]
	Rand/Innen NH C24	350	24.0	21.0	11000
	Gurte NH C24	350	24.0	21.0	11000
Beplankung	Material		fv,k	f c,0,k	Gmean
	[-]		$[N/mm^2]$	$[N/mm^2]$	[N/mm²]
	OSB/3		6.8	15.4	1080
Verbindungsmittel	Тур			$F_{v,Rk}$	av
	[-]			[kN]	[cm]
	Nagel 3.4x70			1.00	10.0

Nachweise (GZT)

nach DIN EN 1995-1-1

Sche	ibenbeanspr.	
	9.2.3	

EK	k_{mod}	Ri.	V_d	hef	S v,0,d	fv,0,d	η
[-]	[-]	[-]	[kN]	[m]	[N/mm]	[N/mm] 5.09	[-]
1	1.00	Х	0.00	1.39	0.00	5.09	0.00
		У	-9.05	2.77	3.27	5.09	0.64

Schwellenpressung

Abs. 6.1.5

EK	${\sf k}_{\sf mod}$	Fc,90,d	Aef	k c,90	f c,90,d	η
[-]	[-]	[kN]	[cm2]	[-]	[N/mm²]	[-]
1	1.00	9.05	176	1.25		0.21

Normalspannung Abs. 6.3.2

EK	0rt	k_mod	Fo,d	σ 0,d	k c	fo,d	η
[-]	[-]	[-]	[kN][N/mm2]	[-]	[N/mm2]	[-]
1	ĠΤ	1.00	9.05	0.71	1.00	16.15	0.04
	Gr	1.00	9.05	0.71	1.00	16.15	0.04
	Ro	1.00	6.94	0.43	1.00	16.15	0.03
	Ru	1.00	6.94	0.43	1.00	16.15	0.03
G1/Gr	= Gurt	links/rechts.	Ro/Ru =	Randrippe	oben/unten		

Zusammenfassung

Zusammenfassung der Nachweise

Nachweise (GZT)

Nachweise im Grenzzustand der Tragfähigkeit

	η
	[-]
OK	0.64
OK	0.21
OK	0.04
	OK

Projekt: Sanierung und Neubau Wohnheim "Thomas Müntzer Datum: 18.12.2024 Auftrags-Nr.: 24-919 Position: 21 Seite: 283

Pos. 21 Stb.-Dachdecke

h=20cm
C20/25, XC3, WF
Betondeckung oben = 3,5cm
Betondeckung unten + seitlich = 2,0cm
Q424A oben und unten + Zulage gem. As-Plots auf den Folgeseiten
Randeinfassung Stecker Ø 8/20 + 1 Ø 12 Längseisen oben und unten

Mindestplattendicke F90 h_s \geq 100mm, a \geq 20mm \rightarrow erfüllt

Allgemeines zu den Geschossdecken

Über den zur Spannrichtung der Decken parallel verlaufenden Wänden und Balken ist eine obere Bewehrung anzuordnen, um Rissbildungen bei Kriechverformungen zu vermeiden. Diese Bewehrung soll nach dem DAfStb.-Heft 631, Abs. 2.2.4, zu 60 % der maximalen Feldbewehrung der Platte gewählt werden.

Weiterhin ist die in DIN EN 1992-1-1, Abs. 9.3.1.4, geforderte Rand- und Abrissbewehrung einzubauen. Es sind die Konstruktionsregeln gemäß EN 1992-1-1, Abschnitt 9, nebst nationalem Anhang zu beachten.

Die Decken werden nach statischen Erfordernissen mit Schub- und Durchstanzbewehrung versehen.

Verformungen

Gemäß Abschnitt 7.4.1 der DIN EN 1992-1-1, Ausgabe 2011, wird der Durchhang von Balken und Platten unter der quasi-ständigen Einwirkungskombination auf **1/250** der Stützweite begrenzt, um das Erscheinungsbild und die Gebrauchstauglichkeit des Tragwerkes nicht zu beeinträchtigen. Ist dieser Grenzwert überschritten, ist die Schalung zu überhöhen und um den Durchhang auszugleichen. Die Überhöhung sollte gemäß DIN EN 1992-1-1 den Wert des Durchhanges nicht überschreiten. Die maximal zulässige Durchbiegung nach Einbau angrenzender verformungsempfindlicher Bauteile wird auf **1/500** der Stützweite begrenzt.

Für Deckenplatten des üblichen Hochbaus ist bei Normalbeton im Allgemeinen eine Begrenzung der Biegeschlankheit auf den Wert Li/d ≤ 35 erforderlich.

Allgemeines bei der Verwendung von Fertigteilen

Planung und statische Nachweise von Fertigteilen

Es obliegt dem mit der Planung der Fertigteile beauftragten Unternehmen, den prüffähigen Nachweis der Richtigkeit der Konstruktionen zu erbringen.

Fertig-Elementdecken mit Ortbetonergänzung

Werden vom ausführenden Unternehmer vorgefertigte Elementdecken mit Ortbetonergänzung verwendet, ist die Verträglichkeit dieser Ausführung mit der vom Aufsteller erstellten Aus-

mb BauStatik S200.de, 2025.004

Projekt: Sanierung und Neubau Wohnheim "Thomas Müntzer Datum: 18.12.2024 Auftrags-Nr.: 24-919 Position: 21 Seite: 284

führungsplanung in Ortbeton zu überprüfen.

Gitterträgerhöhen

Die Höhe der Gitterträger ist so zu wählen, dass die Gitterträger nicht nur für die Schub-bemessung ausreichend sind, sondern dass sie damit auch das zusätzliche örtliche Anordnen von Abstandhaltern für die obere Bewehrung - auch für die eventuell vorhandene mehrlagige Bewehrung der Deckenplatten überflüssig macht. Im anderen Fall sind entsprechend zu ermittelnde Abstandhalter zur Auflagerung der oberen Bewehrung einzubauen.

Einachsig gespannte Platte System M 1:25 В 2.77 Abmessungen Feld 1 Material h Mat./Querschnitt [m] [cm] $\overline{1}$ C 20/25 20.0 Expositionsklassen WF, WO, XC1 und XC3 **Auflager** Lager Art $K_{T,z}$ b Х kN/m] [m][cm] Ā 0.00 24.0 fest Beton В 2.77 24.0 fest Beton Belastungen auf das System Belastungen Belastungsgrafiken (einwirkungsbezogen) Grafik Einwirkungen Gk Qk.S 2.77 Flächenlasten Gleichflächenlasten in z-Richtung Feld Komm. qli **q**re [m] [m][kN/m2] kN/m2] Einw. Gk 0.00 Eigengew 5.00 0.00 2.00 Einw. Qk.S 2.00 0.00 Material- und Querschnittswerte nach DIN EN 1992-1-Mat./Querschnitt 1:2011-01 **Material** Material f_{ck} f_{yk} Ε $[N/mm^2]$ $[N/mm^2]$ [N/mm²] 30000 C 20/25 500 200000 **B** 500MA

Baustatik - Tragwerksplanung - Bauphysik

Projekt:	Sanierung u	ınd Neubau Wo	hnheim "Tho	mas Mi	intzer	[Datum:	18.12.2024
Auftrags-Nr.:	24-919		Position	: 21		S	eite:	285
Querschnit	t	Art	h		b/h	А		I _v
			[cm]			[cm ²]		[cm4]
		PL	20.0		5.0	2000		66667
Exposition	sklassen	Expositi	onsklasse	n				
Abs. 4.2,	4.4	Seite		K1	Kommentar	•		
Feld 1		oben		XC3	mäßige Fe			
				WF	Häufig od		re ze	it
		_			feuchter			
		unten		XC1				
				WO	Weitgehen	ia trocke	ner B	eton
Bewehrungs	anordnung	Achsabst	ände, Bet	onde	ckungen			
		Bezug		Cmi	n $\Delta c_{ ext{dev}}$	Cnom	Cv	d '
				[mm] [mm]	[mm]	[mm]	[mm]
Feld 1		oben		20		35	35	
		unten		10	0 10	20	20	35

Bemessung (GZT)

für den Grenzzustand der Tragfähigkeit nach DIN EN 1992-1-1:2011-01

Bem.-schnittgrößen

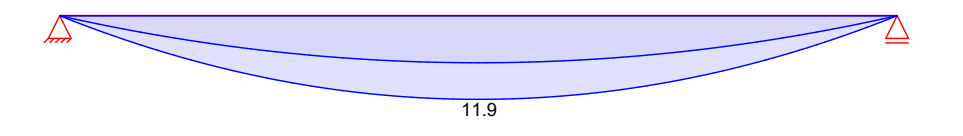
Bemessungsschnittgrößen

Grafik

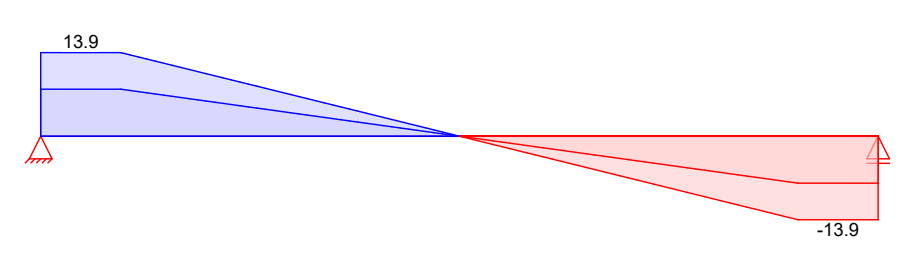
Schnittgrößen (Umhüllende)

Kombinationen

Moment My,d[kNm/m]



Querkraft Vz,d[kN/m]



Ŗiegung	Bemessung	g für Bieg	gebeansprı	ıchung		
Abs. 6.1	X	$m_{yd,o}$	x/d_o	Z_0	a _{s,o}	$a_{s,o,erf}$
		Myd,u	x/d_u	z_{u}	$a_{s,u}$	$a_{s,u,erf}$
	[m]	[kNm/m]		[cm]	$[cm^2/m]$	$[cm^2/m]$
Feld 1	(L = 2.7)	7 m)				
	0.00	_	_	_	_	_
		_	0.002	16.5	_	1.98 _M
	0.10a	0.93	_	-	-	_
		1.66	0.022	16.4	0.22	1.98м
	1.38*	6.71	_	_	_	_
		11.94	0.065	16.1	1.62	1.98 _M
	2.67a	0.93	_	_	_	_
		1.66	0.022	16.4	0.22	1.98м

2.77

Baustatik - Tragwerksplanung - Bauphysik

X Myd, 0 X/do Zo As, 0 as	Projekt: Sanierung u Auftrags-Nr.: 24-919	ind Neubau \	wonnneim "In Positio		er 	Datum: Seite:	
Machweise (GZG) mm Grenzzustand der Gebrauchstauglichkeit nach DIN EN 1992-1-1:2011-01 mm Grenzzustand der Gebrauchstauglichkeit nach DIN EN 1992-1-1:2011-01 mm Gk Auflagerkräfte Auflagerkräfte Auflagerkräfte Auflagerkräfte Char. Auflagerkräfte Auflagerkräfte Auflagerkräfte GZG Auflagerkräft		X	Mvd.o	x/d _o	Zo	$a_{s,o}$	a s.o.erf
m kNm/m cm cm cm²/m cm²/m cm²/m cm²/m 1.98m			- ·			•	
Querkraft Bemessung für Querkraftbeanspruchung X		[m]		-	[cm]	•	
X VEd θ VRG,max VRG, c Asw,erf [m] [kN/m] c [kN/m] [kN/m] [m²/m²] [m²			=	0.002	16.5		1.98 _M
$ \begin{array}{c ccccccccccccccccccccccccccccccccccc$	Ouanknaft	Remessur	na für Oue	rkrafthea	nsnruchur	na	
The content of the	Abs. 6.2		_		-	_	asw arf
Feld 1							
0.10a 13.94π 18.4 234.60 - -	Feld 1	L = 2.1	77 m)		[1,]	[,]	[]
0.27, 13.94 18.4 234.60 73.05 -1.38 -1.8.4 234.60 73.05 -2.51v 13.94 18.4 234.60 73.05 -2.67a 13.94k 18.4 234.60 73.05 -2.67a 13.94k 18.4 234.60 -2.77 -2.77 19.70 -2.77 19.70 19.70 17.24 19.70 19.70 17.24 19.70 17.24 19.70 19.70 17.24 19.70 19.70 17.24 19.70 19.70 17.24 19.70 19.70 17.24 19.70 19.70 17.24 19.70 19.70 17.24 19.70						-	_
1.38						72 O5	_
2.51v 13.94 18.4 234.60 73.05 - 2.67a 13.94k 18.4 234.60 -			13.94				_
Nachweise (GZG) im Grenzzustand der Gebrauchstauglichkeit nach DIN EN 1992-1-1:2011-01 Begrenzung der Biegeschlankheit Referenzbewehrungsgrad ρ ₀ = 0.45 % Verformungsempfindliche Bauteile werden berücksichtigt. Feld vorh.1/d ρ ρ' K zul.1/d η [-] [-] [-] 1 16.79 0.10 0.00 1.00 35.00 0.48 Auflagerkräfte Char. Auflagerkr. Charakteristische Auflagerkräfte (je Einwirkung) Aufl. Fz,k,min Fz,k,min Fz,k,max [kN/m] [kN/m] [kN/m] [kN/m] [kN/m] Einw. Gk A 9.70 9.70 9.70 B 9.70 9.70 9.70 Einw. Qk.S A 2.77 2.77 2.77 2.77 2.77 2.77 Bemauflagerkräfte Bemessungsauflagerkräfte (Min/Max) Aufl. Fz,d,min Fz,d,max [kN/m] [kN/m] [kN/m] [kN/m] Fz,d,max [kN/m] [kN/m] [kN/m] [kN/m] [kN/m] Fz,d,max [kN/m] [kN/m] [kN/m] Fz,d,max Fz,d,max			13.94				_
Nachweise (GZG) im Grenzzustand der Gebrauchstauglichkeit nach DIN EN 1992-1-1:2011-01 Biegeschlankheit Begrenzung der Biegeschlankheit Referenzbewehrungsgrad ρ₀ = 0.45 % Verformungsempfindliche Bauteile werden berücksichtigt. Verformungsempfindliche Bauteile werden berücksichtigt. Feld vorh.1/d ρ ρ' K zul.1/d η [-] [-] [-] [-] [-] [-] [-] [-] [-] [-]						_	_
1992-1-1:2011-01		2.77	13.94 _R	18.4	234.60	_	_
Referenzbewehrungsgrad ρ ₀ = 0.45 % Verformungsempfindliche Bauteile werden berücksichtigt. Feld vorh.1/d ρ ρ' K zul.1/d η [-] [-] [-] 1 16.79 0.10 0.00 1.00 35.00 0.48	Nachweise (GZG)	im Grenz 1992-1-1	zzustand de L:2011-01	er Gebrau	ıchstaugli	chkeit na	ch DIN EN
Verformungsempfindliche Bauteile werden berücksichtigt.	Biegeschlankheit	Begrenzu	ung der Bi	egeschlar	nkheit		
Feld vorh.l/d ρ ρ K zul.l/d η		Referenz	zbewehrung	sgrad		$\rho_0 = 0$	45 %
Total Content of the content of th				dliche Ba	auteile we	erden	
Auflagerkräfte Char. Auflagerkr. Charakteristische Auflagerkräfte (je Einwirkung) Aufl. Fz,k,max [kN/m] [kN/m] Einw. Gk A 9.70 9.70 B 9.70 9.70 2.77 B Emauflagerkräfte Bemessungsauflagerkräfte (Min/Max) Aufl. Fz,d,max [kN/m] Fz,d,max [kN/m] Fz,d,max [kN/m] A 9.70 17.24 Zusammenfassung Nachweise im Grenzzust. der Gebrauchstauglichkeit Nachweis Feld Nachweis Feld Nachweis		Feld	vorh.l/d		•	K zul.l,	'd η
Char. Auflagerkr. Charakteristische Auflagerkräfte (je Einwirkung) Aufl. Fz,k,min [kN/m] [kN/m] Einw. Gk A 9.70 9.70 9.70 Einw. Qk.S A 2.77 Bemauflagerkräfte Bemessungsauflagerkräfte (Min/Max) Aufl. Fz,d,max [kN/m] [kN/m] Fz,d,max [kN/m] [kN/m] Grundkombinationen A 9.70 17.24 Zusammenfassung Zusammenfassung der Nachweise Nachweise im Grenzzust. der Gebrauchstauglichkeit Nachweis Feld Rachweis Nachweis Feld		1	[-] 16.79	[%] 0.10	[%] [- 0.00 1.0	00 35.0	00 0.48
Aufl. Fz,k,min Fz,k,max [kN/m] [kN/m] Einw. Gk A 9.70 9.70 Einw. Qk.S A 2.77 2.77 Bemauflagerkräfte Bemessungsauflagerkräfte (Min/Max) Aufl. Fz,d,min Fz,d,max [kN/m] [kN/m] Grundkombinationen A 9.70 17.24 Bemauflagerkräfte Bemessungsauflagerkräfte (Min/Max) Aufl. Fz,d,min Fz,d,max [kN/m] [kN/m] Aufl. Fz,d,min Fz,d,max [kN/m] [kN/m] A 9.70 17.24 Zusammenfassung Zusammenfassung der Nachweise Nachweise im Grenzzust. der Gebrauchstauglichkeit Nachweis Feld ¶ [-]	<u>Auflagerkräfte</u>	Auflager	rkräfte Tr	äger			
Aufl. Fz,k,min Fz,k,max [kN/m] [kN/m] Einw. Gk A 9.70 9.70 Einw. Qk.S A 2.77 2.77 Bemauflagerkräfte Bemessungsauflagerkräfte (Min/Max) Aufl. Fz,d,min Fz,d,max [kN/m] [kN/m] Grundkombinationen A 9.70 17.24 Bemauflagerkräfte Bemessungsauflagerkräfte (Min/Max) Aufl. Fz,d,min Fz,d,max [kN/m] [kN/m] Aufl. Fz,d,min Fz,d,max [kN/m] [kN/m] A 9.70 17.24 Zusammenfassung Zusammenfassung der Nachweise Nachweise im Grenzzust. der Gebrauchstauglichkeit Nachweis Feld ¶ [-]	Char. Auflagerkr.	charakt	eristisch	e Auflag	erkräfte	(je Einw	irkung)
Einw. Gk A 9.70 9.70 B 9.70 9.70 9.70 9.70 9.70 9.70 9.77 2.77 Bemauflagerkräfte Bemessungsauflagerkräfte (Min/Max) Aufl. Fz,d,min [kN/m] [kN/m] Grundkombinationen A 9.70 17.24 B 9.70 17.24 Zusammenfassung Zusammenfassung der Nachweise Nachweise im Grenzzust. der Gebrauchstauglichkeit Nachweis Feld η [-]	3			_		13	_
Einw. Qk.5 B A A B A B A B B A B B B B B B B B B					[kN/m]		[kN/m]
Einw. Qk.S A Bemauflagerkräfte Bemessungsauflagerkräfte (Min/Max) Aufl. Fz,d,max [kN/m] [kN/m] A B B B B B B B B B B B B B B B B B B	Einw. <i>Gk</i>						
Bemauflagerkräfte Bemessungsauflagerkräfte (Min/Max) Aufl. Fz,d,min Fz,d,max [kN/m] [kN/m] A 9.70 17.24 Zusammenfassung Zusammenfassung der Nachweise Nachweise (GZG) Nachweis im Grenzzust. der Gebrauchstauglichkeit Nachweis Feld [-]	Finw Ok S	<u>В</u>					
	-111W. QX.5						2.77
Grundkombinationen A 9.70 17.24 B 9.70 17.24 Zusammenfassung Nachweise (GZG) Nachweise im Grenzzust. der Gebrauchstauglichkeit Nachweis Feld 17.24	Bemauflagerkräfte	Bemessu	ngsauflag	erkräfte	(Min/Max	()	
Grundkombinationen A B 9.70 17.24 Zusammenfassung Zusammenfassung der Nachweise Nachweise (GZG) Nachweise im Grenzzust. der Gebrauchstauglichkeit Nachweis Feld η [-]		Aufl.			Fz,d,min		Fz,d,max
B 9.70 17.24 Zusammenfassung der Nachweise Nachweise (GZG) Nachweise im Grenzzust. der Gebrauchstauglichkeit Nachweis Feld ¶ [-]							
Zusammenfassung der Nachweise Nachweise (GZG) Nachweise im Grenzzust. der Gebrauchstauglichkeit Nachweis Feld [-]	Grundkombinationen						
Nachweise (GZG) Nachweise im Grenzzust. der Gebrauchstauglichkeit Nachweis Feld η [-]		Б			9.70		17.24
Nachweis Feld η	Zusammenfassung	Zusammer	nfassung d	er Nachwe	eise		
[-]	Nachweise (GZG)	Nachwei	se im Gre	nzzust.	der Gebra	auchstaug	lichkeit
Eiegeschlankheit Feld 1 OK 0.48		Nachweis	6			Feld	η

Sanierung und Neubau Wohnheim "Thomas Müntzer Proiekt: 18.12.2024 Datum: Position: 22 Seite: 287 Auftrags-Nr.: 24-919

Stb.-Decke Pos. 22

h=20cm, C20/25

Exposition: XC1, W0 → Betondeckung = 2,0cm

Q424A oben und unten + Zulage gem. As-Plots auf den Folgeseiten Randeinfassung Stecker Ø 8/20 + 1 Ø 12 Längseisen oben und unten

Mindestplattendicke F90 h_s \geq 100mm, a \geq 20mm \rightarrow erfüllt

Allgemeines zu den Geschossdecken

Über den zur Spannrichtung der Decken parallel verlaufenden Wänden und Balken ist eine obere Bewehrung anzuordnen, um Rissbildungen bei Kriechverformungen zu vermeiden. Diese Bewehrung soll nach dem DAfStb.-Heft 631, Abs. 2.2.4, zu 60 % der maximalen Feldbewehrung der Platte gewählt werden.

Weiterhin ist die in DIN EN 1992-1-1, Abs. 9.3.1.4, geforderte Rand- und Abrissbewehrung einzubauen. Es sind die Konstruktionsregeln gemäß EN 1992-1-1, Abschnitt 9, nebst nationalem Anhang zu beachten.

Die Decken werden nach statischen Erfordernissen mit Schub- und Durchstanzbewehrung versehen.

Verformungen

Gemäß Abschnitt 7.4.1 der DIN EN 1992-1-1, Ausgabe 2011, wird der Durchhang von Balken und Platten unter der quasi-ständigen Einwirkungskombination auf 1/250 der Stützweite begrenzt, um das Erscheinungsbild und die Gebrauchstauglichkeit des Tragwerkes nicht zu beeinträchtigen. Ist dieser Grenzwert überschritten, ist die Schalung zu überhöhen und um den Durchhang auszugleichen. Die Überhöhung sollte gemäß DIN EN 1992-1-1 den Wert des Durchhanges nicht überschreiten. Die maximal zulässige Durchbiegung nach Einbau angrenzender verformungsempfindlicher Bauteile wird auf 1/500 der Stützweite begrenzt.

Für Deckenplatten des üblichen Hochbaus ist bei Normalbeton im Allgemeinen eine Begrenzung der Biegeschlankheit auf den Wert $Li/d \le 35$ erforderlich.

Allgemeines bei der Verwendung von Fertigteilen

Planung und statische Nachweise von Fertigteilen

Es obliegt dem mit der Planung der Fertigteile beauftragten Unternehmen, den prüffähigen Nachweis der Richtigkeit der Konstruktionen zu erbringen.

Fertig-Elementdecken mit Ortbetonergänzung

Werden vom ausführenden Unternehmer vorgefertigte Elementdecken mit Ortbetonergänzung verwendet, ist die Verträglichkeit dieser Ausführung mit der vom Aufsteller erstellten Ausführungsplanung in Ortbeton zu überprüfen.

mb BauStatik S200.de, 2025.004

Proiekt: Sanierung und Neubau Wohnheim "Thomas Müntzer

18.12.2024 Datum: Position: 22 Auftrags-Nr.: 24-919 Seite: 288

Gitterträgerhöhen

Die Höhe der Gitterträger ist so zu wählen, dass die Gitterträger nicht nur für die Schubbemessung ausreichend sind, sondern dass sie damit auch das zusätzliche örtliche Anordnen von Abstandhaltern für die obere Bewehrung - auch für die eventuell vorhandene mehrlagige Bewehrung der Deckenplatten überflüssig macht. Im anderen Fall sind entsprechend zu ermittelnde Abstandhalter zur Auflagerung der oberen Bewehrung einzubauen.

Einachsig gespannte Platte System M 1:25 В 2.77 Abmessungen Feld 1 h Material Mat./Querschnitt [m][cm] C 20/25 20.0 Expositionsklassen WO und XC1 **Auflager** Art Lager b $K_{T,z}$ Χ [m] [cm] [kN/m] $\overline{\mathsf{A}}$ 0.00 24.0 indir. fest 24.0 indir. В 2.77 fest Belastungen auf das System Belastungen Belastungsgrafiken (einwirkungsbezogen) Grafik Einwirkungen Gk Ok.N 4.00 2 77 Flächenlasten Gleichflächenlasten in z-Richtung Feld Komm. а S qli **q**re [kN/m2] kN/m2] [m] [m] Einw. Gk 0.00 5.00 Eigengew 0.00 2.00 .77 Einw. Qk.N 0.00 4.00 Nutzlast Z für Laubengänge 4.00 kN/m² (a) 4.0 =Material- und Querschnittswerte nach DIN EN 1992-1-Mat./Querschnitt 1:2011-01 **Material** \textbf{f}_{ck} Material f_{yk} Ε $[N/mm^2]$ [N/mm²] [N/mm²] 30000 C 20/25 500 200000

B 500MA

Baustatik - Tragwerksplanung - Bauphysik

Sanierung und Neubau Wohnheim "Thomas Müntzer Projekt: 18.12.2024 Datum: Position: 22 Auftrags-Nr.: 24-919 Seite: 289 Querschnitt b/h Art h Α Ιv [cm²] [cm4] [cm] $\overline{\mathsf{PL}}$ 20.0 5.0 2000 66667 Expositionsklassen Expositionsklassen Abs. 4.2, 4.4 Seite Kommentar Feld 1 umlaufend trocken oder ständig nass WO Weitgehend trockener Beton Achsabstände, Betondeckungen Bewehrungsanordnung d' Bezug Δc_{dev} Cmin Cnom C_V [mm] 20 20 Feld 1 oben 10 10 20 35 unten 10 10 20 35

Bemessung (GZT)

für den Grenzzustand der Tragfähigkeit nach DIN EN 1992-1-1:2011-01

Bem.-schnittgrößen

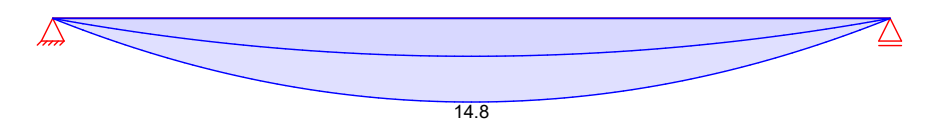
Bemessungsschnittgrößen

Grafik

Schnittgrößen (Umhüllende)

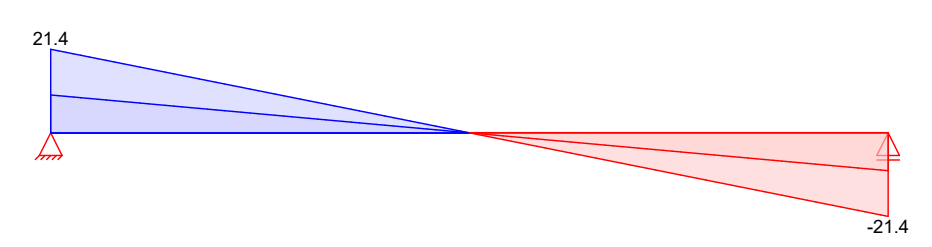
Kombinationen

Moment M_{V,d}[kNm/m]



Querkraft $V_{z,d}[kN/m]$

Y



Biegung Abs. 6.1

Bemessung für Biegebeanspruchung x/d_{o} m_{vd} o

^	mya,o	X / U ₀	~ 0	as,o	αs,o,erτ
	$m_{yd,u}$	x/d_u	z_{u}	$a_{s,u}$	$a_{s,u,erf}$
[m]	[kNm/m]		[cm]	$[cm^2/m]$	$[cm^2/m]$
(L = 2.7)	77 m)				
0.00	_	_	_	_	_
	_	0.002	16.5	_	1.98м
0.10_a	0.93	_	_	_	_
	2.06	0.024	16.4	0.28	1.98м
1.38*	6.71	-	_	_	_
	14.82	0.074	16.0	2.02	2.02
2.67 _a	0.93	-	_	-	_
	2.06	0.024	16.4	0.28	1.98 _M
2.77	_	-	_	_	_
	_	0.002	16.5	_	1.98м

Feld 1

Datum:

18.12.2024

Baustatik - Tragwerksplanung - Bauphysik

Auftrags-Nr.: 24-919		Positio	n: 22		Seite:	290
Querkraft Abs. 6.2				eanspruchung		
ADS. 6.2	X	VEd	θ	VRd, max	V Rd,c	a _{sw,erf}
Feld 1	$\frac{[m]}{(L = 2.7)}$	[kN/m]	[°]	[kN/m]	[kN/m]	$[cm^2/m^2]$
reid I	0.00	21.40	18.4	277.95	_	_
	0.10_a	19.85	18.4	277.95	73.05	_
	1.38	-	18.4	277.95	73.05	-
	2.67 _a 2.77	19.85 21.40	18.4 18.4	277.95 277.95	73.05	_
	2.77	21.40	10.4	277.55		
Nachweise (GZG)		zustand de :2011-01	er Gebra	uchstauglic	hkeit nad	ch DIN EN
Biegeschlankheit	Begrenzu	ng der Bie	egeschla	nkheit		
	Referenz	bewehrungs	sgrad	f	$p_0 = 0$.	45 %
	Verformu berücksi		dliche E	auteile wer	den	
	Feld	vorh.l/d	ρ	ρ' Κ	zul.1/	d η
	1	[-] 16.79	[%] 0.12	[%] [-] 0.00 1.00	- <u>[</u> -] [-] 0 0.48
<u>Auflagerkräfte</u>	Auflager	kräfte Trä	iger			
Char. Auflagerkr.	charakte	eristische	e Aufla	gerkräfte (ie Einwi	rkuna)
	Aufl.			Fz,k,min	. 5	Fz,k,max
				[kN/m]		[kN/m]
Einw. <i>Gk</i>	Ā			9.70		9.70
Einw. Qk.N	<u>B</u> A			9.70 5.54		9.70 5.54
211111 QX111	В			5.54		5.54
Bemauflagerkräfte	Bemessungsauflagerkräfte (Min/Max)					
	Aufl.			Fz,d,min		Fz,d,max
	_			[kN/m]		[kN/m]
Grundkombinationen	A B			9.70 9.70		21.40 21.40
	ь			3.70		21.40
<u>Zusammenfassung</u>	Zusammen	fassung de	er Nachw	veise		
Nachweise (GZG)	Nachweis	se im Gren	nzzust.	der Gebrau	ıchstaugl	ichkeit
	Nachweis				Feld	η
	Biegesch	lankheit		F	eld 1	OK 0.48

Sanierung und Neubau Wohnheim "Thomas Müntzer

Projekt:

Sanierung und Neubau Wohnheim "Thomas Müntzer Datum:

18.12.2024 Position: 23 Seite: Auftrags-Nr.: 24-919 291

Wandartiger Träger Pos. 23

Mindestwanddicke F90 t ≥ 140mm, a ≥ 10mm → erfüllt

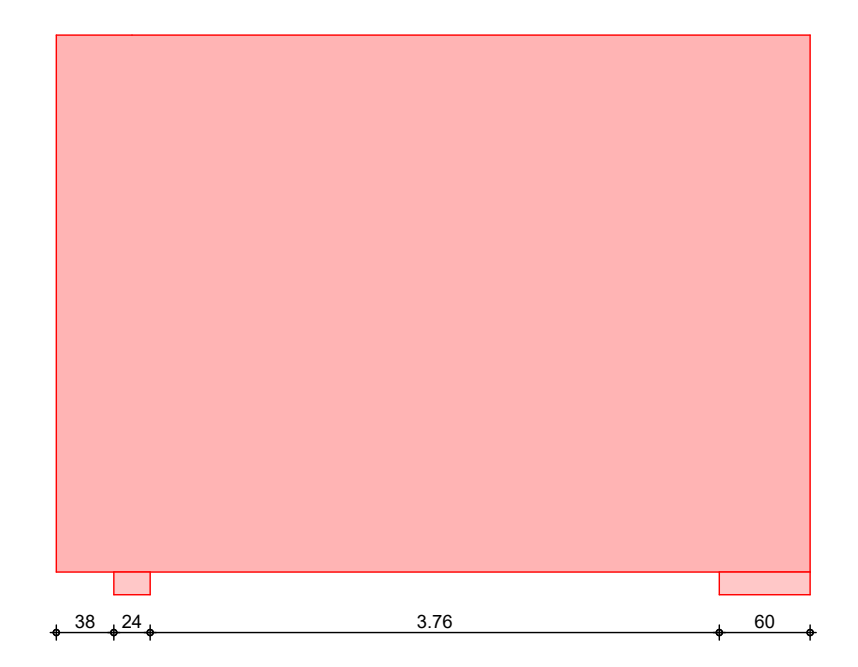
System

Wandartiger Träger nach DIN EN 1992-1-1, Heft 631

M 1:50



M 1:50



Abmessungen Mat./Querschnitt

Feld	b	h	1	Material	h/1
	[cm]	[m]	[m]		[-]
Krag.l.	24.0	3.55	0.50	C 20/25	7.10
Feld 1	24.0	3.55	4.18	C 20/25	0.85

Expositionsklasse

XC1

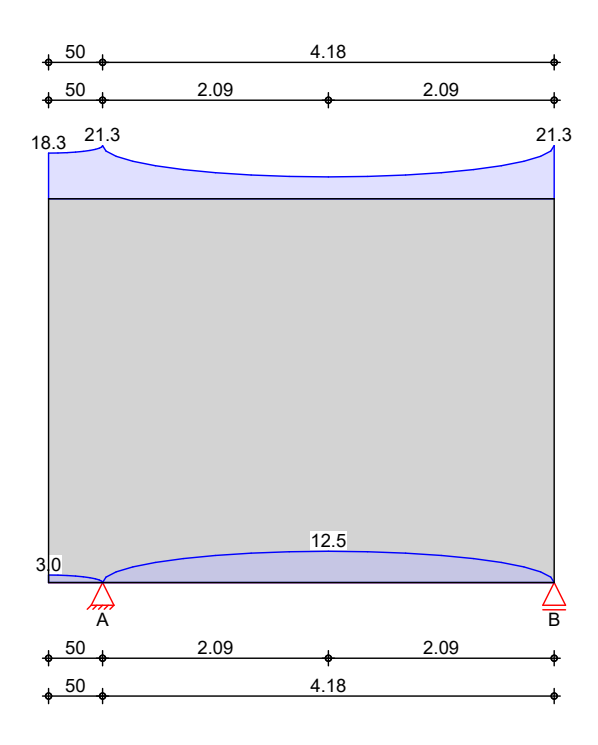
Auflager

Aufl.	Art	a	t
		[cm]	[cm]
Aufl.A	direkt	24.0	24.0
Aufl.B	direkt	60.0	24.0

Sanierung und Neubau Wohnheim "Thomas Müntzer Projekt:

18.12.2024 Datum: Position: 23 Auftrags-Nr.: 24-919 Seite: 292

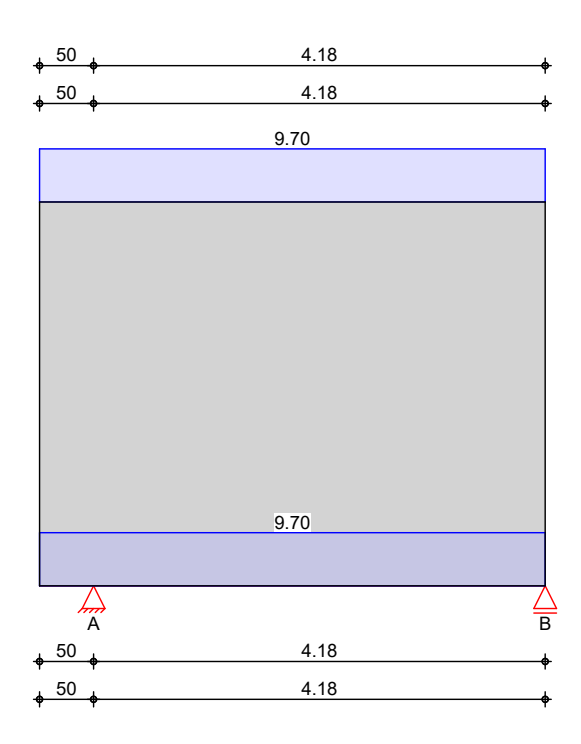
Belastungen Gk (Eigenl.)



Eigenlast

Aufteilung gemäß DAfSb Heft 631 Feld Kommentar gesamt unten, max [kN/m] 21.30 21.30 [kN/m]Krag.l. Feld 1 Eigengewicht 3.00 12.54

Gk



Eigengewicht

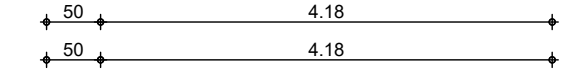
Baustatik - Tragwerksplanung - Bauphysik

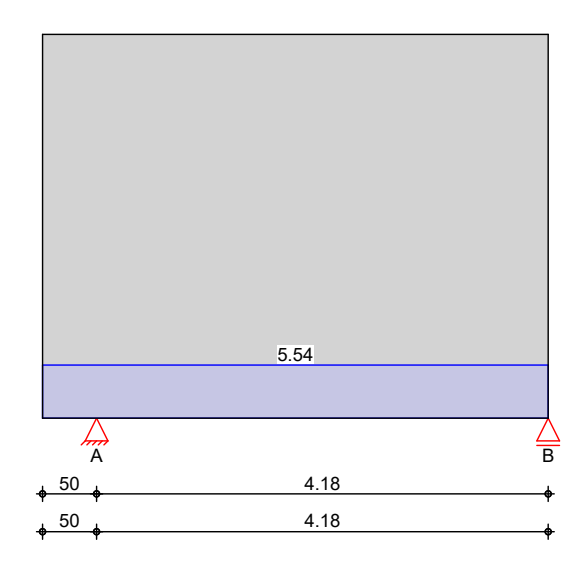
Projekt: Sanierung und Neubau Wohnheim "Thomas Müntzer 18.12.2024 Datum: Position: 23 Seite: Auftrags-Nr.: 24-919 293

Gleichlasten	Nr.	von Feld	bis Feld	Angriff	q
					[kN/m]
	$_{(a)} \overline{1}$	Krag.l.	Feld 1	oben	9.70
	(h) 2	Krag.l.	Feld 1	unten	9.70

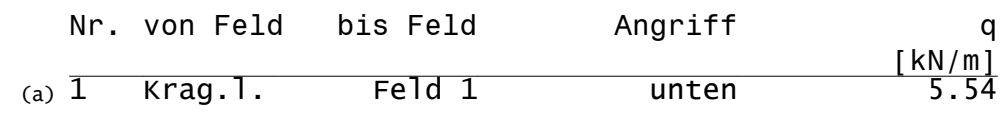
- aus Pos. '21', Lager 'A' (Seite 286) (a)
- aus Pos. '22', Lager 'A' (Seite 290) (b)

Qk.N





Gleichlasten

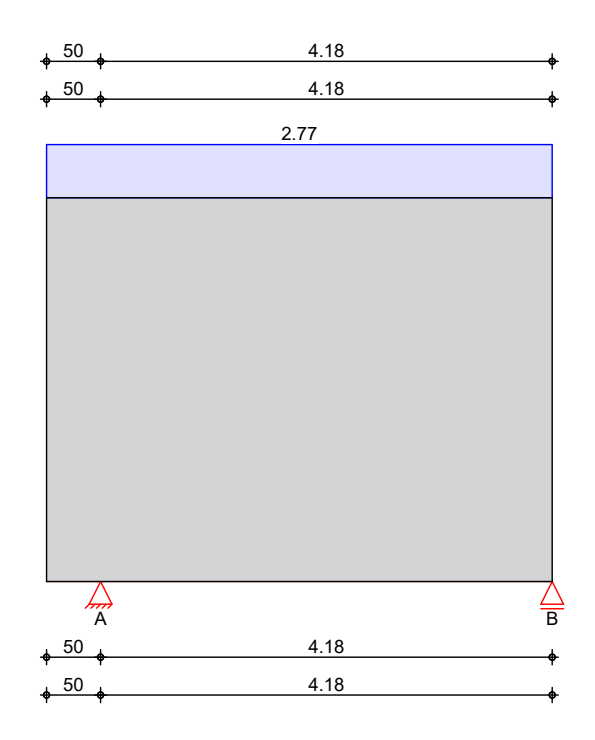


(a) aus Pos. '22', Lager 'A' (Seite 290) Projekt: Sanierung und Neubau Wohnheim "Thomas Müntzer

Position: 23 Auftrags-Nr.: 24-919

Datum: Seite: 18.12.2024 294

Qk.S



Gleichlasten

bis Feld Nr. von Feld Angriff (a) $\overline{1}$ oben Krag.1. Feld 1

(a)

aus Pos. '21', Lager 'A' (Seite 286)

Kombinationen

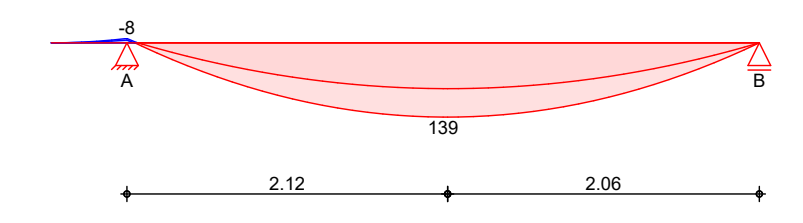
Kombinationsbildung nach DIN EN 1990 Darstellung der maßgebenden Kombinationen

ständig/vorüberg.

Ek	$\Sigma (\gamma^*\psi^*EW)$		
1	1.35*Gk		
2	1.35*Gk	+1.50*Qk.N (K1)	+0.75*Qk.S
3	1.35*Gk	+1.50*Qk.N (Kl,1)	+0.75*Qk.S
4	1.35*Gk	+1.50*Qk.N (1)	+0.75*Qk.S
5	1.00*Gk	+1.50*Qk.N (K1)	
7	1.00*Gk		

Grundkombinationen

Moment Med



Baustatik - Tragwerksplanung - Bauphysik

Projekt: Sanierung und Neubau Wohnheim "Thomas Müntzer Datum: 18.12.2024 Auftrags-Nr.: 24-919 Position: 23 Seite: 295

Mat.,	/Querschn	itt

Material	Beton <i>C</i> 20/25	Betonstahl <i>B 500SA</i>		
	Elastizitätsmodul	$Ecm = 30000 \text{ N/mm}^2$		

RE: Rechteckquerschnitt

Expositionsklassen Abs. 4.2, 4.4 Kragarm links

Feld 1

Expositionsklassen Seite Kl

Seite Kl Kommentar
umlaufend XC1 trocken oder ständig nass
umlaufend XC1 trocken oder ständig nass

Bewehrungsanordnung Achsabstände, Betondeckungen

		Bezug	C	C _{min}	$\Delta c_{ ext{dev}}$	Cnom	Cv
			[n	mm]	[mm]	[mm]	[mm]
Kragarm li	าks	oben	-	10	10	20	20
		unten		10	10	20	20
		links		10	10	20	20
		rechts		10	10	20	20
		stirnseitig		10	10	20	20
Feld 1		oben		10	10	20	20
		unten		10	10	20	20
		links		10	10	20	20
		rechts		10	10	20	20
		stirnseitig		10	10	20	20

Nachweise (GZT) gem. DIN EN 1992-1-1, DAfStb Heft 631, (Schlaich/Schäfer)

Netzbewehrung b $A_{s,erf}$. je Seite [cm] $[cm^2/m]$ 24 1.80

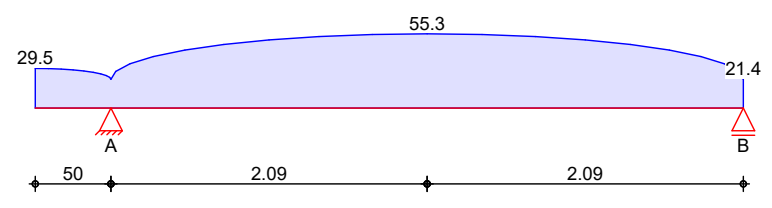
Längszugbewehrung Ort Med EK z Z

0rt	Med	EK	Z	Z	As,erf.
	[kNm]		[m]	[kN]	[cm2]
Aufl.A	-8.2	2	0.42	19.2	0.4
Feld 1	139.1	4	1.87	74.6	1.7

Aufhängebewehrung Streckenlasten

Feld	von x	bis x	Aed	EK	As,erf.
	[m]	[m]	[kN/m]		[cm2/m]
Krag.l. Feld 1	0.00	0.50	29.50	2	0.68
Feld 1	0.00	4.18	55.26	3	1.27

Grundkombinationen maximal aufzuhängende Last aus Grundkombinationen



Knotennachweise Auflager A

Beton C 20/25

Knoten K8 nach Schlaich/Schäfer

				Bausta	tik - Tra	gwerksp	lanung -	Bauphysik
Projekt: Auftrags-Nr.:	_	und Neubau	Wohnheim "T Positi		ntzer		Datum: Seite:	18.12.2024 296
		•	ıgsbegrenzı	•			-	= 0.75
		a1 [cm] 24.00	a2 [cm] 25.14	θ2 [°] 59.5	a3 [cm] 39.49	θ3 [°] 56.0	a0 [cm] 41.80	b [cm] 24.00
		Druckst	rebennachw	veis				

ĿΚ	1	Fi	ai	01	OR,a	[]
		[kN]	[cm]	$[N/mm^2]$	$[N/mm^2]$	[-]
3	cd,1	171.1	24.0	3.0	8.5	0.35
	cd,2	37.9	25.1	0.6	8.5	0.07
	cd,3	167.1	39.5	1.8	8.5	0.21

Verankerungsart gerader Stab 1.00 Beiwert α_a Verbundbedingung gut Die Verankerung erfolgt für 100% der Zugkraft

i	Ø	l b	As,erf/As,vorh	${f l}$ b,erf	1 b,vorh
	[mm]	[cm]	[-]	[cm]	[cm]
td1	12	0.0	0.00	0.0	_
td2	12	56.2	0.21	16.9	_

Auflager B

Knoten K6 nach Schlaich/Schäfer $f_{\eta} = 0.75$ Spannungsbegrenzung DIN EN 1992-1-1 a1 θ2 a0 [cm] 58.00 [cm] [cm] [cm] 70.02 41.80

Druckstrebennachweis

ΕK	i	Fi	ai	σ i	σ_{R} ,d	η
		[kN]	[cm]	$[N/mm^2]$	$[N/mm^2]$	[-]
4	cd,1	134.8	58.0	1.0	8.5	0.11
	cd,2	154.1	70.0	0.9	8.5	0.11

Verankerungsart gerader Stab Beiwert αa 1.00 Verbundbedingung gut Die Verankerung erfolgt für 100% der Zugkraft

i	Ø	1b	As,erf/As,vorh	${f l}$ b,erf	1b,vorh
	[mm]	[cm]	[-]	[cm]	[cm]
td1	12	56.2	0.27	11.2	58.0

Bewehrungswahl

B 500SA

Netzbewehrung je Seite

Feld	As,erf.	gewählt	As,vorh.	η
	[cm2/m]		[cm2/m]	[-]
alle	1.80	Q 424	4.24	0.42

Längszugbewehrung

Ort	von h	bis h	As,erf.	Zulage	As,vorh.*	η
	[m]	[m]	[cm²]		[cm²]	[-]
Aufl.A	0.15	0.50	0.22	_	1.27	0.17
Aufl.A	0.50	0.85	0.22	_	2.97	0.07
Feld 1	0.00	0.42	1.72	2*2Ø12	6.37	0.27

Baustatik - Tragwerksplanung - Bauphysik

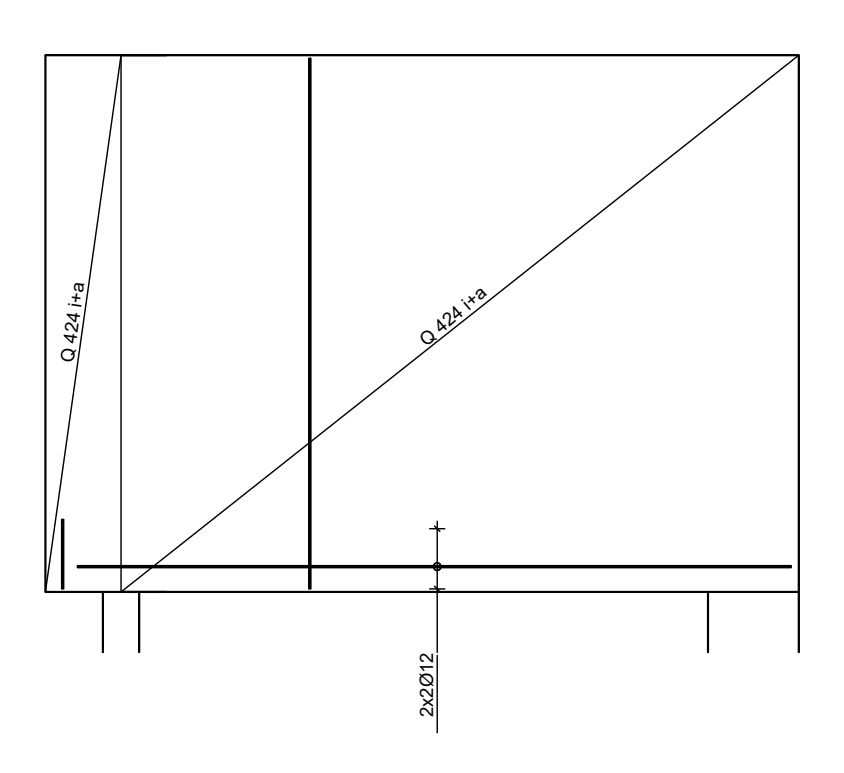
Projekt: Sanierung und Neubau Wohnheim "Thomas Müntzer 18.12.2024 Datum: Position: 23 Seite: Auftrags-Nr.: 24-919 297

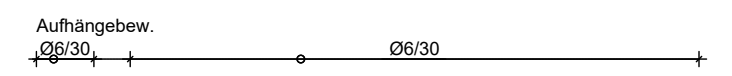
Aufhängebewehrung	Feld	von x	bis x	As,erf.	Zulage	As,vorh.*	η
Streckenlasten		[m]	[m]	$[cm^2/m]$	Bügel	$[cm^2/m]$	[-]
	Krag. 1.	0.00	0.50	0.68	Ø6/30.0	1.88	0.36
	Feld 1	0.00	4.18	1.27	Ø6/30.0	1.88	0.67

Aufhängebewehrung Streckenlasten



Bewehrungsskizze M 1:50





Randeinfassung umlaufend 2Ø12 + Bügel Ø8/15

<u>Auflagerkräfte</u>

n nacn нетт	63I	
er	F _{z,max}	$F_{z,min}$
	[kN]	[kN]
	106.6	106.6
В	83.8	83.8
	er	[kN] A 106.6

mb BauStatik S360.de, 2025.004

Baustatik - Tragwerksplanung - Bauphysik

Projekt: Sanierung	und Neubau Wohnhei	m "Thomas Mü	ntzer		Datum:	18.12.2024
Auftrags-Nr.: 24-919	Ро	Position: 23			Seite:	298
	EW	Aufla	ıger		F _{z,max} [kN]	F _{z,min} [kN]
	Qk.N	Auflage Auflage			14.5 11.6	0.0 -0.2
	Qk.S	Auflage Auflage	er A		7.3 5.7	7.3 5.7
	Bemessungslasten					
	Тур	Aufl.	F _{z,max} [kN]	EK		_{min} EK kN]
	Grundkombin.	A B	171.13 134.81	3 4		.60 7 .58 5
Zusammenfassung	Zusammenfassu	ng der Nac	hweise			
Nachweise (GZT)	Nachweise im	Grenzzust	and der T	ragf	⁻ ähigkeit	
	Nachweis					η [-]
	Expositionsk1	assen			Ol	<
Auflager A	Druckstreben				Ol	
Auflager B	Druckstreben_				Ol	< 0.11
	<u> Verankerungsl</u>				Ol	
	Bewehrungswah				Ol	<

Projekt: Sanierung und Neubau Wohnheim "Thomas Müntzer

18.12.2024 Datum: Position: 23.1 Seite: Auftrags-Nr.: 24-919 299

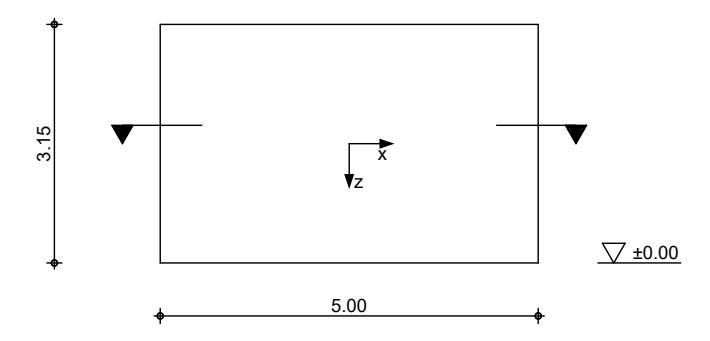
Rissbreitennachweis Pos. 23.1

System

wand

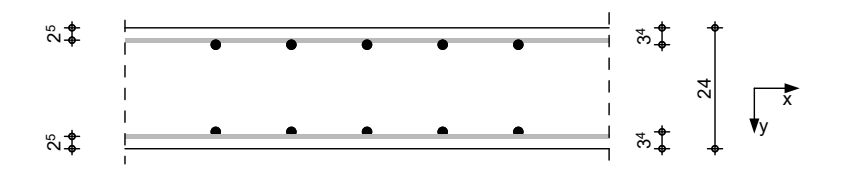
M 1:100

Ansicht

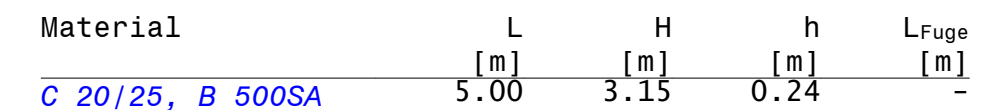


M 1:15

Querschnitt



Abmessungen Mat./Querschnitt



Expositionsklasse

XC1

Mat./Querschnitt

Bei Begrenzung der Rissbreite für dieses Bauteil wurde ein Beton angenommen, dessen Betonzugfestigkeit $f_{\text{ct,eff}}$ nach 5 Tagen höchstens 50 % der mittleren Zugfestigkeit f_{ctm} erreicht (max $f_{\text{ct,eff}}$ =0,5* $f_{\text{ctm,28df}}$). Dies ist bei der Festlegung des Betons und der Bauausführung zu berücksichtigen.

Expositionsklassen Abs. 4.2, 4.4

Expositionsklassen

Seite Kommentar Κl

umlaufend XC1 trocken oder ständig nass

Baustatik - Tragwerksplanung - Bauphysik

Projekt: Sanierung u Auftrags-Nr.: 24-919	nd Neubau Wohnheim "Thomas Müntzer Datum: 18.12.2024 Position: 23.1 Seite: 300
Bewehrungsanordnung	$\begin{array}{c ccccccccccccccccccccccccccccccccccc$
<u>Nachweise (GZG)</u> Randbedingung	Nachweise nach WU-Richtlinie (12/17), DIN EN 1992-1-1:2011-01
Nutzungsklasse	Nutzungsklasse B
Beanspruchungs- klasse	Bodenfeuchte Beanspruchungsklasse 2
zul. Rissweite	w = 0.30 mm
Trennrisse (Zwang)	nach DIN EN 1992-1-1, 7.3.2 Hydratation
	reiner Zug innerer Zwang früher Zwang $t<=5d$
Betonspannungen (am Wandfuß)	$\begin{array}{cccccccccccccccccccccccccccccccccccc$
Betonspannungen (in 1/4 der Höhe)	in 1/4 der Wandhöhe nach Lohmeyer: Verhältniss L/H = 1.59 - Umrechnungsfaktor $k_{\text{ct,d}} = 0.44$ - Betonspannung $\sigma_{\text{c}} = 1.01 \text{ N/mm}^2$
Mindestbewehrung	$\begin{array}{cccccccccccccccccccccccccccccccccccc$
Duktilität	$\begin{array}{cccccccccccccccccccccccccccccccccccc$

Die vorhandene Mindestbewehrung (Duktilität) ist ausreichend.

Baustatik - Tragwerksplanung - Bauphysik

Projekt: Sanierung und Neubau Wohnheim "Thomas Müntzer 18.12.2024 Position: 23.1 Auftrags-Nr.: 24-919 Seite: 301

Auftrags-Nr.: 24-919	POSIT		Seite:		30	
Bewehrungswahl						
Grundbewehrung	Lage	Тур	ds	s	ı	as
	•	31	[mm]	[cm]	- [cm ² /m]
	x-aussen	Q 424A	9	15.0)	4.24
	x-innen	Q 424A	9	15.0	ł	4.24
	Kommentar	Lage	as,erf	as,vorh		η
			[cm ² /m]	[cm ² /m]		
	Hydratation	x-aussen	3.68	4.24		0.87
	Hydratation	x-innen	3.68	4.24		0.87
<u>Zusammenfassung</u>	Zusammenfassung	der Nachweise	<u>}</u>			
Nachweise (GZG)	Nachweise im G	renzzust. der	Gebraud	chstaug	lic	hkeit
	Nachweis			Lage		η
				J		[-]
	Expositionsklass	sen			OK	
Mindestabmessungen	Wanddicke				OK	0.83
<u>Größtkorndurchme</u>					OK	0.50
Trennrisse Mindestbewehrung					OK OK	0.87
Duktilität	Mindestbewehrung Mindestbewehrung				OK OK	$\begin{array}{r} 0.87 \\ \hline 0.51 \end{array}$
Dukerricae	Mindestbewehrung				OK OK	0.51
	ATTIGES EDEWEIN UNI	y Dakerrieae	^		J.(0.51

Datum:

Projekt: Sanierung und Neubau Wohnheim "Thomas Müntzer Position: 23.2 Auftrags-Nr.: 24-919

Seite: 302

18.12.2024

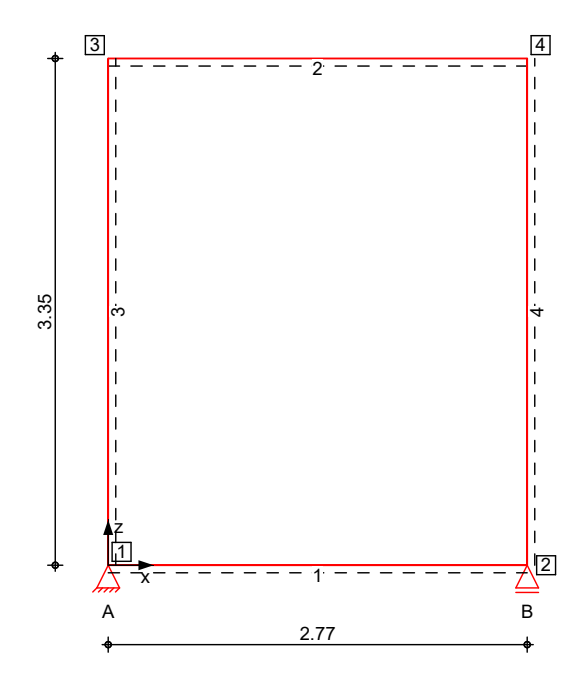
Pos. 23.2 Rahmen

Nachweis Stb.-Verbindungsgang mit Wänden und Decken als Rahmen mit Querwind.

System

Stabwerk

M 1:50



Knotendefinition	Knoten	X	Z
		[m]	[m]
	1	0.00	0.00
	2	2.77	0.00
	3	0.00	3.35
	4	2.77	3.35

Stabdefinition	Stab	von	bis	l Material	Querschnitt
		Kn.	Kn.	[m]	
	1	1		2.77 C 20/25	b/h=100/20cm
	2	3	4	2.77 <i>C</i> 20/25	b/h=100/20cm
	3	1	3	3.35 <i>C</i> 20/25	b/h=100/20cm
	4	2	4	3.35 <i>C</i> 20/25	b/h=100/20cm

Stabendgelenke Alle Stäbe sind druck-, zug- und biegesteif angeschlossen.

Auflagerdefinition global	Lager	Kn.	$K_{T,x}$	$K_{T,z}$	K _{R,y}
global			[kN/m]	[kN/m]	[kNm/rad]
	A	1	fest	fest	frei
	В	2	frei	fest	frei

Expositionsklasse XC1 Projekt: Sanierung und Neubau Wohnheim "Thomas Müntzer

18.12.2024 Datum: Position: 23.2 Seite: Auftrags-Nr.: 24-919 303

Belastungen

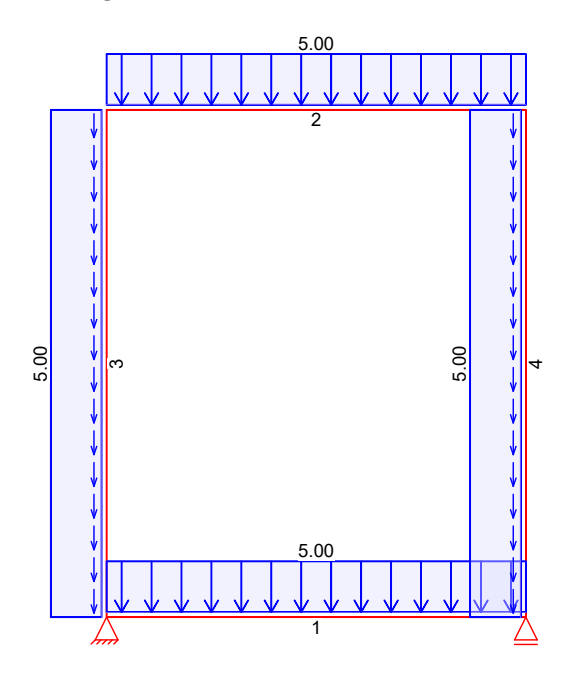
Belastungen auf das System

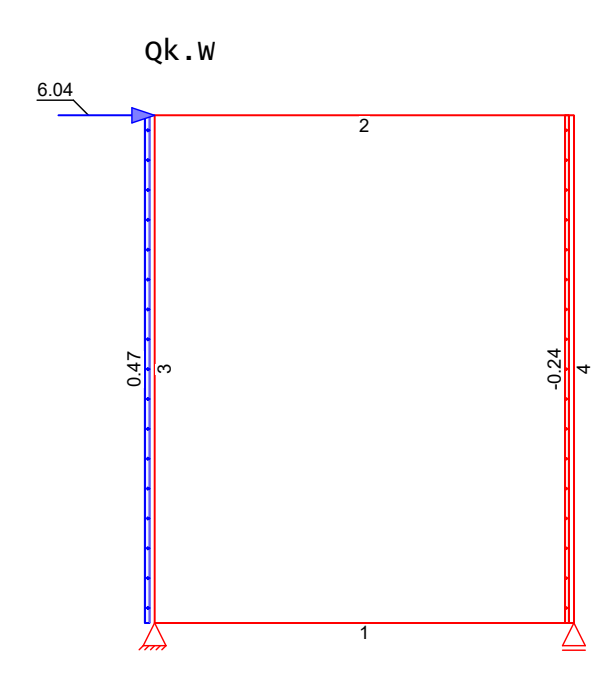
Grafik

Belastungsgrafiken (einwirkungsbezogen)

Einwirkung

Gk





Eigengewicht in z-Richtung

Einw. *Gk*

Eigengewicht am Stab Stab Kommentar

 $\overline{1-4}$ Eigengew

qz [kN/m]5.00

Baustatik - Tragwerksplanung - Bauphysik

Projekt: Sanierung und Neubau Wohnheim "Thomas Müntzer Auftrags-Nr.: 24-919

Position: 23.2

Datum: Seite: 18.12.2024 304

Streckenlasten	Streckenlasten	orthogonal	am Stab		
orthogon. Richtung	Stab Kommentar	a	S	$q_{\mathtt{li}}$	q re
		[m]	[m]	[kN/m]	[kN/m]
Einw. <i>Qk.W</i>	3	0.00	3.35		0.47
	4	0.00	3.35		-0.24

Punktlasten Einzellasten am Knoten in x-/z-Richtung Knoten Kommentar F_x F۶ kN] [kN] (a) $\overline{3}$ Einw. Qk.W 6.04

(a) Wind aus Dachscheibe (0.47+0.24)*4/2*8.5/2 =6.04 kΝ

Kombinationsbildung nach DIN EN 1990 Kombinationen Darstellung der maßgebenden Kombinationen

Ek $\Sigma (\gamma^*\psi^*EW)$ 1.35*Gk ständig/vorüberg. 1 2 1.35*Gk +1.50*Qk.W 4 1.00*Gk +1.50*Qk.W st./vor. Auflagerkr. 6 1.35*Gk 7 1.35*Gk +1.50*Qk.W 9 1.00*Gk 10 1.00*Gk +1.50*Qk.W

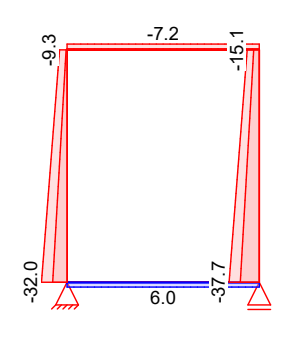
Bem.-schnittgrößen

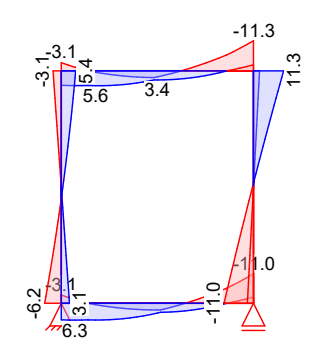
Bemessungsschnittgrößen Theorie I. Ordnung

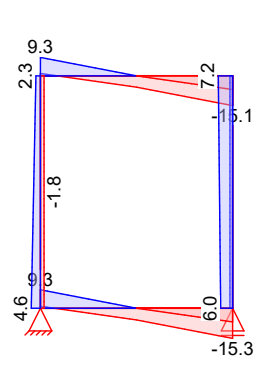
Grafik

Schnittgrößen (Umhüllende)

 $N_{x,d}[kN]$ $M_{y,d}[kNm]$ $V_{z,d}[kN]$







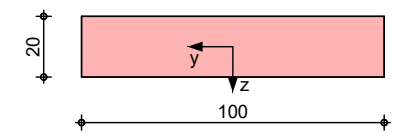
Mat./Querschnitt

Material- und Querschnittswerte nach DIN EN 1992-1-1:2011-01

Grafik

Querschnittsgrafik [cm]

M 1:25



Baustatik - Tragwerksplanung - Bauphysik

Projekt:	Sanierung (und Neubau	Wohnheim	"Thomas	Müntzer	Datum:	18.12.2024
Auftrags-Nr.:	24-919		Posi	ition: 2	3.2	Seite:	305

Expositionsklassen	Expositionsk					
Abs. 4.2, 4.4	Seite	K				
Stab 1 Stab 2	umlaufend umlaufend				ständig	
Stab 3	umlaufend				ständig ständig	
Stab 4	umlaufend				ständig	
Bewehrungsanordnung	Achsabstände,				_	
	Bezug					C _V d'
Stab 1	umlaufend	L	mm] [10	mm] [r 10		n] [mm] 20 32
Stab 2	umlaufend		10	10	20 2	20 32
Stab 3	umlaufend		10	10		20 32
Stab 4	umlaufend		10	10	20 2	20 32
Bemessung (GZT)	für den Grenzz 1992-1-1:2011-		der Tra	gfähigke	eit nach	DIN EN
Biegung Abs. 6.1	Bemessung für	_	•	_	۸	٨
ADS. 0.1	x Ek	N_d	Myd,o	x/d _o	A _{s,o}	As,o,erf
	[m]	[kN]	M _{yd,u} [kNm]	x/d _u	A _{s,u} [cm²]	A _{s,u,erf} [cm ²]
Stab 1	(L = 2.77 m)	[KN]	[KINIII]		[OIII]	[Ciii]
	0.00 1	1.83	-3.07	0.029	0.43	0.43
	$\frac{4}{0.20}$ 1	5.57 1.83	6.21 -1.35	0.042 0.018	0.89	0.89
	4	5.57	6.31	0.042	0.20	0.91
	2.77 2	6.04	-11.00	0.059	1.54	1.54
	1	1.83	-3.07	_	_	_
Stab 2	(L = 2.77 m)	1 02	2 07	0 020	0.20	0.30
	$\begin{array}{cc} 0.00 & 1 \\ & 4 \end{array}$	-1.83 -6.77	-3.07 5.39	0.030 0.042	0.38 0.63	0.38 0.63
	0.50 3	-1.36	0.54	-	0.05	0.05
	2	-7.25	5.56	0.042	0.64	0.64
	2.77 2	-7.25 -1.83	-11.27 -3.07	0.063	1.41	1.41
		1.05	3.07			
Stab 3	(L = 3.35 m) 0.00 4	17 05	-6.21	0 049	0.59	0 50
		-17.95 -31.96	3.07	0.048	0.59	0.59 0.06 _м
	3.35 1	-9.35	-3.07	0.032	0.28	0.28
	4	-1.20	5.39	0.040	0.70	0.70
Stab 4	(L = 3.35 m)					
		-37.69	-11.00	0.068	0.99	0.99
	$\frac{1}{3.35}$ $\frac{1}{1}$	-31.96 -9.35	-3.07 3.07			0.06 _M
	2 -	-15.07	11.27	0.064	1.31	1.31
	M: Mindestbewehrung	nach Abs.	9.2.1.1			
Querkraft	Bemessung für				=	
ADS. 6.2	x Ek	V_{Ed}		$V_{Rd,max}$	V Rd,c	$a_{sw,erf}$
Ctab 1	[m]	[kN]	[°]	[kN]	[kN]	[cm ² /m]
Stab 1	(L = 2.77 m) 2.77 2	-15.27	18.4	295.80	73.77	7.04 _M
Stab 2	(L = 2.77 m) 2.77 2					
Stab 3	(L = 3.35 m)	-15.07		295.80	75.11	7.04 _M
	0.00 4	4.64	18.4	295.80	76.19	7.04 _M

Baustatik - Tragwerksplanung - Bauphysik

Projekt: Sanierung u Auftrags-Nr.: 24-919	nd Neubau			homas M on: 23			Datum: Seite:	18.12.202 30
	х	Ek		V_{Ed}	θ	$V_{\text{Rd,max}}$	VRd,c	a _{sw,erf}
	[m]			[kN]	[°]	[kN]	[kN]	[cm ² /m]
Stab 4	$ \begin{array}{c} L = 3. \\ 3.35 \\ M: Mindest \end{array} $	2	-	7.25 n Abs. 9	18.4	295.80	75.90	7.04м
Stabilität Abs. 5.8	Nennkrü	mmung Stäk	e 1,	2, 3	und 4	t nach de ist die B rlich		
Schlankheiten	Stab	Ek		φ			2	3
Sentankhereen	Stab	ĽΚ	С	Ψ	1 _{0,z}	1 _z	λ_z	λ_{lim}
					1 _{0,y}	i _y	λ_{y}	$\lambda_{ exttt{lim}}$
	Stab 1	4	10	_	[m] 5.54	[cm] 5.77	95.96	
					5.54	28.87	19.19	
	Stab 2	4	10	_	5.54 5.54	5.77 28.87	95.96 19.19	292.69 292.69
	Stab 3	4	10	_	6.70	5.77	116.05	179.79
	<u> </u>		10		6.70	28.87	23.21	179.79
	Stab 4	4	10	_	6.70 6.70	5.77 28.87	116.05 23.21	140.49 140.49
Einw. <i>Gk</i> Einw. <i>Qk.W</i>	Aufl. A B A				F _{x,1} [kN] 0.00 0.00 6.81)) L		F _{z,k} [kN] 30.60 30.60 -7.76
Bemauflagerkräfte	B Aufl.				0.00 F _x ,	i		7.76 F _{z,d}
Komb. <i>6</i>	A				[kN] 0.00			[kN] 41 31
	В				0.00)		41.31
Komb. 7	A B				10.21 0.00			29.66 52.96
Komb. <i>8</i>	A				10.21			23.54
Komb. <i>9</i>	B				0.00			46.84
KOMD. 9	A B				0.00			30.60 30.60
Komb. <i>10</i>	A B				10.21			18.95 42.25
<u>Zusammenfassung</u> Nachweise (GZT)	Zusamme		_		ıchweis		- ähigkei	
, ,								
	Nachwei Exposit							η [-]

Baustatik - Tragwerksplanung - Bauphysik

Sanierung und Neubau Wohnheim "Thomas Müntzer Projekt: 18.12.2024 Datum: Position: 23.2 Auftrags-Nr.: 24-919 Seite: 307

Qk.N

Sanierung und Neubau Wohnheim "Thomas Müntzer Projekt:

18.12.2024 Datum: Position: 24 Seite: Auftrags-Nr.: 24-919 308

Pos. 24

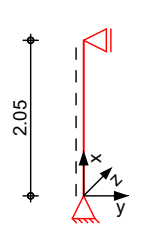
Stb.-Stütze

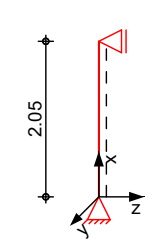
System

Pendelstütze aus Stahlbeton nach DIN EN 1992-1-1

System

M 1:100





Abmessungen Mat./Querschnitt



System ist unverschieblich in z- und y-Richtung

Expositionsklassen

Geschoss 1 (WF, XC4 und XF1)

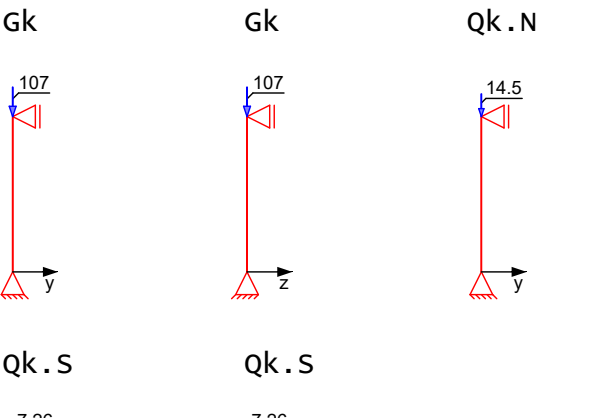
Belastungen

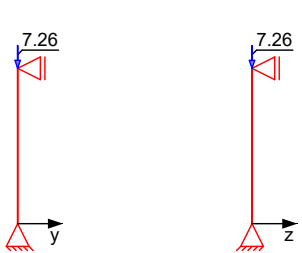
Belastungen auf das System

Grafik

Belastungsgrafiken (einwirkungsbezogen)

Einwirkungen





Punktlasten

Einzellasten in x-Richtung

Einw.	Gk
Einw.	Qk.N
Einw.	Ok.S

Komm.	a	Fx	e_y	e_z
	[m]	[kN]	[cm]	[cm]
(a)	2.05	106.60	0.0	0.0
(a)	2.05	14.51	0.0	0.0
(a)	2.05	7.26	0.0	0.0

Baustatik - Tragwerksplanung - Bauphysik

Sanierung und Neubau Wohnheim "Thomas Müntzer Projekt: 18.12.2024 Datum: Position: 24 Auftrags-Nr.: 24-919 Seite: 309

aus Pos. '23', Lager 'A' (Seite 297) (a)

Kombinationsbildung nach DIN EN 1990 **Kombinationen**

Darstellung der maßgebenden Kombinationen

Ek $\Sigma (\gamma^*\psi^*EW)$

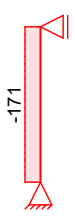
1.35*Gk ständig/vorüberg. 1 +1.50*Qk.N +0.75*Qk.S 2 1.00*Gk

3 1.00*Gk **Brand** +0.30*Qk.N

Bemessungsschnittgrößen Bem.-schnittgrößen

Grafik Schnittgrößen (maßgebende)

Komb. 1 (GK) Normalkraft Nd[kN]



Normalkraft Nd[kN] Komb. 2 (GK)



Komb. 3 (BK) Normalkraft Nd[kN]



Tabelle Schnittgrößen (maßgebende)

	X	ING
	[m]	[kN]
Komb. <i>1 (GK)</i>	2.05	-171.13
	0.00	-171.13*
Komb. <i>2 (GK)</i>	2.05	-106.60
	0.00	-106.60*
Komb. <i>3 (BK)</i>	2.05	-110.96
	0.00	-110.96*

М.

Baustatik - Tragwerksplanung - Bauphysik

Sanierung und Neubau Wohnheim "Thomas Müntzer Projekt:

18.12.2024 Datum: Position: 24 Seite: Auftrags-Nr.: 24-919 310

Mat./Querschnitt

Material- und Querschnittswerte nach DIN EN 1992-1-1:2011-01

Material

Material	† _{yk}	✝ck	E
	$[N/mm^2]$	$[N/mm^2]$	$[N/mm^2]$
C 25/30		25	31000
B 500SB	500		200000

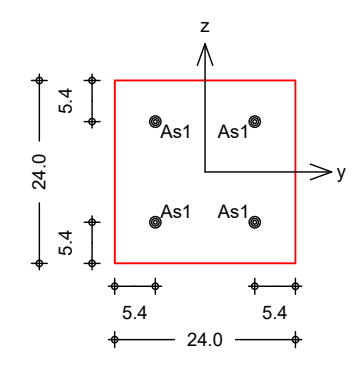
Querschnitt

Art	: b _y	b_z	Α	Iy	Ιz
	[cm]	[cm]	[cm ²]	[cm ⁴]	[cm ⁴]
RE	24.0	24.0	576	27648	27648
RF.	Rechteckquerschnitt				

Grafik

Querschnittsgrafik

M 1:10



Expositionsklassen Abs. 4.2, 4.4

Expositionsklassen

·		
Seite		Kommentar
umlaufend		wechselnd nass und trocken Mäßige Wassersättigung ohne
	/(I <u>+</u>	Taumittel
	WF	Häufig oder längere Zeit feuchter Beton

Bewehrungsanordnung

Achsabstände, Betondeckungen

Bezug	C _{min}	$\Delta c_{\sf dev}$	c_{nom}	c_{v}	d'
	[mm]	[mm]	[mm]	[mm]	[mm]
oben	25	15	40	40	54
unten	25	15	40	40	54
links	25	15	40	40	54
rechts	25	15	40	40	54
Minimaler Bew			$\rho_{\text{min}} =$	0.00	%
Maximaler Bew	ehrungsgrad/		$\rho_{\text{max}} =$	9.00	%

Bemessung (GZT)

für den Grenzzustand der Tragfähigkeit nach DIN EN 1992-1-1:2011-01

Stabilität

Nachweis der Knicksicherheit

Schlankheiten Abs. 5.8.3.1(1)

Achse	Ek	l o	i	λ	$\lambda_{ t lim}$
		[m]	[cm]	[-]	[-]
V	1	2.05	6.9	29.6	34.9

Baustatik - Tragwerksplanung - Bauphysik

Projekt: Sanierung und Neubau Wohnheim "Thomas Müntzer

Position: 24 Auftrags-Nr.: 24-919

Datum: Seite: 18.12.2024 311

Achse	Ek	l o	i	λ	$\lambda_{\texttt{lim}}$
		[m]	[cm]	[-]	[-]
Z	1	2.05	6.9	29.6	34.9

Die Auswirkungen nach Theorie II. Ordnung dürfen nach 5.8.3.1(1) vernachlässigt werden.

Der Knicknachweis entfällt für das Ausweichen in z-Richtung nach DIN EN 1992-1-1, 5.8.3.1(1). λ_y = 29.59 < λ_{lim} = 34.94

Der Knicknachweis entfällt für das Ausweichen in y-Richtung nach DIN EN 1992-1-1, 5.8.3.1(1). λ_z = 29.59 < λ_{lim} = 34.94

Biegung

Nachweis der Biege- und Normalkrafttragfähigkeit

EK	Х	N Ed	MEdy	MEdz	As1
	[m]	[kN]	[kNm]	[kNm]	[cm²]
1	1.03	-171.13	3.42*	3.42*	0.15 м

Gesamte Stahlfläche

0.59 $A_s =$

 CM^2

M: Mindestbewehrung für Stütze *: mit Berücksichtigung der Mindestexzentrizität nach Abs. 6.1(4)

Querkraft Abs. 6.2

Bemessung für Querkraftbeanspruchung $V_{Ed.v}$

Х	Ek	$V_{Ed,y}$	θ_{y}	$V_{Rd,max,y}$	$V_{Rd,c,y}$	$a_{sw,erf}$
		$V_{Ed,z}$	θ_z	$V_{Rd,max,z}$	$V_{Rd,c,z}$	
[m]		[kN]	[°]	[kN]	[kN]	[cm ² /m]
(L = 2.	05 m)					
2.05	1	_	18.4	82.62	77.48	_
		_	18.4	82.62	77.48	
1.79	1	_	18.4	82.62	77.48	_
		_	18.4	82.62	77.48	
1.54	1	_	18.4	82.62	77.48	_
		_	18.4	82.62	77.48	
1.28	1	_	18.4	82.62	77.48	_
		_	18.4	82.62	77.48	
1.03	1	_	18.4	82.62	77.48	_
		_	18.4	82.62	77.48	
0.77	1	_	18.4	82.62	77.48	_
		_	18.4	82.62	77.48	
0.51	1	_	18.4	82.62	77.48	_
		_	18.4	82.62	77.48	
0.26	1	_	18.4	82.62	77.48	_
		_	18.4	82.62	77.48	
0.00	1	_	18.4	82.62	77.48	_
		-	18.4	82.62	77.48	

Datum:

18.12.2024

Baustatik - Tragwerksplanung - Bauphysik

Sanierung und Neubau Wohnheim "Thomas Müntzer

Position: 24 Seite: Auftrags-Nr.: 24-919 312

Nachweise (Brand)

Brandschutznachweis nach DIN EN 1992-1-2, Abs. 5.3

- Voraussetzung für die Anwendung der Brandschutznachweise nach DIN EN 1992-1-2, 5.3.2 ist, dass die Stütze sich innerhalb eines ausgesteiften Bauwerks befindet.

	Knickl	Knicklänge im Brandfall					$l_{0,fi} = 1.0$		
	Stütze	nlänge				1 =	2	5.00	m m
	Bewehr	ungsgehalt				≤ ρ = <	(5.00 0.79 4.00	m % %
Branddauer	Ek	x	μ1	fi	а	b	ı		n
	3	[m] 0.00	[- 0.1	J	[mm] 54	[mm 24		[<u>-]</u> 4
Branddauer Gl.(5.7)	Ek	X [m]	$R\eta_{\text{fi}}$	Ra	R ₁	R_b	R_n	[mi	R n 1
	3	0.00	73.8	38.4	28.8	21.6	0	207	

Die Mindestdicke ist eingehalten. Die Stütze ist für eine Feuerwiderstandsdauer von 180min nachgewiesen.

Bewehrungswahl

Längsbewehrung	Lage	Anz.	ds	$A_{s,vorh}$
			[mm]	[cm ²]
	je Ecke	1 Ø	12	1.13
Querbewehrung	Lage		ds	Abstand
			[mm]	[cm]
	Bügel		8	14
		_		F2 2

vorh.	Stahlfläche	A _s =	4.52	Cm ²
vorh.	Bewehrungsgrad	ρ =	0.79	%

<u>Auflagerkräfte</u>

Char. Auflagerkr.

	_	Aufl.	Fx,k	Fz,k	Fy,k	My,k	Mz,k
			[kN]	[kN]	[kN]	[kNm]	[kNm]
Einw.	Gk	A	106.60	0.00	0.00	0.00	0.00
		В	0.00	0.00	0.00	0.00	0.00
Einw.	Qk.N	A	14.51	0.00	0.00	0.00	0.00
		В	0.00	0.00	0.00	0.00	0.00
Einw.	Qk.S	A	7.26	0.00	0.00	0.00	0.00
		В	0.00	0.00	0.00	0.00	0.00

Bem.-auflagerkräfte

	Aufl.	Fx,d	Fz,d	Fy,d	My,d	Mz,d
		[kN]	[kN]	[kN]	[kNm]	[kNm]
Komb. <i>1</i>	A	171.13	0.00	0.00	0.00	0.00
	В	0.00	0.00	0.00	0.00	0.00
Komb. <i>2</i>	A	106.60	0.00	0.00	0.00	0.00
	В	0.00	0.00	0.00	0.00	0.00
Komb. <i>3</i>	A	110.96	0.00	0.00	0.00	0.00
	В	0.00	0.00	0.00	0.00	0.00

Baustatik - Tragwerksplanung - Bauphysik

Projekt: Sanierung und Neubau Wohnheim "Thomas Müntzer 18.12.2024 Datum: Auftrags-Nr.: 24-919 Position: 24 Seite: 313

Zusammenfassung

Zusammenfassung der Nachweise

Nachweise (GZT)

Nachweise im Grenzzustand der Tragfähigkeit

Nachweis	ľ		
	[-]		
Expositionsklassen	OK		
Stabilität	OK		
Biegung	OK		
Querkraft	OK		
Brand	OK		
Bewehrungswahl	OK		

Sanierung und Neubau Wohnheim "Thomas Müntzer Projekt:

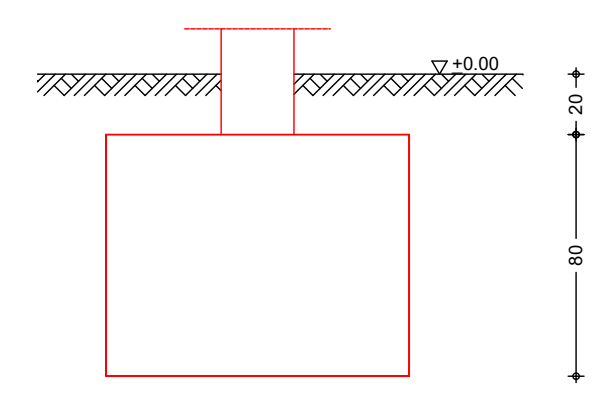
18.12.2024 Datum: Position: 24F Seite: Auftrags-Nr.: 24-919 314

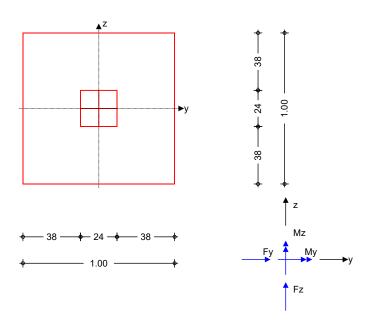
Stützenfundament Pos. 24F

System

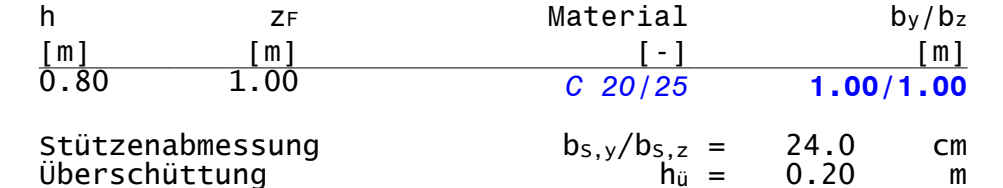
Einzelfundament

M 1:25

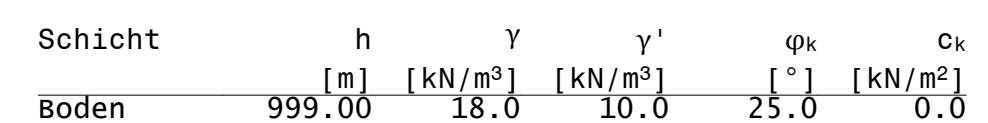




Abmessungen Mat./Querschnitt



Baugrund



Expositionsklassen

WF und XC2

Baustatik - Tragwerksplanung - Bauphysik

Projekt:	Sanierung	und Neubau Wohnheim "Thomas Müntzer	Datum:	18.12.2024
Auftrags-Nr.:	24-919	Position: 24F	Seite:	315

Belastunger	1
-------------	---

Eigengewicht	EW	Kommentar			γ	G
gg	LW	Kommericai			[kN/m³]	[kN]
	Gk.Fund Gk.Fund2	Eigengewich			24.00 23.00*	19.20 18.40
	Gk.Boden	Eigengewich Eigengewich	nt Boder	1	18.00	3.39
	<pre>*: Eigengewicht Betons</pre>	für Kipp- und Ab	hebenachwe	eis mit redu	uzierter Wicht	e des
Auflagerlasten	Auflagerlas	sten aus der	Stütze			
Aurtagertasten	EW	F _x	My	M_{z}	Fy	Fz
	. cl.	[kN]	[kNm]	[kNm]	[kN]	[kN]
	n) Gk n) Qk.N	106.60 14.51	0.00 0.00	0.00	0.00 0.00	0.00
	Qk.S	7.26	0.00	0.00	0.00	0.00
(a)	aus Pos. '2	24', Lager '	A' (Sei	te 312)		
Kombinationen	Kombination	nsbildung na	ch DiN	EN 1997-	1.	
	Darstellur	ng der maßge	benden	Kombina	ationen	
		(γ*ψ * EW)				
GZ GEO-2		35*Gk 50*Qk.N	+1.35* +0.75*	Gk.Fund	+1.35*Gk	.Boden
GZ STR: Fundament	32 BS-P 1	35*Ġk	+1.35*	Gk.Fund	+1.35*Gk	.Boden
	+1	50*Qk.N	+0.75*	Qk.S		
Bemschnittgrößer	l Ort	Fx,d	My,d	Mz,d	Fy,d	Fz,d
		[kN]	[kNm]	[kNm]	[kN]	[kN]
Ek 17 Ek 32	UK Fund. UK Fund.	201.63 201.63	0.00	0.00	0.00	0.00
<u>Mat./Querschnitt</u>	Material- (1:2011-01	und Querschn	ittswer	te nach	DIN EN 19	92-1-
Material	Material			fck	(Е
				$[N/mm^2]$		[N/mm ²]
	C 20/25			20.0		30000
Expositionsklasser	Expositions					
Abs. 4.2, 4.4	Seite umlaufend	K1 XC2	Kommen	tar selten t	trocken	
	um rau r en u	WF	Häufig	oder lä	ingere Zei	t
			feucht	er Betor	1	
Bewehrungsanordnur	Achsabständ	de, Betondec	kungen			
g	Bezug	Cmin	ΔC _{dev}	Cnom	c _v d' _y	
Fundament	oben	[mm] 20	[mm] 15	[mm] [35	[mm] [mm] 35 -	[mm]
. Gridameric	unten	20	15	35	35 35	35
Nachweise (GZT)	Standsicher	heitsnachwe [.]	ise im	GZT nach	DIN EN 1	997-1
HADINGTOG (UZI)	und DIN 10				_ .	. –

nach DIN EN 1997-1:2014-03, GZ EQU

Keine Ausmittigkeit - Nachweis entfällt

Kippen

Baustatik - Tragwerksplanung - Bauphysik

Projekt: Sanierung u Auftrags-Nr.: 24-919	ınd Neubau Wohnheim "Thomas Müntzer Position: 24F	Datum: 18.12.2024 Seite: 316
Mittlerer Sohldruck	nach DIN 1054:2010-12	
OUITAL GOK		V_d $\sigma_{E,d}$ $\sigma_{R,d}$ η [kN] [kN/m²] [kN/m²] [-] 01.6 201.63 210.00 0.96
Gleiten	in Sohlfuge nach DIN EN 1997- Sohlreibungswinkel	1:2014-03, GZ GEO-2 $\delta_k = 25.00$ °
	Keine maßg. Schnittkräfte v Der Nachweis entfällt	orhanden.
Nachweise (GZG)	Standsicherheitsnachweise im und DIN 1054	GZG nach DIN EN 1997-1
1. Kernweite	nach DIN EN 1997-1:2014-03, G	Z SLS
	Keine maßg. Schnittkräfte v Der Nachweis entfällt	orhanden.
2. Kernweite	nach DIN EN 1997-1:2014-03, G	Z SLS
	Keine maßg. Schnittkräfte v Der Nachweis entfällt	orhanden.
Bemessung (GZT) Biegebemessung	Stahlbetonnachweise gem. DIN	EN 1992-1-1:2011-01
Unbew. Fundament	nach DIN EN 1992-1-1, 12.9.	3
	Ek 32 Ek 32	$\begin{array}{llllllllllllllllllllllllllllllllllll$
	Fundamenthöhe char. Betonzugfestigkeit Beiwert Bemessungswert Betonzugf.	$\begin{array}{cccccccccccccccccccccccccccccccccccc$
	Richtung a	$W_{c,eff}$ σ_{ctd}
	y 0.380 z 0.380	[m³] [N/mm²] 0.0771 0.160 0.0771 0.160
Nachweise	Verhältnis hF/a Betonzugfestigkeit	$2.105 \ge 1.00$ $0.160 \le 0.85$
Zusammenfassung	Zusammenfassung der Nachweise	
Nachweise (GZT)	Nachweise im Grenzzustand d	er Tragfähigkeit
	Nachweis	η
	Expositionsklassen Kippen Sohldruck Gleiten	[-] ОК ОК 0.00 ОК 0.96 ОК 0.00

Baustatik - Tragwerksplanung - Bauphysik

Projekt: Sanierung und Neubau Wohnheim "Thomas Müntzer 18.12.2024 Datum:

Position: 24F Auftrags-Nr.: 24-919 Seite: 317

Nachweise (GZG) Nachweise im Grenzzust. der Gebrauchstauglichkeit

Nachweis 1. Kernweite ОК

2. Kernweite OK 0.00

Sanierung und Neubau Wohnheim "Thomas Müntzer Projekt:

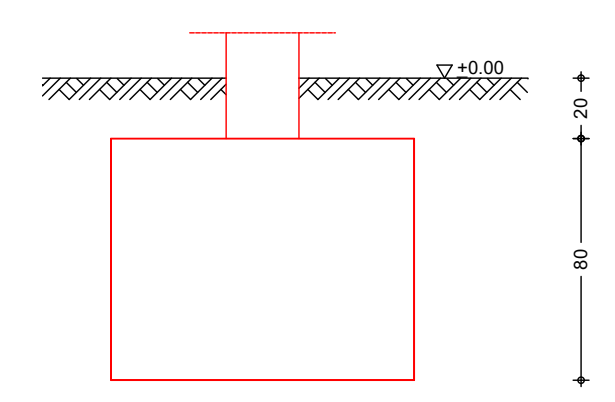
18.12.2024 Datum: Position: 24FA Seite: Auftrags-Nr.: 24-919 318

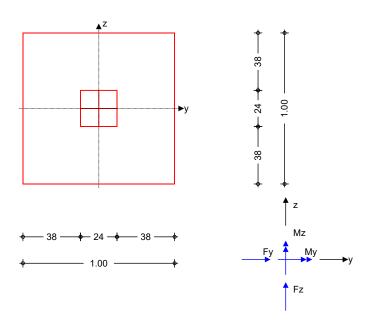
Stützenfundament Pos. 24FA

System

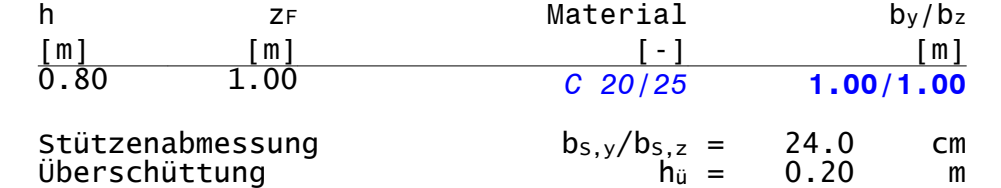
Einzelfundament

M 1:25

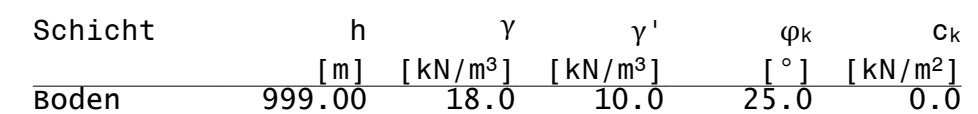




Abmessungen Mat./Querschnitt



Baugrund



Expositionsklassen

WF und XC2

mb BauStatik S511.de, 2025.004

Baustatik - Tragwerksplanung - Bauphysik

Projekt:	Sanierung ur	nd Neubau	Wohnheim	"Thomas	Müntzer	Datum:	18.12.2024
Auftrags-Nr.:	24-919		Posi	tion: 2	4FA	Seite:	319

Belastungen

Eigengewicht	EW	Kommentar			[kN/	γ m 3 1	G [kN]
	Gk.Fund Gk.Fund2 Gk.Boden *: Eigengewicht Betons	Eigengewich Eigengewich Eigengewich für Kipp- und Ab	nt Fund nt Bode	ament n	24 23 18	.00 .00* .00	19.20 18.40 3.39
Auflagerlasten	Auflagerlas EW	ten aus der F _x [kN]	Stütze M _y [kNm]	e M _z [kNm]		F _y kN1	F _z [kN]
(a)	Gk Qk.N Qk.S	106.60 14.51 7.26	0.00 0.00 0.00	0.00 0.00 0.00	Ò 0	.00 .00 .00	0.00 0.00 0.00
(a)	aus Pos. '2	.4', Lager '/	A' (Sei	te 312)			
<u>Kombinationen</u>	Kombinatior Darstellun	sbildung na g der maßge	ch DIN benden	EN 1997 Kombir	-1 nation	en	
GZ GEO-2	17 BS-P 1	(γ*ψ * EW) .35*Gk .50*Qk.N	+1.35;	Gk.Func	+1.3	35*Gk.E	oden
GZ STR: Fundament	32 BS-P 1		+1.35 ³ +0.75 ³	'Ġk.Fund 'Qk.S	1 +1.3	35*Gk.E	Boden
Bemschnittgrößen	Ort	Fx,d [kN]	My,d [kNm]	Mz,d [kNm]		Fy,d kN]	Fz,d [kN]
Ek 17 Ek 32	UK Fund. UK Fund.	201.63 201.63	0.00	0.00	Ò	.00	0.00
Mat./Querschnitt	Material- υ 1:2011-01	nd Querschn	ittswer	te nach	DIN E	N 1992	'- 1 -
Matania 7							
Material	Material			f.			E
material	Material C 20/25			f ₀ [N/mm ² 20.]	[]	
Expositionsklassen Abs. 4.2, 4.4	C 20/25	klassen Kl XC2 WF	Häufig	[N/mm ² 20.	trocko ängero	en	E 1/mm ²]
Expositionsklassen	C 20/25 Expositions Seite umlaufend	XC2 WF le, Betondecl	nass, Häufig feucht kungen Δc _{dev}	[N/mm ² 20. ntar selten g oder l cer Beto	trocko ängero on	en e Zeit d'y	E 1/mm ²] 30000 d'z
Expositionsklassen Abs. 4.2, 4.4	C 20/25 Expositions Seite umlaufend Achsabständ	XC2 WF	nass, Häufig feucht kungen	[N/mm² 20. ntar selten g oder l cer Beto	l 0 trock änger on	en e Zeit	E 1/mm ²] 30000

Kippen

nach DIN EN 1997-1:2014-03, GZ EQU

Keine Ausmittigkeit - Nachweis entfällt

Baustatik - Tragwerksplanung - Bauphysik

Projekt: Sanierung Auftrags-Nr.: 24-919	und Neubau Wohnheim "Thomas Müntzer Position: 24FA	Datum: 18.12.2024 Seite: 320
Mittlerer Sohldruck	nach DIN 1054:2010-12 Ek M _k V _k e b'	V
		kN] [kN/m²] [kN/m²] [-]
Gleiten	in Sohlfuge nach DIN EN 1997-1 Sohlreibungswinkel	:2014-03, GZ GEO-2 $\delta_k = 25.00$
	Keine maßg. Schnittkräfte vo Der Nachweis entfällt	rhanden.
Nachweise (GZG)	Standsicherheitsnachweise im G und DIN 1054	ZG nach DIN EN 1997-1
1. Kernweite	nach DIN EN 1997-1:2014-03, GZ	SLS
	Keine maßg. Schnittkräfte vo Der Nachweis entfällt	rhanden.
2. Kernweite	nach DIN EN 1997-1:2014-03, GZ	SLS
	Keine maßg. Schnittkräfte vo Der Nachweis entfällt	rhanden.
Bemessung (GZT) Biegebemessung	Stahlbetonnachweise gem. DIN E	N 1992-1-1:2011-01
Unbew. Fundament	nach DIN EN 1992-1-1, 12.9.3	
	Ek 32 Ek 32	$\begin{array}{llllllllllllllllllllllllllllllllllll$
	Fundamenthöhe char. Betonzugfestigkeit Beiwert Bemessungswert Betonzugf.	$\begin{array}{cccccccccccccccccccccccccccccccccccc$
	Richtung a	$W_{c,eff}$ σ_{ctd}
	y 0.380 z 0.380	[m³] [N/mm²] 0.0771 0.160 0.0771 0.160
Nachweise	Verhältnis hF/a Betonzugfestigkeit	$2.105 \ge 1.00$ $0.160 \le 0.85$
<u>Zusammenfassung</u>	Zusammenfassung der Nachweise	
Nachweise (GZT)	Nachweise im Grenzzustand de	r Tragfähigkeit
	Nachweis	η
	Expositionsklassen Kippen Sohldruck Gleiten	OK OK 0.00 OK 0.96 OK 0.00

Baustatik - Tragwerksplanung - Bauphysik

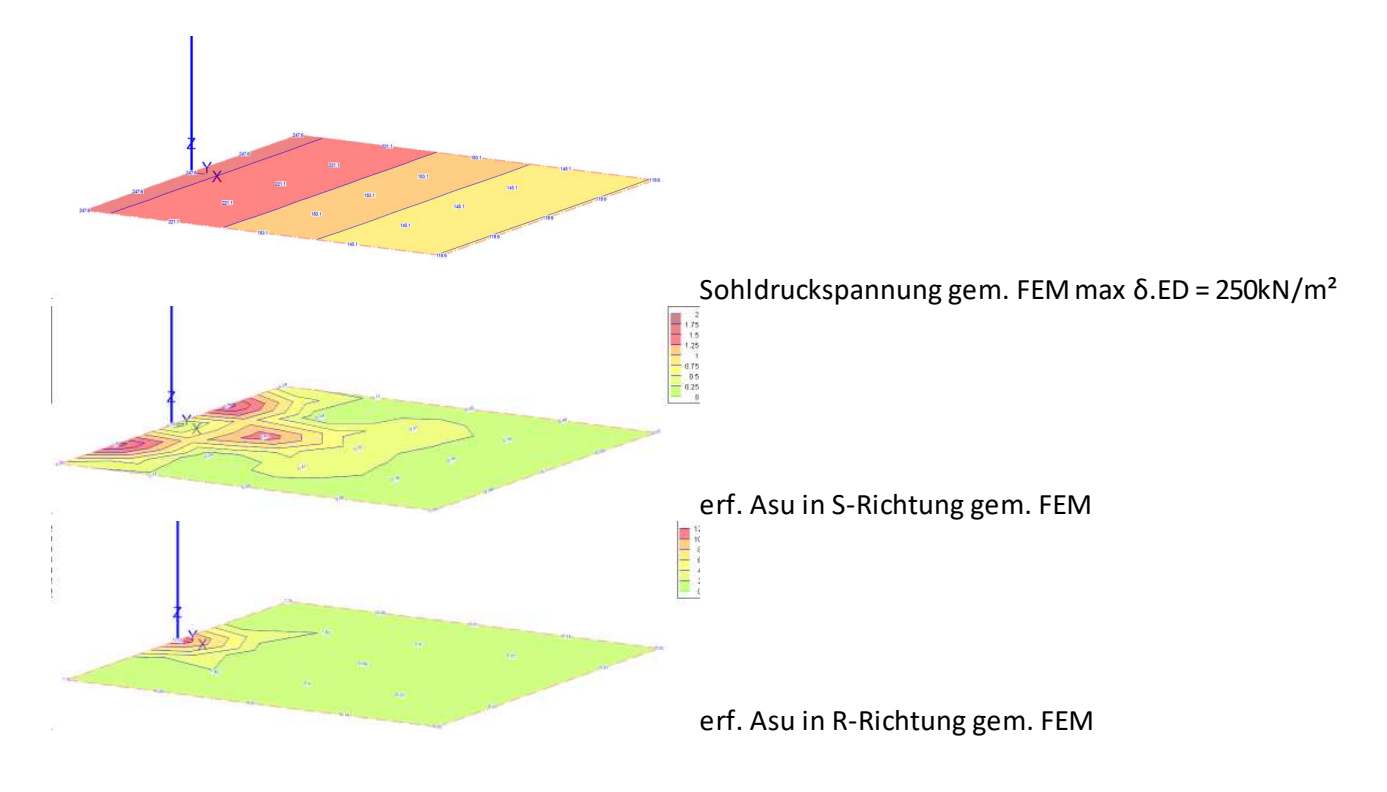
Projekt: Sanierung und Neubau Wohnheim "Thomas Müntzer 18.12.2024 Datum: Position: 24FA Seite: Auftrags-Nr.: 24-919 321

Nachweise (GZG)

Nachweise im Grenzzust. der Gebrauchstauglichkeit

Nachweis		η
		[-]
1. Kernweite	OK	0.00
2. Kernweite	OK	0.00

Ergebnisse aus Vergleichsrechnung mittels FEM

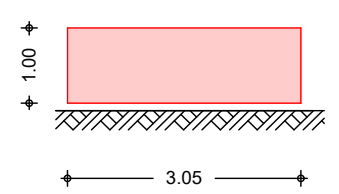


Projekt: Sanierung und Neubau Wohnheim "Thomas Müntzer

18.12.2024 Datum: Position: 25 Auftrags-Nr.: 24-919 Seite: 322

Streifenfundament Pos. 25

<u>System</u> M 1:100



Platte

Länge	1 =	3.05	m
нöhe	h =	1.00	m
Breite	b =	0.60	m
Elastizitätsmodul Beton	$E_{Cm} =$	30000	N/mm²

Expositionsklassen

WF und XC2

Bodenschichten

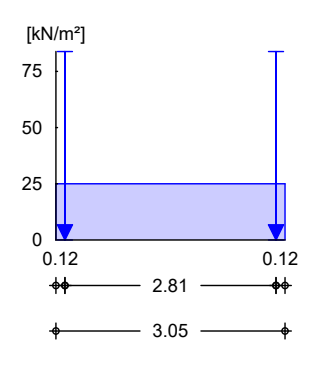
Nr.	Bezeichnung	h	$E_{s,k,min}$	Es,k,max
		[m]	$[N/mm^2]$	$[N/mm^2]$
1	Baugrund	10.00	10.00	40.00

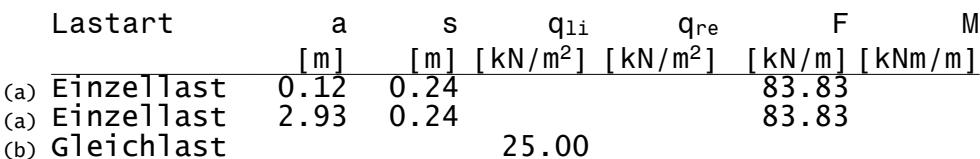
Belastungen

EW Gk M 1:100

(a)

Ständige Einwirkungen (einschl. Eigenlast)





(b) Gleichlast

aus Pos. '23' B (Fz), Gk (max)

83.83 83.825 =

(b) Eigengew. Fundament 25.0*1.00*1.00 =

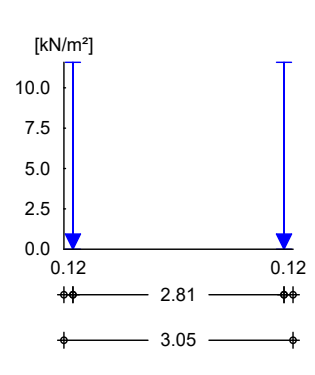
 25.00 kN/m^2

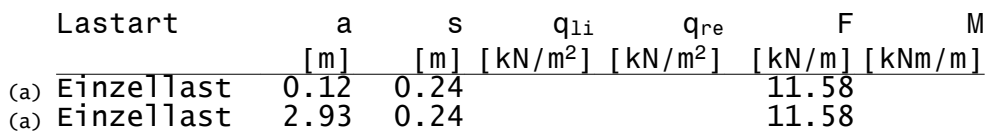
kΝ

Projekt: Sanierung und Neubau Wohnheim "Thomas Müntzer

18.12.2024 Datum: Auftrags-Nr.: 24-919 Position: 25 Seite: 323

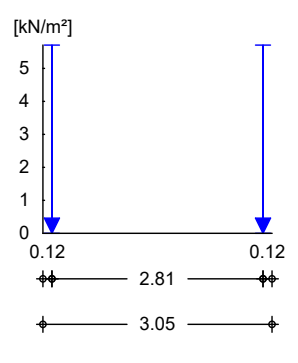
EW Qk.N M 1:100 Kategorie A - Wohn- und Aufenthaltsräume

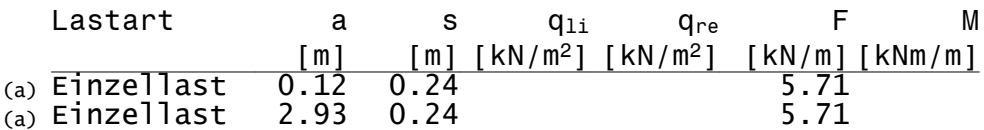




(a) aus Pos. '23' B (Fz), Qk.N (max) 11.579 =11.58 kΝ

EW Qk.S Schnee- und Eislasten für Orte bis NN + 1000 m M 1:100

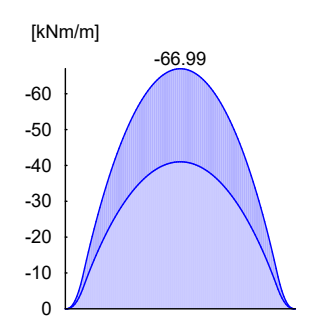




(a) aus Pos. '23' B (Fz), Qk.S (max) 5.706 =5.71 kΝ

Kombinationen Grundkombination M 1:100

nach DIN EN 1990 für minimale Steifemoduli Es,k,min Bemessungswert des Moments Med

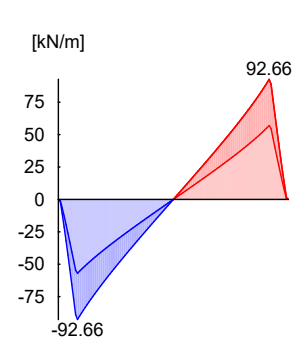


Sanierung und Neubau Wohnheim "Thomas Müntzer Projekt:

18.12.2024 Datum: Position: 25 Auftrags-Nr.: 24-919 Seite: 324

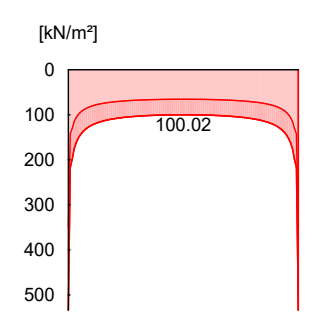
Grundkombination м 1:100

Bemessungswert der Querkraft VEd



Grundkombination M 1:100

Bemessungswert des Sohldrucks σEd



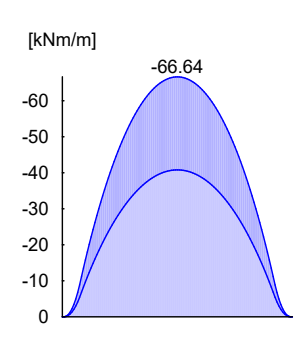
char. Kombination м 1:100

Bemessungswert der Setzung s_{Ed}



Kombinationen Grundkombination M 1:100

nach DIN EN 1990 für maximale Steifemoduli Es,k,max Bemessungswert des Moments M_{Ed}

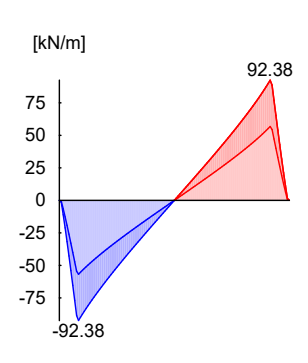


Sanierung und Neubau Wohnheim "Thomas Müntzer Projekt:

18.12.2024 Datum: Position: 25 Auftrags-Nr.: 24-919 Seite: 325

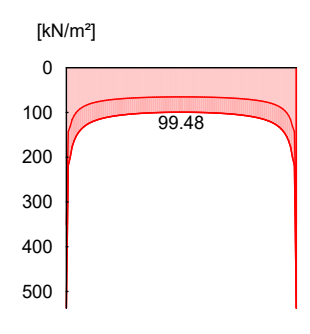
Grundkombination M 1:100

Bemessungswert der Querkraft VEd



Grundkombination м 1:100

Bemessungswert des Sohldrucks σEd



char. Kombination м 1:100

Bemessungswert der Setzung s_{Ed}



Bemessung (GZT)

nach DIN EN 1992-1-1:2011-01

Beton **Betonstahl** Wichte des Stahlbetons Dicke

Achsabst. der Bewehrung

B 500SA kN/m³ h = 100.00 cm d'u/d'o = 4.5/3.5 cm

C 20/25

Biegebewehrung/ Querkraftbewehrung

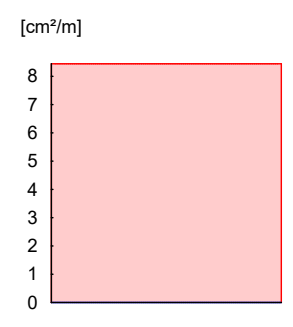
Platte

Х	erf a _{su}	erf a _{so}	VRd,c	VRd,max	erf a _{sw}
[m]	$[cm^2/m]$	$[cm^2/m]$	[kN/m]		[cm2/m2]
0.00	_	-	187.90	2191.73	7.04
0.03	_	8.44 M	189.40	2214.68	7.04
1.53	_	8.44 M	189.40	2214.68	7.04
2.80	_	8.44 M	189.40	2214.68	7.04
M: Mindes	tbewehrung nacl	n DIN EN 1992-1	1/NA, NDP Zu	9.2.1.1(1)	

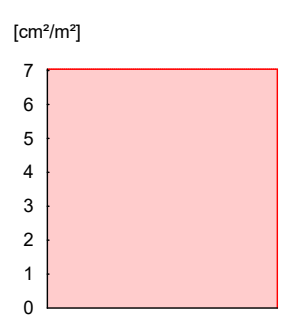
Baustatik - Tragwerksplanung - Bauphysik

Projekt: Sanierung und Neubau Wohnheim "Thomas Müntzer 18.12.2024 Datum: Position: 25 Seite: Auftrags-Nr.: 24-919 326

erf. Biegebewehrung M 1:100



erf. Querkraftbew. M 1:100



Nachweis Sohldruckspannung

 $n_{Ed} = 1,35 \cdot (25 \cdot 0,6 \text{ m} \cdot 1 \text{ m} + 2 \cdot 97 \text{ kN} / 3,05 \text{ m}) + 1,5 \cdot 2 \cdot 20 \text{ kN} / 3,05 \text{ m} = 126 \text{ kN/m}$ zul. Sigma, $Rd = 210 \text{ kN/m}^2$ erf. b = 126 / 210 = 0.6 m

Baustatik - Tragwerksplanung - Bauphysik

Projekt: Sanierung und Neubau Wohnheim "Thomas Müntzer Datum: 18.12.2024 Auftrags-Nr.: 24-919 Position: Aufg Seite: 327

AUFGESTELLT:

Ballenstedt, den 18.12.2024

Ingenieurbüro Paatz Wallstraße 9a 06493 Ballenstedt

Telefon: 039483- 979323 Telefax: 039483- 979324

(Dipl.-Ing. Thomas Paatz)

Bearbeiter: Dipl.-Ing. (FH) Sascha Oliver Trull

Der Architekt:

Der Bauherr:

Der Unternehmer: